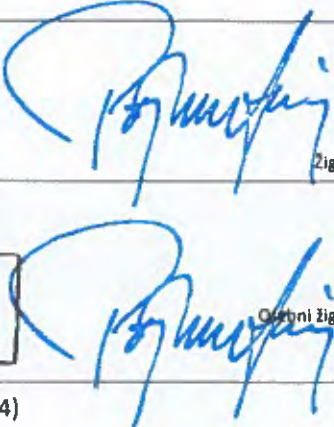


2/1 Načrt s področja gradbeništva:  
Načrt gradbenih konstrukcij

**Stanovanjska soseska  
Rakova Jelša II**

<b>Investitor</b>	<b>Javni stanovanjski sklad Mestne občine Ljubljana</b> Zarnikova 3 1000 Ljubljana  <b>Elektro Ljubljana d.d.</b> (TP Rakova Jelša II z vključitvijo v NN in SN omrežje) Slovenska cesta 58 1516 Ljubljana
<b>Vrsta projekta</b>	Projekt za izvedbo
<b>Št. načrta</b>	311170328-GK
<b>Št. projekta</b>	260/2017
<b>Pooblaščen inženir</b>	Andrej Pogačnik, univ. dipl. inž. grad. (IZS G-0187)
<b>Vodja projekta</b>	Monika Fink-Serša, univ. dipl. inž. arh. (ZAPS A-0684)
<b>Datum</b>	marec 2020
<b>Št. izvoda</b>	1   2   3   arhiv

<b>2/1.1</b>	<b>Naslovna stran s ključnimi podatki o načrtu</b>
<b>2/1.1</b>	<b>Načrt s področja gradbeništva: Načrt gradbenih konstrukcij</b>
<b>Investitor</b>	Javni stanovanjski sklad Mestne občine Ljubljana Zarnikova 3 1000 Ljubljana  Elektro Ljubljana d.d. (TP Rakova Jelša II z vključitvijo v NN in SN omrežje) Slovenska cesta 58 1516 Ljubljana
<b>Objekt</b>	Stanovanjska soseka Rakova Jelša II
<b>Vrsta projektne dokumentacije</b>	Projekt za izvedbo
<b>Za gradnjo</b>	Nova gradnja
<b>Projektant načrta</b>	Elea iC d.o.o., Dunajska cesta 21, 1000 Ljubljana
<b>Odgovorna oseba</b>	Andrej Pogačnik, univ. dipl. inž. grad.  Elea iC, d.o.o., Ljubljana   2 Dunajska cesta 21
<b>Pooblaščen inženir</b>	Andrej Pogačnik, univ. dipl. inž. grad. (IZS G-0187)  ANDREJ POGAČNIK univ. dipl. inž. grad. IZS G-0187
<b>Vodja projekta</b>	Monika Fink-Serša, univ. dipl. inž. arh. (ZAPS A-0684)  
<b>Številka načrta</b>	311170328-GK
<b>Številka projekta</b>	260/2017
<b>Številka izvoda</b>	1   2   3   arhiv
<b>Kraj in datum</b>	Ljubljana, marec 2020

**2/1.2****Seznam sodelavcev pri izdelavi načrta**

**Marijeta Gogala, univ.dipl. inž. grad.**  
Elea iC d.o.o., Dunajska cesta 21, 1000 Ljubljana

**Ana Kragelj, univ.dipl. inž. grad.**  
Elea iC d.o.o., Dunajska cesta 21, 1000 Ljubljana

<b>2/1.3</b>	<b>Kazalo vsebine načrta Načrt s področja gradbeništva: Načrt gradbenih konstrukcij št. 311170328-GK</b>
2/1.1.1	Naslovna stran s ključnimi podatki o načrtu
2/1.2	Seznam sodelavcev pri izdelavi načrta
2/1.3	Kazalo vsebine načrta št. 311170328-GK
2/1.4	Tehnično poročilo in statični izračun

**2/1.4**

**Tehnično poročilo**

# 1 Tehnično poročilo

## 1.1 Splošno

Soseska povzema obstoječo morfologijo prostora in umešča dolge nize večstanovanjskih objektov, ki spominjajo na vrstne hiše. Objekti so podolgovati etažnosti P+2N. Predvideni so objekti tipa A (2x), tipa B (3x) in objekt C (večnamenski – trgovska, gostinska in storitvena dejavnost).

Konstruktivno sta objekta A in B razdeljena na dilatacijske enote. Objekt A – 6 dilatacijskih enot, objekt B – 4 dilatacijske enote.

Tlorisna dimenzija objektov:

TIP A: 136,68 x 9,46 metrov, višine +8,86 m nad koto ±0,00 = 289,11 nmv

TIP B: 93,14 x 9,46 metrov, višine +8,86 m nad koto ±0,21 = 289,32 nmv

Objekt C: 25,34 x 18,38 metrov, višine 7,13 m nad koto ±0,00 = 289,11 nmv.

## 1.2 Opis konstrukcije

### 1.2.1 Objekta A in B

Vse dilatacije so zasnovane kot armiranobetonska konstrukcija. Vertikalni nosilni elementi so armiranobetonske stene in armiranobetonski slopi, ki podpirajo medetažne konstrukcije – AB plošče. Stene so debeline 16 cm in 20 cm, kvalitete betona C30/37, primerne stopnje izpostavljenosti glede na okolje v katerem se beton nahaja. Po celotni dolžini objektov se nahaja zunanji dostopni hodnik, ki je na eni strani podprt z AB slopi dimenzije 20/66 cm. Na drugi strani so zunanji dostopni hodniki povezani točkovno preko Isokorb elementov.

Medetažna konstrukcija so AB plošče debeline 18 cm in 20 cm, kvalitete betona C30/37. Plošče zunanjega hodnika so po robu konstrukcije ojačane z betonskimi parapeti. Parapeti zmanjšujejo pomike in povečujejo togost plošče. Plošča je v območjih balkona stanjšana na 16 cm, tako da je spodnji rob plošče poravnan z medetažno ploščo.

Streha objekta je nepohodna ravna armiranobetonska streha z debelino plošče 18 cm, ki je po robovih ojačana s parapeti. Zaključni sloj je ekstenzivna zelenica.

### 1.2.2 Objekt C

Objekt C je zasnovan kot betonska konstrukcija (vidni beton) z lesenim ostrešjem. AB stene so debeline 25 cm. Zunanje stene so predviden kot vidni beton VB3 kvalitete C30/37, XC3, PV I. AB stene v notranjosti objekta (niso vidni beton) so kvalitete C25/30, XC1. Zunanje stene so na stikih z notranjim nosilcem povezani s termo izolativnimi elementi (kot na primer Schock).

Lesena streha je podprta z AB nosilci na katere so naložene lesene lege. Špirovci so dimenzije 14/26 cm, kvalitete lesa C24.

Kot že zgoraj napisano, v objektih so na nekaterih mestih prevideni vidni betoni in sicer:

- objekta A in B:
  - VB2 za stropove hodnikov
  - VB3 za slop na fasadi ob hodnikih(samo ena stran)
  
- objekt C – vsi vidni betoni VB3.

Stopnje izpostavljenosti so opisane na načrtih. Opaži morajo biti kovinski in enotni v celotnih dimenzijah sten, robovi ostri (brez trikotnih letvic). Obvezna je izdelava opaznega načrta, ki ga mora pred izvedbo potrditi arhitekt.

Statični izračun je izveden s programom Tower – 3D (Radimpex) in SOFISTIK FEM 25 (SOFISTIK AG, Bruckmannring 38, DE-85764 Oberschleissheim).

### 1.3 Temeljenje

Objekt je temeljen preko temeljne plošče debeline 35 cm na betonskih pilotih.

Dimenzioniranje pilotov in temeljenje je izvedeno na osnovi geomehanskega poročila št. GEO016-01-2012, maj 2014 (izdelovalca SLP d.o.o.). V nadaljevanju podajamo povzetek poročila ter nosilnosti temeljev.

Glede na to, da je področje tipično barjansko so bile izvedene 4 statične konusne penetracije z merjenjem pornih tlakov do globine 17,6 m in 17,90 m. Iz omenjenih preiskav je bilo ugotovljeno, da tankemu sloju humusa sledi šota ali polžarica do globine 5 do 8 m – židke konsistence Do globine 15-16 m sledi barjanska stisljiva meljna glina. Na globini cca. 16 m se pričnejo prodno peščene plasti, ki so globine cca 2 m. Talna voda je na globini 1 m do 1,5 m.

Glede na sestavo temeljnih tal je predvideno temeljenje na vtisnjenih pilotov  $\phi$  50 cm, piloti z izrivanjem zemljine vstran brez izkopa zemljine (kot na primer po tehnologiji FDP). Prednosti tehnologije FDP z odzivom zemljine so, da ni odvoza materiala in malenkost manjše vibracije glede na ostale tehnologije. Nosilnosti so primerljive tehnologiji CFA. Dolžine pilotov so 16,5 m in 15 m, kvaliteta betona C30/37, XC2, PV-I, max zrno agregata 32 mm. Globina glave pilota v nosilna tla je cca. 50 cm do 100 cm. Večja vpetost ni priporočljiva zaradi zelo tanke nosilne plasti. Piloti se izvajajo do višine delovnega platoja. Toleranca pozicije pilotov je  $\pm$  5 cm. Pri statičnem izračunu je upoštevana nosilnost pilota  $F_{cd\_EC7} = 1.173$  kN.

**Če ponujena tehnologija izvedbe pilotov ne bo taka kot je bila predvidena v statičnem izračunu, je potrebna dodatna preverba nosilnosti in števila pilotov.**

Pred izvedbo temeljenja je nujna izvedba testnih pilotov, ki potrdijo predvideno nosilnost pilotov. Predvidijo se naslednje preiskave:

statični test nosilnosti	2 kom
dinamični test nosilnosti (PDA-DLT/PP 5t +LC)	5% vseh pilotov
PIT test zveznosti	50% vseh pilotov.

Vhodi v objekte so temeljni na lesenih borovih pilotov  $\phi 25$  do  $\phi 30$ , dolžine 8 m. Ker leseni piloti morajo biti v vodi je potrebno na mestih, kjer so leseni piloti višji izvesti glave na lesenimi piloti. Izvede se betonska cev BC  $\phi 40$  cm, ki se jih zapolni s pustim betonom. Globina podtalnice je od 1 m do 1,5 m pod površjem.

Za izvedbo temeljenja je potrebno izdelati delovne platoje in dostopne poti iz nasipa debeline cca. 70 cm, ki se ga položi na geosintetik. Debelina platoja je odvisna od uporabljene mehanizacije.

Preko celotne površine zunanje ureditve (razen v območju zelenice med objekti, pod objekti, igrišča) se izvede nosilna AB plošča na lesenih pilotih, premera 30cm, dolžine 8 m v medsebojnem rastru 2x2m.

Debelino delovnega platoja po potrebi prilagoditi razmeram na terenu in delovni mehanizaciji. Pri tem je potrebno biti pozoren, da obremenitev tal ne presega razbremenitve in obratno. Predvsem je to pomembno na pasu 10 m ob sosednjih objektih. Na omenjenem območju je prav tako prepovedan transport težkega tovornega prometa in obvezna uporaba lažje gradbene mehanizacije. Transportne poti naj potekajo po sredini parcelne meje. Faznost predviden izvedbe je opisana v načrtu 2/2 – ZPU.

Za čas izvedbe delovnega platoja in pilotov je obvezna stalna prisotnost geomehanika.

Pred temeljenjem se izvede testno polje, ki potrди nosilnost pilotov. Obenem je pred izvedbo temeljenja (vsaj 6 mesecev prej) potrebno izvesti pregled ter vgradnjo reperjev (glej geomehansko poročilo) za monitoring tekom gradnje. Izvajalec s svojim delom na gradbišču ne sme prekoračiti vibracij, ki bi lahko povzročale poškodbe solidno grajenih objektov v vplivnem območju, ki je določeno za spremljanje z monitoringom. Na vse sosednje objekte bodo vplivali tudi tresljaji povzročeni z uporabo težje mehanizacije in transportnih sredstev v območju gradbišča.

## 1.4 Upoštevana obtežba

V statičnem izračunu sta upoštevana stalna obtežba glede na sestavo strehe in koristna obtežba skladno s standardom (glej vrednotenje obtežb).

Kombinacije so prikazane v statičnem izračunu.

### 1.4.1 Teža tlakov

Preglednica 2: Teža tlakov

Območje		Obtežba [kN/m <sup>2</sup> ]	
<b>Pritličje</b>			
Zunanji hodnik nad kineto			
-	mikroarmiran beton	9'5 cm	2'3
-	toplotna izolacija (ekspandiran polistiren)	10 cm	0'2
-	AB plošča (upoštevano pri lastni teži)	-	-
			<b>2'50</b>
Notranji stanovanjski prostori			
-	keramične ploščice	1 cm	0'2
-	mikroarmiran beton	8 cm	1'92
-	toplotna izolacija (ekspandiran polistiren)	12 cm	0'24
-	podložni beton	8 cm	1'92
-	nasutje	30 cm	6
-	AB temeljna plošča (upoštevano pri lastni teži)	-	-

			<b>10'28</b>
<b>Pasaža, shrambe, čistila...</b>			
-	mikroarmiran beton	9'5 cm	2'28
-	toplotna izolacija (ekspandiran polistiren)	10 cm	0'20
-	podložni beton	8 cm	1'92
-	nasutje	30 cm	6
-	AB temeljna plošča ( <i>upoštevano pri lastni teži</i> )	-	-
			<b>10'40</b>
<b>Medetažne plošče</b>			
<b>Zunanji hodnik</b>			
-	mikroarmiran beton	9'0 cm	2'16
-	toplotna izolacija (ekspandiran polistiren)	2 cm	0'04
-	AB temeljna plošča ( <i>upoštevano pri lastni teži</i> )	-	-
			<b>2'20</b>
<b>Stanovanjski prostori</b>			
-	keramične ploščice	1 cm	0'2
-	mikroarmiran beton	6 cm	1'44
-	toplotna izolacija (ekspandiran polistiren)	4 cm	0'08
-	AB temeljna plošča ( <i>upoštevano pri lastni teži</i> )	-	-
			<b>1'72</b>
<b>Balkon</b>			
-	keramične ploščice	1 cm	0'2
-	mikroarmiran beton	8 cm	1'92
-	toplotna izolacija (ekspandiran polistiren)	4 cm	0'08
-	AB temeljna plošča ( <i>upoštevano pri lastni teži</i> )	-	-
			<b>2'20</b>
<b>Streha</b>			
<b>Ravna streha</b>			
-	ozelenitev	3'5 cm + 1'2 cm + 1'5 cm	1'24
-	toplotna izolacija (ekspandiran polistiren)	26 + 10 cm	0'72
-	AB medetažna plošča ( <i>upoštevano pri lastni teži</i> )	-	-
			<b>1'96</b>

#### 1.4.2 Teža težke opreme

Kopalnice bodo izvedene kot prefabricirani bloki. Teža posameznega bloka površine 5'23 m<sup>2</sup> je 5300 kg. Obtežba je upoštevana razmazano po površini v velikosti 10'15 kN/m<sup>2</sup>.

#### 1.4.3 Koristna obtežba

Nivo koristne obtežbe določa standard SIST EN 1991-1-1. Investitor se lahko odloči za večje obremenitve, vendar mora o tem pisno obvestiti projektanta gradbenih konstrukcij. Obremenitve manjše od tistih, ki jih določa standard, niso dopustne. Preglednica Preglednica prikazuje koristne obtežbe, ki jih uporabimo pri dimenzioniranju stavbe.

Preglednica 3: Koristna obtežba na tleh, balkonih in stopnicah stavb

Kategorija obtežene površine	$q_k$ [kN/m <sup>2</sup> ]
Kategorija A: Bivalni prostori	2'0
Kategorija H: Strehe	0'4

#### 1.4.4 Vpliv snega

Vpliv snega na konstrukcije je bil določen po standardu SIST EN 1991-1-3. Skladno z nacionalnim dodatkom standarda SIST EN 1991-1-3: 2004/A101 se stavba nahaja v drugi alpski coni **A2**. Objekt je na nadmorski višini 288,50 m.

Karakteristična obtežba snega na tleh znaša:

$$s_k = 1,293 \left[ 1 + \left( \frac{A}{728} \right)^2 \right] = 1,293 \left[ 1 + \left( \frac{288,50}{728} \right)^2 \right] = 1,5 \text{ kN/m}^2$$

Obtežba snega na streho za trajno projektno stanje se določi kot:

$$s = \mu_i \cdot C_e \cdot C_t \cdot s_k$$

$C_e$  je koeficient izpostavljenosti, ki za običajen teren znaša 1,0.  $C_t$  je toplotni koeficient, ki pri strehah z običajno toplotno prevodnostjo ( $\leq 1 \text{ W/m}^2\text{K}$ ) znaša 1,0.

Oblikovni koeficient strehe  $\mu_i$  za ravno streho znaša 0,8.

Obtežba snega na streho znaša:

$$s = 0,8 \cdot 1,0 \cdot 1,0 \cdot 1,5 \text{ kN/m}^2 = 1,22 \text{ kN/m}^2$$

Upoštevam obtežbo snega 1,25 kN/m<sup>2</sup>.

#### 1.4.5 Vpliv vetra

Po standardu SIST EN 1991-1-4 se stavba nahajajo v coni 1. Referenčna hitrost vetra tako znaša  $v_{b,0} = 20 \text{ m/s}$ . Veter ni merodajna obtežba zato ni upoštevan.

#### 1.4.6 Potresni vpliv

Potresni vpliv je upoštevan s standardom SIST EN 1998-1-1. Objekt se nahaja v Ljubljani z močno potresno intenziteto. Na podlagi veljavne potresne karte za območje Slovenije s povratno dobo potresa 475 let je upoštevan projektni pospešek temeljnih tal  $\alpha_g = 0.25 \text{ g}$ . Tip tal je uvrščen v razred S1. Za omenjeni razred so potrebne, skladno s standardom EC 8, posebne študije za določitev potresnega vpliva. Po študiji »Določitev projektnih potresnih parametrov za lokacijo soseske Rakova Jelša II«, izdelovalec FGG, november 2017, so privzeta tla razreda D s faktorjem tal 1,35.

Glede na pomembnost objekta upoštevam objekt kategorije pomembnosti II. Privzame se duktilnostni razred konstrukcije DCM. Faktor obnašanja je izračunan za sistem povezanih sten, regularen po višini ( $q = 3,6$  in 3,17). Pri statičnem izračunu je upoštevana reducirana kvaliteta betona (razpokani prerezi).

Potresna obtežba se prenaša preko togih plošč na AB stene. Pri izračunu temeljev je upoštevan elastični potres.

## 1.5 Upoštevani materiala in predpisi

### Beton

Uporabljeni so betoni kvalitete C25/30 in C30/37 primerne stopnje izpostavljenosti (XC1, XC2, ...) . Betonska mešanica mora biti v skladu z SIST EN 206-1. Pred izvedbo je potrebno izdelati projekt betona, ki mora upoštevati zahteve načrta gradbenih konstrukcij, predvideno izpostavljenost betonov na karbonatizacijo, kloride, zmrzovanje in tajanje ter, razpoložljivo mehanizacijo. V nadaljevanju je preglednica 1 z osnovnimi konstrukcijskimi elementi in kvaliteto betona.

Preglednica 1: Krovne plasti elementov in razredi izpostavljenosti

Element	Tlačna trdnost	Razred izpostavljenosti	Dodatni pogoj	Krovna plast			
				$c_{min}$ [mm]	$\Delta c_{dev}$ [mm]	$k_i$ [mm]	Izbrana [mm]
<b>Plošče</b>							
Temeljna plošča	C30/37	XC2	PV II	20*	10	-	30
Piloti	C30/37	XC2	PV II	20*	10	-	30
Medetažne plošče	C30/37	XC1		10*	10	-	20
<b>Stene</b>							
Stene v stiku z zemljino	C30/37	XC2		25*	10	-	35
Ostale stene nadzemno	C30/37	XC1		15*	10	-	25
Stene vidni beton objekt C	C30/37	XC1	PV I, VB3	25*	10	-	30
Zunanje klančine – štokan beton	C30/37	XC4, XD1, XF1	PV I, VB3 stene	25*	10	-	40

\*pri določitvi  $c_{min}$  upoštevati pogoj  $c_{min} \geq \emptyset$  palice

$c_{min}$  ... minimalna debelina krovne plasti,  $\Delta c_{dev}$  ... odstopanje krovne plasti,  $k_i$  ... dodatno povečanje krovne plasti

Uporabljeno je mehko armaturno železo kvalitete B 500 razreda duktilnosti A in B.

### Predpisi

Pri statični preverbi so upoštevani naslednji standardi:

EVROKOD: Osnove projektiranja konstrukcij

EVROKOD 1: Vplivi na konstrukcije

EVROKOD 2: Projektiranje betonskih konstrukcij

EVROKOD 5: Projektiranje lesenih konstrukcij

EVROKOD 7: Geotehnično projektiranje

EVROKOD 8: Projektiranje potresno odpornih konstrukcij

## 2 Pogoji za izvedbo

### 2.1 Beton

#### 2.1.1 Pogoji za vgradnjo in pripravo betonske mešanice

Betonska mešanica mora biti v skladu z SIST EN 206-1.

Poleg pogojev iz projekta konstrukcije je potrebno upoštevati tudi zahteve slovenskih standardov za proizvodnjo betona ter gradnjo betonskih konstrukcij:

- a) SIST EN 206-1: Beton-1.del: Specifikacija, lastnosti, proizvodnja in skladnost,
- b) SIST 1026: Beton-1.del: Specifikacija, lastnosti, proizvodnja in skladnost - Pravila za uporabo SIST EN 206-1.

**Pred pričetkom armiranobetonskih del na objektu je potrebno izvesti projekt betona.**

Projekt betona mora biti potrjen s strani nadzora.

#### 2.1.2 Navodila za izdelavo projekta betona

Projekt betona mora zajeti vsaj naslednje:

- 1) Ustrezne veljavne standarde in tehnične predpise.
- 2) Zahteve načrta DGD in PZI gradbenih konstrukcij in arhitekture.
- 3) Razpoložljivo mehanizacijo.
- 4) Terminski plan izvajanja del.
- 5) Način transport svežega betona.
- 6) Ureditev gradbišča.
- 7) Projekt odra.
- 8) Načrt betoniranja, organizacijo in opremo.
- 9) Predvideno izpostavljenost betonov na karbonatizacijo, kloride, zmrzovanje in tajanje.
- 10) Sestavo betonskih mešanic, količine in tehnične zahteve za projektirane kakovostne razrede betona.
- 11) Predvideni dodatki betonom.
- 12) Posebne zahteve za vidne in vodotesne betone.
- 13) Navodila za pravilno vgrajevanja betonske mešanice.
- 14) Način nege betona pri različnih vremenskih pogojih.
- 15) Program kontrole betona, odvzemanja vzorcev in preiskav betonske mešanice ter betona po partijah.
- 16) Program kontrolnih preiskav sestavin betona.

#### 2.1.3 Vidni beton

Celotna fasada objekta C je AB vidni beton kvalitete C30/37 v debelini 25 cm, kateri vsebuje hidroizolacijski material z lastnostmi kristalizacije in penetracije ter funkcijo samoceljenja razpok, por in kapilar v betonu (kot npr. Xypex ADMIX C serije).

Uporabiti vodotesne stenske opažne distančnike. Uporabiti je potrebno črpni beton z ustreznimi dodatki (plastifikatorji) za vidni izgled, z izbranim belim agregatom in belim cementom, ustrezno za brušenje do izgleda brušenega betonskega tlaka. Kvaliteto vidnega brušenega betona je potrebno doseči (samo) na

zunanji strani sten (fasade). Opaži morajo biti kovinski in enotni v celotnih dimenzijah sten, robovi ostri (brez trikotnih letvic). **Obvezna je izdelava opaznega načrta, ki ga mora pred izvedbo potrditi arhitekt.**

Luknje distančnikov se zapira ali z betonskimi čepi v isti barvi ali pa z zapolnitvijo z enakim betonom - potrebno dogovoriti z arhitektom. Prekinitve betoniranja (faze) je potrebno dogovoriti z arhitektom, praviloma se stene betonirajo v eni potezi do vrha faze, stik z ploščo ni viden z zunanje strani fasadne stene (prilagojena armatura), rob vrh faze betoniranja je potrebno pred nadaljevanjem (obvezno) ravno odrezati in odbiti odvečni beton. Pri betoniranju vidnih konstrukcij je potrebno uporabiti ustrezne vibratorje (vibratorje pritrjene na opaže in igle). Vezenje armature izvesti na notranji strani, odmik armature na zunanji strani mora biti prilagojen brušenju (v deb. 0,5 - 1,00 cm). Brušenje vidnih fasadnih betonskih površin za izgled brušenega betonskega tlaka - brušenje, kitanje, ponovno brušenje. Vse horizontalno izpostavljene površine (horizontalni del okenske špalete, horizontalni del strešnega venca) in notranja stena strešnega venca so dodatno zaščiteni z biokemično spremenjeno silikatno raztopino, ki omogoča dolgotrajno hidroizolacijo in trpežnost betona. Raztopina prodre v beton ter reagira s prostim kalcijem in vodo ter tvori kalcijev silikatni gel, ki zapolni razpoke, pore in kapilare. Gel pod površino ustvari oviro, ki onemogoča vdor vode in onesnaževalcev, kot so kloridni ioni kot npr. Radcon Formula 7 ali enakovredno z garancijo za zagotavljanje obstojnosti vgrajenega produkta za dobo najmanj 15 let.

#### 2.1.4 Strokovni nadzor

- 1) Zahteva se stalni strokovni nadzor. Izvajalec je pred izvedbo dolžan pripraviti program tekoče kontrole, ki vsebuje vrsto in pogostost preiskav. Program potrdi tehnična služba investitorja ali superkontrola. Zagotoviti je potrebno odvzemanje preizkusnih betonskih prizem kot to določa standard SIST EN 206-1 (betonarna).
- 2) Beton se pripravlja v betonarni, ki mora imeti izdan certifikat proizvodnje. V uporabljenih recepturah bodo zastopani tudi kemijski dodatki (plastifikator, hiperplastifikator, expanditor...). Vrsto ustreznih dodatkov, ki zagotavljajo kvalitetno izdelane betone, ter vodotesne nekrčljive betone, mora predpisati projekt betona.
- 3) Za vse trdnostne razrede predvidenih betonov projektant podaja tudi razrede izpostavljenosti glede na pogoje okolja v skladu z EN 206-1. Določena je zaščitna krovna plast betona, ter maksimalno zrno betona.
- 4) Posebno pozornost je potrebno posvetiti izvedbi konstrukcij iz vidnega betona, t.i. gladkosti betonske površine, zaščitni debelini sloja betona nad armaturo v primerih odkritih in zakritih površin, stičnim sredstvom za zagotavljanje tesnosti konstrukcije ter širini dopustnih razpok.
- 5) Sestavine betonov in proizvedene betone v smislu SIST EN 206-1 tekoče preizkuša proizvajalec. Zunanja pooblaščenca institucija preverja ustreznost tekoče kontrole in njeno redno izvajanje ter za to izdaja certifikat proizvodnje. Za vse uporabljene osnovne materiale pri pripravi betonske mešanice, mora proizvajalec betona zagotoviti izjave o skladnosti uporabljenih materialov.
- 6) Vse tehnološke posege v beton opravlja pooblaščenca odgovorna oseba na gradbišču: tehnolog-tehnik.
- 7) Preizkuse otrdelega betona po programu bo izvajal laboratorij, ki mora biti potrjen oz. certificiran.

#### 2.1.5 Osnovne zahteve za pripravo betonskih mešanic

- 1) Zagotoviti je potrebno ustrezno plastičnost betona.
- 2) Vodocementno razmerje je lahko  $v/c_{\max} \leq 0.45$ .
- 3) Minimalna količina cementa za pripravo sveže betonske mešanice brez dodatka  $DC_{\min} = 380 \text{ kg/m}^3$ .

- 4) Uporabljen mora biti frakcioniran in pran mineralni agregat, ki je po svojih fizikalnih in mehanskih ter petrografsko mineraloških lastnostih ustrezen za pripravo kakovostnega betona. Primerni so agregati, ki so skladni s prEN 12620: 2000.
- 5) Cement za pripravo betona mora ustrezati EN 197-1.
- 6) Uporablja se pitna voda oziroma voda, ki je skladna s prEN 1008:1997.
- 7) Dodatki betonu se smejo uporabljati, če so v skladu z SIST EN 934-2.

#### 2.1.6 Način vgradnje betona

- 1) Prosti pad betona z žleba avto-mešalca ali cevi črpalke ne sme presegati 1.5 m.
- 2) Pri črpnem betonu je dovoljena največ polurna prekinitev betoniranja.
- 3) Mazalno mešanico pri črpnem betonu mora črpalka izprazniti izven opaža.
- 4) Betonirati je treba od nižjega mesta (dna opaža) navzgor.
- 5) Beton delavci vgrajujejo v slojih po projektu betona predpisani višini (največ 70 cm). Pri vidnem betonu smejo biti sloji največ 30 cm.
- 6) Vgrajevanje betona mora biti organizirano tako, da se z naslednjim betonom betonira najkasneje v eni uri (pod 15°C v 90 minutah), da ne bi prišlo do »hladnih stikov«.
- 7) Med stresanjem betona v opaž se z betonom ne sme škropiti po višje ležeči armaturi.
- 8) Med vibriranjem betona le-ta ne sme iztekati skozi stike opažne lupine.
- 9) Med vibriranjem sloja mora delavec z iglo potiskati tudi v nižji sloj, da se revibrira, hkrati pa dobro zgostiti stik dveh slojev.
- 10) V primeru betoniranja z veznim slojem je treba zagotoviti izvedbo »sveže na sveže«.
- 11) Prosto površino morajo delavci negovati sprotno, ko je površina primerna za to, torej, ko postane motna in se več ne sveti, nikakor pa ne šele po zaključku betoniranja.

#### 2.1.7 Razopaženje konstrukcijskih elementov

Razopaženje elementov je odvisno od njihove pomembnosti in zunanje temperature. Trdnost betona pri odstranitvi vertikalnih opažev mora biti dovolj visoka, da ne pride do poškodb betonske površine. Če z projektom konstrukcije ni drugače določeno se upošteva pogoje iz preglednice 2.1.

Preglednica 2.1: Minimalni čas od betoniranja do razopaženja konstrukcijskega elementa

Konstrukcijski element	Minimalno število dni	Minimalno dosežena tlačna trdnost od projektirane
Stebri, stene, vertikalne stranice gred in temeljev	3	40%
Plošče, podesti, stopnice	10	80%

Pri upogibnih elementih (plošče, nosilci) je potrebno po razopaženju vstaviti začasne podpore, ki se odstranijo po razbremenitvi plošč v času izvedbe oz. ne prej kot 28 dni.

### 2.1.8 Betoniranje v hladnem vremenu

Betoniranje v hladnem vremenu predvideva izvedbo betonskih del v obdobju, ko so temperature v teku dneva pod 0°C in ko srednje dnevne temperature več kot tri dni zaporedoma padejo pod +5°C. Obdobje hladnega vremena preneha, ko je temperatura zraka vsaj tri dni zapored pol dneva nad 10°C. Prehodno obdobje je, kadar so ponoči možne temperature pod 0°C. Srednja dnevna temperatura je povprečje najvišje in najnižje izmerjene temperature od polnoči do polnoči. Na mestu vgrajevanja je treba z vseh površin, ki bodo prišle v stik z betonom odstraniti ves sneg in led (opaži, armatura,...). Ne sme se betonirati na zamrznjen že zabetonirani element ali tla. Najnižja dovoljena temperatura betona pri vgradnji in v času zaščite je odvisna od najmanjše dimenzije prereza-glej preglednico 2.2. Betonira naj se v najvišjih delovnih temperaturah.

Preglednica 2.2: Najnižja dovoljena temperatura betona pri vgradnji

Najmanjši presek elementa	Najnižja temperatura betona pri vgrajevanju
Manj od 30 cm	11°C
Od 30 cm do 90 cm	9°C
Od 90 cm do 180 cm	7°C
Več kot 180 cm	5°C

V hladnem vremenu je treba beton zaščititi in negovati najmanj tri dni oziroma toliko časa dokler ni dosežena za konstrukcijsko varnost potrebna trdnost. S toplotno zaščito se v strjujočem betonu zagotavlja potrebna toplota za normalni potek hidratacije. Za ustrezno toplotno zaščito betona se štejejo naslednji ukrepi:

- 1) Prekritje z izolacijskimi ploščami (stiropor, mineralna volna, gradbena folija).
- 2) Uporaba toplotno izoliranih opažev.
- 3) Nega z vodno paro.
- 4) zaprtje prostora in segrevanje z grelci.

Nego s paro ali vodo v mrzlem vremenu je treba končati vsaj en dan pred koncem zaščite in betonu omogočiti, da se osuši preden je izpostavljen mrazu.

### 2.1.9 Negovanje svežega betona

Neposredno po betoniranju je treba beton zaščititi pred prehitrim sušenjem, ohlajevanjem, padavinami in mehanskimi poškodbami, ki lahko spremenijo notranjo strukturo in sprijemnost betona med vezanjem in začetnim strjevanjem. Z ustreznim postopkom nege se v strjujočem betonu zagotavlja potrebna količina vode. Ukrepe za preprečitev izsuševanja je treba izvajati, če je po odstranitvi zaščite:

- 1) Beton toplejši od 15°C, temperatura zraka pa je 10°C ali več.
- 2) Temperatura zraka je višja od 10°C, vlažnost pa je nižja od 40%.
- 3) Kadar se pokriti element ali zaprti prostor suho segreva z grelci.
- 4) Pri močnem vetru, ob visoki temperaturi betona.

Minimalni čas negovanja je 7 dni ali čas, ko beton doseže 50 % projektirane tlačne trdnosti, za vodotesne betone pa vsaj 70 % projektirane tlačne trdnosti oz. minimalno 10 dni.

Za ustrezno zaščito betona pred izsuševanjem se štejejo naslednji ukrepi:

- 5) Obrizg betonske površine z kemičnim sredstvom Kontrasol.
- 6) Prekritje z vodo nasičeno tkanino.
- 7) Prekritje z nepropustno folijo.

Za vodotesne betone se uporabi zaščito pred izsuševanjem z vodo nasičenim filcem ter dodatnim prekritjem z PVC folijo. Takšna zaščita mora trajati vsaj 10 dni po zabetoniranju.

V primeru padavin je potrebno sveže površine zaščititi z PVC folijo, da preprečimo spiranje sveže površine.

#### 2.1.10 Dilatacije

Na dilatacijah je betonski ovoj stavbe popolnoma prekinjen in je zaradi tega potrebno v ta stik vgraditi ustrezna tesnila, ki imajo funkcijo tesnjenja in istočasno omogočajo premik oziroma deformacijo konstrukcije. Na objektu je izbran sistem tesnjenja, ki je razviden iz detajlov v arhitekturnih načrtih.

### 2.2 Pogoji za izvedbo lesenih konstrukcij

#### 2.2.1 Zaščita lesa pred vlago

Uporabijo se lahko pokrivne pigmentne barve, lazurne barve ali brezbarvni laki. V času nanosa zaščitnega premaza vlaga lesa ne sme biti večja od 12-15%, kar je odvisno od zaščitnega sredstva, ki ga nanašamo. Trajnost zaščitnih sredstev naj bo minimalno 2 leti. Poleg zaščite lesa pred vlago z kemičnimi sredstvi, je potrebno les tudi mehansko ščititi. Predvsem je potrebno zagotoviti ustrezno zračenje lesa. Potrebno je zagotoviti čim boljše mehansko zaščito lesa pred vodo, kakor tudi pred kapilarno vodo, ki se dviga iz temeljev. Pri stikovanju vseh lesnih elementov je potrebno zagotoviti minimalne odmike veznih sredstev. Za vezna sredstva pa uporabiti nerjaveče elemente (vroče cinkano).

#### 2.2.2 Zaščita lesa pred insekti

Zaščita se izvede z fungicidnimi in insekticidnimi sredstvi, ki so lahko organskega ali anorganskega izvora. Tovrstna zaščita se izvede vsaj enkrat v življenjski dobi konstrukcije (prva zaščita se izvede pred vgradnjo lesa v objekt). Pred zaščito lesa mora biti les popolnoma obdelan. Po impregnaciji lesa z zaščitnim sredstvom dodatna obdelava ni več dovoljena.

### 2.3 Pogoji za izvedbo jeklenih konstrukcij

Uporabi se konstrukcijsko jeklo S235 JR, razred izvedbe EXC2. Jekleni stebri, ki podpirajo AB plošče morajo biti požarno odporni skladno s požarno študijo RE 60.

- 1) Pri izdelavi in montaži jeklenih konstrukcij se mora upoštevati standard:
  - a) SIST EN 1090-1: Izdelava jeklenih konstrukcij in aluminijastih konstrukcij-1.del: Zahteve za ugotavljanje skladnosti sestavnih delov konstrukcije,
  - b) SIST EN 1090-2: Izdelava jeklenih konstrukcij in aluminijastih konstrukcij-2.del: Tehnične zahteve za izvedbo jeklenih konstrukcij.
- 2) Ves osnovni in dodajni material mora biti dobavljen z atesti, močnejše obremenjeni elementi morajo imeti dokazilo o kontroli materiala.

- 3) Izdelava in montaža konstrukcije mora biti pregledana s strani nadzornega organa nevtralne pooblaščenice organizacije.
- 4) Vsi elementi morajo biti v delavnici zapisniško prevzeti po pregledu kvalitete izdelave in kontroli izmer.

## 2.4 Monitoring

Izvajalec s svojim delom na gradbišču ne sme prekoračiti vibracij, ki bi lahko povzročale poškodbe solidno grajenih objektov v vplivnem območju, ki je določeno za spremljanje z monitoringom. Na vse sosednje objekte bodo vplivali tudi tresljaji povzročeni z uporabo težje mehanizacije in transportnih sredstev v območju gradbišča.

Izvajalec je dolžan izvajati meritve vibracij za vsa dela na gradbišču, ki bi povzročala take tresljaje, da bi predstavljala vplive na sosednje objekte. Ker v Sloveniji ni standardov in regulative, ki bi predpisovala maksimalne dovoljene vibracije, je potrebno upoštevati evropske standarde (na primer DIN 4150/3), za katere je značilno, da predpisujejo zgornjo maksimalno dovoljeno hitrost nihanja glede na vrsto objektov. Zaradi tega mora izvajalec meriti hitrost vibracij, ki jih bo povzročal z delom, poleg tega pa lahko meri tudi druge količine (npr. pospeške). Največje vibracije se pričakujejo med izvedbo globokega temeljenja in pri izvajanju zemeljskih del. Predvidena je izvedba 2 meritvena dneva v toku gradnje, za vsako posamezno fazo izvedbe pripravljajalnih del, zemeljskih del in globokega temeljenja.

Meritve mora izvajati pooblaščenica z ustrežno umerjeno opremo.

V času gradnje je potrebno vgraditi reperje za spremljanje posedkov. Vgradijo se reperji na nivoju plošče nad pritličjem. Predvidimo po dva reperja na vsako dilatacijo (objekt A – 14 kom in B – 10 kom). Objekt C pa predvidimo 3 reperje.

## Statični izračun

## Kazalo vsebine

<b>1</b>	<b>Objekt A – dilatacija 1</b> .....	<b>A1</b>
1.1	Plošče .....	A1
1.2	Seizmični izračun .....	A24
1.2.1	Razred duktilnosti in faktor obnašanja .....	A24
1.2.2	Omejitev poškodb .....	A27
1.3	Stene .....	A40
1.3.1	Geometrijske omejitve .....	A40
1.3.2	Projektni učinki potresnih vplivov .....	A40
1.3.3	Preverjanje mejnih stanj in konstruiranje .....	A41
1.3.3.1	Minimalna in maksimalna armatura .....	A41
1.3.3.2	Omejitve osne obremenitve sten .....	A41
1.3.3.3	Kritično območje .....	A42
1.3.3.4	Potrebna količina armature MSN-STR .....	A42
1.3.4	Strižna odpornost sten .....	A43
1.4	Temeljenje objekta .....	A43
<b>2</b>	<b>Objekt A – dilatacija 3</b> .....	<b>A50</b>
2.1	Plošče .....	A50
2.2	Seizmični izračun .....	A75
2.2.1	Razred duktilnosti in faktor obnašanja .....	A75
2.2.2	Omejitev poškodb .....	A75
2.3	Stene .....	A87
2.3.1.1	Omejitve osne obremenitve sten .....	A87
2.3.2	Strižna odpornost sten .....	A88
2.4	Temeljenje objekta .....	A88
<b>3</b>	<b>Objekt A – dilatacija 4</b> .....	<b>A97</b>
3.1	Plošče .....	A97
3.2	Seizmični izračun .....	A122
3.2.1	Razred duktilnosti in faktor obnašanja .....	A122
3.2.2	Omejitev poškodb .....	A122
3.3	Stene .....	A134
3.3.1.1	Omejitve osne obremenitve sten .....	A134
3.3.2	Strižna odpornost sten .....	A135
3.4	Temeljenje objekta .....	A135
<b>4</b>	<b>Objekt A – dilatacija 6</b> .....	<b>A145</b>

4.1	Plošče .....	A145
4.2	Seizmični izračun .....	A167
4.2.1	Razred duktilnosti in faktor obnašanja .....	A167
4.2.2	Omejitev poškodb .....	A167
4.3	Stene .....	A179
4.3.1.1	Omejitve osne obremenitve sten .....	A179
4.3.2	Strižna odpornost sten .....	A180
4.4	Temeljenje objekta .....	A180
<b>5</b>	<b>Objekt B – splošno .....</b>	<b>B1</b>
5.1	Opis konstrukcije .....	B1
<b>6</b>	<b>Objekt B – dilatacija 1 .....</b>	<b>B2</b>
6.1	Plošče .....	B2
6.2	Seizmični izračun .....	B29
6.2.1	Razred duktilnosti in faktor obnašanja .....	B29
6.2.2	Upoštevanje mas pri določanju potresnega vpliva .....	B30
6.2.3	Upoštevanje razpokanih prereзов .....	B30
6.2.4	Nihajni časi in odziv konstrukcije .....	B30
6.2.5	Etažna strižna sila .....	B31
6.2.6	Omejitev poškodb .....	B32
6.2.7	P- $\Delta$ efekt .....	B32
6.3	Stene .....	B33
6.3.1	Geometrijske omejitve .....	B33
6.3.2	Projektne učinki potresnih vplivov .....	B33
6.3.3	Preverjanje mejnih stanj in konstruiranje .....	B34
6.3.3.1	Minimalna in maksimalna armatura .....	B35
6.3.3.2	Omejitve osne obremenitve sten .....	B35
6.3.3.3	Kritično območje .....	B35
6.3.3.4	Potrebna količina armature MSN-STR .....	B35
6.3.4	Strižna odpornost sten .....	B36
6.4	Temeljenje objekta .....	B36
<b>7</b>	<b>Objekt B – dilatacija 2 .....</b>	<b>B45</b>
7.1	Plošče .....	B45
7.2	Seizmični izračun .....	B72
7.2.1	Razred duktilnosti in faktor obnašanja .....	B72
7.2.2	Upoštevanje mas pri določanju potresnega vpliva .....	B73
7.2.3	Upoštevanje razpokanih prereзов .....	B73
7.2.4	Nihajni časi in odziv konstrukcije .....	B73

7.2.5	Etažna strižna sila .....	B74
7.2.6	Omejitev poškodb .....	B75
7.2.7	P- $\Delta$ efekt .....	B76
7.3	Stene .....	B76
7.3.1	Geometrijske omejitve .....	B76
7.3.2	Projektne učinki potresnih vplivov .....	B76
7.3.3	Preverjanje mejnih stanj in konstruiranje .....	B77
7.3.3.1	Minimalna in maksimalna armatura .....	B77
7.3.3.2	Omejitve osne obremenitve sten .....	B77
7.3.3.3	Kritično območje .....	B78
7.3.3.4	Potrebna količina armature MSN-STR .....	B78
7.3.4	Strižna odpornost sten .....	B78
7.4	Temeljenje objekta .....	B79
<b>8</b>	<b>Objekt B – Dilatacija 3 .....</b>	<b>B88</b>
8.1	Plošče .....	B88
8.2	Seizmični izračun .....	B115
8.2.1	Razred duktilnosti in faktor obnašanja .....	B115
8.2.2	Upoštevanje mas pri določanju potresnega vpliva .....	B116
8.2.3	Upoštevanje razpokanih prereзов .....	B116
8.2.4	Nihajni časi in odziv konstrukcije .....	B116
8.2.5	Etažna strižna sila .....	B1147
8.2.6	Omejitev poškodb .....	B117
8.2.7	P- $\Delta$ efekt .....	B118
8.3	Stene .....	B119
8.3.1	Geometrijske omejitve .....	B119
8.3.2	Projektne učinki potresnih vplivov .....	B119
8.3.3	Preverjanje mejnih stanj in konstruiranje .....	B120
8.3.3.1	Minimalna in maksimalna armatura .....	B120
8.3.3.2	Omejitve osne obremenitve sten .....	B120
8.3.3.3	Kritično območje .....	B121
8.3.3.4	Potrebna količina armature MSN-STR .....	B121
8.3.4	Strižna odpornost sten .....	B121
8.4	Temeljenje objekta .....	B122
<b>9</b>	<b>Objekt B – dilatacija 4 .....</b>	<b>B131</b>
9.1	Plošče .....	B131
9.2	Seizmični izračun .....	B158
9.2.1	Razred duktilnosti in faktor obnašanja .....	B158

9.2.2	Upoštevanje mas pri določanju potresnega vpliva .....	B159
9.2.3	Upoštevanje razpokanih prerezov .....	B159
9.2.4	Nihajni časi in odziv konstrukcije .....	B160
9.2.5	Etažna strižna sila .....	B160
9.2.6	Omejitev poškodb .....	B160
9.2.7	P- $\Delta$ efekt .....	B161
9.3	Stene .....	B162
9.3.1	Geometrijske omejitve .....	B162
9.3.2	Projektne učinki potresnih vplivov .....	B162
9.3.3	Preverjanje mejnih stanj in konstruiranje .....	B163
9.3.3.1	Minimalna in maksimalna armatura .....	B163
9.3.3.2	Omejitve osne obremenitve sten .....	B163
9.3.3.3	Kritično območje .....	B164
9.3.3.4	Potrebna količina armature MSN-STR .....	B164
9.3.4	Strižna odpornost sten .....	B164
9.4	Temeljenje objekta .....	B165
<b>10</b>	<b>Objekt C</b>	<b>C1</b>

# 1 Objekt A – dilatacija 1

## 1.1 Plošče

Plošče dimenzioniramo glede na določila standarda SIST EN 1992-1-1. Uporabi se beton C30/37, XC1. Debelina plošč je 18 cm, balkonski del pa 16 cm.

Minimalna upogibna armatura  $A_{s,min}$  je s členom 9.2.1.1(1) določena kot

$$A_{s,min} = 0,26 \frac{f_{ctm}}{f_{yk}} b_t d = 0,26 \frac{0,29}{50} 100 \cdot 16 = 2,4 \text{ cm}^2/\text{m} \geq 0,0013 b_t d = 2,1 \text{ cm}^2/\text{m}$$

$f_{ctm}$  ... srednja vrednost osne natezne trdnosti betona,  $f_{yk}$  ... karakteristična natezna trdnost armature,  $b_t$  ... srednja širina natezne cone,  $d$  ... statična višina prereza

Največja stopnja armiranja pa je določena s členom 9.2.1.1(3)

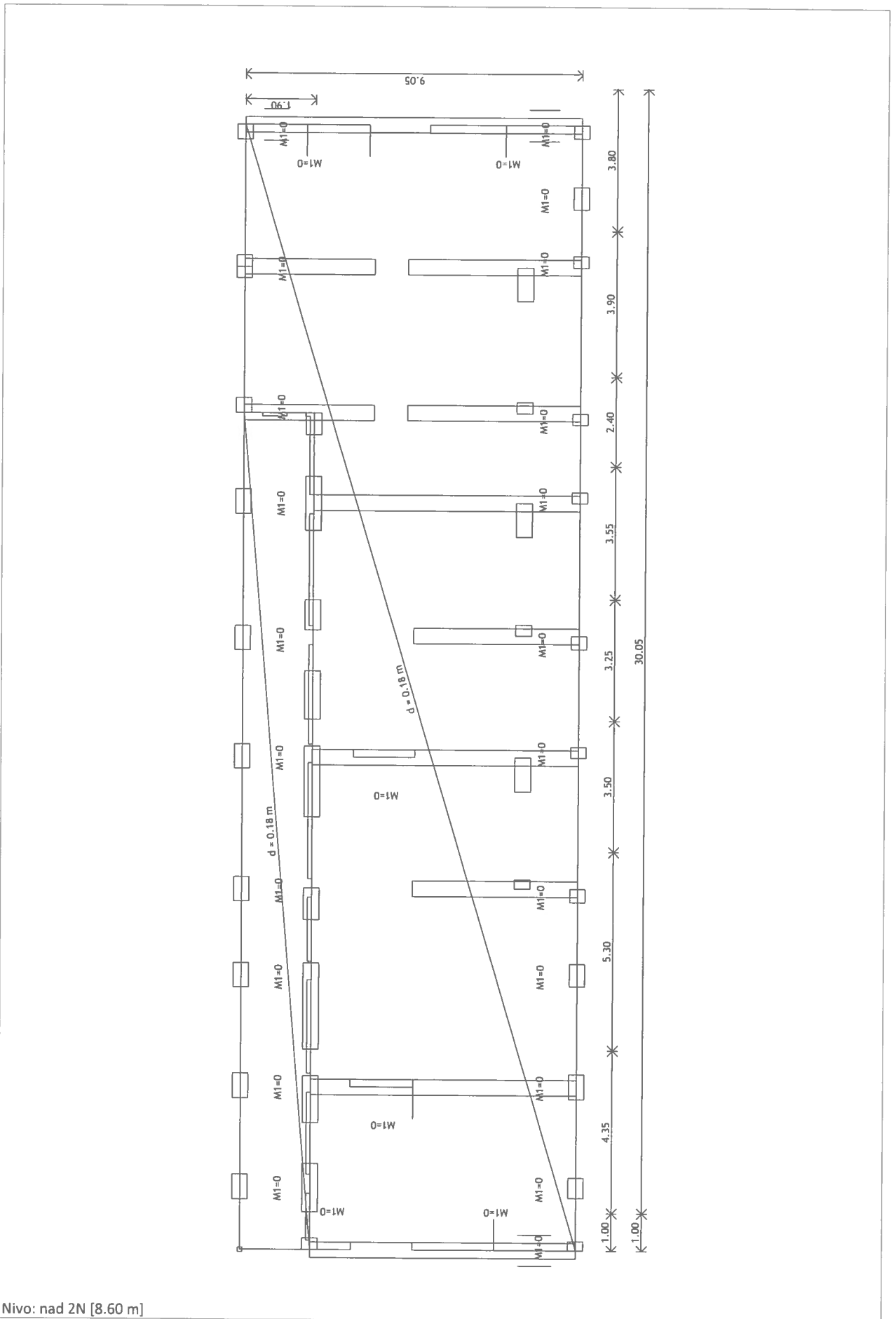
$$A_{s,max} = 0,04 A_c = 72 \text{ cm}^2/\text{m}$$

$A_c$  ... ploščina betonskega prereza

Medsebojna oddaljenost palic je s členom 9.3.1.1(3) omejena na  $s_{max} = 3h \leq 400$  mm, v območjih koncentriranih obtežb in največjih upogibnih momentov pa z  $s_{max} = h \leq 250$  mm.

Standard omejuje dovoljeno širino razpoke na 0,4 mm pri navidezno stalni obtežni kombinaciji.

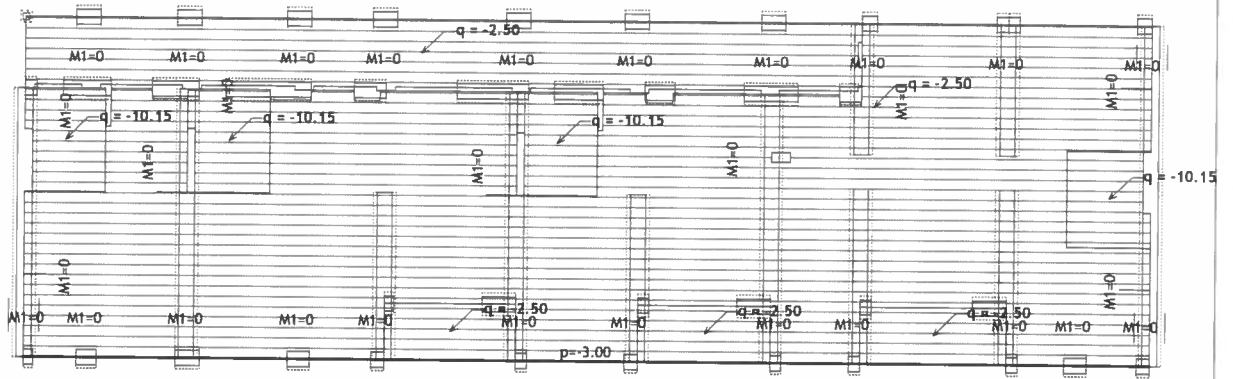
Potrebno armaturo izračunamo glede na ovojnice mejnih stanj nosilnosti in uporabnosti. Potrebna armatura plošč in vplivi na konstrukcijo so podani v nadaljevanju.



Nivo: nad 2N [8.60 m]

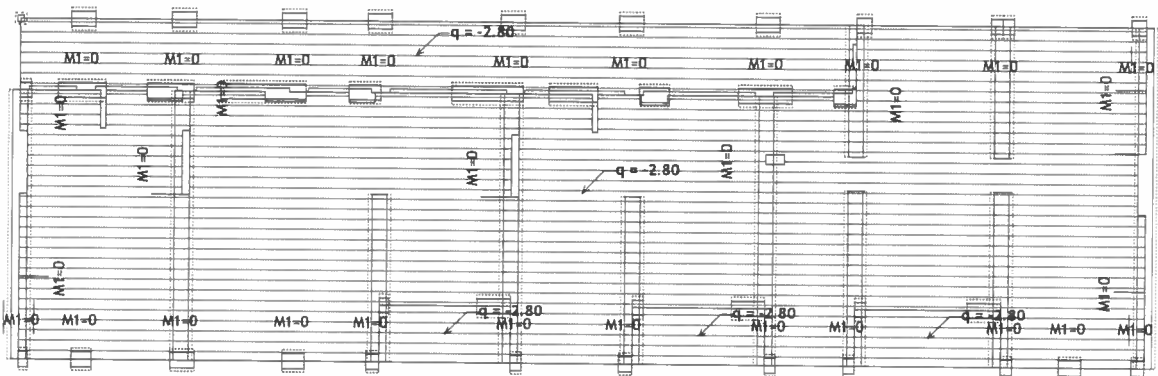
**Vhodni podatki - Obtežba**

Obt. 1: l.t. + stalna (g)



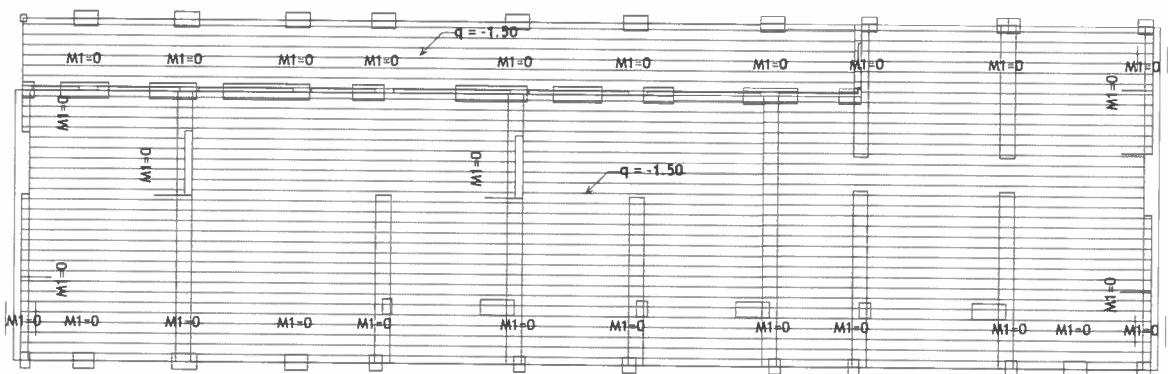
Nivo: nad 1N [5.80 m]

Obt. 2: korisna



Nivo: nad 1N [5.80 m]

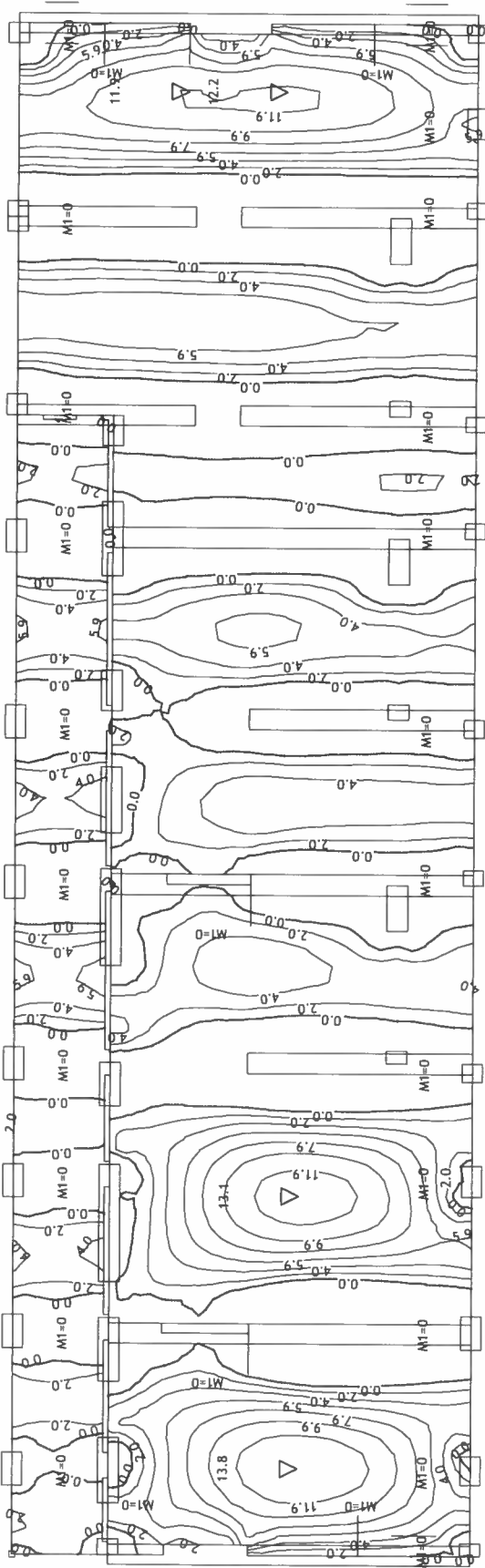
Obt. 3: sneg



Nivo: nad 2N [8.60 m]

**Statični preračun**

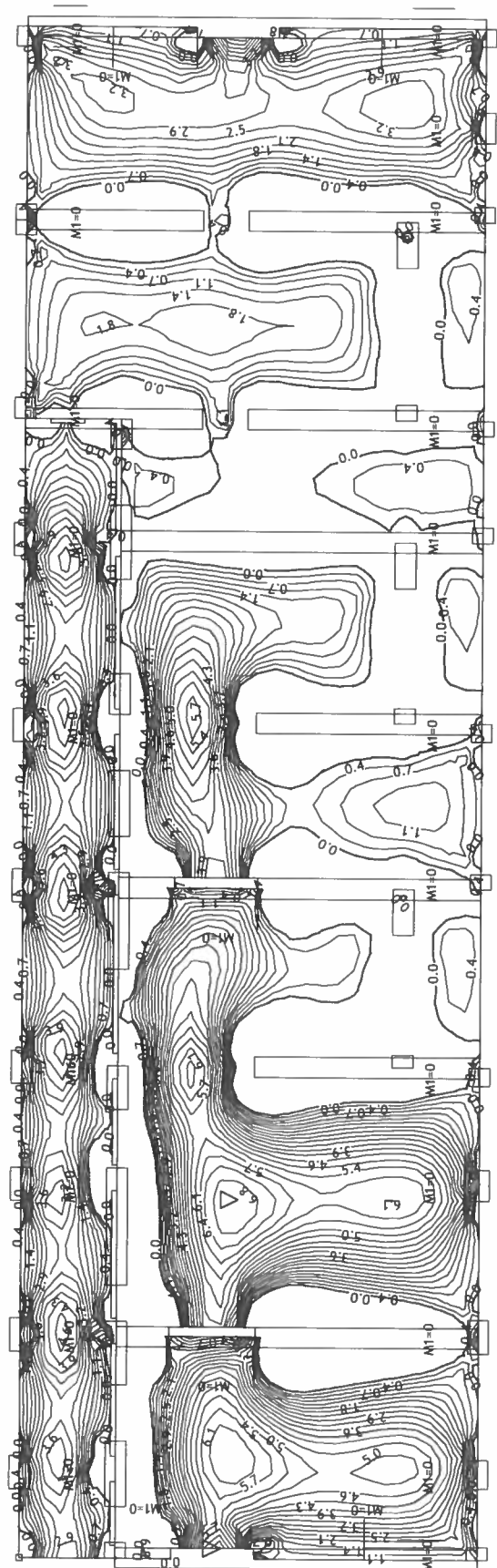
Obt. 9: [Ovo] 7,8



Nivo: nad 2N [8.60 m]

Vplivi v plošči: max Mx= 13.8 / min Mx= 0.0 kNm/m

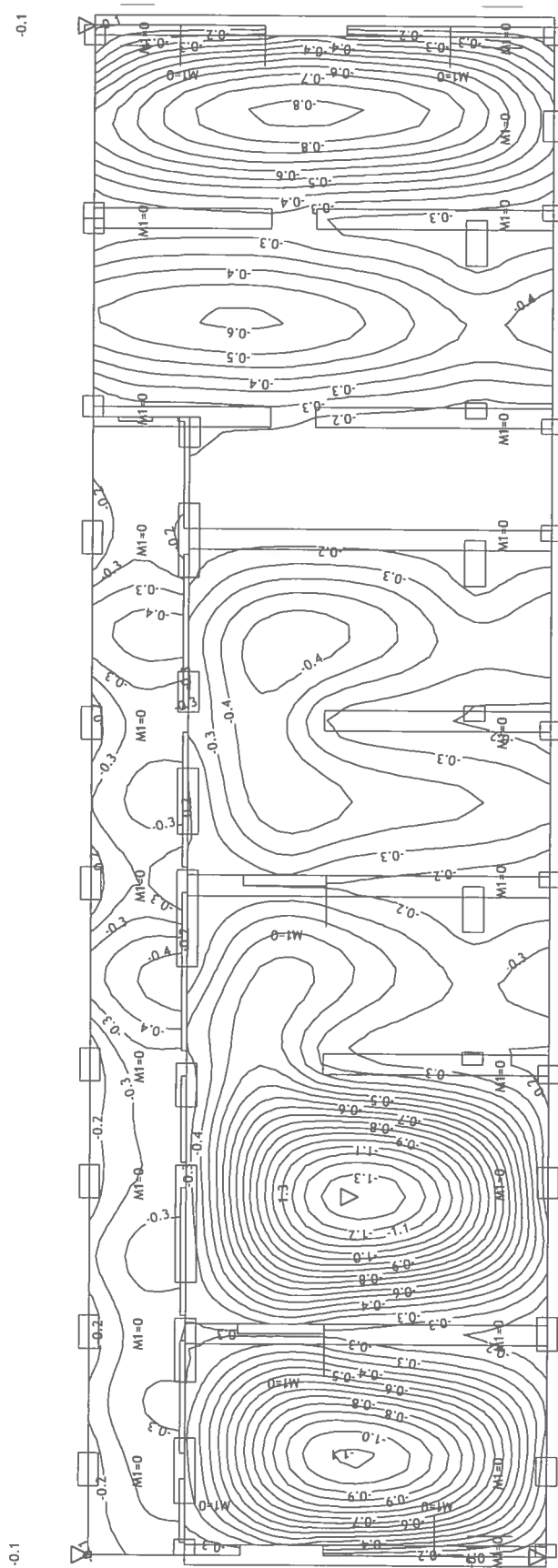
Obt. 9: [Ovo] 7,8



Nivo: nad 2N [8.60 m]

Vplivi v plošči: max My= 7.1 / min My= 0.0 kNm/m

Obt. 6: I+0.7xII+III+IV



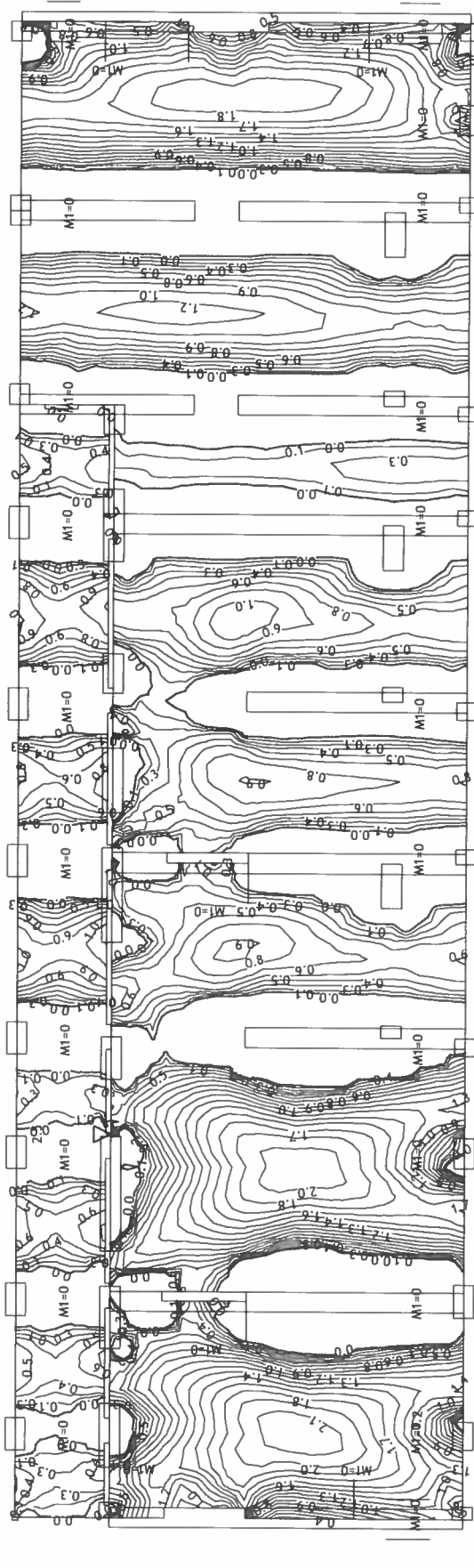
Nivo: nad 2N [8.60 m]

Vplivi v plošči: max Zp= -0.1 / min Zp= -1.3 m / 1000

**Dimenzioniranje (beton)**

Merodajna obtežba: 7,8

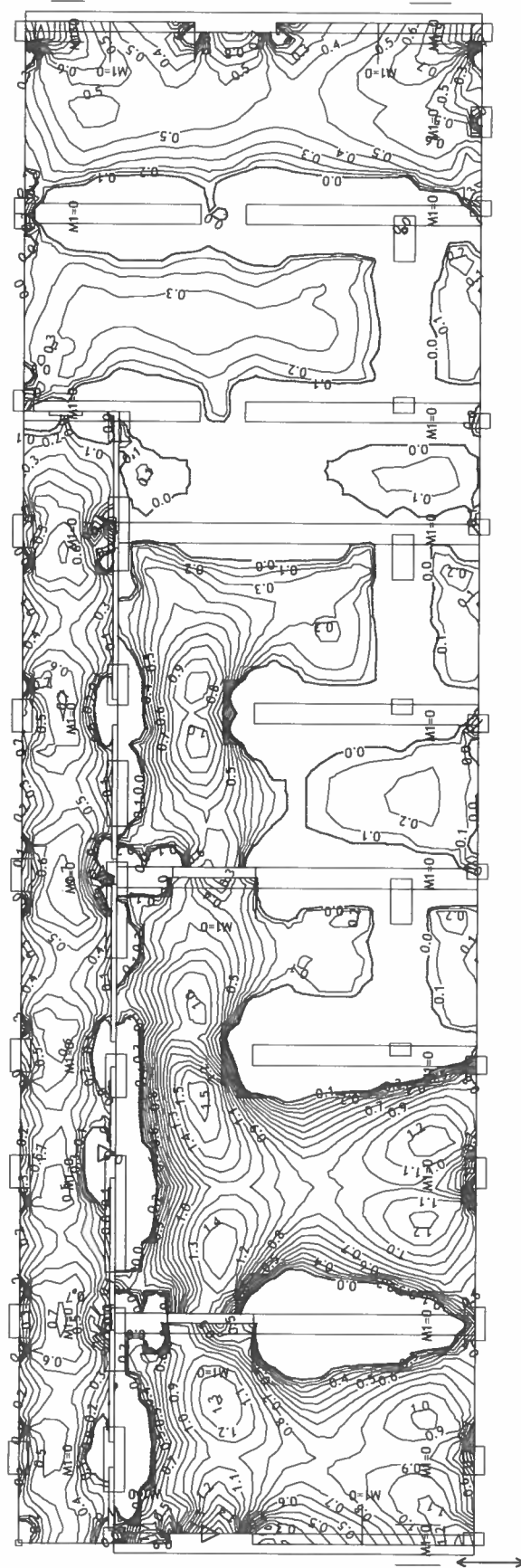
EC 2 (EN 1992-1-1:2004), C 30, S500H, a=3.00 cm



Nivo: nad 2N [8.60 m]

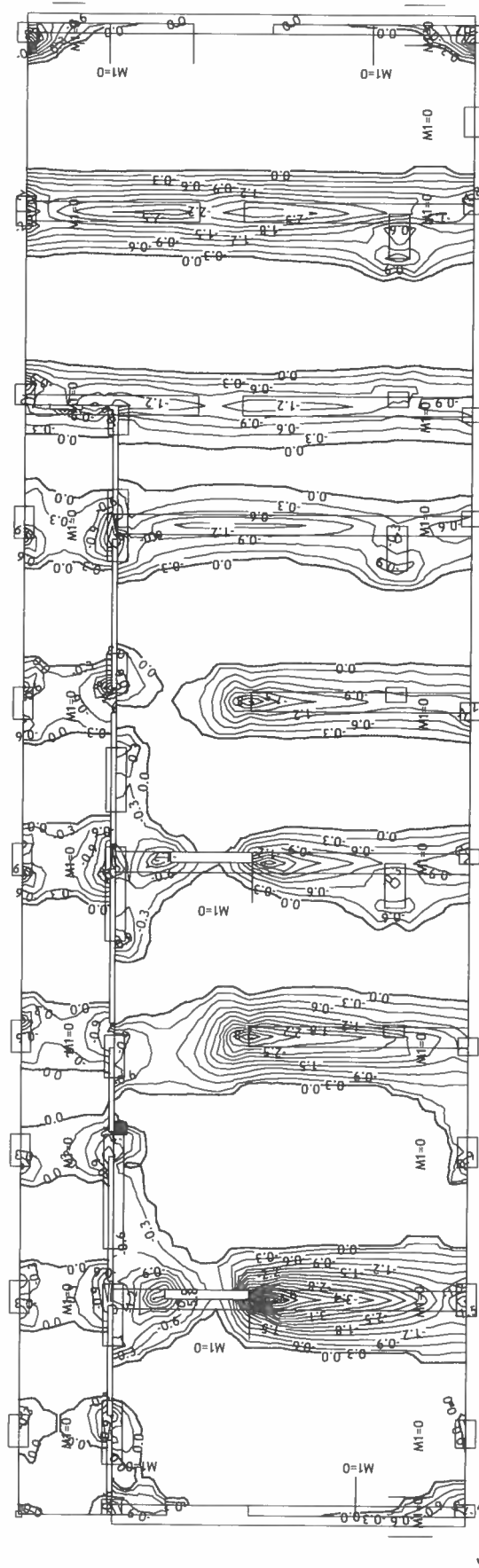
Aa - sp.cona - Smer 1 - max Aa1,s= 2.5 cm<sup>2</sup>/m

Merodajna obtežba: 7,8  
EC 2 (EN 1992-1-1:2004), C 30, S500H, a=3.00 cm



Nivo: nad 2N [8.60 m]  
Aa - sp.cona - Smer 2 - max Aa<sub>2,s</sub> = 1.7 cm<sup>2</sup>/m

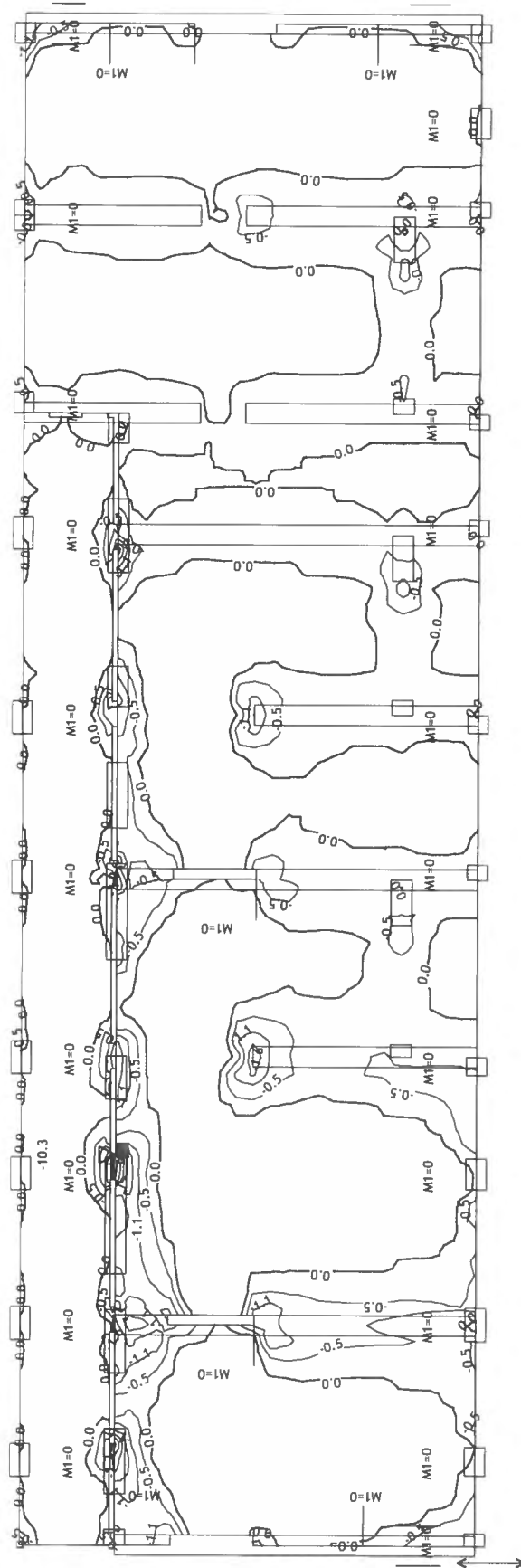
Merodajna obtežba: 7,8  
 EC 2 (EN 1992-1-1:2004), C 30, S500H, a=3.00 cm



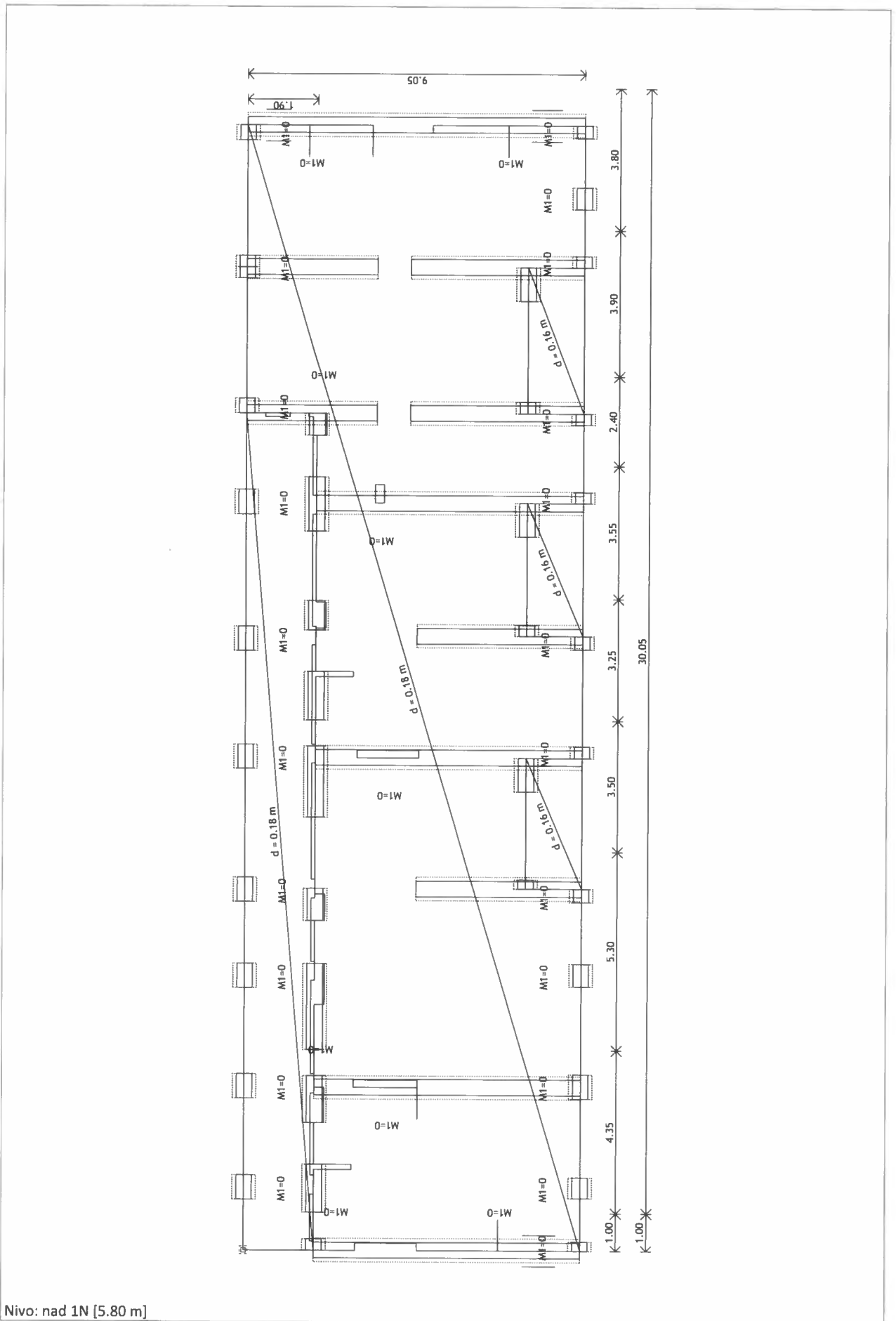
Nivo: nad 2N [8.60 m]

Aa - zg.cona - Smer 1 - max Aa1,z= -5.8 cm<sup>2</sup>/m

Merodajna obtežba: 7,8  
EC 2 (EN 1992-1-1:2004), C 30, S500H, a=3.00 cm



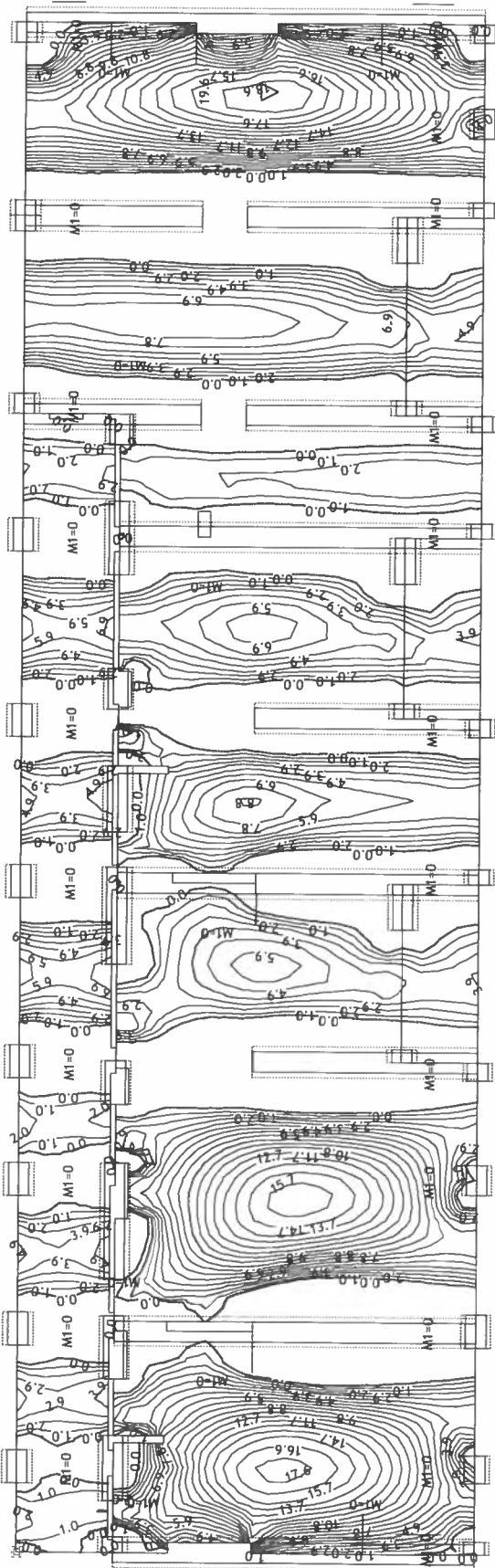
Nivo: nad 2N [8.60 m]  
Aa - zg.cona - Smer 2 - max Aa2,z= -10.3 cm<sup>2</sup>/m



Nivo: nad 1N [5.80 m]

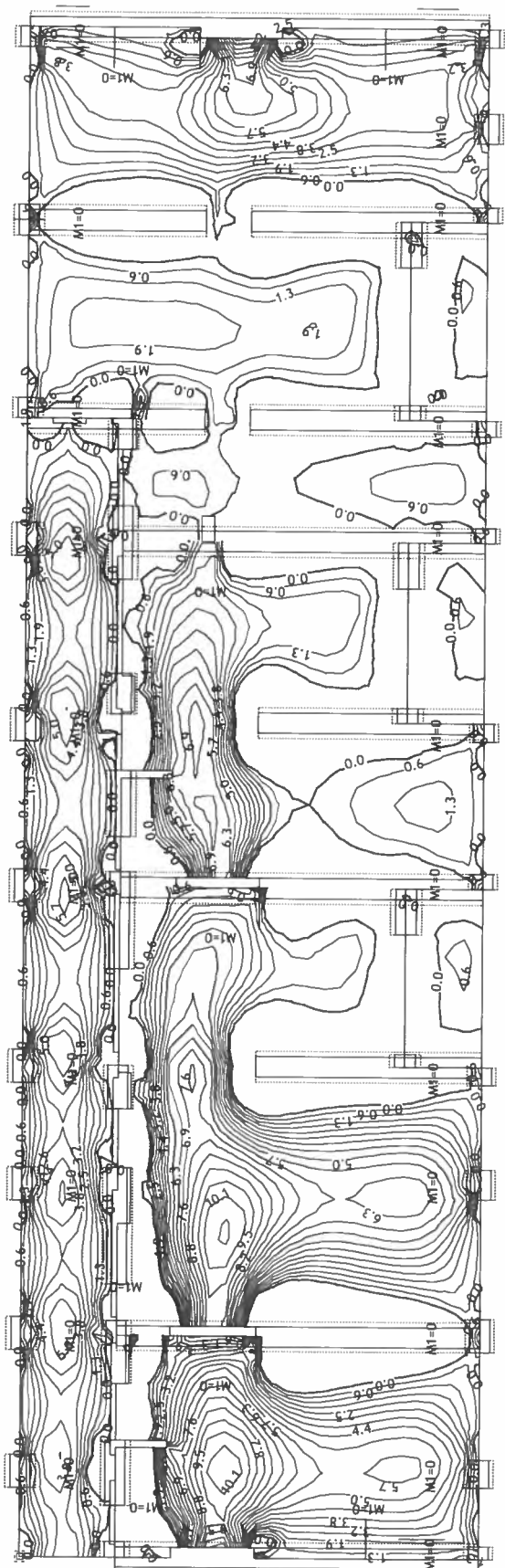
A10

Obt. 9: [Ovo] 7,8



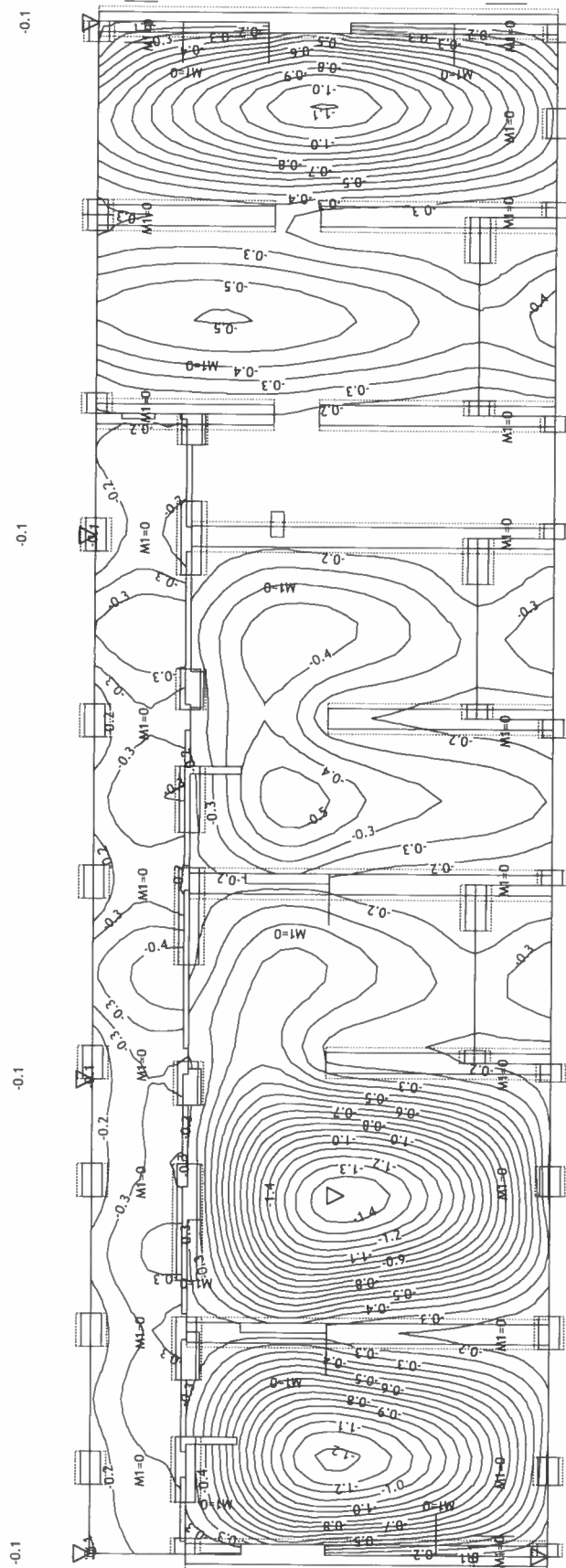
Nivo: nad 1N [5.80 m]  
Vplivi v plošči: max  $M_x = 19.6$  / min  $M_x = 0.0$  kNm/m

Obt. 9: [Ovo] 7,8



Nivo: nad 1N [5.80 m]  
Vplivi v plošči: max  $M_y = 12.6$  / min  $M_y = 0.0$  kNm/m

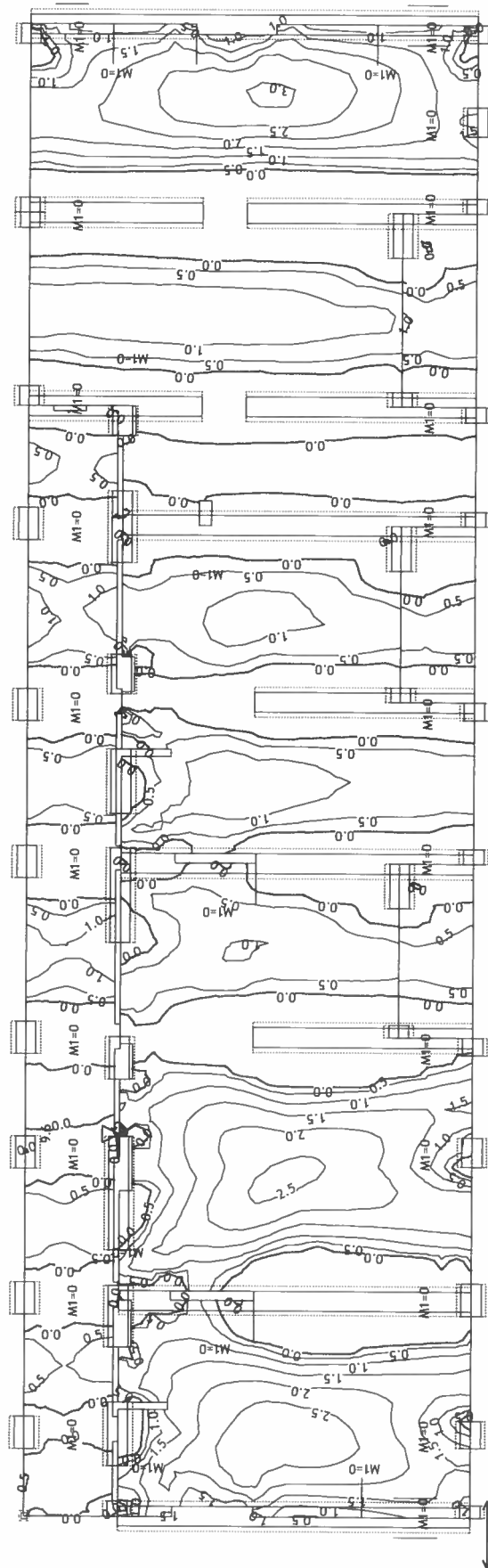
Obt. 6: I+0.7xII+III+IV



Nivo: nad 1N [5.80 m]

Vplivi v plošči: max Zp= -0.1 / min Zp= -1.4 m / 1000

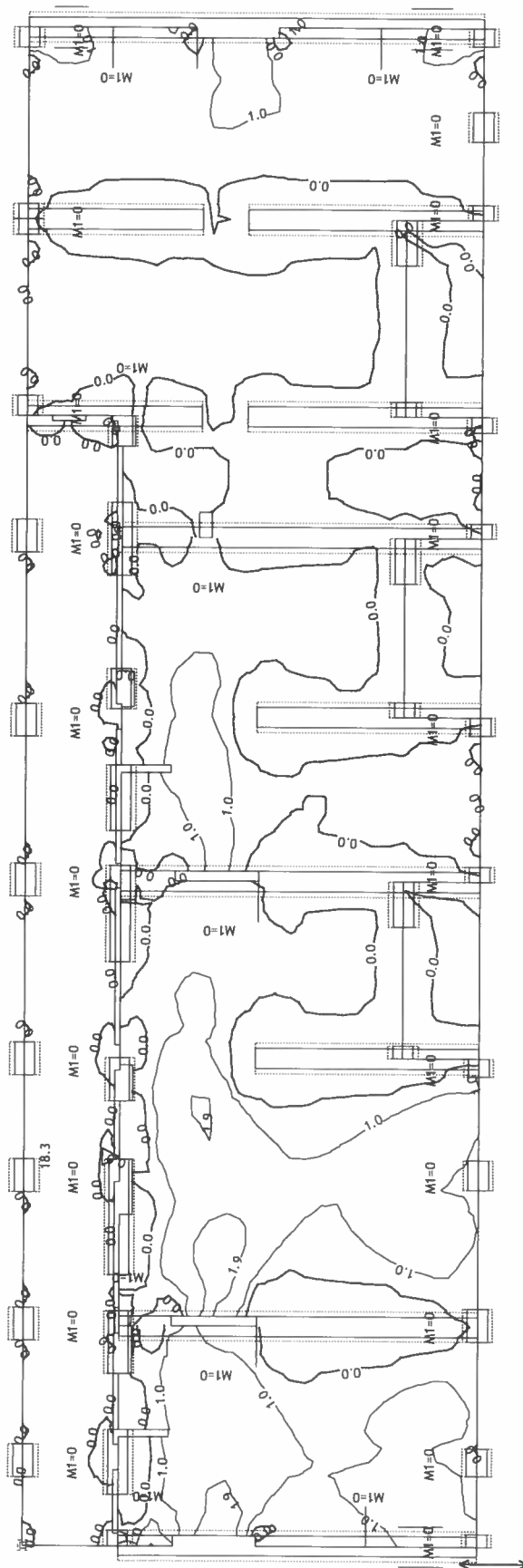
Merodajna obtežba: 7,8  
 EC 2 (EN 1992-1-1:2004), C 30, S500H, a=3.00 cm



Nivo: nad 1N [5.80 m]  
 Aa - sp.cona - Smer 1 - max Aa1,s= 9.6 cm<sup>2</sup>/m

AMS

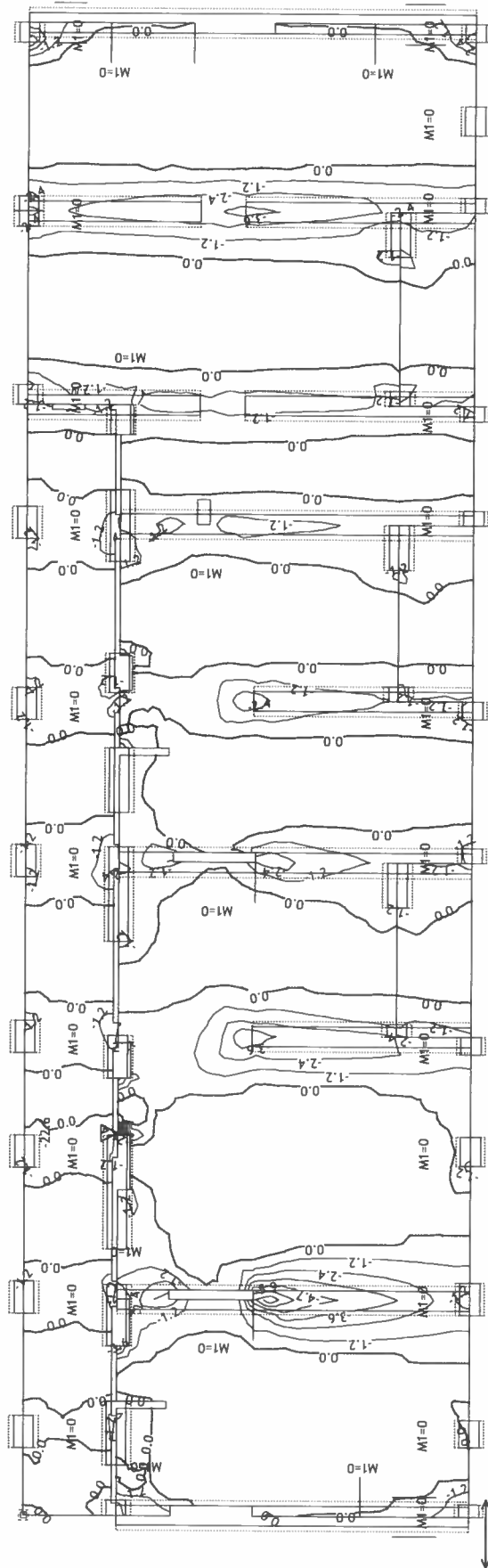
Merodajna obtežba: 7,8  
EC 2 (EN 1992-1-1:2004), C 30, S500H, a=3.00 cm



Nivo: nad 1N [5.80 m]  
Aa - sp.cona - Smer 2 - max Aa<sub>2,s</sub>= 18.3 cm<sup>2</sup>/m

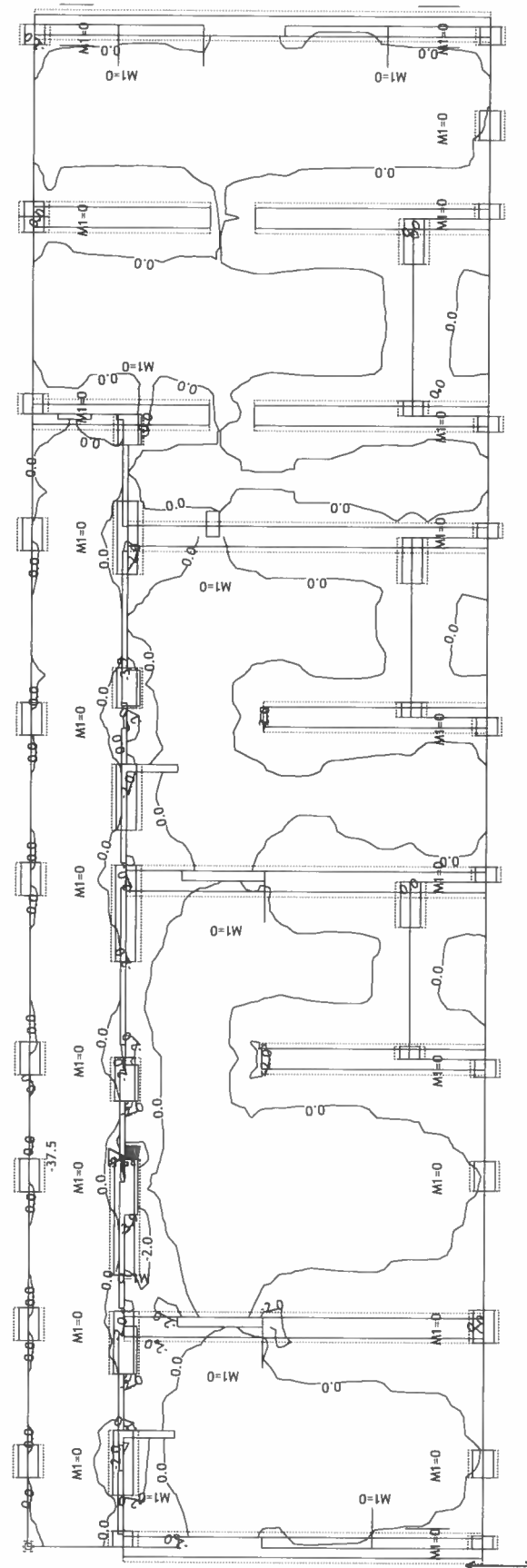
AM

Merodajna obtežba: 7,8  
 EC 2 (EN 1992-1-1:2004), C 30, S500H, a=3.00 cm

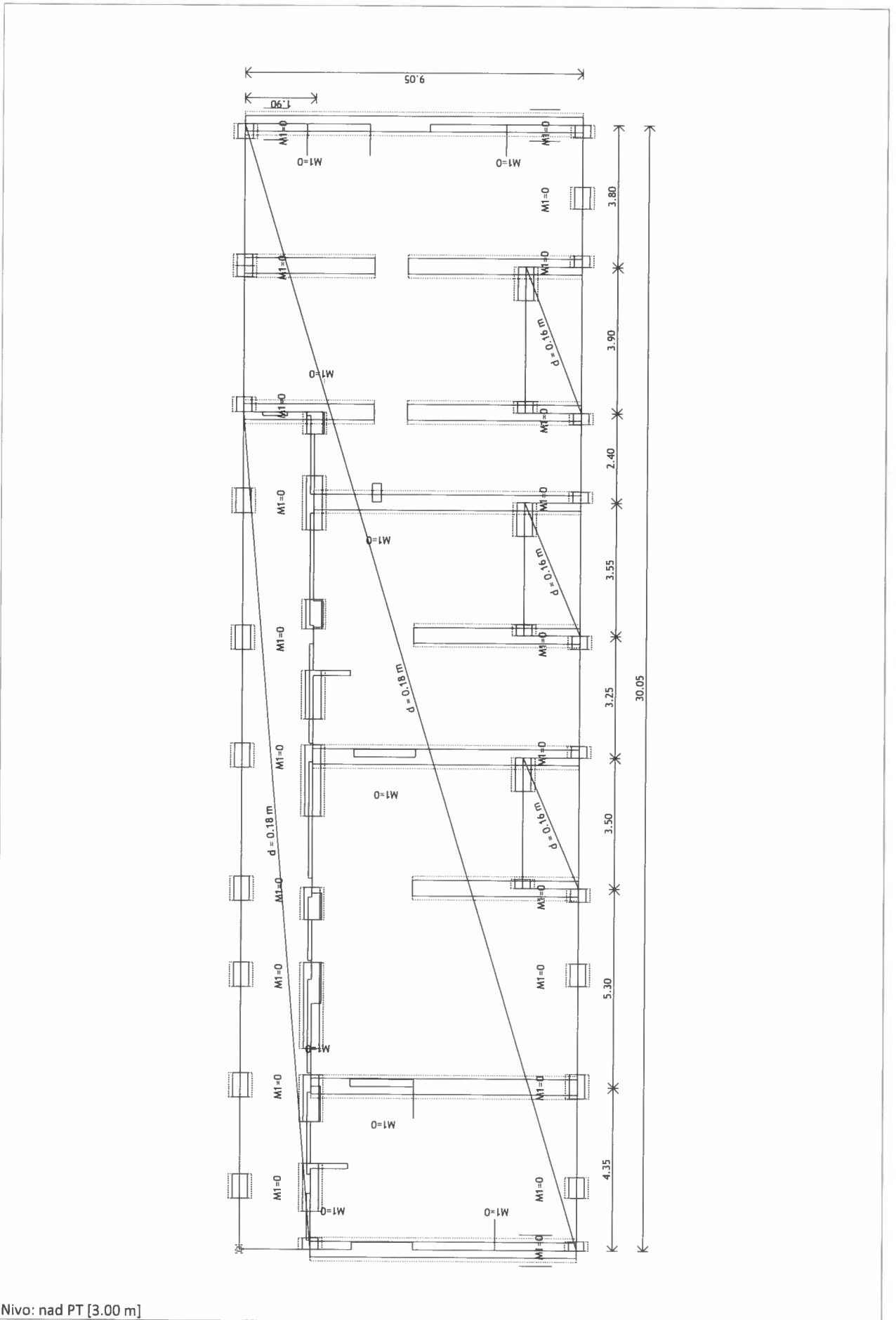


Nivo: nad 1N [5.80 m]  
 Aa - zg.cona - Smer 1 - max Aa1,z = -22.6 cm<sup>2</sup>/m

Merodajna obtežba: 7,8  
 EC 2 (EN 1992-1-1:2004), C 30, S500H, a=3.00 cm

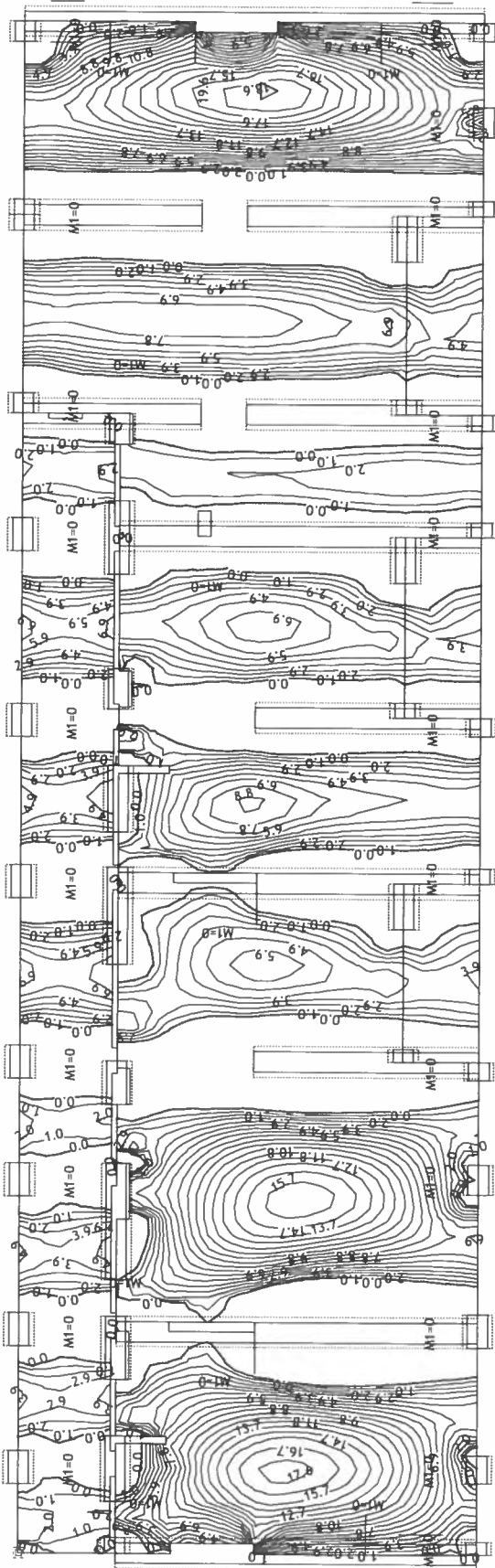


Nivo: nad 1N [5.80 m]  
 Aa - zg.cona - Smer 2 - max Aa2,z= -37.5 cm<sup>2</sup>/m



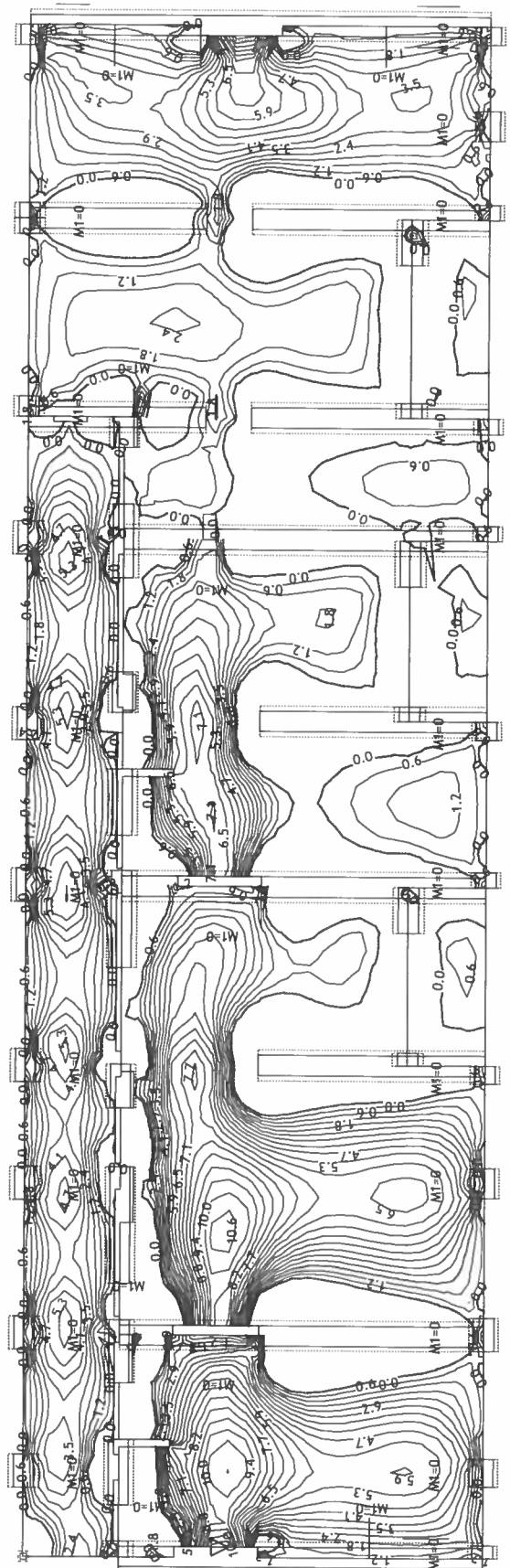
Nivo: nad PT [3.00 m]

Obt. 9: [Ovo] 7,8



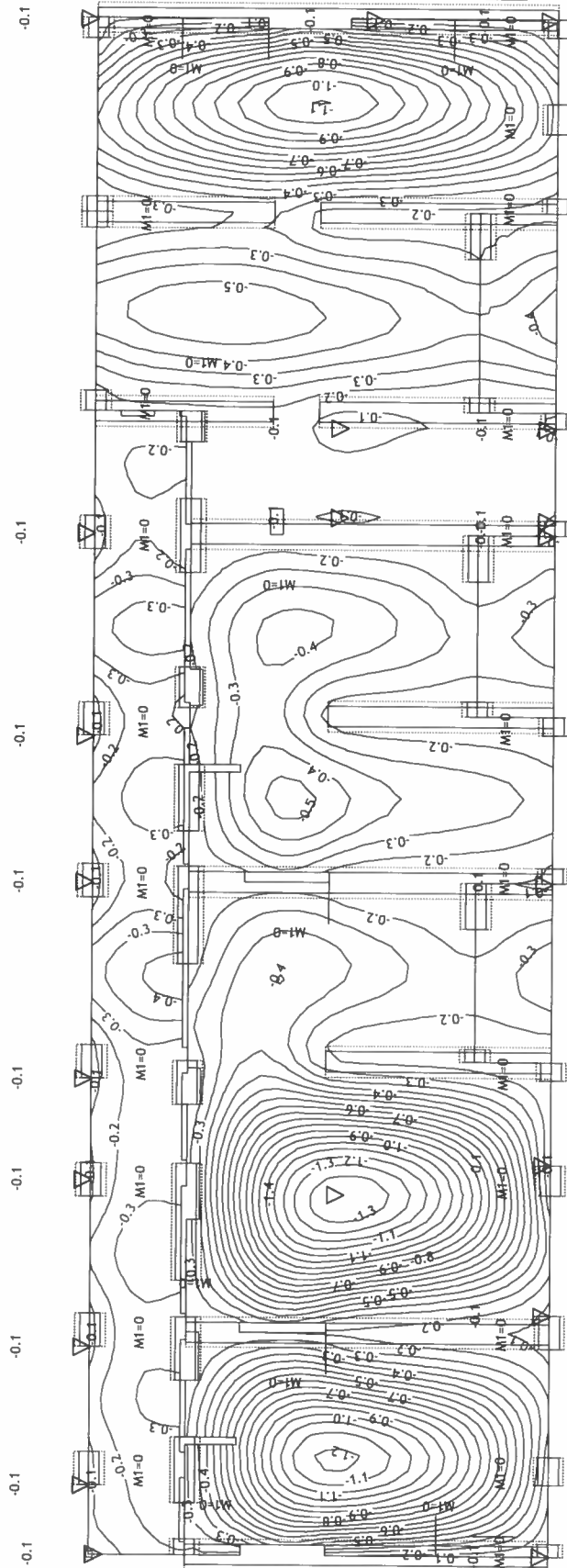
Nivo: nad PT [3.00 m]  
 Vplivi v plošči: max  $M_x = 19.6$  / min  $M_x = 0.0$  kNm/m

Obt. 9: [Ovo] 7,8



Nivo: nad PT [3.00 m]  
 Vplivi v plošči: max  $M_y = 11.8$  / min  $M_y = 0.0$  kNm/m

Obt. 6: I+0.7xII+III+IV

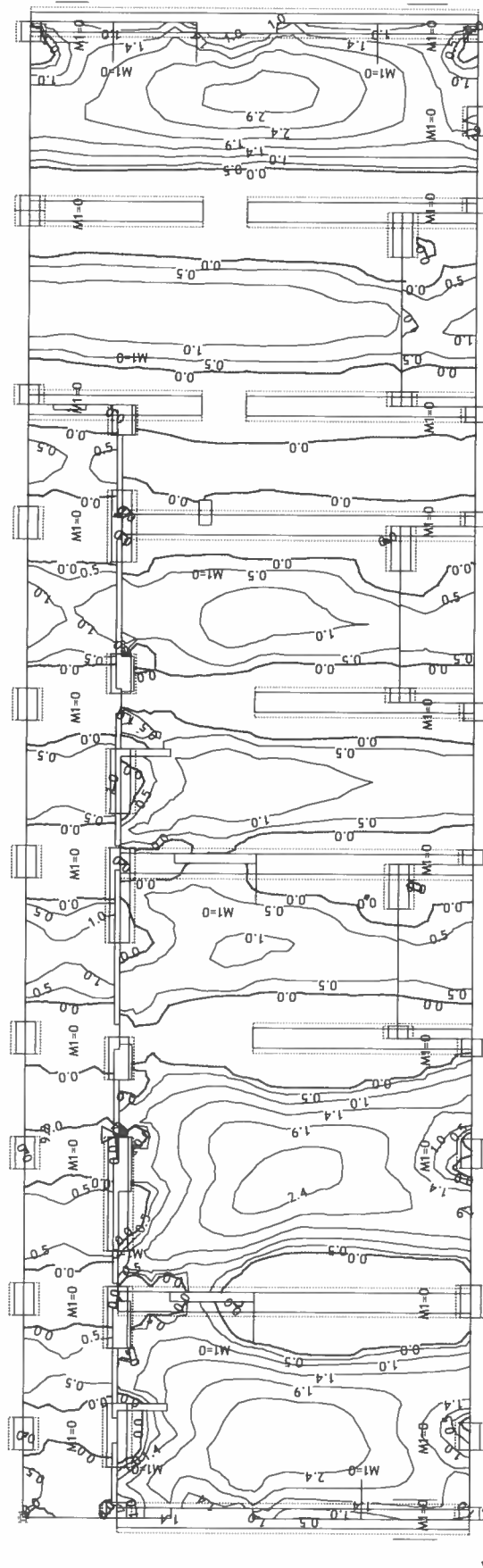


Nivo: nad PT [3.00 m]

Vplivi v plošči: max Zp= -0.1 / min Zp= -1.4 m / 1000

Merodajna obtežba: 7,8

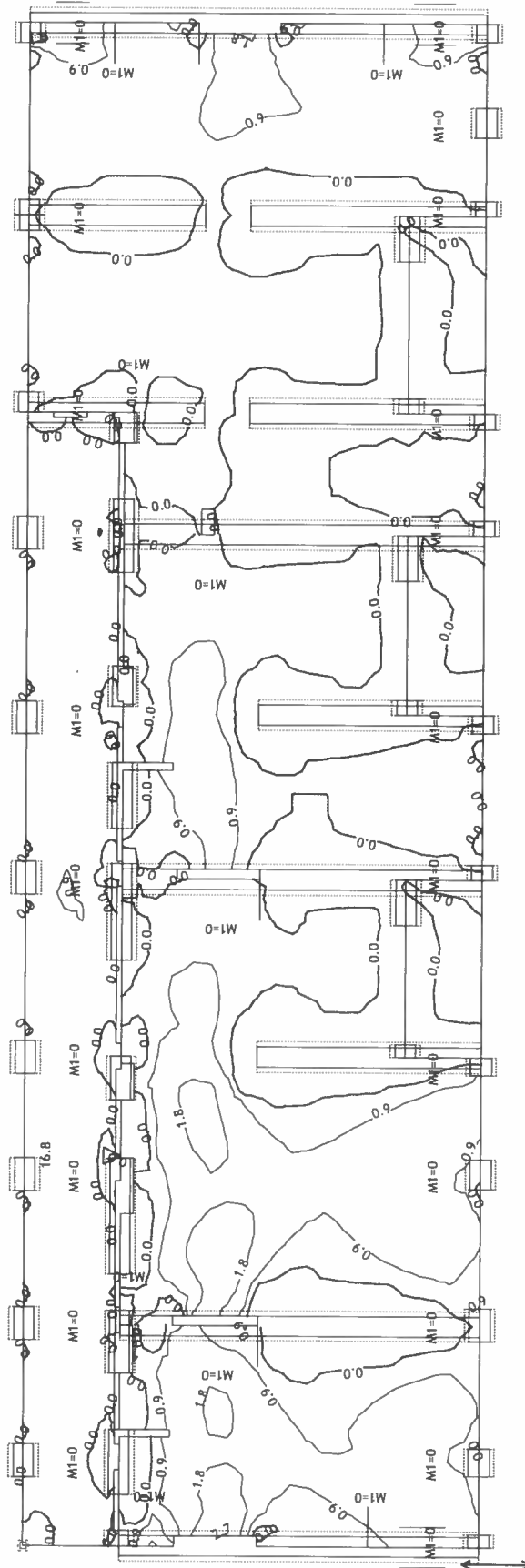
EC 2 (EN 1992-1-1:2004), C 30, S500H, a=3.00 cm



Nivo: nad PT [3.00 m]

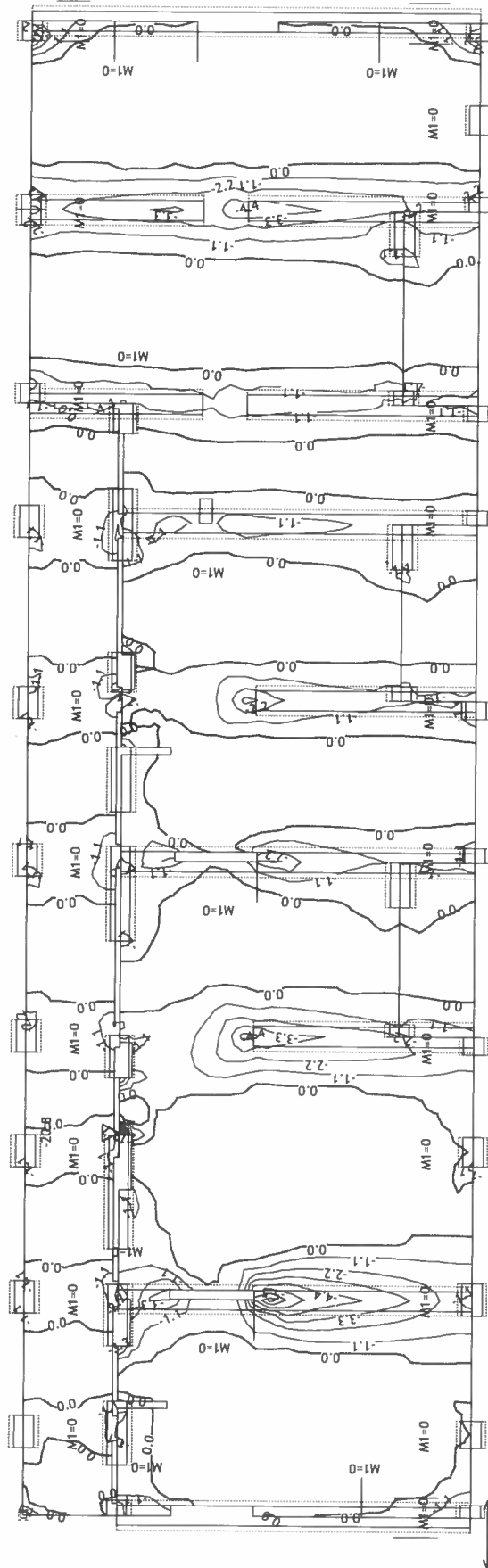
Aa - sp.cona - Smer 1 - max Aa1,s= 9.2 cm<sup>2</sup>/m

Merodajna obtežba: 7,8  
EC 2 (EN 1992-1-1:2004), C 30, S500H, a=3.00 cm



Nivo: nad PT [3.00 m]  
Aa - sp.cona - Smer 2 - max Aa2,s= 16.8 cm<sup>2</sup>/m

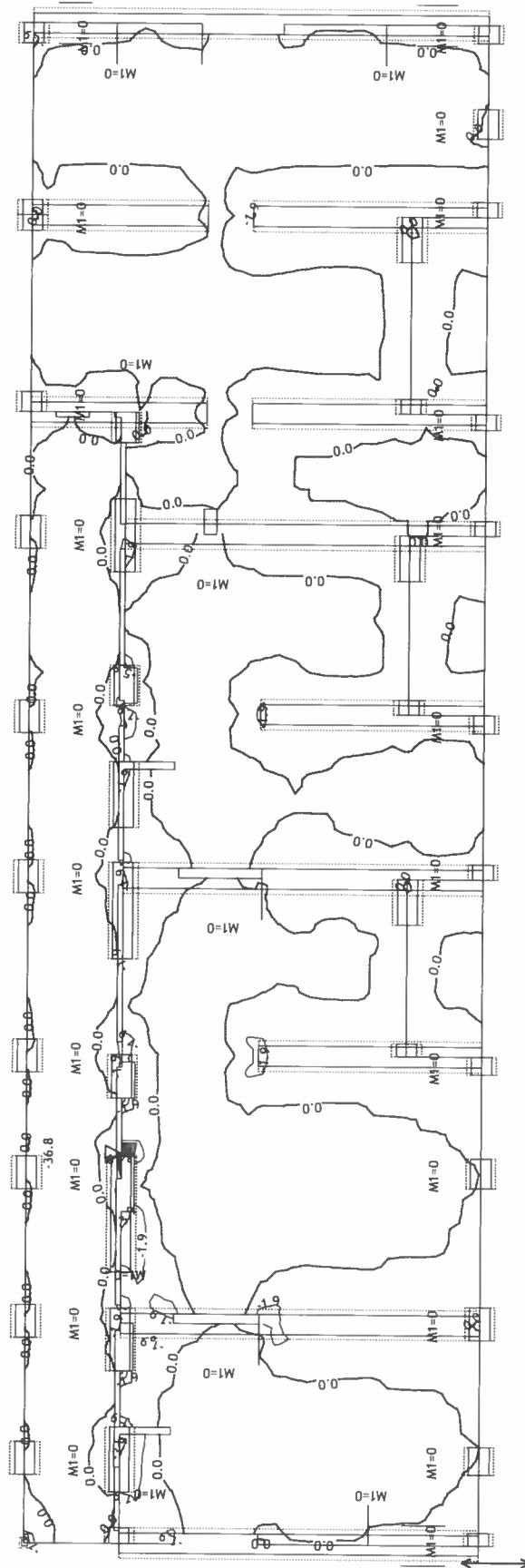
Merodajna obtežba: 7,8  
EC 2 (EN 1992-1-1:2004), C 30, S500H, a=3.00 cm



Nivo: nad PT [3.00 m]

Aa - zg.cona - Smer 1 - max Aa1,z = -20.8 cm<sup>2</sup>/m

Merodajna obtežba: 7,8  
EC 2 (EN 1992-1-1:2004), C 30, S500H, a=3.00 cm



Nivo: nad PT [3.00 m]  
Aa - zg.cona - Smer 2 - max Aa2,z = -36.8 cm<sup>2</sup>/m

A2

## 1.2 Seizmični izračun

### 1.2.1 Razred duktilnosti in faktor obnašanja

Za dimenzioniranje konstrukcije je izbran razred duktilnosti DCM. Faktor obnašanja je izrednoten za vse dilatacije objekta A.

Zasnova konstrukcijskega sistema uvršča stavbo med stenaste sisteme, za katere se faktor obnašanja skladno s SIST EN 1998-1, člen 5.2.2.2, določi kot

$$q_0 = 3 \cdot 0 \frac{\alpha_u}{\alpha_1}$$

$q_0$  ... osnovna vrednost faktorja obnašanja,  $\alpha_1$  ... faktor, ki določa nastanek prvega plastičnega členka,  $\alpha_u$  ... faktor, ki določa nastanek dovoljšnjega števila plastičnih členkov za nastop globalne nestabilnosti sistema

Za sistem povezanih sten, standard SIST EN 1998-1, člen 5.2.2.2 (5), določa vrednost faktorja

$$\frac{\alpha_u}{\alpha_1} = 1 \cdot 2.$$

Osnovna vrednost faktorja obnašanja je tako

$$q_0 = 3 \cdot 0 \frac{\alpha_u}{\alpha_1} = 3 \cdot 0 \cdot 1 \cdot 2 = 3 \cdot 6.$$

Na končno vrednost faktorja obnašanja vpliva tudi prevladujoč sistem rušenja, ki ga zajamemo s faktorjem  $k_w$ . Faktor izračunamo za vsako smer posebej, ter za dilatacijske enote posebej, saj je odvisen od števila in dimenzij sten, kar zajamemo s faktorjem  $\alpha_0$ .

#### Dilatacija A1:

Za smer x znaša

$$\alpha_{0,x} = \frac{\sum h_{wi}}{\sum l_{wi}} = \frac{32 \cdot 9 \cdot 0}{24 \cdot 92} = 1 \cdot 1 \cdot 5$$

$$0 \cdot 5 \leq k_{w,x} = \frac{1 + \alpha_{0,x}}{3} = 4 \cdot 17 \leq 1 \cdot 0$$

Za smer y pa

$$\alpha_{0,y} = \frac{9 \cdot 9 \cdot 0}{46,22} = 1 \cdot 75$$

$$0 \cdot 5 \leq k_{w,y} = \frac{1 + \alpha_{0,y}}{3} = 0 \cdot 9 \leq 1 \cdot 0.$$

Za geometrijo konstrukcije lahko rečemo, da je pravilna po višini. Računska vrednost faktorja obnašanja znaša tako

$$1 \cdot 5 \leq q_x = q_0 \cdot k_w = 3 \cdot 6 \cdot 1 \cdot 0 = 3 \cdot 6$$

$$1 \cdot 5 \leq q_y = q_0 \cdot k_w = 3 \cdot 6 \cdot 0 \cdot 9 = 3 \cdot 2$$

#### Dilatacija A2 = A5:

Za smer x znaša

$$\alpha_{0,x} = \frac{\sum h_{wi}}{\sum l_{wi}} = \frac{5 \cdot 9 \cdot 0}{13 \cdot 5} = 3 \cdot 33$$

$$0 \cdot 5 \leq k_{w,x} = \frac{1 + \alpha_{0,x}}{3} = 1 \cdot 44 \leq 1 \cdot 0$$

Za smer y pa

$$\alpha_{0,y} = \frac{5 \cdot 9'0}{14'98} = 3'00$$

$$0'5 \leq k_{w,y} = \frac{1 + \alpha_{0,y}}{3} = 1'33 \leq 1'0.$$

Za geometrijo konstrukcije lahko rečemo, da je pravilna po višini. Računska vrednost faktorja obnašanja znaša tako

$$1.5 \leq q_x = q_y = q_0 \cdot k_w = 3'6 \cdot 1'0 = 3'6$$

#### Dilatacija A3:

Za smer x znaša

$$\alpha_{0,x} = \frac{\sum h_{wi}}{\sum l_{wi}} = \frac{23 \cdot 9'0}{30'8} = 6'7$$

$$0'5 \leq k_{w,x} = \frac{1 + \alpha_{0,x}}{3} = 2'5 \leq 1'0$$

Za smer y pa

$$\alpha_{0,y} = \frac{6 \cdot 9'0}{38'19} = 1'4$$

$$0'5 \leq k_{w,y} = \frac{1 + \alpha_{0,y}}{3} = 0'8 \leq 1'0.$$

Za geometrijo konstrukcije lahko rečemo, da je pravilna po višini. Računska vrednost faktorja obnašanja znaša tako

$$1.5 \leq q_x = q_0 \cdot k_w = 3'6 \cdot 1'0 = 3'6$$

$$1.5 \leq q_y = q_0 \cdot k_w = 3'6 \cdot 0'8 = 2'9$$

#### Dilatacija A4:

Za smer x znaša

$$\alpha_{0,x} = \frac{\sum h_{wi}}{\sum l_{wi}} = \frac{28 \cdot 9'0}{33.08} = 7'6$$

$$0'5 \leq k_{w,x} = \frac{1 + \alpha_{0,x}}{3} = 2'8 \leq 1'0$$

Za smer y pa

$$\alpha_{0,y} = \frac{7 \cdot 9'0}{36,02} = 1'7$$

$$0'5 \leq k_{w,y} = \frac{1 + \alpha_{0,y}}{3} = 0'9 \leq 1'0.$$

Za geometrijo konstrukcije lahko rečemo, da je pravilna po višini. Računska vrednost faktorja obnašanja znaša tako

$$1.5 \leq q_x = q_0 \cdot k_w = 3'6 \cdot 1'0 = 3'6$$

$$1.5 \leq q_y = q_0 \cdot k_w = 3'6 \cdot 0'9 = 3'2$$

#### Dilatacija A6:

Za smer x znaša

$$\alpha_{0,x} = \frac{\sum h_{wi}}{\sum l_{wi}} = \frac{29 \cdot 9'0}{30.03} = 8,7$$

$$0'5 \leq k_{w,x} = \frac{1 + \alpha_{0,x}}{3} = 3'2 \leq 1'0$$

Za smer y pa

$$\alpha_{0,y} = \frac{9,90}{61,26} = 1,3$$

$$0,5 \leq k_{w,y} = \frac{1+\alpha_{0,y}}{3} = 0,77 \leq 1,0.$$

Za geometrijo konstrukcije lahko rečemo, da je pravilna po višini. Računska vrednost faktorja obnašanja znaša tako

$$1,5 \leq q_x = q_0 \cdot k_w = 3,6 \cdot 1,0 = 3,6$$

$$1,5 \leq q_y = q_0 \cdot k_w = 3,6 \cdot 0,77 = 2,8$$

Preglednica 1: Faktorji obnašanja za dilatacijske enote

Dilatacijska enota	$q_x$	$q_y$
1	3,6	3,2
2 = 5	3,6	3,6
3	3,6	2,9
4	3,6	3,2
6	3,6	2,8

### 1.2.2 Omejitev poškodb

Standard SIST EN 1998-1 omejuje etažne pomike. Etažni pomiki konstrukcije pri potresni analizi ob upoštevanju faktorja  $q = 1$ .

Da preprečimo pretirane poškodbe konstrukcije, standard SIST EN 1998-1 člen 4.4.3, omeji velikost pomikov z enačbo:

$$d_r \cdot v \leq \alpha h \rightarrow \frac{d_r}{h} \leq \frac{\alpha}{v}$$

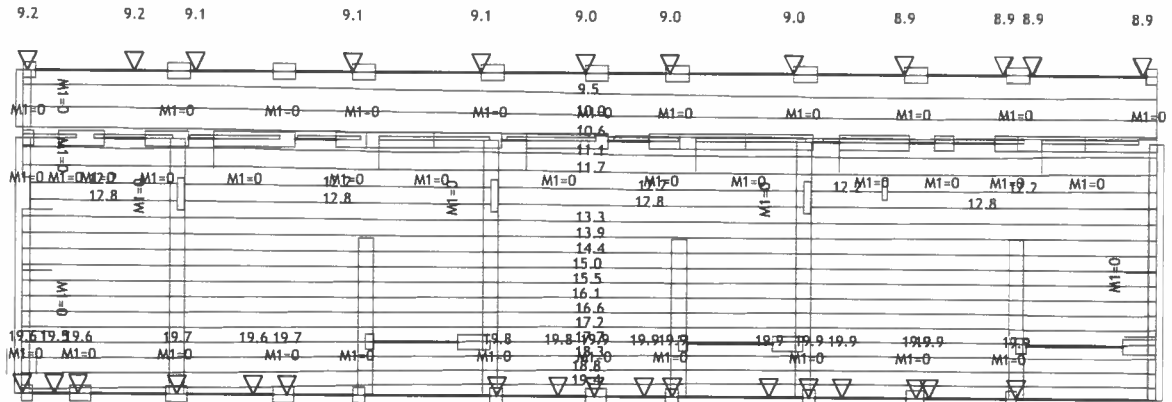
$d_r$  ... projektni etažni pomik, določen kot razlika med povprečnima vodoravnima pomikoma  $d_s$ , na vrhu in dnu etaže,  $h$  ... etažna višina,  $v$  ... redukcijski faktor, ki upošteva manjšo povratno dobo potresa (standard za kategorijo pomembnosti II priporoča vrednost 0,5,  $\alpha$  ... faktor, odvisen od duktilnosti nekonstrukcijskih elementov ( $\alpha = 0,005$  za nekonstrukcijske elemente iz krhkih materialov,  $\alpha = 0,0075$  za duktilne nekonstrukcijske elemente,  $\alpha = 0,010$  za nekonstrukcijske elemente na katere deformacije konstrukcije ne vplivajo)

Etažni zamiki konstrukcije so zbrani v preglednici v nadaljevanju:

etaža i	zi (m)	hi (m)	Potres v X smeri				Potres v Y smeri				Ex + 0,3 Ey		0,3 Ex + Ey		v*d <sub>max</sub> (mm)	0,005*hi (mm)	Kontrola	Kategorija pomembnost	
			U <sub>XEx</sub> (mm)	U <sub>YEx</sub> (mm)	d <sub>rXEx</sub> (mm)	d <sub>rYEx</sub> (mm)	U <sub>XEy</sub> (mm)	U <sub>YEy</sub> (mm)	d <sub>rXEy</sub> (mm)	d <sub>rYEy</sub> (mm)	d <sub>x</sub> (mm)	d <sub>y</sub> (mm)	d <sub>x</sub> (mm)	d <sub>y</sub> (mm)				v	v =
2 nad	8,92	2,80	19,90	4,30	5,30	1,30	8,00	44,40	1,80	13,40	5,84	5,32	3,39	13,79	7,10	14,00	OK	q =	0,5
1 nad	6,12	2,82	14,60	3,00	5,80	1,40	6,20	31,00	2,30	13,00	6,49	5,30	4,04	13,42	7,01	14,10	OK		1,0
nad pt	3,30	3,30	8,80	1,60	8,80	1,60	3,90	18,00	3,90	18,00	9,97	7,00	6,54	18,48	9,80	16,50	OK		
temelji	0,00																		

OBJEKT A - díl 1

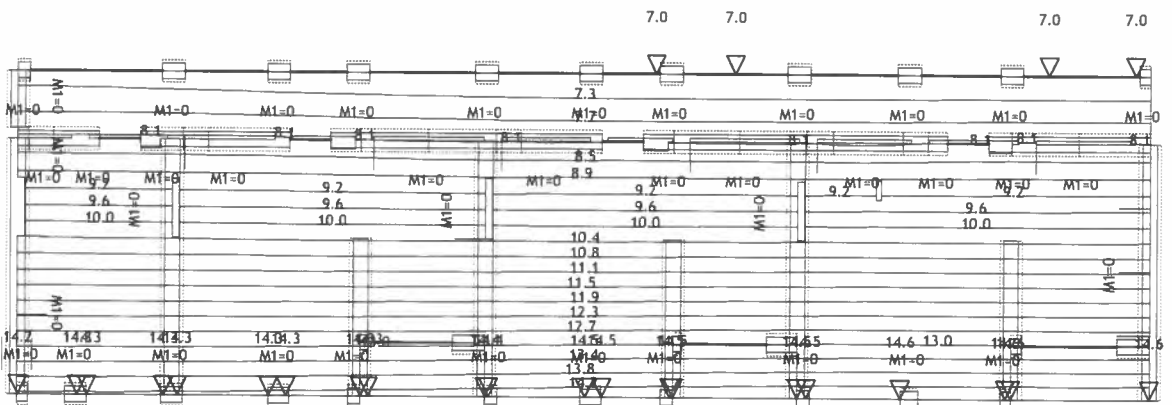
Obt. 5: smer x (+e)



Nivo: nad 2N [8.90 m]

Vplivi v plošči: max Xp= 19.9 / min Xp= 8.9 m / 1000

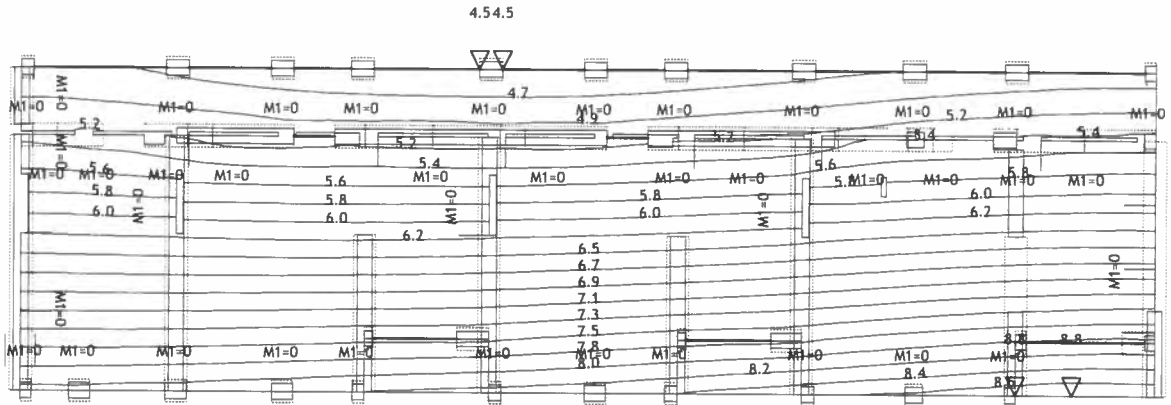
Obt. 5: smer x (+e)



Nivo: nad 1N [6.05 m]

Vplivi v plošči: max Xp= 14.6 / min Xp= 7.0 m / 1000

Obt. 5: smer x (+e)



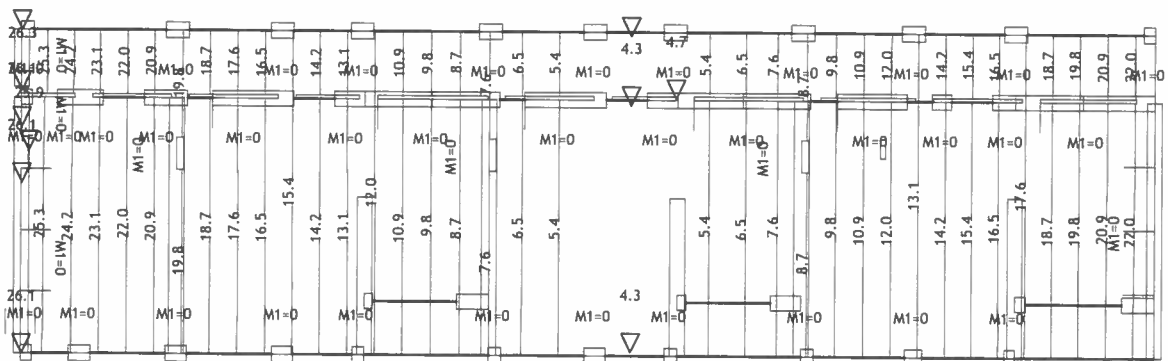
Nivo: nad PT [3.25 m]

Vplivi v plošči: max Xp= 8.8 / min Xp= 4.5 m / 1000

Obt. 5: smer x (+e)

26.4

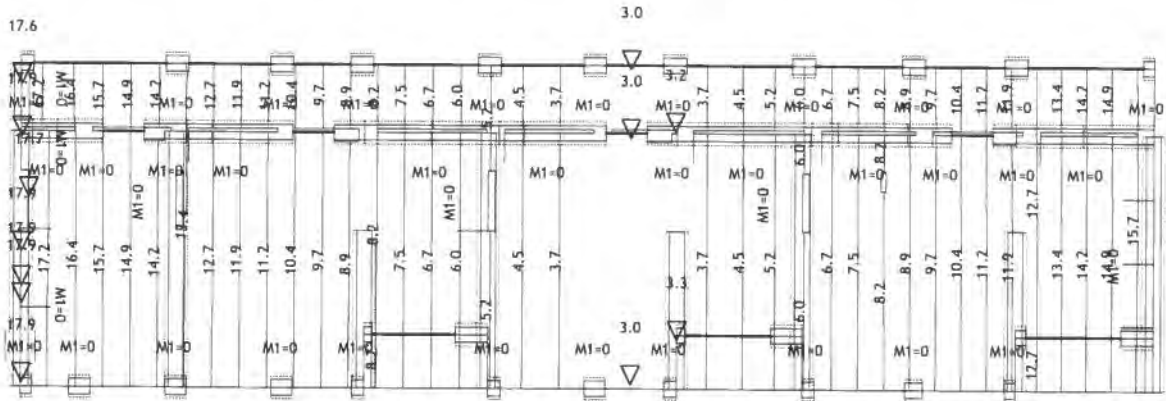
4.3



Nivo: nad 2N [8.90 m]

Vplivi v plošči: max Yp= 26.4 / min Yp= 4.3 m / 1000

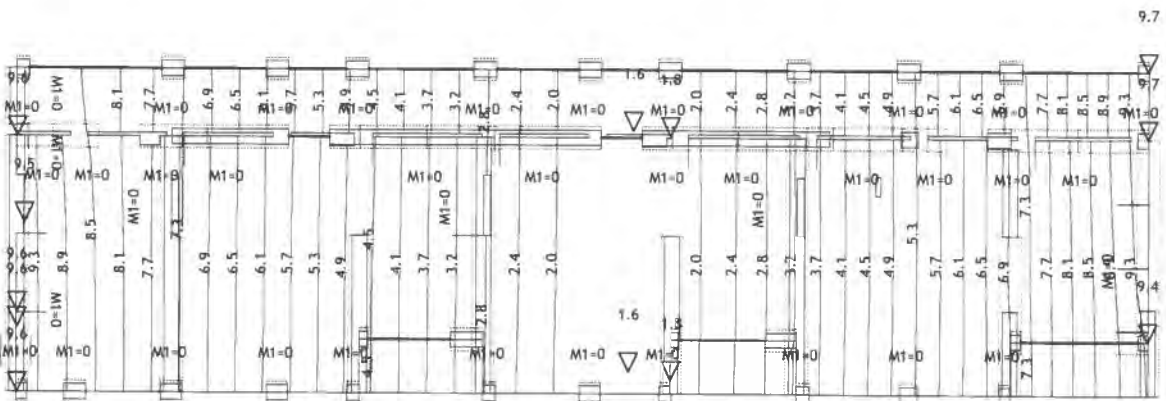
Obt. 5: smer x (+e)



Nivo: nad 1N [6.05 m]

Vplivi v plošči: max  $Y_p = 17.9$  / min  $Y_p = 3.0$  m / 1000

Obt. 5: smer x (+e)

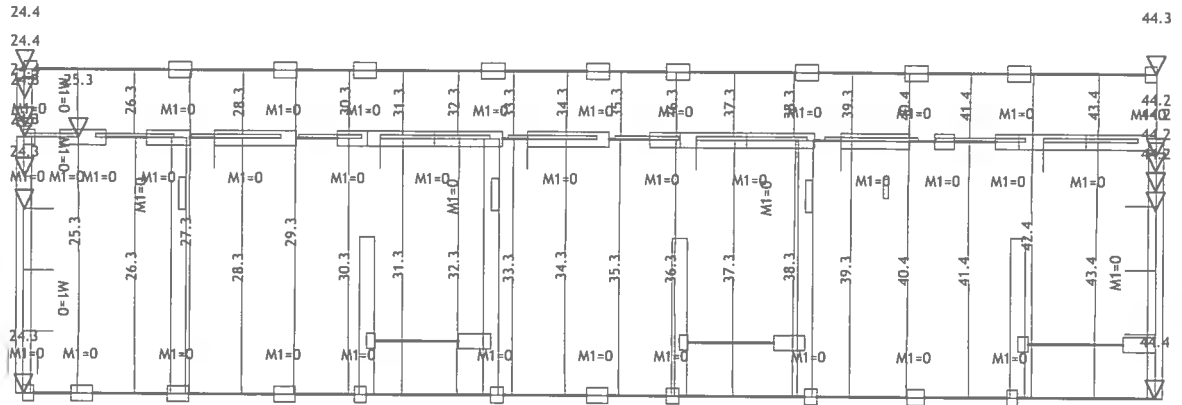


Nivo: nad PT [3.25 m]

Vplivi v plošči: max  $Y_p = 9.7$  / min  $Y_p = 1.6$  m / 1000

A30

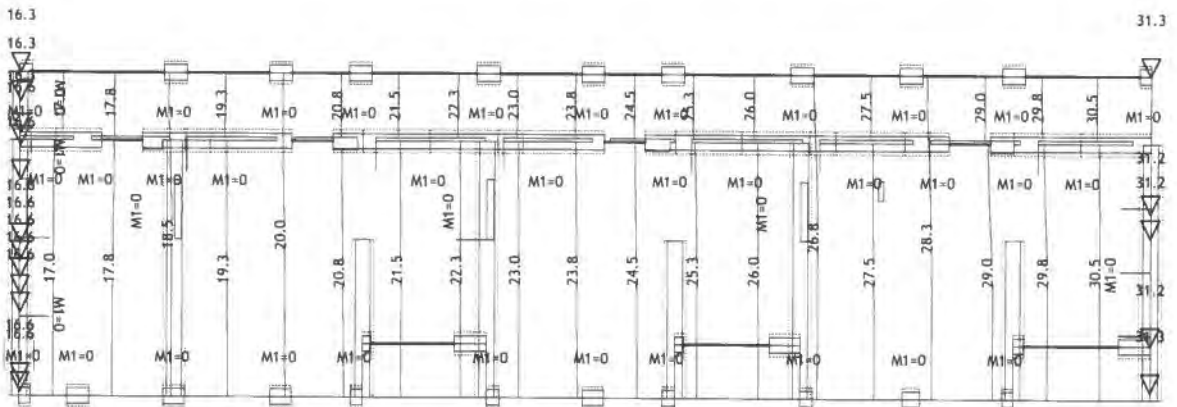
Obt. 7: smer y (+e)



Nivo: nad 2N [8.90 m]

Vplivi v plošči: max  $Y_p = 44.4$  / min  $Y_p = 24.3$  m / 1000

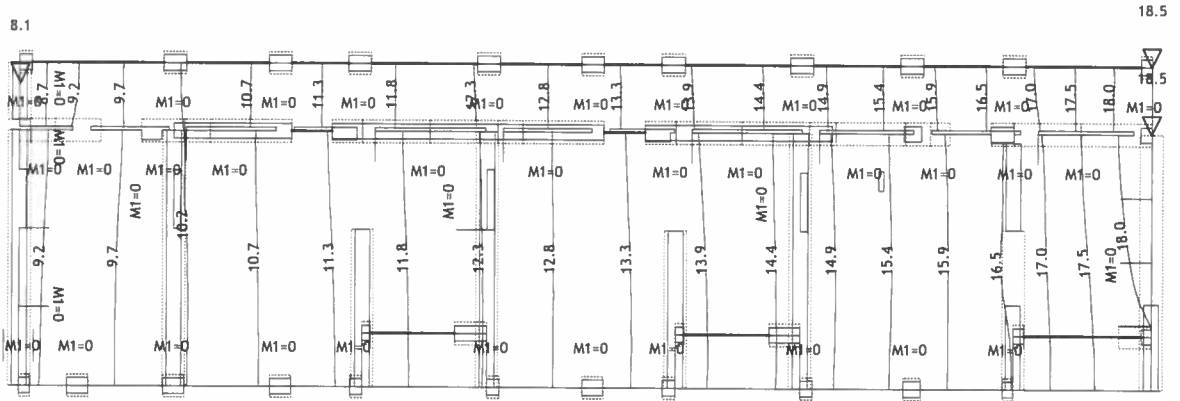
Obt. 7: smer y (+e)



Nivo: nad 1N [6.05 m]

Vplivi v plošči: max  $Y_p = 31.3$  / min  $Y_p = 16.3$  m / 1000

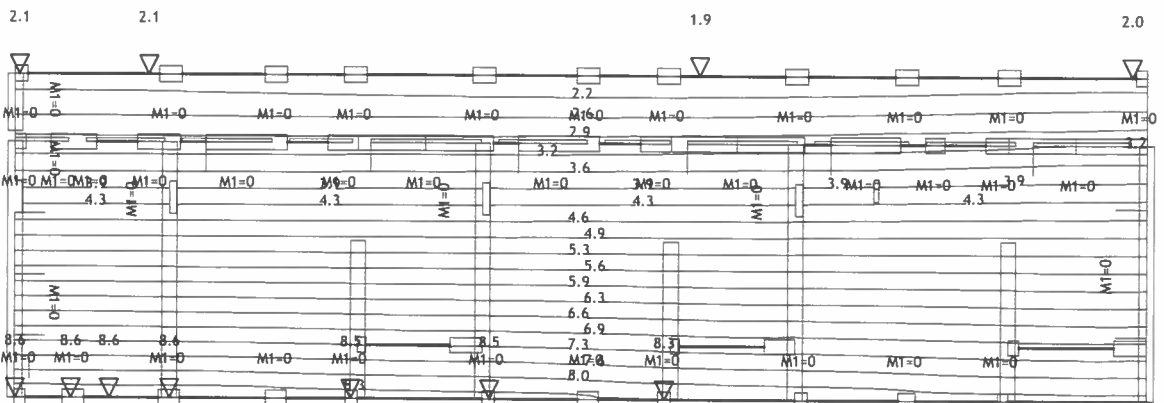
Obt. 7: smer y (+e)



Nivo: nad PT [3.25 m]

Vplivi v plošči: max Yp= 18.5 / min Yp= 8.1 m / 1000

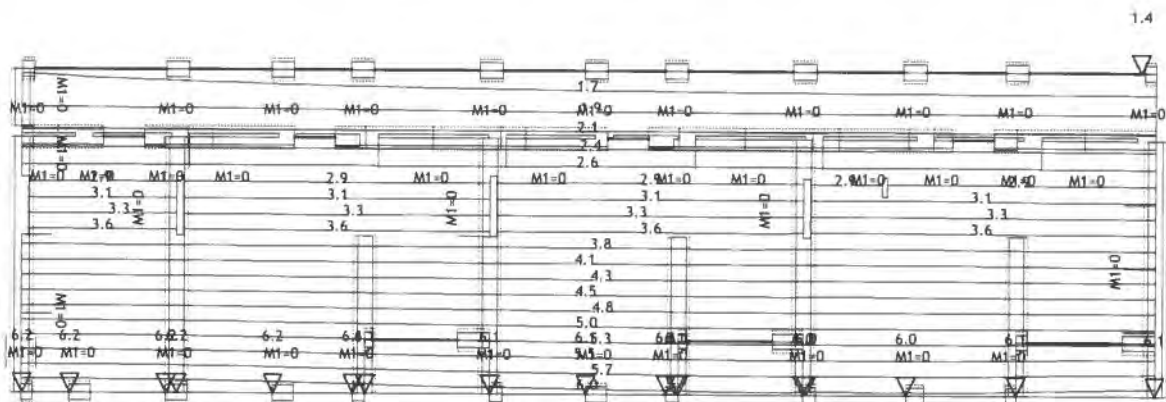
Obt. 7: smer y (+e)



Nivo: nad 2N [8.90 m]

Vplivi v plošči: max Xp= 8.6 / min Xp= 1.9 m / 1000

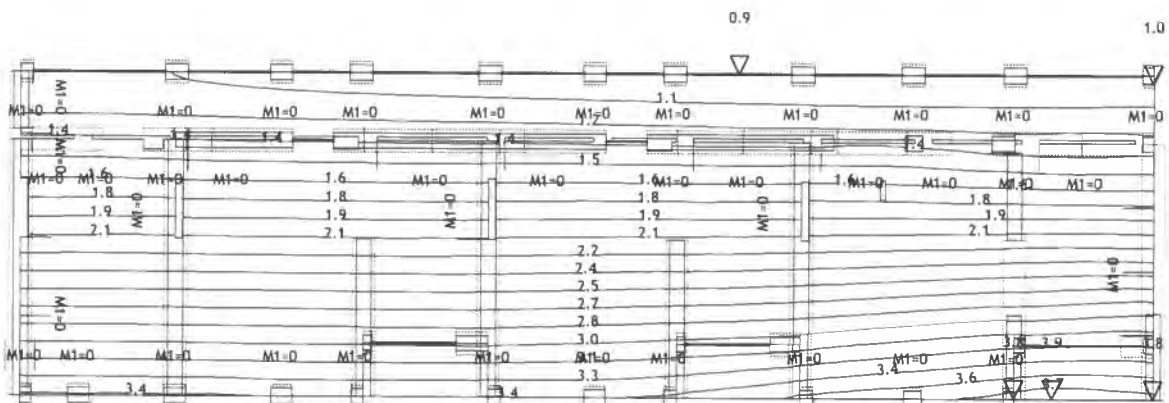
Obt. 7: smer y (+e)



Nivo: nad 1N [6.05 m]

Vplivi v plošči: max  $X_p = 6.2$  / min  $X_p = 1.4$  m / 1000

Obt. 7: smer y (+e)



Nivo: nad PT [3.25 m]

Vplivi v plošči: max  $X_p = 3.9$  / min  $X_p = 0.9$  m / 1000

**Modalna analiza***Faktorji obtežb za preračun mas*

No	Naziv	Koeficient	
1	I.t. + stalna (g)	1.00	
2	koristna	0.30	$\phi$
3	sneg	0.00	
4	I.t. temeljne plošče	0.00	

*Dejavniki etaž za preračun mas*

Nivo	Z [m]	$\phi$
nad 2N	8.90	1.00
nad 1N	6.05	0.50
nad PT	3.25	0.50

*Razporeditev mas po višini objekta*

Nivo	Z [m]	X [m]	Y [m]	Masa [T]	T/m <sup>2</sup>
nad 2N	8.90	15.94	4.38	286.52	1.01
nad 1N	6.05	15.57	4.61	363.79	1.29
nad PT	3.25	15.46	4.75	773.53	2.73
Skupno:	5.10	15.58	4.64	1423.84	

*Položaj centra togosti po višini objekta (točna metoda)*

Nivo	Z [m]	X [m]	Y [m]
nad 2N	8.90	14.90	9.41
nad 1N	6.05	14.69	9.19
nad PT	3.25	14.05	8.15

*Ekscentriciteta po višini objekta (točna metoda)*

Nivo	Z [m]	e <sub>ox</sub> [m]	e <sub>oy</sub> [m]
nad 2N	8.90	1.04	5.03
nad 1N	6.05	0.88	4.58
nad PT	3.25	1.41	3.40

*Nihajne dobe konstrukcije*

No	T [s]	f [Hz]	No	T [s]	f [Hz]	No	T [s]	f [Hz]
1	0.3282	3.0466	8	0.0453	22.0787	15	0.0278	35.9145
2	0.3036	3.2939	9	0.0420	23.8225	16	0.0277	36.1327
3	0.1780	5.6173	10	0.0376	26.5946	17	0.0263	38.0552
4	0.0755	13.2430	11	0.0348	28.7342	18	0.0255	39.2387
5	0.0713	14.0206	12	0.0331	30.2142	19	0.0243	41.0907
6	0.0563	17.7610	13	0.0314	31.8778	20	0.0233	42.9789
7	0.0492	20.3065	14	0.0303	32.9634			

*Tlorisna pravilnost*

Z [m]	e <sub>ox</sub> [m]	e <sub>oy</sub> [m]	r <sub>x</sub> [m]	r <sub>y</sub> [m]	l <sub>s</sub> [m]	e <sub>ox</sub> ≤ 0.3r <sub>x</sub>	e <sub>oy</sub> ≤ 0.3r <sub>y</sub>	r <sub>x</sub> > l <sub>s</sub>	r <sub>y</sub> > l <sub>s</sub>
8.90	1.04	5.03	12.95	10.29	9.80	Da	Ne	Da	Da
6.05	0.88	4.58	12.63	10.46	9.91	Da	Ne	Da	Da
3.25	1.41	3.40	11.73	10.93	9.72	Da	Ne	Da	Da

**Seizmični preračun**

Seizmični preračun: EC8 (EN 1998) SLO

Kategorija tal: D  
 Kategorija pomena: II ( $\gamma=1.0$ )  
 Razmerje  $a_g/g$ : 0.25  
 Koefficient dušenja: 0.05  
 Slučajna ekscentričnost mase etaže:  $e_i = \pm 0.050 \times L_i$

**Faktorji smeri potresa:**

Obtežni primer	Kot $\alpha$ [°]	$k, \alpha$	$k, \alpha+90^\circ$	$k_z$	Faktor O.
smer x	0	1.000	0.000	0.000	3.600
smer y	90	1.000	0.000	0.000	3.200

**Tip spektra**

Obtežni primer	S	Tb	Tc	Td
smer x	1.350	0.200	0.800	2.000
smer y	1.350	0.200	0.800	2.000

**smer x (+e)**

Nivo	Z [m]	Ton 1			Ton 2			Ton 3		
		Px [kN]	Py [kN]	Pz [kN]	Px [kN]	Py [kN]	Pz [kN]	Px [kN]	Py [kN]	Pz [kN]
nad 2N	8.90	19.58	126.13	-3.46	374.27	-153.92	6.64	374.25	28.37	-9.28
nad 1N	6.05	17.79	110.05	-7.64	341.97	-144.44	15.54	407.57	29.60	-7.36
nad PT	3.25	22.07	130.51	-18.99	428.74	-165.10	39.50	649.03	18.58	-15.81
kineta	0.20	0.00	0.00	0.00	0.00	0.00	0.00	0.00	0.00	0.00
temeljna	0.00	0.00	0.00	0.00	0.00	0.00	0.00	0.00	0.00	0.00
dno kinete	-1.70	0.00	0.00	0.00	0.00	0.00	0.00	0.00	0.00	0.00
	$\Sigma=$	59.44	366.69	-30.09	1145.0	-463.45	61.67	1430.9	76.55	-32.45

Nivo	Z [m]	Ton 4			Ton 5			Ton 6		
		Px [kN]	Py [kN]	Pz [kN]	Px [kN]	Py [kN]	Pz [kN]	Px [kN]	Py [kN]	Pz [kN]
nad 2N	8.90	-33.71	-9.08	-2.16	140.52	-14.09	6.85	-14.63	22.74	-1.26
nad 1N	6.05	-1.50	2.74	-2.51	-11.94	-2.60	6.74	-2.90	-0.56	-2.10
nad PT	3.25	73.10	21.79	-6.86	284.46	29.05	10.40	27.23	-56.50	-6.99
kineta	0.20	0.00	0.00	0.00	0.00	0.00	0.00	0.00	0.00	0.00
temeljna	0.00	0.00	0.00	0.00	0.00	0.00	0.00	0.00	0.00	0.00
dno kinete	-1.70	0.00	0.00	0.00	0.00	0.00	0.00	0.00	0.00	0.00
	$\Sigma=$	37.89	15.45	-11.54	132.00	12.36	24.00	9.70	-34.32	-10.35

Nivo	Z [m]	Ton 7			Ton 8			Ton 9		
		Px [kN]	Py [kN]	Pz [kN]	Px [kN]	Py [kN]	Pz [kN]	Px [kN]	Py [kN]	Pz [kN]
nad 2N	8.90	-2.18	-6.97	0.21	-0.77	-3.87	-0.04	-0.21	-0.15	-0.11
nad 1N	6.05	-0.62	-0.06	0.50	-0.41	0.12	0.07	0.12	0.01	-0.12
nad PT	3.25	6.23	18.68	0.44	1.43	10.10	-0.12	0.21	0.51	-0.38
kineta	0.20	0.00	0.00	0.00	0.00	0.00	0.00	0.00	0.00	0.00
temeljna	0.00	0.00	0.00	0.00	0.00	0.00	0.00	0.00	0.00	0.00
dno kinete	-1.70	0.00	0.00	0.00	0.00	0.00	0.00	0.00	0.00	0.00
	$\Sigma=$	3.43	11.65	1.15	0.25	6.35	-0.09	0.11	0.37	-0.61

Nivo	Z [m]	Ton 10			Ton 11			Ton 12		
		Px [kN]	Py [kN]	Pz [kN]	Px [kN]	Py [kN]	Pz [kN]	Px [kN]	Py [kN]	Pz [kN]
nad 2N	8.90	-0.93	-1.99	0.67	7.87	0.00	-0.06	-0.96	0.13	0.23
nad 1N	6.05	0.08	0.14	0.86	-15.47	-0.02	0.29	1.66	-0.33	0.41
nad PT	3.25	1.41	5.05	1.65	8.21	0.00	0.92	-0.61	0.24	1.13
kineta	0.20	0.00	0.00	0.00	0.00	0.00	0.00	0.00	0.00	0.00
temeljna	0.00	0.00	0.00	0.00	0.00	0.00	0.00	0.00	0.00	0.00
dno kinete	-1.70	0.00	0.00	0.00	0.00	0.00	0.00	0.00	0.00	0.00
	$\Sigma=$	0.56	3.19	3.17	0.61	-0.01	1.15	0.10	0.03	1.77

Nivo	Z [m]	Ton 13			Ton 14			Ton 15		
		Px [kN]	Py [kN]	Pz [kN]	Px [kN]	Py [kN]	Pz [kN]	Px [kN]	Py [kN]	Pz [kN]
nad 2N	8.90	0.05	0.16	-0.06	-0.16	-0.53	0.40	-0.04	-0.11	0.01
nad 1N	6.05	-0.18	-0.14	-0.09	-2.12	-0.36	0.66	0.14	0.24	0.01
nad PT	3.25	0.14	-0.17	-0.25	3.14	2.23	0.82	-0.09	-0.13	0.03
kineta	0.20	0.00	0.00	0.00	0.00	0.00	0.00	0.00	0.00	0.00
temeljna	0.00	0.00	0.00	0.00	0.00	0.00	0.00	0.00	0.00	0.00
dno kinete	-1.70	0.00	0.00	0.00	0.00	0.00	0.00	0.00	0.00	0.00
	$\Sigma=$	0.01	-0.15	-0.40	0.87	1.34	1.88	0.01	-0.01	0.06

Nivo	Z [m]	Ton 16			Ton 17			Ton 18		
		Px [kN]	Py [kN]	Pz [kN]	Px [kN]	Py [kN]	Pz [kN]	Px [kN]	Py [kN]	Pz [kN]
nad 2N	8.90	0.19	-0.76	0.16	0.08	1.63	-0.29	0.18	0.24	-0.01
nad 1N	6.05	-0.56	1.45	0.13	-3.20	-3.77	-0.08	-0.49	0.46	-0.05
nad PT	3.25	0.43	-0.64	0.09	5.72	2.27	0.49	0.48	-1.39	-0.24

kineta	0.20	0.00	0.00	0.00	0.00	0.00	0.00	0.00	0.00	0.00
temeljina	0.00	0.00	0.00	0.00	0.00	0.00	0.00	0.00	0.00	0.00
dno kinete	-1.70	0.00	0.00	0.00	0.00	0.00	0.00	0.00	0.00	0.00
	Σ=	0.06	0.05	0.39	2.60	0.14	0.12	0.17	-0.69	-0.31

Nivo	Z [m]	Ton 19			Ton 20		
		Px [kN]	Py [kN]	Pz [kN]	Px [kN]	Py [kN]	Pz [kN]
nad 2N	8.90	0.11	-2.80	0.13	0.14	1.60	0.07
nad 1N	6.05	-0.44	5.53	0.11	-0.33	-3.09	0.03
nad PT	3.25	0.53	-2.67	-0.02	0.25	1.39	0.11
kineta	0.20	0.00	0.00	0.00	0.00	0.00	0.00
temeljina	0.00	0.00	0.00	0.00	0.00	0.00	0.00
dno kinete	-1.70	0.00	0.00	0.00	0.00	0.00	0.00
	Σ=	0.20	0.07	0.23	0.06	-0.10	0.22

smer x (-e)

Nivo	Z [m]	Ton 1			Ton 2			Ton 3		
		Px [kN]	Py [kN]	Pz [kN]	Px [kN]	Py [kN]	Pz [kN]	Px [kN]	Py [kN]	Pz [kN]
nad 2N	8.90	19.58	126.13	-3.46	374.27	-153.92	6.64	374.25	28.37	-9.28
nad 1N	6.05	17.79	110.05	-7.64	341.97	-144.44	15.54	407.57	29.60	-7.36
nad PT	3.25	22.07	130.51	-18.99	428.74	-165.10	39.50	649.03	18.58	-15.81
kineta	0.20	0.00	0.00	0.00	0.00	0.00	0.00	0.00	0.00	0.00
temeljina	0.00	0.00	0.00	0.00	0.00	0.00	0.00	0.00	0.00	0.00
dno kinete	-1.70	0.00	0.00	0.00	0.00	0.00	0.00	0.00	0.00	0.00
	Σ=	59.44	366.69	-30.09	1145.0	463.45	61.67	1430.9	76.55	-32.45

Nivo	Z [m]	Ton 4			Ton 5			Ton 6		
		Px [kN]	Py [kN]	Pz [kN]	Px [kN]	Py [kN]	Pz [kN]	Px [kN]	Py [kN]	Pz [kN]
nad 2N	8.90	-33.71	-9.08	-2.16	140.52	-14.09	6.85	-14.63	22.74	-1.26
nad 1N	6.05	-1.50	2.74	-2.51	-11.94	-2.60	6.74	-2.90	-0.56	-2.10
nad PT	3.25	73.10	21.79	-6.86	284.46	29.05	10.40	27.23	-56.50	-6.99
kineta	0.20	0.00	0.00	0.00	0.00	0.00	0.00	0.00	0.00	0.00
temeljina	0.00	0.00	0.00	0.00	0.00	0.00	0.00	0.00	0.00	0.00
dno kinete	-1.70	0.00	0.00	0.00	0.00	0.00	0.00	0.00	0.00	0.00
	Σ=	37.89	15.45	-11.54	132.00	12.36	24.00	9.70	-34.32	-10.35

Nivo	Z [m]	Ton 7			Ton 8			Ton 9		
		Px [kN]	Py [kN]	Pz [kN]	Px [kN]	Py [kN]	Pz [kN]	Px [kN]	Py [kN]	Pz [kN]
nad 2N	8.90	-2.18	-6.97	0.21	-0.77	-3.87	-0.04	-0.21	-0.15	-0.11
nad 1N	6.05	-0.62	-0.06	0.50	-0.41	0.12	0.07	0.12	0.01	-0.12
nad PT	3.25	6.23	18.68	0.44	1.43	10.10	-0.12	0.21	0.51	-0.38
kineta	0.20	0.00	0.00	0.00	0.00	0.00	0.00	0.00	0.00	0.00
temeljina	0.00	0.00	0.00	0.00	0.00	0.00	0.00	0.00	0.00	0.00
dno kinete	-1.70	0.00	0.00	0.00	0.00	0.00	0.00	0.00	0.00	0.00
	Σ=	3.43	11.65	1.15	0.25	6.35	-0.09	0.11	0.37	-0.61

Nivo	Z [m]	Ton 10			Ton 11			Ton 12		
		Px [kN]	Py [kN]	Pz [kN]	Px [kN]	Py [kN]	Pz [kN]	Px [kN]	Py [kN]	Pz [kN]
nad 2N	8.90	-0.93	-1.99	0.67	7.87	0.00	-0.06	-0.96	0.13	0.23
nad 1N	6.05	0.08	0.14	0.86	-15.47	-0.02	0.29	1.66	-0.33	0.41
nad PT	3.25	1.41	5.05	1.65	8.21	0.00	0.92	-0.61	0.24	1.13
kineta	0.20	0.00	0.00	0.00	0.00	0.00	0.00	0.00	0.00	0.00
temeljina	0.00	0.00	0.00	0.00	0.00	0.00	0.00	0.00	0.00	0.00
dno kinete	-1.70	0.00	0.00	0.00	0.00	0.00	0.00	0.00	0.00	0.00
	Σ=	0.56	3.19	3.17	0.61	-0.01	1.15	0.10	0.03	1.77

Nivo	Z [m]	Ton 13			Ton 14			Ton 15		
		Px [kN]	Py [kN]	Pz [kN]	Px [kN]	Py [kN]	Pz [kN]	Px [kN]	Py [kN]	Pz [kN]
nad 2N	8.90	0.05	0.16	-0.06	-0.16	-0.53	0.40	-0.04	-0.11	0.01
nad 1N	6.05	-0.18	-0.14	-0.09	-2.12	-0.36	0.66	0.14	0.24	0.01
nad PT	3.25	0.14	-0.17	-0.25	3.14	2.23	0.82	-0.09	-0.13	0.03
kineta	0.20	0.00	0.00	0.00	0.00	0.00	0.00	0.00	0.00	0.00
temeljina	0.00	0.00	0.00	0.00	0.00	0.00	0.00	0.00	0.00	0.00
dno kinete	-1.70	0.00	0.00	0.00	0.00	0.00	0.00	0.00	0.00	0.00
	Σ=	0.01	-0.15	-0.40	0.87	1.34	1.88	0.01	-0.01	0.06

Nivo	Z [m]	Ton 16			Ton 17			Ton 18		
		Px [kN]	Py [kN]	Pz [kN]	Px [kN]	Py [kN]	Pz [kN]	Px [kN]	Py [kN]	Pz [kN]
nad 2N	8.90	0.19	-0.76	0.16	0.08	1.63	-0.29	0.18	0.24	-0.01
nad 1N	6.05	-0.56	1.45	0.13	-3.20	-3.77	-0.08	-0.49	0.46	-0.05
nad PT	3.25	0.43	-0.64	0.09	5.72	2.27	0.49	0.48	-1.39	-0.24
kineta	0.20	0.00	0.00	0.00	0.00	0.00	0.00	0.00	0.00	0.00
temeljina	0.00	0.00	0.00	0.00	0.00	0.00	0.00	0.00	0.00	0.00



Nivo	Z [m]	Ton 19			Ton 20		
		Px [kN]	Py [kN]	Pz [kN]	Px [kN]	Py [kN]	Pz [kN]
nad 2N	8.90	0.04	-0.92	0.04	-0.24	-2.61	-0.12
nad 1N	6.05	-0.15	1.82	0.04	0.54	5.05	-0.05
nad PT	3.25	0.17	-0.88	-0.01	-0.40	-2.27	-0.18
kineta	0.20	0.00	0.00	0.00	0.00	0.00	0.00
temeljna	0.00	0.00	0.00	0.00	0.00	0.00	0.00
dno kinete	-1.70	0.00	0.00	0.00	0.00	0.00	0.00
	Σ=	0.07	0.02	0.07	-0.10	0.16	-0.35

smer y (-e)

Nivo	Z [m]	Ton 1			Ton 2			Ton 3		
		Px [kN]	Py [kN]	Pz [kN]	Px [kN]	Py [kN]	Pz [kN]	Px [kN]	Py [kN]	Pz [kN]
nad 2N	8.90	135.89	875.38	-24.01	-170.43	70.09	-3.02	22.26	1.69	-0.55
nad 1N	6.05	123.44	763.74	-52.99	-155.72	65.77	-7.08	24.24	1.76	-0.44
nad PT	3.25	153.19	905.76	-131.83	-195.23	75.18	-17.99	38.60	1.11	-0.94
kineta	0.20	0.00	0.00	0.00	0.00	0.00	0.00	0.00	0.00	0.00
temeljna	0.00	0.00	0.00	0.00	0.00	0.00	0.00	0.00	0.00	0.00
dno kinete	-1.70	0.00	0.00	0.00	0.00	0.00	0.00	0.00	0.00	0.00
	Σ=	412.52	2544.9	-208.83	521.38	211.04	-28.08	85.11	4.55	-1.93

Nivo	Z [m]	Ton 4			Ton 5			Ton 6		
		Px [kN]	Py [kN]	Pz [kN]	Px [kN]	Py [kN]	Pz [kN]	Px [kN]	Py [kN]	Pz [kN]
nad 2N	8.90	-14.41	-3.88	-0.92	-13.76	-1.38	0.67	53.65	-83.39	4.64
nad 1N	6.05	-0.64	1.17	-1.07	-1.17	-0.25	0.66	10.65	2.06	7.69
nad PT	3.25	31.25	9.31	-2.93	27.86	2.85	1.02	-99.86	207.19	25.64
kineta	0.20	0.00	0.00	0.00	0.00	0.00	0.00	0.00	0.00	0.00
temeljna	0.00	0.00	0.00	0.00	0.00	0.00	0.00	0.00	0.00	0.00
dno kinete	-1.70	0.00	0.00	0.00	0.00	0.00	0.00	0.00	0.00	0.00
	Σ=	16.20	6.61	-4.93	12.93	1.21	2.35	-35.56	125.87	37.97

Nivo	Z [m]	Ton 7			Ton 8			Ton 9		
		Px [kN]	Py [kN]	Pz [kN]	Px [kN]	Py [kN]	Pz [kN]	Px [kN]	Py [kN]	Pz [kN]
nad 2N	8.90	-7.65	-24.44	0.74	-20.17	-100.80	-1.13	-0.73	-0.51	-0.39
nad 1N	6.05	-2.16	-0.23	1.76	-10.60	3.01	1.90	0.40	0.04	-0.40
nad PT	3.25	21.84	65.52	1.53	37.31	263.45	-3.08	0.71	1.74	-1.32
kineta	0.20	0.00	0.00	0.00	0.00	0.00	0.00	0.00	0.00	0.00
temeljna	0.00	0.00	0.00	0.00	0.00	0.00	0.00	0.00	0.00	0.00
dno kinete	-1.70	0.00	0.00	0.00	0.00	0.00	0.00	0.00	0.00	0.00
	Σ=	12.02	40.86	4.03	6.54	165.66	-2.31	0.38	1.27	-2.11

Nivo	Z [m]	Ton 10			Ton 11			Ton 12		
		Px [kN]	Py [kN]	Pz [kN]	Px [kN]	Py [kN]	Pz [kN]	Px [kN]	Py [kN]	Pz [kN]
nad 2N	8.90	-5.43	-11.63	3.91	-0.15	-0.00	0.00	-0.30	0.04	0.07
nad 1N	6.05	0.49	0.80	5.00	0.29	0.00	-0.01	0.53	-0.11	0.13
nad PT	3.25	8.21	29.44	9.60	-0.15	-0.00	-0.02	-0.19	0.07	0.36
kineta	0.20	0.00	0.00	0.00	0.00	0.00	0.00	0.00	0.00	0.00
temeljna	0.00	0.00	0.00	0.00	0.00	0.00	0.00	0.00	0.00	0.00
dno kinete	-1.70	0.00	0.00	0.00	0.00	0.00	0.00	0.00	0.00	0.00
	Σ=	3.27	18.61	18.50	-0.01	0.00	-0.02	0.03	0.01	0.56

Nivo	Z [m]	Ton 13			Ton 14			Ton 15		
		Px [kN]	Py [kN]	Pz [kN]	Px [kN]	Py [kN]	Pz [kN]	Px [kN]	Py [kN]	Pz [kN]
nad 2N	8.90	-0.56	-1.97	0.76	-0.24	-0.83	0.63	0.03	0.08	-0.01
nad 1N	6.05	2.16	1.66	1.13	-3.33	-0.57	1.03	-0.09	-0.16	-0.01
nad PT	3.25	-1.75	2.11	2.96	4.94	3.51	1.28	0.06	0.09	-0.02
kineta	0.20	0.00	0.00	0.00	0.00	0.00	0.00	0.00	0.00	0.00
temeljna	0.00	0.00	0.00	0.00	0.00	0.00	0.00	0.00	0.00	0.00
dno kinete	-1.70	0.00	0.00	0.00	0.00	0.00	0.00	0.00	0.00	0.00
	Σ=	-0.15	1.80	4.86	1.37	2.11	2.95	-0.01	0.00	-0.04

Nivo	Z [m]	Ton 16			Ton 17			Ton 18		
		Px [kN]	Py [kN]	Pz [kN]	Px [kN]	Py [kN]	Pz [kN]	Px [kN]	Py [kN]	Pz [kN]
nad 2N	8.90	0.15	-0.60	0.13	0.00	0.09	-0.02	-0.77	-1.00	0.04
nad 1N	6.05	-0.44	1.14	0.10	-0.17	-0.20	-0.00	2.05	-1.92	0.21
nad PT	3.25	0.34	-0.51	0.07	0.31	0.12	0.03	-1.99	5.82	1.02
kineta	0.20	0.00	0.00	0.00	0.00	0.00	0.00	0.00	0.00	0.00
temeljna	0.00	0.00	0.00	0.00	0.00	0.00	0.00	0.00	0.00	0.00
dno kinete	-1.70	0.00	0.00	0.00	0.00	0.00	0.00	0.00	0.00	0.00
	Σ=	0.05	0.04	0.30	0.14	0.01	0.01	-0.70	2.89	1.28

Nivo	Z [m]	Ton 19			Ton 20		
		Px [kN]	Py [kN]	Pz [kN]	Px [kN]	Py [kN]	Pz [kN]
nad 2N	8.90	0.04	-0.92	0.04	-0.24	-2.61	-0.12
nad 1N	6.05	-0.15	1.82	0.04	0.54	5.05	-0.05
nad PT	3.25	0.17	-0.88	-0.01	-0.40	-2.27	-0.18
kineta	0.20	0.00	0.00	0.00	0.00	0.00	0.00
temelina	0.00	0.00	0.00	0.00	0.00	0.00	0.00
dno kinete	-1.70	0.00	0.00	0.00	0.00	0.00	0.00
	Σ=	0.07	0.02	0.07	-0.10	0.16	-0.35

**Faktorji participacije - relativno sodelovanje**

Ton \ Naziv	1. smer x (+)	2. smer x (-)	3. smer y (+)	4. smer y (-)
1	0.021	0.021	0.814	0.814
2	0.405	0.405	0.067	0.067
3	0.507	0.507	0.001	0.001
4	0.013	0.013	0.002	0.002
5	0.047	0.047	0.000	0.000
6	0.003	0.003	0.040	0.040
7	0.001	0.001	0.013	0.013
8	0.000	0.000	0.053	0.053
9	0.000	0.000	0.000	0.000
10	0.000	0.000	0.006	0.006
11	0.000	0.000	0.000	0.000
12	0.000	0.000	0.000	0.000
13	0.000	0.000	0.001	0.001
14	0.000	0.000	0.001	0.001
15	0.000	0.000	0.000	0.000
16	0.000	0.000	0.000	0.000
17	0.001	0.001	0.000	0.000
18	0.000	0.000	0.001	0.001
19	0.000	0.000	0.000	0.000
20	0.000	0.000	0.000	0.000

**Faktorji participacije - angažiranje mase**

Ton	U [α=0°]	U [α=90°]
1	2.07	78.73
2	38.74	6.35
3	52.20	0.15
4	1.32	0.22
5	4.83	0.04
6	0.46	5.76
7	0.11	1.31
8	0.01	6.20
9	0.00	0.04
10	0.02	0.67
11	0.02	0.00
12	0.00	0.00
13	0.00	0.07
14	0.03	0.08
15	0.00	0.00
16	0.00	0.00
17	0.09	0.00
18	0.01	0.09
19	0.01	0.00
20	0.00	0.01
ΣU (%)	99.92	99.72

**Prečne sile v osnovi**

Obtežni primer	Kot α [°]	VtB [kN] (Modal)
smer x	0	2191.07
smer y	90	3068.51

### 1.3 Stene

Stene so iz betona kvalitete C30/37. V smeri črkovnih (vodoravnih) osi imajo debelino 20 cm, v smeri številčnih (vertikalnih) osi pa debelino 16 cm. Za dimenzioniranje armiranobetonskih sten je potrebno upoštevati določila standarda SIST EN 1992-1 in SIST EN 1998-1.

#### 1.3.1 Geometrijske omejitve

Širina stojine  $b_{w0}$  mora glede na standard SIST EN 1998, člen 5.4.1.2.3, zadostiti naslednjemu izrazu:

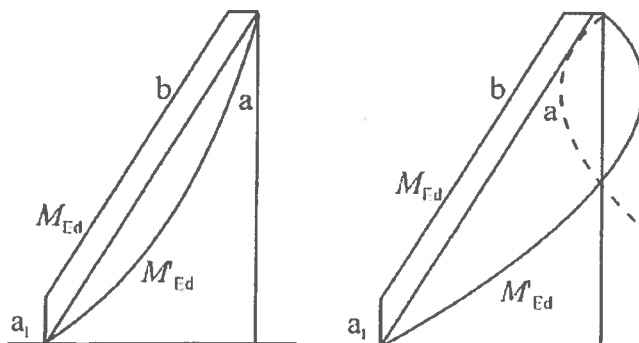
$$b_{w0} \geq \max \left\{ \begin{array}{l} 0,15 \text{ m} \\ \frac{h_s}{20} = \frac{3,18}{20} = 0,159 \text{ m} \end{array} \right. = 0,159 \text{ m}$$

$b_{w0}$ ... širina stojine stene,  $h_s$  ... svetla etažna višina

Dodatne zahteve glede debeline objetih robnih elementov sten so določene s členom 5.4.3.4.2(10).

#### 1.3.2 Projektni učinki potresnih vplivov

Diagram projektnih upogibnih momentov vzdolž višine stene se navede z ovojnico diagrama upogibnih elementov iz analize, ki je premaknjena v navpični smeri (glej sliko 1). Predpostavi se lahko linearna ovojnica, če konstrukcija nima po višini pomembnih nezveznosti v masah, togosti ali nosilnosti.



Legenda:

- a momentni diagram iz analize
- b projektna ovojnica
- $a_1$  premik momentne črte

Slika 1: Ovojnica upogibnih momentov za projektiranje vitkih sten

Ob vpetju sten je potrebno upoštevati možnost povečanja prečnih sil zaradi plastifikacije. Glede na standard SIST EN 1998, člen 5.4.2.4(7), zahtevi zadostimo, če upoštevamo projektne prečne sile, ki so za 50% večje od tistih, določenih z analizo.

Preglednica 1: Projektne učinki potresnih vplivov

Dilatacija	POZICIJA			OBREMITIVNE				
	Oznaka stene	Nadstropje	Ned,max [kN]	1.5*Ved	My,min	N(My,min)	My,max	N(My,max)
Dilatacija 1	1-1	P	1556	879	1345	702	3161	400
	2	P	1289	612	445	992	2117	687
	3	P	875	349	308	628	591	484
	4	P	912	818	267	289	1242	898
	5	P	871	374	412	640	573	469
	slop v osi A2	P	316	90	18	297	50	106
	B-6	P	1017	284	233	846	869	455

### 1.3.3 Preverjanje mejnih stanj in konstruiranje

Upogibno in strižno nosilnost je potrebno določiti v skladu s SIST EN 1992-1-1, pri čemer se uporabi vrednosti notranjih statičnih količin iz potresne analize in kombinacije za mejno stanje nosilnosti.

#### 1.3.3.1 Minimalna in maksimalna armatura

Prerez navpične armature je s členom 9.6.2 standarda SIST EN 1992-1-1 omejen z

$$A_{s,vmin} = 0'002 A_c$$

$$A_{s,vmax} = 0'04 A_c$$

Prerez vodoravne armature je s členom 9.6.3 standarda SIST EN 1992-1-1 omejen z

$$A_{s,hmin} = \max \begin{cases} 0'001 A_c \\ 0'25 A_{s,v} \end{cases}$$

Za stene debeline 16 cm:

$$A_{s,vmin} = 0'002 A_c = 0'002 \cdot 16 \cdot 100 = 3'2 \text{ cm}^2/\text{m}$$

$$A_{s,vmax} = 0'04 A_c = 0'04 \cdot 16 \cdot 100 = 64 \text{ cm}^2/\text{m}$$

$$A_{s,hmin} = \max \begin{cases} 0'001 A_c = 1'6 \text{ cm}^2/\text{m} \\ 0'25 A_{s,v} \end{cases}$$

Za stene debeline 20 cm:

$$A_{s,vmin} = 0'002 A_c = 0'002 \cdot 20 \cdot 100 = 4'0 \text{ cm}^2/\text{m}$$

$$A_{s,vmax} = 0'04 A_c = 0'04 \cdot 20 \cdot 100 = 80 \text{ cm}^2/\text{m}$$

$$A_{s,hmin} = \max \begin{cases} 0'001 A_c = 2'0 \text{ cm}^2/\text{m} \\ 0'25 A_{s,v} \end{cases}$$

#### 1.3.3.2 Omejitve osne obremenitve sten

Normirana osna sila  $v_d$  v primarnih potresnih stenah glede na standard SIST EN 1998, člen 5.4.3.4.1(2), ne sme preseči 0'4.

$$v_d = \frac{N_{Ed}}{A_c f_{cd}} \leq 0'4$$

Prečna armatura v robnih elementih se lahko določi samo v skladu s SIST EN 1992-1, če je izpolnjen pogoj

$$v_d = \frac{N_{Ed}}{A_c f_{cd}} \leq 0,15$$

Vse stene zadostujejo pogoj  $v_d < 0,15$ , zato za določitev potrebne armature uporabimo ovojnice, ki jih izračuna program, ki določa armaturo glede na zahteve SIST EN 1992-2.

Dilatacija	POZICIJA		OBREMITVE	KONTROLA TLAČNE NAPETOSTI
	Oznaka stene	Nadstropje	Ned,max [kN]	vd [%]
Dilatacija 1	1-1	P	1556	0,07
	2	P	1289	0,05
	3	P	875	0,06
	4	P	912	0,04
	5	P	871	0,06
	slop v osi A2	P	316	0,12
	B-6	P	1017	0,10

### 1.3.3.3 Kritično območje

Kritično območje nad vpetjem stene  $h_{cr}$  se glede na SIST EN 1998, člen 5.4.3.4.2, določi kot:

$$h_{cr} = \max \left\{ \frac{h_w}{6} = \frac{9'000 \text{ m}}{6} = 1'50 \text{ m} \leq \min \left\{ \frac{2l_w}{h_s} = 3'36 \text{ m} \right. \right.$$

$l_w$  ... dolžina prečnega prereza stene,  $h_w$  ... višina stene,  $h_s$  ... svetla višina etaže

Kritično območje sten je čez celotno pritlično etažo.

### 1.3.3.4 Potrebna količina armature MSN-STR

Poleg potresne obtežbe upoštevamo še ovojnico obremenitev za mejno stanje nosilnosti pri stalnih in začasnih stanjih. Glede na ovojnico obremenitev izračunamo potrebno količino armature.

### 1.3.4 Strižna odpornost sten

Ob vpetju sten se strižna odpornost ob upoštevanju člena 5.4.2.4 standarda SIST EN 1998-1 zagotovi tako, da se projektne strižne sile dobljene z analizo poveča za 50 %. V spodnji preglednici je podan izračun potrebne strižne armature za vse stene ob vpetju.

Preglednica 3: Potrebna strižna armatura v pritličju

Dilatacija	POZICIJA		GEOMETRIJA				BREMENIT		STRIŽNA ODPORNOST					
	Oznaka stene	Nadstropje	Dolžina [m]	Širina [m]	Višina [m]	Ac [m <sup>2</sup> ]	1.5°Ved	φstremena	s	Asw.dej/s	Vrd.s	Asw.potr/s	Vrd.max	Vrd.s
Dilatacija 1	1-1	P	7,34	0,16	3,365	1,17	879	8	15	6,70	6,01	2843	981	90
	2	P	7,34	0,16	3,365	1,17	612	8	15	6,70	4,18	2843	981	62
	3	P	4,54	0,16	3,365	0,73	349	8	15	6,70	2,39	2843	981	36
	4	P	7,34	0,16	3,365	1,17	818	8	15	6,70	5,59	2843	981	83
	5	P	4,34	0,16	3,365	0,69	374	8	15	6,70	2,56	2843	981	38
	slop v osi A2	P	0,66	0,2	3,365	0,13	90	8	15	6,70	0,62	3553	981	9
B-6	P	2,6	0,2	3,365	0,52	284	8	15	6,70	1,94	3553	981	29	

## 1.4 Temeljenje objekta

Objekt se temelji s temeljno ploščo debeline 35 cm, ki je točkovno podprta s piloti.

Potresna obremenitev na pilote je izračunana pri elastičnem potresu (oz.  $q = 1$ ). Pri dimenzioniranju pilotov je upoštevan vertikalni modul reakcije tal, ki dovoljuje 15 mm do 20 mm (cca. 60 MN/m<sup>3</sup>).

Moduli po plašču pilota so v barjanski glini 1 do 2,5 MN/m<sup>3</sup> (zgoraj 1 2,5 MN/m<sup>3</sup>, spodaj 2,5 MN/m<sup>3</sup>) – za statične obremenitve. Za potresno obremenitev so ti moduli do 10 x večji.

Reakcije na pilote so dobljeni s programom Tower – 3D in Sofistik. Dimenzioniranje pilota je izvedeno v programu DIAS za vse objekte.

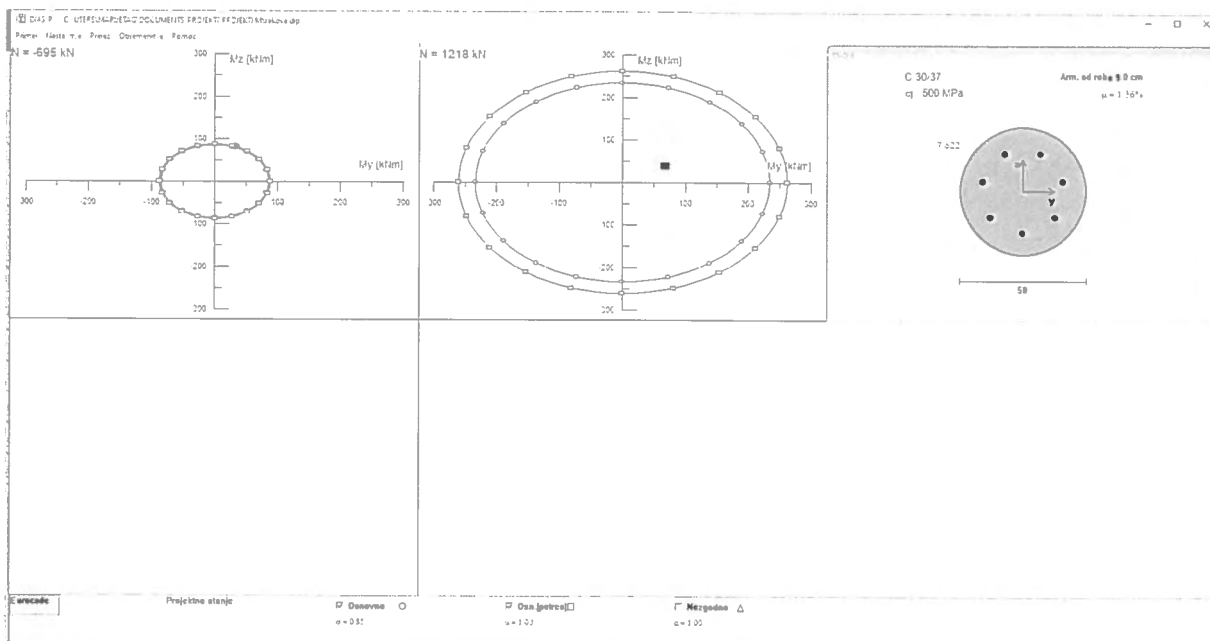
Upoštevamo dva prevladujoča obtežna primera:

$N = 1218$  kN (tlak)                       $N = 695$  kN (nateg)

$M_2 = 67$  kNm                                 $M_2 = 82,8$  kNm

$M_3 = 37,5$  kNm                               $M_3 = 33$  kNm

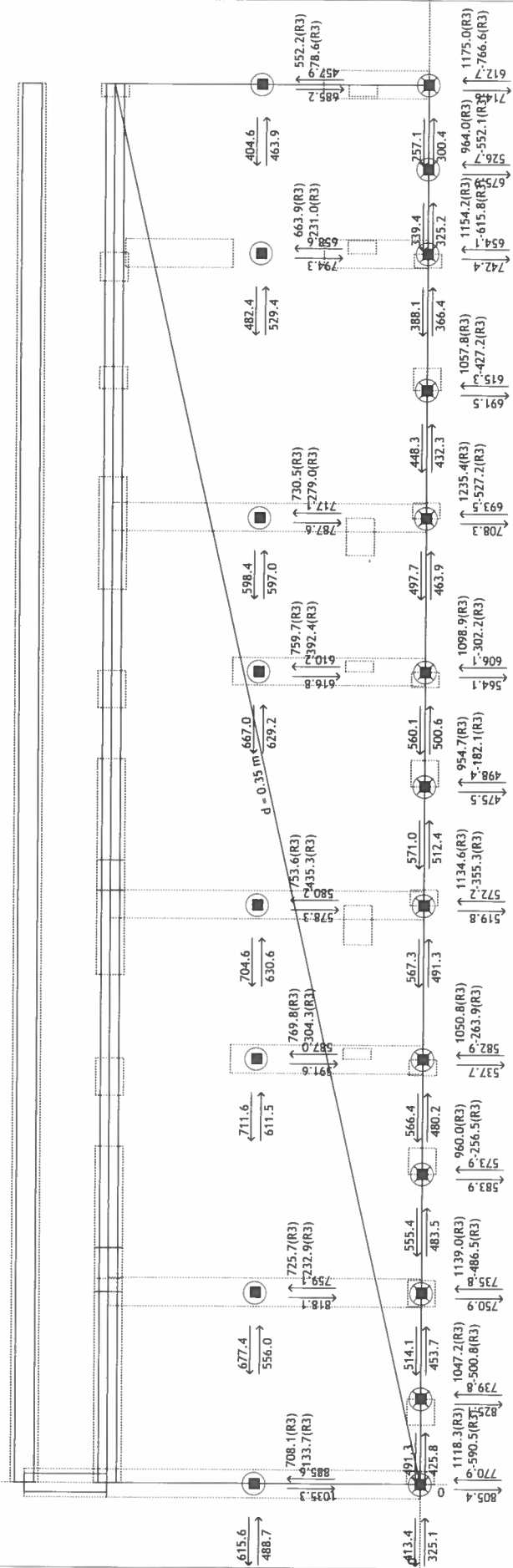
Izbrana armatura:                      7φ22, stremena φ10/15 cm.



V nadaljevanju je armatura temeljne plošče.

OBJEKT A - del 1

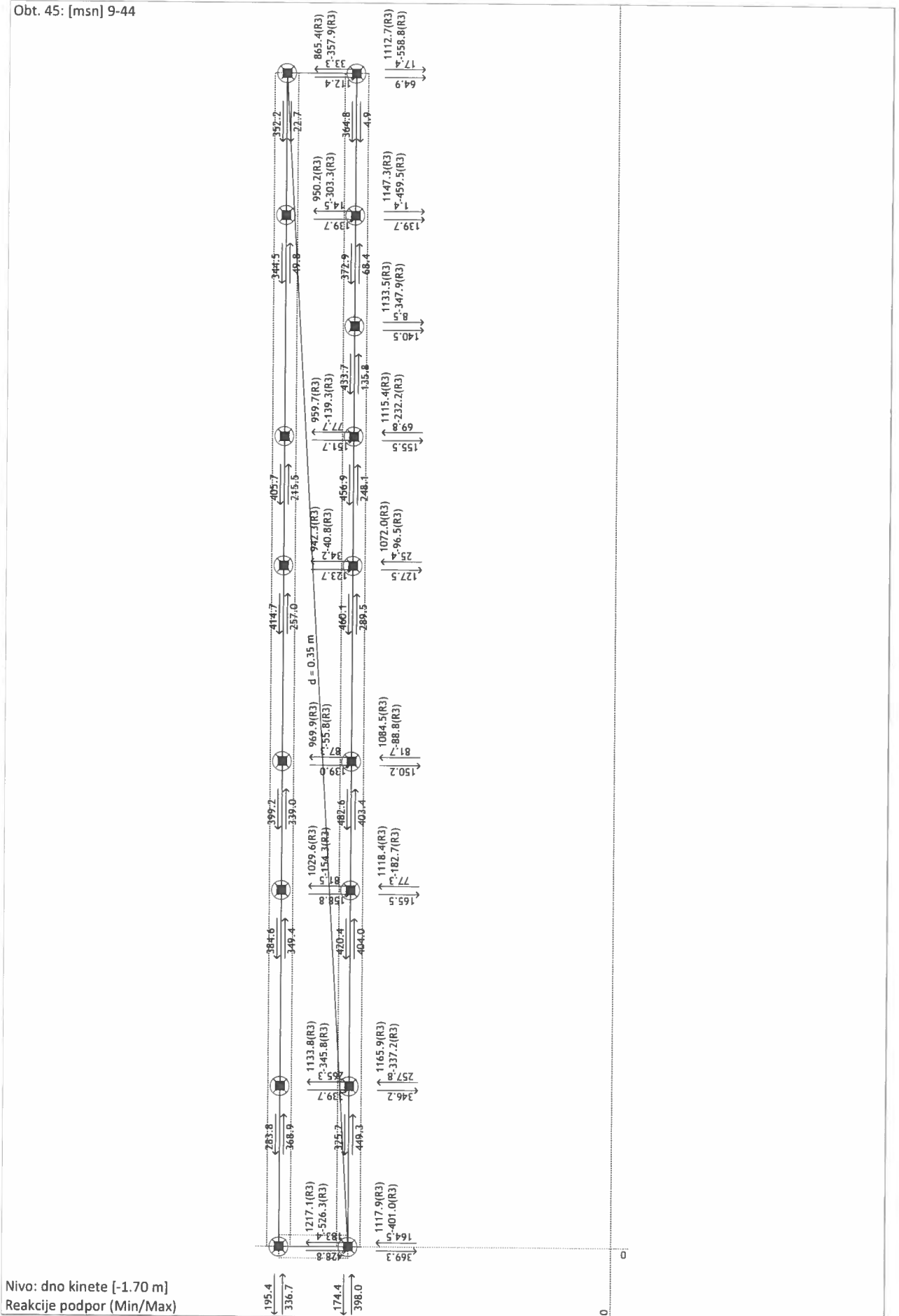
Statični preračun  
 Obt. 45: [msn] 9-44



Nivo: temeljna [0.00 m]  
 Reakcije podpor (Min/Max)

A44

Obt. 45: [msn] 9-44



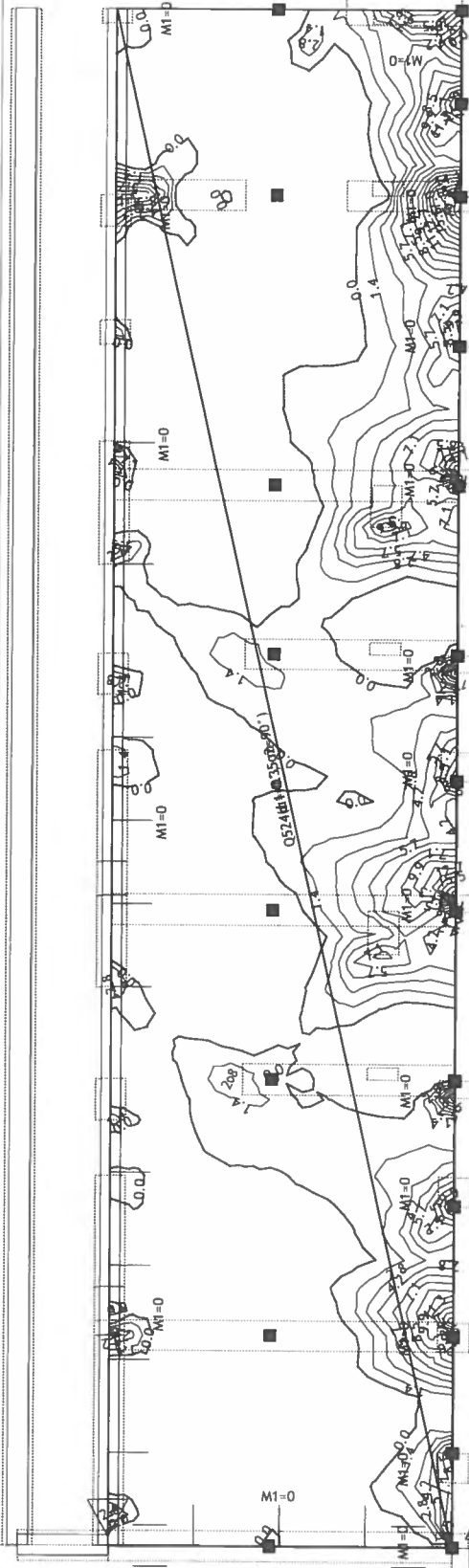
A45

OBJEKT A - del 1

Dimenzioniranje (beton)

Osvojena armatura

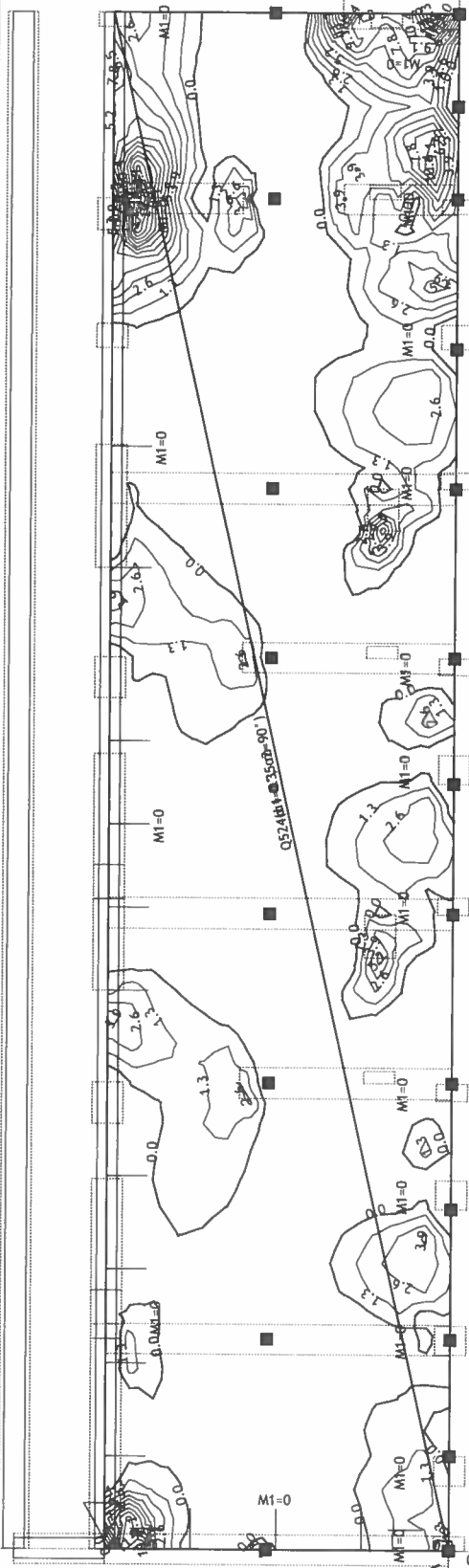
EC 2 (EN 1992-1-1:2004), C 30, S500H, a=4.00 cm



Nivo: temeljna [0.00 m]  
Aa - sp.cona

Osvojena armatura

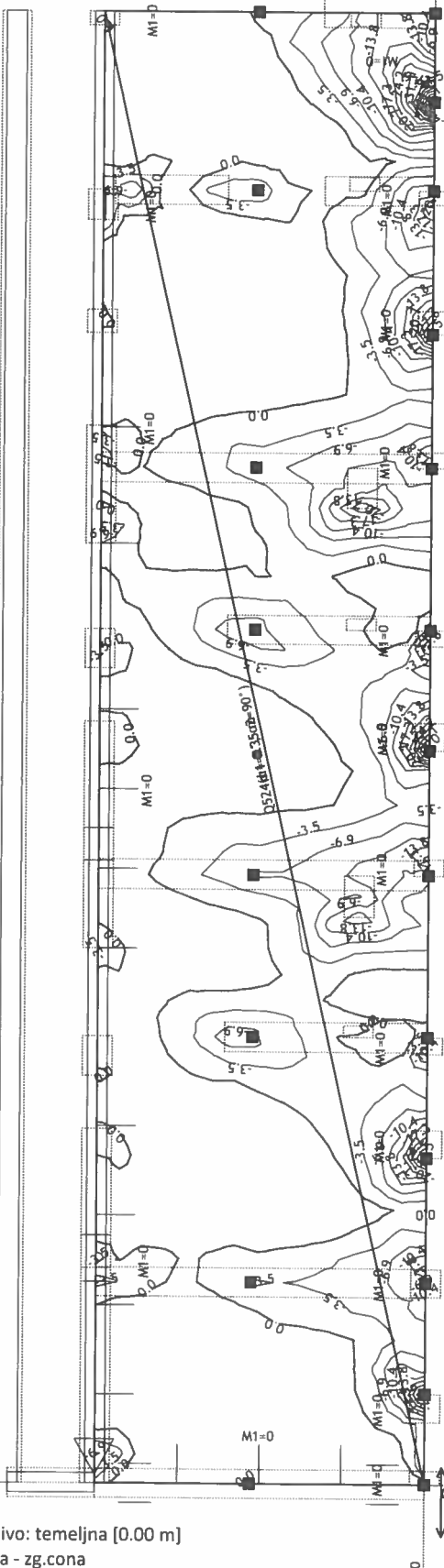
EC 2 (EN 1992-1-1:2004), C 30, S500H, a=4.00 cm



Nivo: temeljna [0.00 m]  
Aa - sp.cona

Osvojena armatura

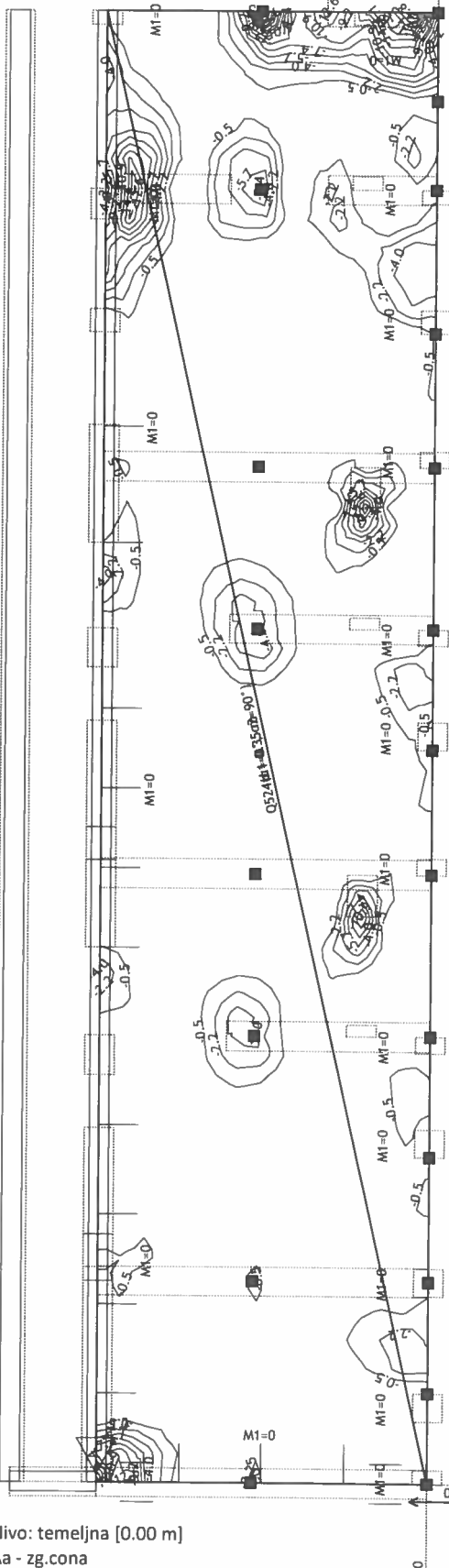
EC 2 (EN 1992-1-1:2004), C 30, S500H, a=4.00 cm



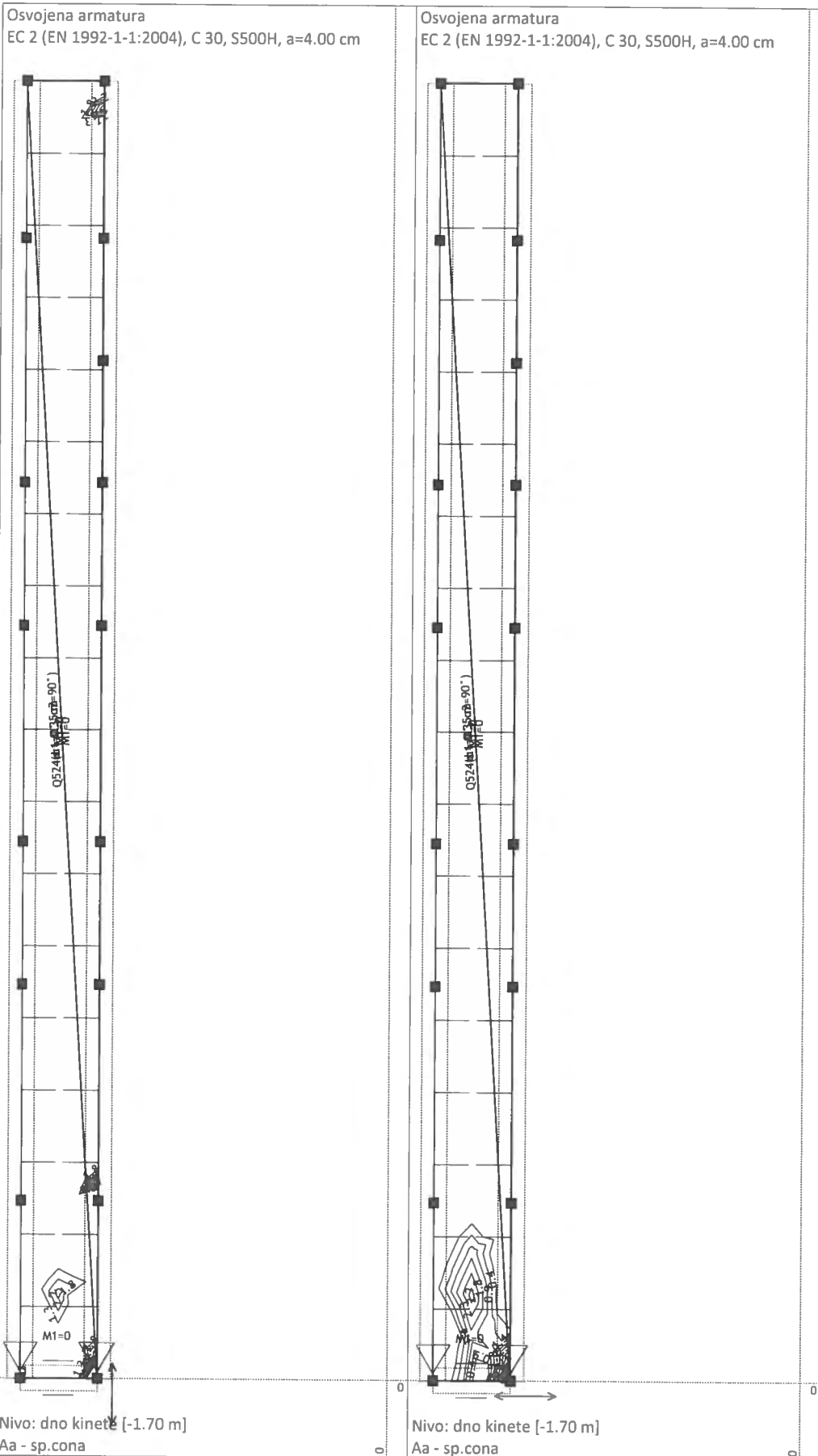
Nivo: temeljna [0.00 m]  
Aa - zg.cona

Osvojena armatura

EC 2 (EN 1992-1-1:2004), C 30, S500H, a=4.00 cm

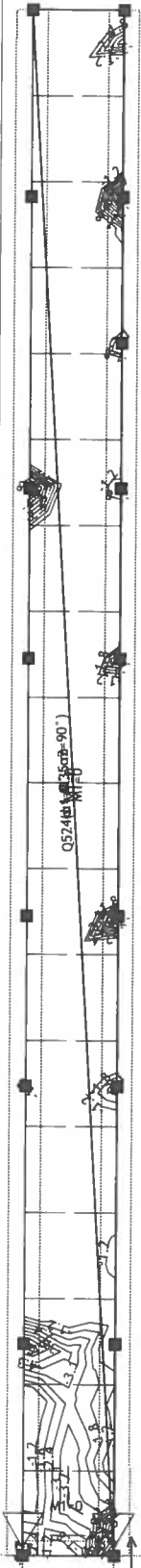


Nivo: temeljna [0.00 m]  
Aa - zg.cona



Osvojena armatura

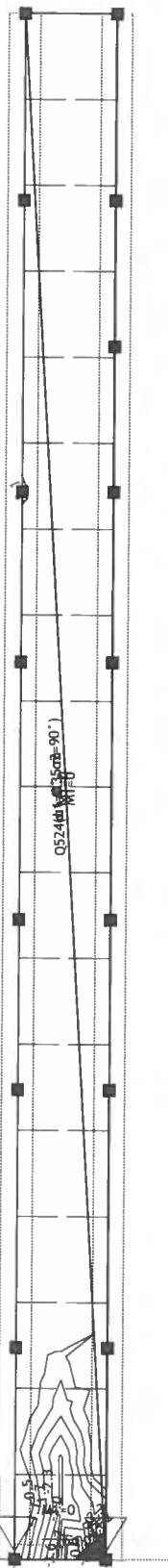
EC 2 (EN 1992-1-1:2004), C 30, S500H, a=4.00 cm



Nivo: dno kinete [-1.70 m]  
Aa - zg.cona

Osvojena armatura

EC 2 (EN 1992-1-1:2004), C 30, S500H, a=4.00 cm



Nivo: dno kinete [-1.70 m]  
Aa - zg.cona

## 2 Objekt A – dilatacija 3

### 2.1 Plošče

Plošče dimenzioniramo glede na določila standarda SIST EN 1992-1-1. Uporabi se beton C30/37, XC1. Debelina plošč je 18 cm, balkonski del pa 16 cm.

Minimalna upogibna armatura  $A_{s,min}$  je s členom 9.2.1.1(1) določena kot

$$A_{s,min} = 0,26 \frac{f_{ctm}}{f_{yk}} b_t d = 0,26 \frac{0,29}{50} 100 \cdot 16 = 2,4 \text{ cm}^2/\text{m} \geq 0,0013 b_t d = 2,1 \text{ cm}^2/\text{m}$$

$f_{ctm}$  ... srednja vrednost osne natezne trdnosti betona,  $f_{yk}$  ... karakteristična natezna trdnost armature,  $b_t$  ... srednja širina natezne cone,  $d$  ... statična višina prereza

Največja stopnja armiranja pa je določena s členom 9.2.1.1(3)

$$A_{s,max} = 0,04 A_c = 72 \text{ cm}^2/\text{m}$$

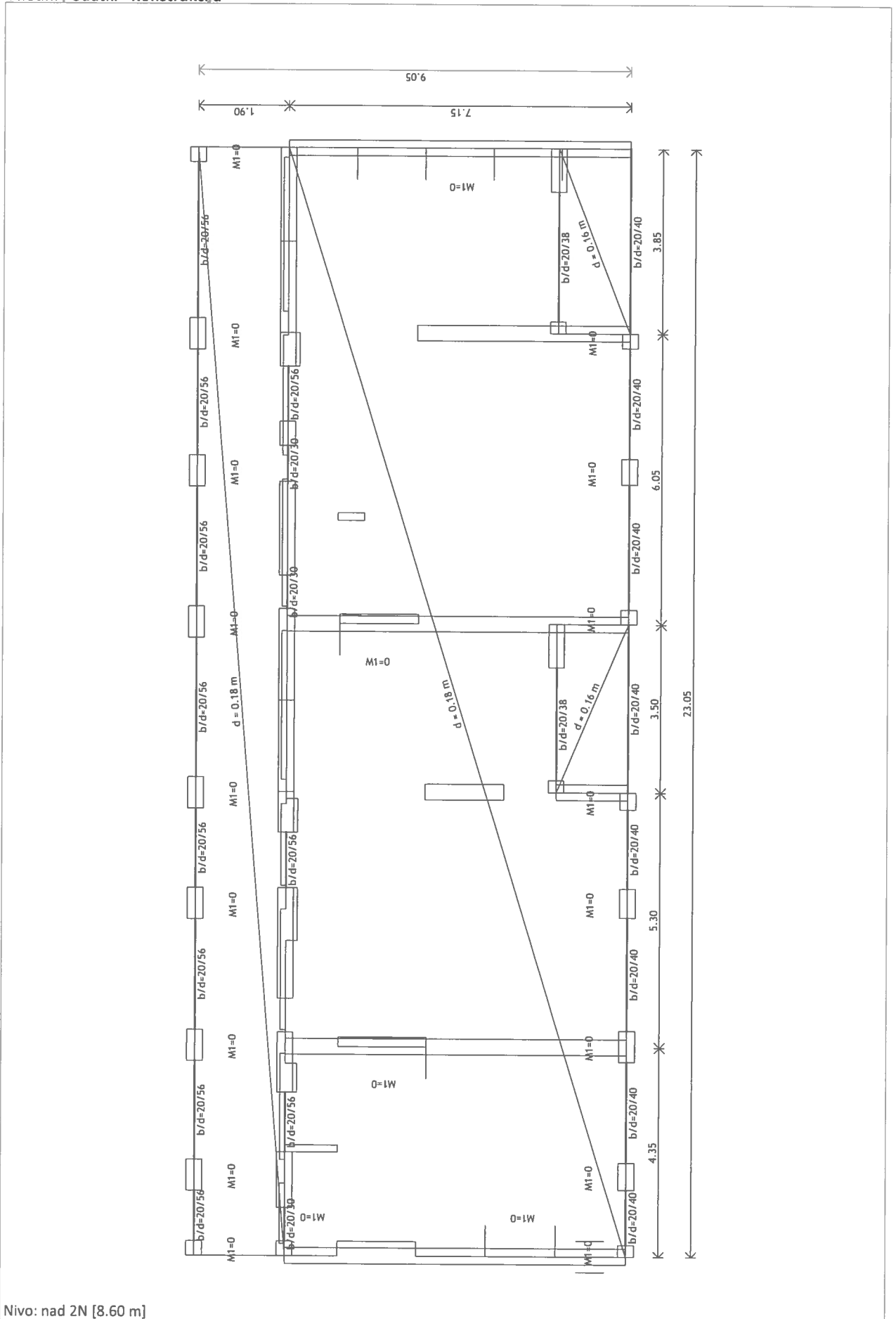
$A_c$  ... ploščina betonskega prereza

Medsebojna oddaljenost palic je s členom 9.3.1.1(3) omejena na  $s_{max} = 3h \leq 400$  mm, v območjih koncentriranih obtežb in največjih upogibnih momentov pa z  $s_{max} = h \leq 250$  mm.

Standard omejuje dovoljeno širino razpoke na 0,4 mm pri navidezno stalni obtežni kombinaciji.

Potrebno armaturo izračunamo glede na ovojnice mejnih stanj nosilnosti in uporabnosti. Potrebna armatura plošč in vplivi na konstrukcijo so podani v nadaljevanju.

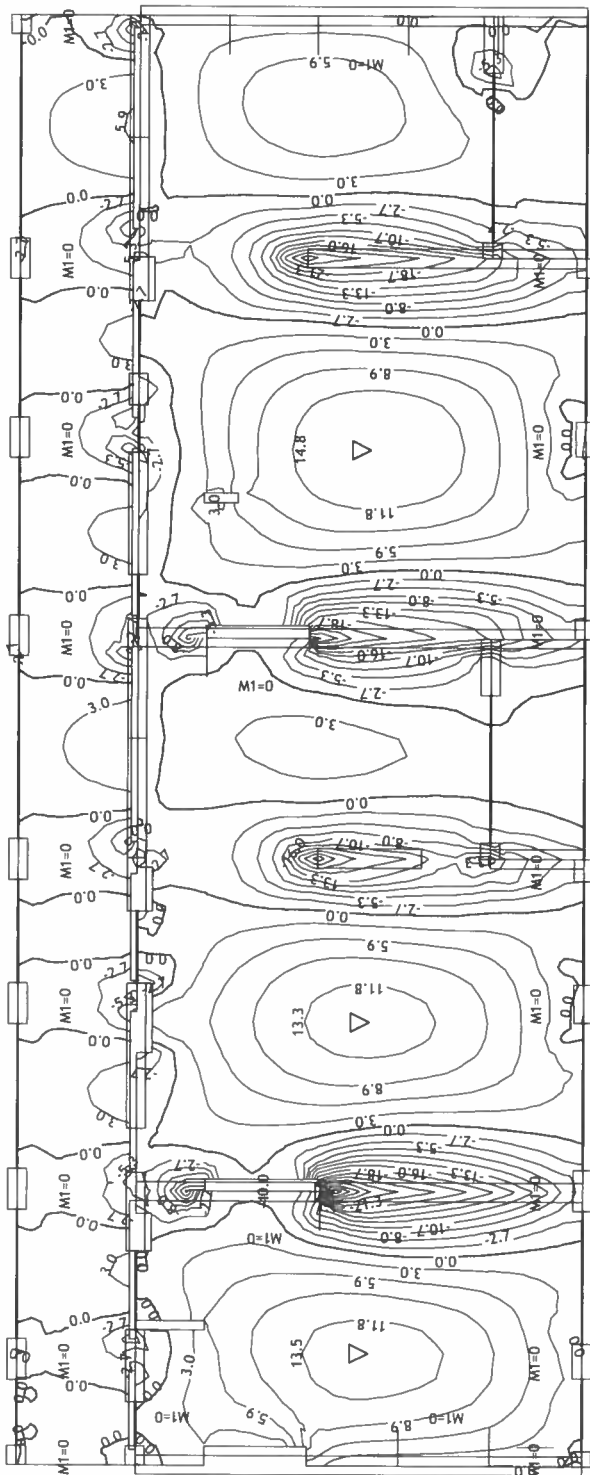
Vhodni podatki - Konstrukcija



Nivo: nad 2N [8.60 m]

**Statični preračun**

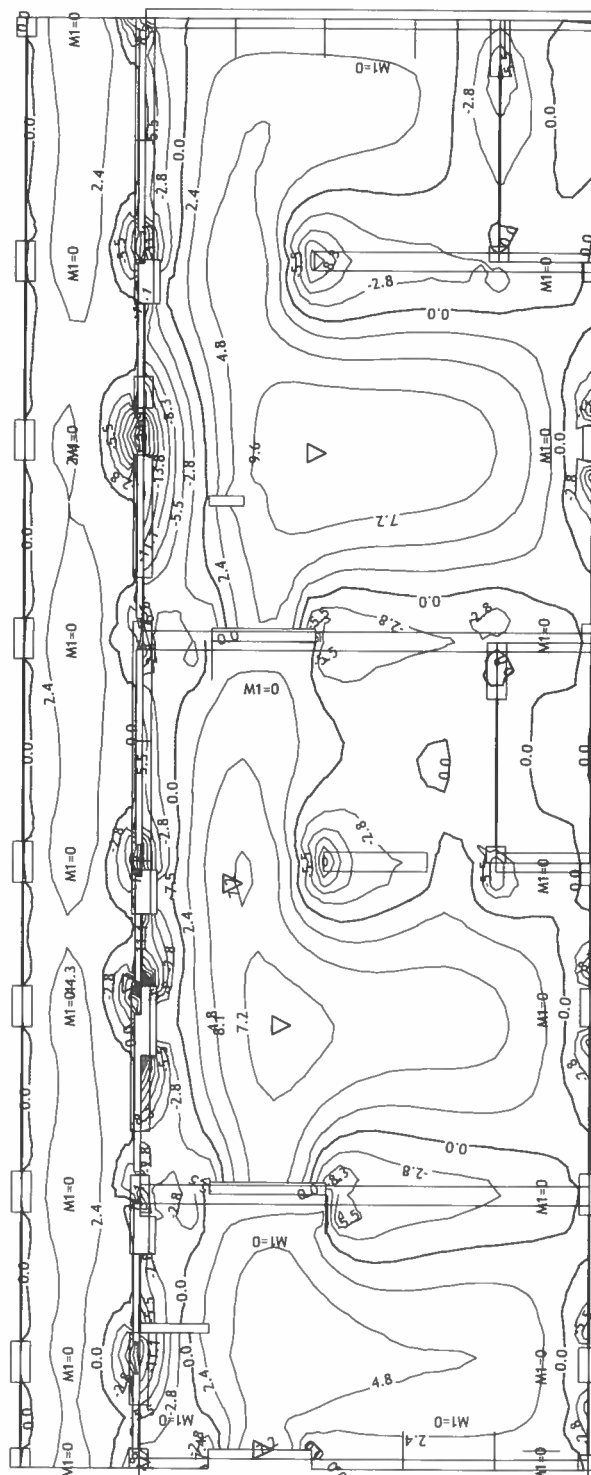
Obt. 8: 1.35xI+1.05xII+1.5xIII+1.35xIV



Nivo: nad 2N [8.60 m]

Vplivi v plošči: max  $M_x = 14.8$  / min  $M_x = -40.0$  kNm/m

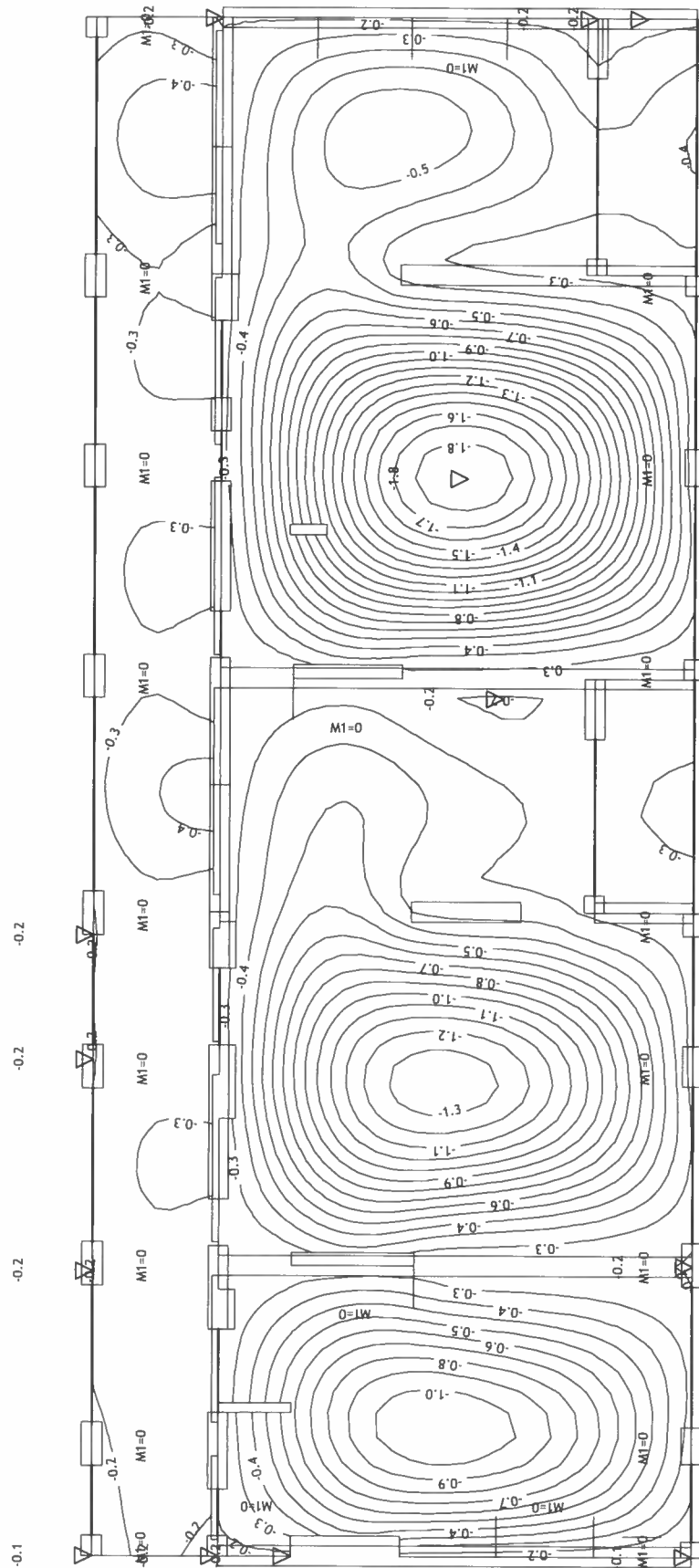
Obt. 8: 1.35xI+1.05xII+1.5xIII+1.35xIV



Nivo: nad 2N [8.60 m]

Vplivi v plošči: max  $M_y = 9.6$  / min  $M_y = -44.3$  kNm/m

Obt. 6: I+0.7xII+III+IV



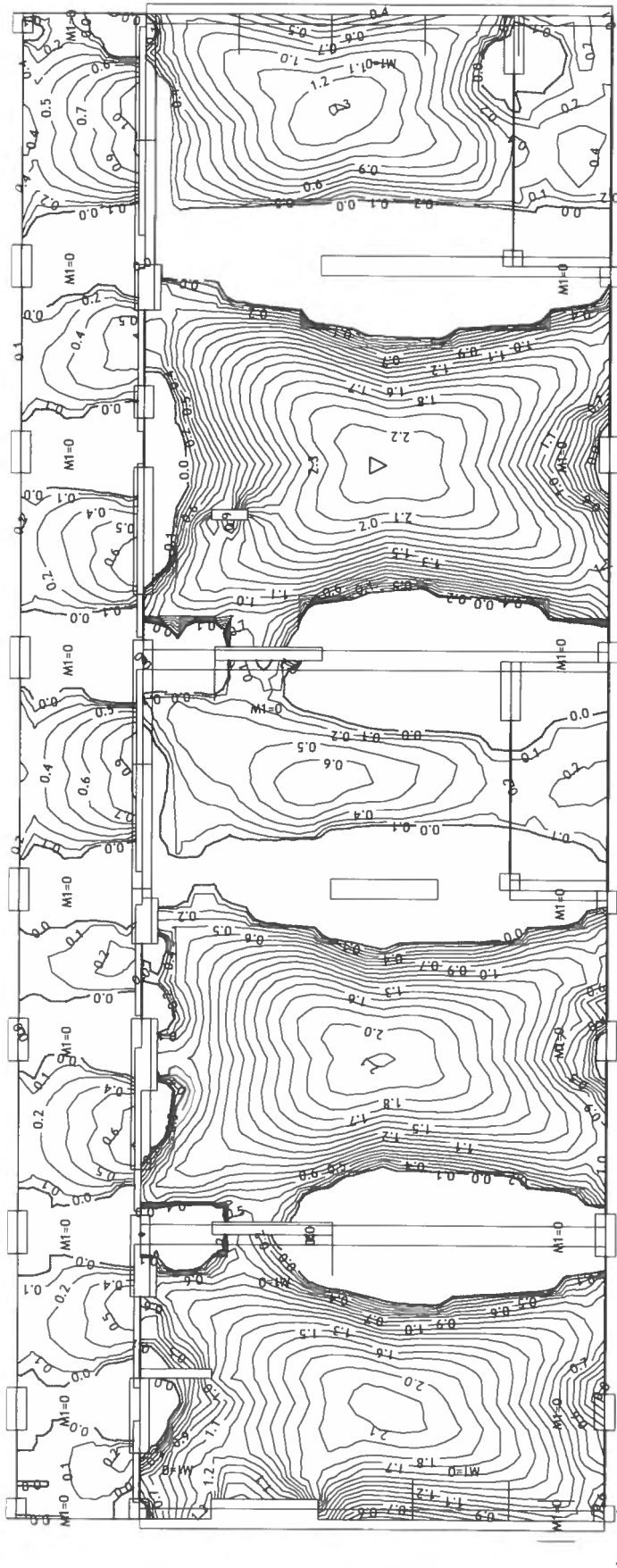
Nivo: nad 2N [8.60 m]

Vplivi v plošči: max Zp= -0.1 / min Zp= -1.8 m / 1000

**Dimenzioniranje (beton)**

Merodajna obtežba: 7,8

EC 2 (EN 1992-1-1:2004), C 30, S500H, a=3.00 cm



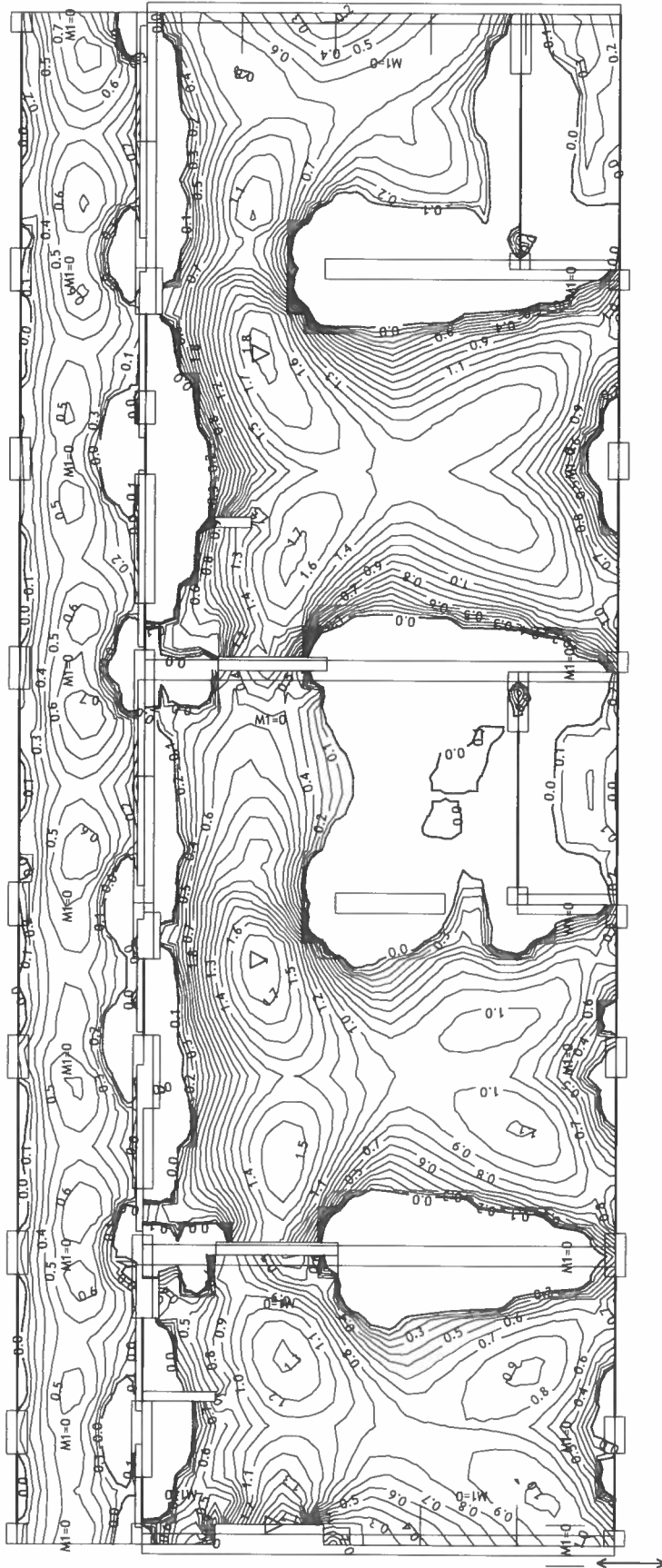
Nivo: nad 2N [8.60 m]

Aa - sp.cona - Smer 1 - max Aa1,s= 2.3 cm<sup>2</sup>/m

A54

Merodajna obtežba: 7,8

EC 2 (EN 1992-1-1:2004), C 30, S500H, a=3.00 cm

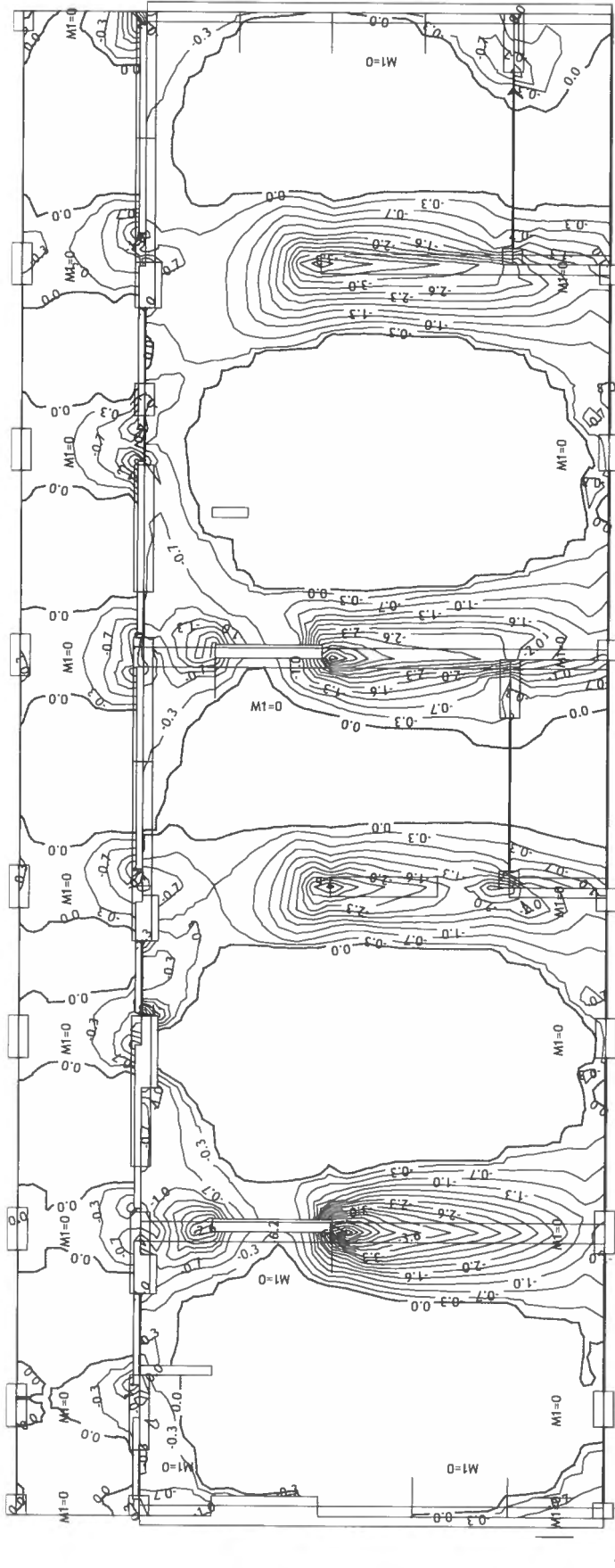


Nivo: nad 2N [8.60 m]

Aa - sp.cona - Smer 2 - max Aa2,s= 1.9 cm<sup>2</sup>/m

ASS

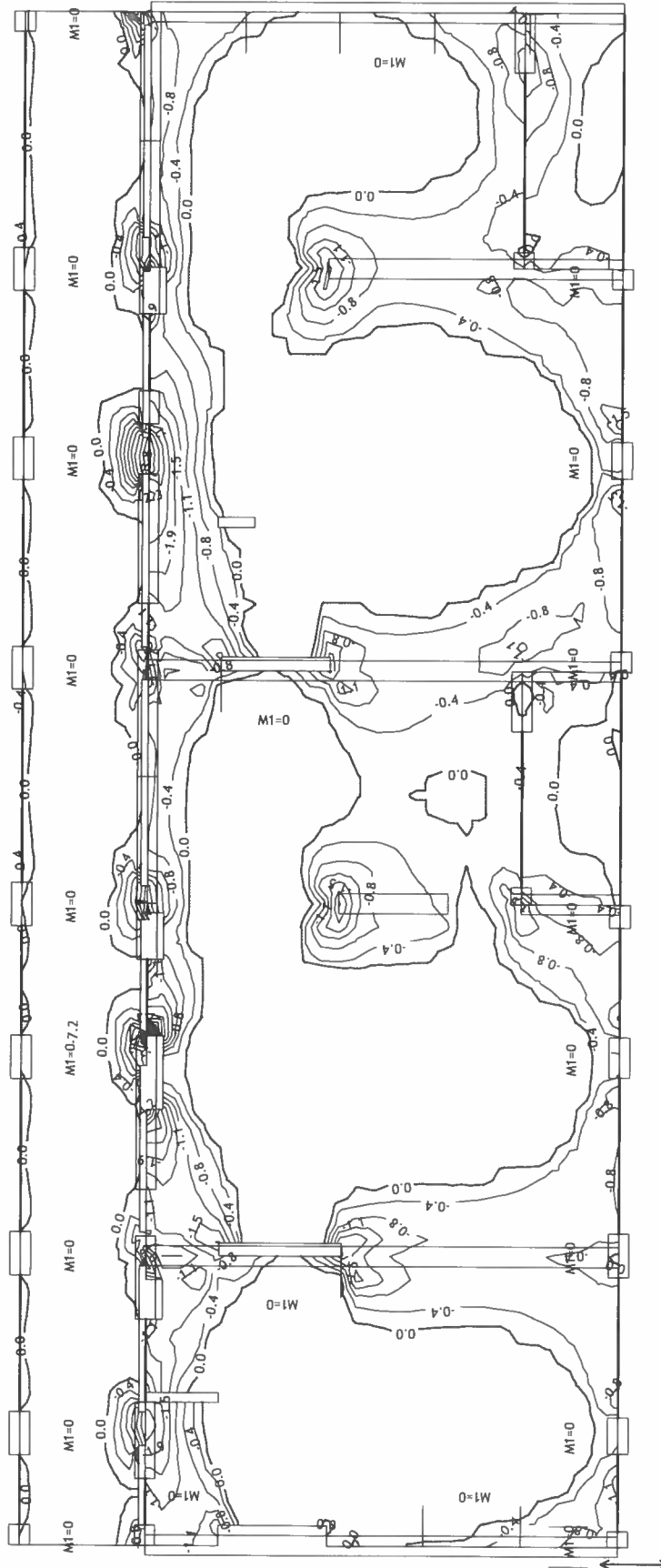
Merodajna obtežba: 7,8  
EC 2 (EN 1992-1-1:2004), C 30, S500H, a=3.00 cm



Nivo: nad 2N [8.60 m]

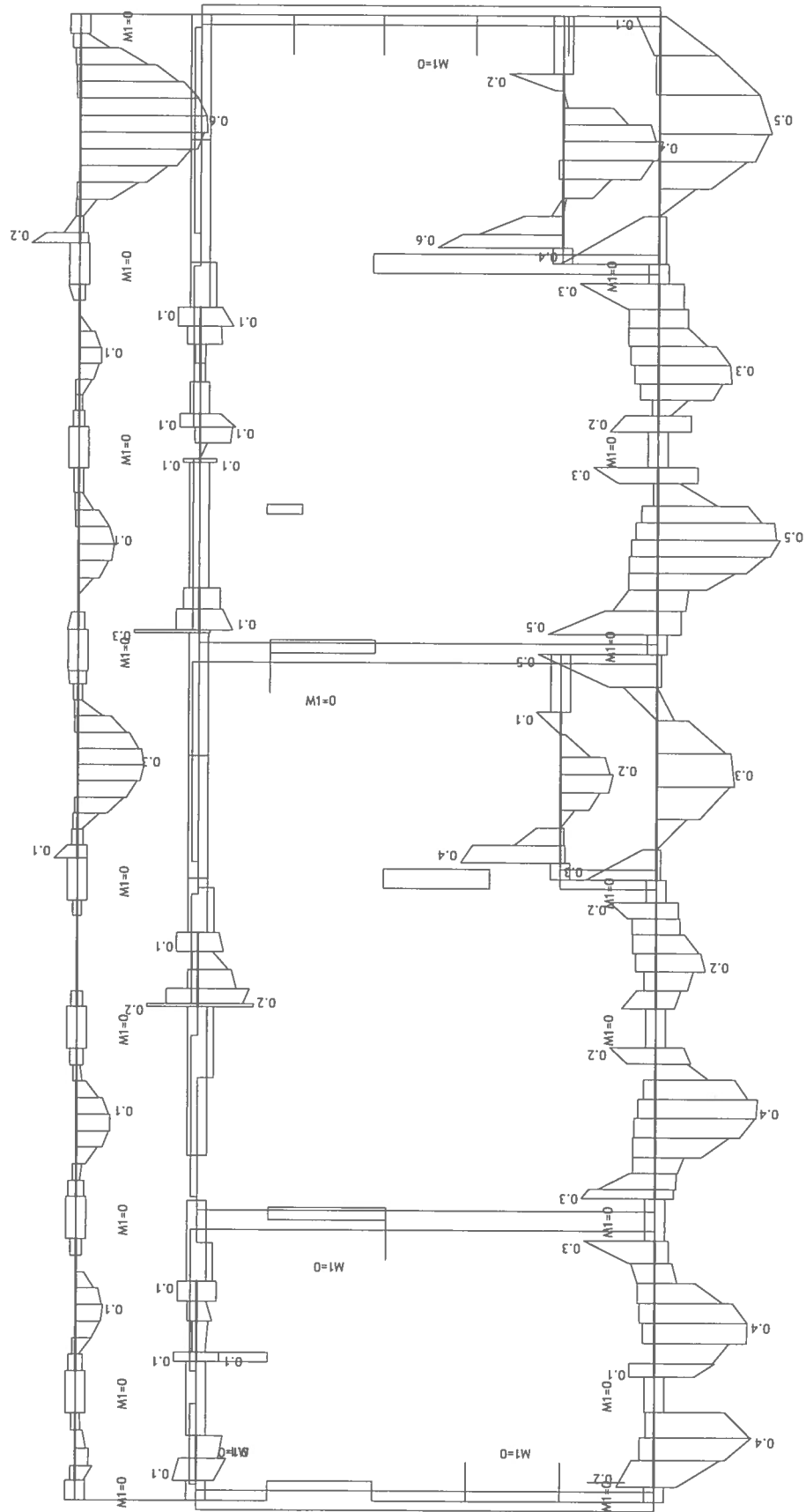
Aa - zg.cona - Smer 1 - max Aa1,z= -6.2 cm<sup>2</sup>/m

Merodajna obtežba: 7,8  
 EC 2 (EN 1992-1-1:2004), C 30, S500H, a=3.00 cm



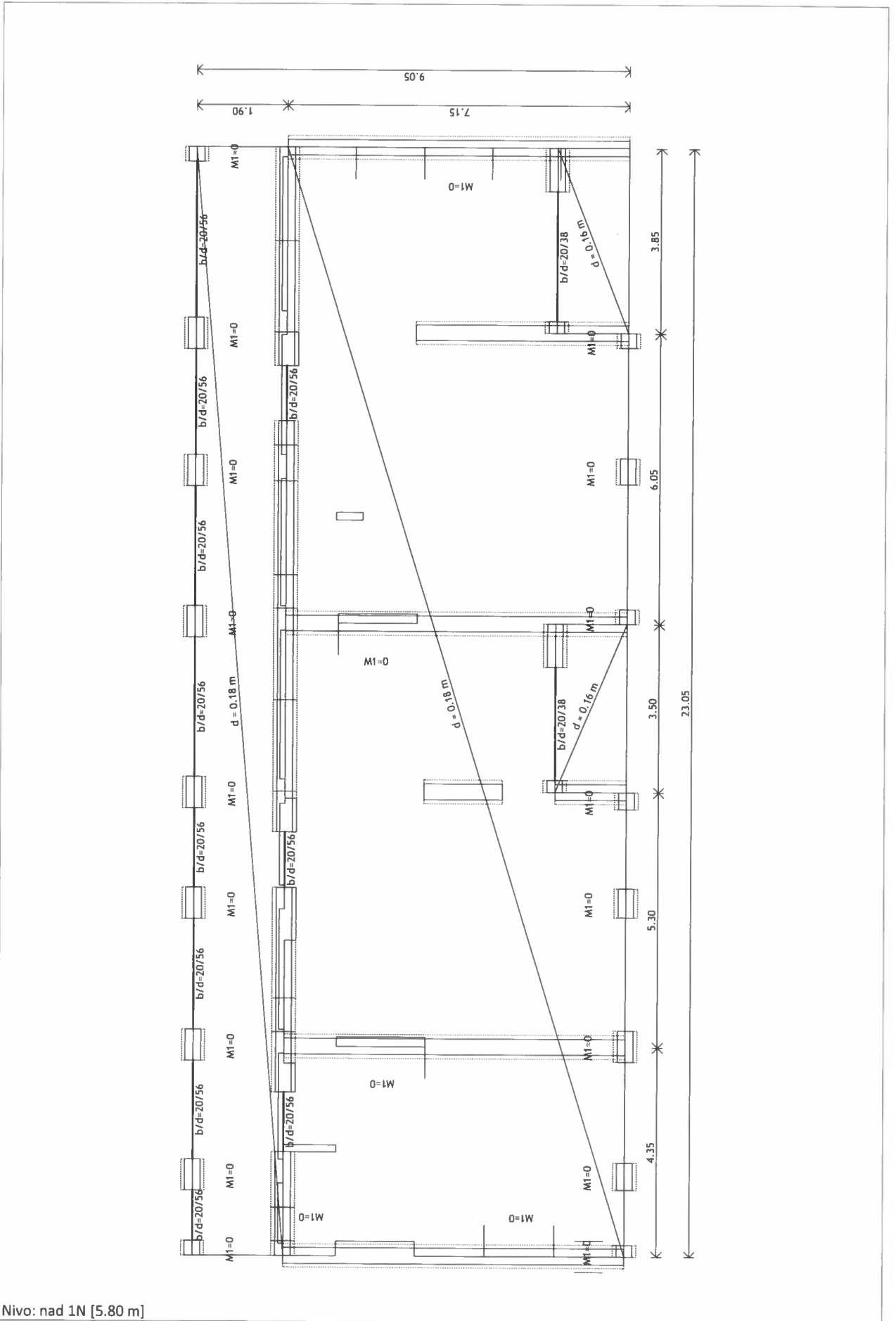
Nivo: nad 2N [8.60 m]  
 Aa - zg.cona - Smer 2 - max Aa<sub>2,z</sub> = -7.2 cm<sup>2</sup>/m

Merodajna obtežba: 7,8  
 EC 2 (EN 1992-1-1:2004), C 30, S500H



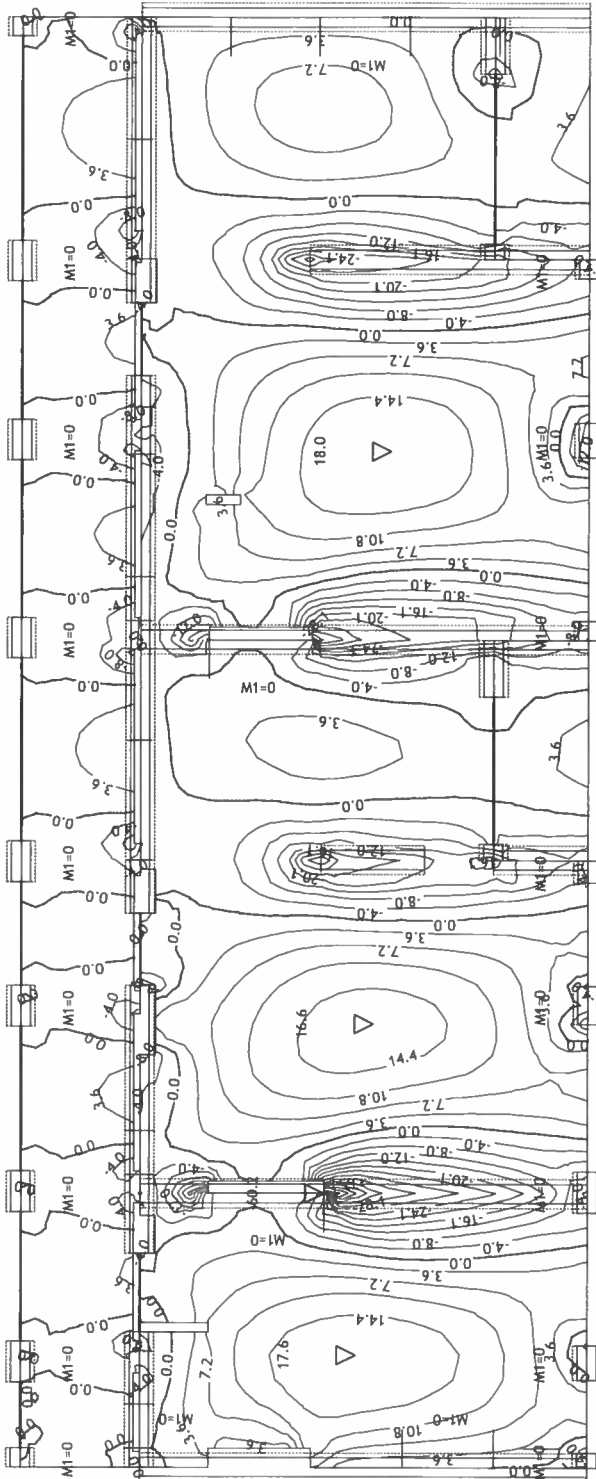
Nivo: nad 2N [8.60 m]

Armatura v gredah: max Aa2/Aa1= 0.6 / 0.6 cm<sup>2</sup>



Nivo: nad 1N [5.80 m]

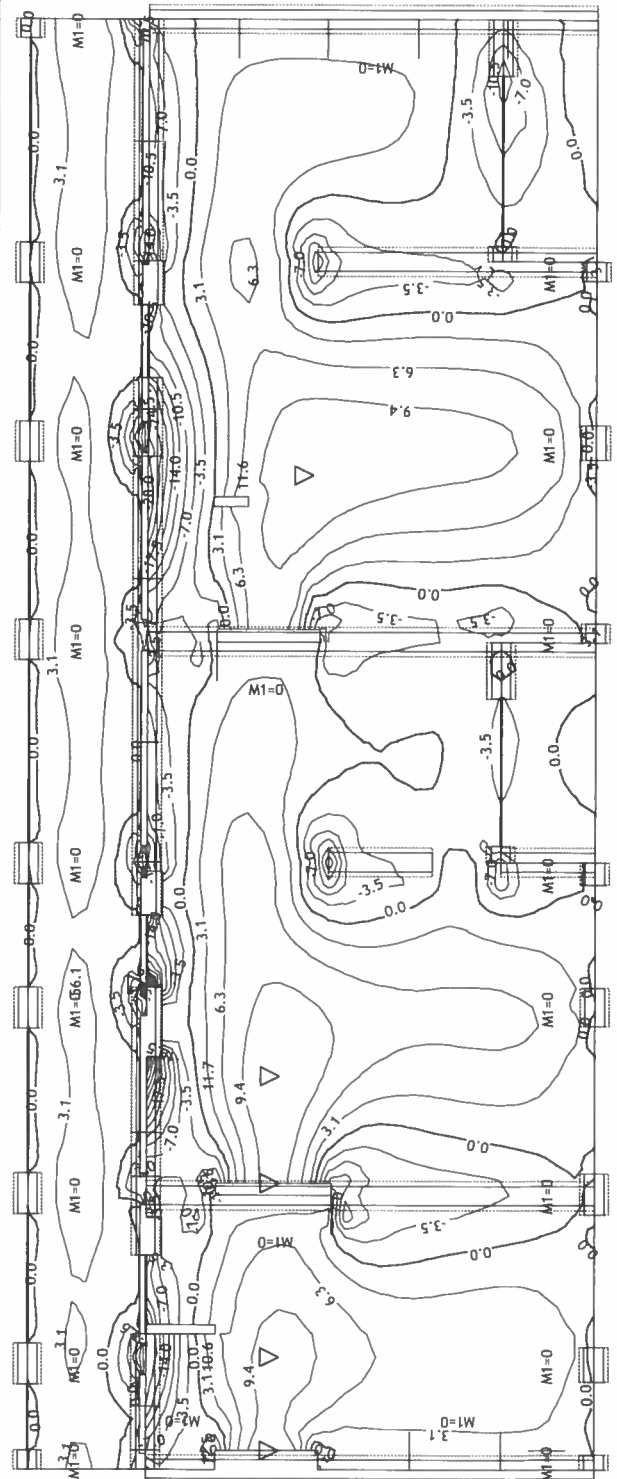
Obt. 7: 1.35xI+1.5xII+0.75xIII+1.35xIV



Nivo: nad 1N [5.80 m]

Vplivi v plošči: max  $M_x = 18.0$  / min  $M_x = -60.2$  kNm/m

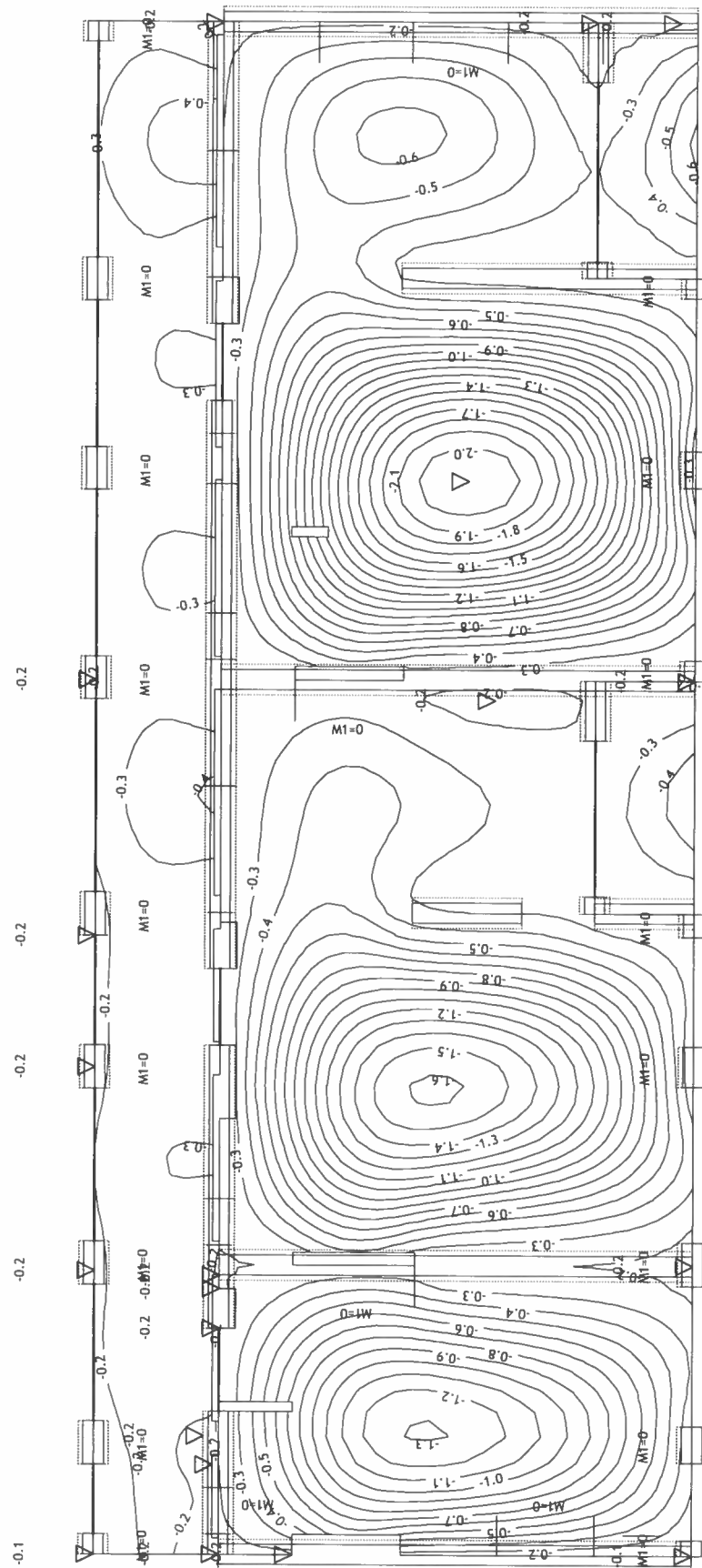
Obt. 7: 1.35xI+1.5xII+0.75xIII+1.35xIV



Nivo: nad 1N [5.80 m]

Vplivi v plošči: max  $M_y = 12.5$  / min  $M_y = -56.1$  kNm/m

Obt. 5: I+II+0.5xIII+IV

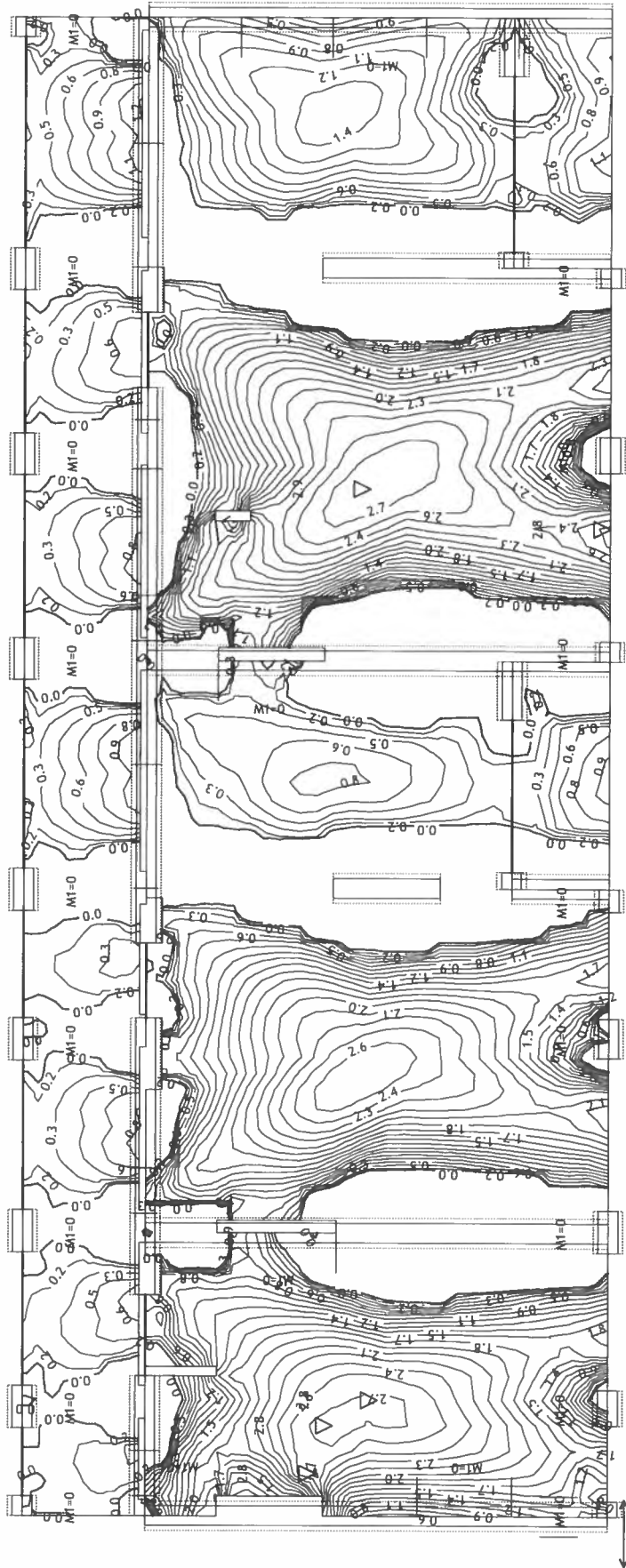


Nivo: nad 1N [5.80 m]

Vplivi v plošči: max Zp= -0.1 / min Zp= -2.1 m / 1000

Merodajna obtežba: 7,8

EC 2 (EN 1992-1-1:2004), C 30, S500H, a=3.00 cm

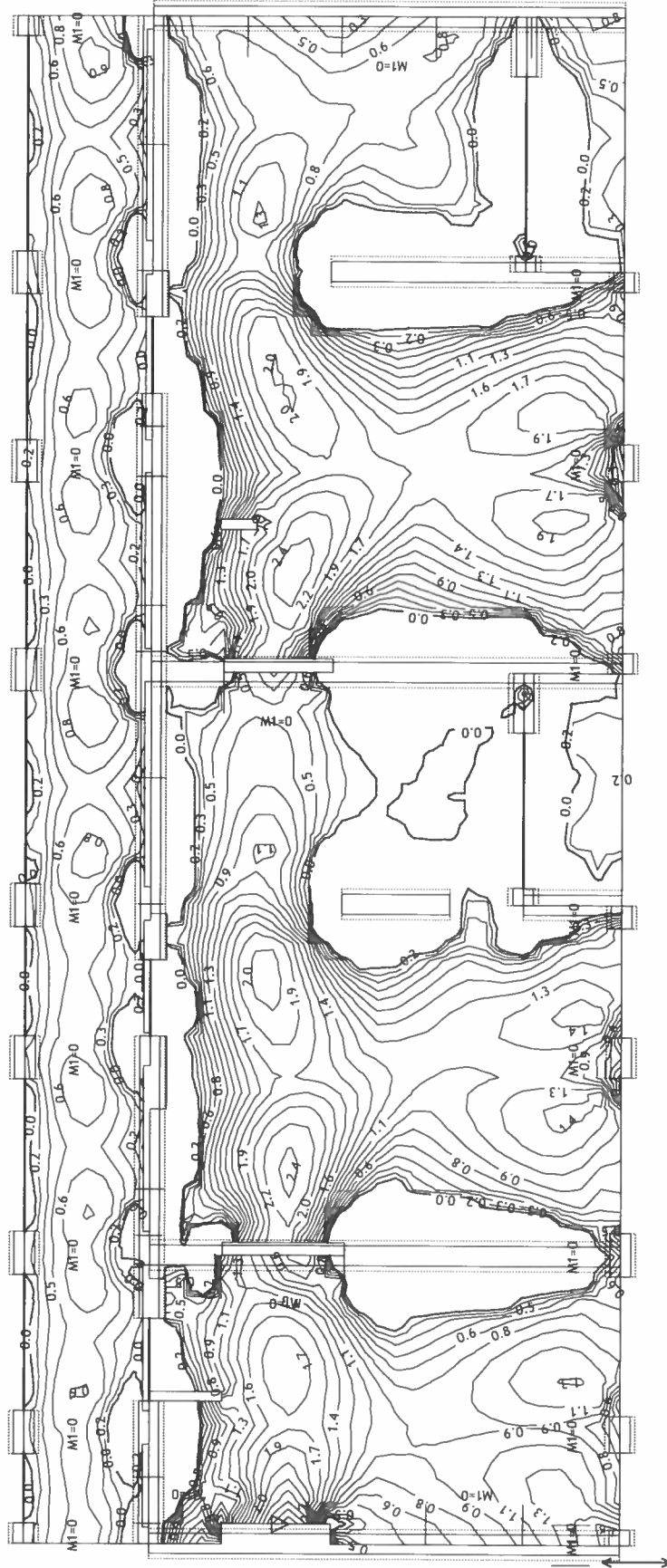


Nivo: nad 1N [5.80 m]

Aa - sp.cona - Smer 1 - max Aa1,s= 2.9 cm<sup>2</sup>/m

Merodajna obtežba: 7,8

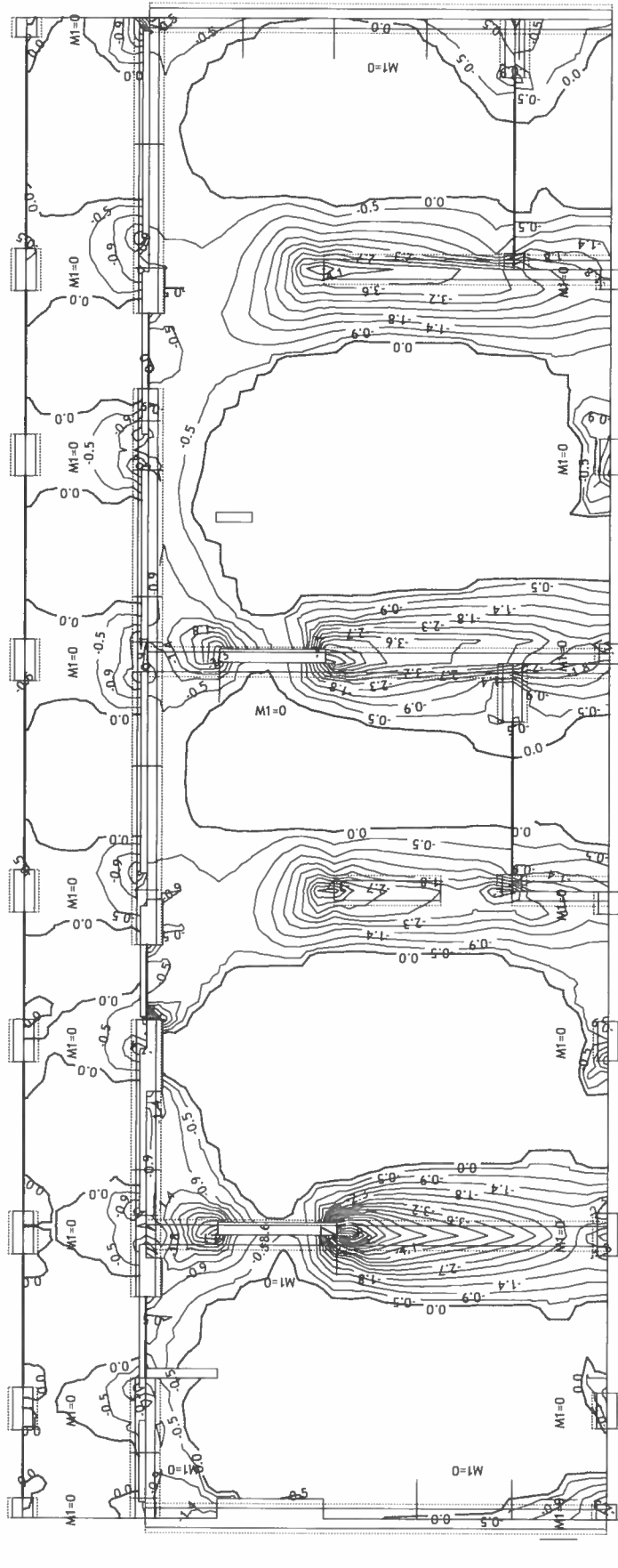
EC 2 (EN 1992-1-1:2004), C 30, S500H, a=3.00 cm



Nivo: nad 1N [5.80 m]

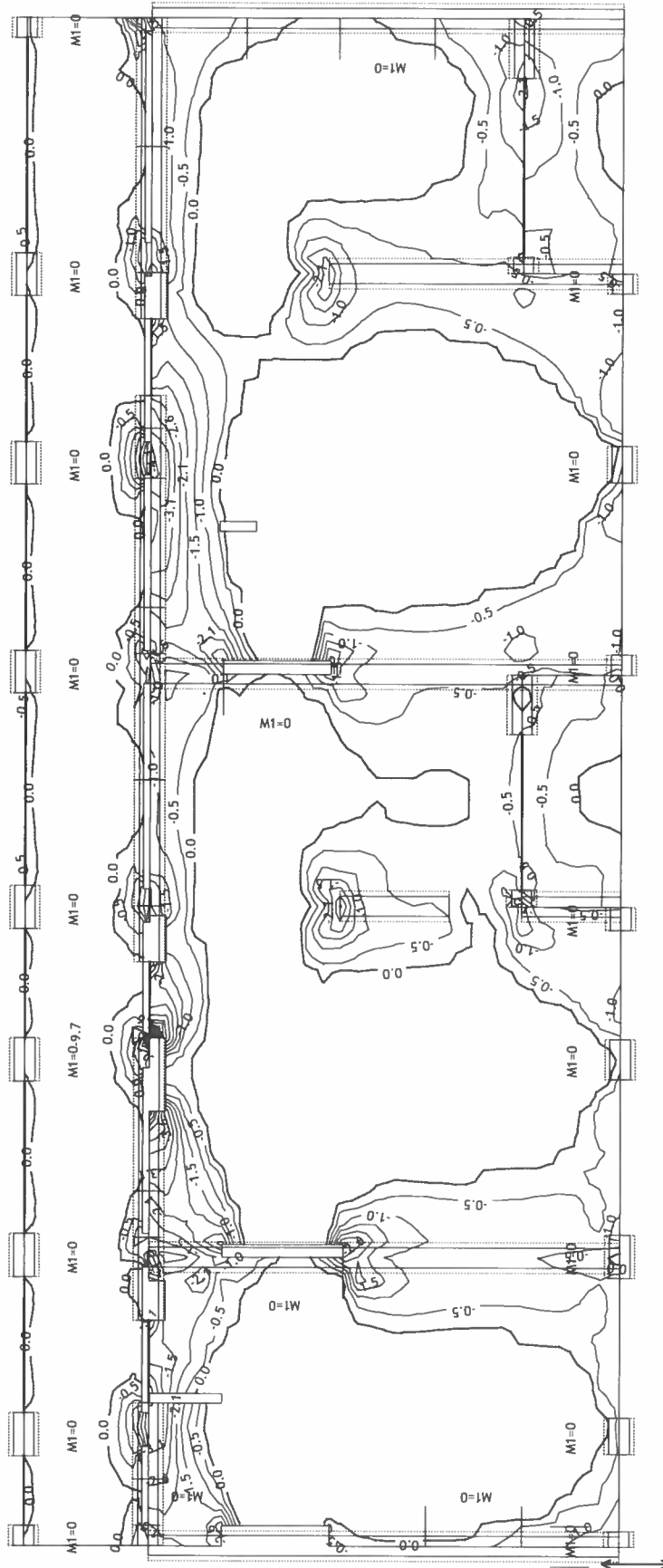
Aa - sp.cona - Smer 2 - max Aa2,s= 3.0 cm<sup>2</sup>/m

Merodajna obtežba: 7,8  
 EC 2 (EN 1992-1-1:2004), C 30, S500H, a=3.00 cm



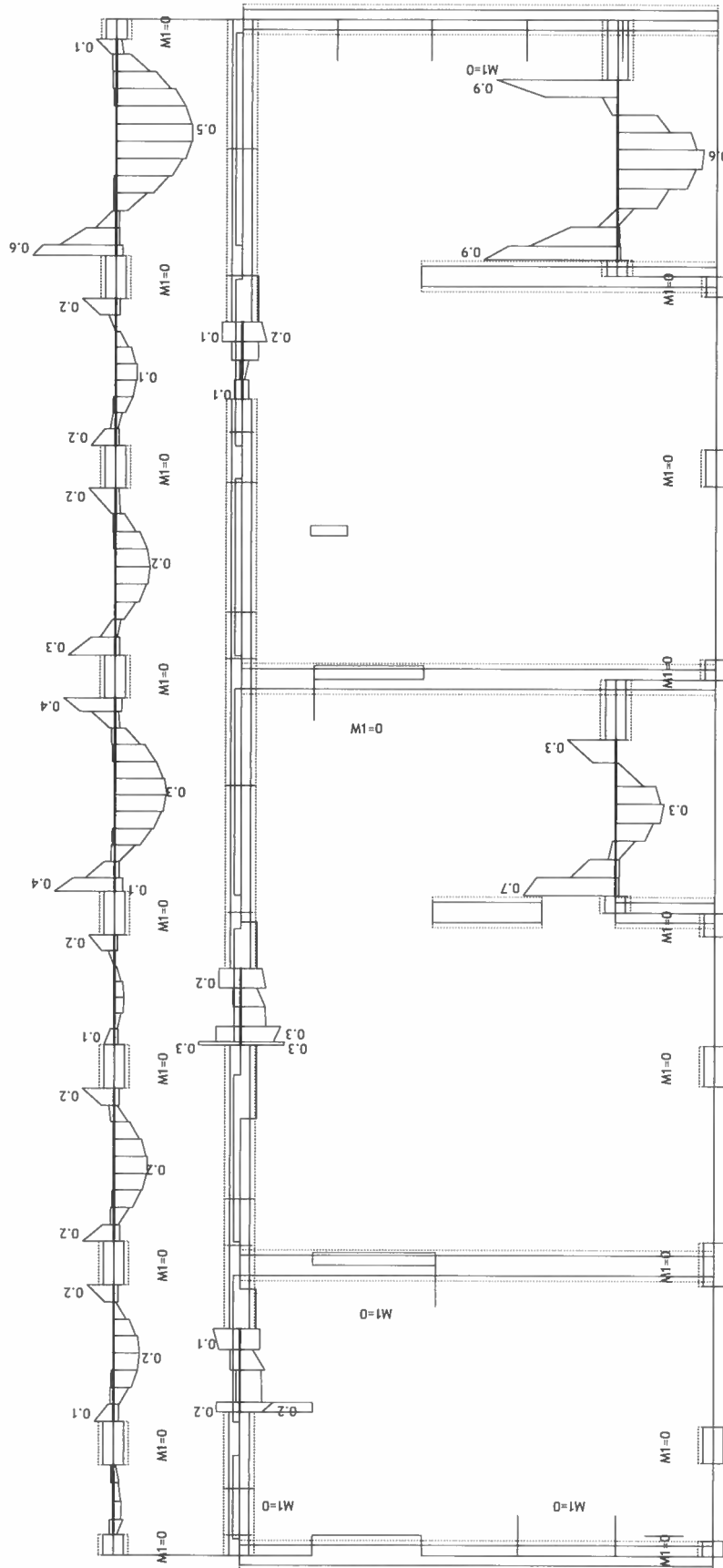
Nivo: nad 1N [5.80 m]  
 Aa - zg.cona - Smer 1 - max Aa1,z= -8.6 cm<sup>2</sup>/m

Merodajna obtežba: 7,8  
 EC 2 (EN 1992-1-1:2004), C 30, S500H, a=3.00 cm



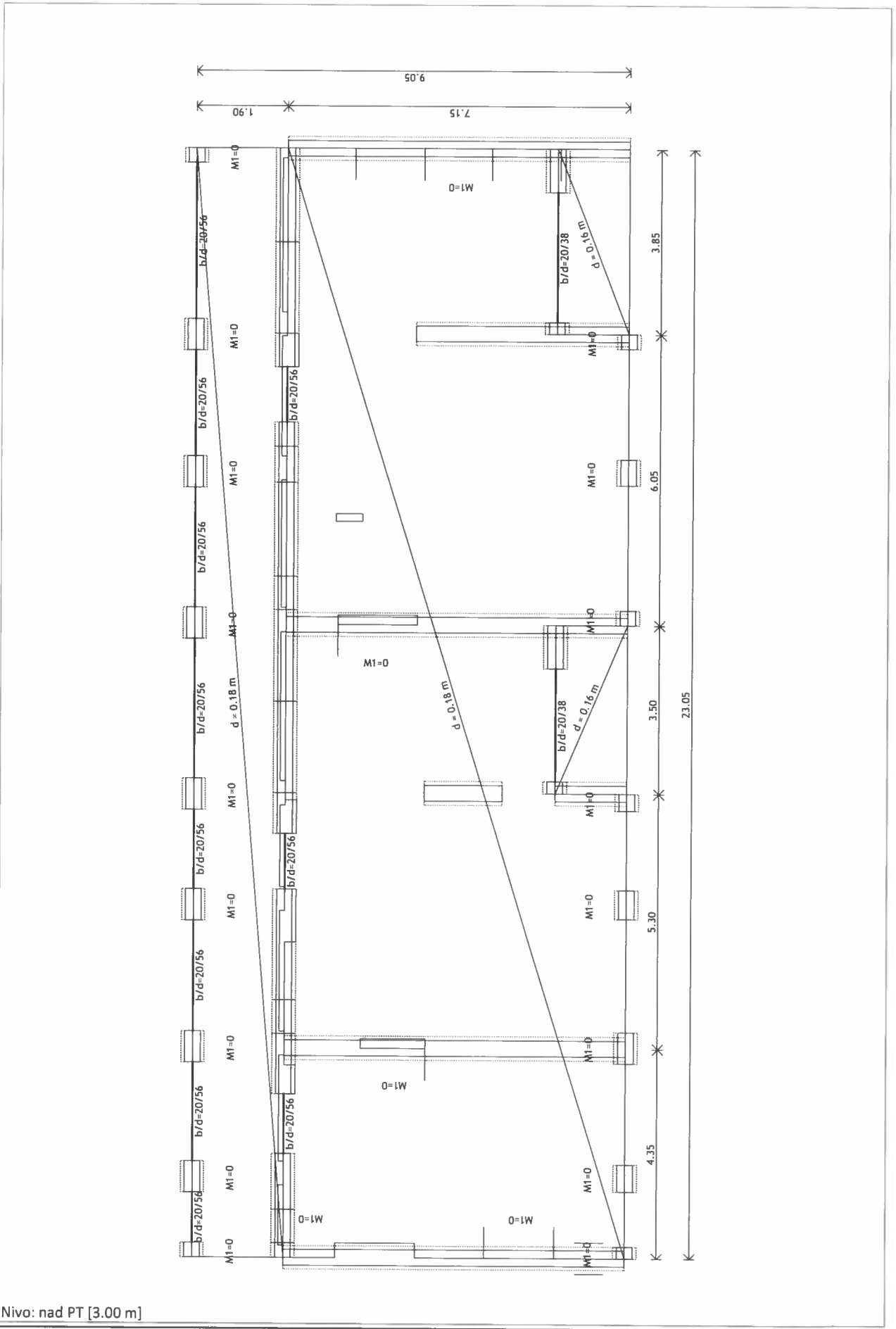
Nivo: nad 1N [5.80 m]  
 Aa - zg.cona - Smer 2 - max Aa2,z= -9.7 cm<sup>2</sup>/m

Merodajna obtežba: 7,8  
 EC 2 (EN 1992-1-1:2004), C 30, S500H



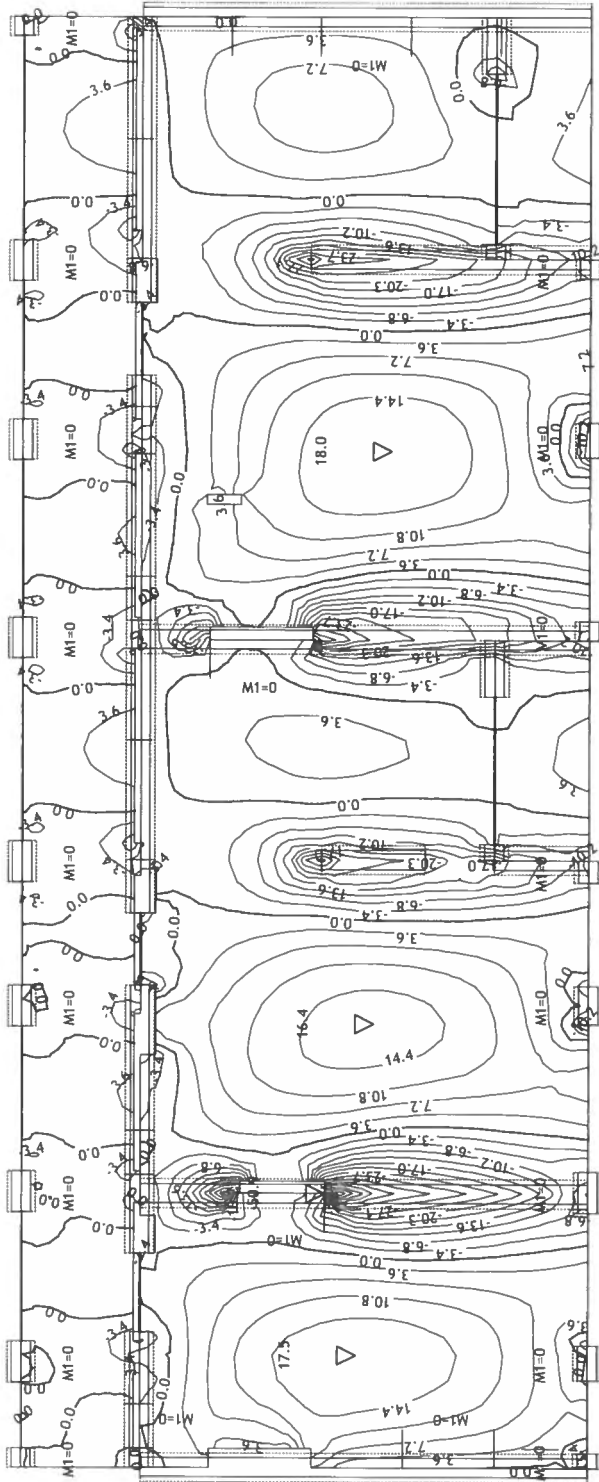
Nivo: nad 1N [5.80 m]

Armatura v gredah: max Aa2/Aa1 = 0.9 / 0.6 cm<sup>2</sup>



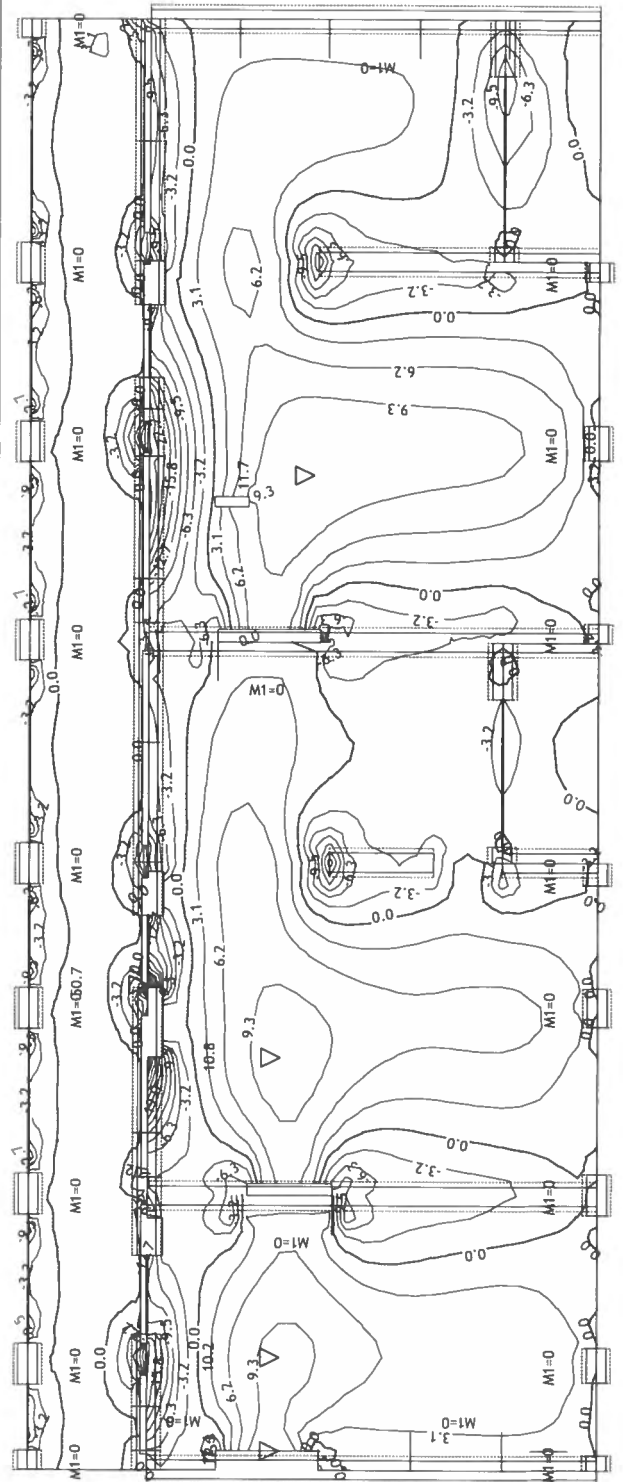
Nivo: nad PT [3.00 m]

Obt. 7: 1.35xI+1.5xII+0.75xIII+1.35xIV



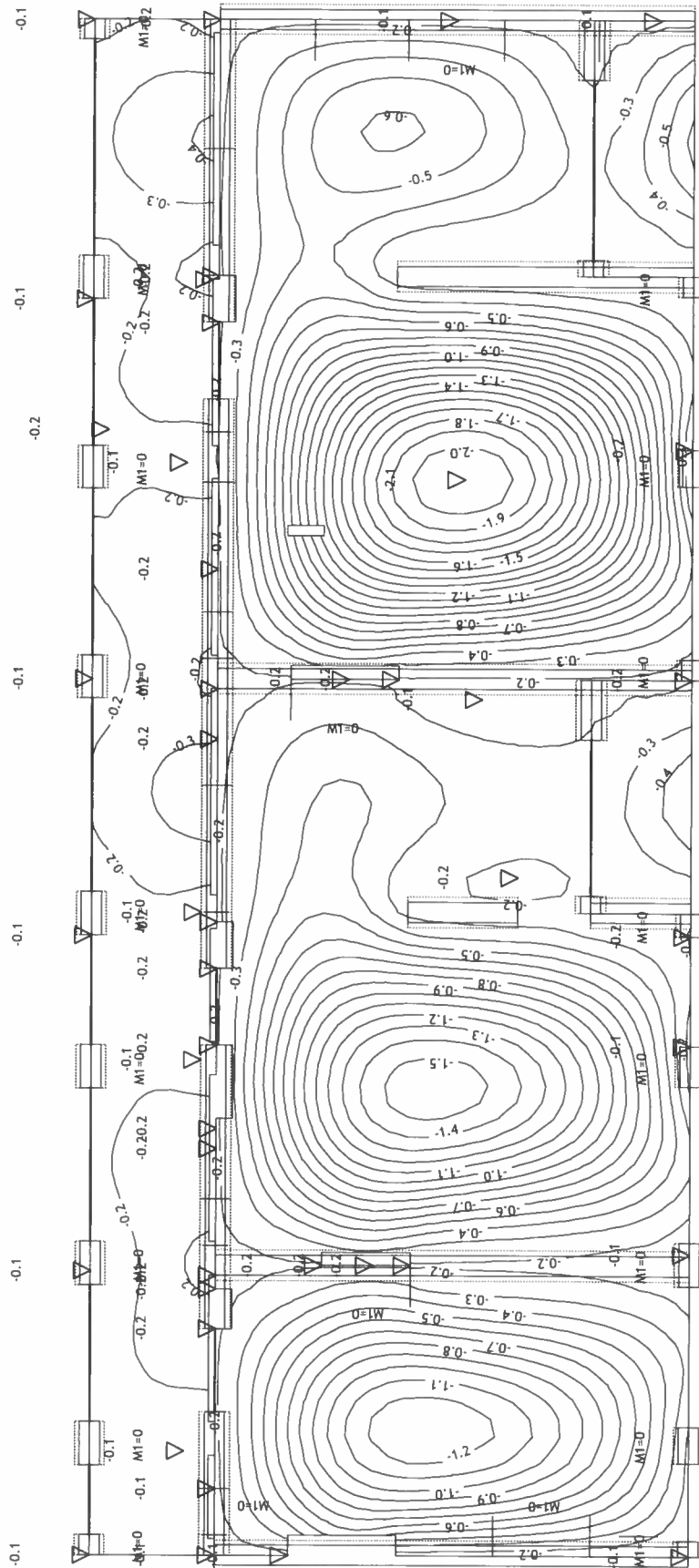
Nivo: nad PT [3.00 m]  
 Vplivi v plošči: max  $M_x = 18.0$  / min  $M_x = -50.9$  kNm/m

Obt. 7: 1.35xI+1.5xII+0.75xIII+1.35xIV



Nivo: nad PT [3.00 m]  
 Vplivi v plošči: max  $M_y = 12.4$  / min  $M_y = -50.7$  kNm/m

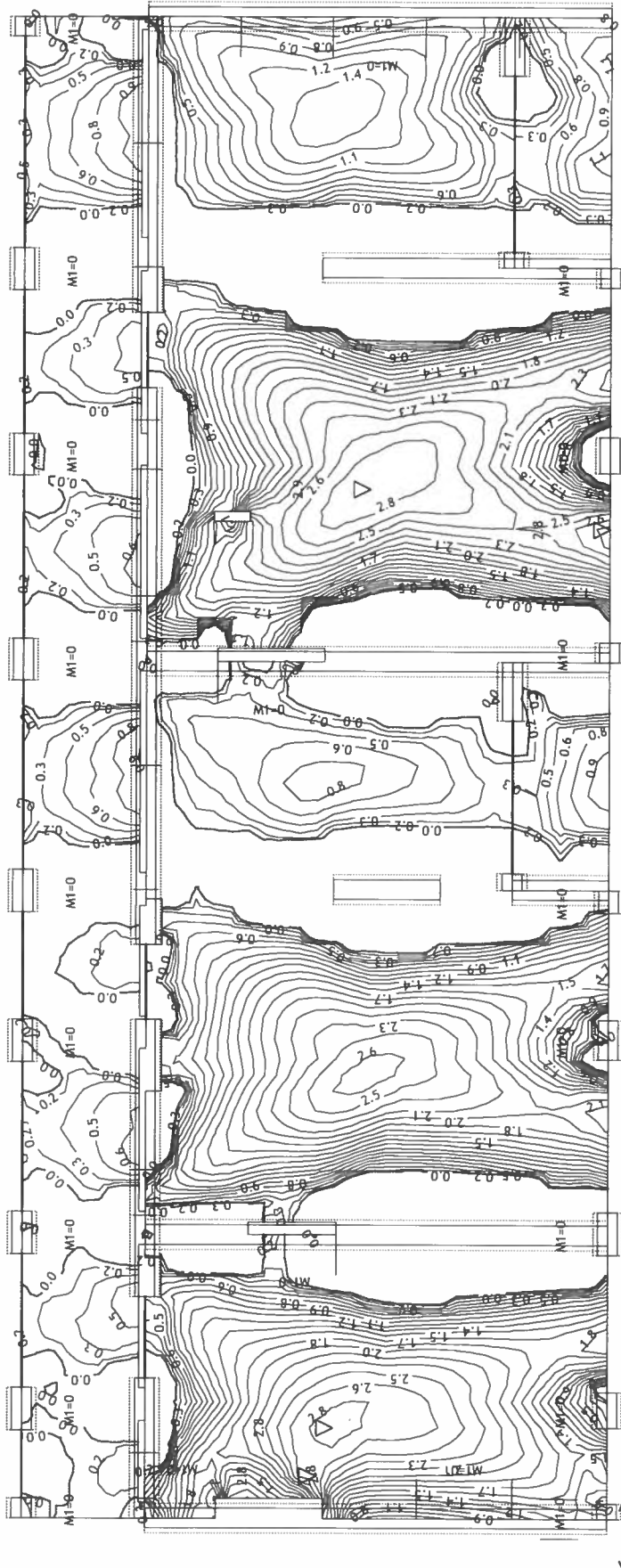
Obt. 5: I+II+0.5xIII+IV



Nivo: nad PT [3.00 m]

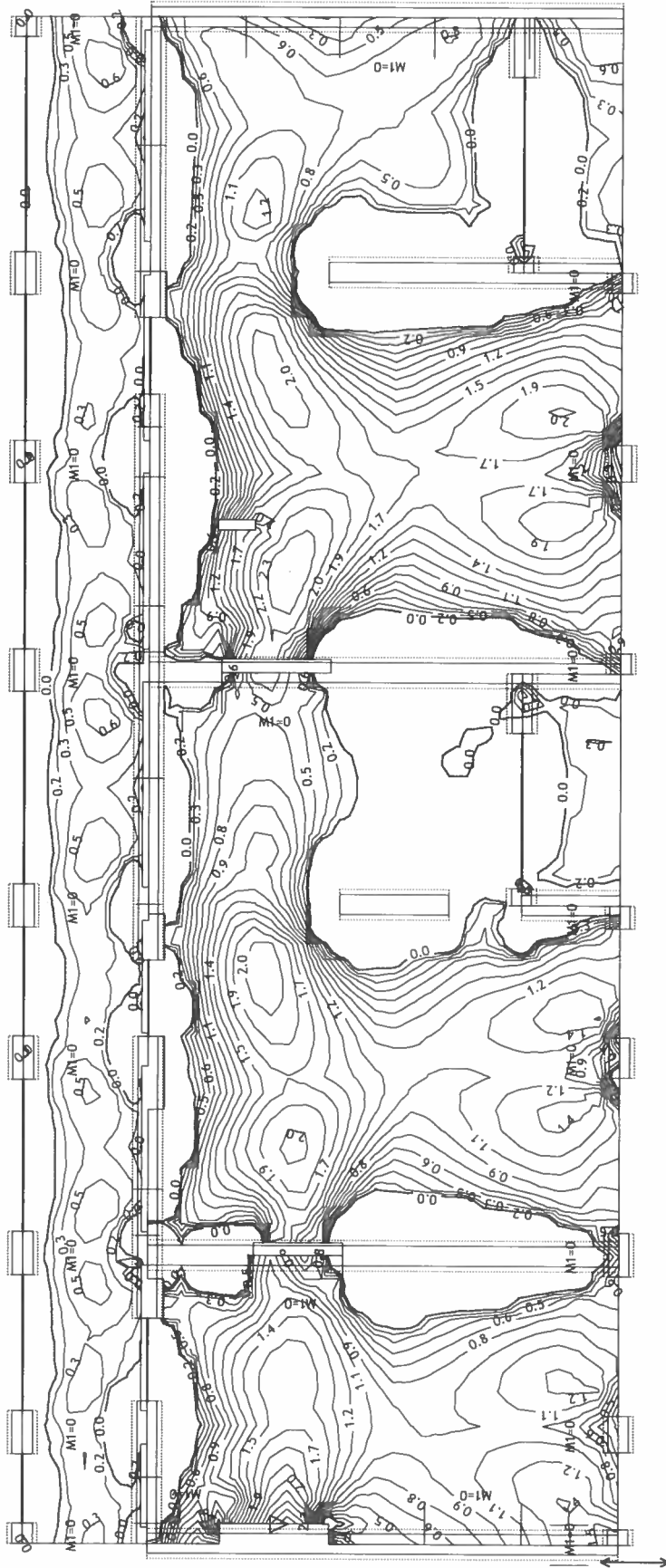
Vplivi v plošči: max Zp= -0.1 / min Zp= -2.1 m / 1000

Merodajna obtežba: 7,8  
 EC 2 (EN 1992-1-1:2004), C 30, S500H, a=3.00 cm



Nivo: nad PT [3.00 m]  
 Aa - sp.cona - Smer 1 - max Aa1,s= 2.9 cm<sup>2</sup>/m

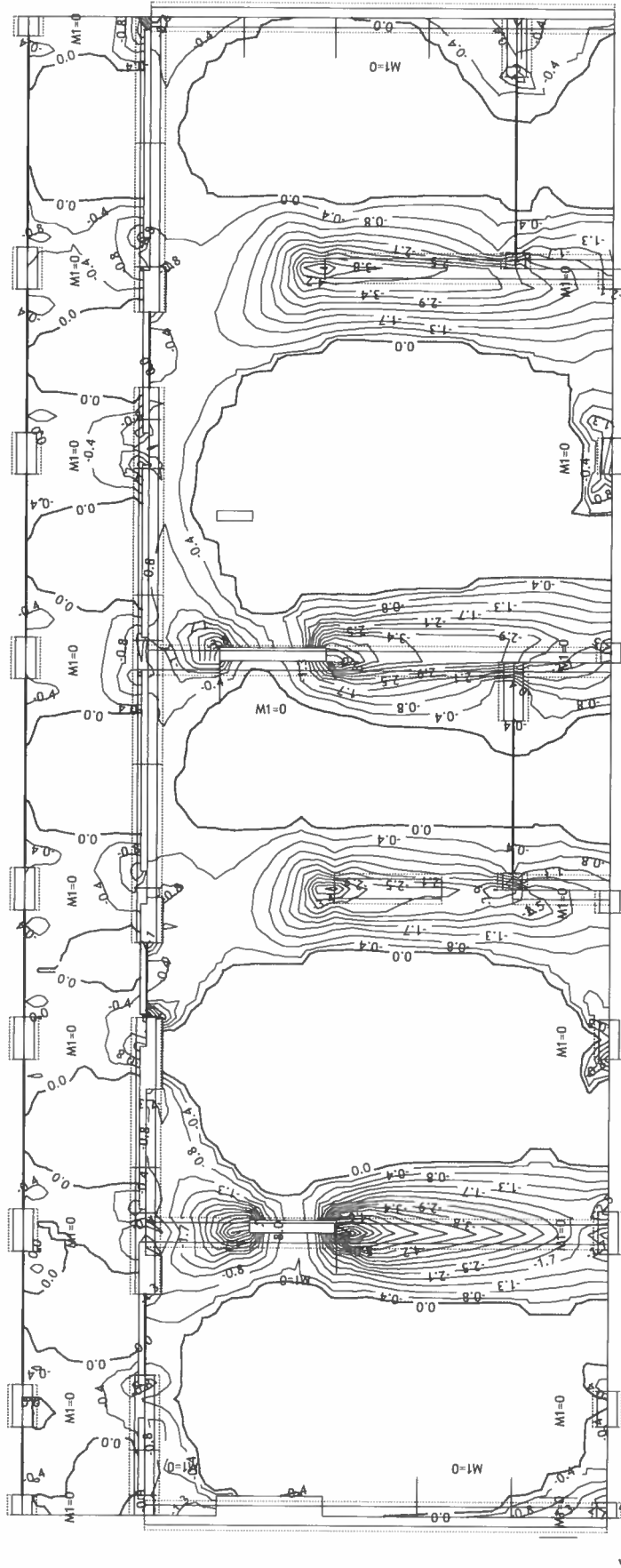
Merodajna obtežba: 7,8  
EC 2 (EN 1992-1-1:2004), C 30, S500H, a=3.00 cm



Nivo: nad PT [3.00 m]  
Aa - sp.cona - Smer 2 - max Aa2,s= 2.9 cm<sup>2</sup>/m

Merodajna obtežba: 7,8

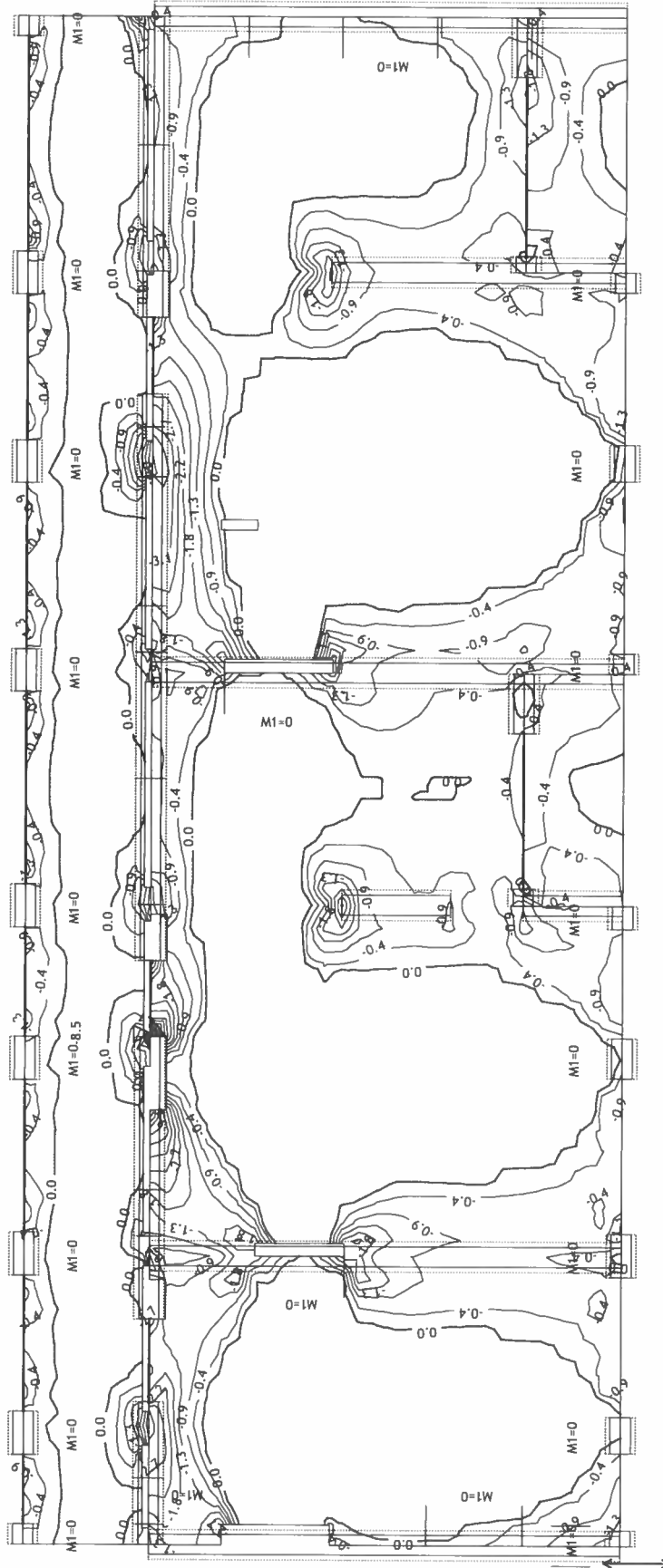
EC 2 (EN 1992-1-1:2004), C 30, S500H, a=3.00 cm



Nivo: nad PT [3.00 m]

Aa - zg.cona - Smer 1 - max Aa1,z= -8.0 cm<sup>2</sup>/m

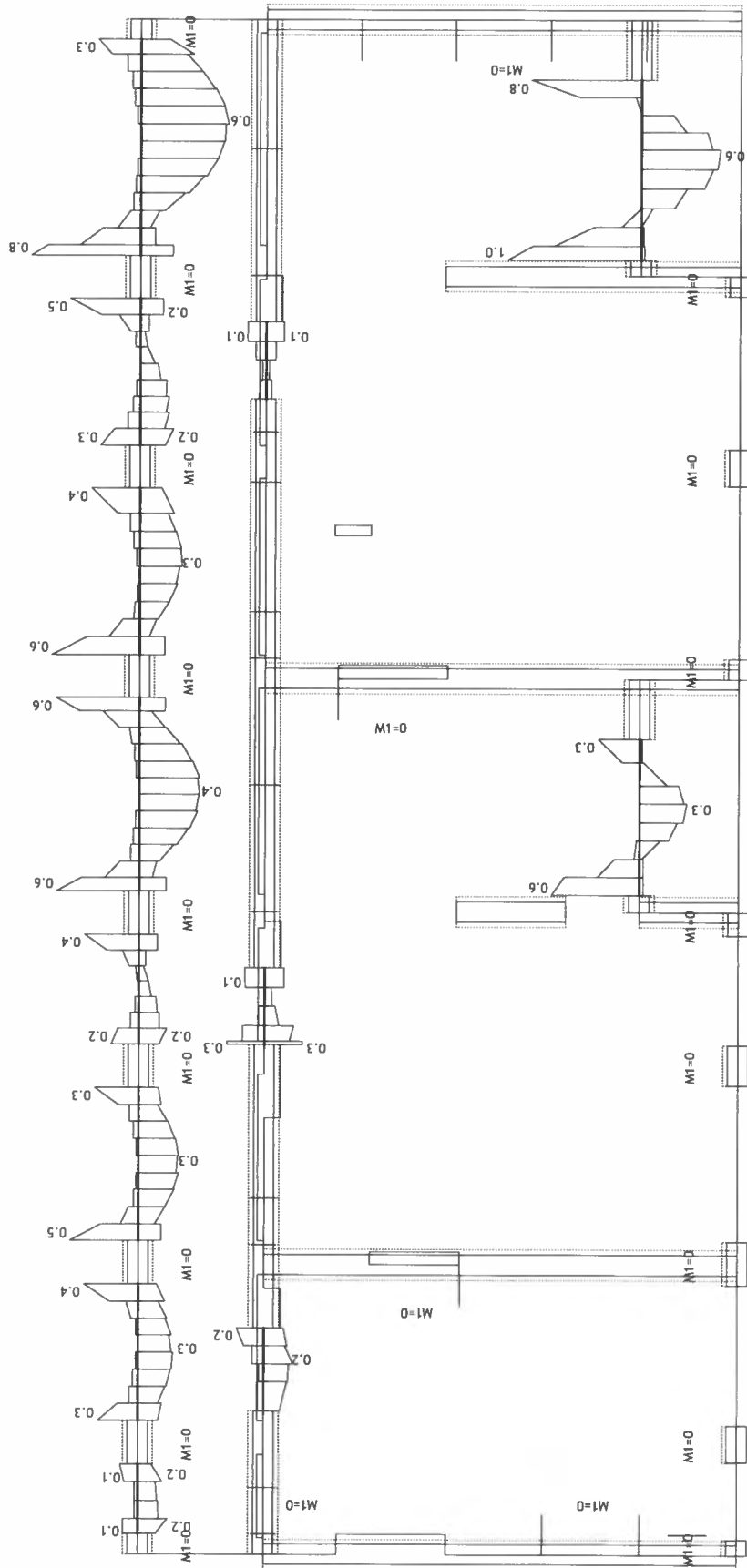
Merodajna obtežba: 7,8  
EC 2 (EN 1992-1-1:2004), C 30, S500H, a=3.00 cm



Nivo: nad PT [3.00 m]

Aa - zg.cona - Smer 2 - max Aa2,z= -8.5 cm<sup>2</sup>/m

Merodajna obtežba: 7,8  
 EC 2 (EN 1992-1-1:2004), C 30, S500H



Nivo: nad PT [3.00 m]

Armatura v gredah: max Aa2/Aa1= 1.0 / 0.6 cm<sup>2</sup>

A74

## 2.2 Seizmični izračun

### 2.2.1 Razred duktilnosti in faktor obnašanja

Dilatacija A3:

Za smer x znaša

$$\alpha_{0,x} = \frac{\sum h_{wi}}{\sum l_{wi}} = \frac{23 \cdot 9'0}{30'8} = 6'7$$

$$0'5 \leq k_{w,x} = \frac{1 + \alpha_{0,x}}{3} = 2'5 \leq 1'0$$

Za smer y pa

$$\alpha_{0,y} = \frac{6 \cdot 9'0}{38'19} = 1'4$$

$$0'5 \leq k_{w,y} = \frac{1 + \alpha_{0,y}}{3} = 0'8 \leq 1'0$$

Za geometrijo konstrukcije lahko rečemo, da je pravilna po višini. Računska vrednost faktorja obnašanja znaša tako

$$1.5 \leq q_x = q_0 \cdot k_w = 3'6 \cdot 1'0 = 3'6$$

$$1.5 \leq q_y = q_0 \cdot k_w = 3'6 \cdot 0'8 = 2'9$$

### 2.2.2 Omejitev poškodb

Standard SIST EN 1998-1 omejuje etažne pomike. Etažni pomiki konstrukcije pri potresni analizi ob upoštevanju faktorja  $q = 1$ .

Da preprečimo pretirane poškodbe konstrukcije, standard SIST EN 1998-1 člen 4.4.3, omeji velikost pomikov z enačbo:

$$d_r v \leq \alpha h \rightarrow \frac{d_r}{h} \leq \frac{\alpha}{v}$$

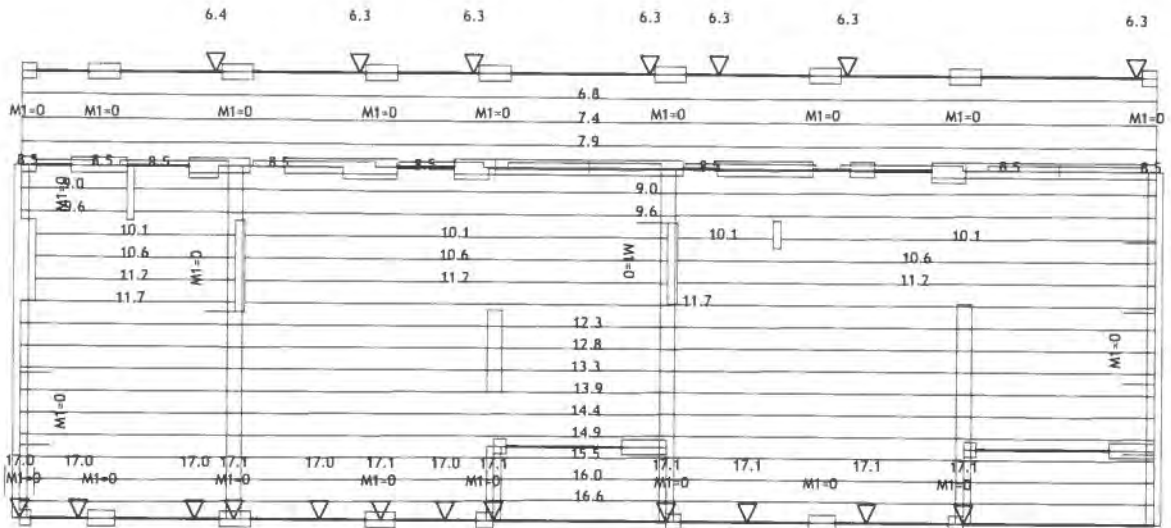
$d_r$  ... projektni etažni pomik, določen kot razlika med povprečnima vodoravnima pomikoma  $d_s$  na vrhu in dnu etaže,  $h$  ... etažna višina,  $v$  ... redukcijski faktor, ki upošteva manjšo povratno dobo potresa (standard za kategorijo pomembnosti II priporoča vrednost 0'5,  $\alpha$  ... faktor, odvisen od duktilnosti nekonstrukcijskih elementov ( $\alpha = 0'005$  za nekonstrukcijske elemente iz krhkih materialov,  $\alpha = 0'0075$  za duktilne nekonstrukcijske elemente,  $\alpha = 0'010$  za nekonstrukcijske elemente na katere deformacije konstrukcije ne vplivajo)

Etažni zamiki konstrukcije so zbrani v preglednici v nadaljevanju:

etaža i	Zi (m)	hi (m)	Potres v X smeri				Potres v Y smeri				Ex + 0.3 Ey		0.3 Ex + Ey		v'd <sub>r,max</sub> (mm)	0,005'hi (mm)	Kontrola	Kategorija pomembnost	
			U <sub>X,Ex</sub> (mm)	U <sub>Y,Ex</sub> (mm)	d <sub>s,Ex</sub> (mm)	d <sub>r,Ex</sub> (mm)	U <sub>X,Ey</sub> (mm)	U <sub>Y,Ey</sub> (mm)	d <sub>s,Ey</sub> (mm)	d <sub>r,Ey</sub> (mm)	d <sub>x</sub> (mm)	d <sub>y</sub> (mm)	d <sub>x</sub> (mm)	d <sub>y</sub> (mm)				v	0,5
2 nad	8.92	2.80	17.10	14.60	5.00	4.70	2.70	29.00	0.80	9.20	5.24	7.46	2.30	10.61	5.43	14.00	OK	q =	1,0
1 nad	6.12	2.82	12.10	9.90	5.60	4.80	1.90	19.80	0.80	9.40	5.84	7.62	2.48	10.84	5.56	14.10	OK		
nad pt	3.30	3.30	6.50	5.10	6.50	5.10	1.10	10.40	1.10	10.40	6.83	8.22	3.05	11.93	6.16	16.50	OK		
temelji	0.00																		

OBJEKT ④ - díl ③

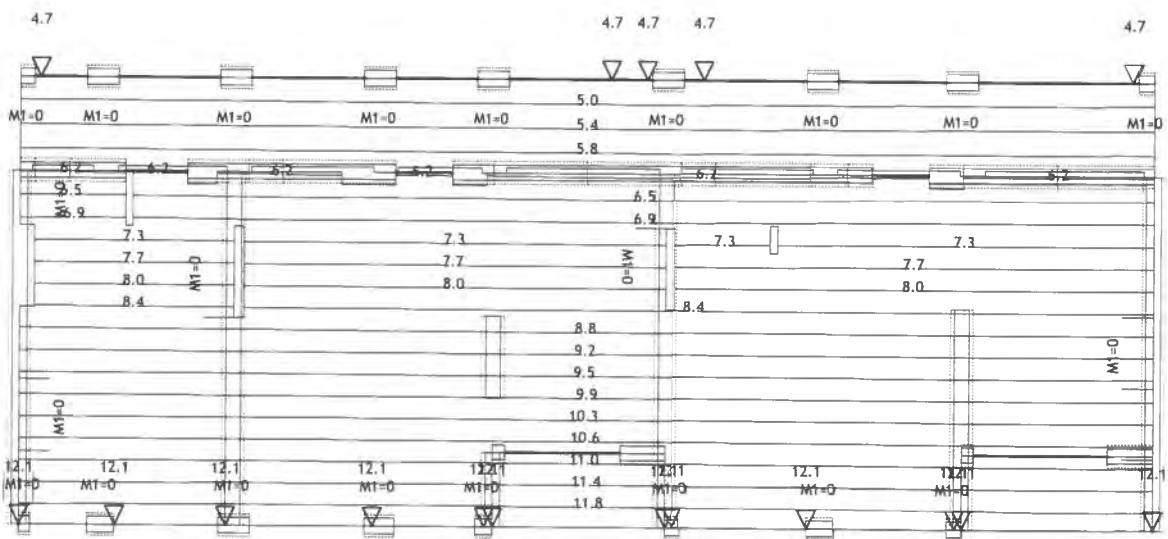
Obt. 5: smer x (+e)



Nivo: nad 2N [8.60 m]

Vplivi v plošči: max Xp= 17.1 / min Xp= 6.3 m / 1000

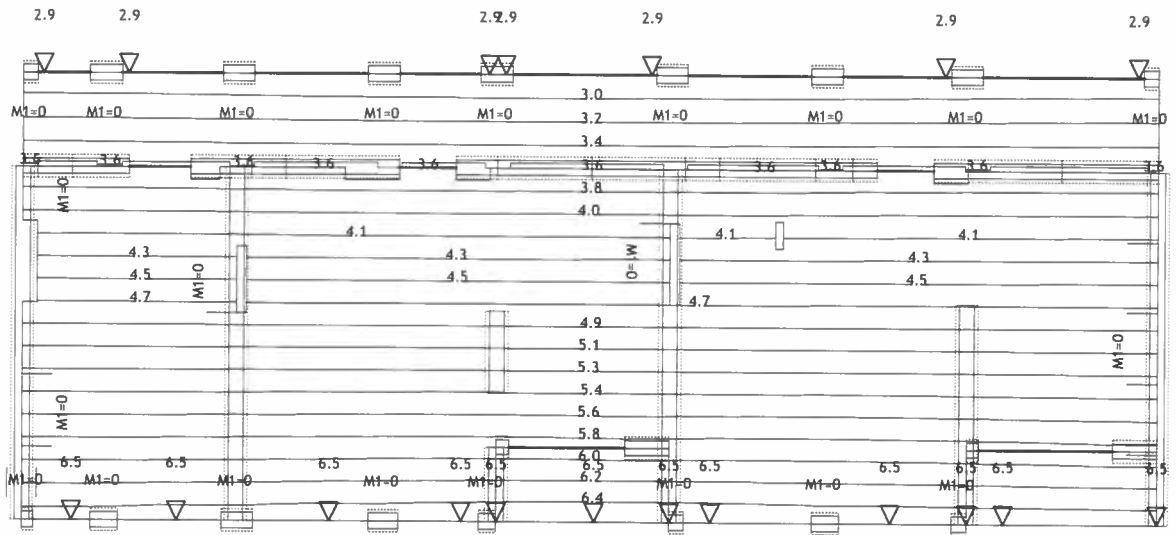
Obt. 5: smer x (+e)



Nivo: nad 1N [5.80 m]

Vplivi v plošči: max Xp= 12.1 / min Xp= 4.7 m / 1000

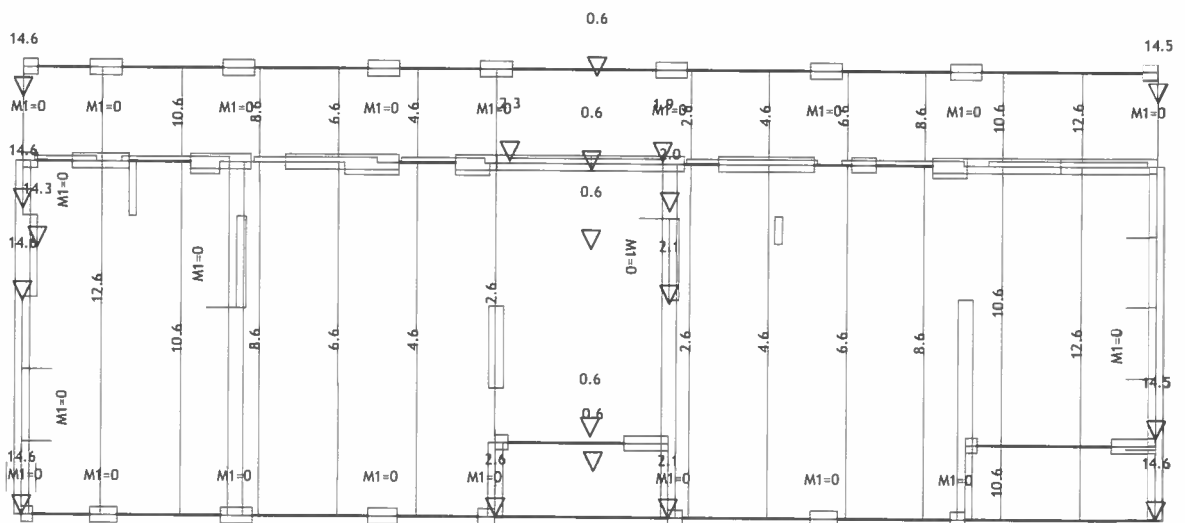
Obt. 5: smer x (+e)



Nivo: nad PT [3.00 m]

Vplivi v plošči: max Xp= 6.5 / min Xp= 2.9 m / 1000

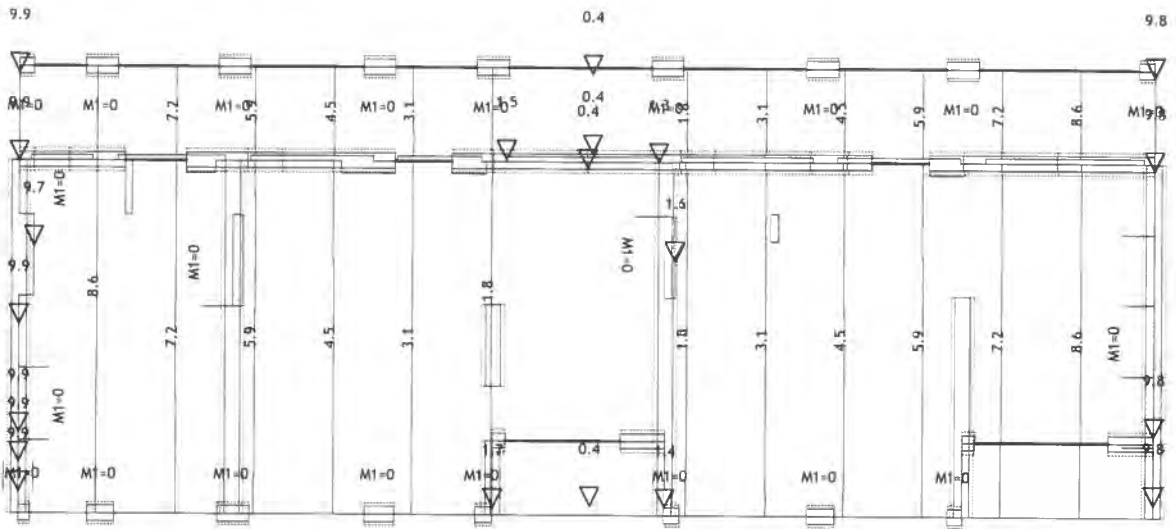
Obt. 5: smer x (+e)



Nivo: nad 2N [8.60 m]

Vplivi v plošči: max Yp= 14.6 / min Yp= 0.6 m / 1000

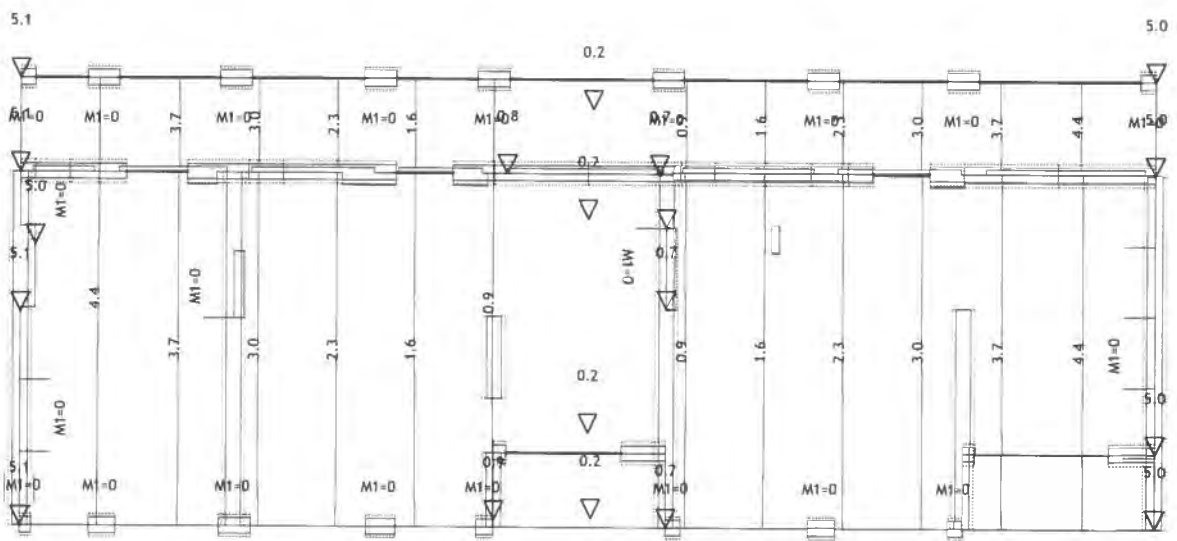
Obt. 5: smer x (+e)



Nivo: nad 1N [5.80 m]

Vplivi v plošči: max  $Y_p = 9.9$  / min  $Y_p = 0.4$  m / 1000

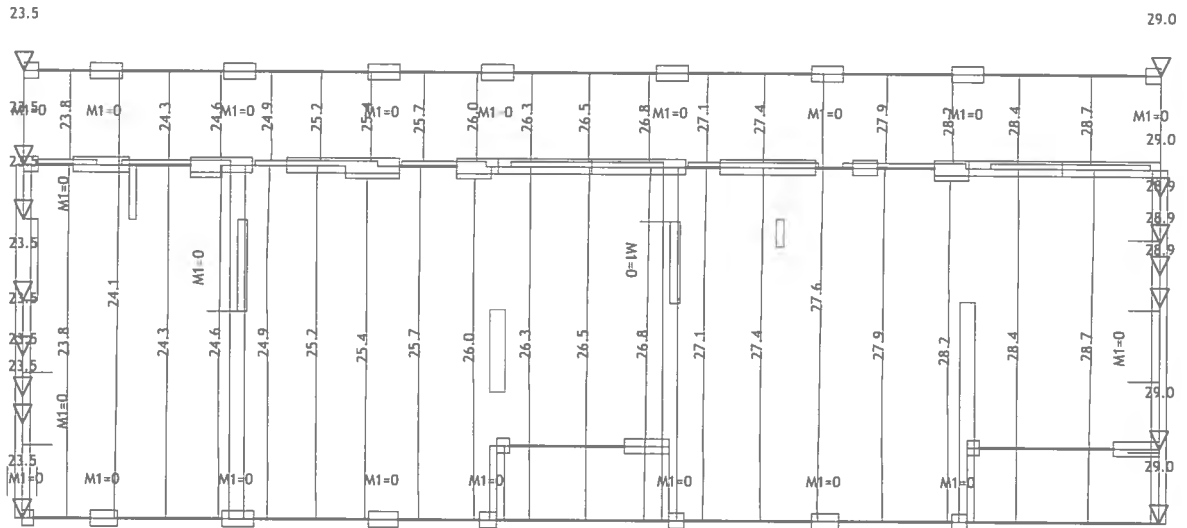
Obt. 5: smer x (+e)



Nivo: nad PT [3.00 m]

Vplivi v plošči: max  $Y_p = 5.1$  / min  $Y_p = 0.2$  m / 1000

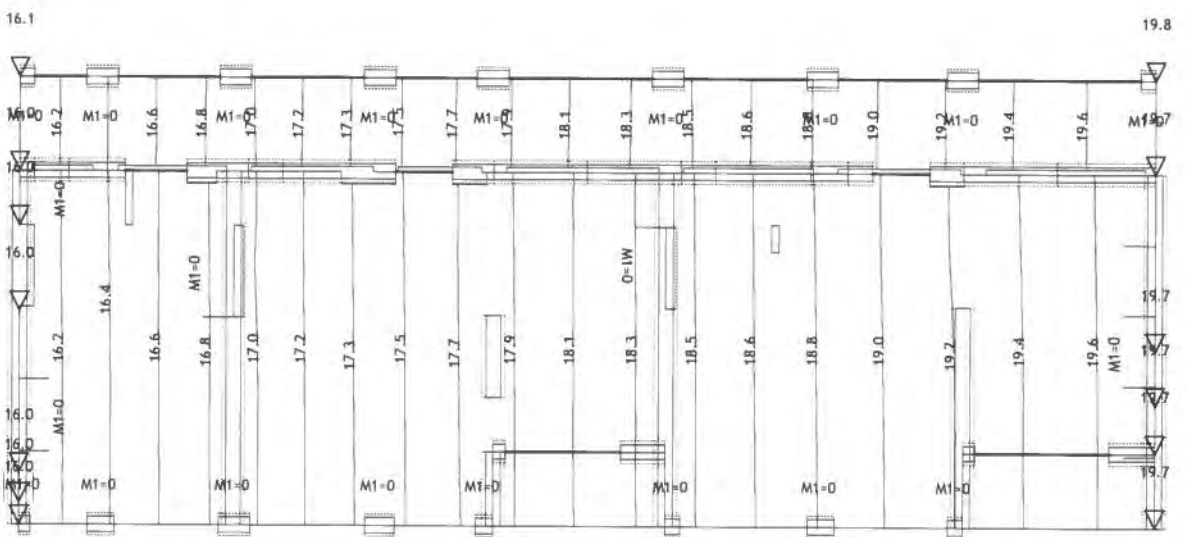
Obt. 7: smer y (+e)



Nivo: nad 2N [8.60 m]

Vplivi v plošči: max Yp= 29.0 / min Yp= 23.5 m / 1000

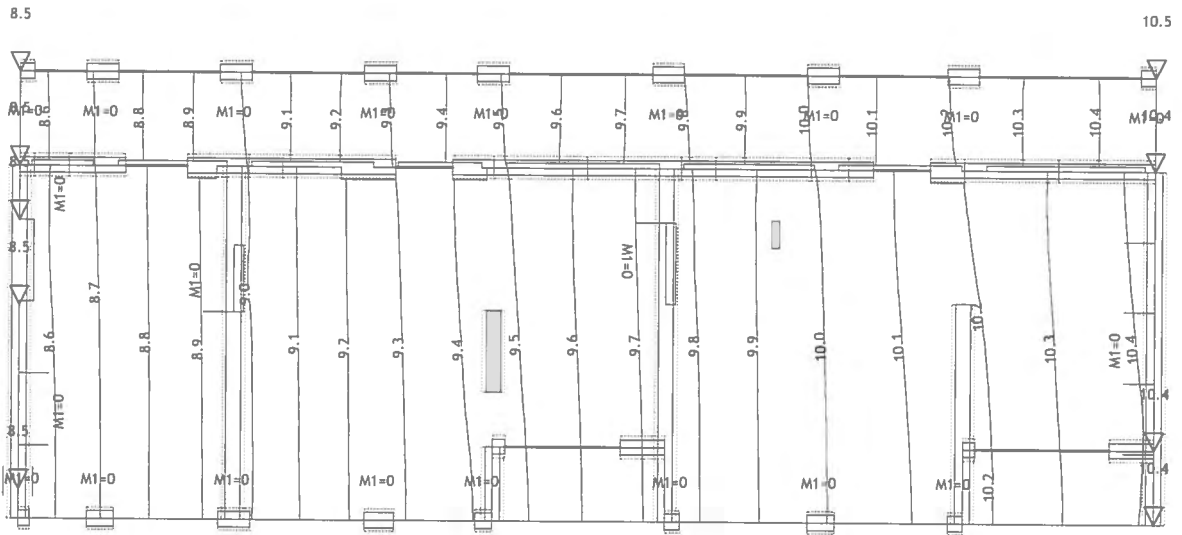
Obt. 7: smer y (+e)



Nivo: nad 1N [5.80 m]

Vplivi v plošči: max Yp= 19.8 / min Yp= 16.0 m / 1000

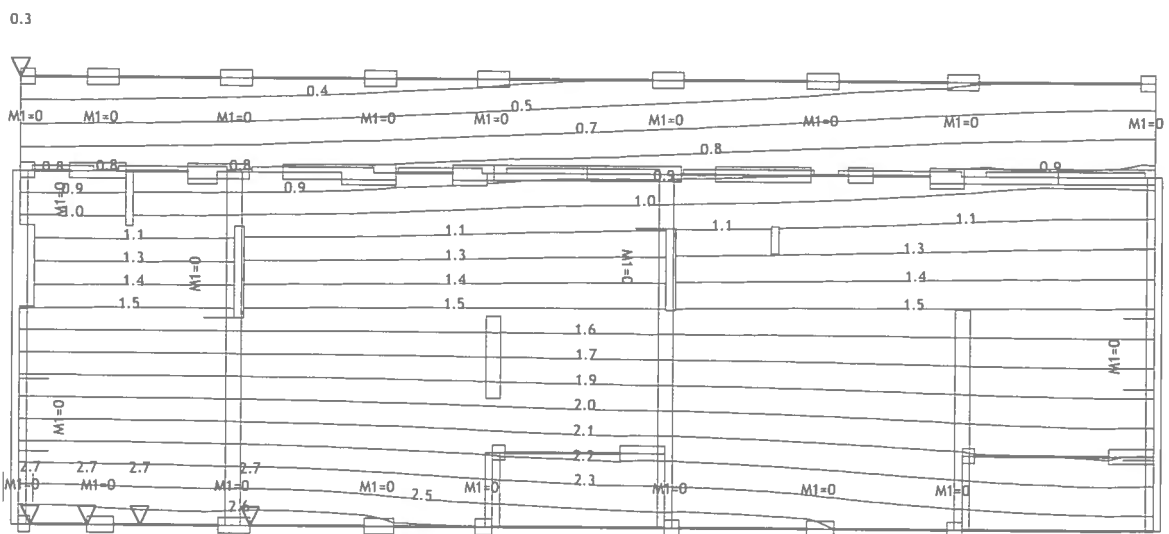
Obt. 7: smer y (+e)



Nivo: nad PT [3.00 m]

Vplivi v plošči: max Yp= 10.5 / min Yp= 8.5 m / 1000

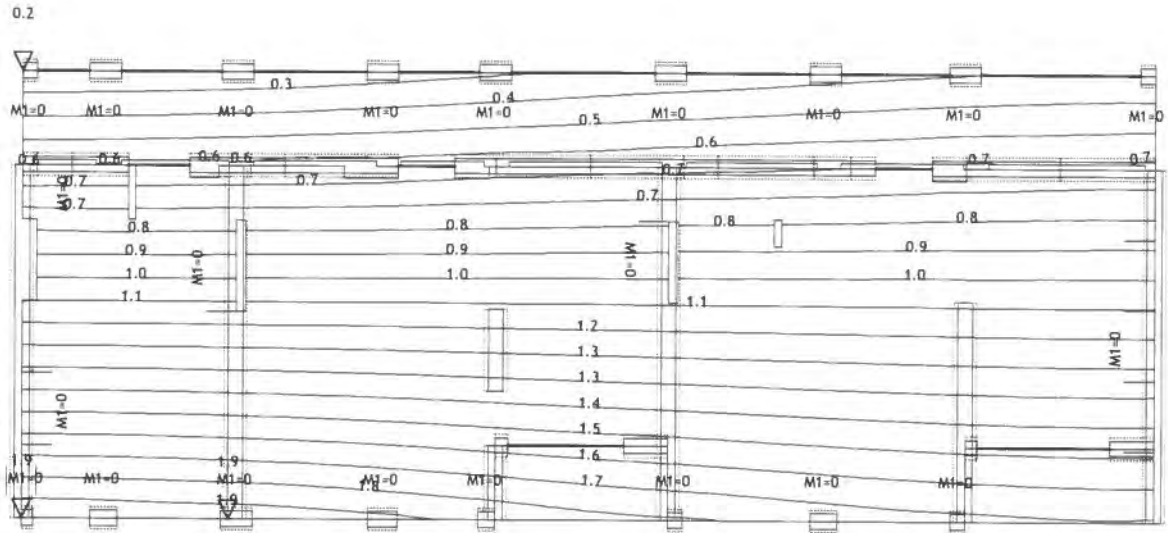
Obt. 7: smer y (+e)



Nivo: nad 2N [8.60 m]

Vplivi v plošči: max Xp= 2.7 / min Xp= 0.3 m / 1000

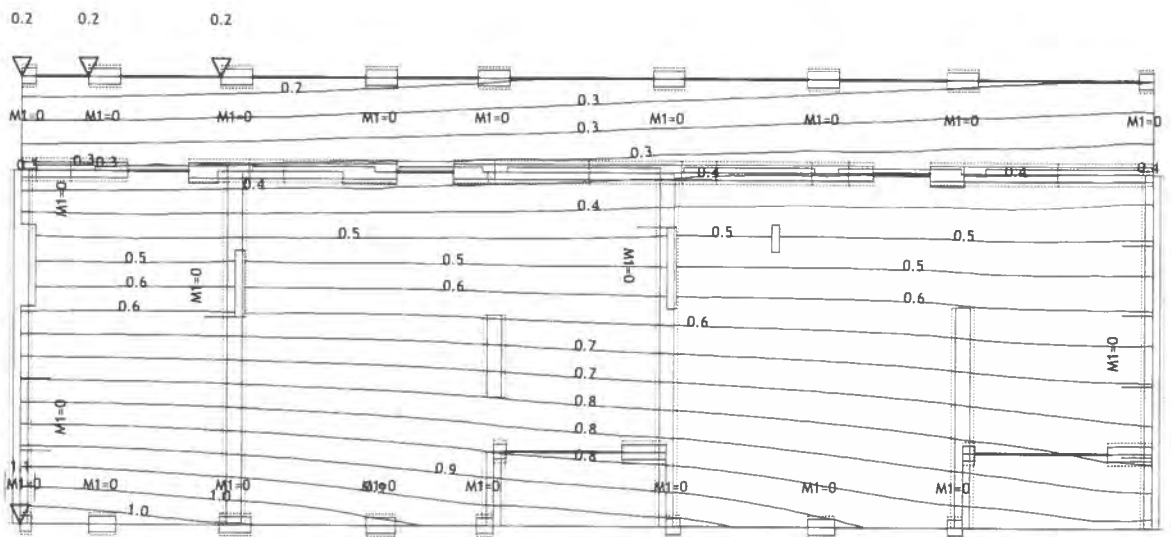
Obt. 7: smer y (+e)



Nivo: nad 1N [5.80 m]

Vplivi v plošči: max  $X_p = 1.9$  / min  $X_p = 0.2$  m / 1000

Obt. 7: smer y (+e)



Nivo: nad PT [3.00 m]

Vplivi v plošči: max  $X_p = 1.1$  / min  $X_p = 0.2$  m / 1000

**Modalna analiza***Faktorji obtežb za preračun mas*

No	Naziv	Koeficient
1	I.t. + stalna (g)	1.00
2	koristna	0.30
3	sneg	0.00
4	I.t. temeljne plošče	0.00

*Razporeditev mas po višini objekta*

Nivo	Z [m]	X [m]	Y [m]	Masa [T]	T/m <sup>2</sup>
nad 2N	8.60	11.58	4.43	201.86	0.99
nad 1N	5.80	11.29	4.60	270.30	1.32
nad PT	3.00	11.40	4.81	596.73	2.91
Skupno:	4.77	11.41	4.68	1068.89	

*Položaj centra togosti po višini objekta (točna metoda)*

Nivo	Z [m]	X [m]	Y [m]
nad 2N	8.60	11.32	9.40
nad 1N	5.80	11.34	9.33
nad PT	3.00	11.36	8.55

*Ekscentriciteta po višini objekta (točna metoda)*

Nivo	Z [m]	e <sub>ox</sub> [m]	e <sub>oy</sub> [m]
nad 2N	8.60	0.26	4.97
nad 1N	5.80	0.04	4.72
nad PT	3.00	0.04	3.74

*Nihajne dobe konstrukcije*

No	T [s]	f [Hz]	No	T [s]	f [Hz]	No	T [s]	f [Hz]
1	0.2821	3.5445	5	0.0391	25.5933	8	0.0261	38.2685
2	0.2399	4.1693	6	0.0345	28.9519	9	0.0248	40.3895
3	0.1264	7.9088	7	0.0308	32.4663	10	0.0234	42.7891
4	0.0445	22.4701						

*Tlorisna pravilnost*

Z [m]	e <sub>ox</sub> [m]	e <sub>oy</sub> [m]	r <sub>x</sub> [m]	r <sub>y</sub> [m]	l <sub>s</sub> [m]	e <sub>ox</sub> ≤ 0.3r <sub>y</sub>	e <sub>oy</sub> ≤ 0.3r <sub>x</sub>	r <sub>x</sub> > l <sub>s</sub>	r <sub>y</sub> > l <sub>s</sub>
8.60	0.26	4.97	11.95	9.34	7.41	Da	Ne	Da	Da
5.80	0.04	4.72	11.77	9.51	7.52	Da	Ne	Da	Da
3.00	0.04	3.74	11.40	9.63	7.45	Da	Ne	Da	Da

**Seizmični preračun**

Seizmični preračun: EC8 (EN 1998) SLO

Kategorija tal: D  
 Kategorija pomena: II ( $\gamma=1.0$ )  
 Razmerje  $a_g/g$ : 0.25  
 Koefficient dušenja: 0.05  
 Slučajna ekscentričnost mase etaže:  $e_i = \pm 0.050 \times L_i$

**Faktorji smeri potresa:**

Obtežni primer	Kot $\alpha$ [°]	$k, \alpha$	$k, \alpha+90^\circ$	$k_z$	Faktor O.
smer x	0	1.000	0.000	0.000	3.600
smer y	90	1.000	0.000	0.000	2.900

**Tip spektra**

Obtežni primer	S	T <sub>b</sub>	T <sub>c</sub>	T <sub>d</sub>
smer x	1.350	0.200	0.800	2.000
smer y	1.350	0.200	0.800	2.000

**smer x (+e)**

Nivo	Z [m]	Ton 1			Ton 2			Ton 3		
		Px [kN]	Py [kN]	Pz [kN]	Px [kN]	Py [kN]	Pz [kN]	Px [kN]	Py [kN]	Pz [kN]
nad 2N	8.60	0.27	12.76	-0.09	372.07	-9.10	-5.73	153.98	-3.37	-4.56
nad 1N	5.80	0.26	11.69	-0.41	351.54	-19.07	-2.75	159.89	4.68	-0.76
nad PT	3.00	0.31	13.81	-1.55	426.24	-17.32	-10.29	234.83	2.77	-6.22
kineta	0.20	0.00	0.00	0.00	0.00	0.00	0.00	0.00	0.00	0.00
tem pl	0.00	0.00	0.00	0.00	0.00	0.00	0.00	0.00	0.00	0.00
tem kinete	-2.00	0.00	0.00	0.00	0.00	0.00	0.00	0.00	0.00	0.00
	$\Sigma=$	0.84	38.26	-2.05	1149.8	-45.49	-18.77	548.70	4.08	-11.54

Nivo	Z [m]	Ton 4			Ton 5			Ton 6		
		Px [kN]	Py [kN]	Pz [kN]	Px [kN]	Py [kN]	Pz [kN]	Px [kN]	Py [kN]	Pz [kN]
nad 2N	8.60	181.67	4.98	0.78	0.01	-1.26	-0.01	-0.01	0.28	0.06
nad 1N	5.80	-3.02	-0.53	-1.02	-0.02	-0.03	0.02	-0.01	-0.01	0.06
nad PT	3.00	434.20	-12.69	-2.75	0.03	3.46	0.12	0.01	-0.75	0.13
kineta	0.20	0.00	0.00	0.00	0.00	0.00	0.00	0.00	0.00	0.00
tem pl	0.00	0.00	0.00	0.00	0.00	0.00	0.00	0.00	0.00	0.00
tem kinete	-2.00	0.00	0.00	0.00	0.00	0.00	0.00	0.00	0.00	0.00
	$\Sigma=$	249.51	-8.25	-2.99	0.02	2.17	0.13	0.00	-0.49	0.25

Nivo	Z [m]	Ton 7			Ton 8			Ton 9		
		Px [kN]	Py [kN]	Pz [kN]	Px [kN]	Py [kN]	Pz [kN]	Px [kN]	Py [kN]	Pz [kN]
nad 2N	8.60	-5.56	-1.50	-0.18	-1.15	-0.93	0.20	2.02	-0.05	-0.05
nad 1N	5.80	-2.46	-0.46	-0.26	1.70	0.21	0.16	-3.86	0.11	-0.02
nad PT	3.00	12.55	4.91	-0.14	-0.26	2.14	0.92	1.89	-0.05	0.00
kineta	0.20	0.00	0.00	0.00	0.00	0.00	0.00	0.00	0.00	0.00
tem pl	0.00	0.00	0.00	0.00	0.00	0.00	0.00	0.00	0.00	0.00
tem kinete	-2.00	0.00	0.00	0.00	0.00	0.00	0.00	0.00	0.00	0.00
	$\Sigma=$	4.52	2.95	-0.58	0.29	1.41	1.28	0.05	0.00	-0.06

Nivo	Z [m]	Ton 10		
		Px [kN]	Py [kN]	Pz [kN]
nad 2N	8.60	1.49	-2.43	0.67
nad 1N	5.80	-9.49	0.27	1.00
nad PT	3.00	11.75	5.97	1.85
kineta	0.20	0.00	0.00	0.00
tem pl	0.00	0.00	0.00	0.00
tem kinete	-2.00	0.00	0.00	0.00
	$\Sigma=$	3.75	3.82	3.52

**smer x (-e)**

Nivo	Z [m]	Ton 1			Ton 2			Ton 3		
		Px [kN]	Py [kN]	Pz [kN]	Px [kN]	Py [kN]	Pz [kN]	Px [kN]	Py [kN]	Pz [kN]
nad 2N	8.60	0.27	12.76	-0.09	372.07	-9.10	-5.73	153.98	-3.37	-4.56
nad 1N	5.80	0.26	11.69	-0.41	351.54	-19.07	-2.75	159.89	4.68	-0.76
nad PT	3.00	0.31	13.81	-1.55	426.24	-17.32	-10.29	234.83	2.77	-6.22
kineta	0.20	0.00	0.00	0.00	0.00	0.00	0.00	0.00	0.00	0.00
tem pl	0.00	0.00	0.00	0.00	0.00	0.00	0.00	0.00	0.00	0.00
tem kinete	-2.00	0.00	0.00	0.00	0.00	0.00	0.00	0.00	0.00	0.00
	$\Sigma=$	0.84	38.26	-2.05	1149.8	-45.49	-18.77	548.70	4.08	-11.54

Nivo	Z [m]	Ton 4			Ton 5			Ton 6		
		Px [kN]	Py [kN]	Pz [kN]	Px [kN]	Py [kN]	Pz [kN]	Px [kN]	Py [kN]	Pz [kN]
nad 2N	8.60	181.67	4.98	0.78	0.01	-1.26	-0.01	-0.01	0.28	0.06
nad 1N	5.80	-3.02	-0.53	-1.02	-0.02	-0.03	0.02	-0.01	-0.01	0.06
nad PT	3.00	434.20	-12.69	-2.75	0.03	3.46	0.12	0.01	-0.75	0.13
kineta	0.20	0.00	0.00	0.00	0.00	0.00	0.00	0.00	0.00	0.00
tem pl	0.00	0.00	0.00	0.00	0.00	0.00	0.00	0.00	0.00	0.00
tem kinete	-2.00	0.00	0.00	0.00	0.00	0.00	0.00	0.00	0.00	0.00
	Σ=	249.51	-8.25	-2.99	0.02	2.17	0.13	0.00	-0.49	0.25

Nivo	Z [m]	Ton 7			Ton 8			Ton 9		
		Px [kN]	Py [kN]	Pz [kN]	Px [kN]	Py [kN]	Pz [kN]	Px [kN]	Py [kN]	Pz [kN]
nad 2N	8.60	-5.56	-1.50	-0.18	-1.15	-0.93	0.20	2.02	-0.05	-0.05
nad 1N	5.80	-2.46	-0.46	-0.26	1.70	0.21	0.16	-3.86	0.11	-0.02
nad PT	3.00	12.55	4.91	-0.14	-0.26	2.14	0.92	1.89	-0.05	0.00
kineta	0.20	0.00	0.00	0.00	0.00	0.00	0.00	0.00	0.00	0.00
tem pl	0.00	0.00	0.00	0.00	0.00	0.00	0.00	0.00	0.00	0.00
tem kinete	-2.00	0.00	0.00	0.00	0.00	0.00	0.00	0.00	0.00	0.00
	Σ=	4.52	2.95	-0.58	0.29	1.41	1.28	0.05	0.00	-0.06

Nivo	Z [m]	Ton 10		
		Px [kN]	Py [kN]	Pz [kN]
nad 2N	8.60	1.49	-2.43	0.67
nad 1N	5.80	-9.49	0.27	1.00
nad PT	3.00	11.75	5.97	1.85
kineta	0.20	0.00	0.00	0.00
tem pl	0.00	0.00	0.00	0.00
tem kinete	-2.00	0.00	0.00	0.00
	Σ=	3.75	3.82	3.52

smer y (+e)

Nivo	Z [m]	Ton 1			Ton 2			Ton 3		
		Px [kN]	Py [kN]	Pz [kN]	Px [kN]	Py [kN]	Pz [kN]	Px [kN]	Py [kN]	Pz [kN]
nad 2N	8.60	15.15	723.51	-4.93	-18.27	0.45	0.28	1.32	-0.03	-0.04
nad 1N	5.80	14.53	663.08	-23.25	-17.26	0.94	0.14	1.37	0.04	-0.01
nad PT	3.00	17.83	782.92	-87.85	-20.93	0.85	0.51	2.01	0.02	-0.05
kineta	0.20	0.00	0.00	0.00	0.00	0.00	0.00	0.00	0.00	0.00
tem pl	0.00	0.00	0.00	0.00	0.00	0.00	0.00	0.00	0.00	0.00
tem kinete	-2.00	0.00	0.00	0.00	0.00	0.00	0.00	0.00	0.00	0.00
	Σ=	47.50	2169.5	116.03	-56.47	2.23	0.92	4.71	0.03	-0.10

Nivo	Z [m]	Ton 4			Ton 5			Ton 6		
		Px [kN]	Py [kN]	Pz [kN]	Px [kN]	Py [kN]	Pz [kN]	Px [kN]	Py [kN]	Pz [kN]
nad 2N	8.60	6.34	-0.17	-0.03	1.08	130.05	-1.23	0.90	-42.81	-8.69
nad 1N	5.80	0.11	0.02	0.04	-1.63	-3.53	1.65	0.83	2.06	-9.58
nad PT	3.00	-15.15	0.44	0.10	2.83	358.52	12.79	-2.24	116.50	-20.70
kineta	0.20	0.00	0.00	0.00	0.00	0.00	0.00	0.00	0.00	0.00
tem pl	0.00	0.00	0.00	0.00	0.00	0.00	0.00	0.00	0.00	0.00
tem kinete	-2.00	0.00	0.00	0.00	0.00	0.00	0.00	0.00	0.00	0.00
	Σ=	-8.70	0.29	0.10	2.28	224.94	13.21	-0.51	75.74	-38.97

Nivo	Z [m]	Ton 7			Ton 8			Ton 9		
		Px [kN]	Py [kN]	Pz [kN]	Px [kN]	Py [kN]	Pz [kN]	Px [kN]	Py [kN]	Pz [kN]
nad 2N	8.60	-3.76	-1.01	-0.12	-5.82	-4.71	1.00	0.15	-0.00	-0.00
nad 1N	5.80	-1.67	-0.31	-0.17	8.60	1.06	0.82	-0.30	0.01	-0.00
nad PT	3.00	8.49	3.32	-0.09	-1.32	10.82	4.66	0.15	-0.00	0.00
kineta	0.20	0.00	0.00	0.00	0.00	0.00	0.00	0.00	0.00	0.00
tem pl	0.00	0.00	0.00	0.00	0.00	0.00	0.00	0.00	0.00	0.00
tem kinete	-2.00	0.00	0.00	0.00	0.00	0.00	0.00	0.00	0.00	0.00
	Σ=	3.06	1.99	-0.39	1.46	7.17	6.47	0.00	0.00	-0.00

Nivo	Z [m]	Ton 10		
		Px [kN]	Py [kN]	Pz [kN]
nad 2N	8.60	1.56	-2.54	0.71
nad 1N	5.80	-9.95	0.28	1.05
nad PT	3.00	12.32	6.27	1.94
kineta	0.20	0.00	0.00	0.00
tem pl	0.00	0.00	0.00	0.00

tem kinete	-2.00	0.00	0.00	0.00
	Σ=	3.93	4.00	3.70

smer y (-e)

Nivo	Z [m]	Ton 1			Ton 2			Ton 3		
		Px [kN]	Py [kN]	Pz [kN]	Px [kN]	Py [kN]	Pz [kN]	Px [kN]	Py [kN]	Pz [kN]
nad 2N	8.60	15.15	723.51	-4.93	-18.27	0.45	0.28	1.32	-0.03	-0.04
nad 1N	5.80	14.53	663.08	-23.25	-17.26	0.94	0.14	1.37	0.04	-0.01
nad PT	3.00	17.83	782.92	-87.85	-20.93	0.85	0.51	2.01	0.02	-0.05
kineta	0.20	0.00	0.00	0.00	0.00	0.00	0.00	0.00	0.00	0.00
tem pl	0.00	0.00	0.00	0.00	0.00	0.00	0.00	0.00	0.00	0.00
tem kinete	-2.00	0.00	0.00	0.00	0.00	0.00	0.00	0.00	0.00	0.00
	Σ=	47.50	2169.5	116.03	-56.47	2.23	0.92	4.71	0.03	-0.10

Nivo	Z [m]	Ton 4			Ton 5			Ton 6		
		Px [kN]	Py [kN]	Pz [kN]	Px [kN]	Py [kN]	Pz [kN]	Px [kN]	Py [kN]	Pz [kN]
nad 2N	8.60	6.34	-0.17	-0.03	1.08	130.05	-1.23	0.90	-42.81	-8.69
nad 1N	5.80	0.11	0.02	0.04	-1.63	-3.53	1.65	0.83	2.06	-9.58
nad PT	3.00	-15.15	0.44	0.10	2.83	358.52	12.79	-2.24	116.50	-20.70
kineta	0.20	0.00	0.00	0.00	0.00	0.00	0.00	0.00	0.00	0.00
tem pl	0.00	0.00	0.00	0.00	0.00	0.00	0.00	0.00	0.00	0.00
tem kinete	-2.00	0.00	0.00	0.00	0.00	0.00	0.00	0.00	0.00	0.00
	Σ=	-8.70	0.29	0.10	2.28	224.94	13.21	-0.51	75.74	-38.97

Nivo	Z [m]	Ton 7			Ton 8			Ton 9		
		Px [kN]	Py [kN]	Pz [kN]	Px [kN]	Py [kN]	Pz [kN]	Px [kN]	Py [kN]	Pz [kN]
nad 2N	8.60	-3.76	-1.01	-0.12	-5.82	-4.71	1.00	0.15	-0.00	-0.00
nad 1N	5.80	-1.67	-0.31	-0.17	8.60	1.06	0.82	-0.30	0.01	-0.00
nad PT	3.00	8.49	3.32	-0.09	-1.32	10.82	4.66	0.15	-0.00	0.00
kineta	0.20	0.00	0.00	0.00	0.00	0.00	0.00	0.00	0.00	0.00
tem pl	0.00	0.00	0.00	0.00	0.00	0.00	0.00	0.00	0.00	0.00
tem kinete	-2.00	0.00	0.00	0.00	0.00	0.00	0.00	0.00	0.00	0.00
	Σ=	3.06	1.99	-0.39	1.46	7.17	6.47	0.00	0.00	-0.00

Nivo	Z [m]	Ton 10		
		Px [kN]	Py [kN]	Pz [kN]
nad 2N	8.60	1.56	-2.54	0.71
nad 1N	5.80	-9.95	0.28	1.05
nad PT	3.00	12.32	6.27	1.94
kineta	0.20	0.00	0.00	0.00
tem pl	0.00	0.00	0.00	0.00
tem kinete	-2.00	0.00	0.00	0.00
	Σ=	3.93	4.00	3.70

Faktorji participacije - relativno sodelovanje

Ton \ Naziv	1. smer x (+e)	2. smer x (-e)	3. smer y (+e)	4. smer y (-e)
1	0.000	0.000	0.873	0.873
2	0.587	0.587	0.001	0.001
3	0.280	0.280	0.000	0.000
4	0.127	0.127	0.000	0.000
5	0.000	0.000	0.090	0.090
6	0.000	0.000	0.030	0.030
7	0.002	0.002	0.001	0.001
8	0.000	0.000	0.003	0.003
9	0.000	0.000	0.000	0.000
10	0.002	0.002	0.002	0.002

Faktorji participacije - angažiranje mase

Ton	U [α=0°]	U [α=90°]
1	0.04	83.85
2	52.02	0.08
3	36.31	0.00
4	10.88	0.01
5	0.00	10.92
6	0.00	3.71
7	0.28	0.12
8	0.01	0.34

*Faktorji participacije - angažiranje mase*

Ton	U [ $\alpha=0^\circ$ ]	U [ $\alpha=90^\circ$ ]
9	0.00	0.00
10	0.18	0.19
$\Sigma U$ (%)	99.73	99.22

*Prečne sile v osnovi*

Obtežni primer	Kot $\alpha$ [°]	VtB [kN] (Modal)
smer x	0	1590.02
smer y	90	2578.55

## 2.3 Stene

Stene so iz betona kvalitete C30/37. V smeri črkovnih (vodoravnih) osi imajo debelino 20 cm, v smeri številčnih (vertikalnih) osi pa debelino 16 cm. Za dimenzioniranje armiranobetonskih sten je potrebno upoštevati določila standarda SIST EN 1992-1 in SIST EN 1998-1.

Ob vpetju sten je potrebno upoštevati možnost povečanja prečnih sil zaradi plastifikacije. Glede na standard SIST EN 1998, člen 5.4.2.4(7), zahtevi zadostimo, če upoštevamo projektne prečne sile, ki so za 50% večje od tistih, določenih z analizo.

Preglednica 1: Projektni učinki potresnih vplivov

Dilatacija	POZICIJA		OBREMENITVE						
	Oznaka stene	Nadstropje	Ned,max [kN]	1.5*Ved	N(Ved,max)	My,min	N(My,min)	My,max	N(My,max)
Dilatacija 3	11*	P	974	923	0	1509	842	365	452
	13	p	542	134	0	76,5	394	223	257
	15	P	937	519	0	140	709	1328	455
	A-15	p	339	95	0	6,1	240	65,4	127
	A-16	P	198	14	0	8	60	24	136

### 2.3.1.1 Omejitve osne obremenitve sten

Normirana osna sila  $v_d$  v primarnih potresnih stenah glede na standard SIST EN 1998, člen 5.4.3.4.1(2), ne sme preseči 0,4.

$$v_d = \frac{N_{Ed}}{A_c f_{cd}} \leq 0,4$$

Prečna armatura v robnih elementih se lahko določi samo v skladu s SIST EN 1992-1, če je izpolnjen pogoj

$$v_d = \frac{N_{Ed}}{A_c f_{cd}} \leq 0,15$$

Vse stene zadostujejo pogoju  $v_d < 0,15$ , armaturo se določi glede na zahteve SIST EN 1992-2.

Dilatacija	POZICIJA		OBREMENITVE	KONTROLA TLAČNE NAPETOSTI
	Oznaka stene	Nadstropje	Ned,max [kN]	vd [%]
Dilatacija 3	11*	P	974	0,04
	13	p	542	0,10
	15	P	937	0,06
	A-15	p	339	0,13
	A-16	P	198	0,16

### 2.3.2 Strižna odpornost sten

Ob vpetju sten se strižno odpornost ob upoštevanju člena 5.4.2.4 standarda SIST EN 1998-1 zagotovi tako, da se projektne strižne sile dobljene z analizo poveča za 50 %. V spodnji preglednici je podan izračun potrebne strižne armature za vse stene ob vpetju.

Preglednica 3: Potrebna strižna armatura v pritličju

Dilatacija	POZICIJA		GEOMETRIJA			3REMENIT		STRIŽNA ODPORNOST					
	Oznaka stene	Dolžina [m]	Širina [m]	Višina [m]	Ac [m <sup>2</sup> ]	1.5*Ved	φstremena	s	Asw.dej/s	Vrd.s Asw.potr/s	Vrd.max	Vrd.s	Ved/Vrd [%]
Dilatacija 3	11*	7,34	0,16	3,365	1,17	923	8	15	6,70	6,31	2843	981	94
	13	1,64	0,16	3,365	0,2624	134	8	15	6,70	0,92	2843	981	14
	15	4,54	0,16	3,365	0,73	519	8	15	6,70	3,55	2843	981	53
	A-15	0,66	0,2	3,365	0,132	95	8	15	6,70	0,65	3553	981	10
	A-16	0,31	0,2	3,365	0,06	14	8	15	6,70	0,10	3553	981	1

### 2.4 Temeljenje objekta

Objekt se temelji s temeljno ploščo debeline 35 cm, ki je točkovno podprta s piloti.

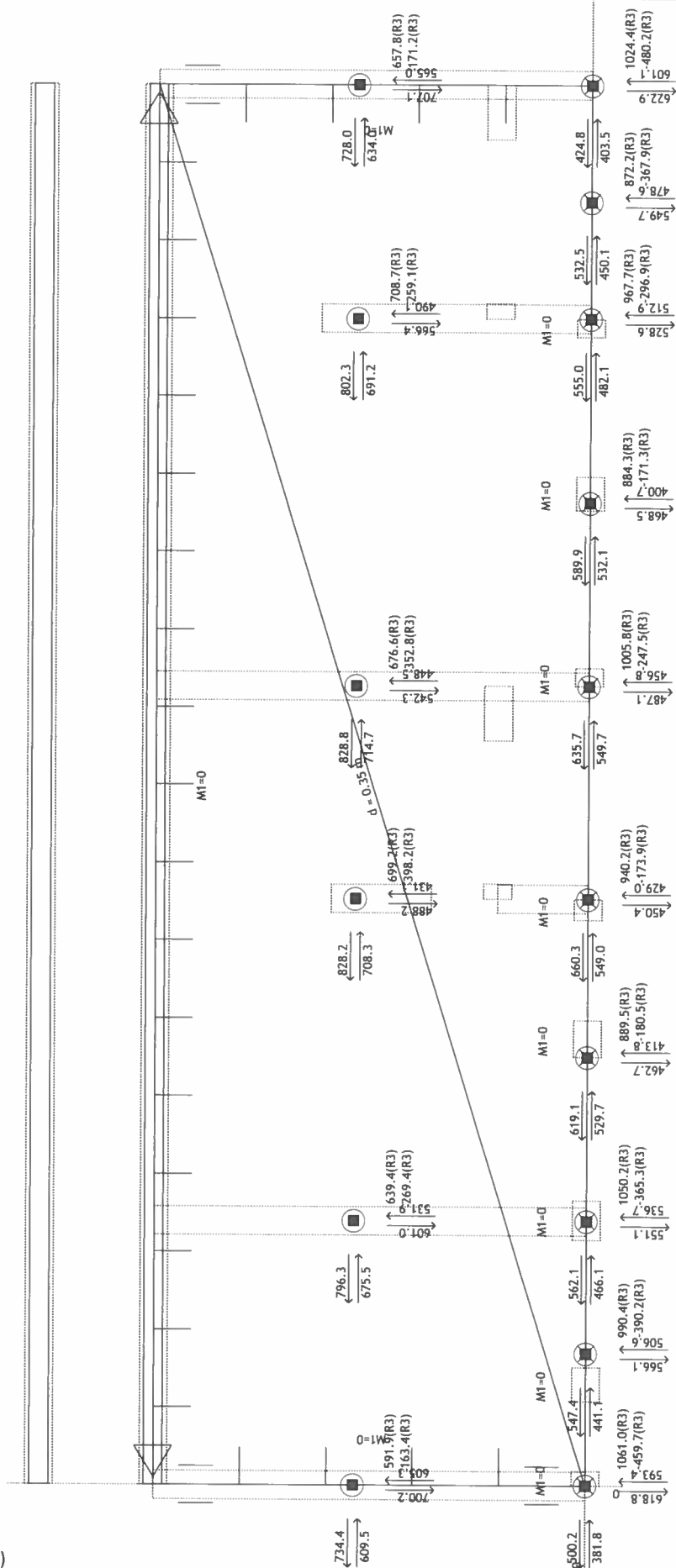
Potresna obremenitev na pilote je izračunana pri elastičnem potresu (oz.  $q = 1$ ).

Reakcije na pilote so dobljeni s programom Tower – 3D in Sofistik. Dimenzioniranje pilota je izvedeno v programu DIAS za vse objekte.

OBJEKT (A) - dil (3)

Statični preračun

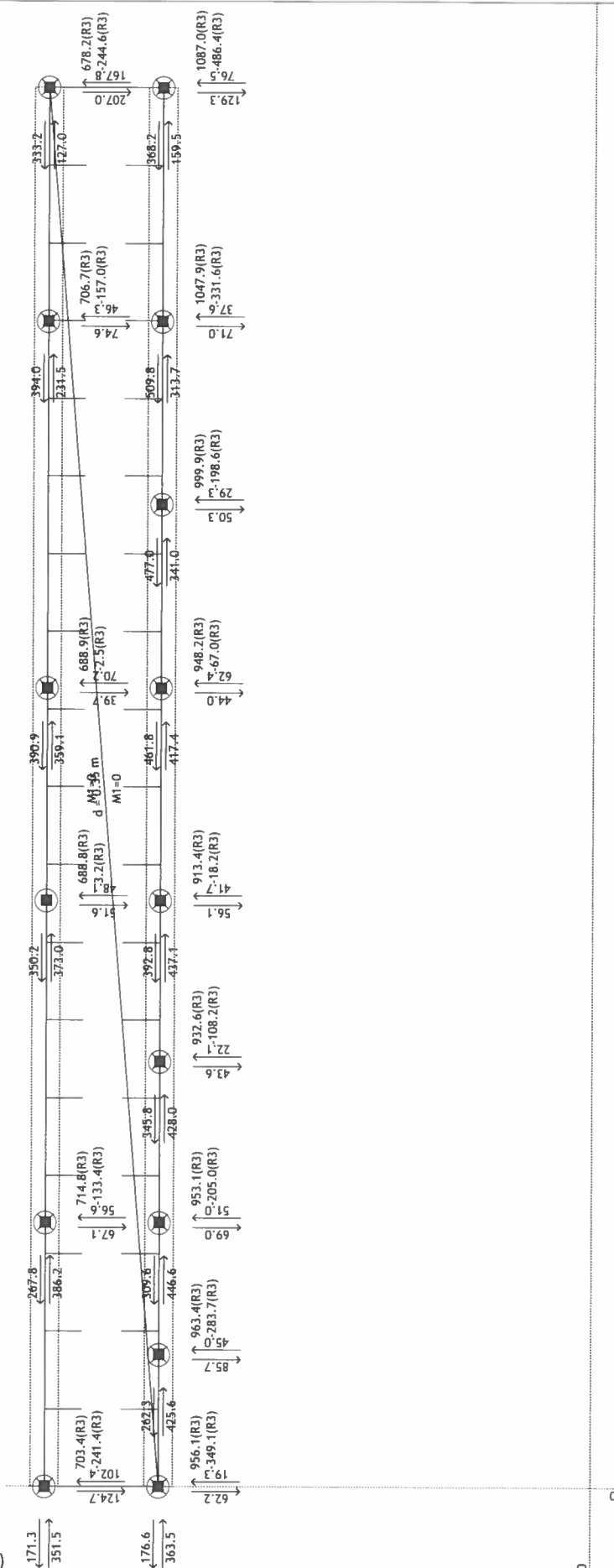
Obt. 45: [msn] 9-44



Nivo: tem pl [0.00 m]  
Reakcije podpor (Min/Max)

OBJEKT (A) - del (2)

Obt. 45: [msn] 9-44



Nivo: tem kinete [-2.00 m]  
Reakcije podpor (Min/Max)

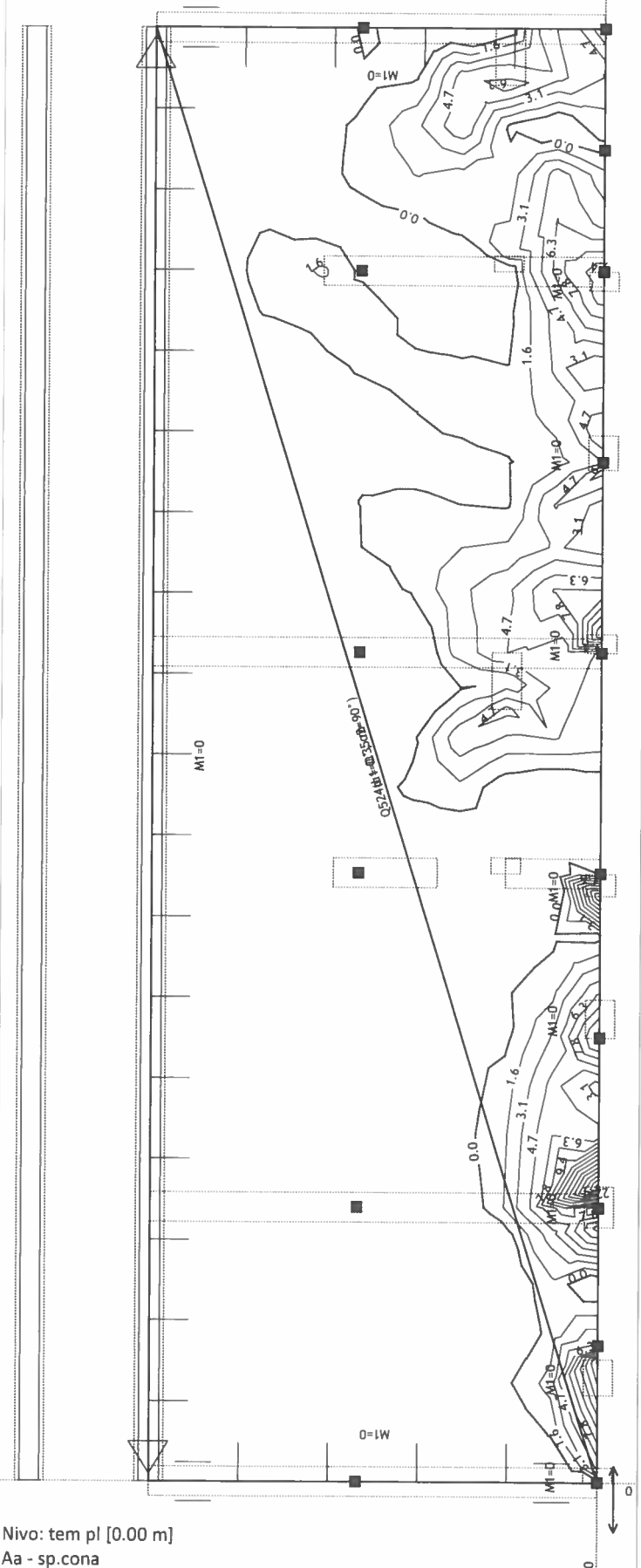
AGG

OBJEKT (A) - DIL (3)

**Dimenzioniranje (beton)**

Osvojena armatura

EC 2 (EN 1992-1-1:2004), C 30, S500H, a=5.00 cm

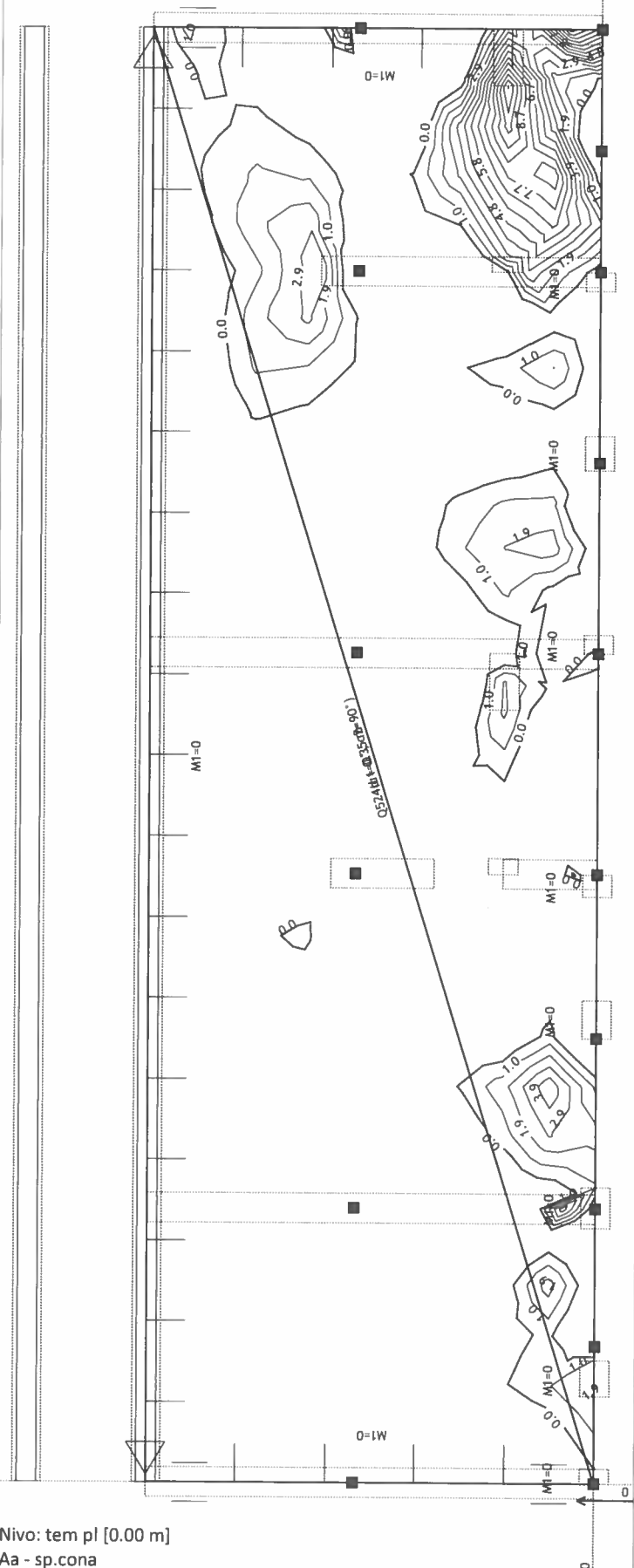


Nivo: tem pl [0.00 m]  
Aa - sp.cona

AG1

Osvojena armatura

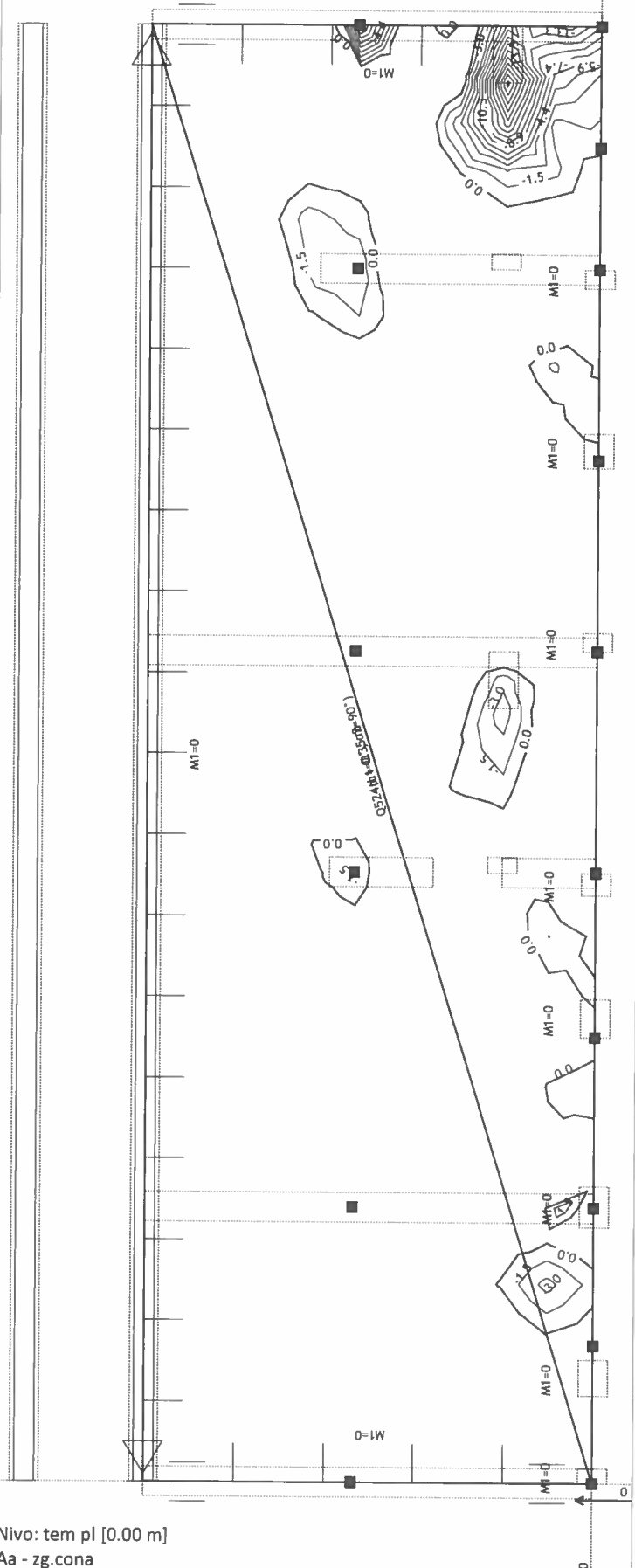
EC 2 (EN 1992-1-1:2004), C 30, S500H, a=5.00 cm



Nivo: tem pl [0.00 m]  
Aa - sp.cona

Osvojena armatura

EC 2 (EN 1992-1-1:2004), C 30, S500H, a=5.00 cm

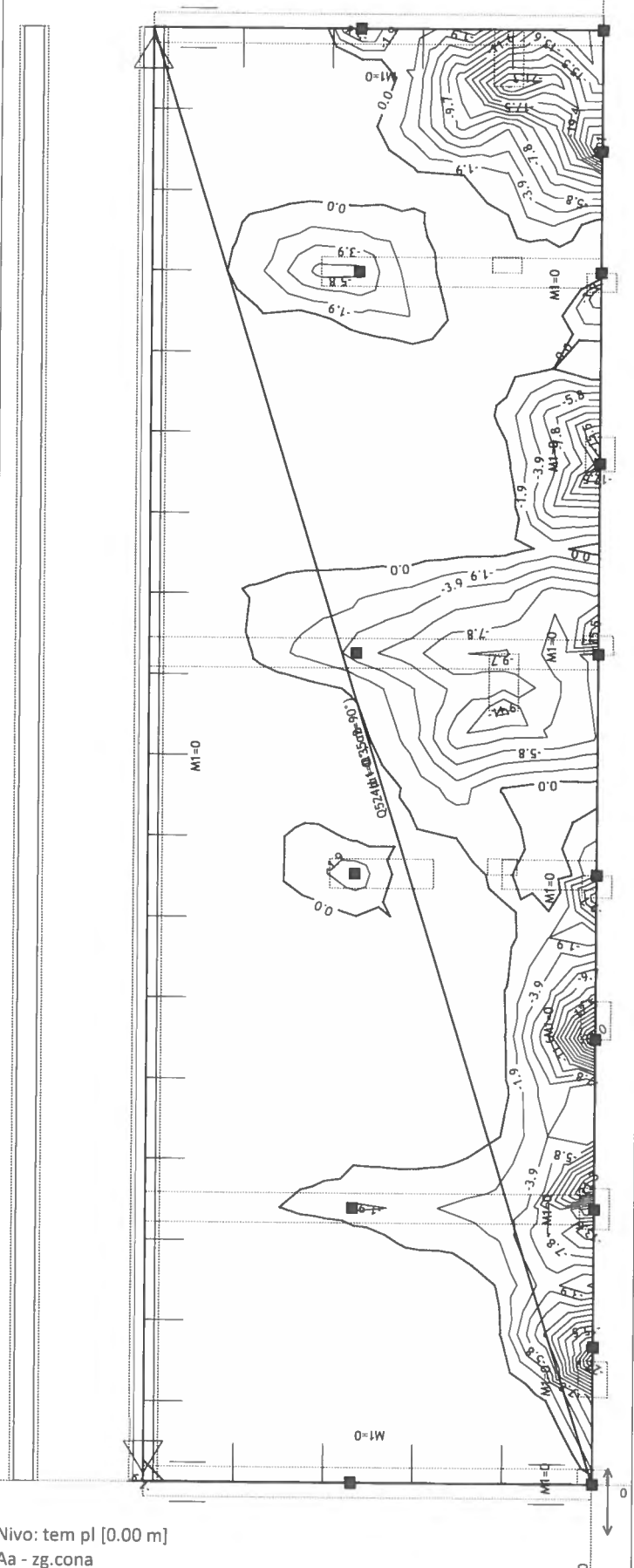


Nivo: tem pl [0.00 m]

Aa - zg.cona

Osvojena armatura

EC 2 (EN 1992-1-1:2004), C 30, S500H, a=5.00 cm

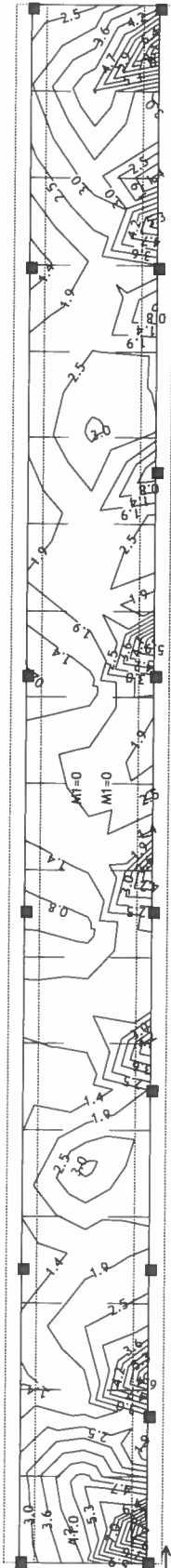


Nivo: tem pl [0.00 m]

Aa - zg.cona

Merodajna obtežba: 9-44

EC 2 (EN 1992-1-1:2004), C 30, S500H, a=5.00 cm

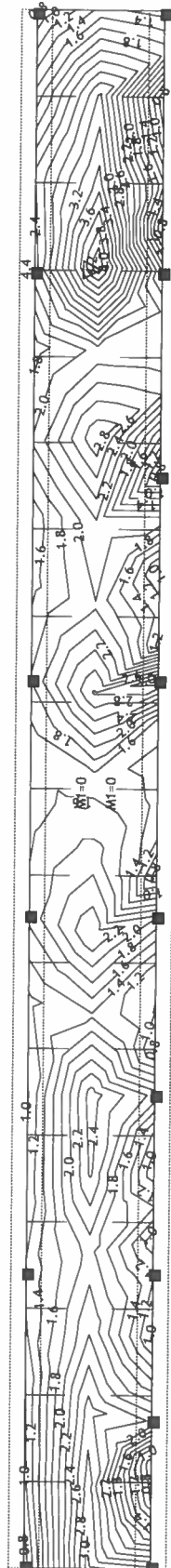


Nivo: tem kinete [-2.00 m]

Aa - sp.cona - Smer 1 - max Aa1,s= 11.0 cm<sup>2</sup>/m

Merodajna obtežba: 9-44

EC 2 (EN 1992-1-1:2004), C 30, S500H, a=5.00 cm

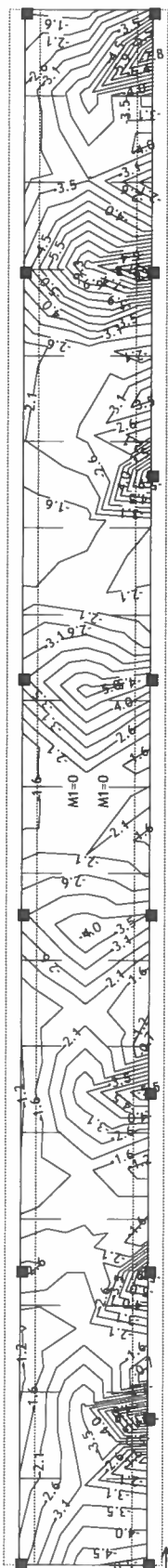


Nivo: tem kinete [-2.00 m]

Aa - sp.cona - Smer 2 - max Aa2,s= 4.4 cm<sup>2</sup>/m

Merodajna obtežba: 9-44

EC 2 (EN 1992-1-1:2004), C 30, S500H, a=5.00 cm

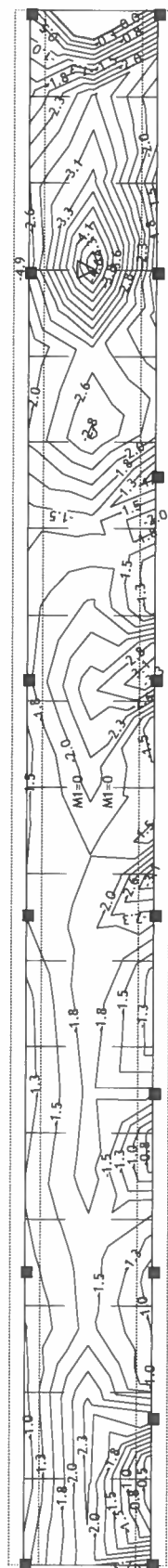


Nivo: tem kinete [-2.00 m]

Aa - zg.cona - Smer 1 - max Aa1,z= -9.3 cm<sup>2</sup>/m

Merodajna obtežba: 9-44

EC 2 (EN 1992-1-1:2004), C 30, S500H, a=5.00 cm



Nivo: tem kinete [-2.00 m]

Aa - zg.cona - Smer 2 - max Aa2,z= -4.9 cm<sup>2</sup>/m

### 3 Objekt A – dilatacija 4

#### 3.1 Plošče

Plošče dimenzioniramo glede na določila standarda SIST EN 1992-1-1. Uporabi se beton C30/37, XC1. Debelina plošč je 18 cm, balkonski del pa 16 cm.

Minimalna upogibna armatura  $A_{s,min}$  je s členom 9.2.1.1(1) določena kot

$$A_{s,min} = 0,26 \frac{f_{ctm}}{f_{yk}} b_t d = 0,26 \frac{0,29}{50} 100 \cdot 16 = 2,4 \text{ cm}^2/\text{m} \geq 0,0013 b_t d = 2,1 \text{ cm}^2/\text{m}$$

$f_{ctm}$  ... srednja vrednost osne natezne trdnosti betona,  $f_{yk}$  ... karakteristična natezna trdnost armature,  $b_t$  ... srednja širina natezne cone,  $d$  ... statična višina prereza

Največja stopnja armiranja pa je določena s členom 9.2.1.1(3)

$$A_{s,max} = 0,04 A_c = 72 \text{ cm}^2/\text{m}$$

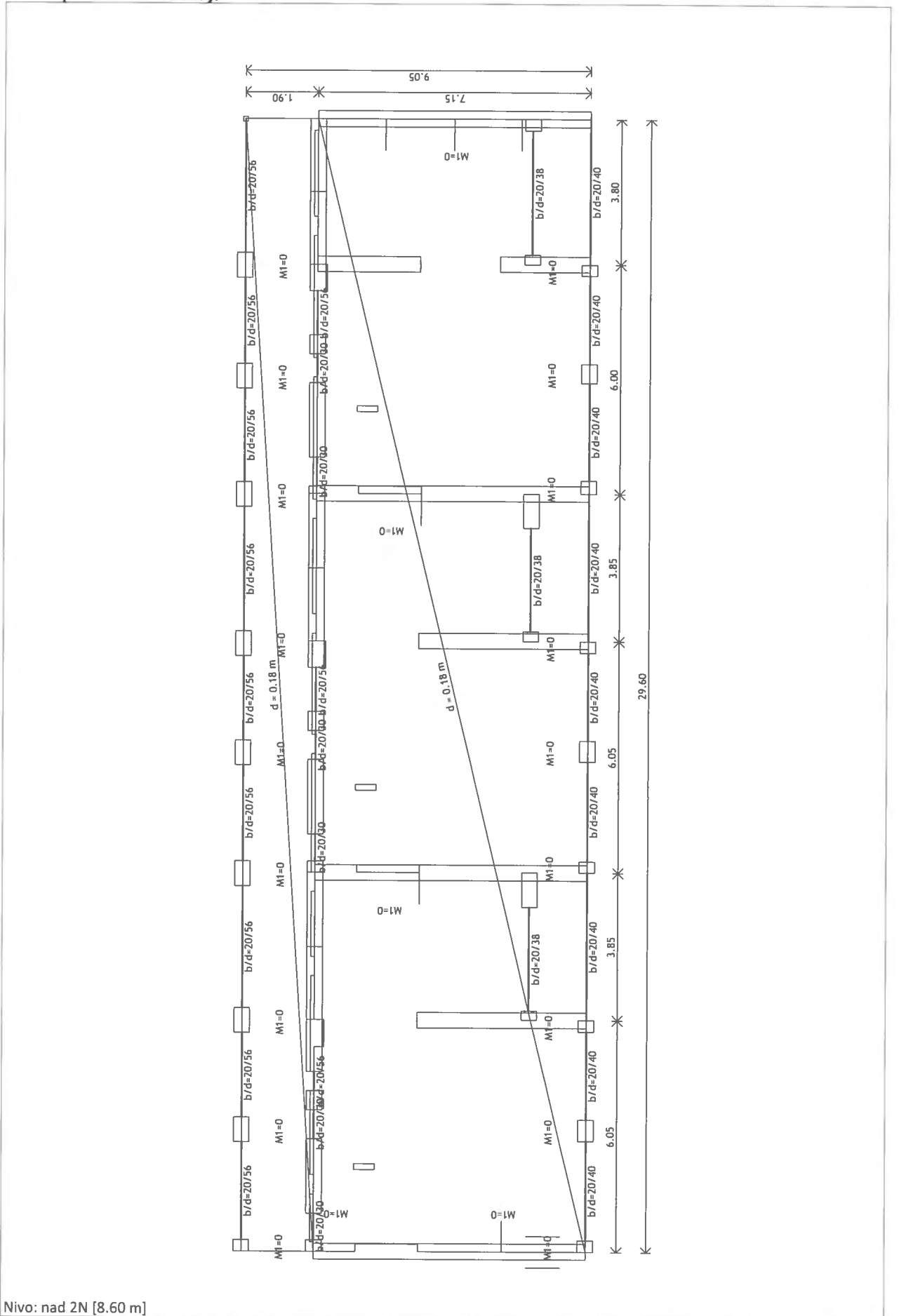
$A_c$  ... ploščina betonskega prereza

Medsebojna oddaljenost palic je s členom 9.3.1.1(3) omejena na  $s_{max} = 3h \leq 400$  mm, v območjih koncentriranih obtežb in največjih upogibnih momentov pa z  $s_{max} = h \leq 250$  mm.

Standard omejuje dovoljeno širino razpoke na 0,4 mm pri navidezno stalni obtežni kombinaciji.

Potrebno armaturo izračunamo glede na ovojnice mejnih stanj nosilnosti in uporabnosti. Potrebna armatura plošč in vplivi na konstrukcijo so podani v nadaljevanju.

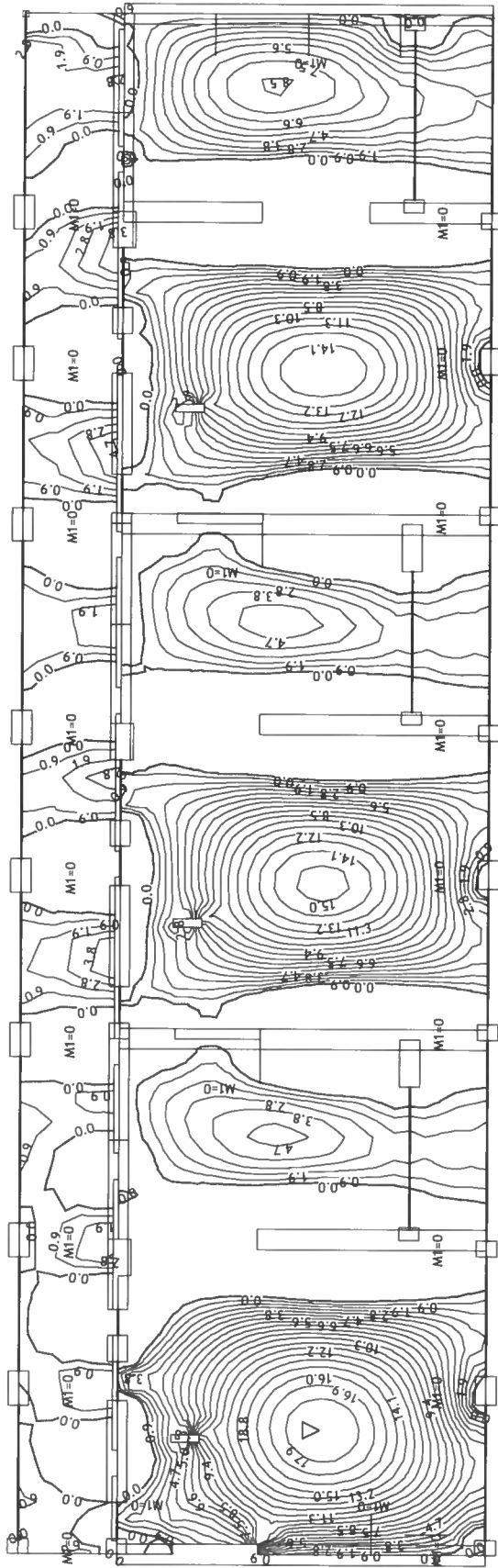
Vhodni podatki - Konstrukcija



Nivo: nad 2N [8.60 m]

Statični preračun

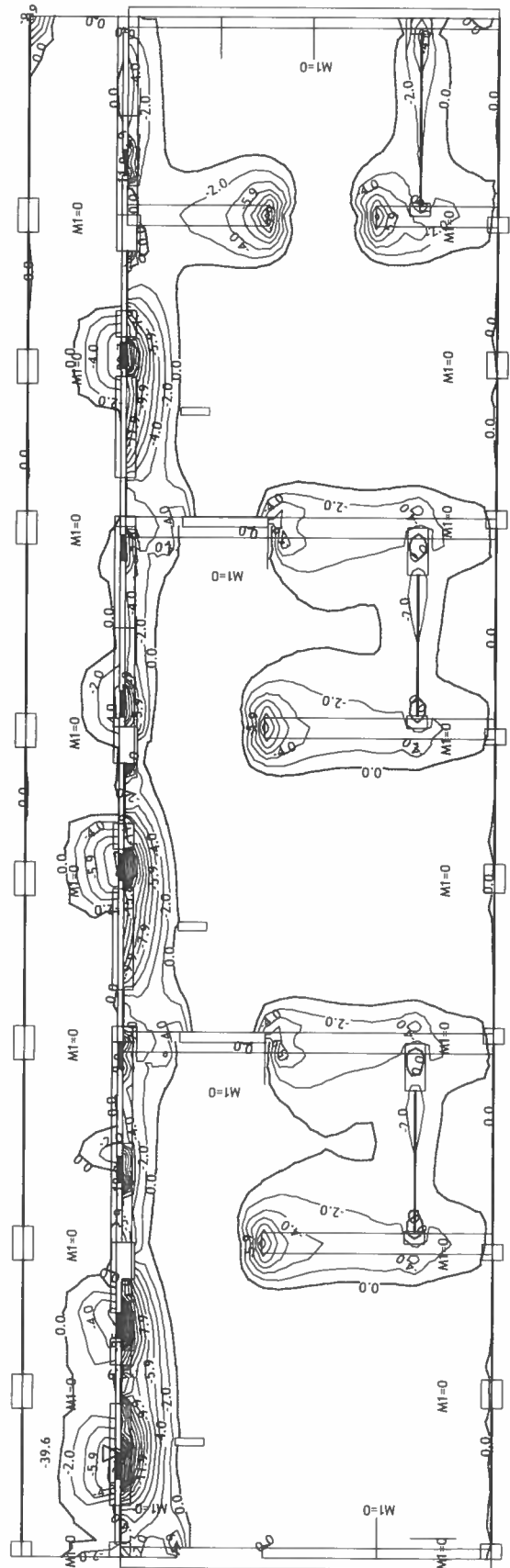
Obt. 9: [msn] 7,8



Nivo: nad 2N [8.60 m]

Vplivi v plošči: max  $M_x = 18.8$  / min  $M_x = 0.0$  kNm/m

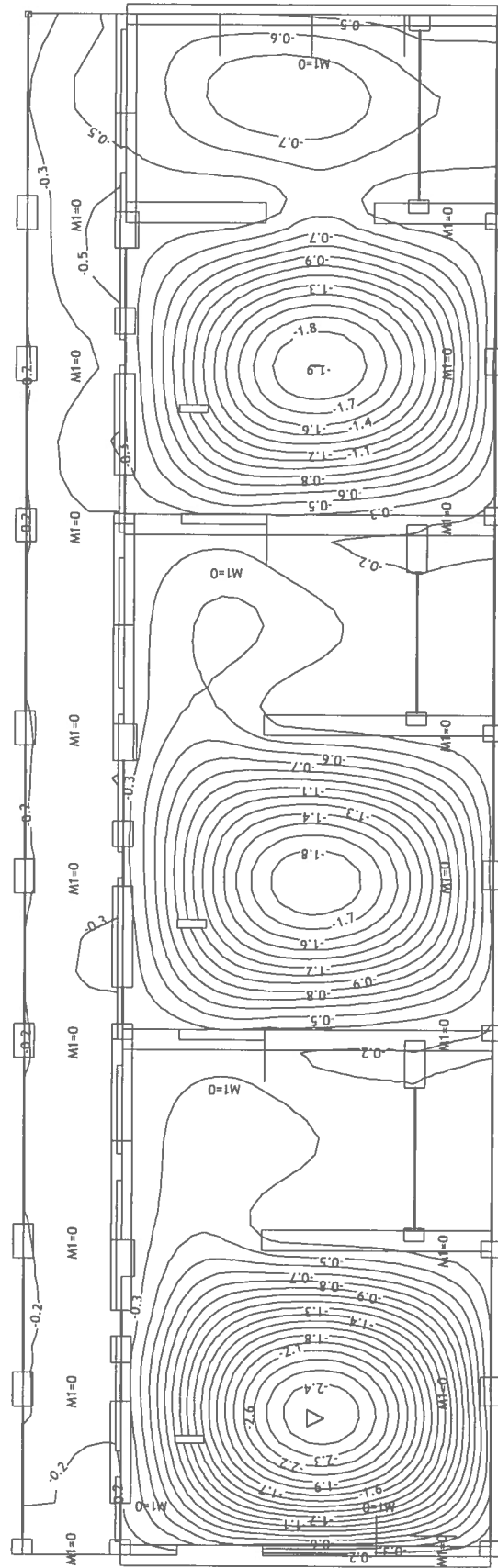
Obt. 9: [msn] 7,8



Nivo: nad 2N [8.60 m]

Vplivi v plošči: max  $M_y = 0.0$  / min  $M_y = -39.6$  kNm/m

Obt. 10: [msu] 5,6



Nivo: nad 2N [8.60 m]

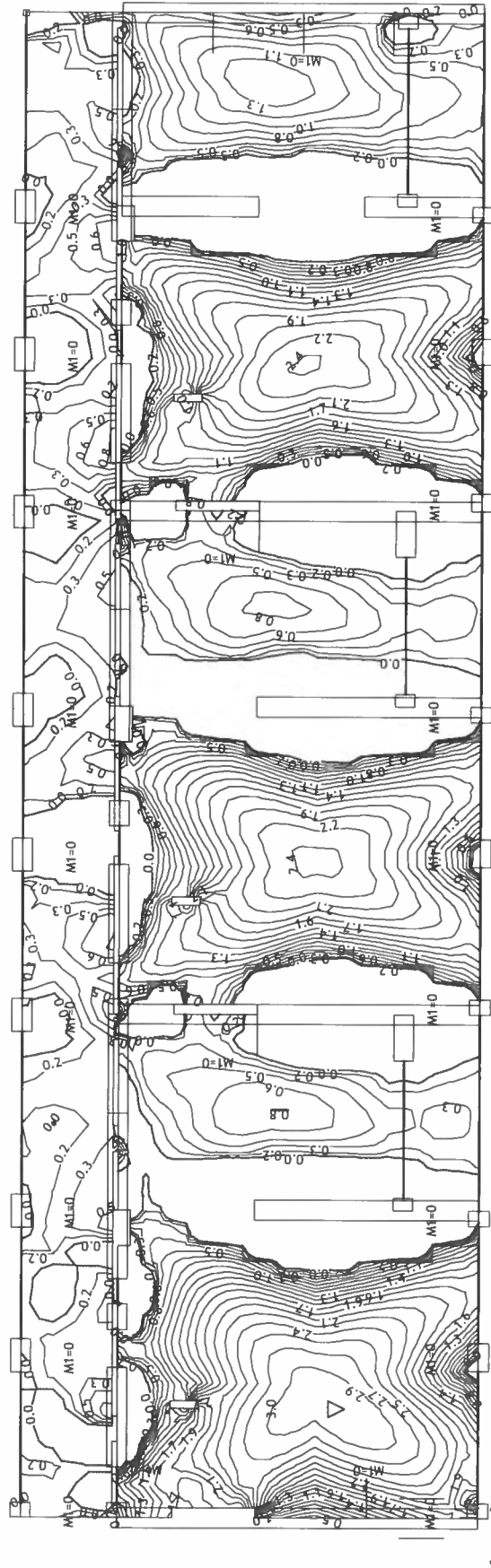
Vplivi v plošči: max Zp= -0.1 / min Zp= -2.6 m / 1000

A100

**Dimenzioniranje (beton)**

Merodajna obtežba: 7,8

EC 2 (EN 1992-1-1:2004), C 30, S500H, a=3.00 cm

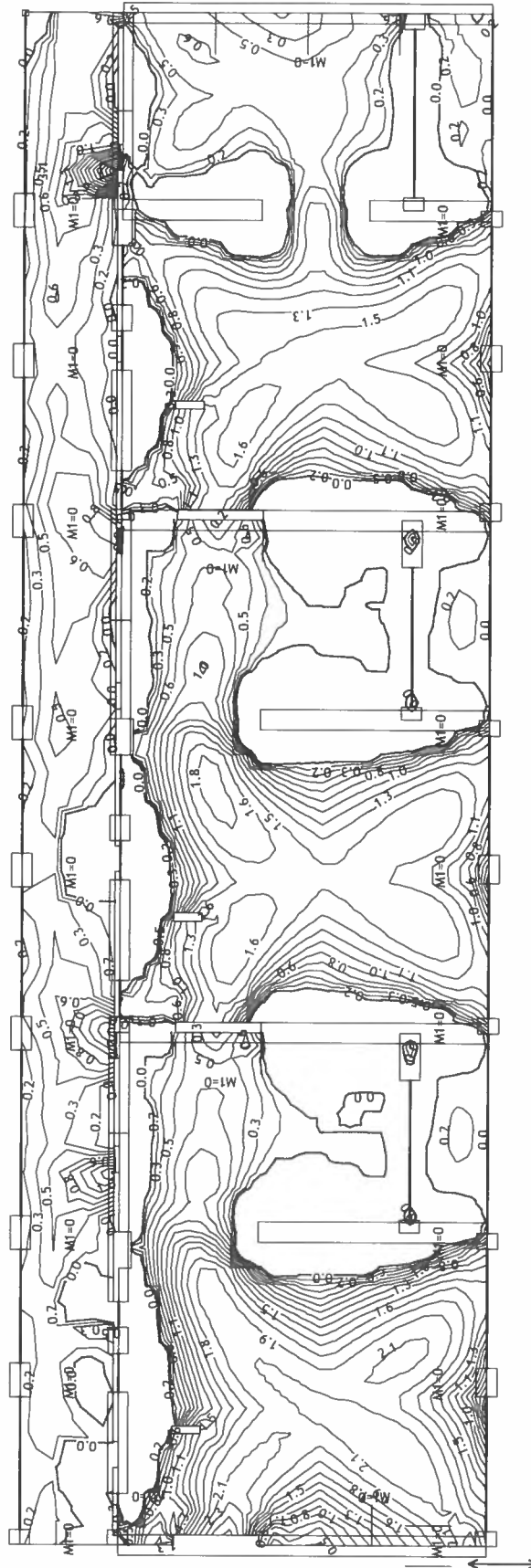


Nivo: nad 2N [8.60 m]

Aa - sp.cona - Smer 1 - max Aa1,s= 3.0 cm<sup>2</sup>/m

Merodajna obtežba: 7,8

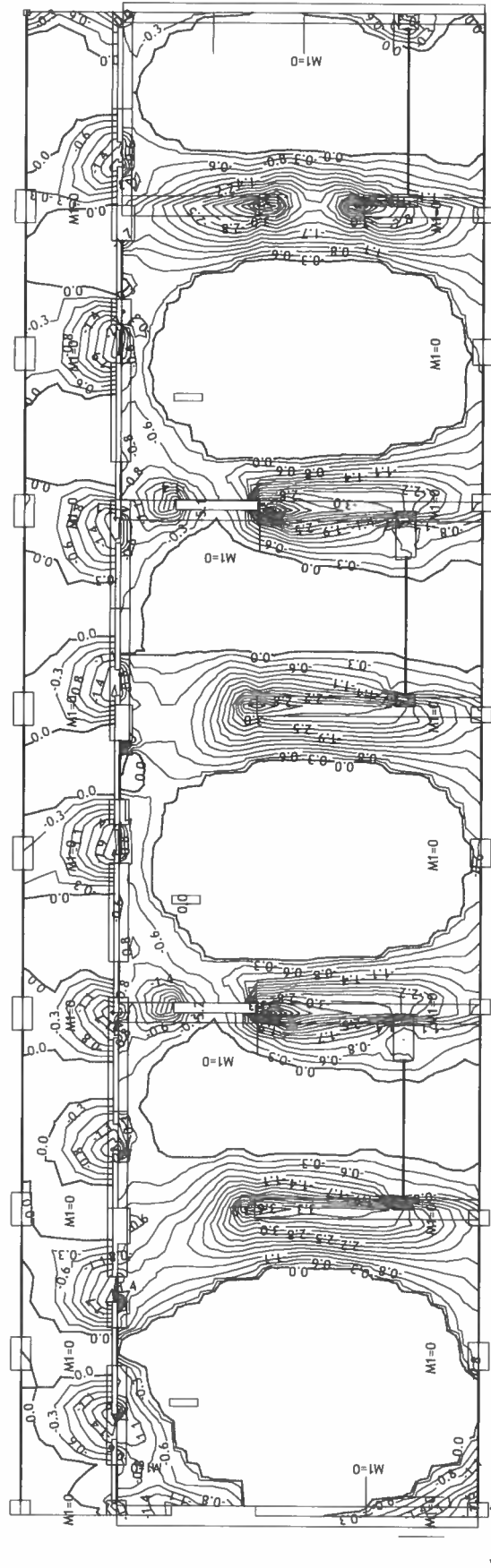
EC 2 (EN 1992-1-1:2004), C 30, S500H, a=3.00 cm



Nivo: nad 2N [8.60 m]

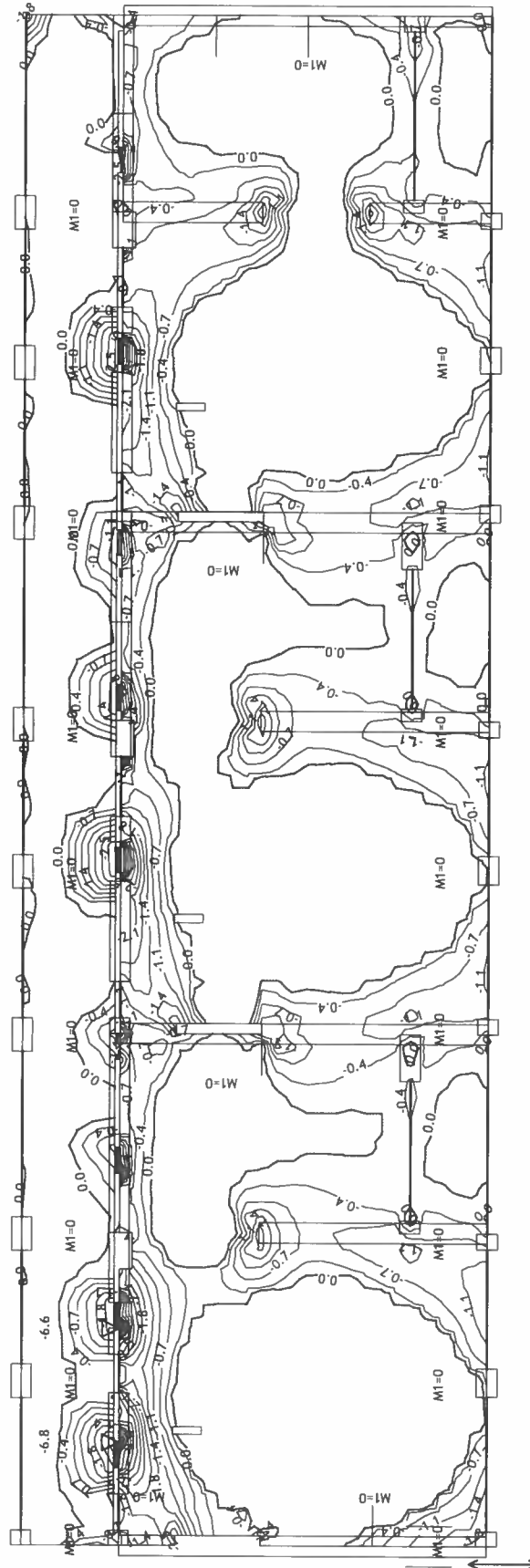
Aa - sp.cona - Smer 2 - max Aa2,s= 3.1 cm<sup>2</sup>/m

Merodajna obtežba: 7,8  
EC 2 (EN 1992-1-1:2004), C 30, S500H, a=3.00 cm



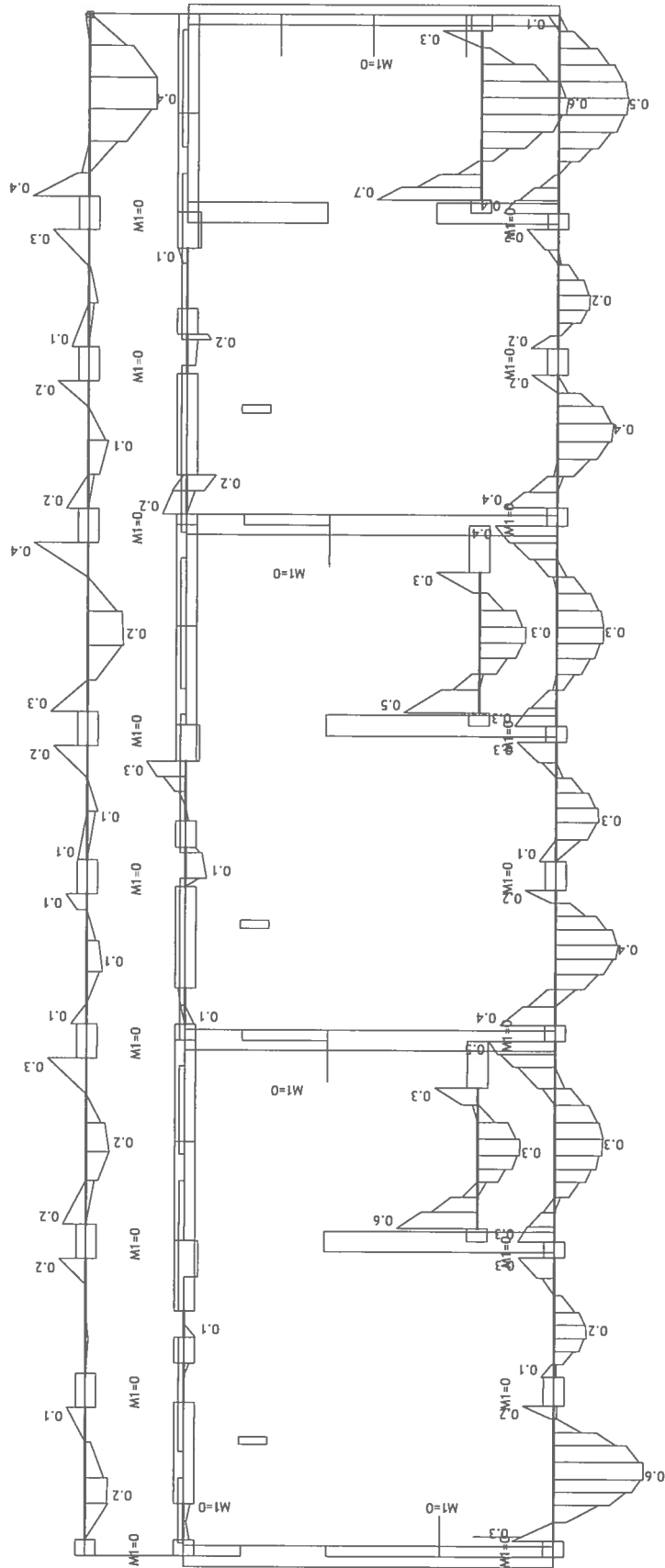
Nivo: nad 2N [8.60 m]  
Aa - zg.cona - Smer 1 - max Aa1,z= -5.2 cm<sup>2</sup>/m

Merodajna obtežba: 7,8  
EC 2 (EN 1992-1-1:2004), C 30, S500H, a=3.00 cm

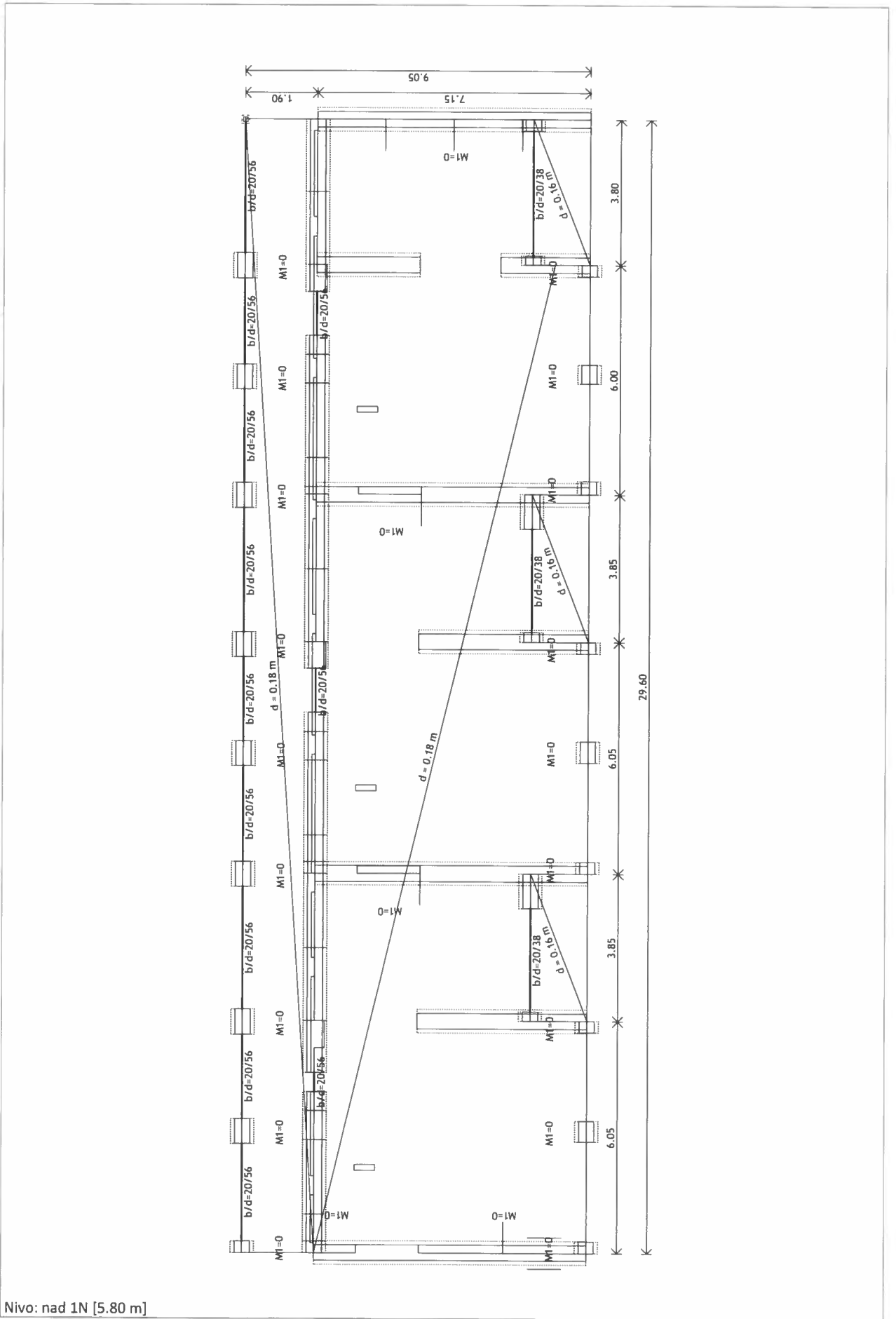


Nivo: nad 2N [8.60 m]  
Aa - zg.cona - Smer 2 - max Aa2,z= -6.8 cm<sup>2</sup>/m

Merodajna obtežba: 7,8  
 EC 2 (EN 1992-1-1:2004), C 30, S500H

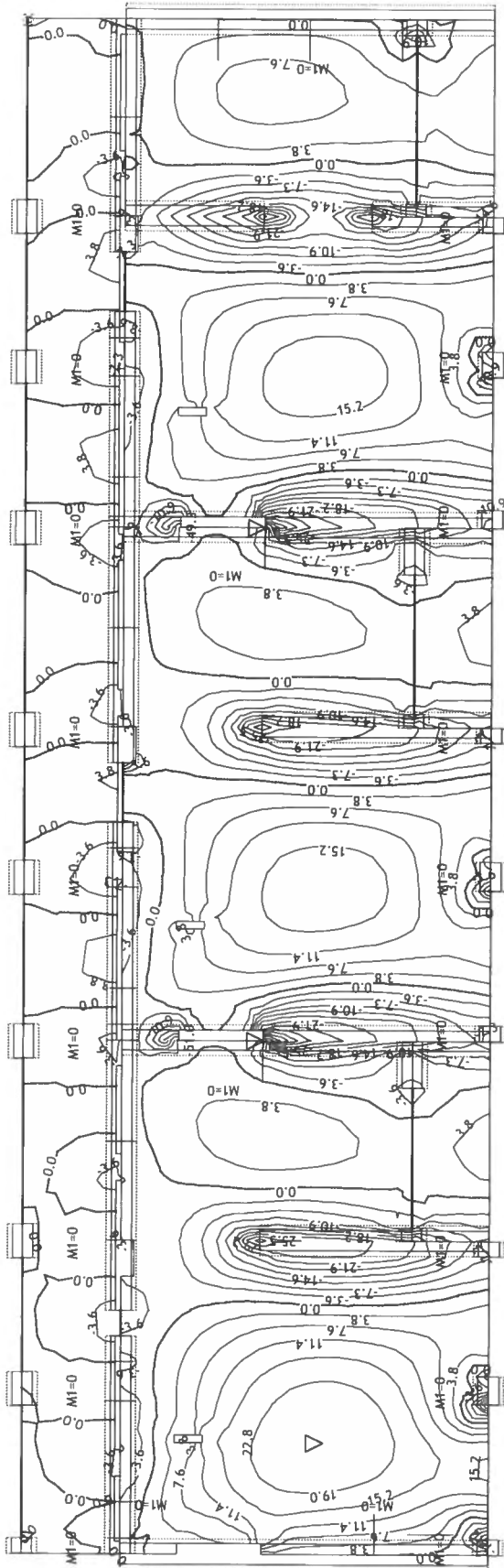


Nivo: nad 2N [8.60 m]  
 Armatura v gredah: max Aa2/Aa1= 0.7 / 0.6 cm<sup>2</sup>



Nivo: nad 1N [5.80 m]

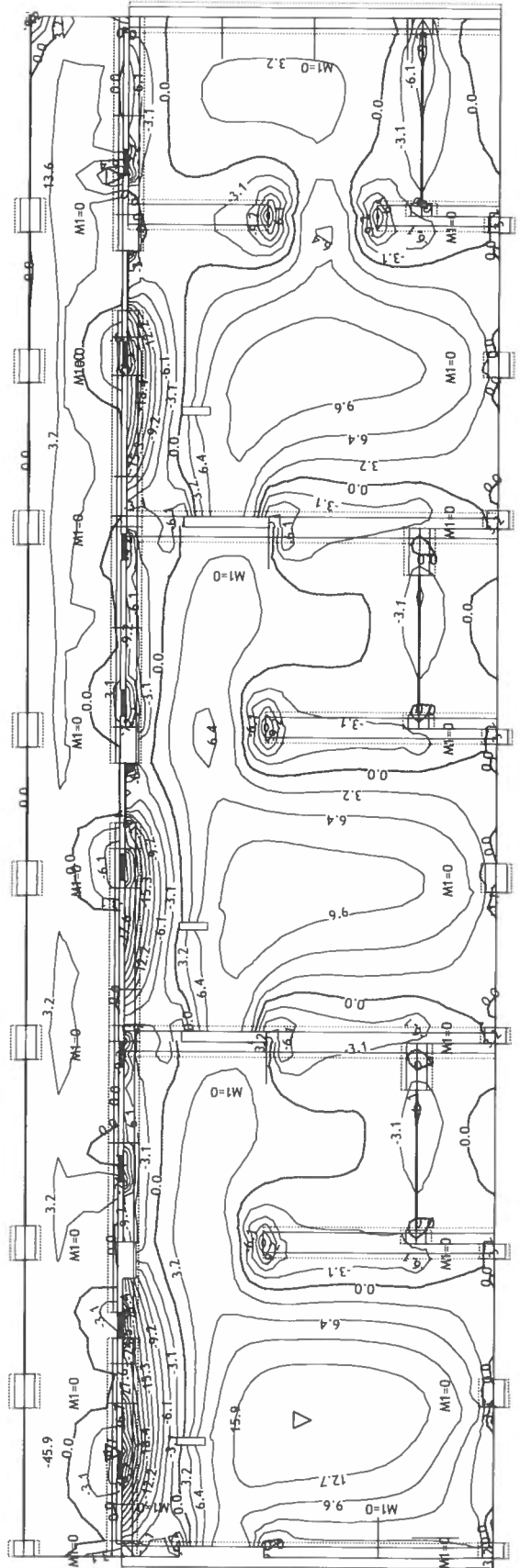
Obt. 7: 1.35xI+1.5xII+0.75xIII+1.35xIV



Nivo: nad 1N [5.80 m]

Vplivi v plošči: max  $M_x = 22.8$  / min  $M_x = -51.0$  kNm/m

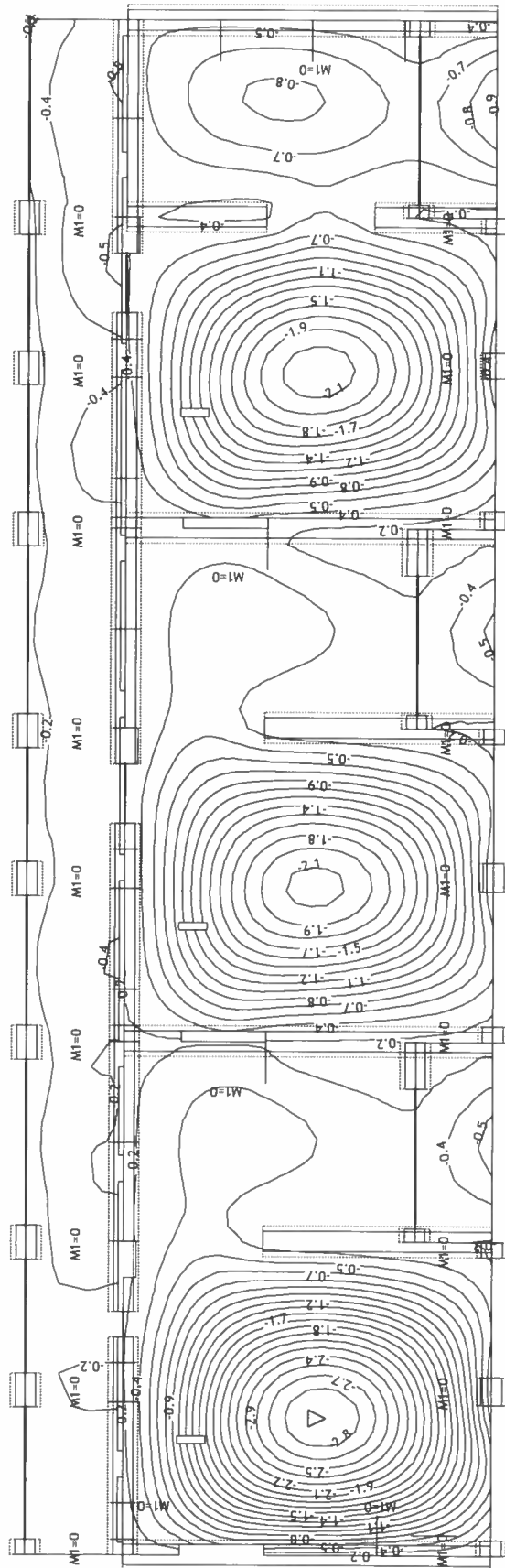
Obt. 7: 1.35xI+1.5xII+0.75xIII+1.35xIV



Nivo: nad 1N [5.80 m]

Vplivi v plošči: max  $M_y = 15.9$  / min  $M_y = -45.9$  kNm/m

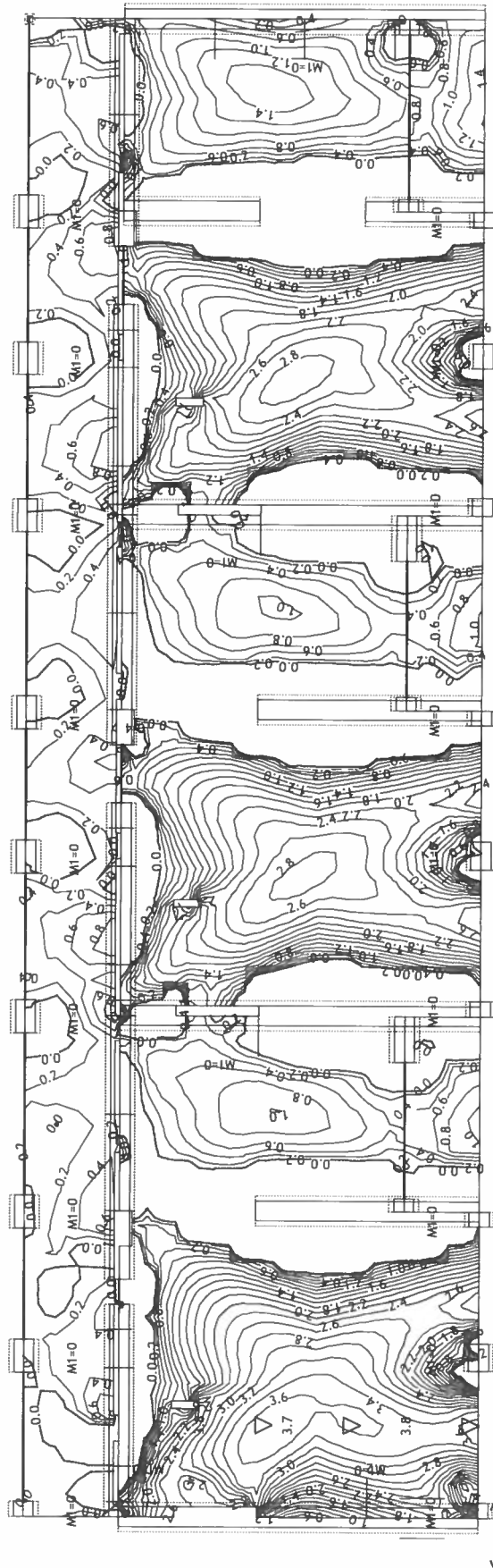
Obt. 10: [msu] 5,6



Nivo: nad 1N [5.80 m]

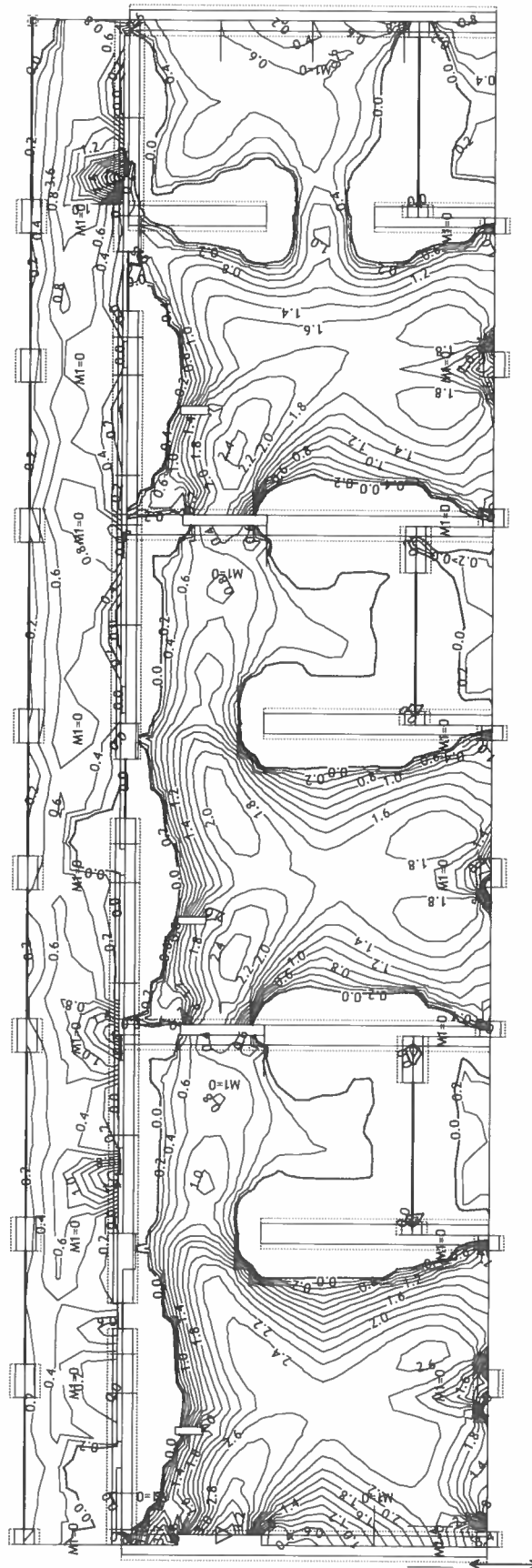
Vplivi v plošči: max Zp= -0.1 / min Zp= -2.9 m / 1000

Merodajna obtežba: 7,8  
 EC 2 (EN 1992-1-1:2004), C 30, S500H, a=3.00 cm



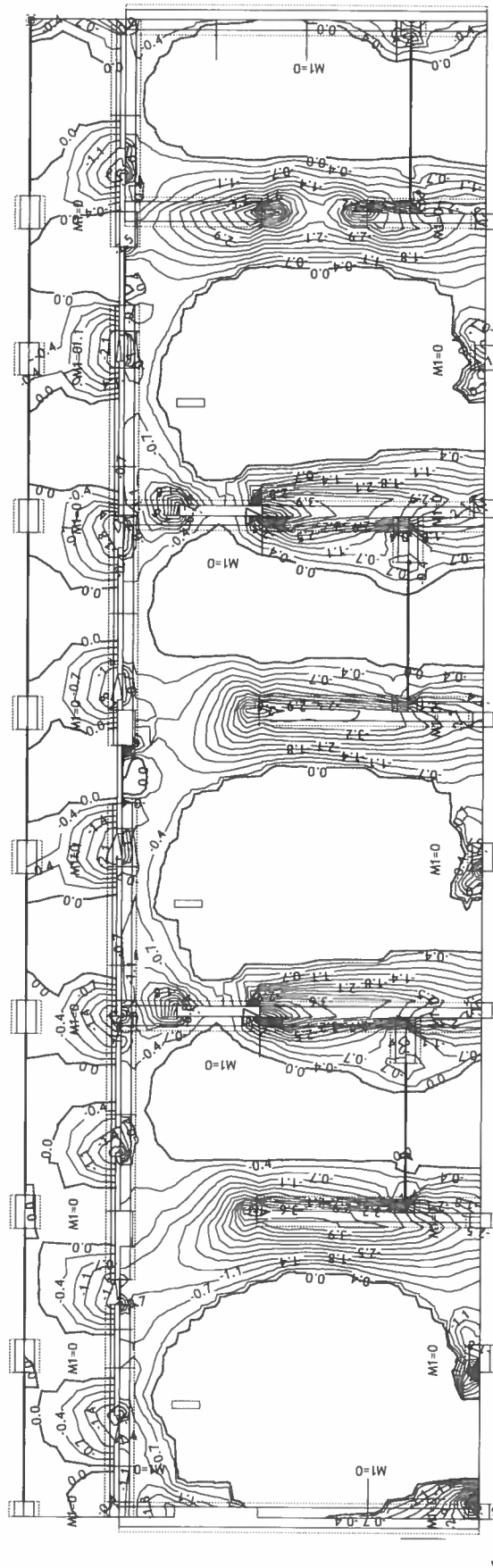
Nivo: nad 1N [5.80 m]  
 Aa - sp.cona - Smer 1 - max Aa1,s= 3.8 cm<sup>2</sup>/m

Merodajna obtežba: 7,8  
 EC 2 (EN 1992-1-1:2004), C 30, S500H, a=3.00 cm



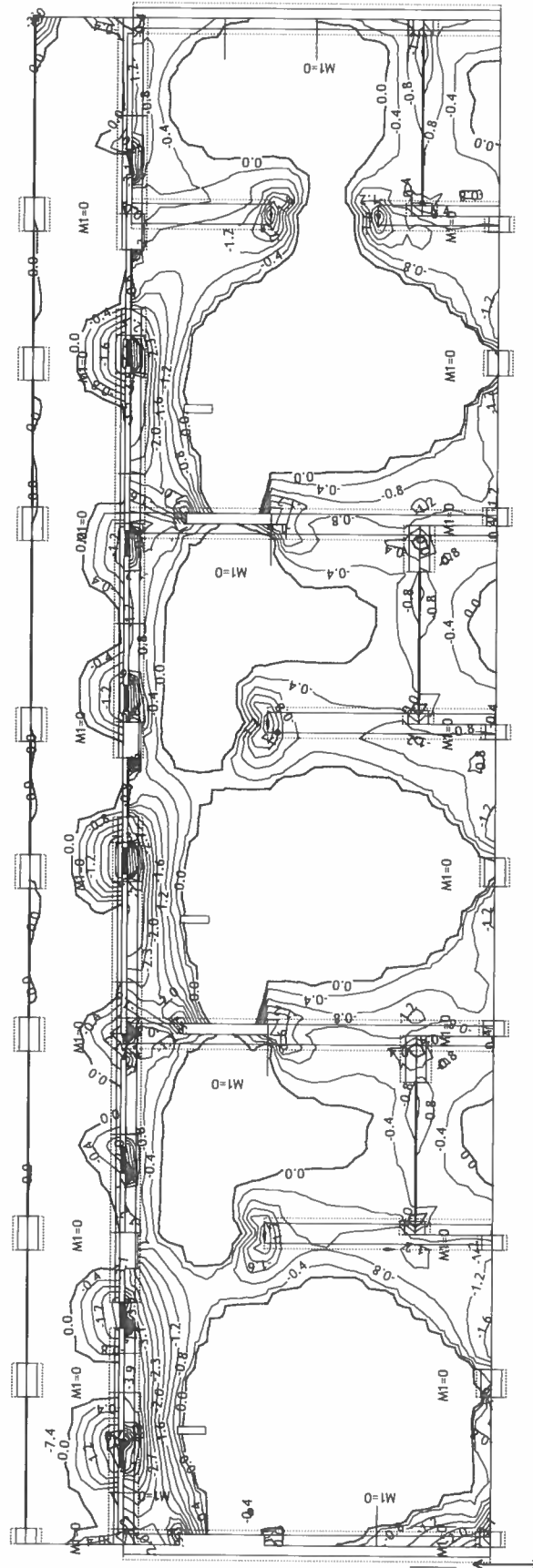
Nivo: nad 1N [5.80 m]  
 Aa - sp.cona - Smer 2 - max Aa2,s= 3.7 cm<sup>2</sup>/m

Merodajna obtežba: 7,8  
EC 2 (EN 1992-1-1:2004), C 30, S500H, a=3.00 cm



Nivo: nad 1N [5.80 m]  
Aa - zg.cona - Smer 1 - max Aa1,z=-6.8 cm<sup>2</sup>/m

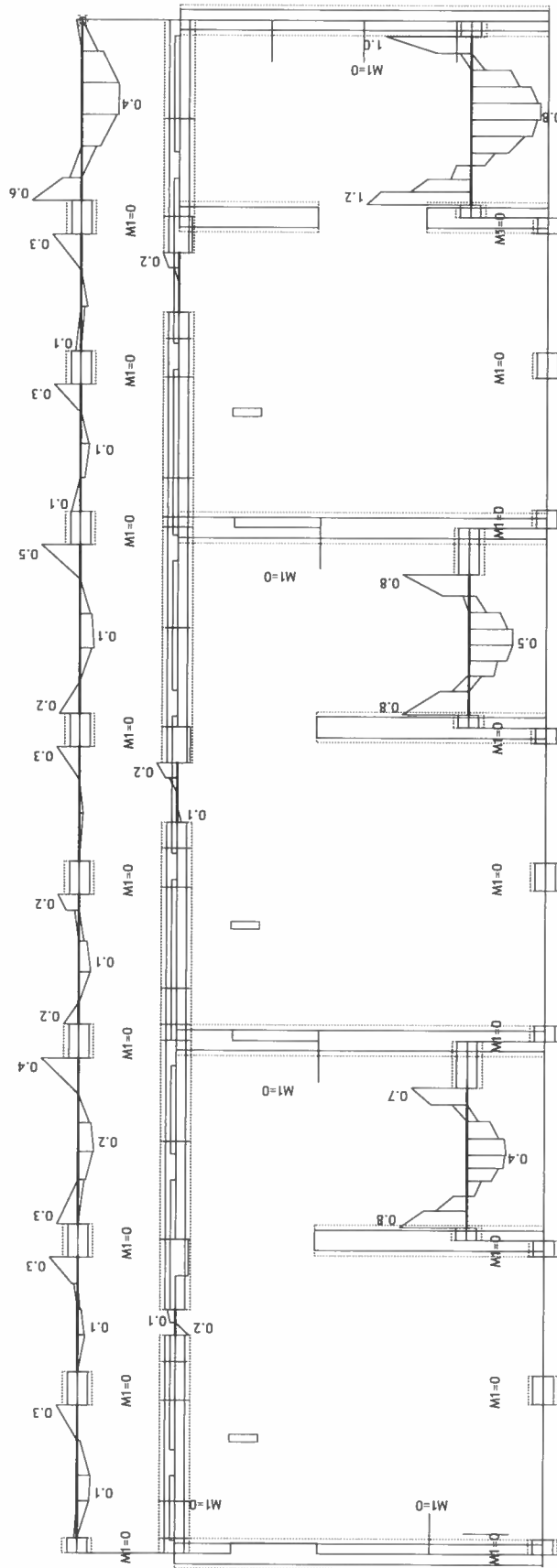
Merodajna obtežba: 7,8  
EC 2 (EN 1992-1-1:2004), C 30, S500H, a=3.00 cm



Nivo: nad 1N [5.80 m]  
Aa - zg.cona - Smer 2 - max Aa<sub>2,z</sub> = -7.4 cm<sup>2</sup>/m

AA12

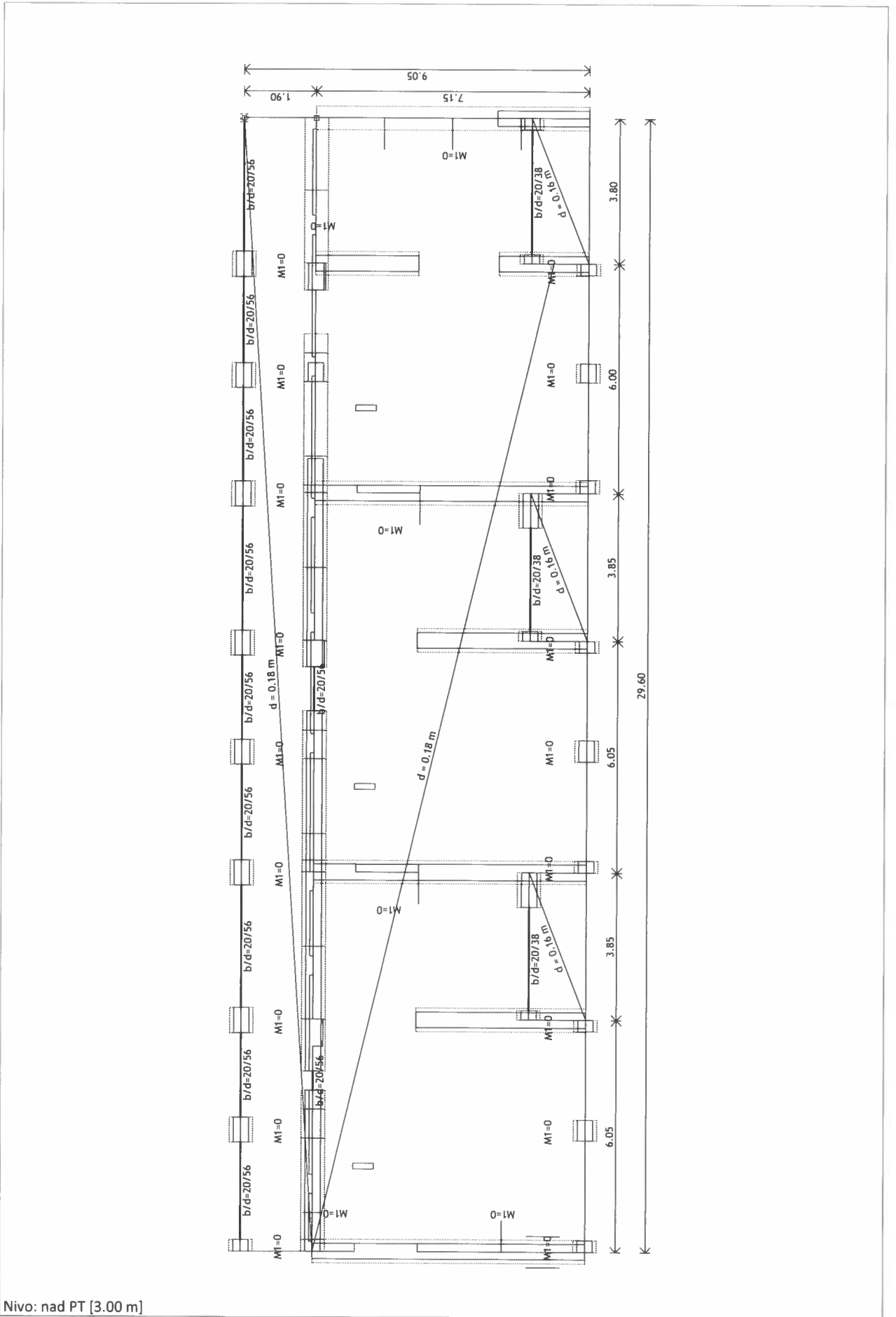
Merodajna obtežba: 7,8  
EC 2 (EN 1992-1-1:2004), C 30, S500H



Nivo: nad 1N [5.80 m]

Armatura v gredah: max Aa2/Aa1= 1.2 / 0.8 cm<sup>2</sup>

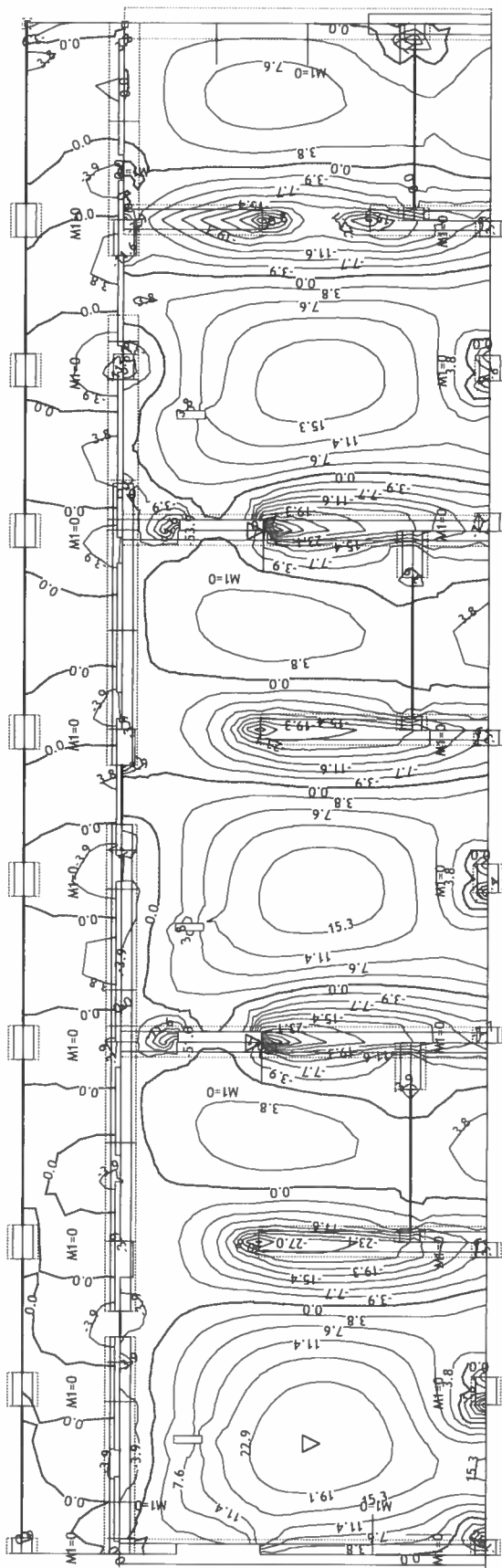
AMB



Nivo: nad PT [3.00 m]

AM4

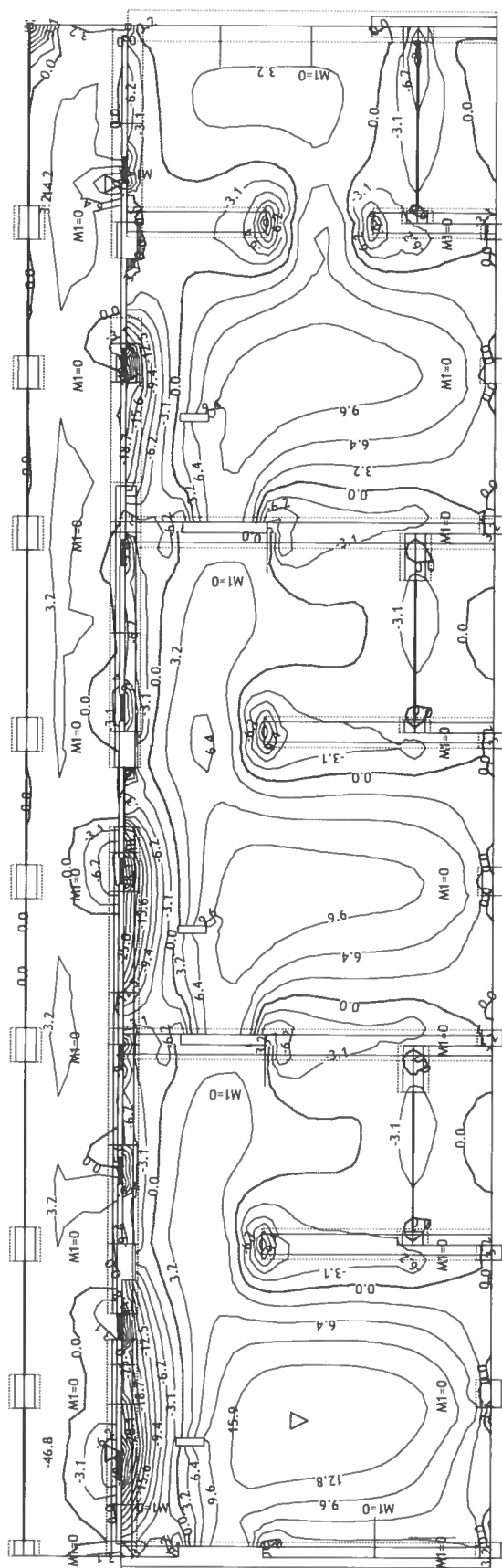
Obt. 7: 1.35xI+1.5xII+0.75xIII+1.35xIV



Nivo: nad PT [3.00 m]

Vplivi v plošči: max  $M_x = 22.9$  / min  $M_x = -53.9$  kNm/m

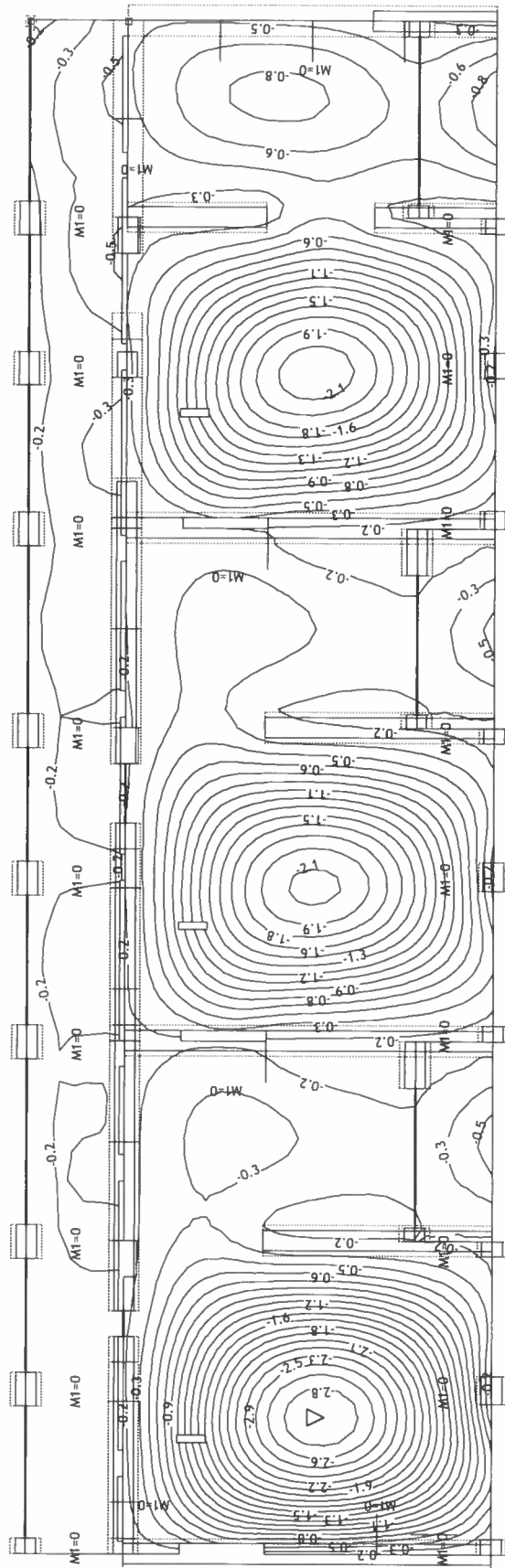
Obt. 7: 1.35xI+1.5xII+0.75xIII+1.35xIV



Nivo: nad PT [3.00 m]

Vplivi v plošči: max  $M_y = 15.9$  / min  $M_y = -46.8$  kNm/m

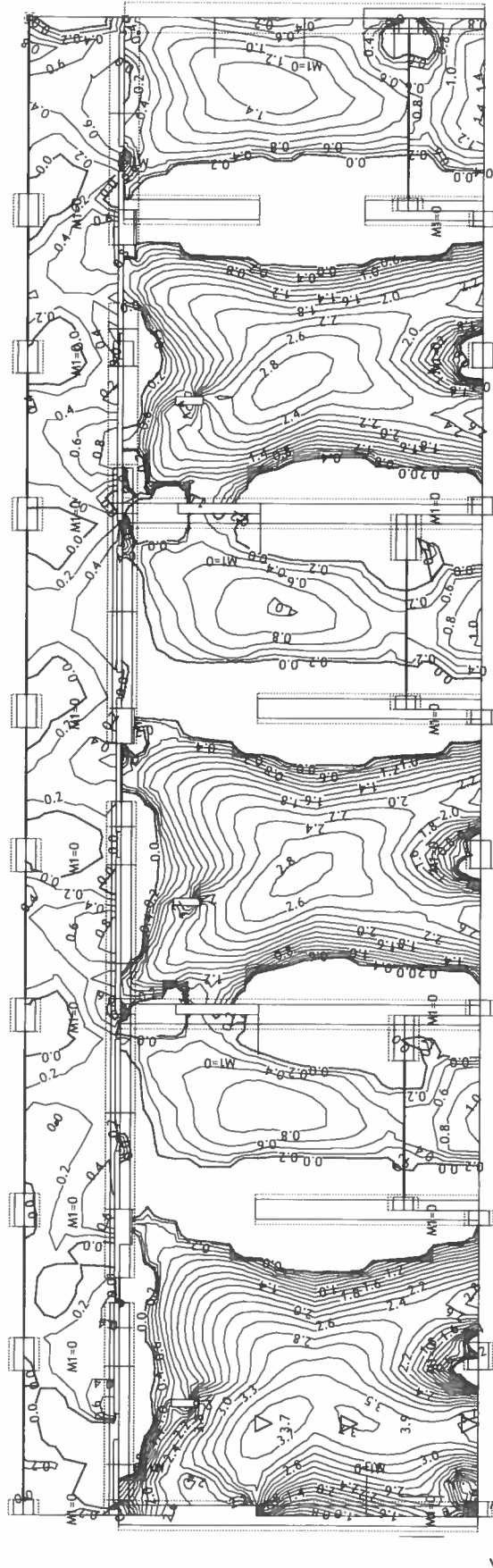
Obt. 10: [msu] 5,6



Nivo: nad PT [3.00 m]

Vplivi v plošči: max Zp= -0.1 / min Zp= -2.9 m / 1000

Merodajna obtežba: 7,8  
EC 2 (EN 1992-1-1:2004), C 30, S500H, a=3.00 cm

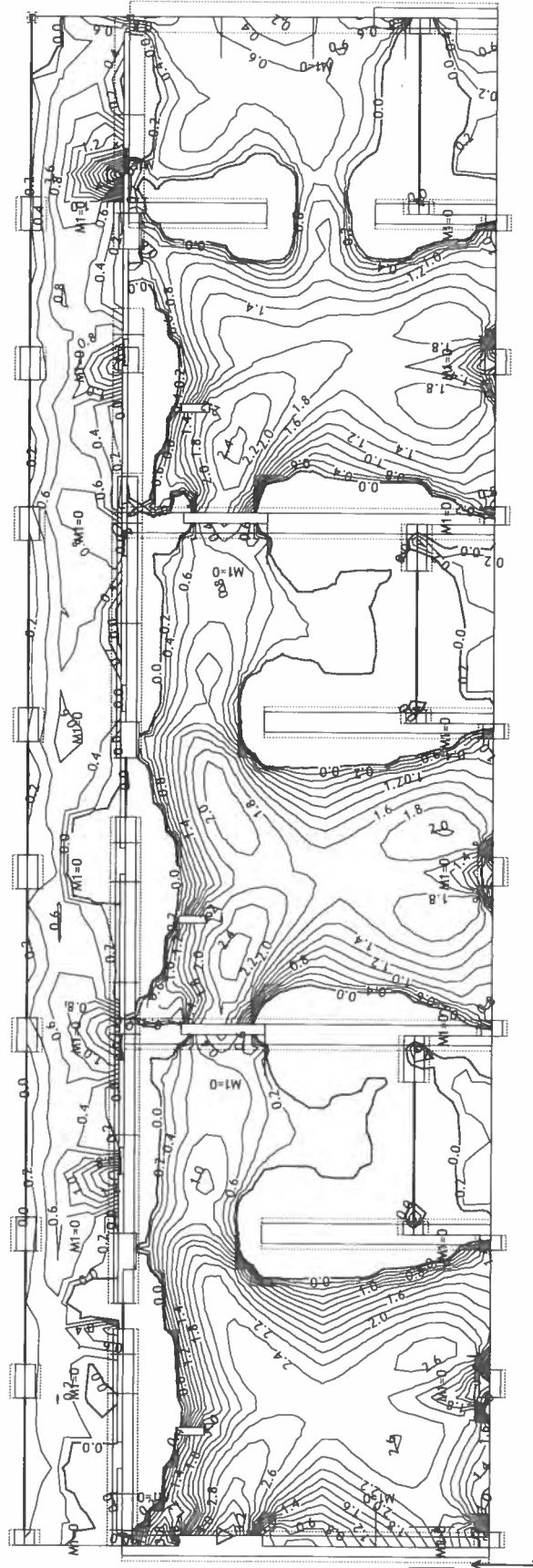


Nivo: nad PT [3.00 m]

Aa - sp.cona - Smer 1 - max Aa1,s= 3.9 cm<sup>2</sup>/m

1117

Merodajna obtežba: 7,8  
EC 2 (EN 1992-1-1:2004), C 30, S500H, a=3.00 cm

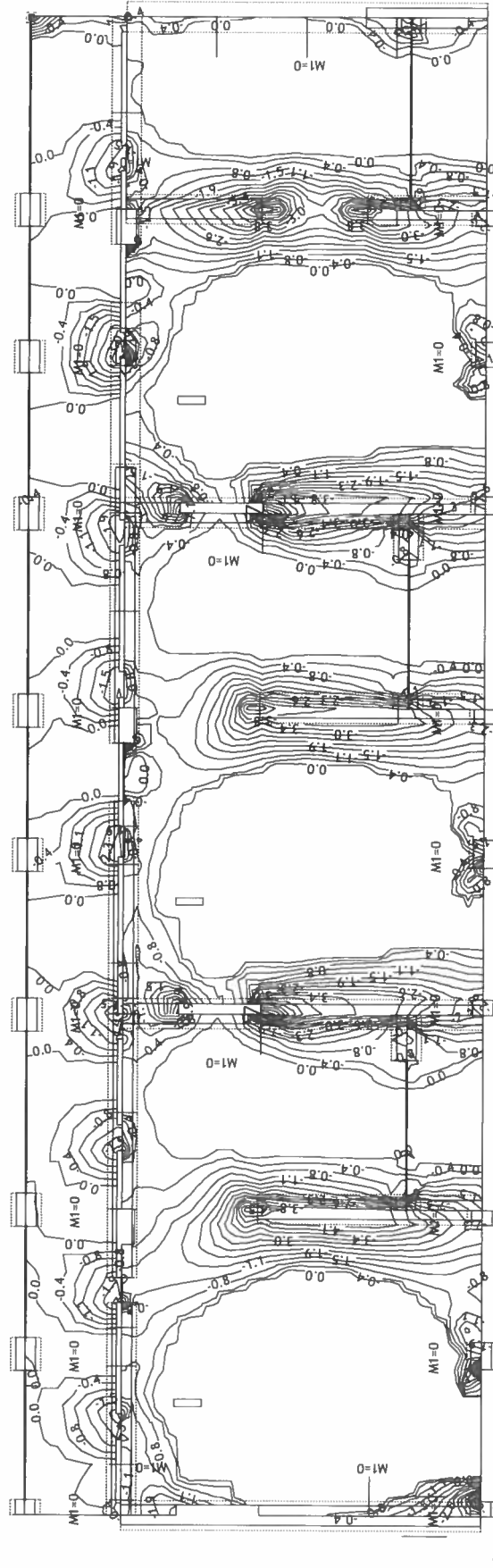


Nivo: nad PT [3.00 m]

Aa - sp.cona - Smer 2 - max Aa2,s= 3.8 cm<sup>2</sup>/m

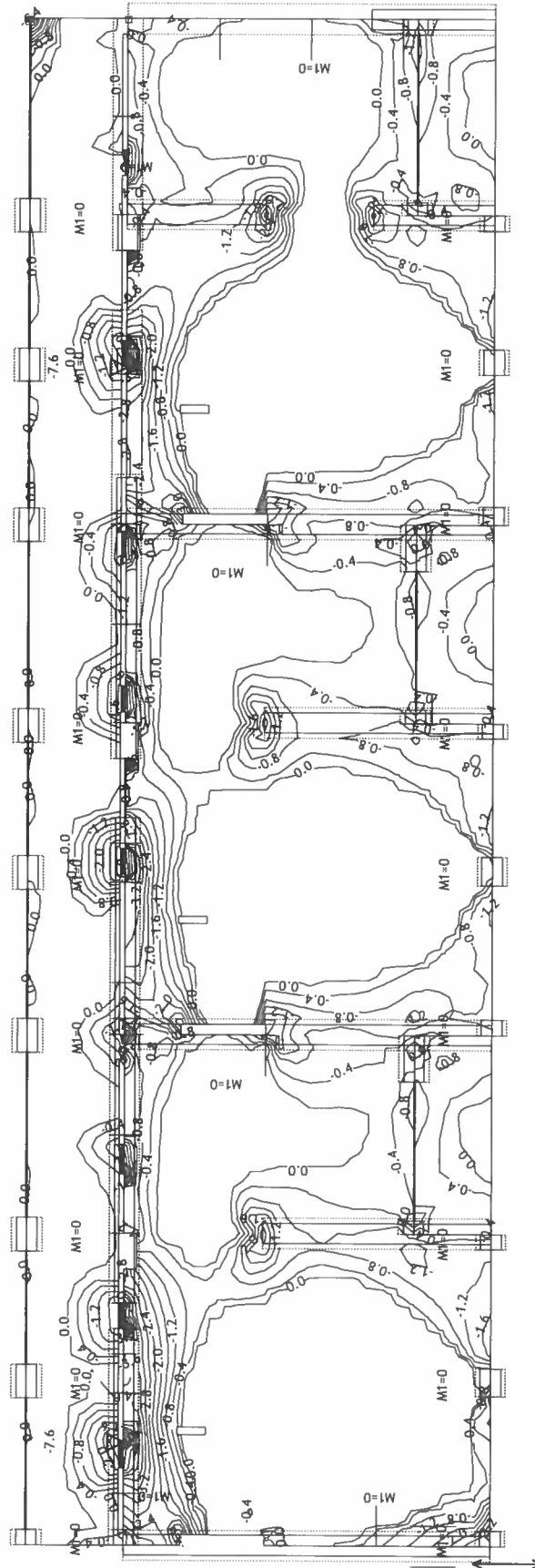
A-MZ

Merodajna obtežba: 7,8  
EC 2 (EN 1992-1-1:2004), C 30, S500H, a=3.00 cm



Nivo: nad PT [3.00 m]  
Aa - zg.cona - Smer 1 - max Aa1,z= -7.1 cm<sup>2</sup>/m

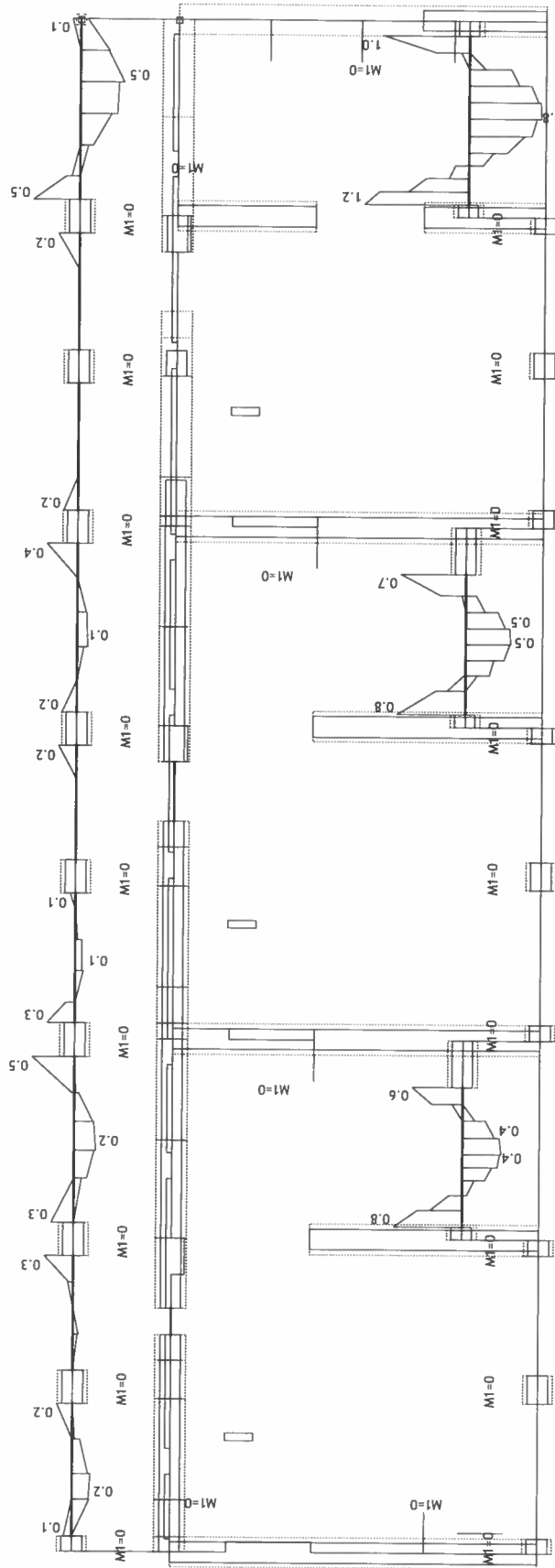
Merodajna obtežba: 7,8  
EC 2 (EN 1992-1-1:2004), C 30, S500H, a=3.00 cm



Nivo: nad PT [3.00 m]  
Aa - zg.cona - Smer 2 - max Aa2,z= -7.6 cm<sup>2</sup>/m

A10

Merodajna obtežba: 7,8  
 EC 2 (EN 1992-1-1:2004), C 30, S500H



Nivo: nad PT [3.00 m]

Armatura v gredah: max Aa2/Aa1= 1.2 / 0.8 cm<sup>2</sup>

1/1

### 3.2 Seizmični izračun

#### 3.2.1 Razred duktilnosti in faktor obnašanja

##### Dilatacija A4:

Za smer x znaša

$$\alpha_{0,x} = \frac{\sum h_{wi}}{\sum l_{wi}} = \frac{28 \cdot 9'0}{33,08} = 7'6$$

$$0'5 \leq k_{w,x} = \frac{1 + \alpha_{0,x}}{3} = 2'8 \leq 1'0$$

Za smer y pa

$$\alpha_{0,y} = \frac{7 \cdot 9'0}{36,02} = 1'7$$

$$0'5 \leq k_{w,y} = \frac{1 + \alpha_{0,y}}{3} = 0'9 \leq 1'0$$

Za geometrijo konstrukcije lahko rečemo, da je pravilna po višini. Računska vrednost faktorja obnašanja znaša tako

$$1.5 \leq q_x = q_0 \cdot k_w = 3'6 \cdot 1'0 = 3'6$$

$$1.5 \leq q_y = q_0 \cdot k_w = 3'6 \cdot 0'9 = 3'2$$

#### 3.2.2 Omejitev poškodb

Standard SIST EN 1998-1 omejuje etažne pomike. Etažni pomiki konstrukcije pri potresni analizi ob upoštevanju faktorja  $q = 1$ .

Da preprečimo pretirane poškodbe konstrukcije, standard SIST EN 1998-1 člen 4.4.3, omeji velikost pomikov z enačbo:

$$d_r v \leq \alpha h \rightarrow \frac{d_r}{h} \leq \frac{\alpha}{v}$$

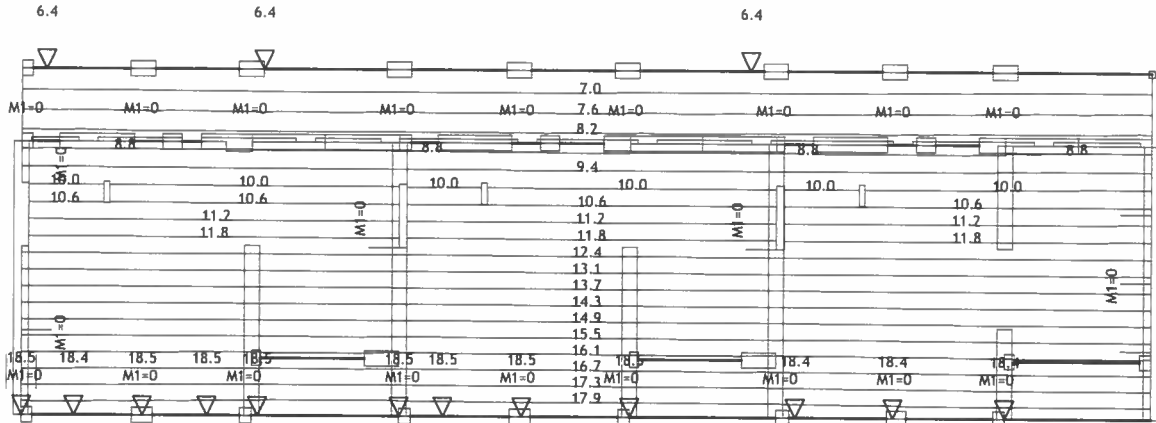
$d_r$  ... projektni etažni pomik, določen kot razlika med povprečnima vodoravnima pomikoma  $d_s$  na vrhu in dnu etaže,  $h$  ... etažna višina,  $v$  ... redukcijski faktor, ki upošteva manjšo povratno dobo potresa (standard za kategorijo pomembnosti II priporoča vrednost 0'5,  $\alpha$  ... faktor, odvisen od duktilnosti nekonstrukcijskih elementov ( $\alpha = 0'005$  za nekonstrukcijske elemente iz krhkih materialov,  $\alpha = 0'0075$  za duktilne nekonstrukcijske elemente,  $\alpha = 0'010$  za nekonstrukcijske elemente na katere deformacije konstrukcije ne vplivajo)

Etažni zamiki konstrukcije so zbrani v preglednici v nadaljevanju:

etaža i	z <sub>i</sub> (m)	h <sub>i</sub> (m)	Potres v X smeri				Potres v Y smeri				Ex + 0,3 Ey		0,3 Ex + Ey		v'd <sub>i,max</sub> (mm)	0,005'h <sub>i</sub> (mm)	Kontrola	Kategorija pomembnost v = 0,5
			U <sub>XEx</sub> (mm)	U <sub>YEx</sub> (mm)	d <sub>XEx</sub> (mm)	d <sub>YEx</sub> (mm)	U <sub>XEy</sub> (mm)	U <sub>YEy</sub> (mm)	d <sub>XEy</sub> (mm)	d <sub>YEy</sub> (mm)	d <sub>X</sub> (mm)	d <sub>Y</sub> (mm)	d <sub>X</sub> (mm)	d <sub>Y</sub> (mm)				
2 nad	8,92	2,80	18,50	22,70	5,30	7,00	3,80	33,00	1,20	9,90	5,66	9,97	2,79	12,00	6,16	14,00	OK	q = 1,0
1 nad	6,12	2,82	13,20	15,70	5,70	7,10	2,60	23,10	1,00	10,00	6,00	10,10	2,71	12,13	6,21	14,10	OK	
nad pt	3,30	3,30	7,50	8,60	7,50	8,60	1,60	13,10	1,60	13,10	7,98	12,53	3,85	15,68	8,07	16,50	OK	
temelji	0,00																	

OBJEKT A - del ④

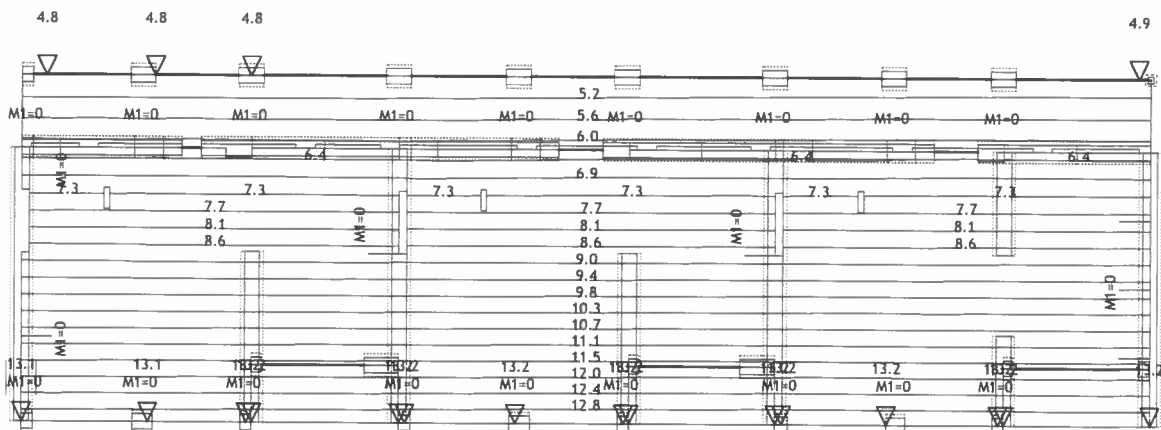
Obt. 5: smer x (+e)



Nivo: nad 2N [8.60 m]

Vplivi v plošči: max Xp= 18.5 / min Xp= 6.4 m / 1000

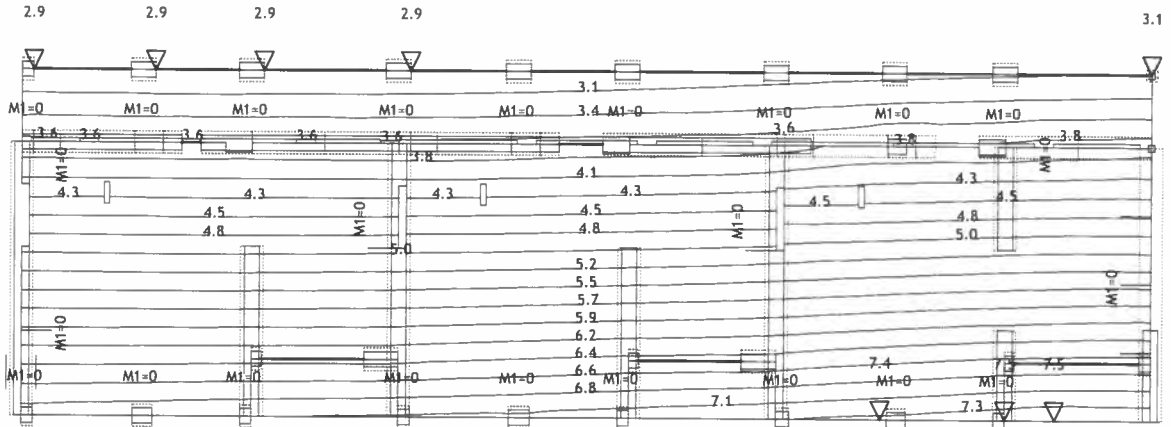
Obt. 5: smer x (+e)



Nivo: nad 1N [5.80 m]

Vplivi v plošči: max Xp= 13.2 / min Xp= 4.8 m / 1000

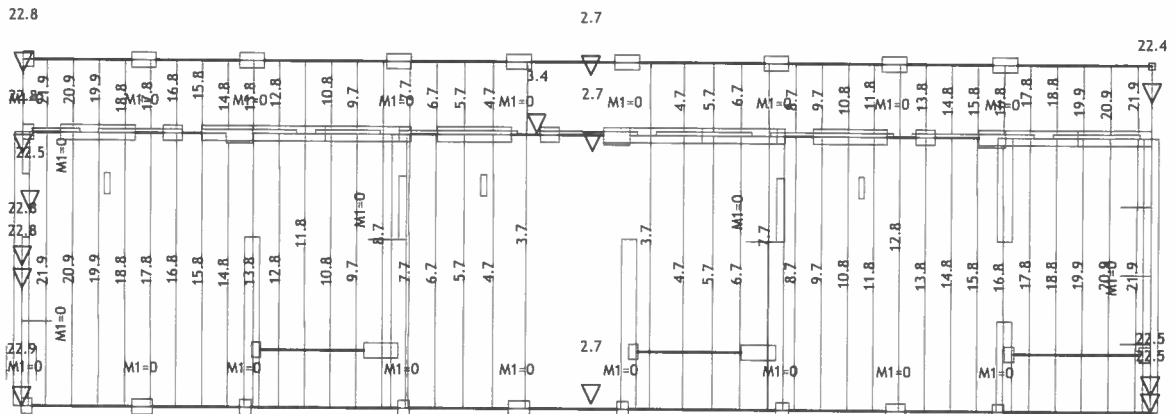
Obt. 5: smer x (+e)



Nivo: nad PT [3.00 m]

Vplivi v plošči: max  $X_p = 7.5$  / min  $X_p = 2.9$  m / 1000

Obt. 5: smer x (+e)

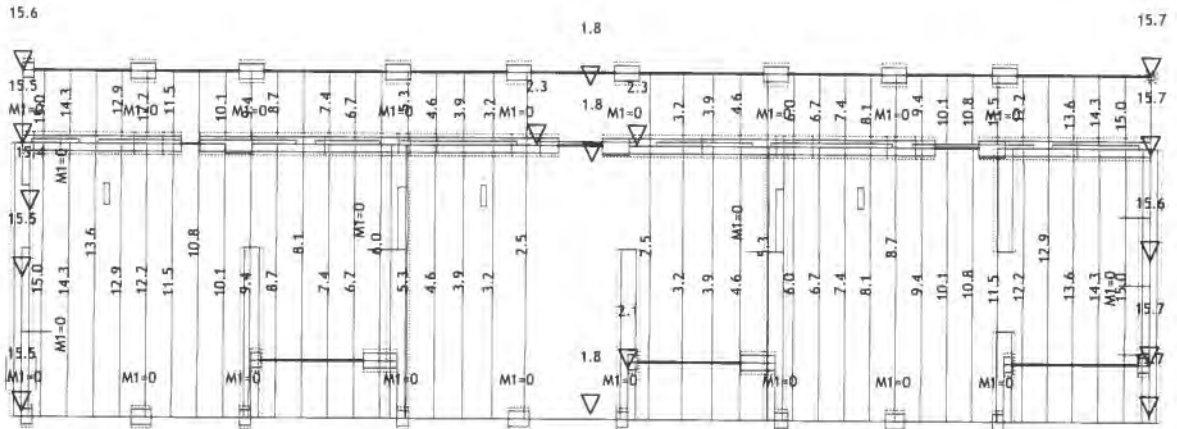


Nivo: nad 2N [8.60 m]

Vplivi v plošči: max  $Y_p = 22.9$  / min  $Y_p = 2.7$  m / 1000

A124

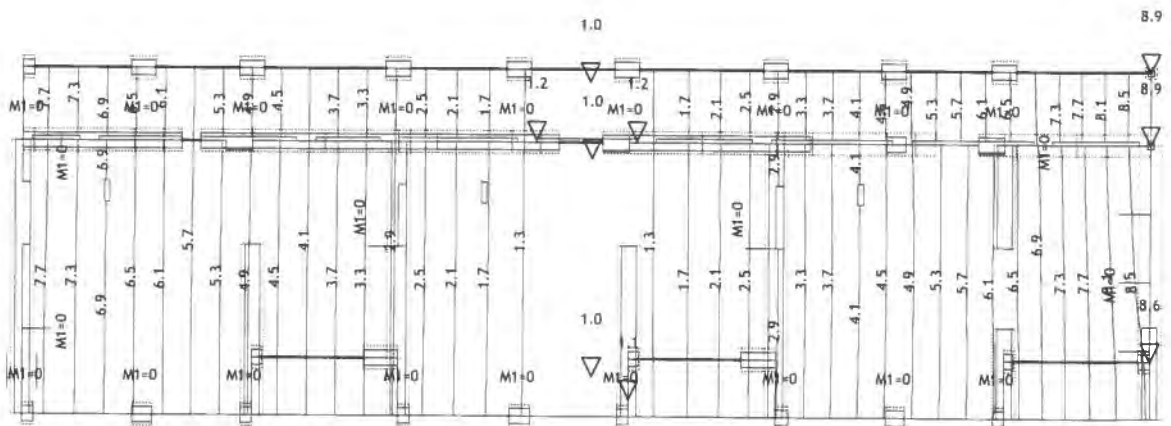
Obt. 5: smer x (+e)



Nivo: nad 1N [5.80 m]

Vplivi v plošči: max  $Y_p = 15.7$  / min  $Y_p = 1.8$  m / 1000

Obt. 5: smer x (+e)

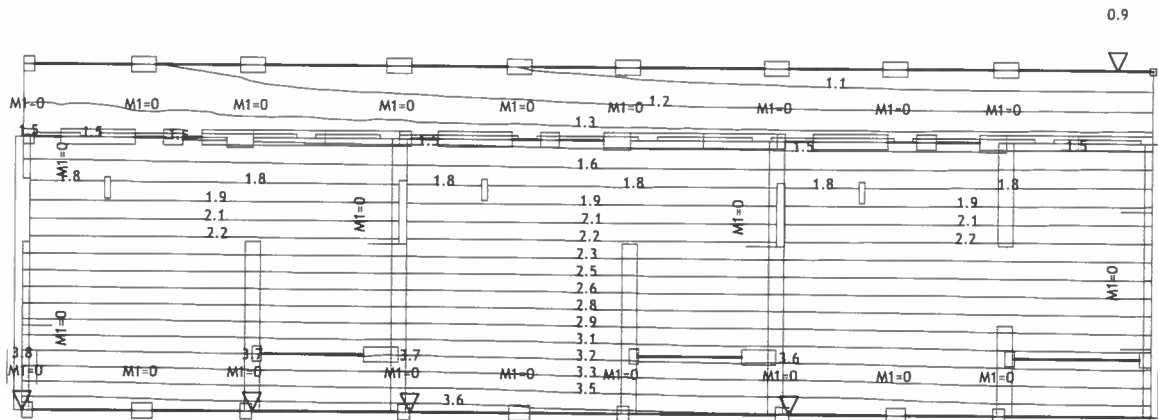


Nivo: nad PT [3.00 m]

Vplivi v plošči: max  $Y_p = 8.9$  / min  $Y_p = 1.0$  m / 1000

A125

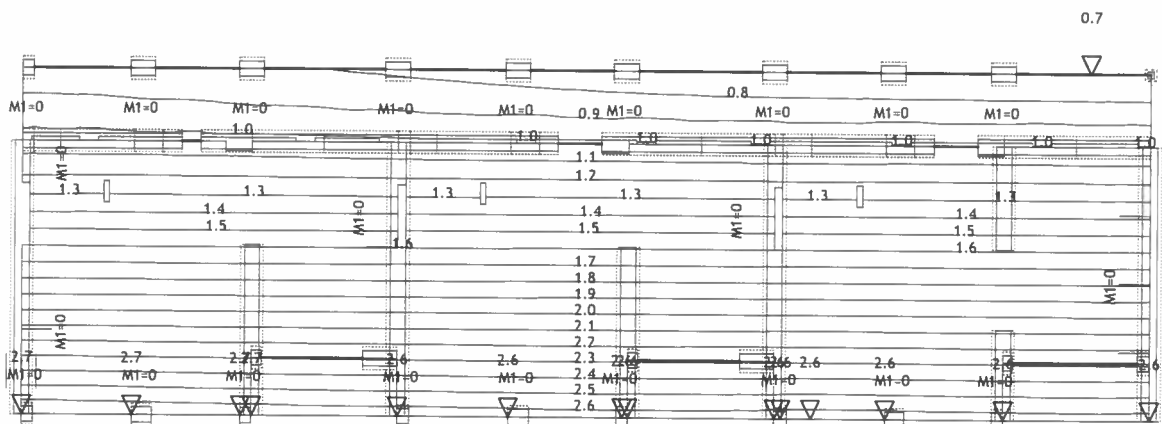
Obt. 7: smer y (+e)



Nivo: nad 2N [8.60 m]

Vplivi v plošči: max  $X_p = 3.8$  / min  $X_p = 0.9$  m / 1000

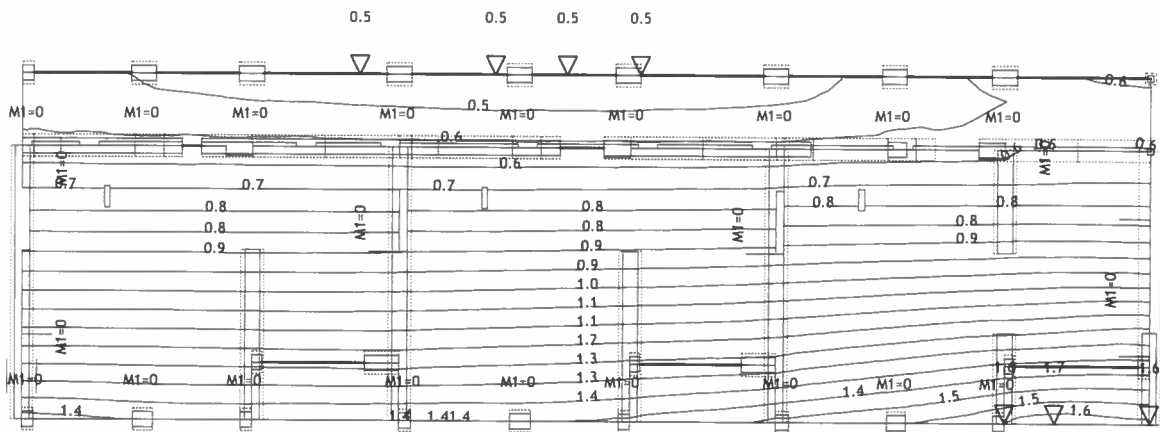
Obt. 7: smer y (+e)



Nivo: nad 1N [5.80 m]

Vplivi v plošči: max  $X_p = 2.7$  / min  $X_p = 0.7$  m / 1000

Obt. 7: smer y (+e)

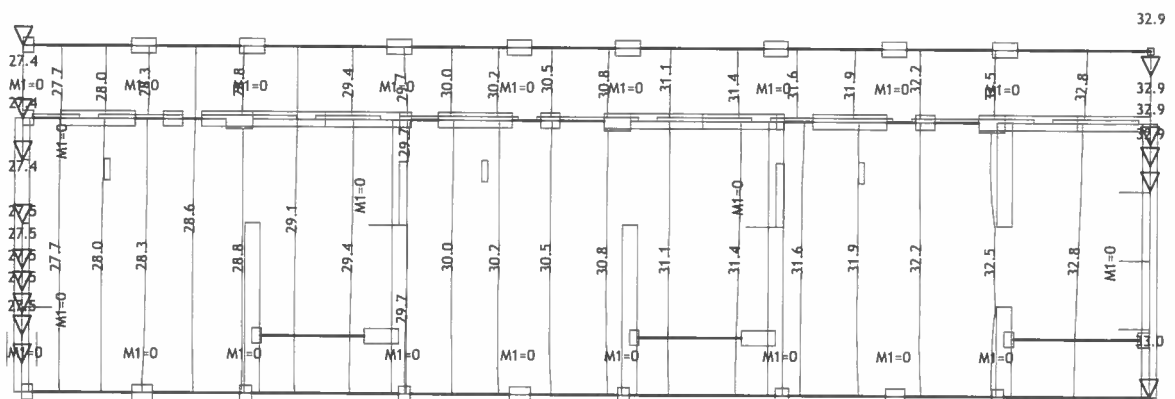


Nivo: nad PT [3.00 m]

Vplivi v plošči: max  $X_p = 1.7$  / min  $X_p = 0.5$  m / 1000

Obt. 7: smer y (+e)

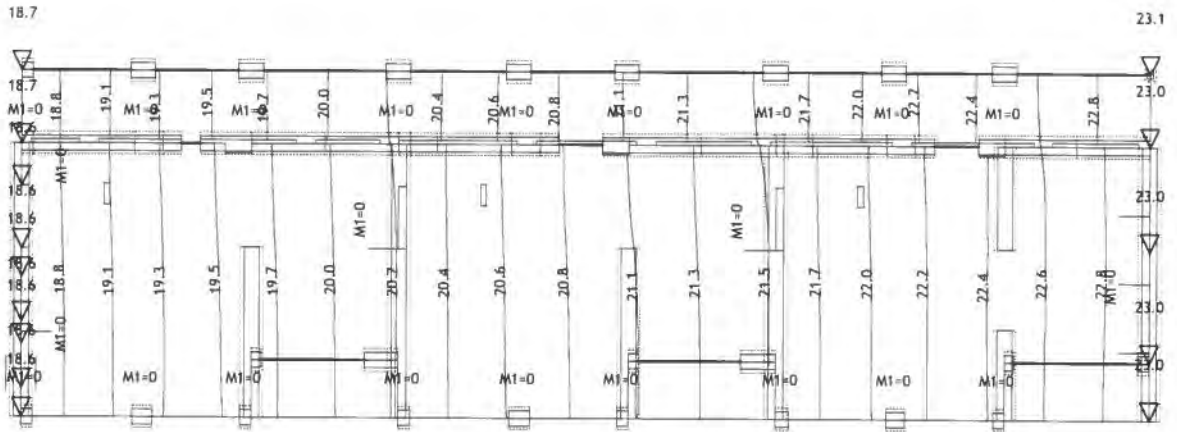
27.5



Nivo: nad 2N [8.60 m]

Vplivi v plošči: max  $Y_p = 33.0$  / min  $Y_p = 27.4$  m / 1000

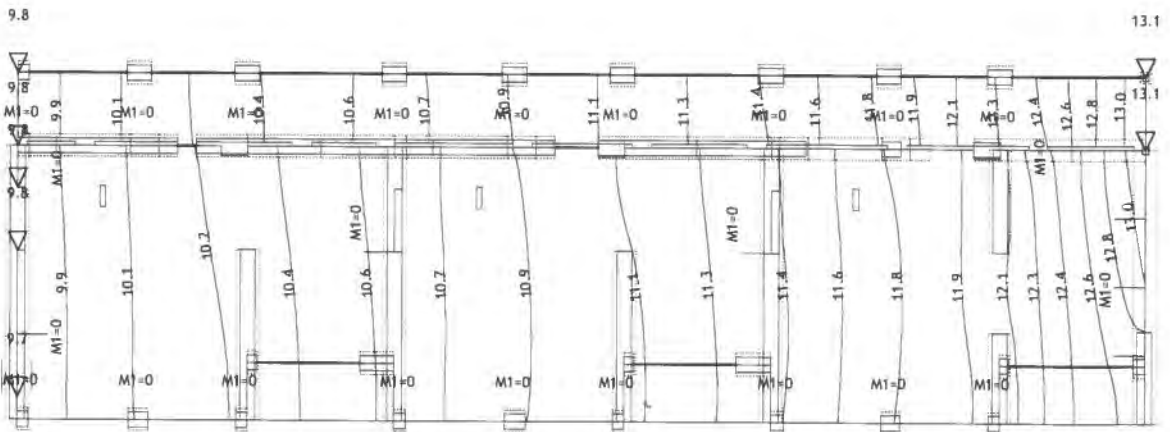
Obt. 7: smer y (+e)



Nivo: nad 1N [5.80 m]

Vplivi v plošči: max Yp= 23.1 / min Yp= 18.6 m / 1000

Obt. 7: smer y (+e)



Nivo: nad PT [3.00 m]

Vplivi v plošči: max Yp= 13.1 / min Yp= 9.7 m / 1000

**Modalna analiza***Faktorji obtežb za preračun mas*

No	Naziv	Koeficient	
1	I.t. + stalna (g)	1.00	
2	koristna	0.30	φ
3	sneg	0.00	
4	I.t. temeljne plošče	0.00	

*Dejavniki etaž za preračun mas*

Nivo	Z [m]	φ
nad 2N	8.60	1.00
nad 1N	5.80	0.50
nad PT	3.00	0.50

*Razporeditev mas po višini objekta*

Nivo	Z [m]	X [m]	Y [m]	Masa [T]	T/m <sup>2</sup>
nad 2N	8.60	14.89	4.61	252.76	0.96
nad 1N	5.80	14.72	4.62	329.17	1.25
nad PT	3.00	14.52	4.79	712.88	2.70
Skupno:	4.80	14.64	4.71	1294.81	

*Položaj centra togosti po višini objekta (točna metoda)*

Nivo	Z [m]	X [m]	Y [m]
nad 2N	8.60	14.98	9.66
nad 1N	5.80	14.82	9.48
nad PT	3.00	14.26	8.64

*Ekscentriciteta po višini objekta (točna metoda)*

Nivo	Z [m]	e <sub>ox</sub> [m]	e <sub>oy</sub> [m]
nad 2N	8.60	0.09	5.05
nad 1N	5.80	0.10	4.87
nad PT	3.00	0.26	3.85

*Nihajne dobe konstrukcije*

No	T [s]	f [Hz]	No	T [s]	f [Hz]	No	T [s]	f [Hz]
1	0.3050	3.2784	5	0.0616	16.2399	8	0.0426	23.4635
2	0.2936	3.4066	6	0.0508	19.6842	9	0.0383	26.0913
3	0.1468	6.8135	7	0.0459	21.7845	10	0.0356	28.0557
4	0.0658	15.1946						

*Tlorisna pravilnost*

Z [m]	e <sub>ox</sub> [m]	e <sub>oy</sub> [m]	r <sub>x</sub> [m]	r <sub>y</sub> [m]	l <sub>s</sub> [m]	e <sub>ox</sub> ≤ 0.3r <sub>x</sub>	e <sub>oy</sub> ≤ 0.3r <sub>y</sub>	r <sub>x</sub> > l <sub>s</sub>	r <sub>y</sub> > l <sub>s</sub>
8.60	0.09	5.05	11.47	9.81	9.14	Da	Ne	Da	Da
5.80	0.10	4.87	11.24	10.00	9.26	Da	Ne	Da	Da
3.00	0.26	3.85	10.60	10.14	9.11	Da	Ne	Da	Da

**Seizmični preračun**

Seizmični preračun: EC8 (EN 1998) SLO

Kategorija tal: D  
 Kategorija pomena: II ( $\gamma=1.0$ )  
 Razmerje  $a_g/g$ : 0.25  
 Koefficient dušenja: 0.05  
 Slučajna ekscentričnost mase etaže:  $e_i = \pm 0.050 \times L_i$

**Faktorji smeri potresa:**

Obtežni primer	Kot $\alpha$ [°]	$k, \alpha$	$k, \alpha+90^\circ$	$k_z$	Faktor O.
smer x	0	1.000	0.000	0.000	3.600
smer y	90	1.000	0.000	0.000	3.200

**Tip spektra**

Obtežni primer	S	Tb	Tc	Td
smer x	1.350	0.200	0.800	2.000
smer y	1.350	0.200	0.800	2.000

**smer x (+e)**

Nivo	Z [m]	Ton 1			Ton 2			Ton 3		
		Px [kN]	Py [kN]	Pz [kN]	Px [kN]	Py [kN]	Pz [kN]	Px [kN]	Py [kN]	Pz [kN]
nad 2N	8.60	23.21	-128.54	6.88	284.94	127.10	-5.34	347.57	10.30	-20.49
nad 1N	5.80	21.60	-115.33	9.42	267.66	110.67	-5.94	365.61	7.95	-21.13
nad PT	3.00	25.48	-133.93	25.19	321.14	127.27	-11.36	549.86	3.98	-39.04
kineta	0.20	0.00	0.00	0.00	0.00	0.00	0.00	0.00	0.00	0.00
temeljna	0.00	0.00	0.00	0.00	0.00	0.00	0.00	0.00	0.00	0.00
temeljna kinete	-2.00	0.00	0.00	0.00	0.00	0.00	0.00	0.00	0.00	0.00
	$\Sigma=$	70.28	-377.79	41.48	873.74	365.03	-22.65	1263.0	22.23	-80.66

Nivo	Z [m]	Ton 4			Ton 5			Ton 6		
		Px [kN]	Py [kN]	Pz [kN]	Px [kN]	Py [kN]	Pz [kN]	Px [kN]	Py [kN]	Pz [kN]
nad 2N	8.60	-53.32	-13.02	-4.04	-89.46	-14.85	6.72	-15.42	33.32	-0.55
nad 1N	5.80	-2.75	3.78	-5.18	-10.84	-0.84	6.78	-3.37	-1.73	-0.14
nad PT	3.00	130.09	26.81	-11.01	197.73	34.90	15.87	31.46	-86.59	-3.69
kineta	0.20	0.00	0.00	0.00	0.00	0.00	0.00	0.00	0.00	0.00
temeljna	0.00	0.00	0.00	0.00	0.00	0.00	0.00	0.00	0.00	0.00
temeljna kinete	-2.00	0.00	0.00	0.00	0.00	0.00	0.00	0.00	0.00	0.00
	$\Sigma=$	74.02	17.58	-20.23	97.42	19.21	29.37	12.68	-55.01	-4.39

Nivo	Z [m]	Ton 7			Ton 8			Ton 9		
		Px [kN]	Py [kN]	Pz [kN]	Px [kN]	Py [kN]	Pz [kN]	Px [kN]	Py [kN]	Pz [kN]
nad 2N	8.60	-17.17	-17.22	-0.33	-1.79	7.25	-1.15	-0.00	-0.00	-0.00
nad 1N	5.80	-5.06	-0.65	-1.03	2.20	-0.56	-1.00	0.00	-0.00	-0.00
nad PT	3.00	37.80	49.95	-4.10	5.90	-18.53	-3.50	-0.00	0.00	-0.00
kineta	0.20	0.00	0.00	0.00	0.00	0.00	0.00	0.00	0.00	0.00
temeljna	0.00	0.00	0.00	0.00	0.00	0.00	0.00	0.00	0.00	0.00
temeljna kinete	-2.00	0.00	0.00	0.00	0.00	0.00	0.00	0.00	0.00	0.00
	$\Sigma=$	15.57	32.08	-5.46	6.31	-11.84	-5.64	0.00	0.00	-0.00

Nivo	Z [m]	Ton 10		
		Px [kN]	Py [kN]	Pz [kN]
nad 2N	8.60	-4.03	-2.04	0.69
nad 1N	5.80	-0.18	-0.23	0.53
nad PT	3.00	8.95	6.07	0.81
kineta	0.20	0.00	0.00	0.00
temeljna	0.00	0.00	0.00	0.00
temeljna kinete	-2.00	0.00	0.00	0.00
	$\Sigma=$	4.73	3.80	2.03

**smer x (-e)**

Nivo	Z [m]	Ton 1			Ton 2			Ton 3		
		Px [kN]	Py [kN]	Pz [kN]	Px [kN]	Py [kN]	Pz [kN]	Px [kN]	Py [kN]	Pz [kN]
nad 2N	8.60	23.21	-128.54	6.88	284.94	127.10	-5.34	347.57	10.30	-20.49
nad 1N	5.80	21.60	-115.33	9.42	267.66	110.67	-5.94	365.61	7.95	-21.13
nad PT	3.00	25.48	-133.93	25.19	321.14	127.27	-11.36	549.86	3.98	-39.04
kineta	0.20	0.00	0.00	0.00	0.00	0.00	0.00	0.00	0.00	0.00
temeljna	0.00	0.00	0.00	0.00	0.00	0.00	0.00	0.00	0.00	0.00
temeljna kinete	-2.00	0.00	0.00	0.00	0.00	0.00	0.00	0.00	0.00	0.00
	$\Sigma=$	70.28	-377.79	41.48	873.74	365.03	-22.65	1263.0	22.23	-80.66

Nivo	Z [m]	Ton 4			Ton 5			Ton 6		
		Px [kN]	Py [kN]	Pz [kN]	Px [kN]	Py [kN]	Pz [kN]	Px [kN]	Py [kN]	Pz [kN]
nad 2N	8.60	-53.32	-13.02	-4.04	-89.46	-14.85	6.72	-15.42	33.32	-0.55
nad 1N	5.80	-2.75	3.78	-5.18	-10.84	-0.84	6.78	-3.37	-1.73	-0.14
nad PT	3.00	130.09	26.81	-11.01	197.73	34.90	15.87	31.46	-86.59	-3.69
kineta	0.20	0.00	0.00	0.00	0.00	0.00	0.00	0.00	0.00	0.00
temeljna	0.00	0.00	0.00	0.00	0.00	0.00	0.00	0.00	0.00	0.00
temeljna kinete	-2.00	0.00	0.00	0.00	0.00	0.00	0.00	0.00	0.00	0.00
	Σ=	74.02	17.58	-20.23	97.42	19.21	29.37	12.68	-55.01	-4.39

Nivo	Z [m]	Ton 7			Ton 8			Ton 9		
		Px [kN]	Py [kN]	Pz [kN]	Px [kN]	Py [kN]	Pz [kN]	Px [kN]	Py [kN]	Pz [kN]
nad 2N	8.60	-17.17	-17.22	-0.33	-1.79	7.25	-1.15	-0.00	-0.00	-0.00
nad 1N	5.80	-5.06	-0.65	-1.03	2.20	-0.56	-1.00	0.00	-0.00	-0.00
nad PT	3.00	37.80	49.95	-4.10	5.90	-18.53	-3.50	-0.00	0.00	-0.00
kineta	0.20	0.00	0.00	0.00	0.00	0.00	0.00	0.00	0.00	0.00
temeljna	0.00	0.00	0.00	0.00	0.00	0.00	0.00	0.00	0.00	0.00
temeljna kinete	-2.00	0.00	0.00	0.00	0.00	0.00	0.00	0.00	0.00	0.00
	Σ=	15.57	32.08	-5.46	6.31	-11.84	-5.64	0.00	0.00	-0.00

Nivo	Z [m]	Ton 10		
		Px [kN]	Py [kN]	Pz [kN]
nad 2N	8.60	-4.03	-2.04	0.69
nad 1N	5.80	-0.18	-0.23	0.53
nad PT	3.00	8.95	6.07	0.81
kineta	0.20	0.00	0.00	0.00
temeljna	0.00	0.00	0.00	0.00
temeljna kinete	-2.00	0.00	0.00	0.00
	Σ=	4.73	3.80	2.03

smer y (+e)

Nivo	Z [m]	Ton 1			Ton 2			Ton 3		
		Px [kN]	Py [kN]	Pz [kN]	Px [kN]	Py [kN]	Pz [kN]	Px [kN]	Py [kN]	Pz [kN]
nad 2N	8.60	-140.33	777.26	-41.58	133.93	59.74	-2.51	6.68	0.20	-0.39
nad 1N	5.80	-130.61	697.37	-56.94	125.80	52.01	-2.79	7.03	0.15	-0.41
nad PT	3.00	154.07	809.87	152.29	150.94	59.82	-5.34	10.58	0.08	-0.75
kineta	0.20	0.00	0.00	0.00	0.00	0.00	0.00	0.00	0.00	0.00
temeljna	0.00	0.00	0.00	0.00	0.00	0.00	0.00	0.00	0.00	0.00
temeljna kinete	-2.00	0.00	0.00	0.00	0.00	0.00	0.00	0.00	0.00	0.00
	Σ=	-425.01	2284.5	250.81	410.66	171.57	-10.65	24.29	0.43	-1.55

Nivo	Z [m]	Ton 4			Ton 5			Ton 6		
		Px [kN]	Py [kN]	Pz [kN]	Px [kN]	Py [kN]	Pz [kN]	Px [kN]	Py [kN]	Pz [kN]
nad 2N	8.60	-13.20	-3.22	-1.00	-18.34	-3.04	1.38	69.08	149.30	2.47
nad 1N	5.80	-0.68	0.94	-1.28	-2.22	-0.17	1.39	15.08	7.77	0.64
nad PT	3.00	32.19	6.64	-2.73	40.53	7.15	3.25	-140.98	388.03	16.55
kineta	0.20	0.00	0.00	0.00	0.00	0.00	0.00	0.00	0.00	0.00
temeljna	0.00	0.00	0.00	0.00	0.00	0.00	0.00	0.00	0.00	0.00
temeljna kinete	-2.00	0.00	0.00	0.00	0.00	0.00	0.00	0.00	0.00	0.00
	Σ=	18.32	4.35	-5.01	19.97	3.94	6.02	-56.81	246.50	19.66

Nivo	Z [m]	Ton 7			Ton 8			Ton 9		
		Px [kN]	Py [kN]	Pz [kN]	Px [kN]	Py [kN]	Pz [kN]	Px [kN]	Py [kN]	Pz [kN]
nad 2N	8.60	-36.41	-36.52	-0.70	3.45	-13.98	2.21	-0.28	-0.05	-0.53
nad 1N	5.80	-10.73	-1.38	-2.18	-4.24	1.09	1.93	0.32	-0.05	-0.54
nad PT	3.00	80.17	105.95	-8.69	-11.38	35.71	6.74	-0.03	0.43	-1.33
kineta	0.20	0.00	0.00	0.00	0.00	0.00	0.00	0.00	0.00	0.00
temeljna	0.00	0.00	0.00	0.00	0.00	0.00	0.00	0.00	0.00	0.00
temeljna kinete	-2.00	0.00	0.00	0.00	0.00	0.00	0.00	0.00	0.00	0.00
	Σ=	33.03	68.04	-11.58	-12.16	22.82	10.88	0.00	0.33	-2.40

Nivo	Z [m]	Ton 10		
		Px [kN]	Py [kN]	Pz [kN]
nad 2N	8.60	-3.31	-1.67	0.56
nad 1N	5.80	-0.15	-0.19	0.43
nad PT	3.00	7.36	4.99	0.67
kineta	0.20	0.00	0.00	0.00
temeljna	0.00	0.00	0.00	0.00

temeljina kinete	-2.00	0.00	0.00	0.00
	Σ=	3.89	3.13	1.67

## smer y (-e)

Nivo	Z [m]	Ton 1			Ton 2			Ton 3		
		Px [kN]	Py [kN]	Pz [kN]	Px [kN]	Py [kN]	Pz [kN]	Px [kN]	Py [kN]	Pz [kN]
nad 2N	8.60	-140.33	777.26	-41.58	133.93	59.74	-2.51	6.68	0.20	-0.39
nad 1N	5.80	-130.61	697.37	-56.94	125.80	52.01	-2.79	7.03	0.15	-0.41
nad PT	3.00	-154.07	809.87	-152.29	150.94	59.82	-5.34	10.58	0.08	-0.75
kineta	0.20	0.00	0.00	0.00	0.00	0.00	0.00	0.00	0.00	0.00
temeljna	0.00	0.00	0.00	0.00	0.00	0.00	0.00	0.00	0.00	0.00
temeljna kinete	-2.00	0.00	0.00	0.00	0.00	0.00	0.00	0.00	0.00	0.00
	Σ=	-425.01	2284.5	250.81	410.66	171.57	-10.65	24.29	0.43	-1.55

Nivo	Z [m]	Ton 4			Ton 5			Ton 6		
		Px [kN]	Py [kN]	Pz [kN]	Px [kN]	Py [kN]	Pz [kN]	Px [kN]	Py [kN]	Pz [kN]
nad 2N	8.60	-13.20	-3.22	-1.00	-18.34	-3.04	1.38	69.08	149.30	2.47
nad 1N	5.80	-0.68	0.94	-1.28	-2.22	-0.17	1.39	15.08	7.77	0.64
nad PT	3.00	32.19	6.64	-2.73	40.53	7.15	3.25	-140.98	388.03	16.55
kineta	0.20	0.00	0.00	0.00	0.00	0.00	0.00	0.00	0.00	0.00
temeljna	0.00	0.00	0.00	0.00	0.00	0.00	0.00	0.00	0.00	0.00
temeljna kinete	-2.00	0.00	0.00	0.00	0.00	0.00	0.00	0.00	0.00	0.00
	Σ=	18.32	4.35	-5.01	19.97	3.94	6.02	-56.81	246.50	19.66

Nivo	Z [m]	Ton 7			Ton 8			Ton 9		
		Px [kN]	Py [kN]	Pz [kN]	Px [kN]	Py [kN]	Pz [kN]	Px [kN]	Py [kN]	Pz [kN]
nad 2N	8.60	-36.41	-36.52	-0.70	3.45	-13.98	2.21	-0.28	-0.05	-0.53
nad 1N	5.80	-10.73	-1.38	-2.18	-4.24	1.09	1.93	0.32	-0.05	-0.54
nad PT	3.00	80.17	105.95	-8.69	-11.38	35.71	6.74	-0.03	0.43	-1.33
kineta	0.20	0.00	0.00	0.00	0.00	0.00	0.00	0.00	0.00	0.00
temeljna	0.00	0.00	0.00	0.00	0.00	0.00	0.00	0.00	0.00	0.00
temeljna kinete	-2.00	0.00	0.00	0.00	0.00	0.00	0.00	0.00	0.00	0.00
	Σ=	33.03	68.04	-11.58	-12.16	22.82	10.88	0.00	0.33	-2.40

Nivo	Z [m]	Ton 10		
		Px [kN]	Py [kN]	Pz [kN]
nad 2N	8.60	-3.31	-1.67	0.56
nad 1N	5.80	-0.15	-0.19	0.43
nad PT	3.00	7.36	4.99	0.67
kineta	0.20	0.00	0.00	0.00
temeljna	0.00	0.00	0.00	0.00
temeljna kinete	-2.00	0.00	0.00	0.00
	Σ=	3.89	3.13	1.67

## Faktorji participacije - relativno sodelovanje

Ton \ Naziv	1. smer x (+)	2. smer x (-)	3. smer y (+)	4. smer y (-)
1	0.029	0.029	0.814	0.814
2	0.361	0.361	0.061	0.061
3	0.522	0.522	0.000	0.000
4	0.031	0.031	0.002	0.002
5	0.040	0.040	0.001	0.001
6	0.005	0.005	0.088	0.088
7	0.006	0.006	0.024	0.024
8	0.003	0.003	0.008	0.008
9	0.000	0.000	0.000	0.000
10	0.002	0.002	0.001	0.001

## Faktorji participacije - angažiranje mase

Ton	U [α=0°]	U [α=90°]
1	2.72	78.44
2	32.30	5.64
3	56.06	0.02
4	2.81	0.16
5	3.86	0.15
6	0.59	11.12
7	0.73	3.11
8	0.24	0.84

*Faktorji participacije - angažiranje mase*

Ton	U [ $\alpha=0^\circ$ ]	U [ $\alpha=90^\circ$ ]
9	0.00	0.01
10	0.17	0.11
$\Sigma U$ (%)	99.48	99.61

*Prečne sile v osnovi*

Obtežni primer	Kot $\alpha$ [°]	VtB [kN] (Modal)
smer x	0	1974.50
smer y	90	2821.31

### 3.3 Stene

Stene so iz betona kvalitete C30/37. V smeri črkovnih (vodoravnih) osi imajo debelino 20 cm, v smeri številčnih (vertikalnih) osi pa debelino 16 cm. Za dimenzioniranje armiranobetonskih sten je potrebno upoštevati določila standarda SIST EN 1992-1 in SIST EN 1998-1.

Ob vpetju sten je potrebno upoštevati možnost povečanja prečnih sil zaradi plastifikacije. Glede na standard SIST EN 1998, člen 5.4.2.4(7), zahtevi zadostimo, če upoštevamo projektne prečne sile, ki so za 50% večje od tistih, določenih z analizo.

Preglednica 1: Projektni učinki potresnih vplivov

Dilatacija	POZICIJA	GEOMETRIJA		OBREMITVE						
	Oznaka stene	Dolžina [m]	Širina [m]	Ned,max [kN]	1.5*Ved	N(Ved,max)	My,min	N(My,min)	My,max	N(My,max)
Dilatacija 4	19	4,54	0,16	983	392	0	395	542	1024	680
	20	7,34	0,16	871	985	0	310	293	1358	821
	21	2,48	0,16	688	258	0	175	282	809	589
	B-1	4,3	0,2	1023	343	0	105	643	726	158
	C-2	0,6	0,2	398	268	0	29	256	93	174

#### 3.3.1.1 Omejitve osne obremenitve sten

Normirana osna sila  $v_d$  v primarnih potresnih stenah glede na standard SIST EN 1998, člen 5.4.3.4.1(2), ne sme preseči 0,4.

$$v_d = \frac{N_{Ed}}{A_c f_{cd}} \leq 0,4$$

Prečna armatura v robnih elementih se lahko določi samo v skladu s SIST EN 1992-1, če je izpolnjen pogoj

$$v_d = \frac{N_{Ed}}{A_c f_{cd}} \leq 0,15$$

Vse stene zadostujejo pogoj  $v_d < 0,15$ , armaturo se določi glede na zahteve SIST EN 1992-2. Kvaliteta betona C30/37.

Dilatacija	POZICIJA	GEOMETRIJA		OBREMITVE	KONTROLA TLAČNE NAPETOSTI
	Oznaka stene	Dolžina [m]	Širina [m]	Ned,max [kN]	vd [%]
Dilatacija 4	19	4,54	0,16	983	0,07
	20	7,34	0,16	871	0,04
	21	2,48	0,16	688	0,09
	B-1	4,3	0,2	1023	0,06
	C-2	0,6	0,2	398	0,17

### 3.3.2 Strižna odpornost sten

Ob vpetju sten se strižno odpornost ob upoštevanju člena 5.4.2.4 standarda SIST EN 1998-1 zagotovi tako, da se projektne strižne sile dobljene z analizo poveča za 50 %. V spodnji preglednici je podan izračun potrebne strižne armature za vse stene ob vpetju.

Preglednica 3: Potrebna strižna armatura v pritličju

Dilatacija	POZICIJA		STRIŽNA ODPORNOST					
	Oznaka stene	$\phi$ stremena	s	Asw.dej/s	Vrd.s Asw.potr/s	Vrd.max	Vrd.s	Ved/Vrd [%]
Dilatacija 4	19	8	15	6,70	2,68	2843	981	40
	20	8	15	6,70	6,73	2843	981	100
	21	8	15	6,70	1,76	2843	981	26
	B-1	8	15	6,70	2,34	3553	981	35
	C-2	8	15	6,70	1,83	3553	981	27

### 3.4 Temeljenje objekta

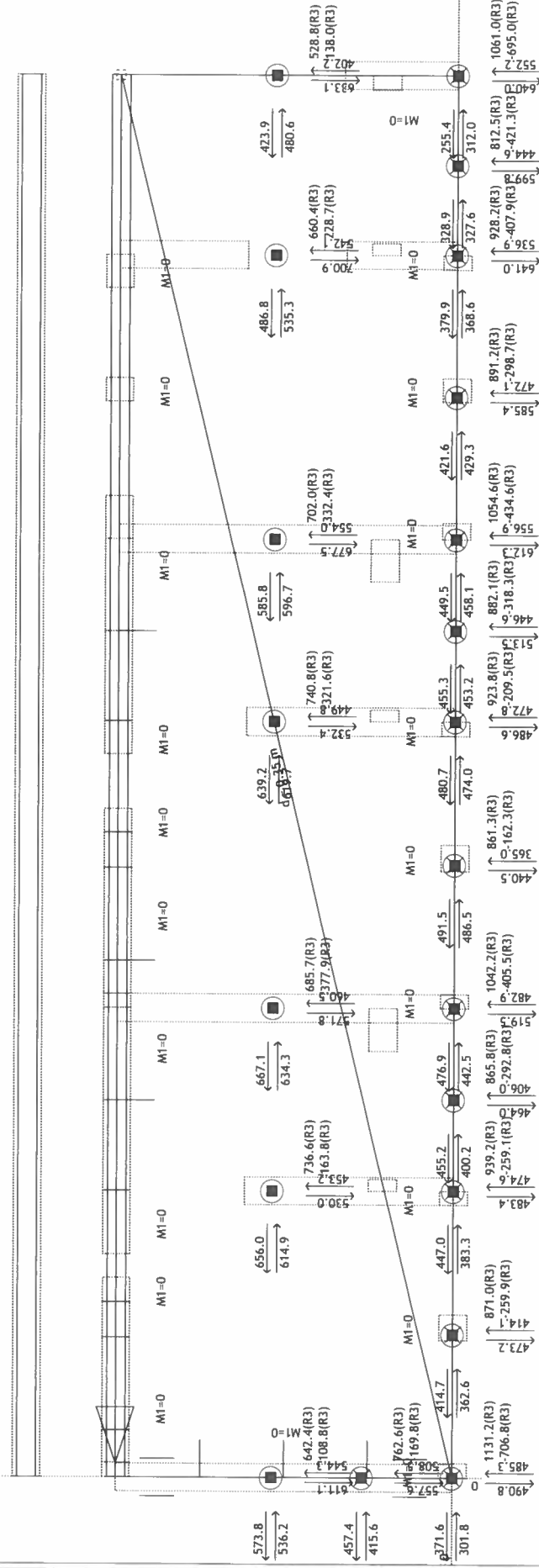
Objekt se temelji s temeljno ploščo debeline 35 cm, ki je točkovno podprta s piloti.

Potresna obremenitev na pilote je izračunana pri elastičnem potresu (oz.  $q = 1$ ).

Reakcije na pilote so dobljeni s programom Tower – 3D in Sofistik. Dimenzioniranje pilota je izvedeno v programu DIAS za vse objekte.

OBJEKT A - dil (4)

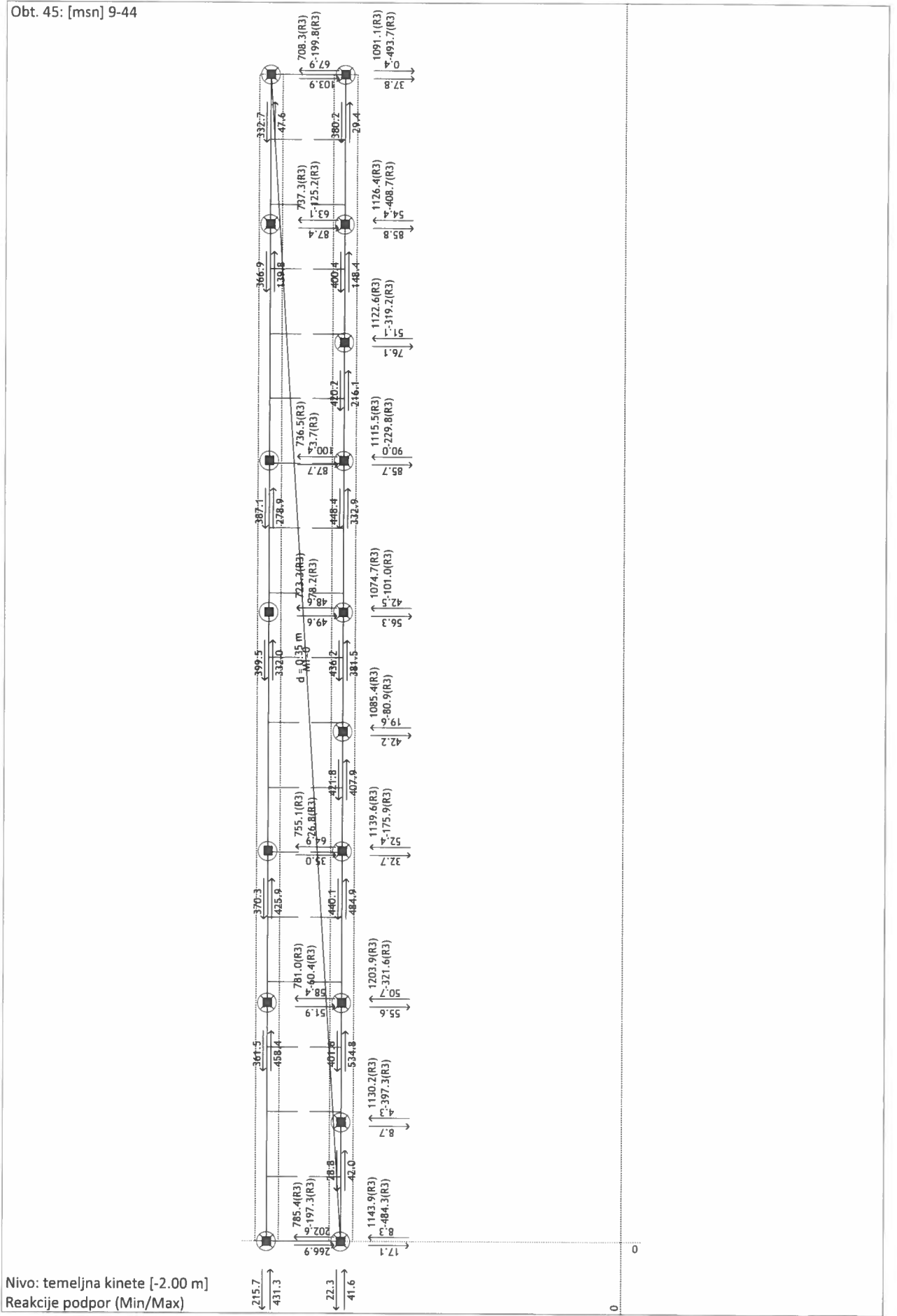
Statični preračun  
Obt. 45: [msn] 9-44



Nivo: temeljna [0.00 m]  
Reakcije podpor (Min/Max)

AM25

Obt. 45: [msn] 9-44

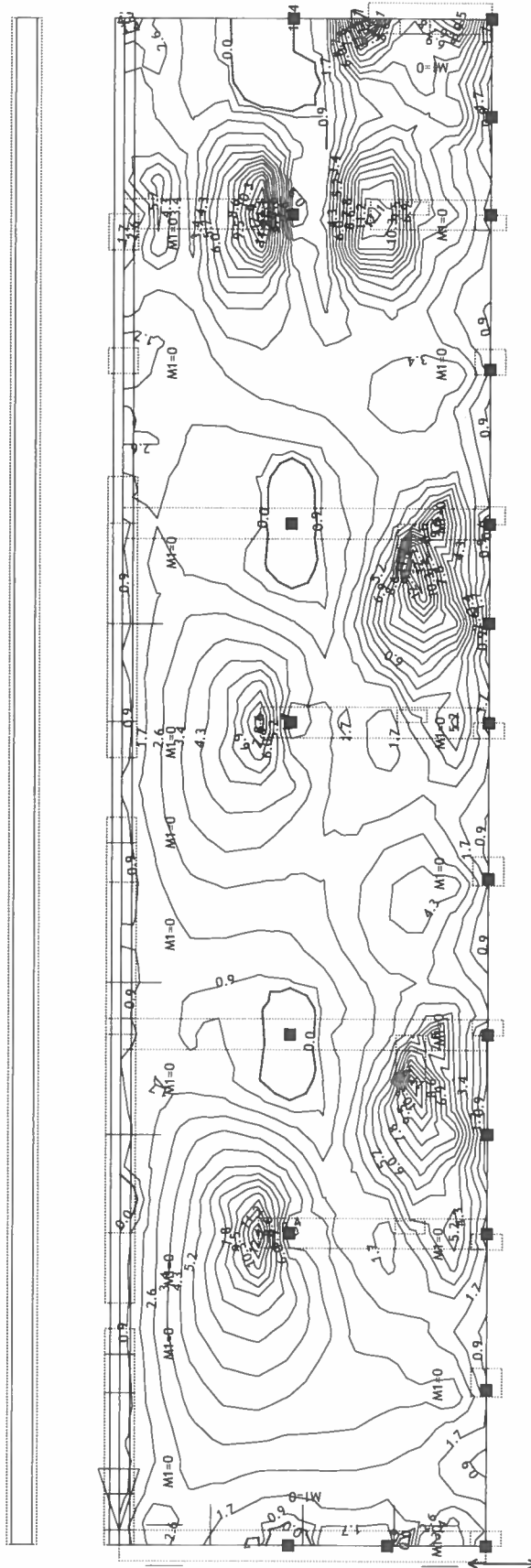


OBJEKT A - del 4

**Dimenzioniranje (beton)**

Merodajna obtežba: 9-44

EC 2 (EN 1992-1-1:2004), C 30, S500H, a=4.00 cm

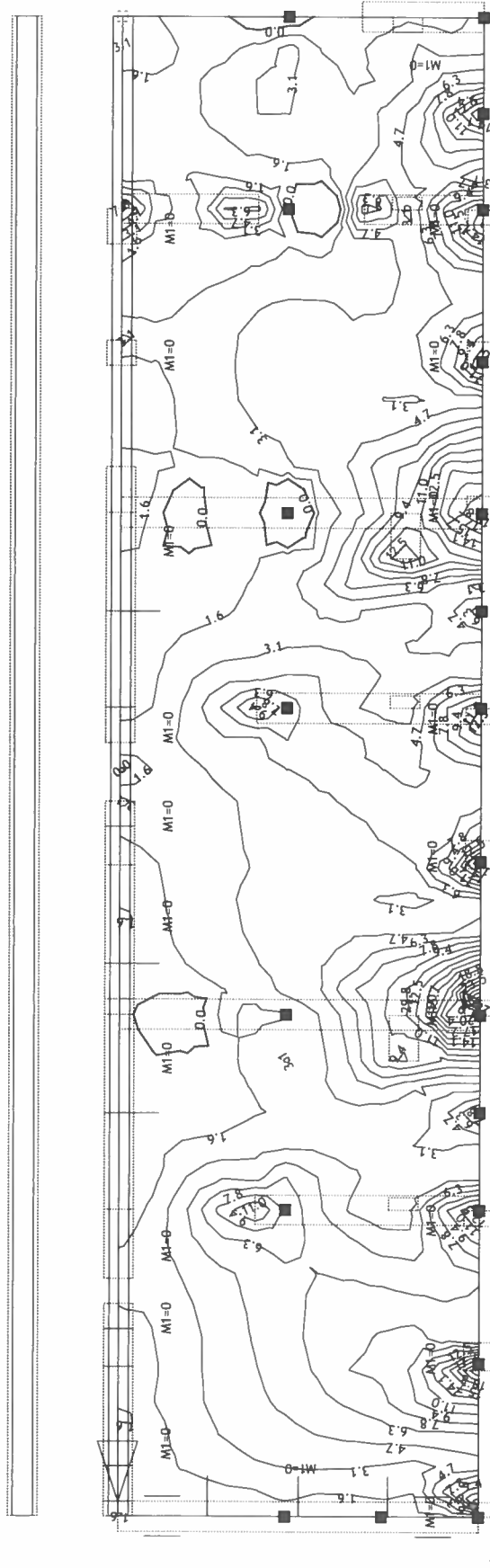


Nivo: temeljna [0.00 m]

Aa - sp.cona - Smer 2 - max Aa2,s= 16.4 cm<sup>2</sup>/m

Merodajna obtežba: 9-44

EC 2 (EN 1992-1-1:2004), C 30, S500H, a=4.00 cm

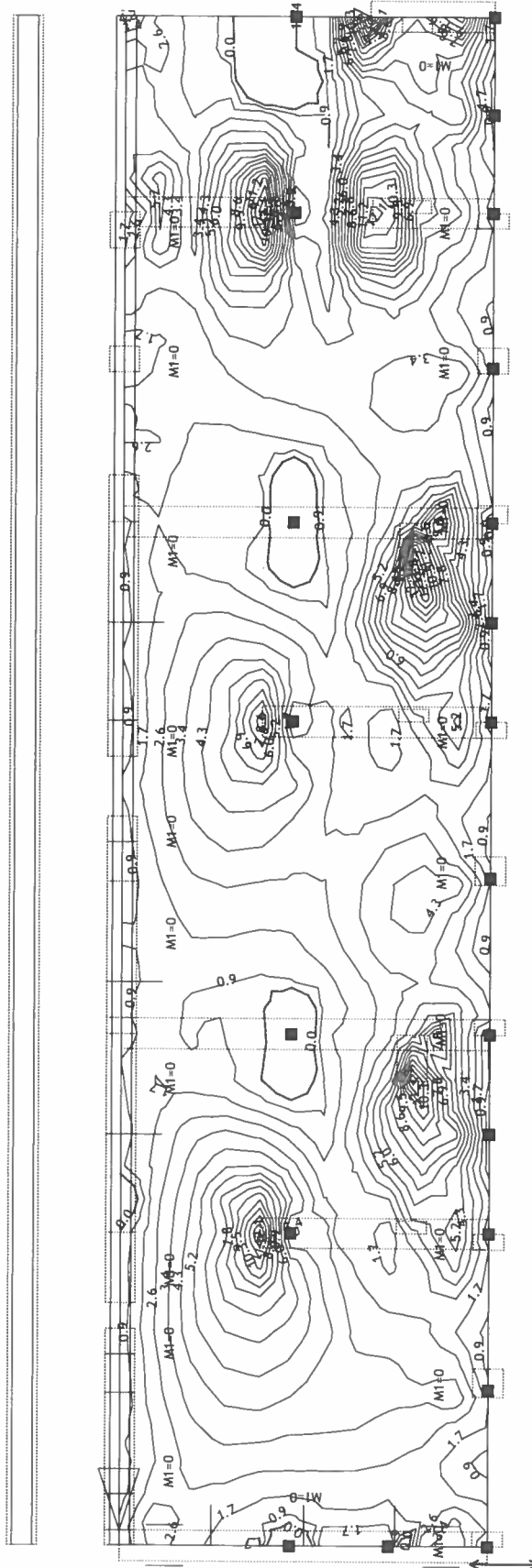


Nivo: temeljna [0.00 m]

Aa - sp.cona - Smer 1 - max Aa1,s= 29.8 cm<sup>2</sup>/m

Merodajna obtežba: 9-44

EC 2 (EN 1992-1-1:2004), C 30, S500H, a=4.00 cm

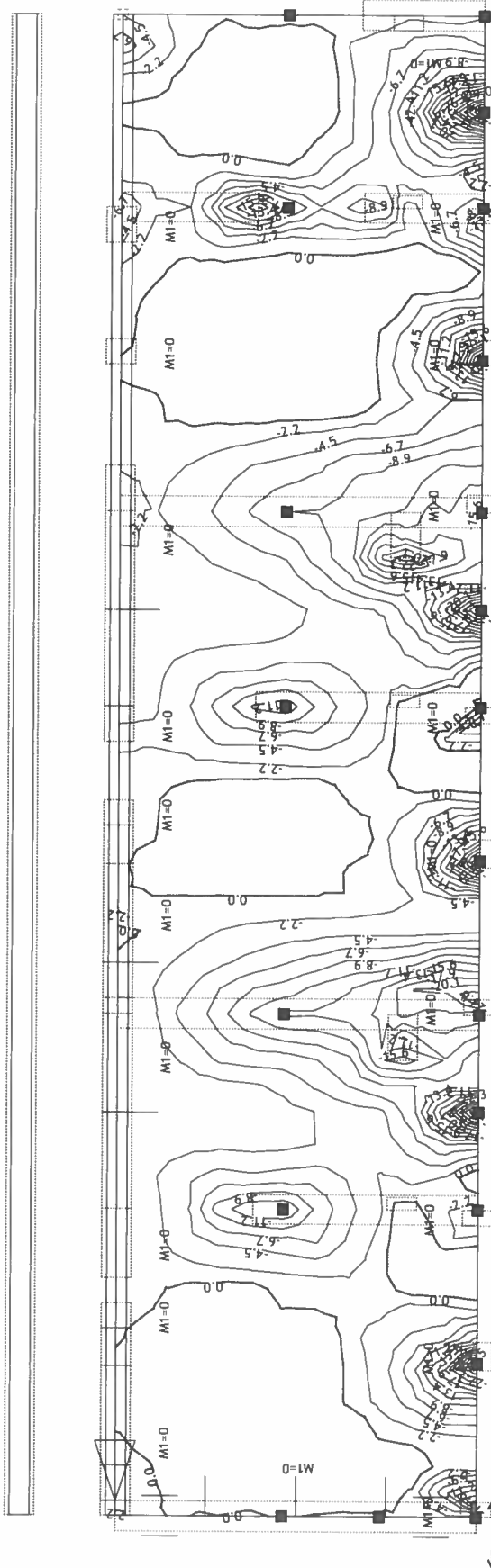


Nivo: temeljna [0.00 m]

Aa - sp.cona - Smer 2 - max Aa2,s= 16.4 cm<sup>2</sup>/m

AM40

Merodajna obtežba: 9-44  
EC 2 (EN 1992-1-1:2004), C 30, S500H, a=4.00 cm

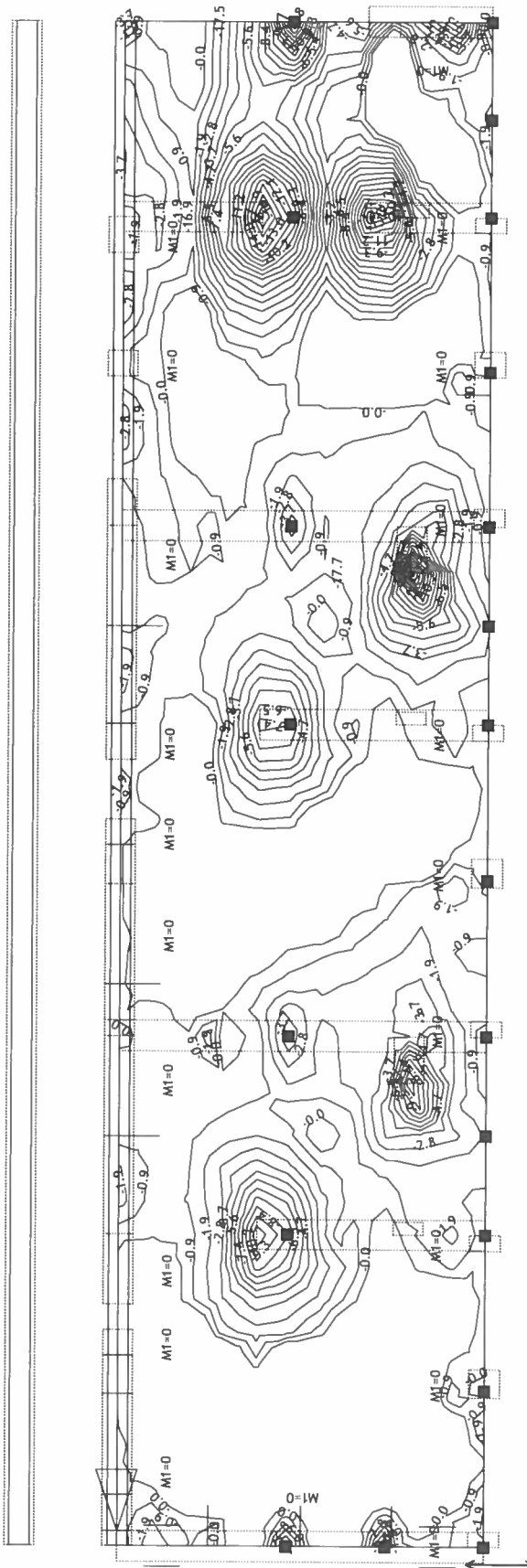


Nivo: temeljna [0.00 m]  
Aa - zg.cona - Smer 1 - max Aa1,z= -42.4 cm<sup>2</sup>/m

ANA

Merodajna obtežba: 9-44

EC 2 (EN 1992-1-1:2004), C 30, S500H, a=4.00 cm

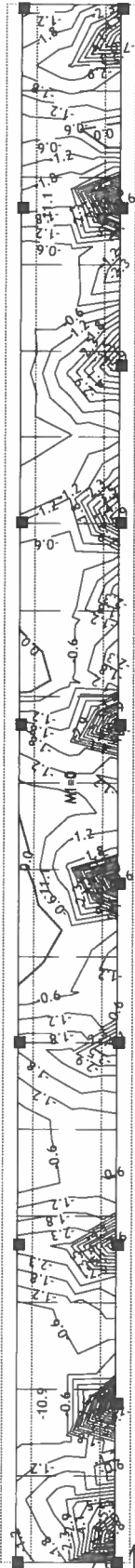


Nivo: temeljna [0.00 m]

Aa - zg.cona - Smer 2 - max Aa<sub>2,z</sub> = -17.7 cm<sup>2</sup>/m

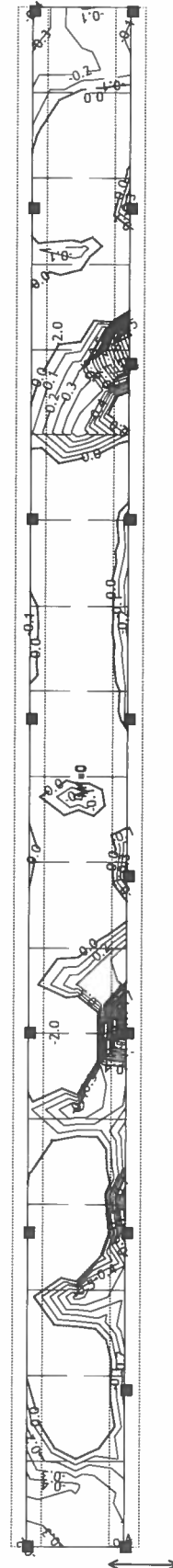
AM2

Merodajna obtežba: 9-44  
 EC 2 (EN 1992-1-1:2004), C 30, S500H, a=4.00 cm



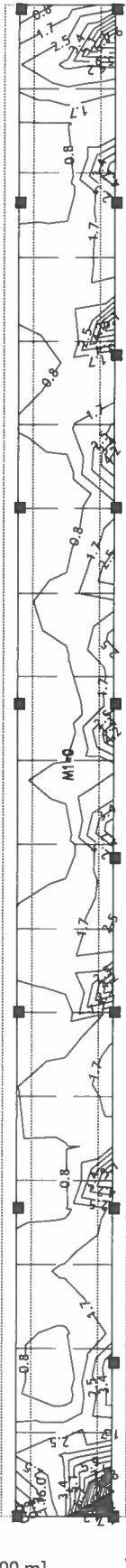
Nivo: temeljna kinete [-2.00 m]  
 Aa - zg.cona - Smer 1 - max Aa1,z= -11.1 cm<sup>2</sup>/m

Merodajna obtežba: 9-44  
 EC 2 (EN 1992-1-1:2004), C 30, S500H, a=4.00 cm



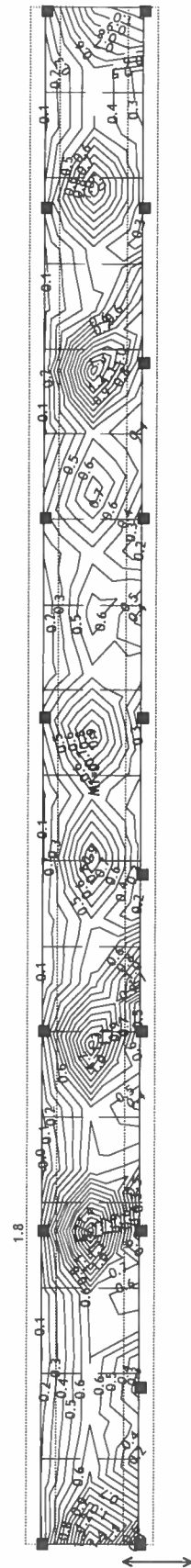
Nivo: temeljna kinete [-2.00 m]  
 Aa - zg.cona - Smer 2 - max Aa2,z= -2.0 cm<sup>2</sup>/m

Merodajna obtežba: 9-44  
EC 2 (EN 1992-1-1:2004), C 30, S500H, a=4.00 cm



Nivo: temeljna kinete [-2.00 m]  
Aa - sp.cona - Smer 1 - max Aa1,s= 16.0 cm<sup>2</sup>/m

Merodajna obtežba: 9-44  
EC 2 (EN 1992-1-1:2004), C 30, S500H, a=4.00 cm



Nivo: temeljna kinete [-2.00 m]  
Aa - sp.cona - Smer 2 - max Aa2,s= 1.8 cm<sup>2</sup>/m

## 4 Objekt A – dilatacija 6

### 4.1 Plošče

Plošče dimenzioniramo glede na določila standarda SIST EN 1992-1-1. Uporabi se beton C30/37, XC1. Debelina plošč je 18 cm, balkonski del pa 16 cm.

Minimalna upogibna armatura  $A_{s,min}$  je s členom 9.2.1.1(1) določena kot

$$A_{s,min} = 0,26 \frac{f_{ctm}}{f_{yk}} b_t d = 0,26 \frac{0,29}{50} 100 \cdot 16 = 2,4 \text{ cm}^2/\text{m} \geq 0,0013 b_t d = 2,1 \text{ cm}^2/\text{m}$$

$f_{ctm}$  ... srednja vrednost osne natezne trdnosti betona,  $f_{yk}$  ... karakteristična natezna trdnost armature,  $b_t$  ... srednja širina natezne cone,  $d$  ... statična višina prereza

Največja stopnja armiranja pa je določena s členom 9.2.1.1(3)

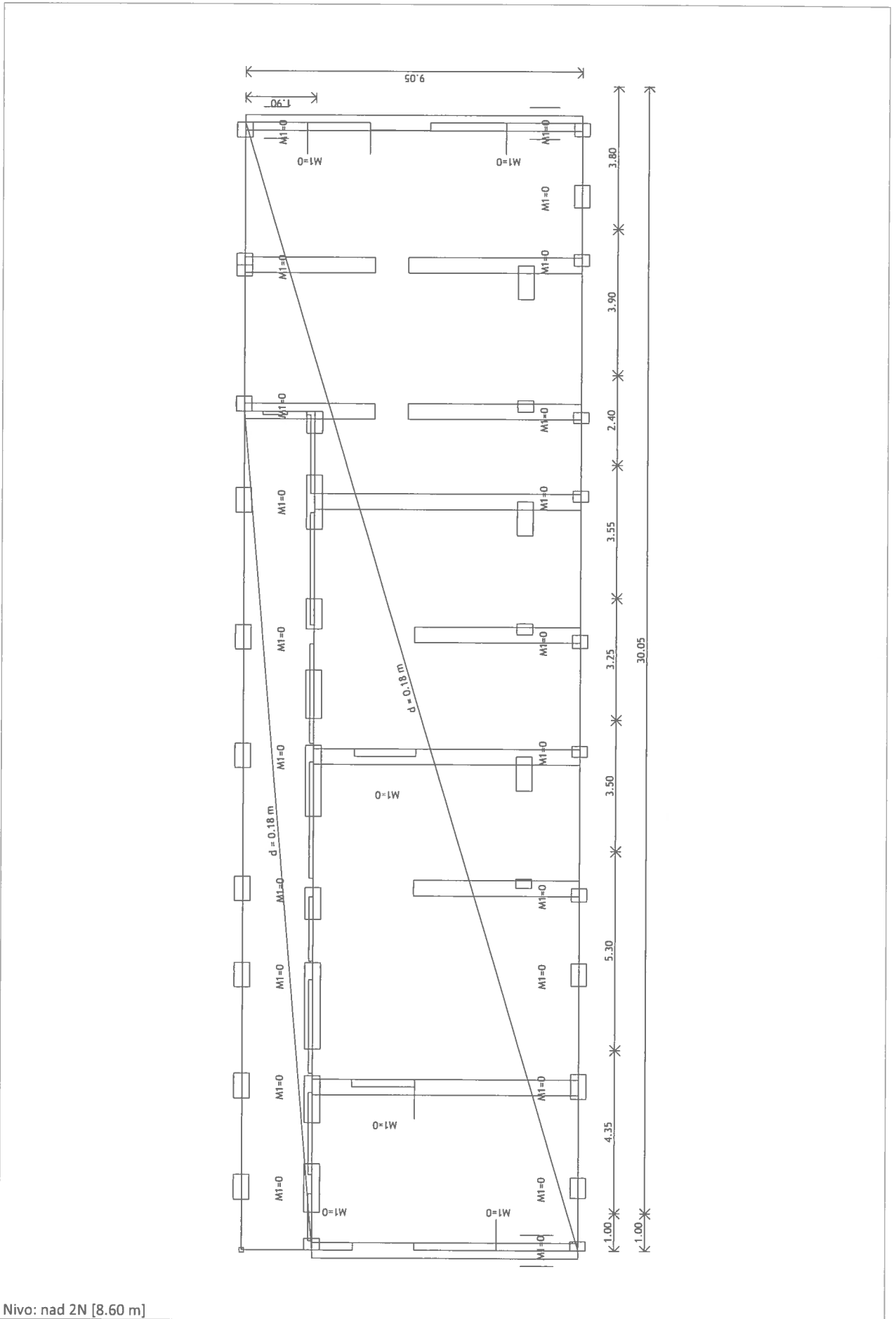
$$A_{s,max} = 0,04 A_c = 72 \text{ cm}^2/\text{m}$$

$A_c$  ... ploščina betonskega prereza

Medsebojna oddaljenost palic je s členom 9.3.1.1(3) omejena na  $s_{max} = 3h \leq 400 \text{ mm}$ , v območjih koncentriranih obtežb in največjih upogibnih momentov pa z  $s_{max} = h \leq 250 \text{ mm}$ .

Standard omejuje dovoljeno širino razpoke na 0,4 mm pri navidezno stalni obtežni kombinaciji.

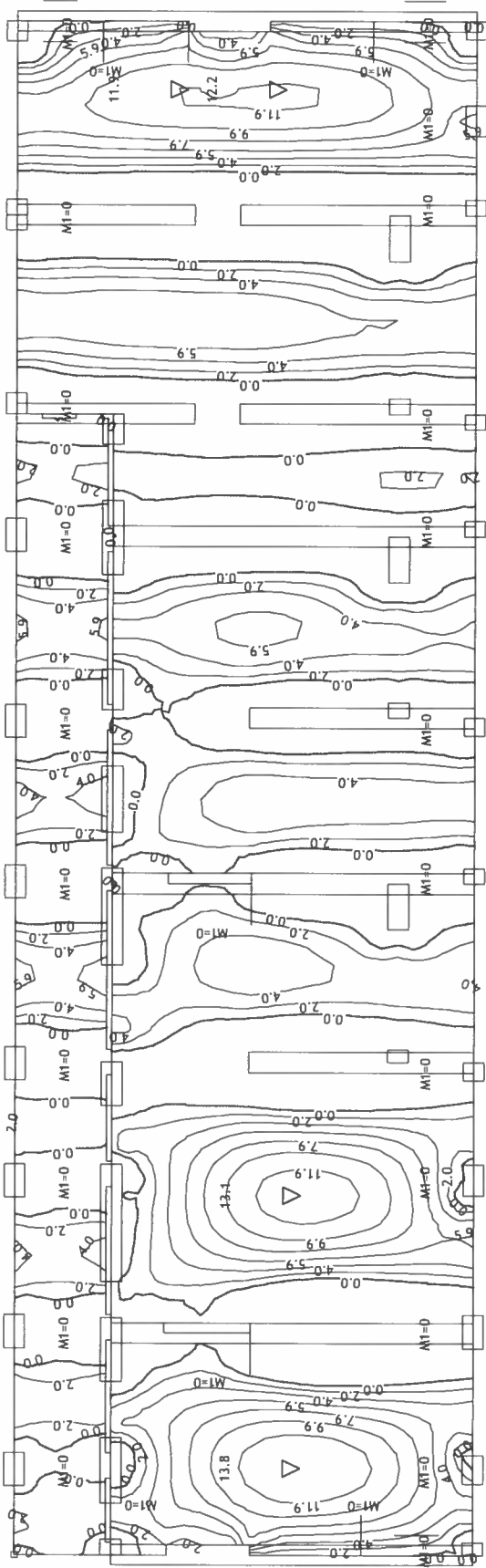
Potrebno armaturo izračunamo glede na ovojnice mejnih stanj nosilnosti in uporabnosti. Potrebna armatura plošč in vplivi na konstrukcijo so podani v nadaljevanju.



Nivo: nad 2N [8.60 m]

### Statični preračun

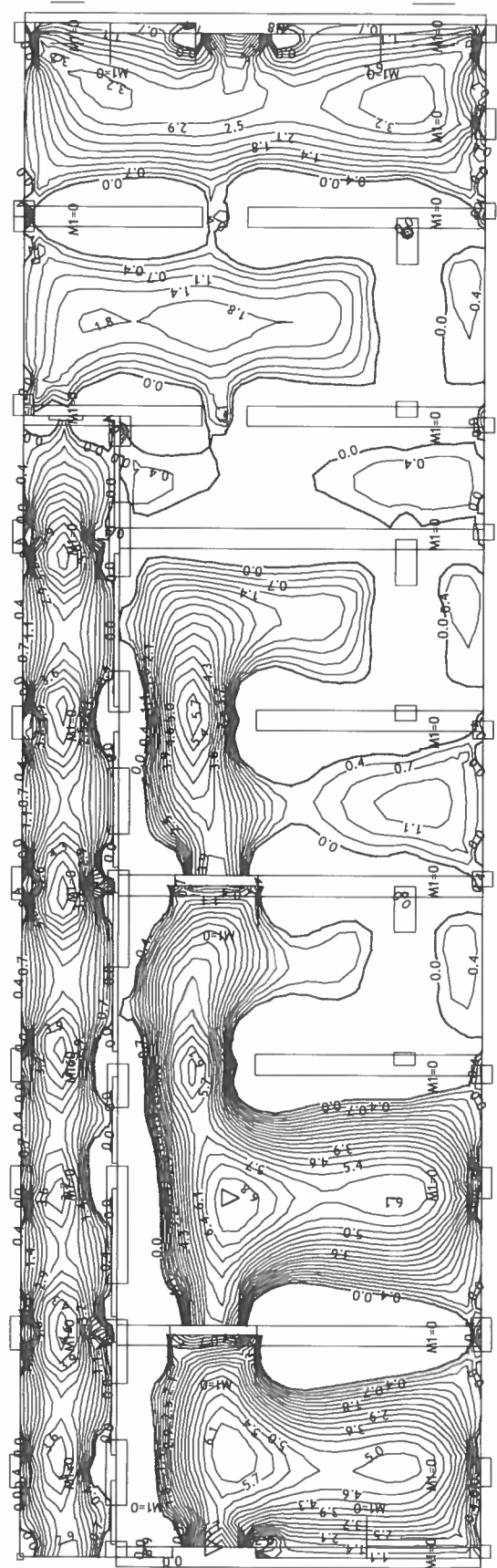
Obt. 9: [Ovo] 7,8



Nivo: nad 2N [8.60 m]

Vplivi v plošči: max Mx= 13.8 / min Mx= 0.0 kNm/m

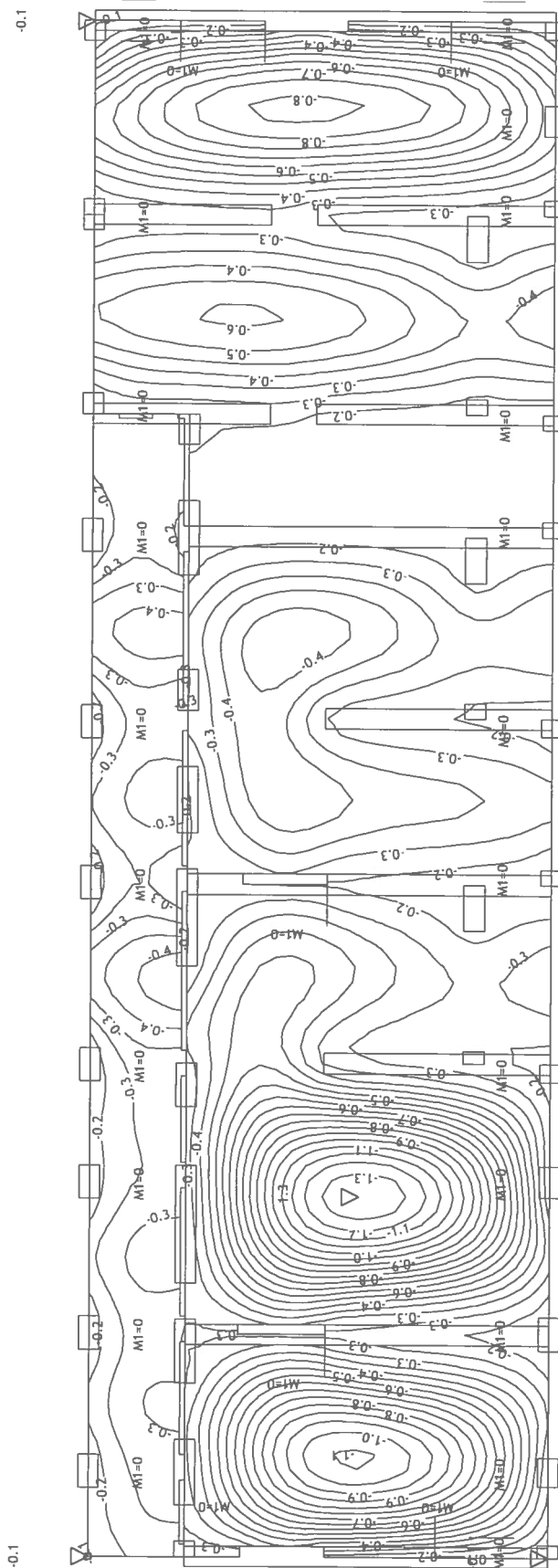
Obt. 9: [Ovo] 7,8



Nivo: nad 2N [8.60 m]

Vplivi v plošči: max My= 7.1 / min My= 0.0 kNm/m

Obt. 6: I+0.7xII+III+IV



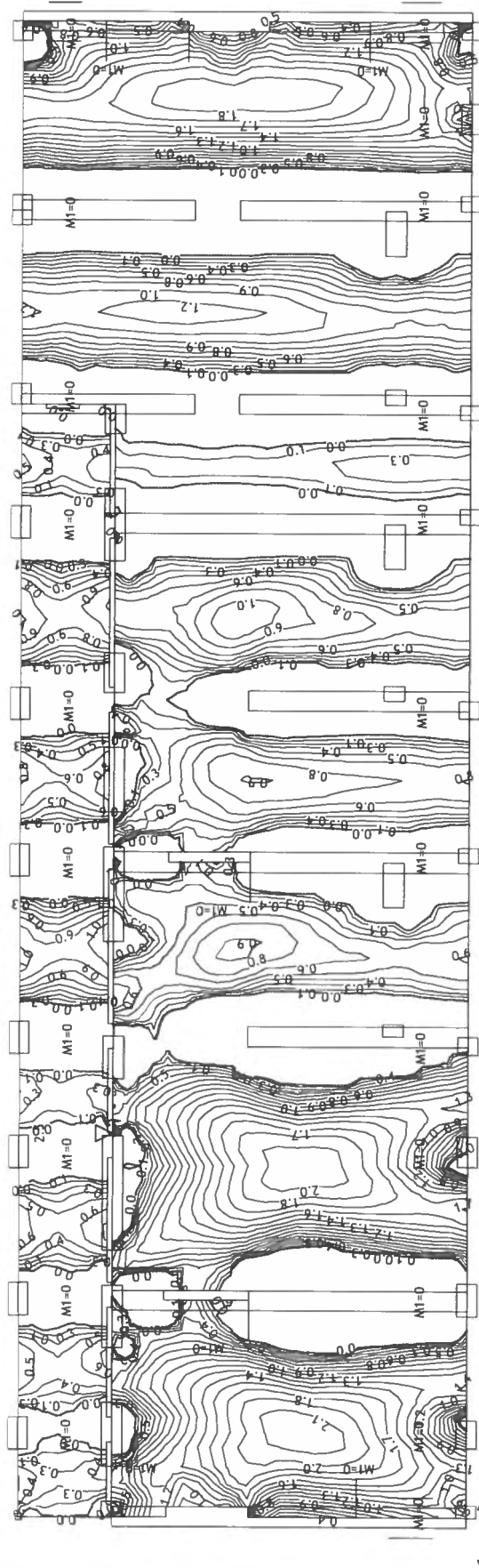
Nivo: nad 2N [8.60 m]

Vplivi v plošči: max Zp= -0.1 / min Zp= -1.3 m / 1000

**Dimenzioniranje (beton)**

Merodajna obtežba: 7,8

EC 2 (EN 1992-1-1:2004), C 30, S500H, a=3.00 cm

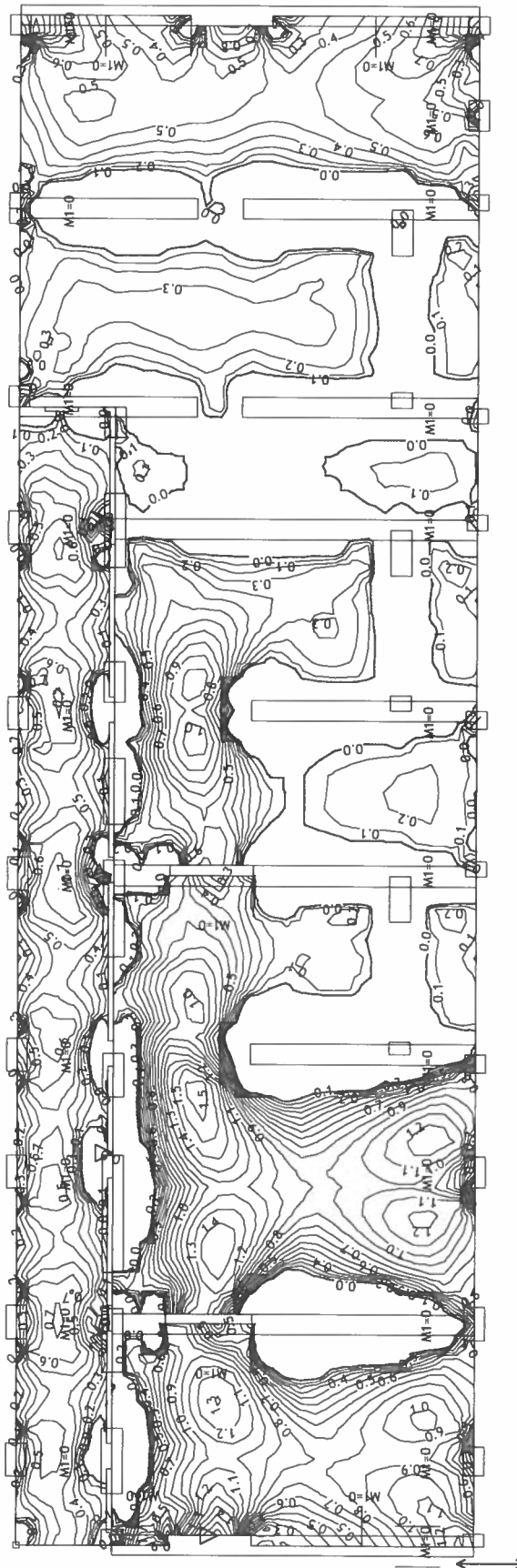


Nivo: nad 2N [8.60 m]

Aa - sp.cona - Smer 1 - max Aa1,s= 2.5 cm<sup>2</sup>/m

Merodajna obtežba: 7,8

EC 2 (EN 1992-1-1:2004), C 30, S500H, a=3.00 cm

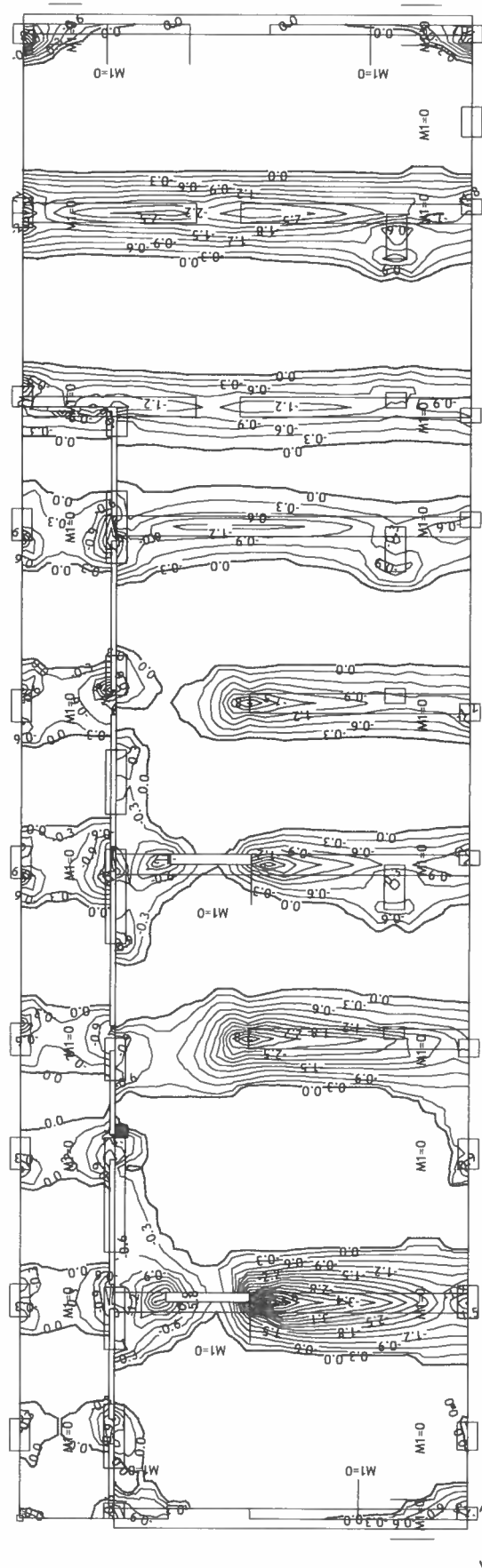


Nivo: nad 2N [8.60 m]

Aa - sp.cona - Smer 2 - max Aa2,s= 1.7 cm<sup>2</sup>/m

Merodajna obtežba: 7,8

EC 2 (EN 1992-1-1:2004), C 30, S500H, a=3.00 cm

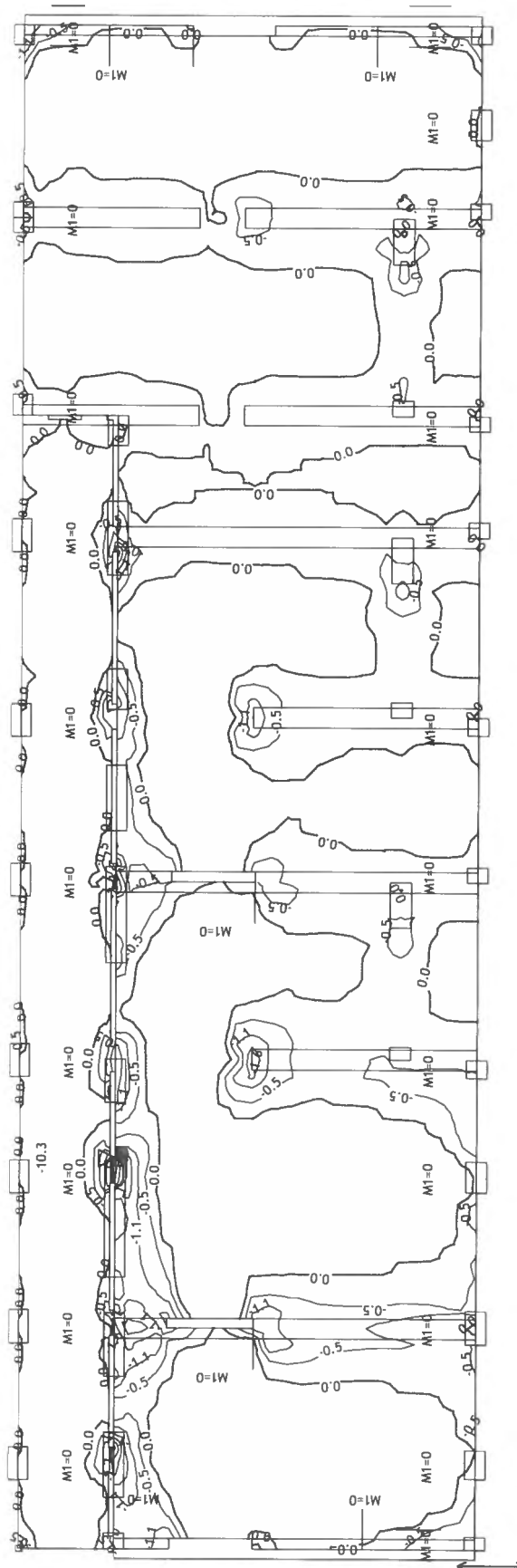


Nivo: nad 2N [8.60 m]

Aa - zg.cona - Smer 1 - max Aa1,z= -5.8 cm<sup>2</sup>/m

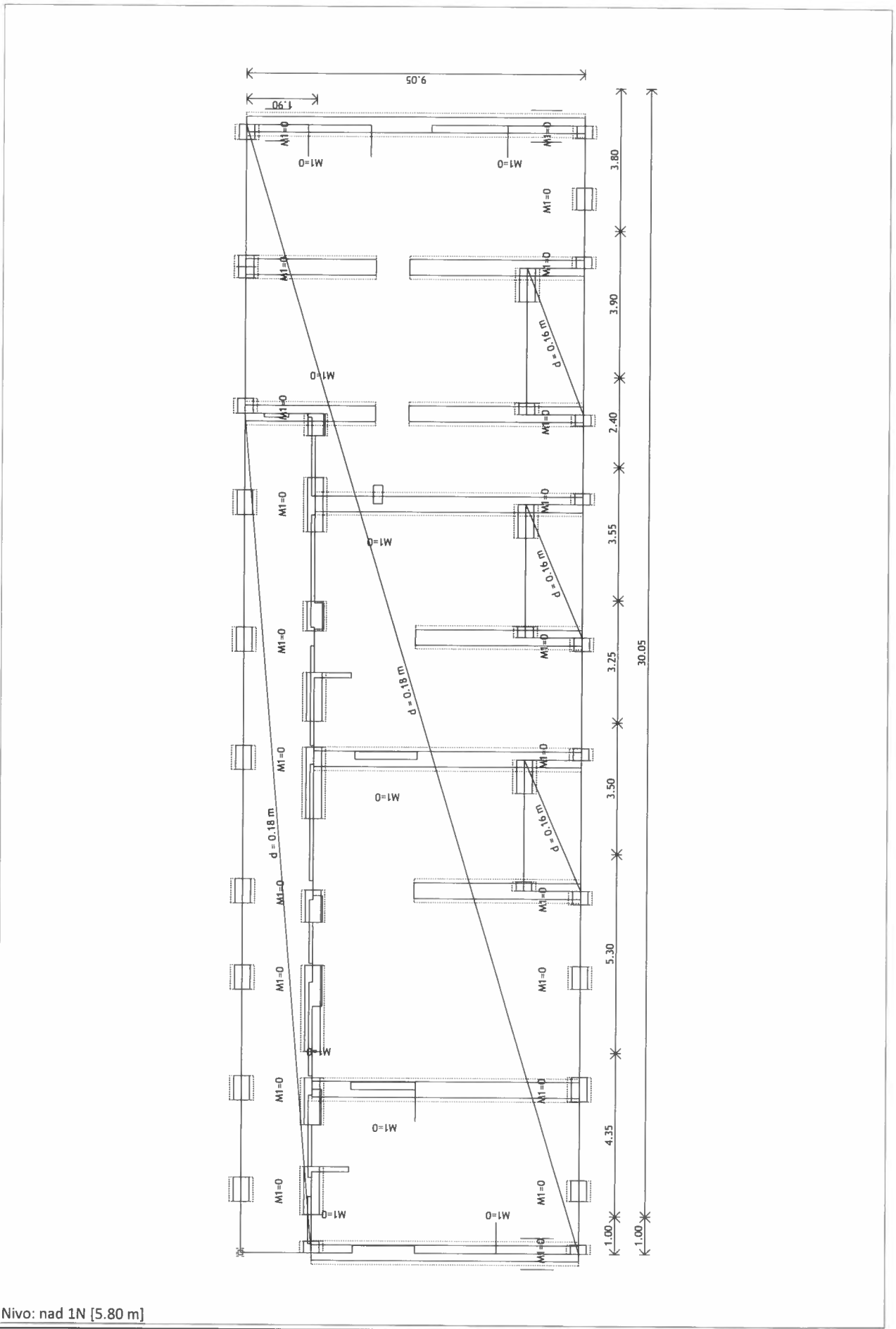
Merodajna obtežba: 7,8

EC 2 (EN 1992-1-1:2004), C 30, S500H, a=3.00 cm



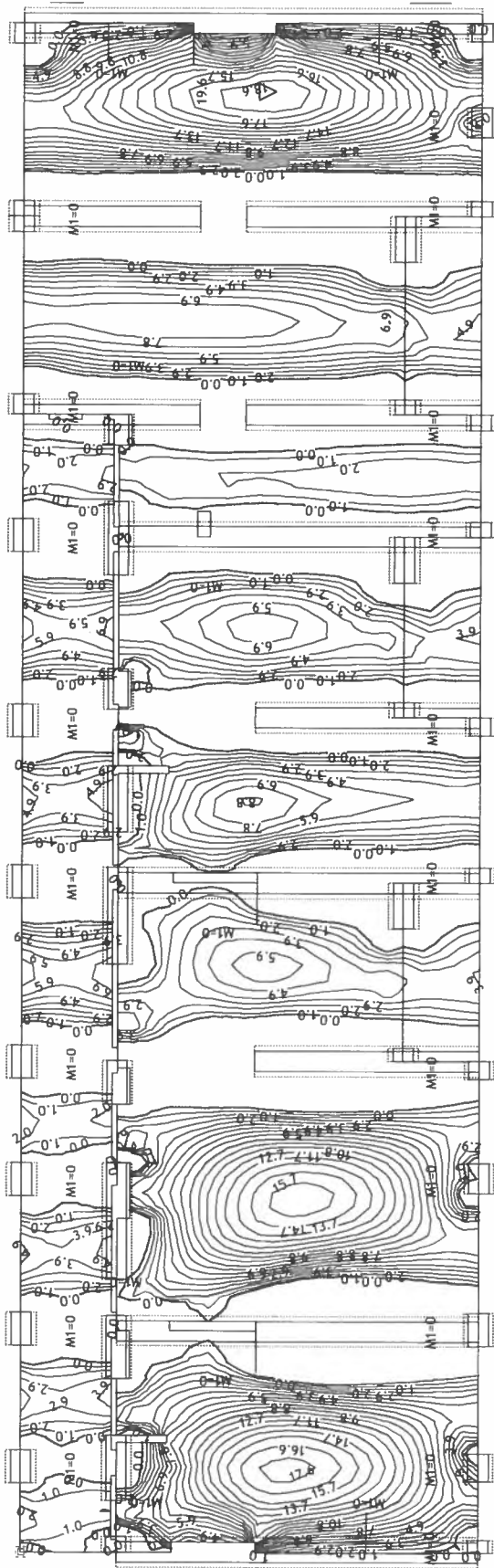
Nivo: nad 2N [8.60 m]

Aa - zg.cona - Smer 2 - max Aa2,z= -10.3 cm<sup>2</sup>/m



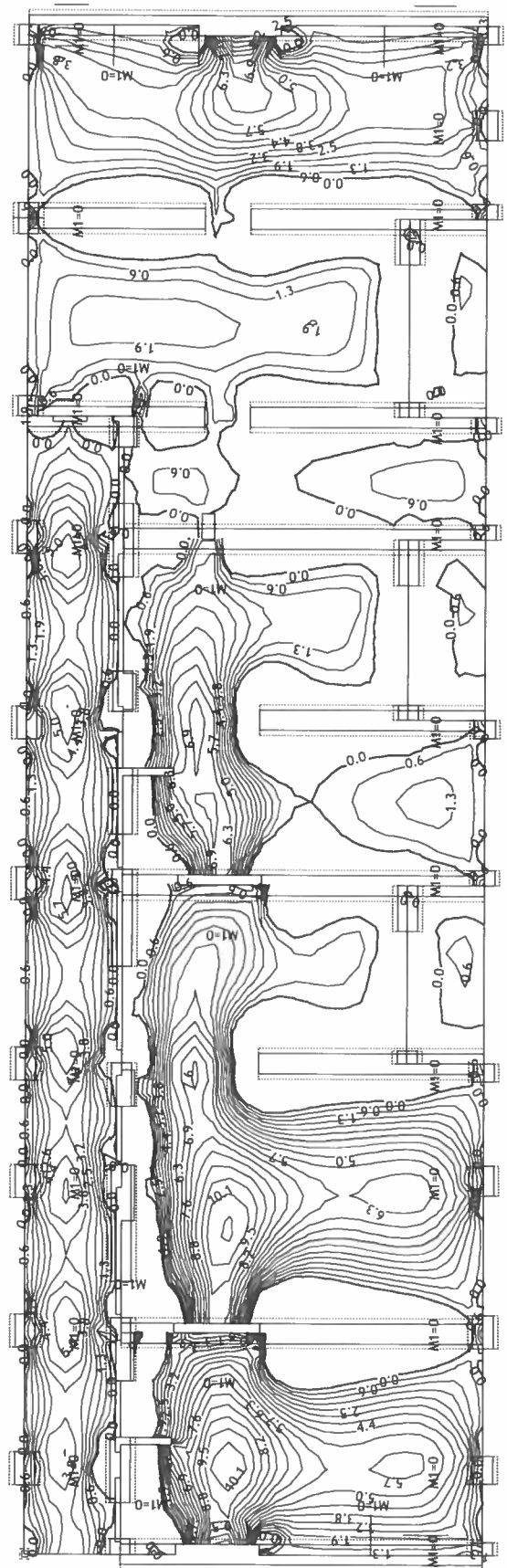
Nivo: nad 1N [5.80 m]

Obt. 9: [Ovo] 7,8



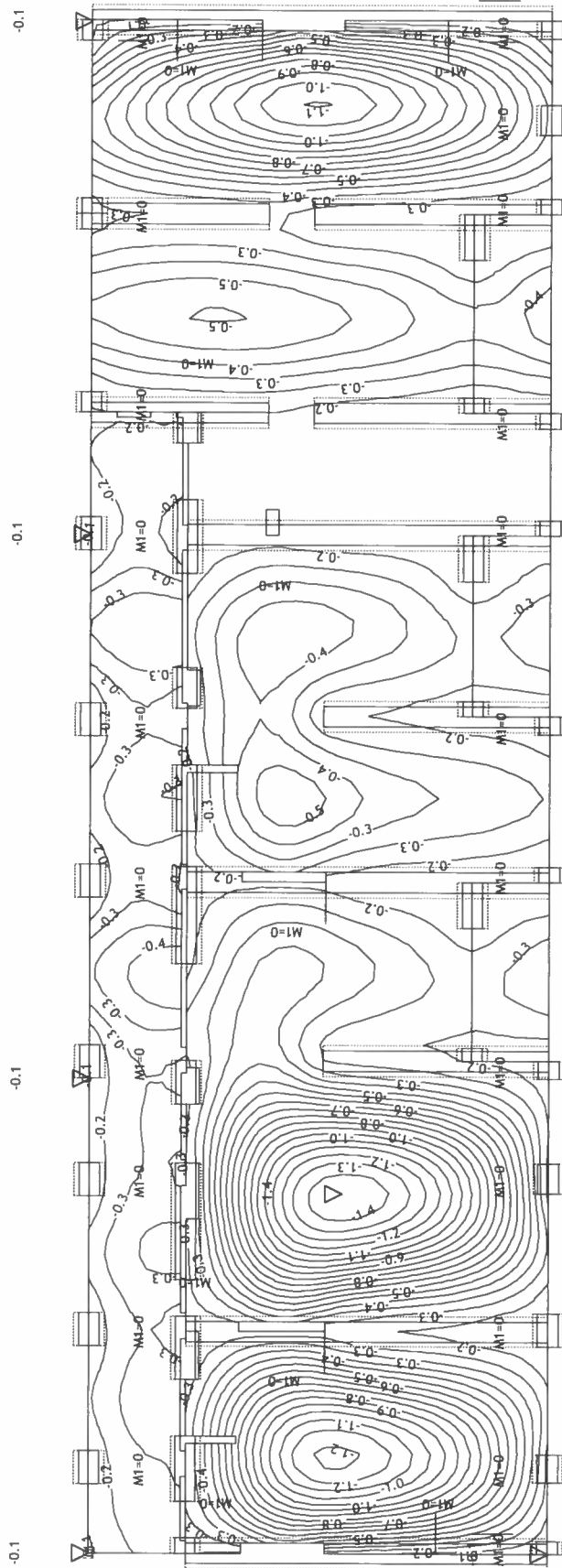
Nivo: nad 1N [5.80 m]  
 Vplivi v plošči: max  $M_x = 19.6$  / min  $M_x = 0.0$  kNm/m

Obt. 9: [Ovo] 7,8



Nivo: nad 1N [5.80 m]  
 Vplivi v plošči: max  $M_y = 12.6$  / min  $M_y = 0.0$  kNm/m

Obt. 6: I+0.7xII+III+IV

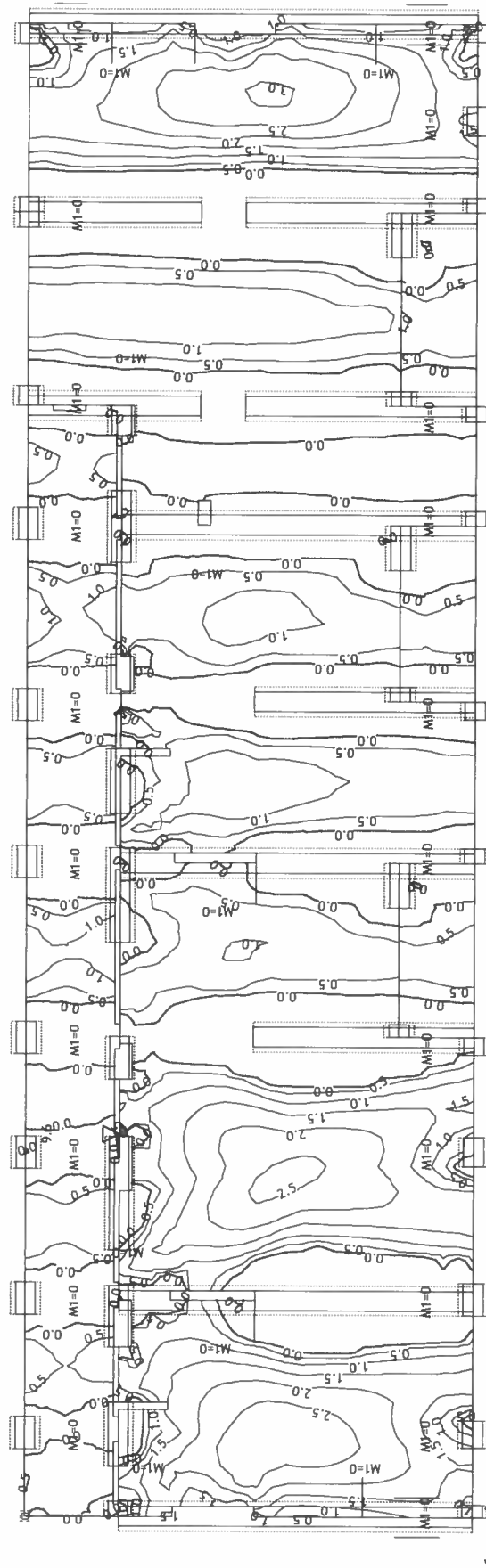


Nivo: nad 1N [5.80 m]

Vpliv v plošči: max Zp= -0.1 / min Zp= -1.4 m / 1000

Merodajna obtežba: 7,8

EC 2 (EN 1992-1-1:2004), C 30, S500H, a=3.00 cm

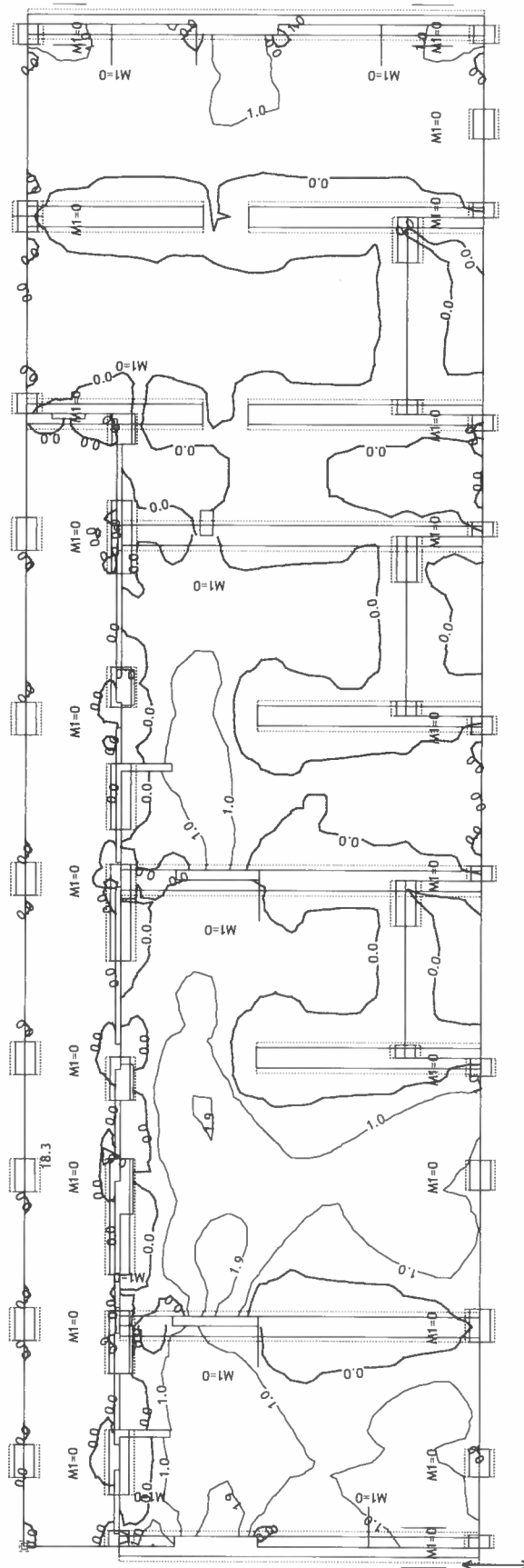


Nivo: nad 1N [5.80 m]

Aa - sp.cona - Smer 1 - max Aa1,s= 9.6 cm<sup>2</sup>/m

Merodajna obtežba: 7,8

EC 2 (EN 1992-1-1:2004), C 30, S500H, a=3.00 cm

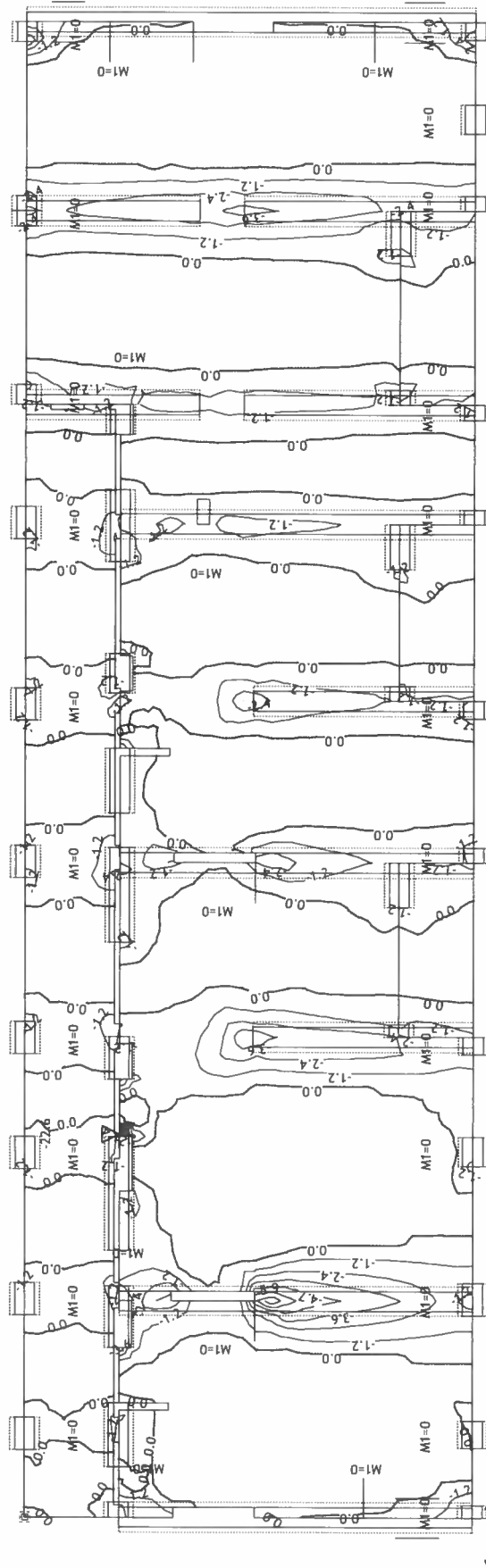


Nivo: nad 1N [5.80 m]

Aa - sp.cona - Smer 2 - max Aa2,s= 18.3 cm<sup>2</sup>/m

Merodajna obtežba: 7,8

EC 2 (EN 1992-1-1:2004), C 30, S500H, a=3.00 cm

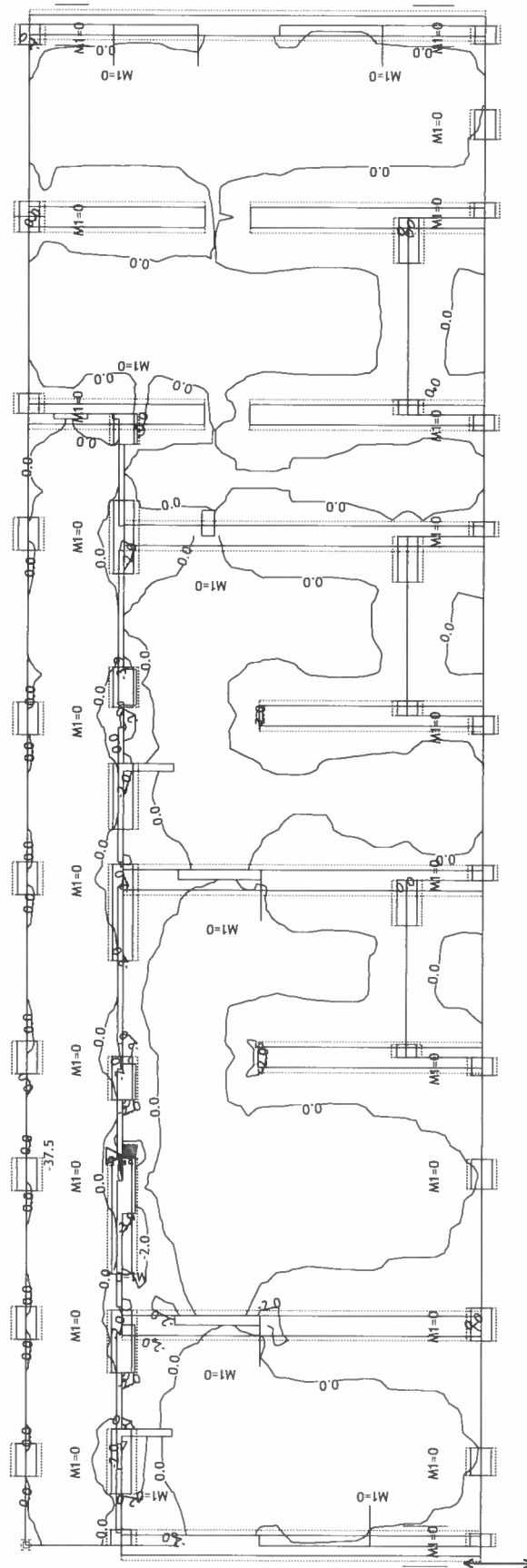


Nivo: nad 1N [5.80 m]

Aa - zg.cona - Smer 1 - max Aa1,z= -22.6 cm<sup>2</sup>/m

Merodajna obtežba: 7,8

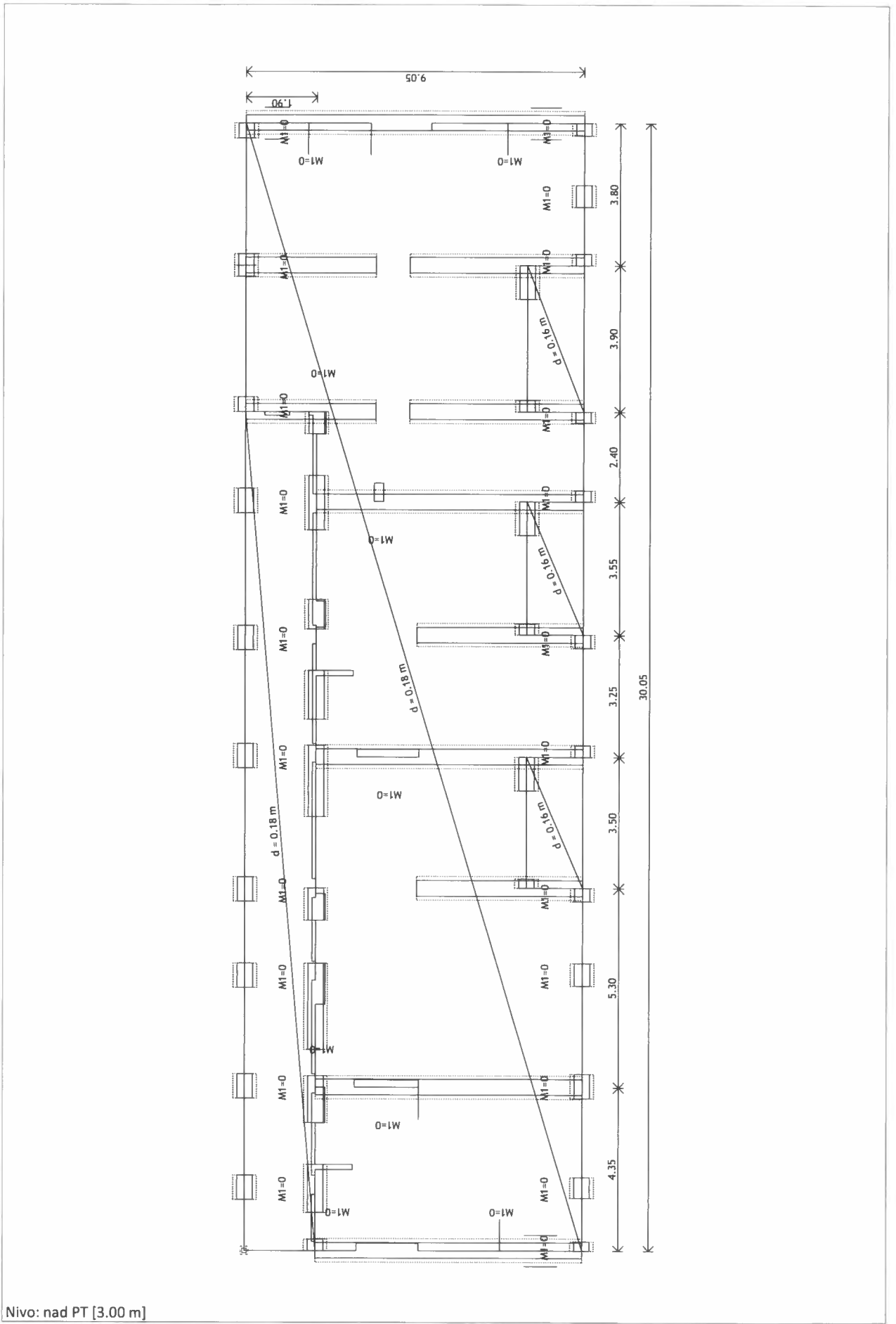
EC 2 (EN 1992-1-1:2004), C 30, S500H, a=3.00 cm



Nivo: nad 1N [5.80 m]

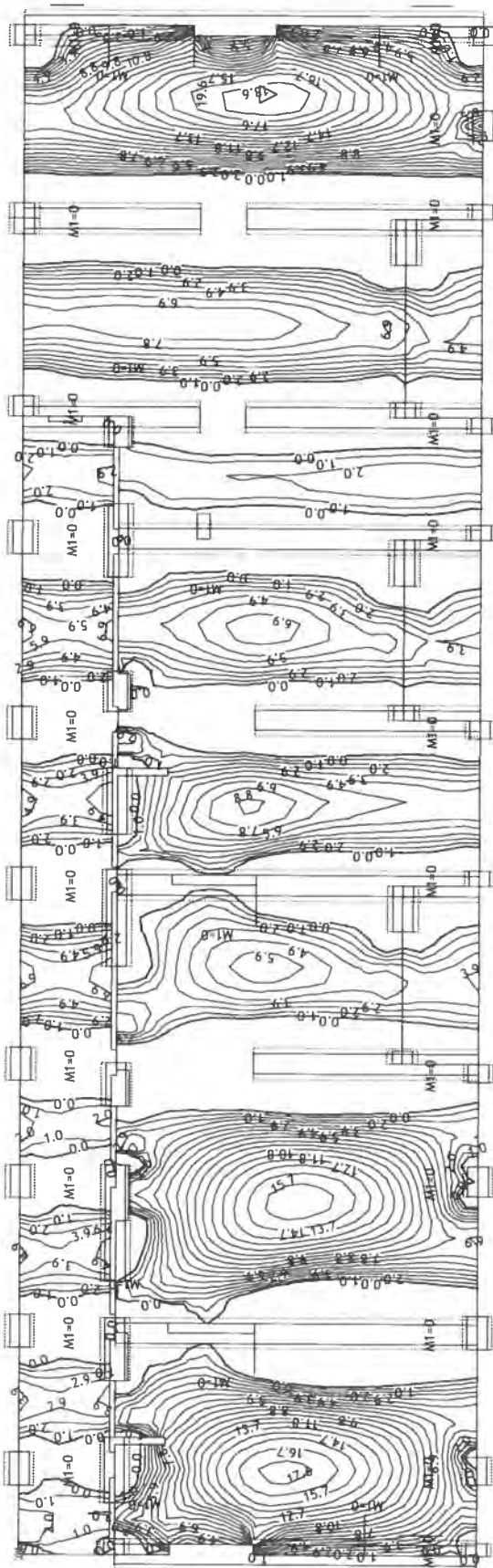
Aa - zg.cona - Smer 2 - max Aa2,z= -37.5 cm<sup>2</sup>/m

A159



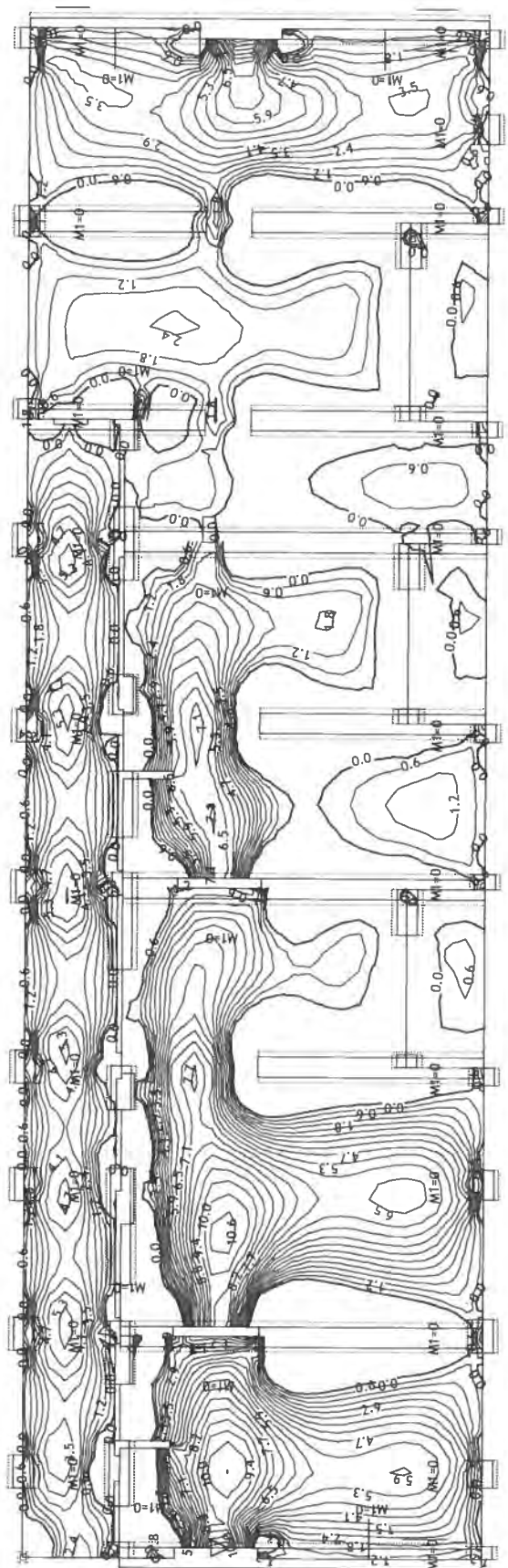
Nivo: nad PT [3.00 m]

Obt. 9: [Ovo] 7,8



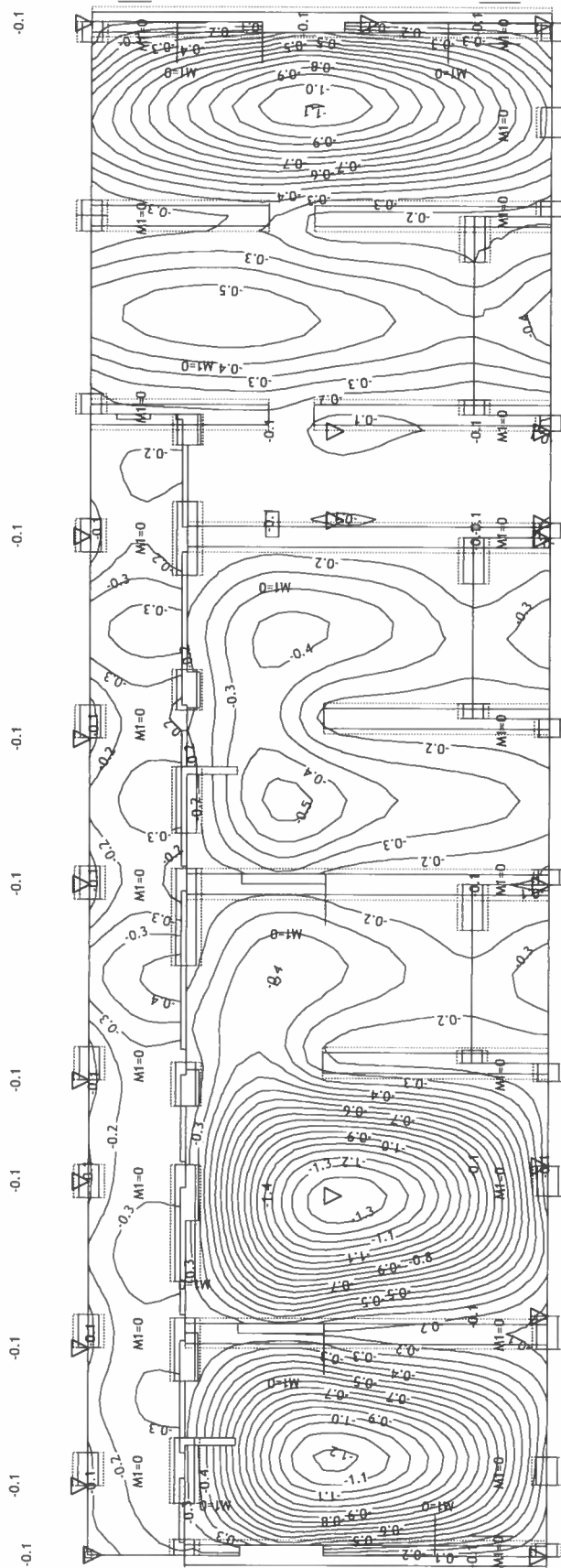
Nivo: nad PT [3.00 m]  
 Vplivi v plošči: max  $M_x = 19.6$  / min  $M_x = 0.0$  kNm/m

Obt. 9: [Ovo] 7,8



Nivo: nad PT [3.00 m]  
 Vplivi v plošči: max  $M_y = 11.8$  / min  $M_y = 0.0$  kNm/m

Obt. 6: I+0.7xII+III+IV



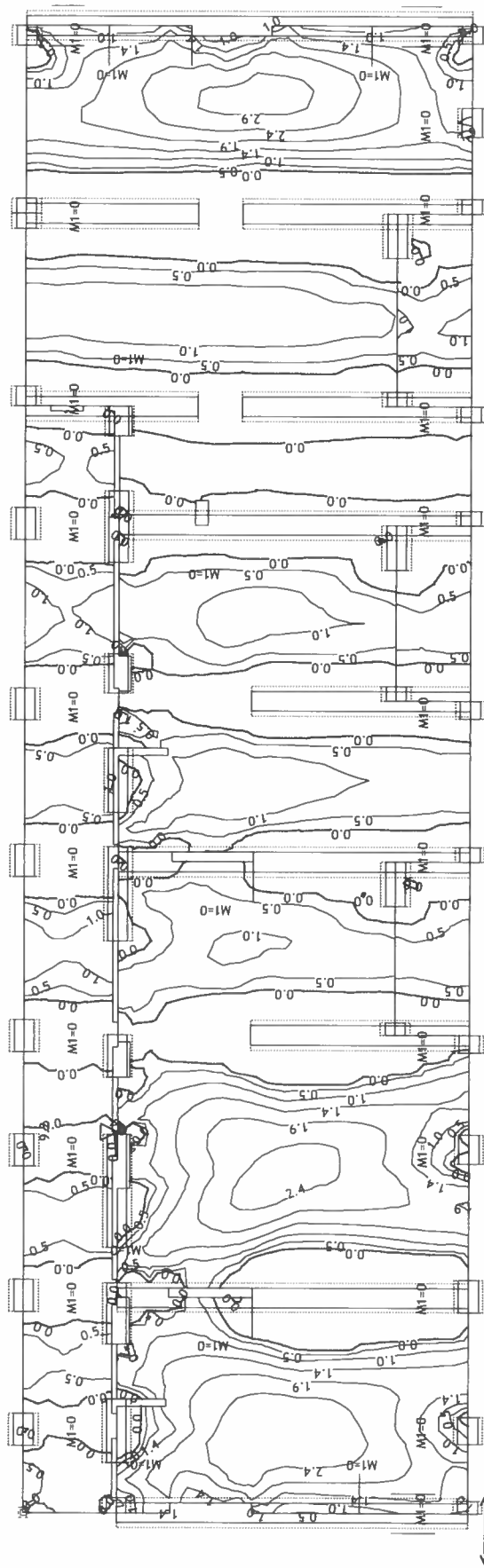
Nivo: nad PT [3.00 m]

Vplivi v plošči: max Zp= -0.1 / min Zp= -1.4 m / 1000

AM2

Merodajna obtežba: 7,8

EC 2 (EN 1992-1-1:2004), C 30, S500H, a=3.00 cm

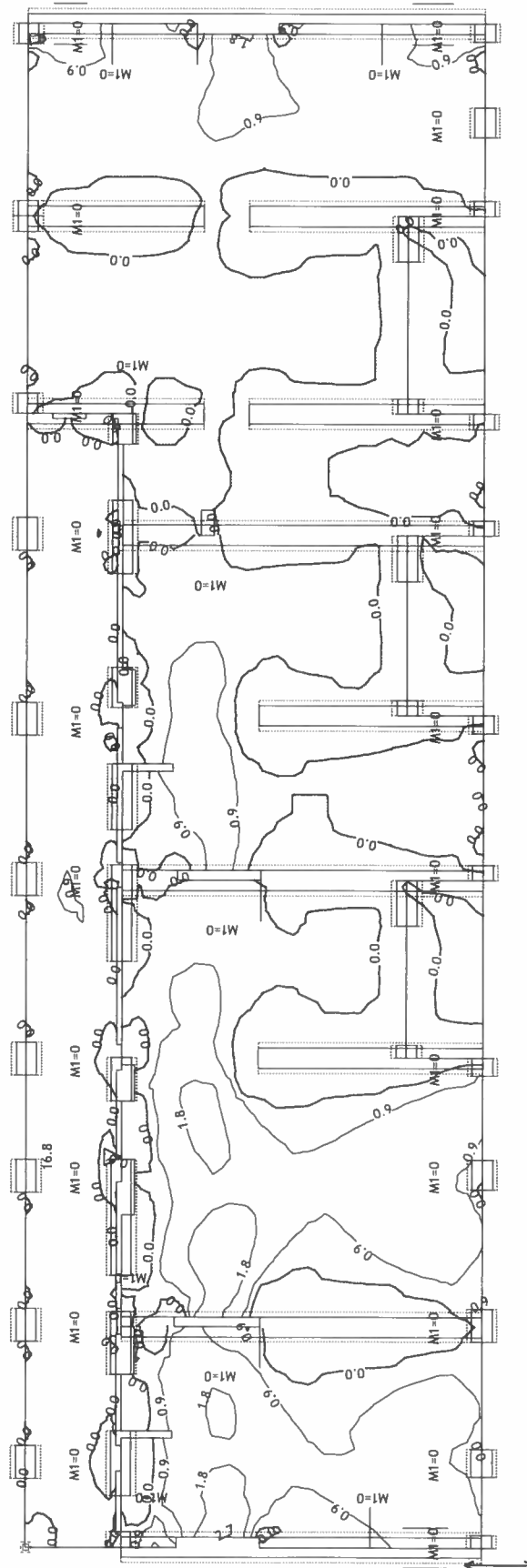


Nivo: nad PT [3.00 m]

Aa - sp.cona - Smer 1 - max Aa1,s= 9.2 cm<sup>2</sup>/m

Merodajna obtežba: 7,8

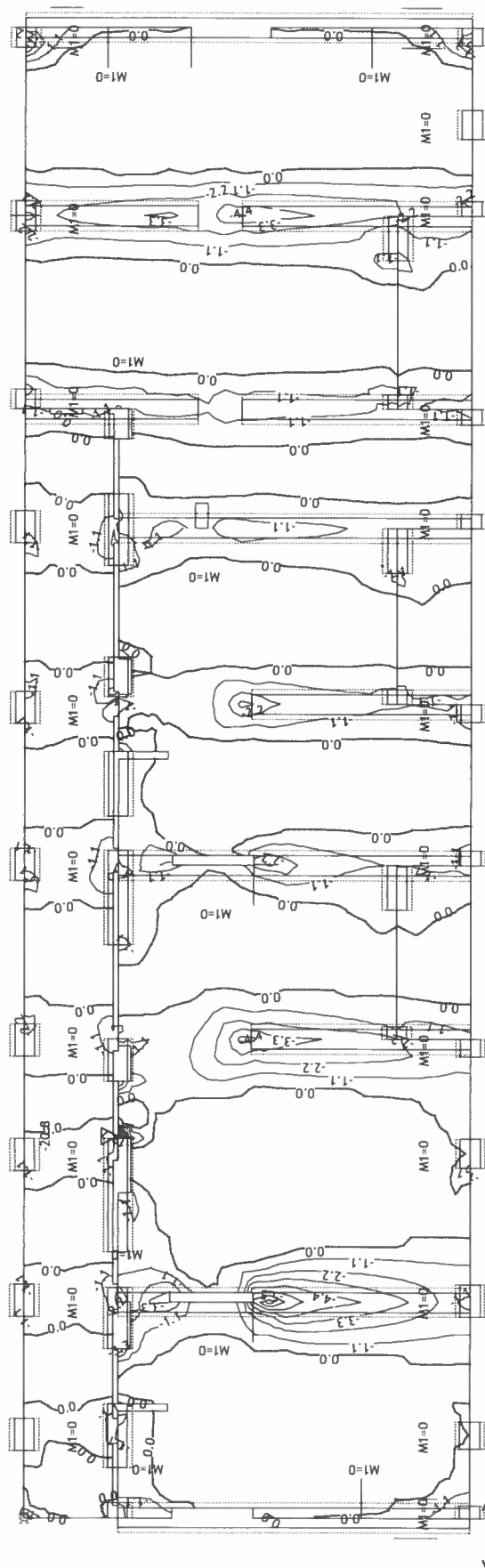
EC 2 (EN 1992-1-1:2004), C 30, S500H, a=3.00 cm



Nivo: nad PT [3.00 m]

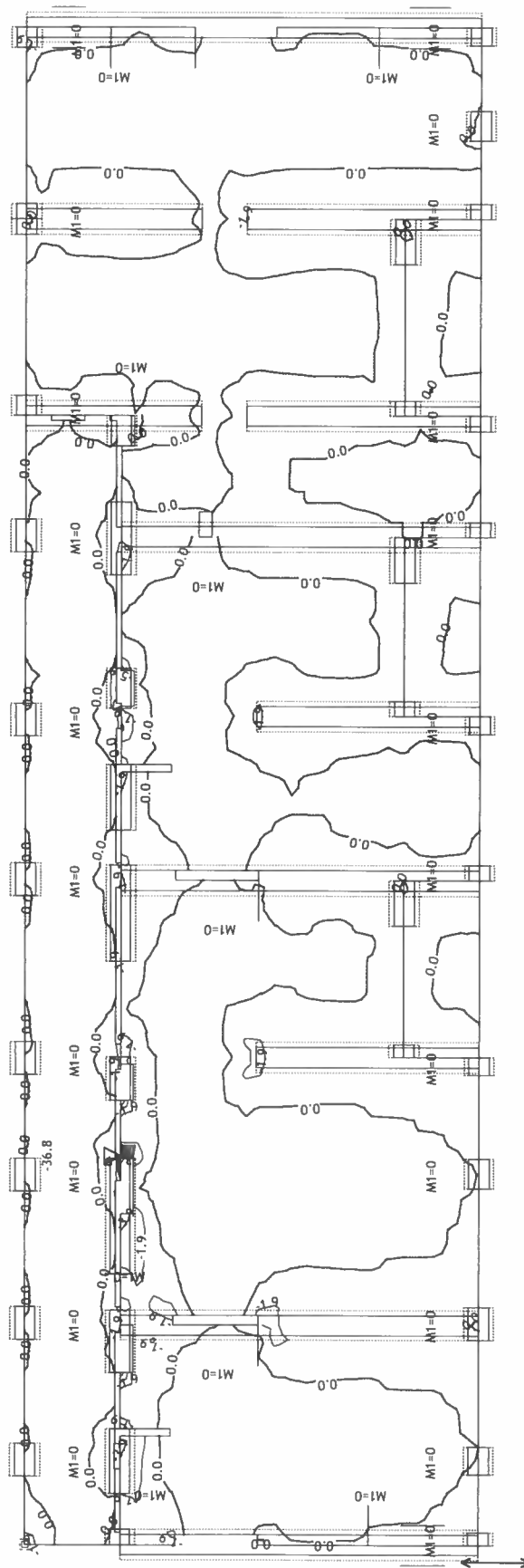
Aa - sp.cona - Smer 2 - max Aa2,s= 16.8 cm<sup>2</sup>/m

Merodajna obtežba: 7,8  
EC 2 (EN 1992-1-1:2004), C 30, S500H, a=3.00 cm



Nivo: nad PT [3.00 m]  
Aa - zg.cona - Smer 1 - max Aa1,z= -20.8 cm<sup>2</sup>/m

Merodajna obtežba: 7,8  
EC 2 (EN 1992-1-1:2004), C 30, S500H, a=3.00 cm



Nivo: nad PT [3.00 m]  
Aa - zg.cona - Smer 2 - max Aa2,z= -36.8 cm<sup>2</sup>/m

## 4.2 Seizmični izračun

### 4.2.1 Razred duktilnosti in faktor obnašanja

#### Dilatacija A6:

Za smer x znaša

$$\alpha_{0,x} = \frac{\sum h_{wi}}{\sum l_{wi}} = \frac{29 \cdot 9 \cdot 0}{30,03} = 8,7$$

$$0,5 \leq k_{w,x} = \frac{1 + \alpha_{0,x}}{3} = 3,2 \leq 1,0$$

Za smer y pa

$$\alpha_{0,y} = \frac{9 \cdot 9 \cdot 0}{61,26} = 1,3$$

$$0,5 \leq k_{w,y} = \frac{1 + \alpha_{0,y}}{3} = 0,77 \leq 1,0$$

Za geometrijo konstrukcije lahko rečemo, da je pravilna po višini. Računska vrednost faktorja obnašanja znaša tako

$$1,5 \leq q_x = q_0 \cdot k_w = 3,6 \cdot 1,0 = 3,6$$

$$1,5 \leq q_y = q_0 \cdot k_w = 3,6 \cdot 0,77 = 2,8$$

### 4.2.2 Omejitev poškodb

Standard SIST EN 1998-1 omejuje etažne pomike. Etažni pomiki konstrukcije pri potresni analizi ob upoštevanju faktorja  $q = 1$ .

Da preprečimo pretirane poškodbe konstrukcije, standard SIST EN 1998-1 člen 4.4.3, omeji velikost pomikov z enačbo:

$$d_r \cdot v \leq \alpha h \rightarrow \frac{d_r}{h} \leq \frac{\alpha}{v}$$

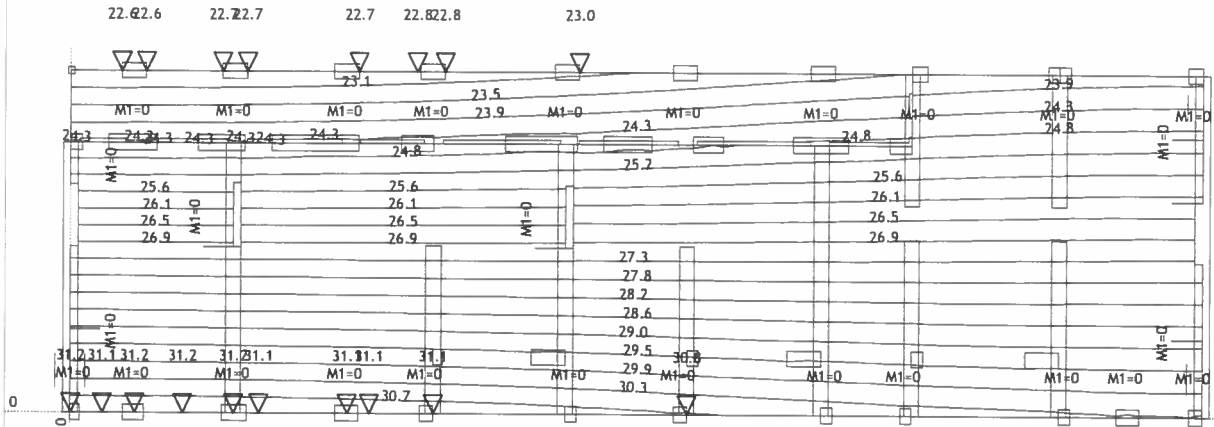
$d_r$  ... projektni etažni pomik, določen kot razlika med povprečnima vodoravnima pomikoma  $d_s$  na vrhu in dnu etaže,  $h$  ... etažna višina,  $v$  ... redukcijski faktor, ki upošteva manjšo povratno dobo potresa (standard za kategorijo pomembnosti II priporoča vrednost 0,5,  $\alpha$  ... faktor, odvisen od duktilnosti nekonstrukcijskih elementov ( $\alpha = 0,005$  za nekonstrukcijske elemente iz krhkih materialov,  $\alpha = 0,0075$  za duktilne nekonstrukcijske elemente,  $\alpha = 0,010$  za nekonstrukcijske elemente na katere deformacije konstrukcije ne vplivajo)

Etažni zamiki konstrukcije so zbrani v preglednici v nadaljevanju:

etaža i	z <sub>i</sub> (m)	h <sub>i</sub> (m)	Potres v X smeri				Potres v Y smeri				Ex + 0,3 Ey		0,3 Ex + Ey		v · d <sub>r,max</sub> (mm)	0,005 · h <sub>i</sub> (mm)	Kontrola	v =	0,5
			U <sub>XEx</sub> (mm)	U <sub>YEx</sub> (mm)	d <sub>XEx</sub> (mm)	d <sub>YEx</sub> (mm)	U <sub>XEy</sub> (mm)	U <sub>YEy</sub> (mm)	d <sub>XEy</sub> (mm)	d <sub>YEy</sub> (mm)	d <sub>X</sub> (mm)	d <sub>Y</sub> (mm)	d <sub>X</sub> (mm)	d <sub>Y</sub> (mm)					
2 nad	8,92	2,80	31,20	21,20	9,70	6,90	8,20	33,00	2,50	9,90	10,45	9,87	5,41	11,97	7,19	14,00	OK	q =	1,0
1 nad	6,12	2,82	21,50	14,30	11,20	6,90	5,70	23,10	3,00	10,00	12,10	9,90	6,36	12,07	7,82	14,10	OK		
nad pl	3,30	3,30	10,30	7,40	10,30	7,40	2,70	13,10	2,70	13,10	11,11	11,33	5,79	15,32	8,19	16,50	OK		
temelji	0,00																		

OBJEKT (A) - del (6)

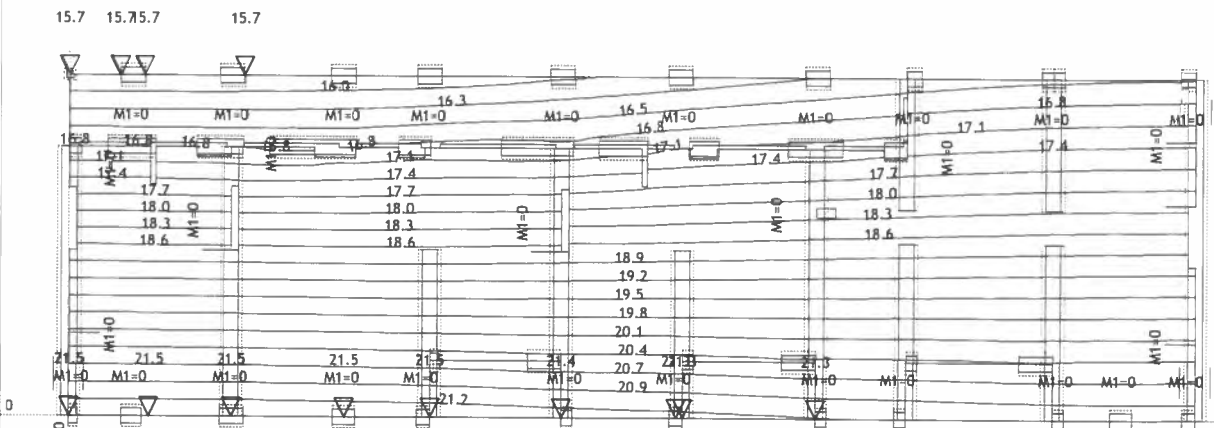
Obt. 5: smer x (+e)



Nivo: nad 2N [8.60 m]

Vplivi v plošči: max  $X_p = 31.2$  / min  $X_p = 22.6$  m / 1000

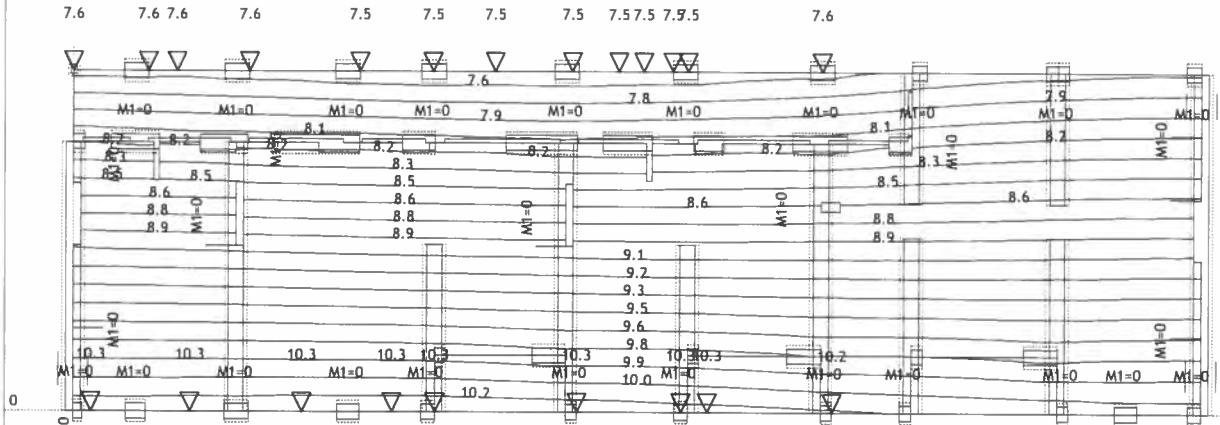
Obt. 5: smer x (+e)



Nivo: nad 1N [5.80 m]

Vplivi v plošči: max  $X_p = 21.5$  / min  $X_p = 15.7$  m / 1000

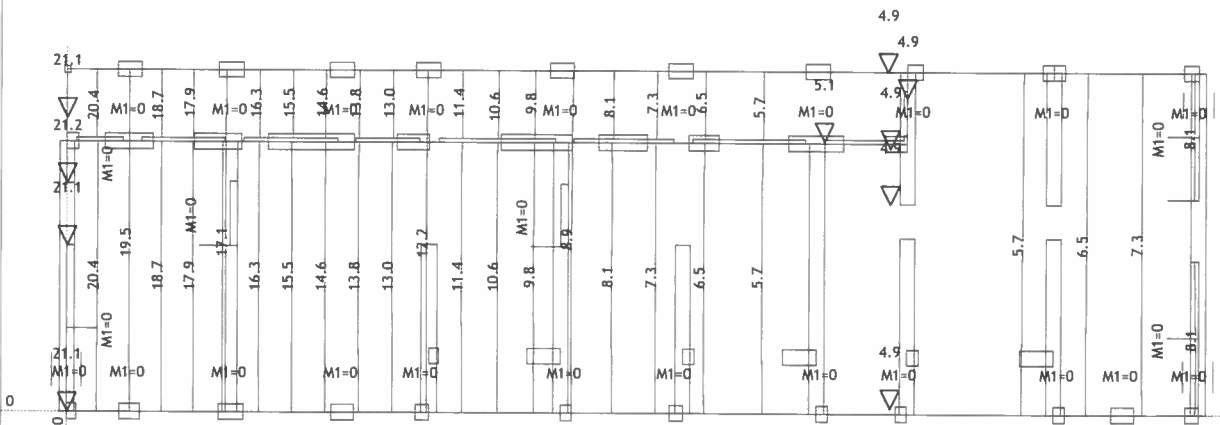
Obt. 5: smer x (+e)



Nivo: nad PT [3.00 m]

Vplivi v plošči: max  $X_p = 10.3$  / min  $X_p = 7.5$  m / 1000

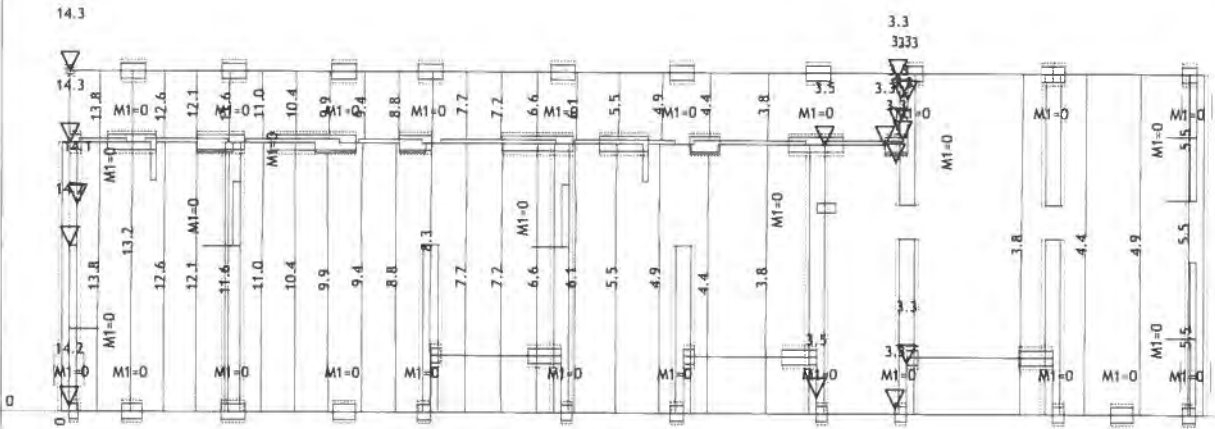
Obt. 5: smer x (+e)



Nivo: nad 2N [8.60 m]

Vplivi v plošči: max  $Y_p = 21.2$  / min  $Y_p = 4.9$  m / 1000

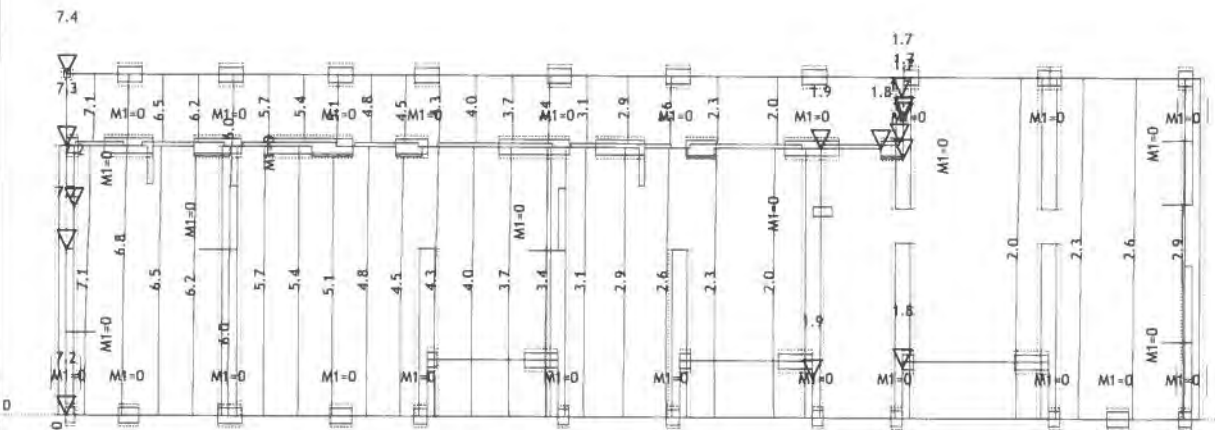
Obt. 5: smer x (+e)



Nivo: nad 1N [5.80 m]

Vplivi v plošči: max  $Y_p = 14.3$  / min  $Y_p = 3.3$  m / 1000

Obt. 5: smer x (+e)

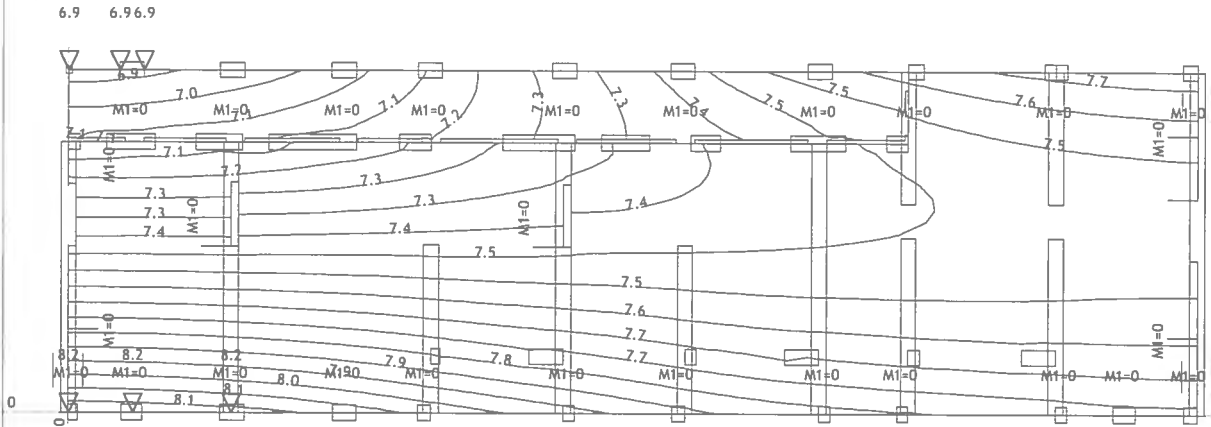


Nivo: nad PT [3.00 m]

Vplivi v plošči: max  $Y_p = 7.4$  / min  $Y_p = 1.7$  m / 1000

A170

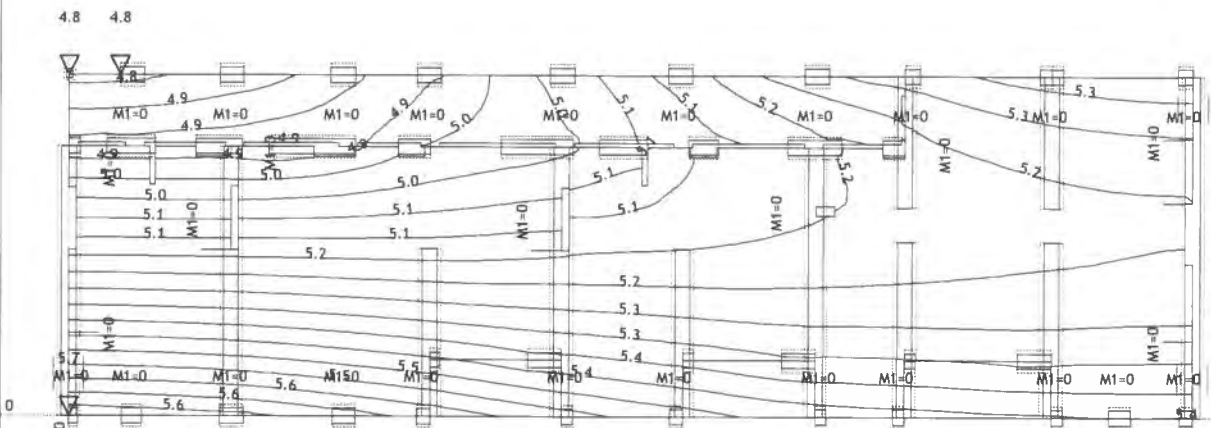
Obt. 7: smer y (+e)



Nivo: nad 2N [8.60 m]

Vplivi v plošči: max  $X_p = 8.2$  / min  $X_p = 6.9$  m / 1000

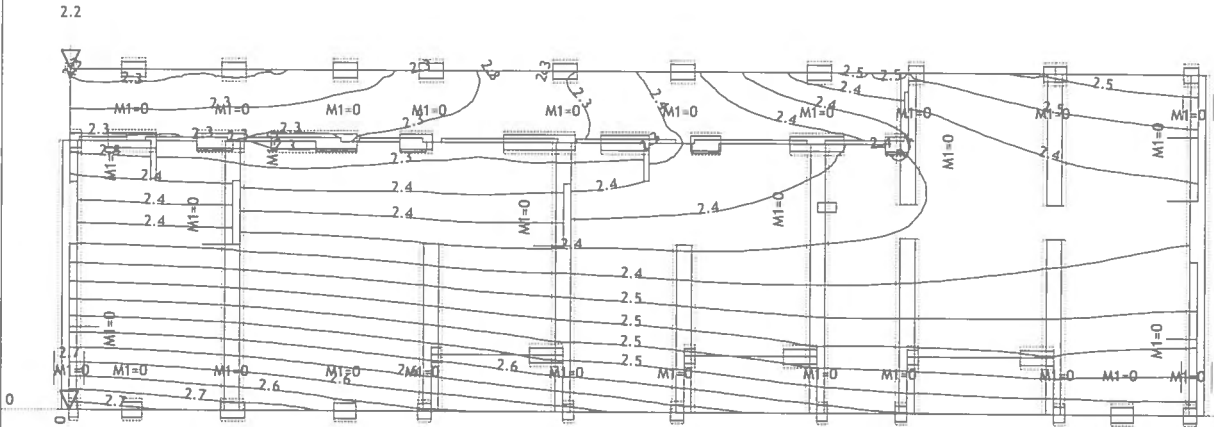
Obt. 7: smer y (+e)



Nivo: nad 1N [5.80 m]

Vplivi v plošči: max  $X_p = 5.7$  / min  $X_p = 4.8$  m / 1000

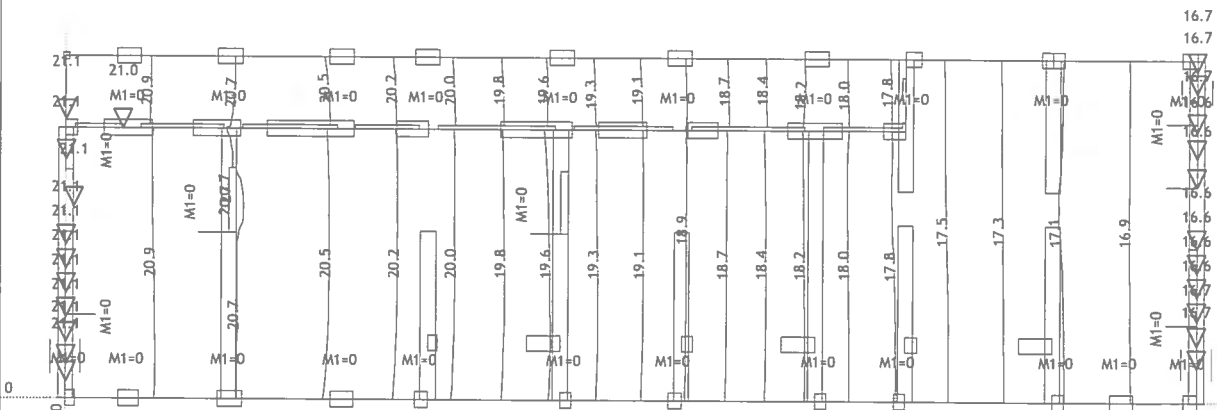
Obt. 7: smer y (+e)



Nivo: nad PT [3.00 m]

Vplivi v plošči: max Xp= 2.7 / min Xp= 2.2 m / 1000

Obt. 7: smer y (+e)

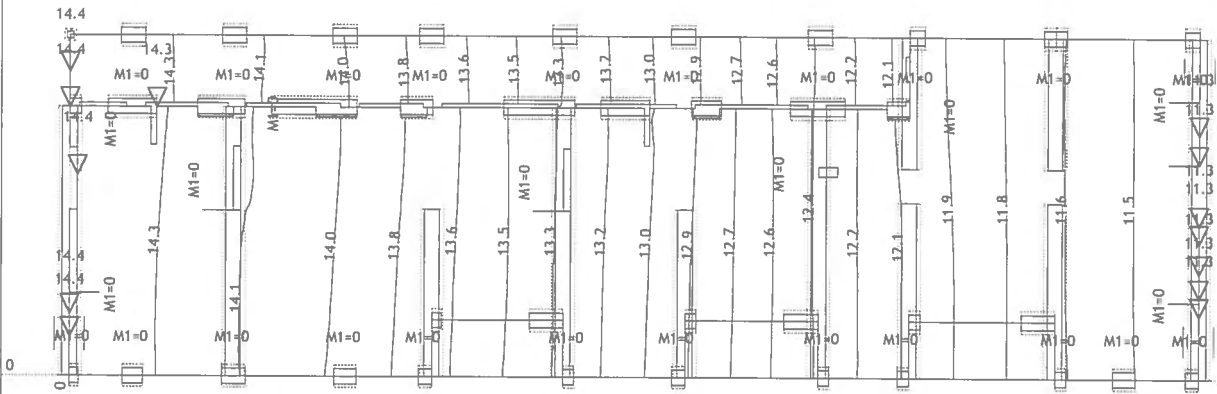


Nivo: nad 2N [8.60 m]

Vplivi v plošči: max Yp= 21.1 / min Yp= 16.6 m / 1000

AMZ

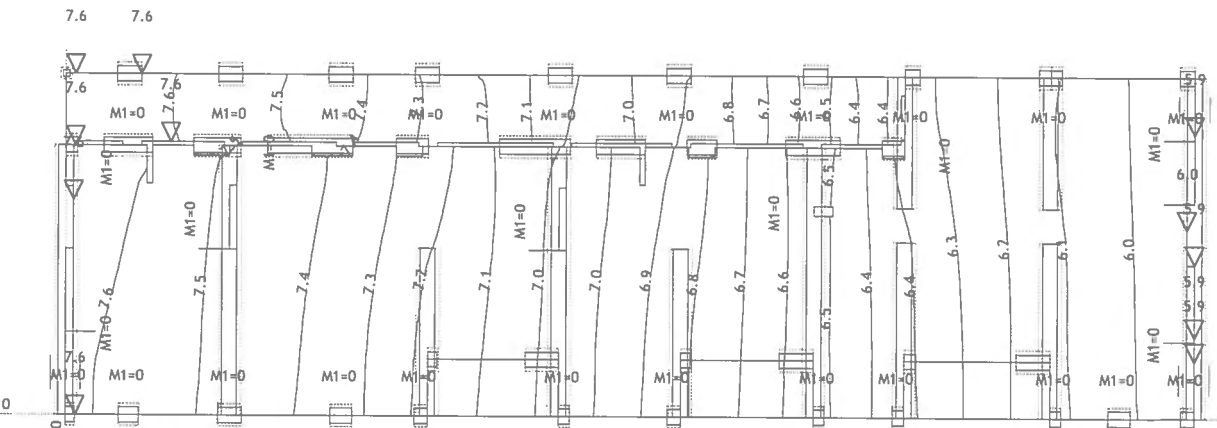
Obt. 7: smer y (+e)



Nivo: nad 1N [5.80 m]

Vplivi v plošči: max Yp= 14.4 / min Yp= 11.3 m / 1000

Obt. 7: smer y (+e)



Nivo: nad PT [3.00 m]

Vplivi v plošči: max Yp= 7.6 / min Yp= 5.9 m / 1000

**Modalna analiza****Faktorji obtežb za preračun mas**

No	Naziv	Koeficient
1	l.t. + stalna (g)	1.00
2	koristna	0.30
3	sneg	0.00
4	l.t. temeljne plošče	0.00

**Razporeditev mas po višini objekta**

Nivo	Z [m]	X [m]	Y [m]	Masa [T]	T/m <sup>2</sup>
nad 2N	8.60	15.09	4.47	247.77	0.92
nad 1N	5.80	15.05	4.51	340.16	1.27
nad PT	3.00	14.67	4.96	566.93	2.12
Skupno:	5.03	14.87	4.72	1154.86	

**Položaj centra togosti po višini objekta (točna metoda)**

Nivo	Z [m]	X [m]	Y [m]
nad 2N	8.60	16.53	7.02
nad 1N	5.80	16.51	7.07
nad PT	3.00	16.44	6.85

**Ekscentriciteta po višini objekta (točna metoda)**

Nivo	Z [m]	eox [m]	eoy [m]
nad 2N	8.60	1.44	2.55
nad 1N	5.80	1.47	2.56
nad PT	3.00	1.77	1.89

**Nihajne dobe konstrukcije**

No	T [s]	f [Hz]	No	T [s]	f [Hz]	No	T [s]	f [Hz]
1	0.3199	3.1258	5	0.0724	13.8196	8	0.0412	24.2926
2	0.2612	3.8284	6	0.0468	21.3846	9	0.0374	26.7226
3	0.2063	4.8466	7	0.0446	22.4014	10	0.0353	28.3195
4	0.0903	11.0682						

**Tlorisna pravilnost**

Z [m]	eox [m]	eoy [m]	rx [m]	ry [m]	ls [m]	eox ≤ 0.3ry	eoy ≤ 0.3rx	rx > ls	ry > ls
8.60	1.44	2.55	11.27	13.92	9.29	Da	Da	Da	Da
5.80	1.47	2.56	11.20	13.94	9.46	Da	Da	Da	Da
3.00	1.77	1.89	11.07	13.65	9.29	Da	Da	Da	Da

**Seizmični preračun**

Seizmični preračun: EC8 (EN 1998) SLO

Kategorija tal: D  
 Kategorija pomena: II ( $\gamma=1.0$ )  
 Razmerje  $a_g/g$ : 0.25  
 Koeficient dušenja: 0.05  
 Slučajna ekscentričnost mase etaže:  $e_i = \pm 0.050 \times L_i$

**Faktorji smeri potresa:**

Obtežni primer	Kot $\alpha$ [°]	$k, \alpha$	$k, \alpha+90^\circ$	$k_z$	Faktor O.
smer x	0	1.000	0.000	0.000	3.600
smer y	90	1.000	0.000	0.000	2.800

**Tip spektra**

Obtežni primer	S	T <sub>b</sub>	T <sub>c</sub>	T <sub>d</sub>
smer x	1.350	0.200	0.800	2.000
smer y	1.350	0.200	0.800	2.000

**smer x (+e)**

Nivo	Z [m]	Ton 1			Ton 2			Ton 3		
		Px [kN]	Py [kN]	Pz [kN]	Px [kN]	Py [kN]	Pz [kN]	Px [kN]	Py [kN]	Pz [kN]
nad 2N	8.60	683.62	-163.93	12.67	54.79	183.40	-7.22	30.13	-34.61	-5.24
nad 1N	5.80	649.62	-153.85	20.40	52.32	172.16	-11.24	27.34	-31.72	-7.54
nad PT	3.00	507.11	-140.68	46.78	40.25	153.77	-29.95	20.93	-23.39	-11.93
kineta	0.20	0.00	0.00	0.00	0.00	0.00	0.00	0.00	0.00	0.00
temeljna	0.00	0.00	0.00	0.00	0.00	0.00	0.00	0.00	0.00	0.00
temeljna kinete	-2.00	0.00	0.00	0.00	0.00	0.00	0.00	0.00	0.00	0.00
	$\Sigma=$	1840.4	-458.46	79.85	147.36	509.33	-48.42	78.40	-89.72	-24.71

Nivo	Z [m]	Ton 4			Ton 5			Ton 6		
		Px [kN]	Py [kN]	Pz [kN]	Px [kN]	Py [kN]	Pz [kN]	Px [kN]	Py [kN]	Pz [kN]
nad 2N	8.60	276.54	-1.75	1.48	-0.07	0.37	-0.56	41.23	0.72	-0.24
nad 1N	5.80	132.89	0.03	2.57	0.82	0.81	-0.82	-96.81	-0.25	-0.15
nad PT	3.00	570.68	2.70	2.02	1.15	-0.69	-1.19	79.58	-0.85	0.82
kineta	0.20	0.00	0.00	0.00	0.00	0.00	0.00	0.00	0.00	0.00
temeljna	0.00	0.00	0.00	0.00	0.00	0.00	0.00	0.00	0.00	0.00
temeljna kinete	-2.00	0.00	0.00	0.00	0.00	0.00	0.00	0.00	0.00	0.00
	$\Sigma=$	427.03	0.99	6.07	1.90	0.49	-2.57	24.01	-0.39	0.43

Nivo	Z [m]	Ton 7			Ton 8			Ton 9		
		Px [kN]	Py [kN]	Pz [kN]	Px [kN]	Py [kN]	Pz [kN]	Px [kN]	Py [kN]	Pz [kN]
nad 2N	8.60	3.20	-3.22	0.04	-0.03	3.84	-0.21	0.02	0.75	-0.01
nad 1N	5.80	-11.64	0.05	0.21	-0.09	-0.40	-0.24	-0.06	-0.10	-0.01
nad PT	3.00	15.38	8.85	-0.20	0.35	-9.78	-0.63	0.07	-1.91	-0.01
kineta	0.20	0.00	0.00	0.00	0.00	0.00	0.00	0.00	0.00	0.00
temeljna	0.00	0.00	0.00	0.00	0.00	0.00	0.00	0.00	0.00	0.00
temeljna kinete	-2.00	0.00	0.00	0.00	0.00	0.00	0.00	0.00	0.00	0.00
	$\Sigma=$	6.94	5.69	0.06	0.24	-6.34	-1.08	0.03	-1.26	-0.03

Nivo	Z [m]	Ton 10		
		Px [kN]	Py [kN]	Pz [kN]
nad 2N	8.60	0.69	-0.11	-0.11
nad 1N	5.80	-1.97	-0.10	-0.08
nad PT	3.00	1.99	0.48	-0.17
kineta	0.20	0.00	0.00	0.00
temeljna	0.00	0.00	0.00	0.00
temeljna kinete	-2.00	0.00	0.00	0.00
	$\Sigma=$	0.70	0.28	-0.37

**smer x (-e)**

Nivo	Z [m]	Ton 1			Ton 2			Ton 3		
		Px [kN]	Py [kN]	Pz [kN]	Px [kN]	Py [kN]	Pz [kN]	Px [kN]	Py [kN]	Pz [kN]
nad 2N	8.60	683.62	-163.93	12.67	54.79	183.40	-7.22	30.13	-34.61	-5.24
nad 1N	5.80	649.62	-153.85	20.40	52.32	172.16	-11.24	27.34	-31.72	-7.54
nad PT	3.00	507.11	-140.68	46.78	40.25	153.77	-29.95	20.93	-23.39	-11.93
kineta	0.20	0.00	0.00	0.00	0.00	0.00	0.00	0.00	0.00	0.00
temeljna	0.00	0.00	0.00	0.00	0.00	0.00	0.00	0.00	0.00	0.00
temeljna kinete	-2.00	0.00	0.00	0.00	0.00	0.00	0.00	0.00	0.00	0.00
	$\Sigma=$	1840.4	-458.46	79.85	147.36	509.33	-48.42	78.40	-89.72	-24.71

Nivo	Z [m]	Ton 4			Ton 5			Ton 6			
		Px [kN]	Py [kN]	Pz [kN]	Px [kN]	Py [kN]	Pz [kN]	Px [kN]	Py [kN]	Pz [kN]	
nad 2N	8.60	276.54	-1.75	1.48	-0.07	0.37	-0.56	41.23	0.72	-0.24	
nad 1N	5.80	132.89	0.03	2.57	0.82	0.81	-0.82	-96.81	-0.25	-0.15	
nad PT	3.00	570.68	2.70	2.02	1.15	-0.69	-1.19	79.58	-0.85	0.82	
kineta	0.20	0.00	0.00	0.00	0.00	0.00	0.00	0.00	0.00	0.00	
temeljna	0.00	0.00	0.00	0.00	0.00	0.00	0.00	0.00	0.00	0.00	
temeljna kinete	-2.00	0.00	0.00	0.00	0.00	0.00	0.00	0.00	0.00	0.00	
		Σ=	427.03	0.99	6.07	1.90	0.49	-2.57	24.01	-0.39	0.43

Nivo	Z [m]	Ton 7			Ton 8			Ton 9			
		Px [kN]	Py [kN]	Pz [kN]	Px [kN]	Py [kN]	Pz [kN]	Px [kN]	Py [kN]	Pz [kN]	
nad 2N	8.60	3.20	-3.22	0.04	-0.03	3.84	-0.21	0.02	0.75	-0.01	
nad 1N	5.80	-11.64	0.05	0.21	-0.09	-0.40	-0.24	-0.06	-0.10	-0.01	
nad PT	3.00	15.38	8.85	-0.20	0.35	-9.78	-0.63	0.07	-1.91	-0.01	
kineta	0.20	0.00	0.00	0.00	0.00	0.00	0.00	0.00	0.00	0.00	
temeljna	0.00	0.00	0.00	0.00	0.00	0.00	0.00	0.00	0.00	0.00	
temeljna kinete	-2.00	0.00	0.00	0.00	0.00	0.00	0.00	0.00	0.00	0.00	
		Σ=	6.94	5.69	0.06	0.24	-6.34	-1.08	0.03	-1.26	-0.03

Nivo	Z [m]	Ton 10			
		Px [kN]	Py [kN]	Pz [kN]	
nad 2N	8.60	0.69	-0.11	-0.11	
nad 1N	5.80	-1.97	-0.10	-0.08	
nad PT	3.00	1.99	0.48	-0.17	
kineta	0.20	0.00	0.00	0.00	
temeljna	0.00	0.00	0.00	0.00	
temeljna kinete	-2.00	0.00	0.00	0.00	
		Σ=	0.70	0.28	-0.37

smer y (+e)

Nivo	Z [m]	Ton 1			Ton 2			Ton 3			
		Px [kN]	Py [kN]	Pz [kN]	Px [kN]	Py [kN]	Pz [kN]	Px [kN]	Py [kN]	Pz [kN]	
nad 2N	8.60	-218.96	52.50	-4.06	243.45	814.98	-32.08	-44.33	50.92	7.72	
nad 1N	5.80	-208.07	49.28	-6.53	232.51	765.03	-49.96	-40.23	46.67	11.10	
nad PT	3.00	-162.42	45.06	-14.98	178.88	683.32	-133.11	-30.79	34.41	17.55	
kineta	0.20	0.00	0.00	0.00	0.00	0.00	0.00	0.00	0.00	0.00	
temeljna	0.00	0.00	0.00	0.00	0.00	0.00	0.00	0.00	0.00	0.00	
temeljna kinete	-2.00	0.00	0.00	0.00	0.00	0.00	0.00	0.00	0.00	0.00	
		Σ=	589.45	146.84	-25.58	654.85	2263.3	215.15	-115.35	132.00	36.36

Nivo	Z [m]	Ton 4			Ton 5			Ton 6			
		Px [kN]	Py [kN]	Pz [kN]	Px [kN]	Py [kN]	Pz [kN]	Px [kN]	Py [kN]	Pz [kN]	
nad 2N	8.60	-0.72	-0.00	0.00	-0.02	0.11	-0.16	-0.72	-0.01	0.00	
nad 1N	5.80	0.35	0.00	0.01	0.23	0.23	-0.23	1.69	0.00	0.00	
nad PT	3.00	1.49	0.01	0.01	0.32	-0.20	-0.34	-1.39	0.01	-0.01	
kineta	0.20	0.00	0.00	0.00	0.00	0.00	0.00	0.00	0.00	0.00	
temeljna	0.00	0.00	0.00	0.00	0.00	0.00	0.00	0.00	0.00	0.00	
temeljna kinete	-2.00	0.00	0.00	0.00	0.00	0.00	0.00	0.00	0.00	0.00	
		Σ=	1.12	0.00	0.02	0.54	0.14	-0.73	-0.42	0.01	-0.01

Nivo	Z [m]	Ton 7			Ton 8			Ton 9			
		Px [kN]	Py [kN]	Pz [kN]	Px [kN]	Py [kN]	Pz [kN]	Px [kN]	Py [kN]	Pz [kN]	
nad 2N	8.60	2.80	-2.81	0.04	0.76	109.08	5.96	-0.98	-36.18	0.51	
nad 1N	5.80	-10.18	0.05	0.18	2.56	11.40	6.75	2.81	5.05	0.53	
nad PT	3.00	13.45	7.74	-0.17	-10.04	277.56	17.98	-3.16	91.76	0.48	
kineta	0.20	0.00	0.00	0.00	0.00	0.00	0.00	0.00	0.00	0.00	
temeljna	0.00	0.00	0.00	0.00	0.00	0.00	0.00	0.00	0.00	0.00	
temeljna kinete	-2.00	0.00	0.00	0.00	0.00	0.00	0.00	0.00	0.00	0.00	
		Σ=	6.07	4.98	0.05	-6.72	179.88	30.69	-1.33	60.63	1.52

Nivo	Z [m]	Ton 10		
		Px [kN]	Py [kN]	Pz [kN]
nad 2N	8.60	0.29	-0.05	-0.05
nad 1N	5.80	-0.82	-0.04	-0.03
nad PT	3.00	0.83	0.20	-0.07
kineta	0.20	0.00	0.00	0.00
temeljna	0.00	0.00	0.00	0.00

temeljna kinete	-2.00	0.00	0.00	0.00
	Σ=	0.29	0.12	-0.15

smer y (-e)

Nivo	Z [m]	Ton 1			Ton 2			Ton 3		
		Px [kN]	Py [kN]	Pz [kN]	Px [kN]	Py [kN]	Pz [kN]	Px [kN]	Py [kN]	Pz [kN]
nad 2N	8.60	218.96	52.50	-4.06	243.45	814.98	-32.08	-44.33	50.92	7.72
nad 1N	5.80	208.07	49.28	-6.53	232.51	765.03	-49.96	-40.23	46.67	11.10
nad PT	3.00	162.42	45.06	-14.98	178.88	683.32	133.11	-30.79	34.41	17.55
kineta	0.20	0.00	0.00	0.00	0.00	0.00	0.00	0.00	0.00	0.00
temeljna	0.00	0.00	0.00	0.00	0.00	0.00	0.00	0.00	0.00	0.00
temeljna kinete	-2.00	0.00	0.00	0.00	0.00	0.00	0.00	0.00	0.00	0.00
	Σ=	589.45	146.84	-25.58	654.85	2263.3	215.15	115.35	132.00	36.36

Nivo	Z [m]	Ton 4			Ton 5			Ton 6		
		Px [kN]	Py [kN]	Pz [kN]	Px [kN]	Py [kN]	Pz [kN]	Px [kN]	Py [kN]	Pz [kN]
nad 2N	8.60	-0.72	-0.00	0.00	-0.02	0.11	-0.16	-0.72	-0.01	0.00
nad 1N	5.80	0.35	0.00	0.01	0.23	0.23	-0.23	1.69	0.00	0.00
nad PT	3.00	1.49	0.01	0.01	0.32	-0.20	-0.34	-1.39	0.01	-0.01
kineta	0.20	0.00	0.00	0.00	0.00	0.00	0.00	0.00	0.00	0.00
temeljna	0.00	0.00	0.00	0.00	0.00	0.00	0.00	0.00	0.00	0.00
temeljna kinete	-2.00	0.00	0.00	0.00	0.00	0.00	0.00	0.00	0.00	0.00
	Σ=	1.12	0.00	0.02	0.54	0.14	-0.73	-0.42	0.01	-0.01

Nivo	Z [m]	Ton 7			Ton 8			Ton 9		
		Px [kN]	Py [kN]	Pz [kN]	Px [kN]	Py [kN]	Pz [kN]	Px [kN]	Py [kN]	Pz [kN]
nad 2N	8.60	2.80	-2.81	0.04	0.76	-109.08	5.96	-0.98	-36.18	0.51
nad 1N	5.80	-10.18	0.05	0.18	2.56	11.40	6.75	2.81	5.05	0.53
nad PT	3.00	13.45	7.74	-0.17	-10.04	277.56	17.98	-3.16	91.76	0.48
kineta	0.20	0.00	0.00	0.00	0.00	0.00	0.00	0.00	0.00	0.00
temeljna	0.00	0.00	0.00	0.00	0.00	0.00	0.00	0.00	0.00	0.00
temeljna kinete	-2.00	0.00	0.00	0.00	0.00	0.00	0.00	0.00	0.00	0.00
	Σ=	6.07	4.98	0.05	-6.72	179.88	30.69	-1.33	60.63	1.52

Nivo	Z [m]	Ton 10		
		Px [kN]	Py [kN]	Pz [kN]
nad 2N	8.60	0.29	-0.05	-0.05
nad 1N	5.80	-0.82	-0.04	-0.03
nad PT	3.00	0.83	0.20	-0.07
kineta	0.20	0.00	0.00	0.00
temeljna	0.00	0.00	0.00	0.00
temeljna kinete	-2.00	0.00	0.00	0.00
	Σ=	0.29	0.12	-0.15

Faktorji participacije - relativno sodelovanje

Ton \ Naziv	1. smer x (+e)	2. smer x (-e)	3. smer y (+e)	4. smer y (-e)
1	0.728	0.728	0.053	0.053
2	0.058	0.058	0.812	0.812
3	0.031	0.031	0.047	0.047
4	0.169	0.169	0.000	0.000
5	0.001	0.001	0.000	0.000
6	0.010	0.010	0.000	0.000
7	0.003	0.003	0.002	0.002
8	0.000	0.000	0.065	0.065
9	0.000	0.000	0.022	0.022
10	0.000	0.000	0.000	0.000

Faktorji participacije - angažiranje mase

Ton	U [α=0°]	U [α=90°]
1	72.03	4.47
2	6.34	75.68
3	3.42	4.48
4	16.75	0.00
5	0.08	0.01
6	0.97	0.00
7	0.28	0.19
8	0.01	7.37

*Faktorji participacije - angažiranje mase*

Ton	U [ $\alpha=0^\circ$ ]	U [ $\alpha=90^\circ$ ]
9	0.00	2.41
10	0.03	0.00
$\Sigma U$ (%)	99.91	94.60

*Prečne sile v osnovi*

Obtežni primer	Kot $\alpha$ [°]	VtB [kN] (Modal)
smer x	0	2009.70
smer y	90	2655.98

### 4.3 Stene

Stene so iz betona kvalitete C30/37. V smeri črkovnih (vodoravnih) osi imajo debelino 20 cm, v smeri številčnih (vertikalnih) osi pa debelino 16 cm. Za dimenzioniranje armiranobetonskih sten je potrebno upoštevati določila standarda SIST EN 1992-1 in SIST EN 1998-1.

Ob vpetju sten je potrebno upoštevati možnost povečanja prečnih sil zaradi plastifikacije. Glede na standard SIST EN 1998, člen 5.4.2.4(7), zahtevi zadostimo, če upoštevamo projektne prečne sile, ki so za 50% večje od tistih, določenih z analizo.

Preglednica 1: Projektni učinki potresnih vplivov

Dilatacija	POZICIJA	GEOMETRIJA		OBREMENITVE						
	Oznaka stene	Dolžina [m]	Širina [m]	Ned,max [kN]	1.5*Ved	N(Ved,max)	My,min	N(My,min)	My,max	N(My,max)
Dilatacija 6	26	7,34	0,16	995	690	0	749	548	1370	723
	33	9	0,16	1091	550	0	297	540	2032	833
	A-31	0,49	0,2	458	53	0	2	56	61	224
	A-32	0,63	0,2	368	82	0	2	187	46	135

#### 4.3.1.1 Omejitve osne obremenitve sten

Normirana osna sila  $v_d$  v primarnih potresnih stenah glede na standard SIST EN 1998, člen 5.4.3.4.1(2), ne sme preseči 0'4.

$$v_d = \frac{N_{Ed}}{A_c f_{cd}} \leq 0'4$$

Prečna armatura v robnih elementih se lahko določi samo v skladu s SIST EN 1992-1, če je izpolnjen pogoj

$$v_d = \frac{N_{Ed}}{A_c f_{cd}} \leq 0'15$$

Vse stene zadostujejo pogoj  $v_d < 0'15$ , armaturo se določi glede na zahteve SIST EN 1992-2.

Dilatacija	POZICIJA	GEOMETRIJA		OBREMENITVE	KONTROLA TLAČNE NAPETOSTI
	Oznaka stene	Dolžina [m]	Širina [m]	Ned,max [kN]	vd [%]
Dilatacija 6	26	7,34	0,16	995	0,04
	33	9	0,16	1091	0,04
	A-31	0,49	0,2	458	0,23
	A-32	0,63	0,2	368	0,15

Normirana osna sila  $v_d$  v slopih (stebrih) glede na standard SIST EN 1998, člen 5.4.3.4.1(2), ne sme preseči 0'65.

$$v_d = \frac{N_{Ed}}{A_c f_{cd}} \leq 0'65$$

#### 4.3.2 Strižna odpornost sten

Ob vpetju sten se strižno odpornost ob upoštevanju člena 5.4.2.4 standarda SIST EN 1998-1 zagotovi tako, da se projektne strižne sile dobljene z analizo poveča za 50 %. V spodnji preglednici je podan izračun potrebne strižne armature za vse stene ob vpetju.

Preglednica 3: Potrebna strižna armatura v pritličju

Dilatacija	POZICIJA		GEOMETRIJA			MATERIALBREMENIT		STRIŽNA ODPORNOST						
	Oznaka stene	Dolžina [m]	Širina [m]	Višina [m]	fck [Mpa]	1.5*Ved	$\phi$ stremena	s	Asw.dej/s	Vrd.s	Asw.potr/s	Vrd.max	Vrd.s	Ved/Vrd [%]
Dilatacija 6	26	7,34	0,16	3,365	30	690	8	15	6,70	4,72	2843	981	70	
	33	9	0,16	3,365	30	550	8	15	6,70	3,76	2843	981	56	
	A-31	0,49	0,2	3,365	30	53	8	15	6,70	0,36	3553	981	5	
	A-32	0,63	0,2	3,365	30	82	8	15	6,70	0,56	3553	981	8	

#### 4.4 Temeljenje objekta

Objekt se temelji s temeljno ploščo debeline 35 cm, ki je točkovno podprta s piloti.

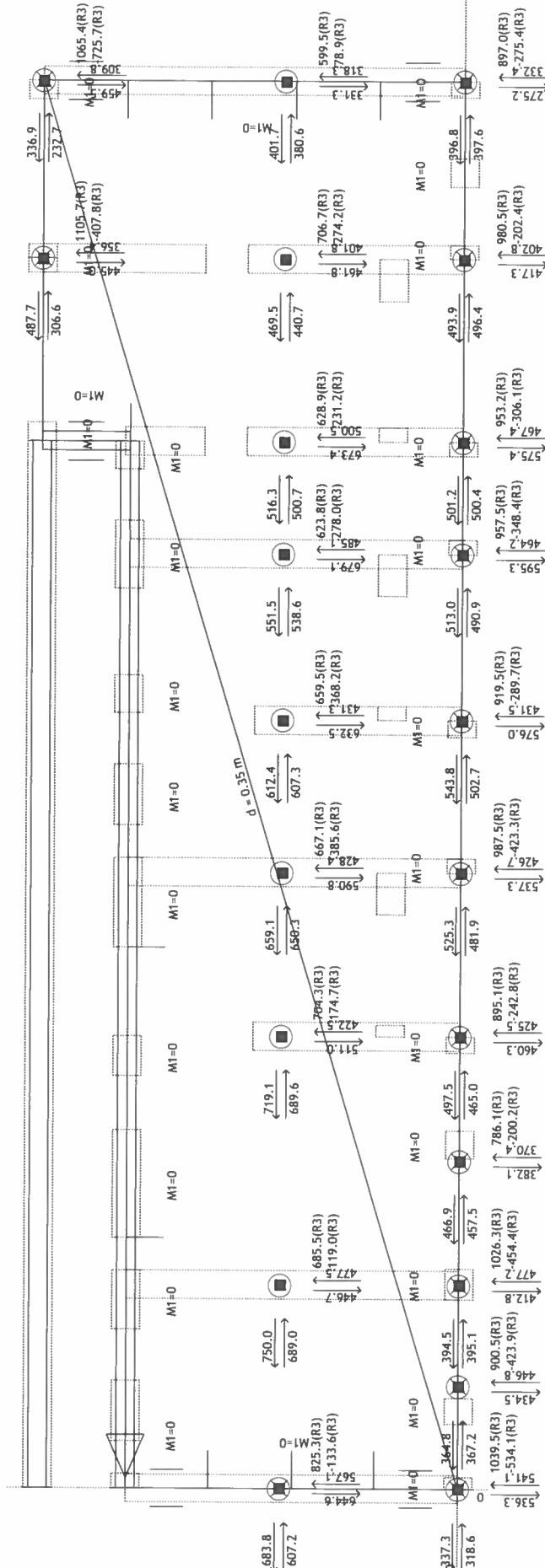
Potresna obremenitev na pilote je izračunana pri elastičnem potresu (oz.  $q = 1$ ).

Reakcije na pilote so dobljeni s programom Tower – 3D in Sofistik. Dimenzioniranje pilota je izvedeno v programu DIAS za vse objekte.

OBJEKT A - dil 6

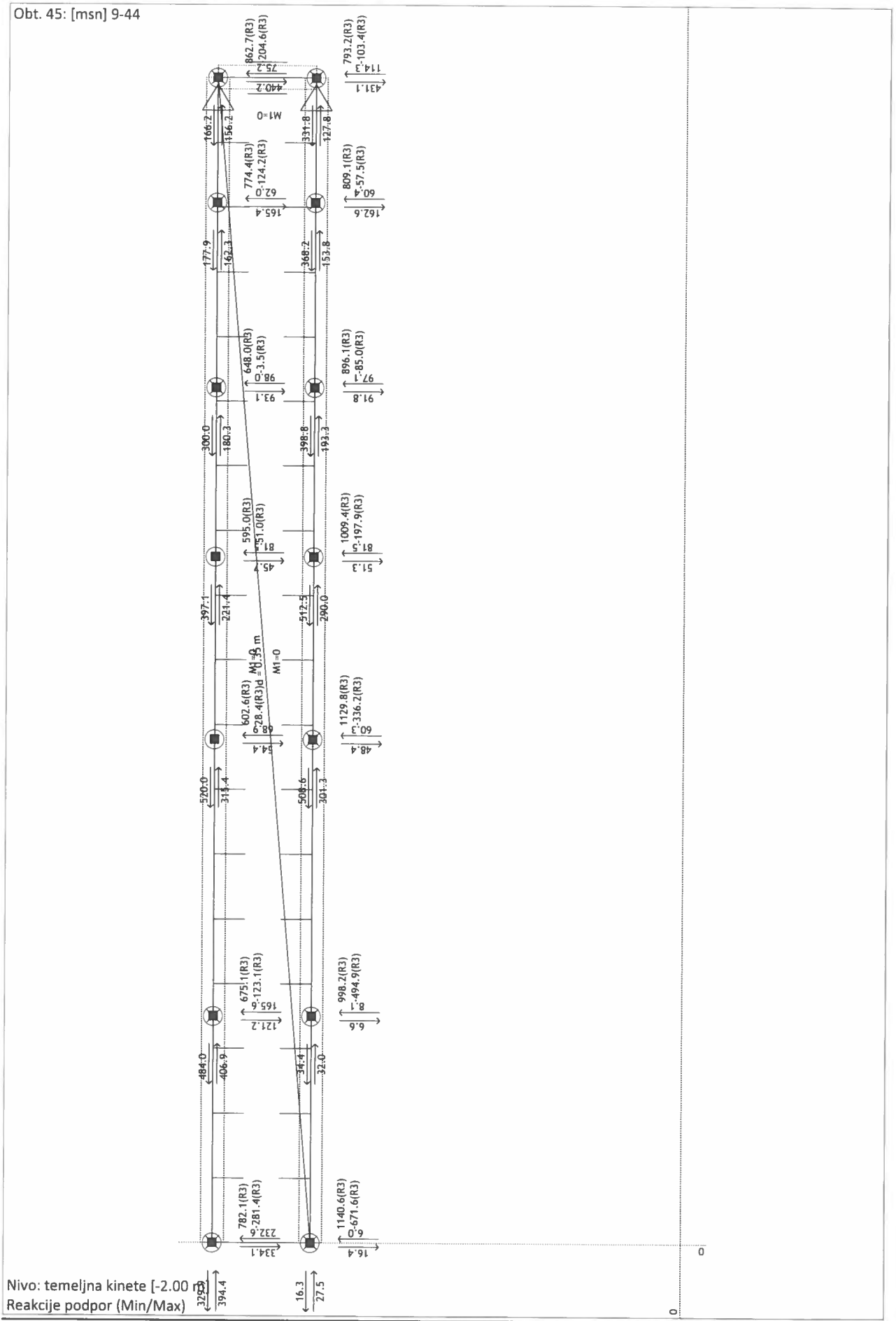
Statični preračun

Obt. 45: [msn] 9-44



Nivo: temeljna [0.00 m]  
 Reakcije podpor (Min/Max)

Obt. 45: [msn] 9-44



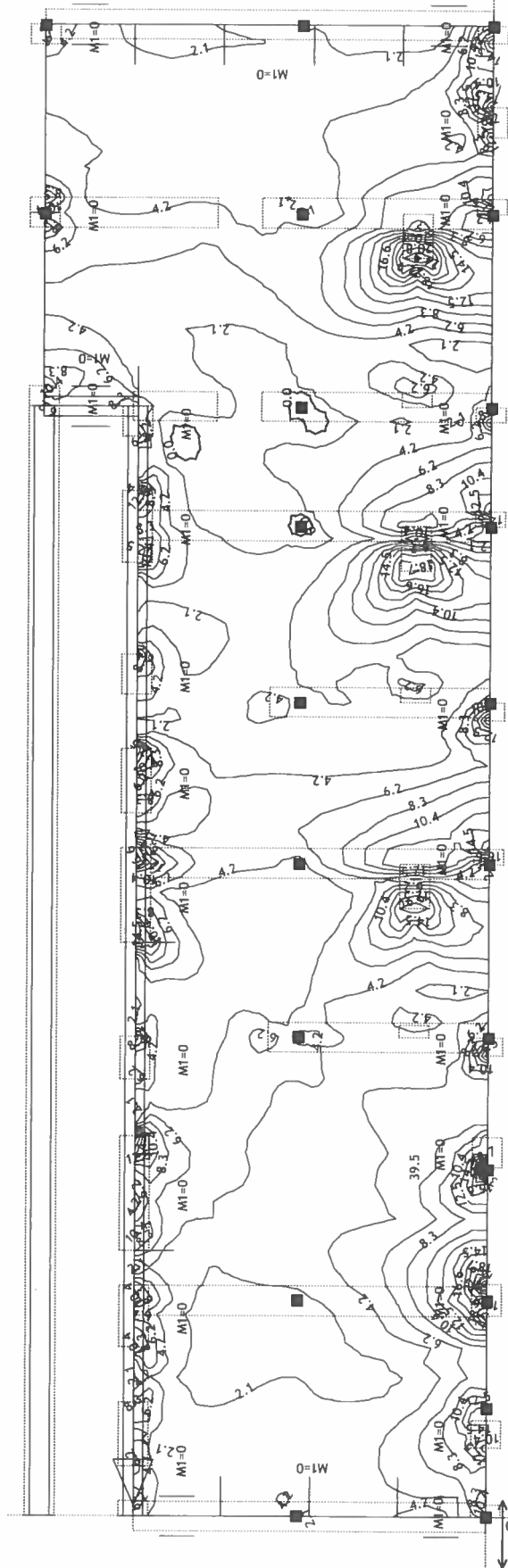
A182

OBJEKT (A) - dil (B)

**Dimenzioniranje (beton)**

Merodajna obtežba: 9-44

EC 2 (EN 1992-1-1:2004), C 30, S500H, a=4.00 cm

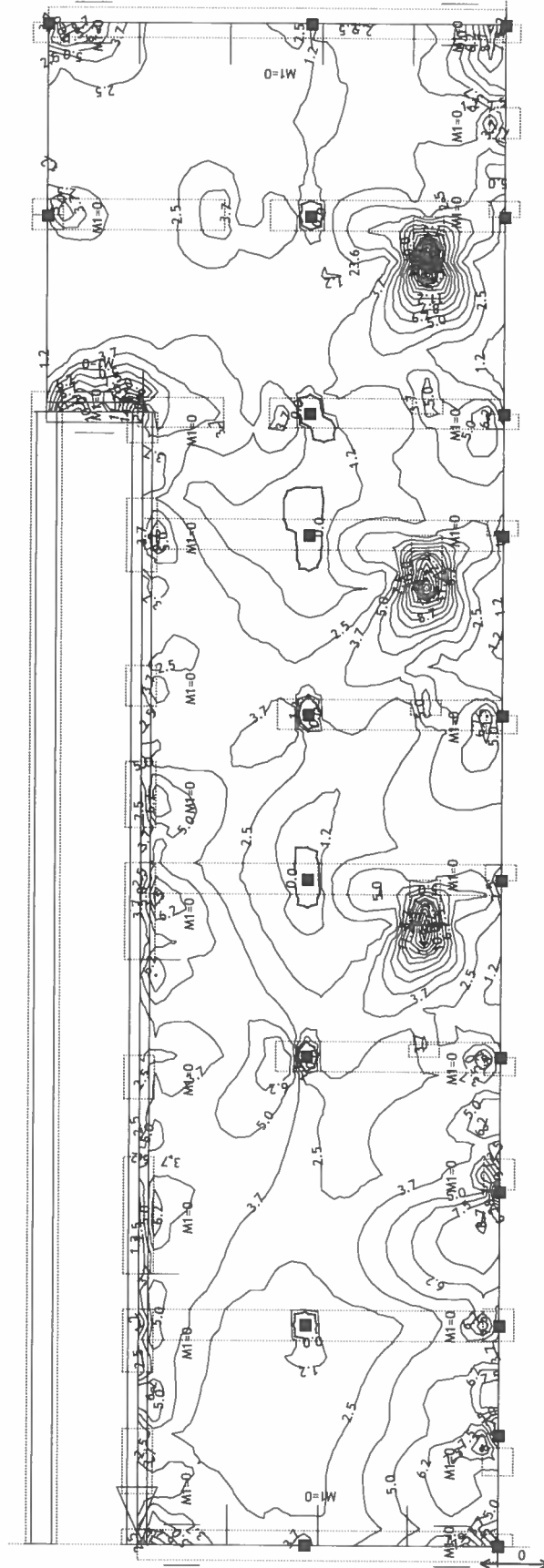


Nivo: temeljna [0.00 m]

Aa - sp.cona - Smer 1 - max Aa1,s= 39.5 cm<sup>2</sup>/m

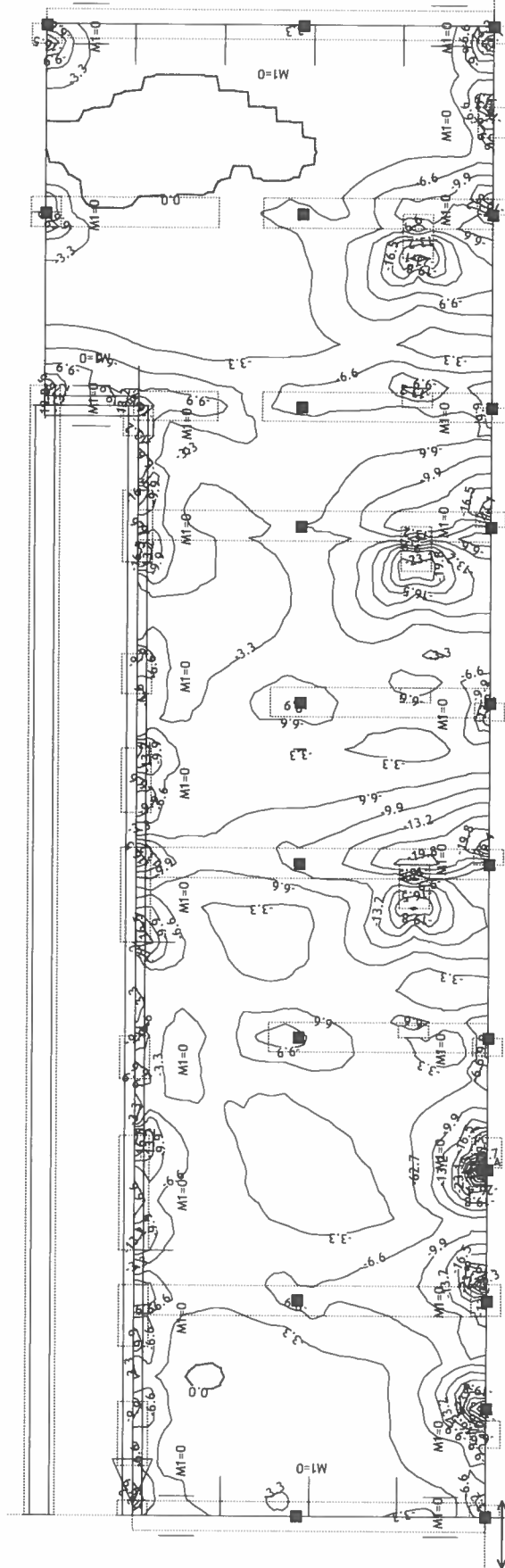
A183

Merodajna obtežba: 9-44  
EC 2 (EN 1992-1-1:2004), C 30, S500H, a=4.00 cm



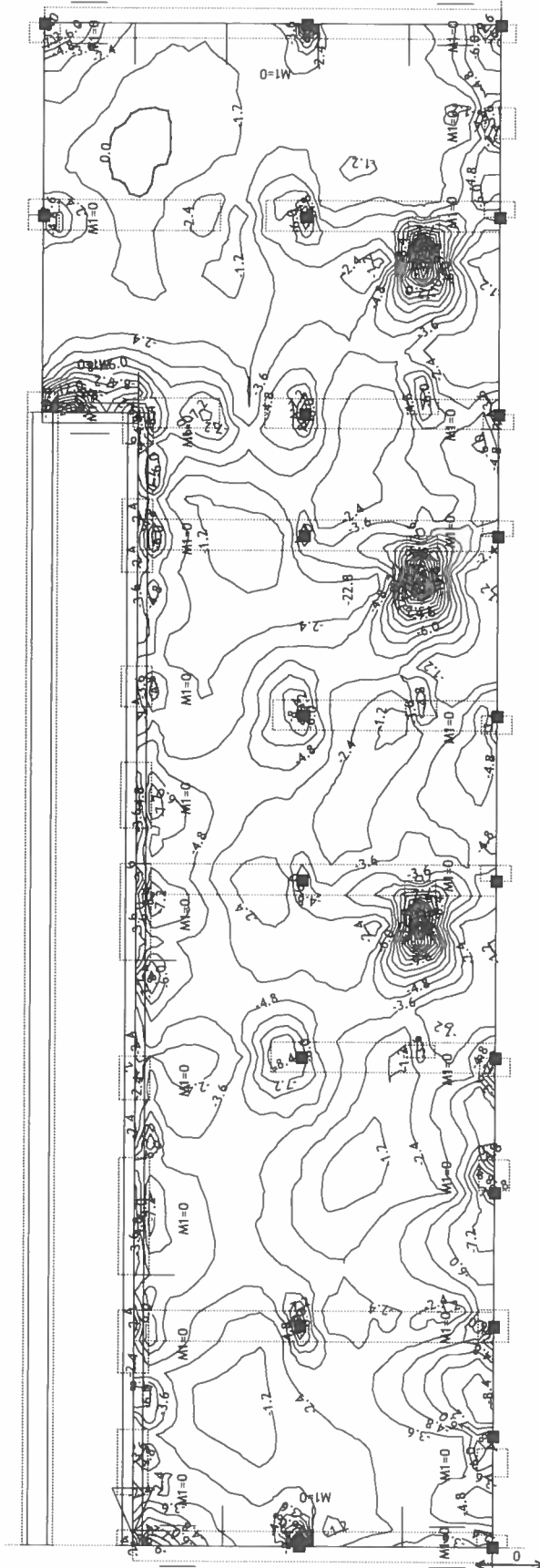
Nivo: temeljna [0.00 m]  
Aa - sp.cona - Smer 2 - max Aa2,s= 23.6 cm<sup>2</sup>/m

Merodajna obtežba: 9-44  
EC 2 (EN 1992-1-1:2004), C 30, S500H, a=4.00 cm



Nivo: temeljna [0.00 m]  
Aa - zg.cona - Smer 1 - max Aa<sub>1,z</sub> = -62.7 cm<sup>2</sup>/m

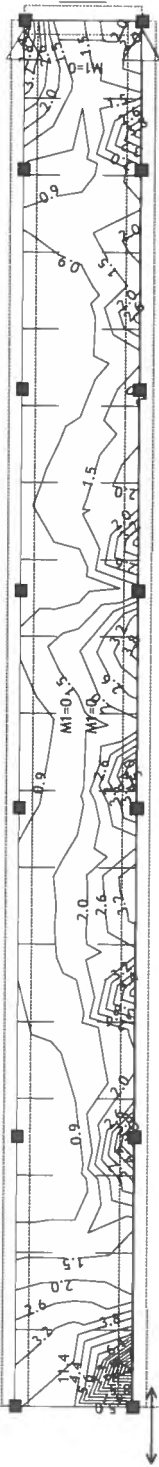
Merodajna obtežba: 9-44  
EC 2 (EN 1992-1-1:2004), C 30, S500H, a=4.00 cm



Nivo: temeljna [0.00 m]  
Aa - zg.cona - Smer 2 - max Aa2,z= -22.8 cm<sup>2</sup>/m

Merodajna obtežba: 9-44

EC 2 (EN 1992-1-1:2004), C 30, S500H, a=2.00 cm

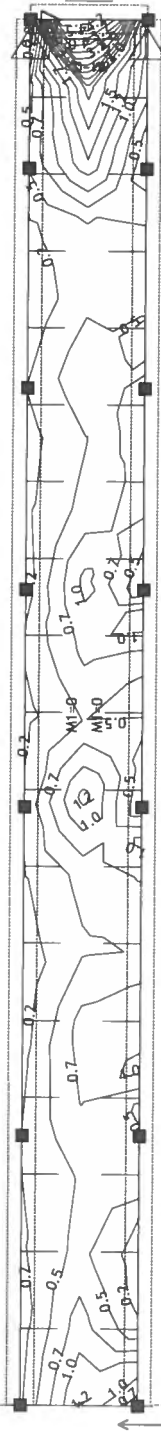


Nivo: temeljna kinete [-2.00 m]

Aa - sp.cona - Smer 1 - max Aa1,s= 11.4 cm²/m

Merodajna obtežba: 9-44

EC 2 (EN 1992-1-1:2004), C 30, S500H, a=2.00 cm



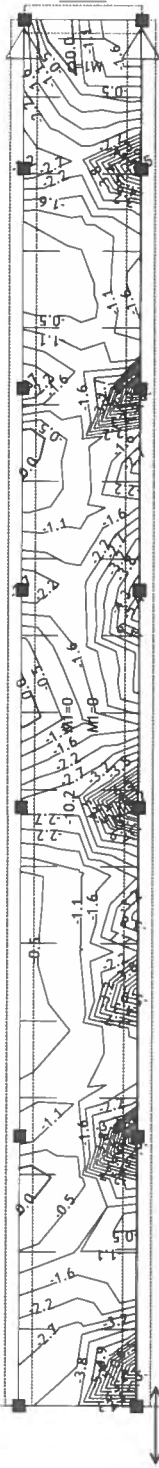
Nivo: temeljna kinete [-2.00 m]

Aa - sp.cona - Smer 2 - max Aa2,s= 4.7 cm²/m

A187

Merodajna obtežba: 9-44

EC 2 (EN 1992-1-1:2004), C 30, S500H, a=2.00 cm

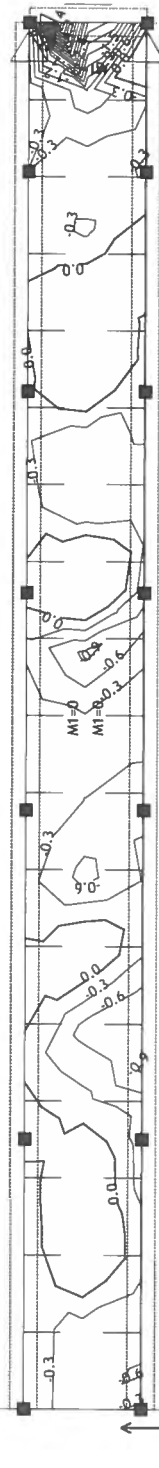


Nivo: temeljna kinete [-2.00 m]

Aa - zg.cona - Smer 1 - max Aa1,z= -10.2 cm<sup>2</sup>/m

Merodajna obtežba: 9-44

EC 2 (EN 1992-1-1:2004), C 30, S500H, a=2.00 cm



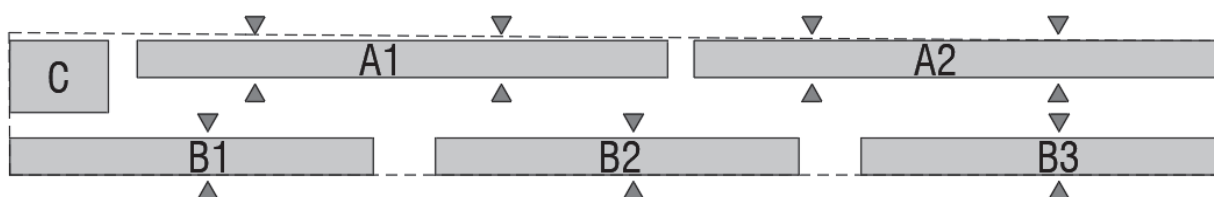
Nivo: temeljna kinete [-2.00 m]

Aa - zg.cona - Smer 2 - max Aa2,z= -5.7 cm<sup>2</sup>/m

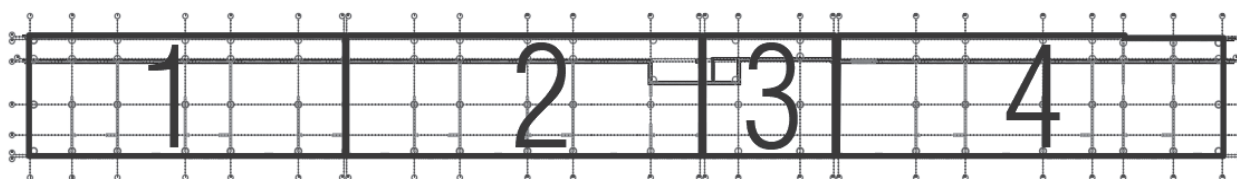
## 5 Objekt B – splošno

### 5.1 Opis konstrukcije

=o' o>i% oš a...na...a ošje...te 5", 5! in 5' stano...anjs...e soses...e Ůa...e...a e%a ž +4e3 ats...a ~a2no' eŮte... ošje...to... stano...anjs...e soses...e je...iŮna na s% i ". Nosi%a...e onst' u...ija soses...e je a' 3 i' ano Őetons...a. T% isno so ošje...ti 5", 5! in 5' ena...i in so 3 eŮsešoj no...e2ani s noŮe3 ni3 4oŮni...o3 . Ošje...ti so Ůoeta9ni...iŮne <E ) 3 . : unanja t% isna Ů3 en2ija no...sa3 e2ne8a ošje...ta je <E ) 3 F < ' E' , 3 . Ošje...ti so naŮe3 no' a2Ůe%eni na , Ů%ta ijs...e enote \*% a ! + : unanji 4oŮni...i se na ošje...t no...e2ujejo to>...e...no, Ů' e...o žo...o š e%3 ento...i.



Slika 1: Razporeditev objektov stanovanjske soseske Rakova Jelša II



Slika 2: Dilatacijske enote posameznega objekta

## 6 Objekt B – dilatacija 1

### 6.1 Plošče

=%C>e Ů3 en2ionĩ a3 o 8%Ůe na Ůo%>i% stanŮa Ůa + ģT EN "<<! ; " ; ". k ŮoŮ aŮi se Ťeton C' #G - . DeŤe%na Ů%Ů> je "( 3 , Ťa%onsĩ i Ůe%Ůa ") 3 .

6 ini3 a%a Ůno8iŤna aŮ 3 atŮ a  $A_{s,min}$  je s >%no3 <! . " . " \* + Ůo%>ena ģ ot

$$A_{s,min} = 0.26 \frac{f_{ctm}}{f_{yk}} b_t d = 0.26 \frac{0.29}{50} 100 \cdot 16 = 2.4 \text{ cm}^2/\text{m} \geq 0.0013 b_t d = 2.1 \text{ cm}^2/\text{m}$$

$f_{ctm}$  H Ť eŮnja... eŮnost osne natezne ģ Ůnosti Ťetona,  $f_{yk}$  H ģ a ģ tē isti>na natezna ģ Ůnost aŮ 3 atŮ e,  $b_t$  H Ť eŮnja ģ ina natezne one,  $d$  H stati>na... ģ na ģ e ģ e2a

Naj...e>ja stoŮnja aŮ 3 ģ anja Ůa je Ůo%>ena s >%no3 <! . " . " \* +

$$A_{s,max} = 0.04 A_c = 72 \text{ cm}^2/\text{m}$$

$A_c$  H Ů%Ůina Ťetonsĩ e8a ģ e ģ e2a

6 eŮeŤojna oŮa%e>nost Ůa% je s >%no3 <! . " . " \* + o3 ejena na  $s_{max} = 3h \leq 400 \text{ mm}$  oŤ3 o>ji4 ģ on enĩ ģ ani4 oŤte9Ť in naj...e>ji4 Ůno8iŤni4 3 o3 ento... Ůa 2  $s_{max} = h \leq 250 \text{ mm}$ .

+tanŮa Ůo3 ejuje Ůo...o%eno ģ inoŮ a2Ůo ģ na #E 3 3 ģ i na...iŮe2no sta%ĩ oŤte9ni ģ o3 Ťina ģ iji.

=oŮ eŤno aŮ 3 atŮ o iŤ a>una3 o 8%Ůe na o...ojni e 3 ejni4 stanj nosi%osti in ŮoŮ aŤnosti. =oŮ eŤna aŮ 3 atŮ a Ů%Ů> je ŮoŮana... naŮa%e...anju.

B na iona%e3 ŮoŮatĩ u stanŮa Ůa + ģT EN "<<# so o3 ejeni...eŮ ti ģ a%ĩ Ůo3 ģ i ģ onŤ Ů ģ ije, ģ ot je to 2aŮisano... ģ e8%Ůni i ". Ůa2%8a Ůo3 ģ o... ģ onŤ Ů ģ ije je na s%ĩ i ' . ģ a>unani Ůo3 ģ i ģ onŤ Ů ģ ije  $w_{tot}$  in  $w_2 + w_3$  so ģ ģ a2ani... naŮa%e...anju.

Preglednica 1: Omejitve navpiĉnih premikov konstrukcije

Del konstrukcije	$w_{max}$	$w_2 + w_3$
*Ť e4e	G ##	G D#
*Ť oŮo...i	G D#	G ##
*Ť oŮo...i, ģ i nosijo ģ 4 ģ e oŤ%8e	G ##	G D#

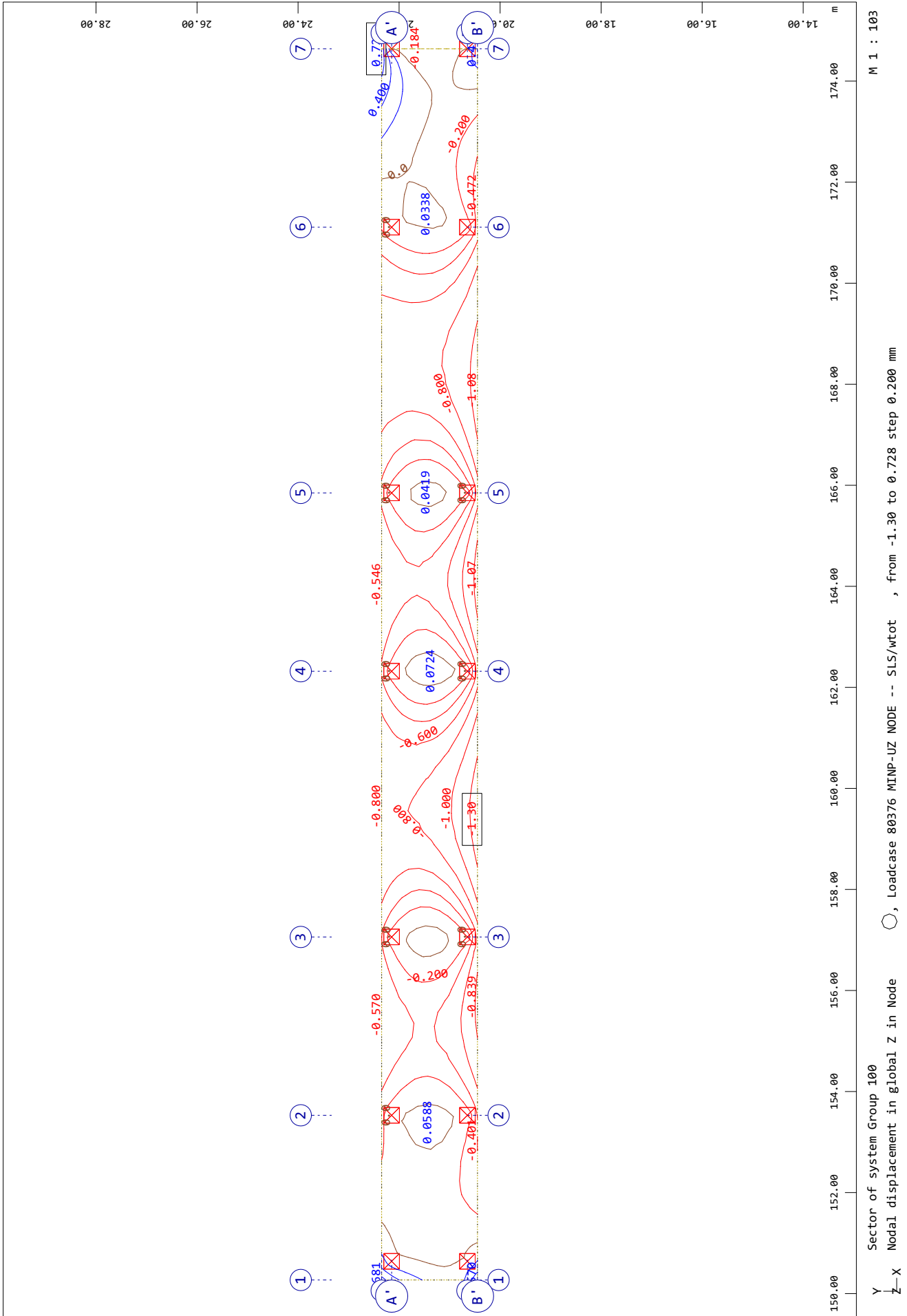
H a2Ůon 3 eŮ Ůe3 a ŮoŮoŮ a3 a a%Ůo>jna Ůo%ina ģ on2o%,  $w_{max}$  H ģ on>ni Ůno8iŤe ģ Ů ŮnoŮe...anje3 naŮiĉanja,  $w_2$  H Ůe%Ůno8iŤe a 2a aŮ Ůo%oŮ ajne8a Ůe%...anja sta%e oŤte9Ťe,  $w_3$  H Ůe%Ůno8iŤe a 2a aŮ sđ e3 en%...i4...o%,  $w_c$  H naŮiĉanje neoŤ e3 ejne8a ģ onŤ Ů ģ ijs e8a e%3 enta,  $w_1$  H 2a>etni Ůe%Ůno8iŤe a 2a aŮ sta%ĩ4...o%,  $w_{tot}$  H e%Ůni Ůno8iŤe



Slika 3: Omejitve pomikov konstrukcije

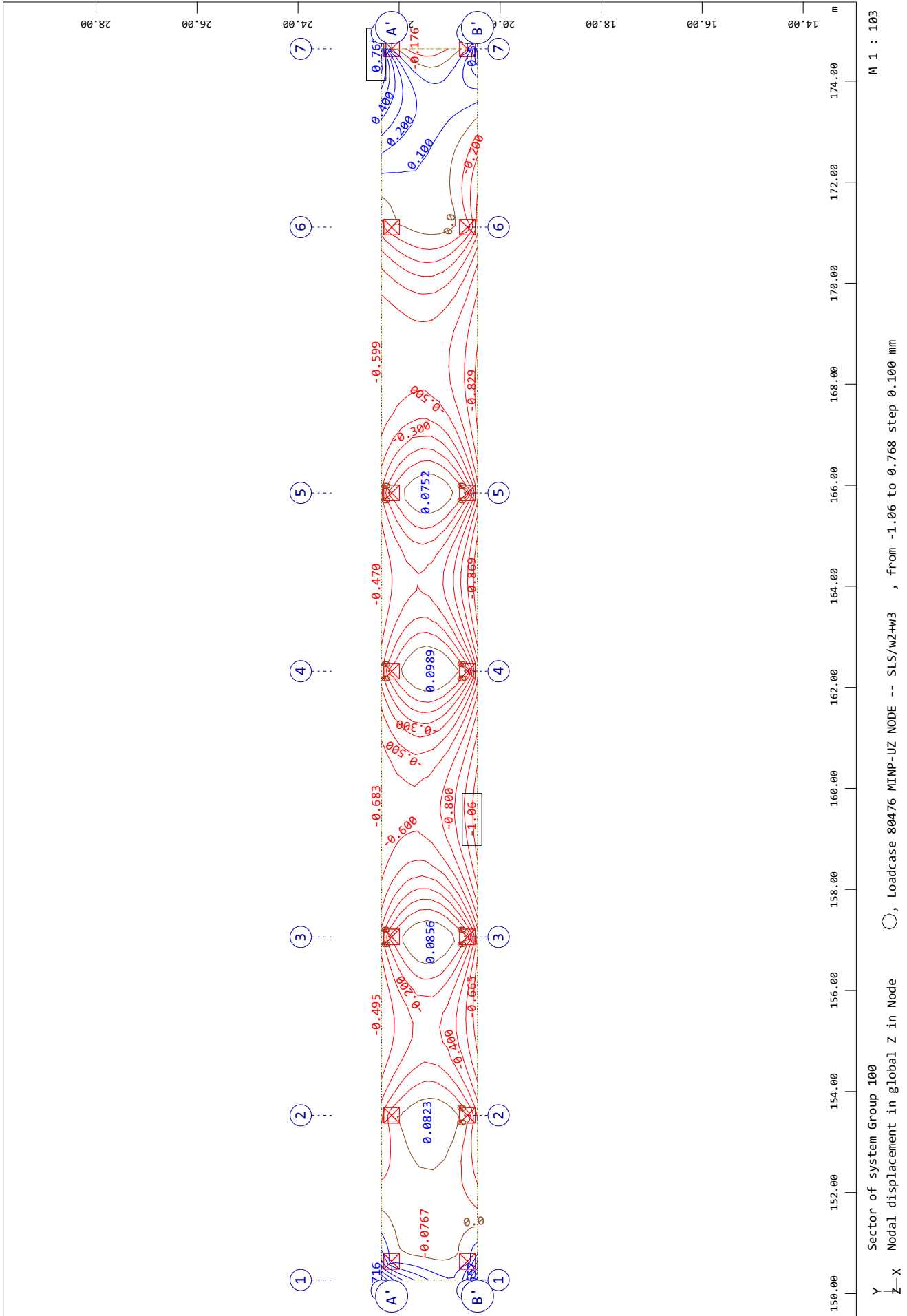
Dilatacija B1

Results



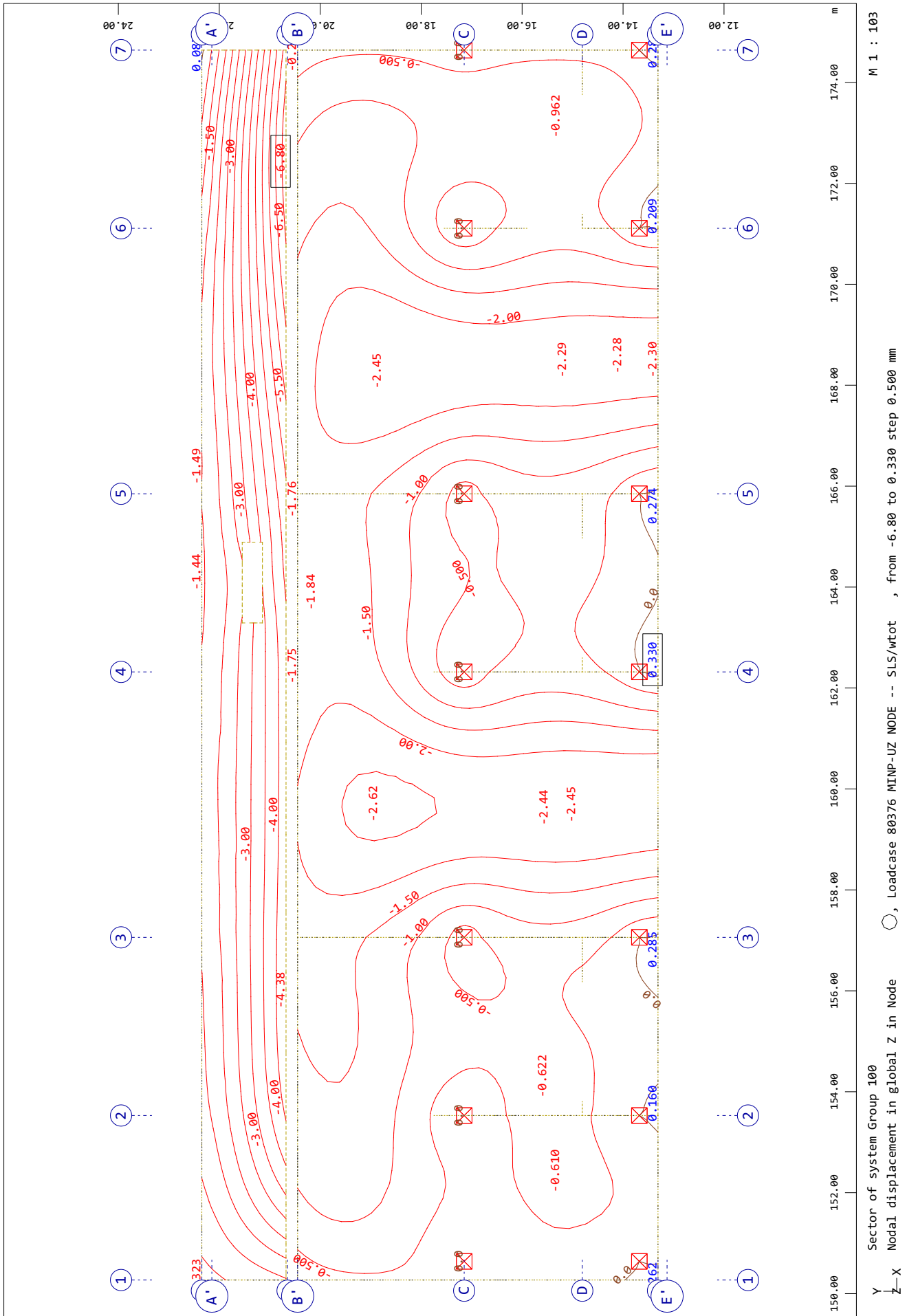
Dilatacija B1

Results



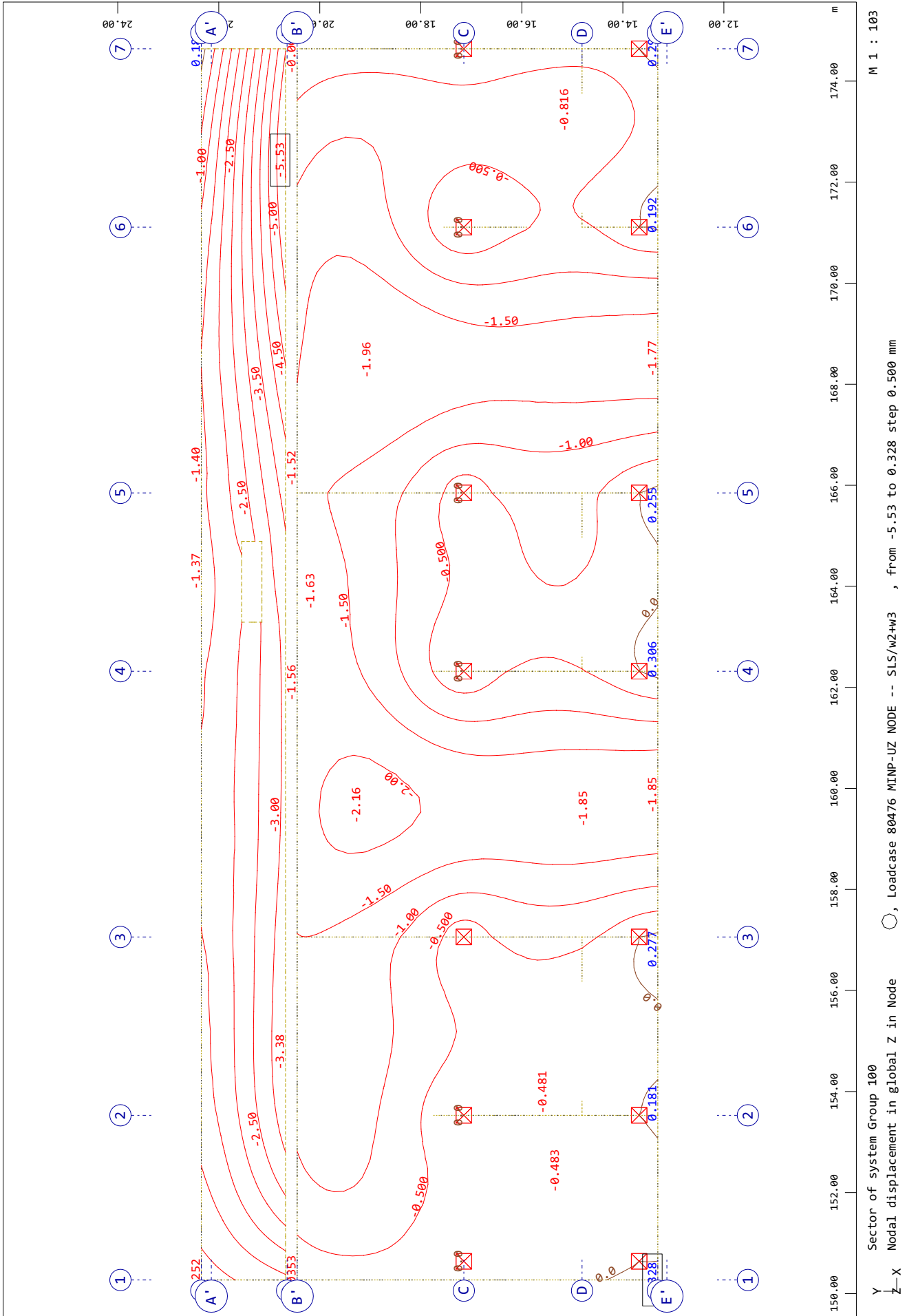
Dilatacija B1

Results



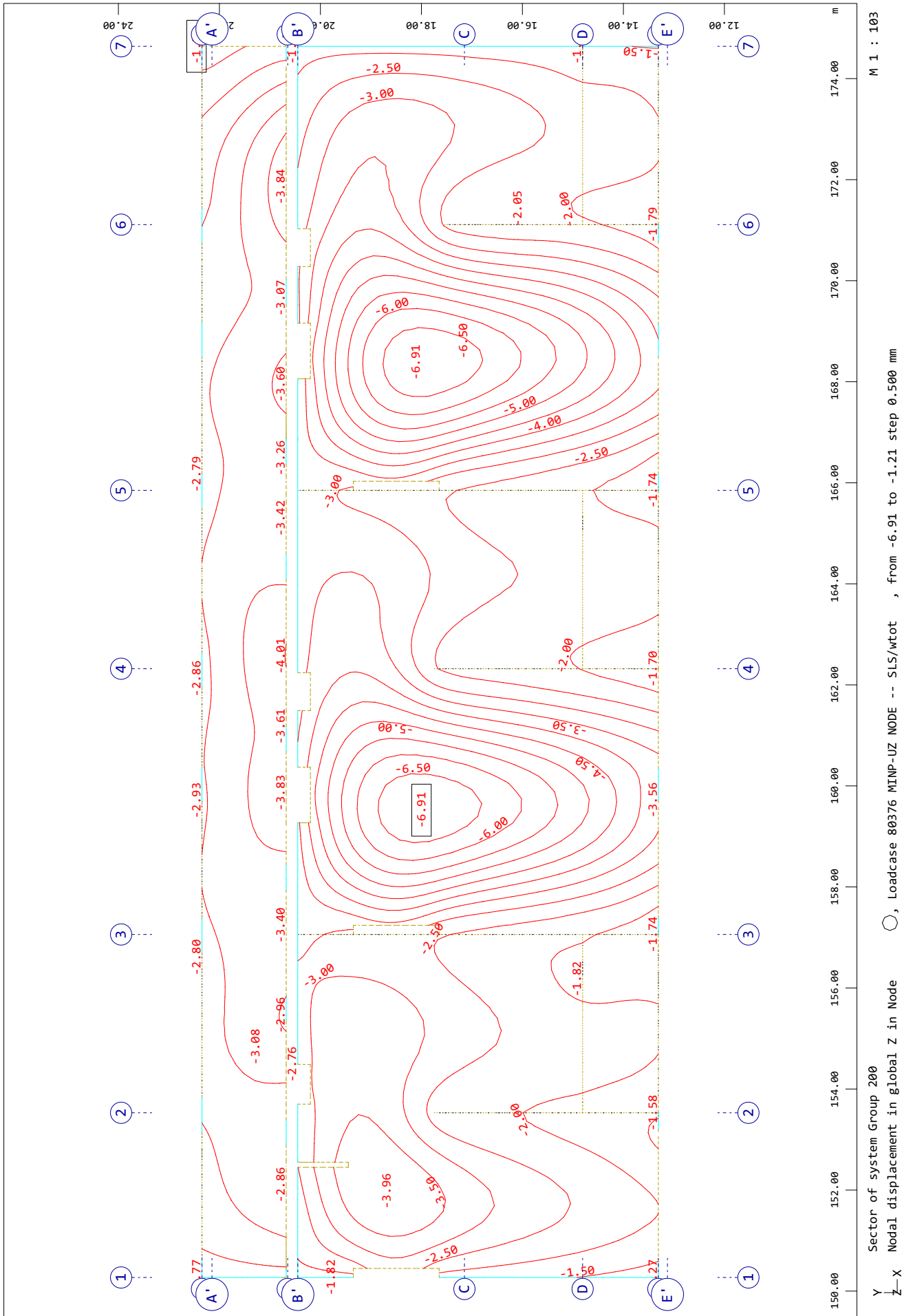
Dilatacija B1

Results



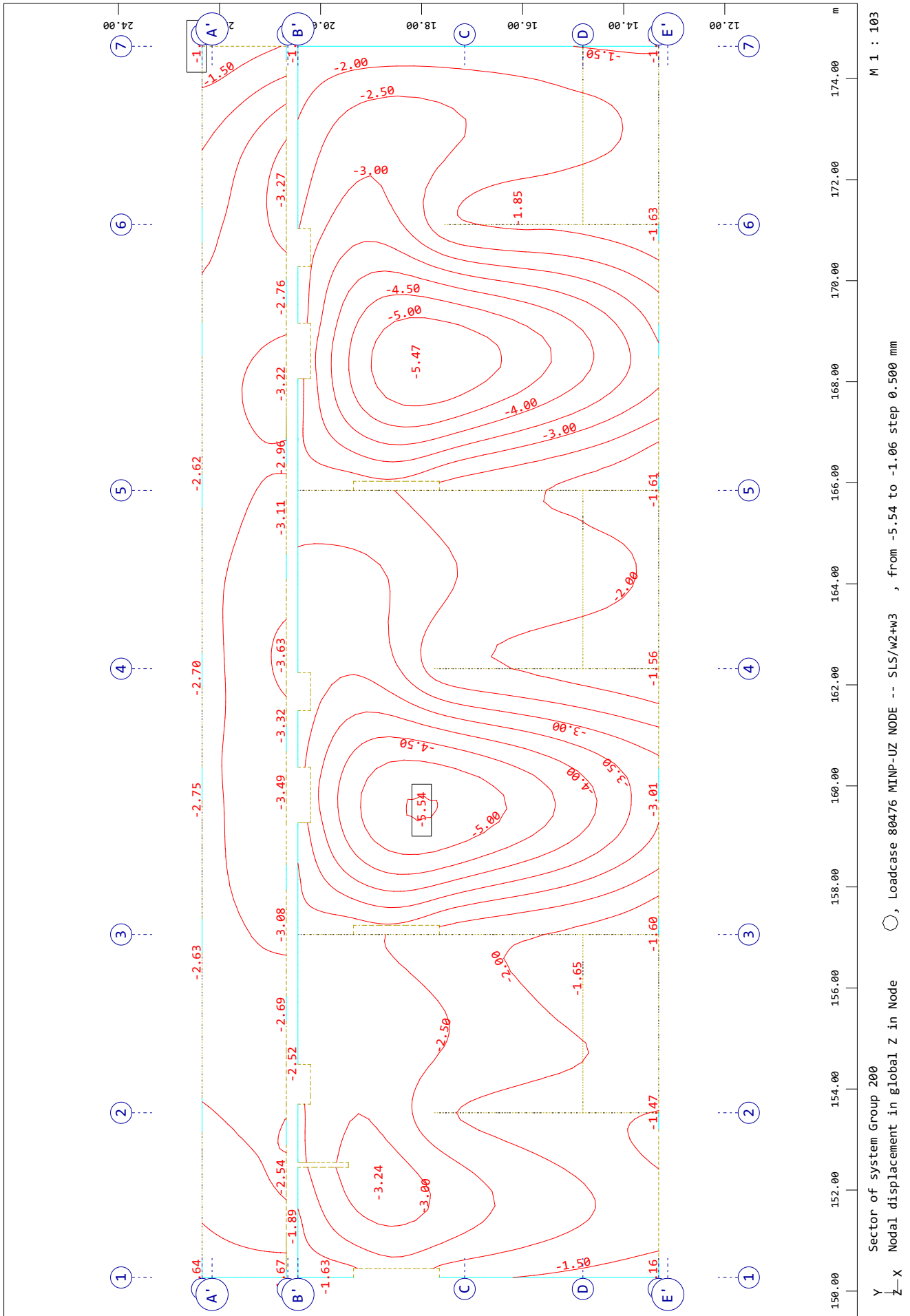
Dilatacija B1

Results



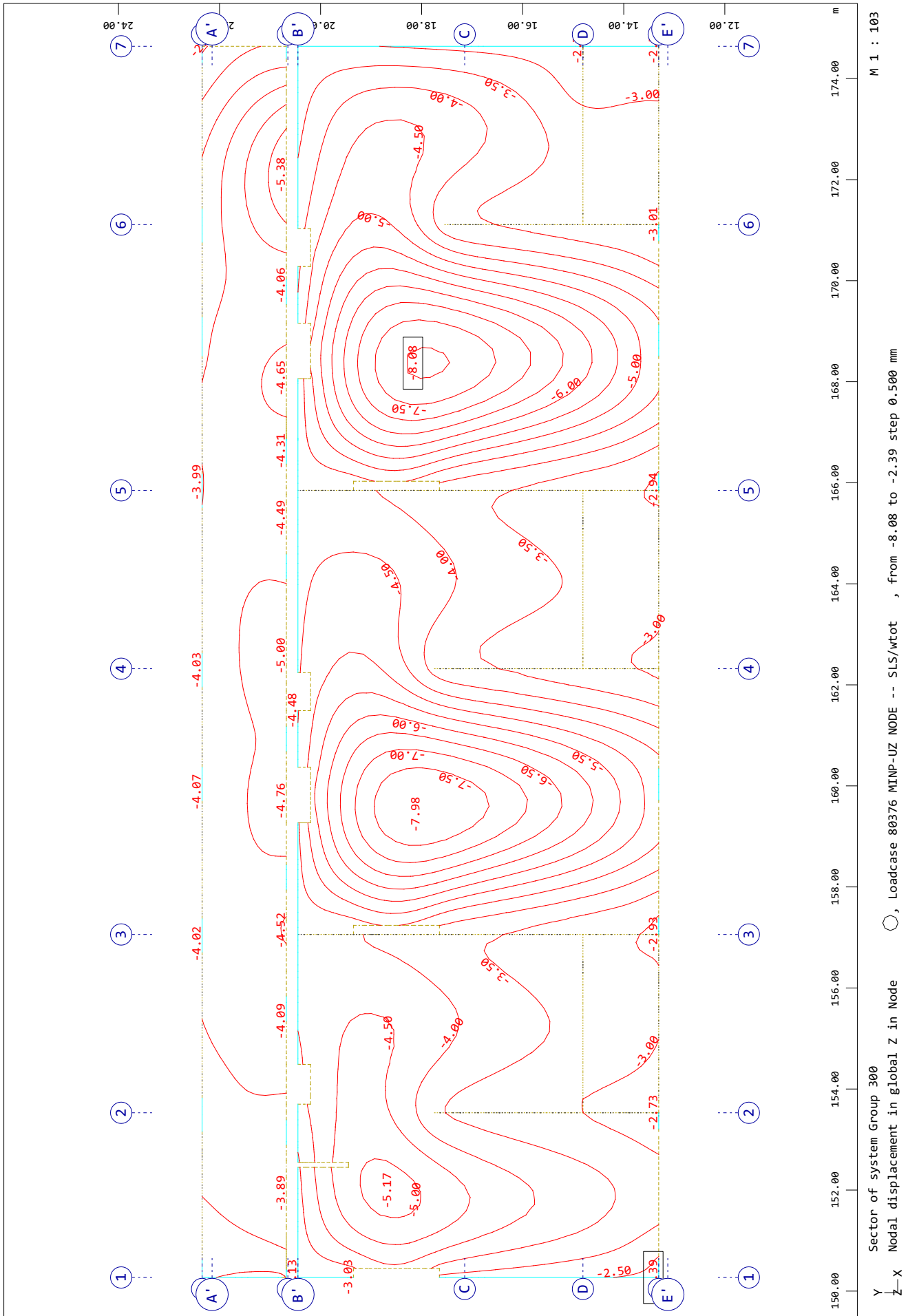
Dilatacija B1

Results



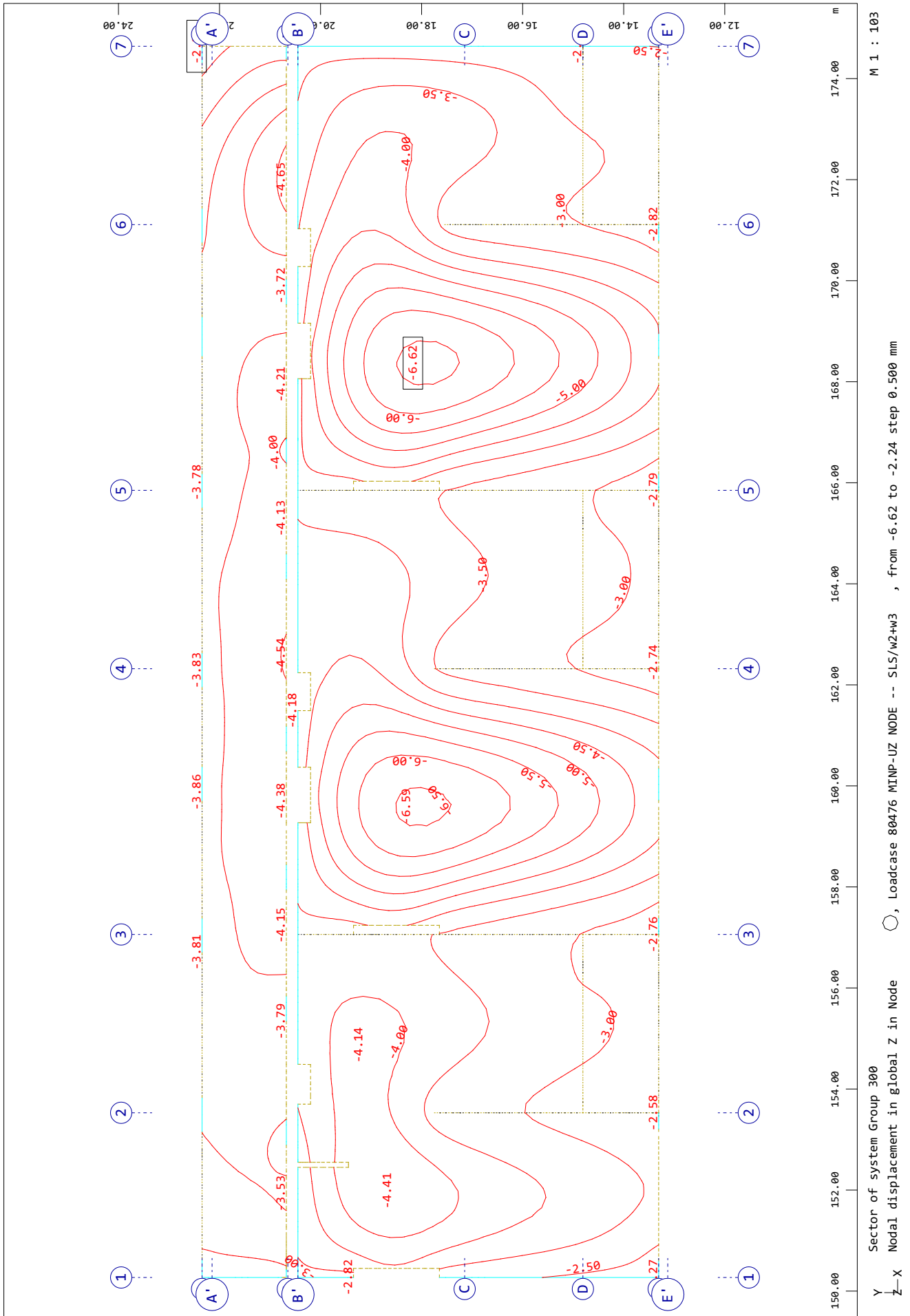
Dilatacija B1

Results



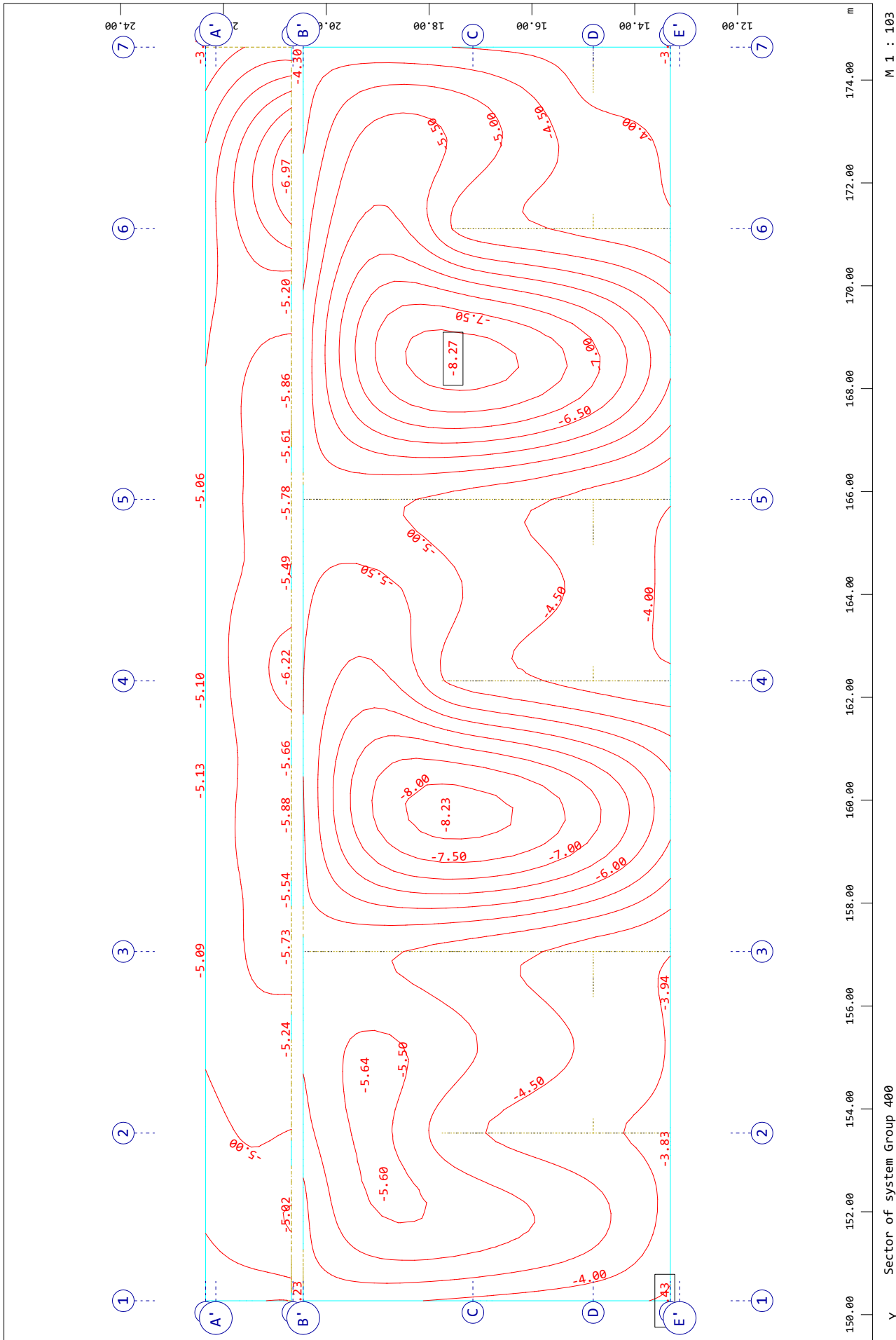
Dilatacija B1

Results



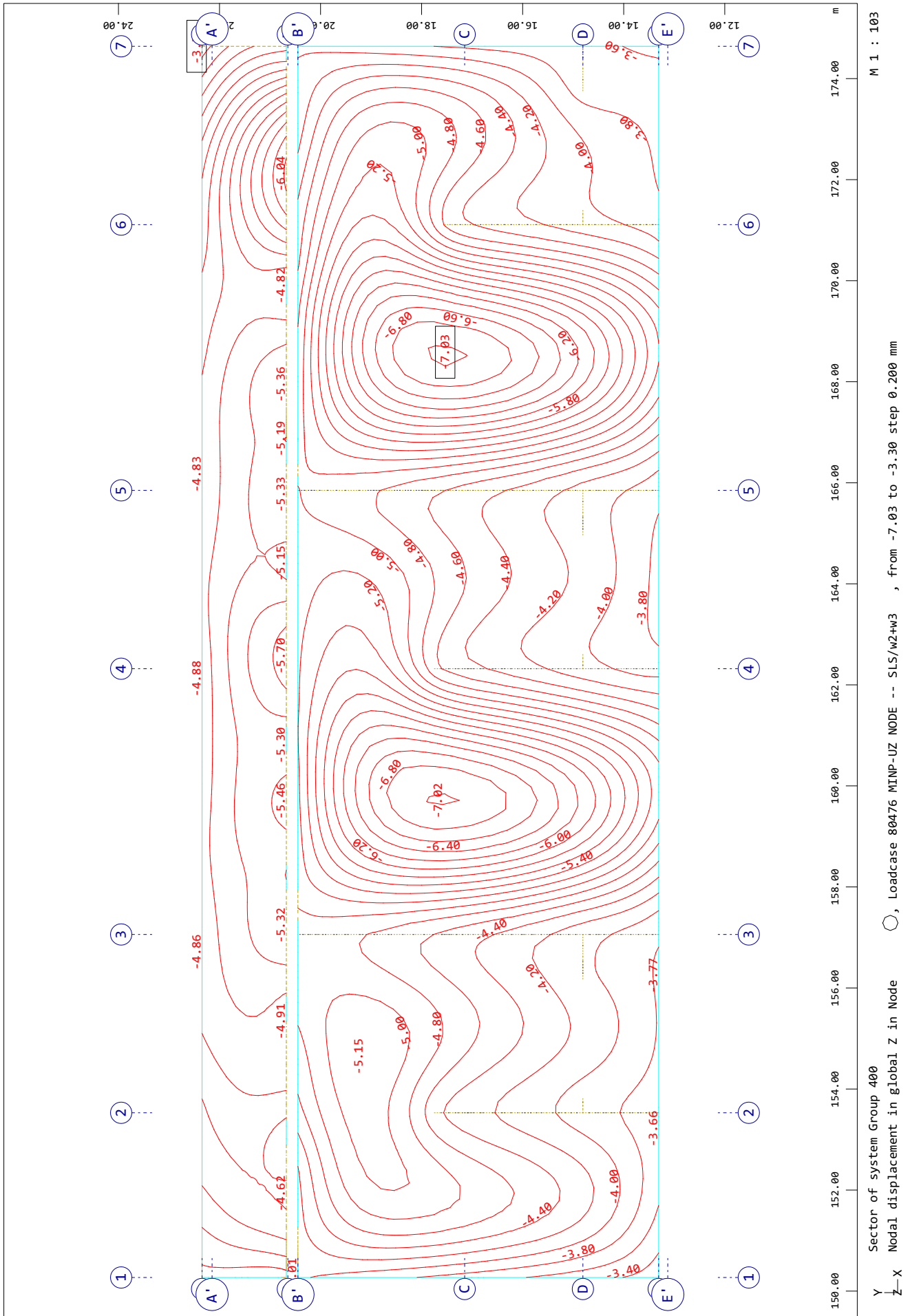
Dilatacija B1

Results



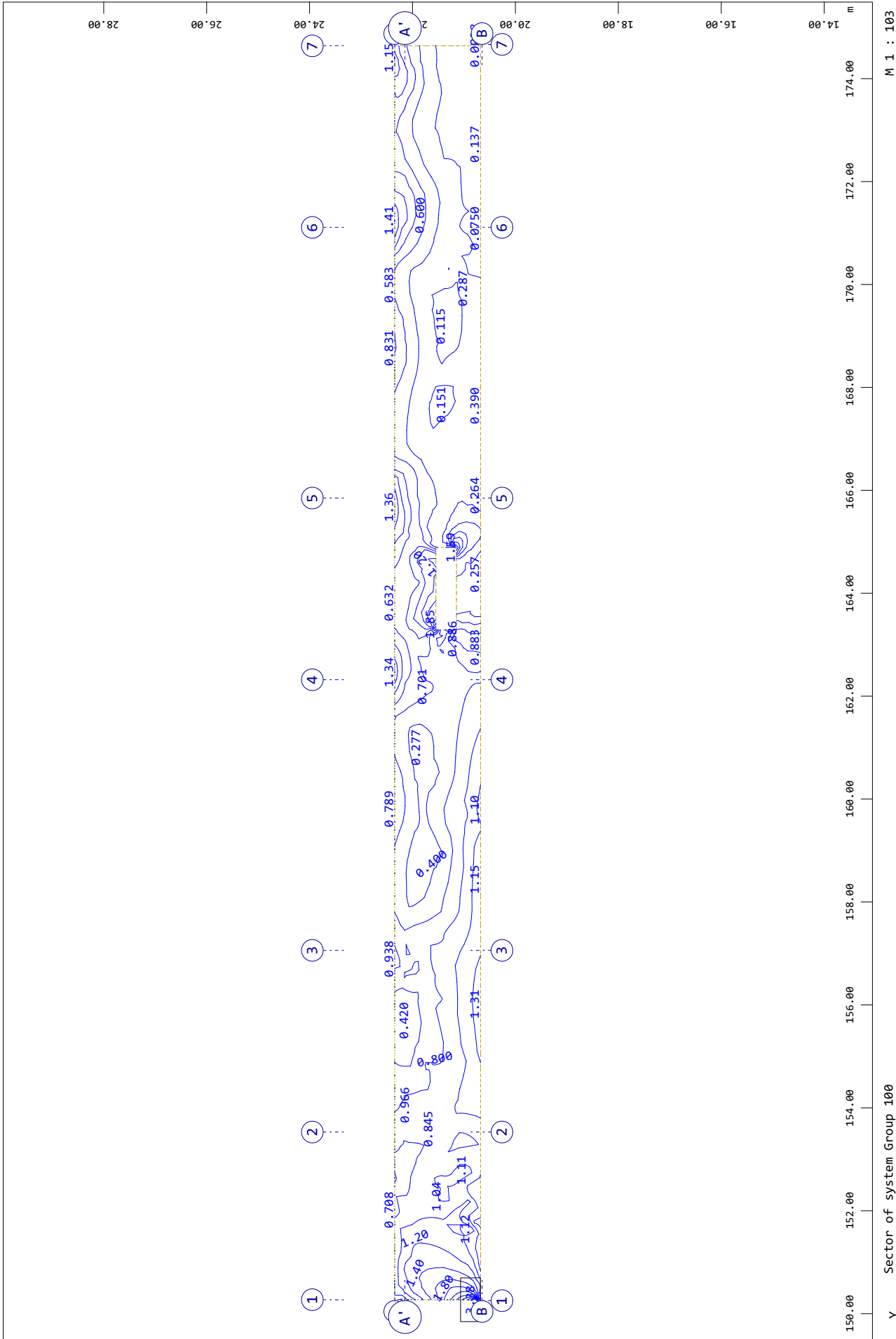
Dilatacija B1

Results



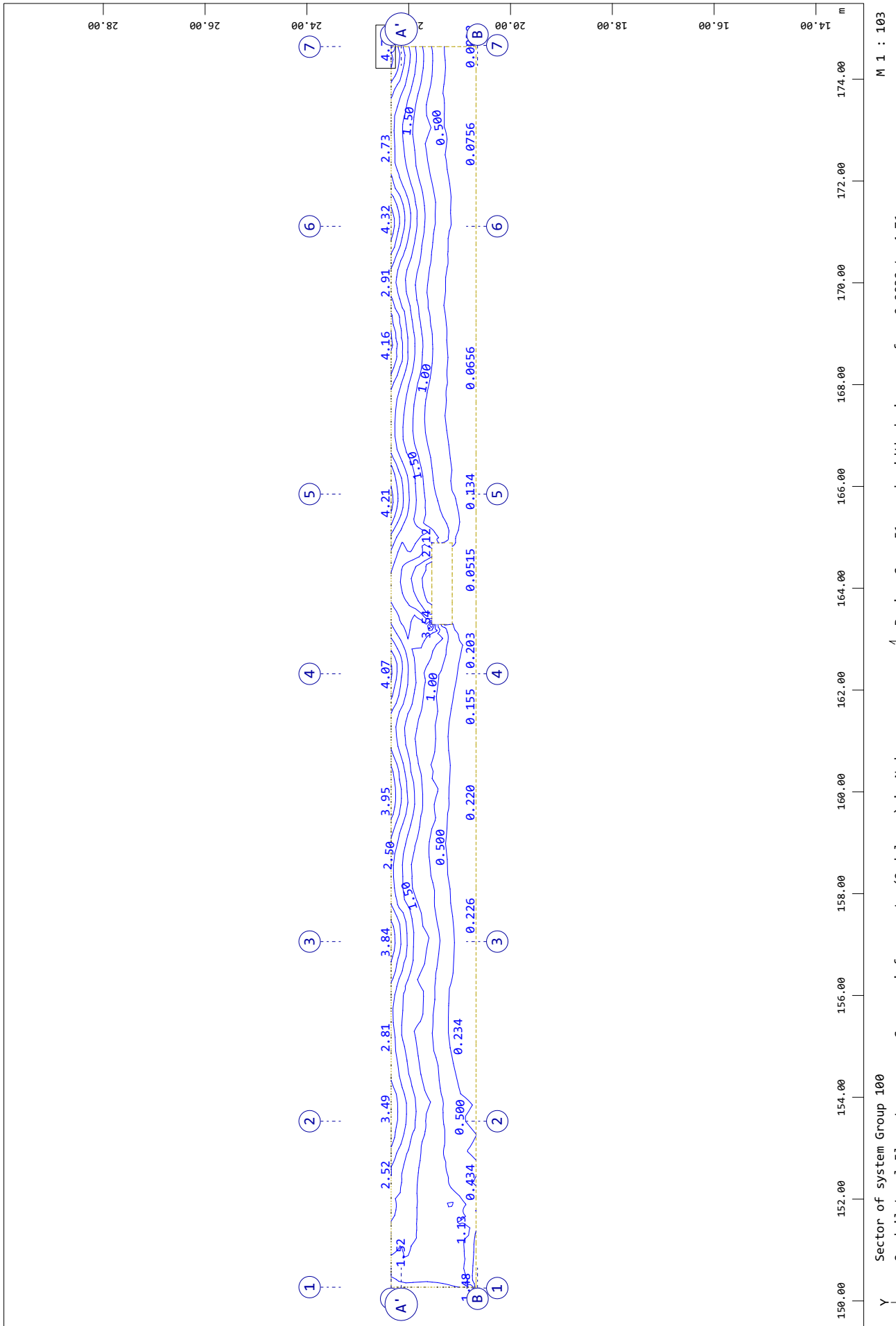
Dilatacija B1

Results



Dilatacija B1

Results

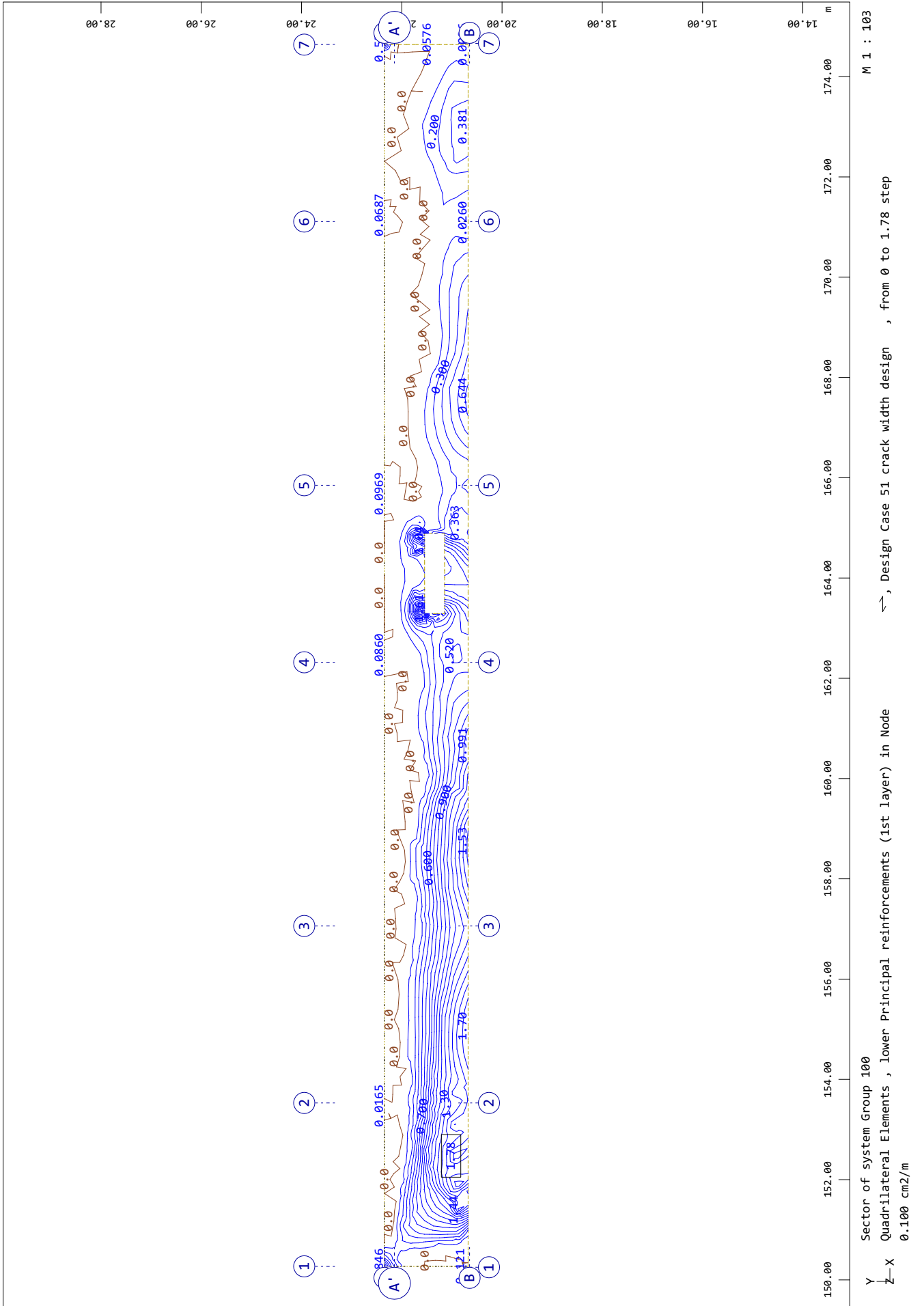


SOFiSTiK AG - www.sofistik.de

Y Sector of system Group 100  
 X Quadrilateral Elements , upper Cross reinforcements (2nd layer) in Node  
 step 0.500 cm2/m  
 1, Design Case 51 crack width design , from 0.0032 to 4.71  
 M 1 : 103

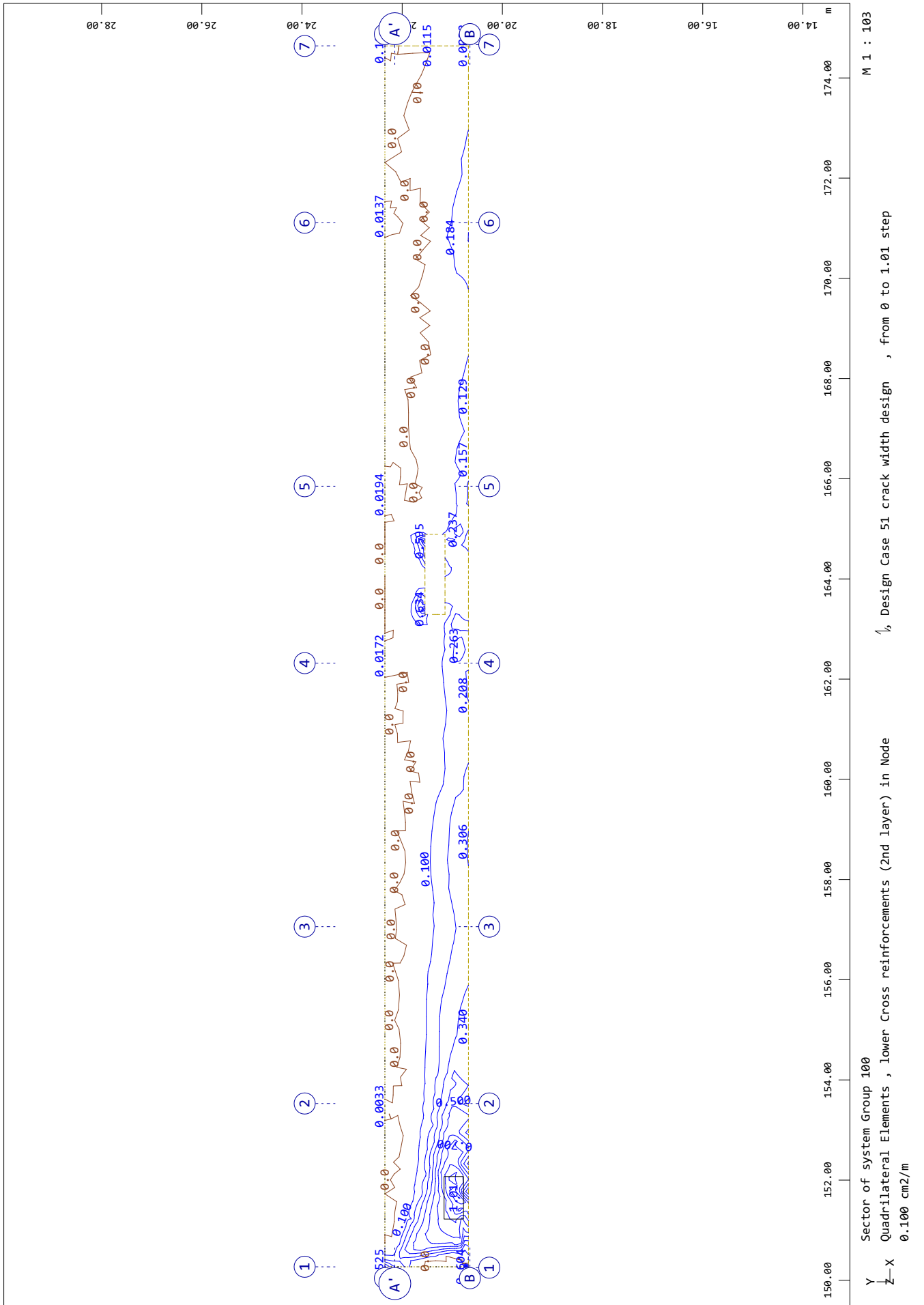
Dilatacija B1

Results



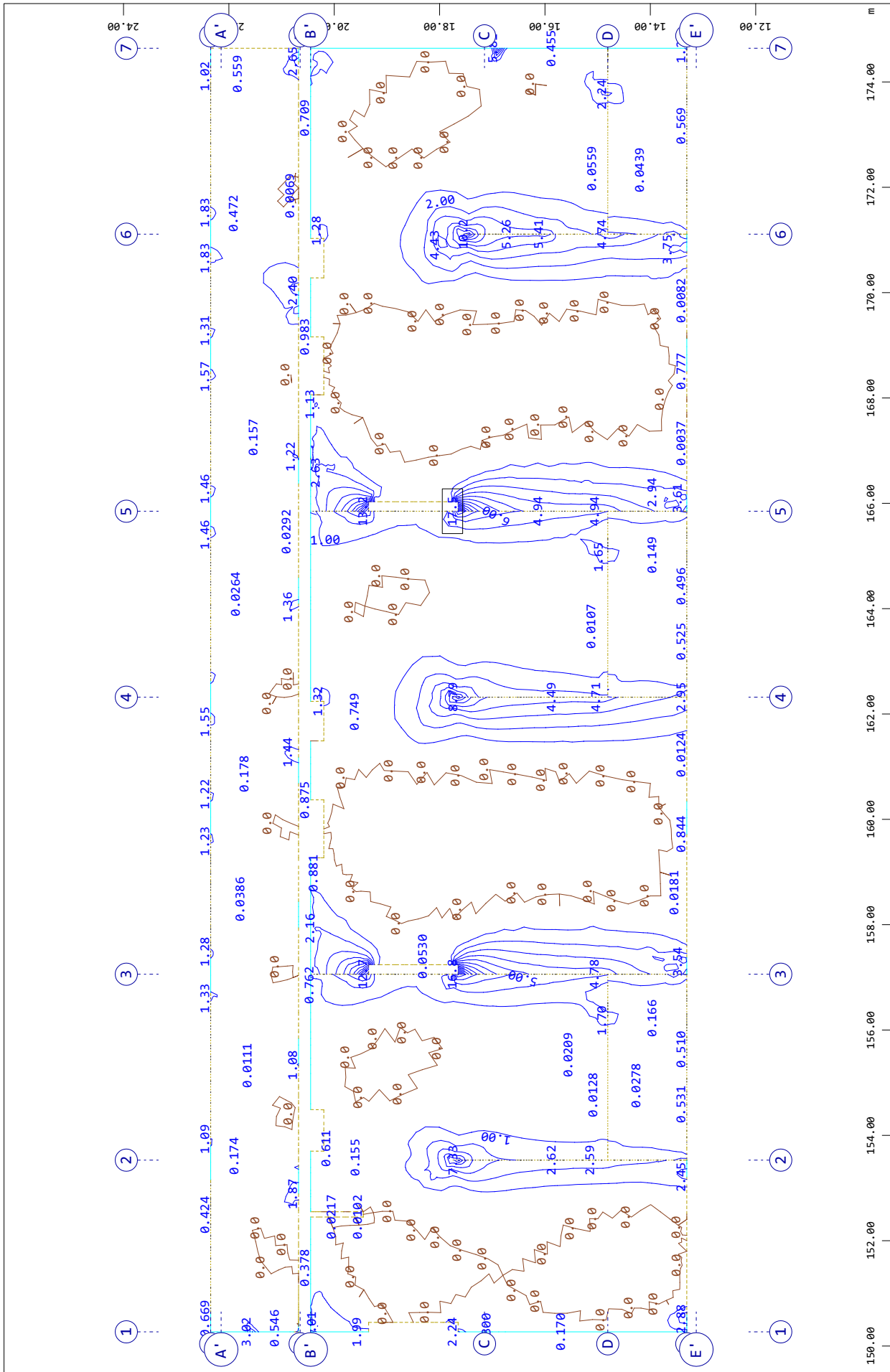
Dilatacija B1

Results



Dilatacija B1

Results



SOFiSTiK AG - www.sofistik.de

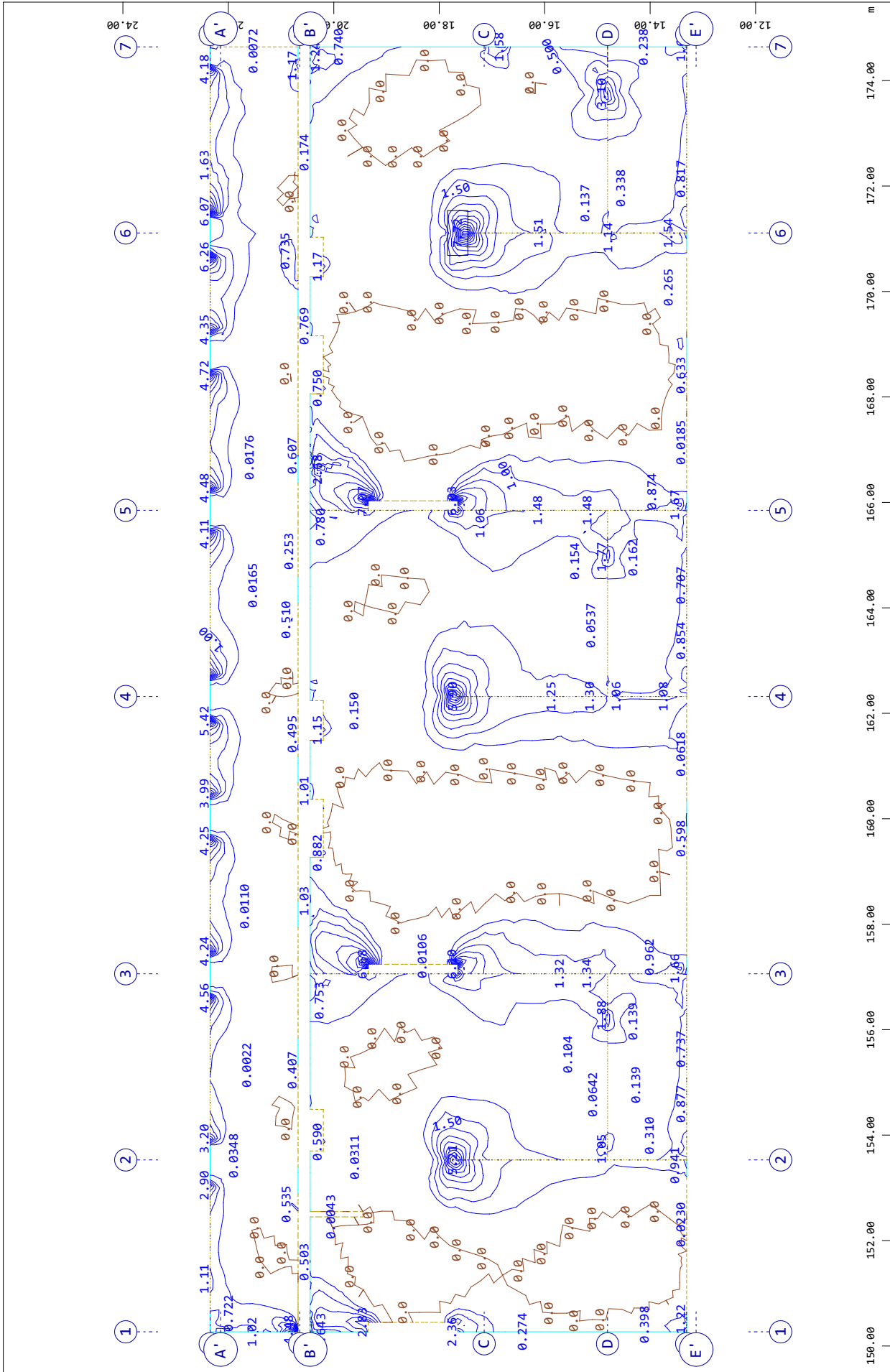
M 1 : 103

↔, Design Case 51 crack width design , from 0 to 17.5 step

Y Sector of system Group 200  
 Z-X Quadrilateral Elements , upper Principal reinforcements (1st layer) in Node  
 1.00 cm<sup>2</sup>/m

Dilatacija B1

Results



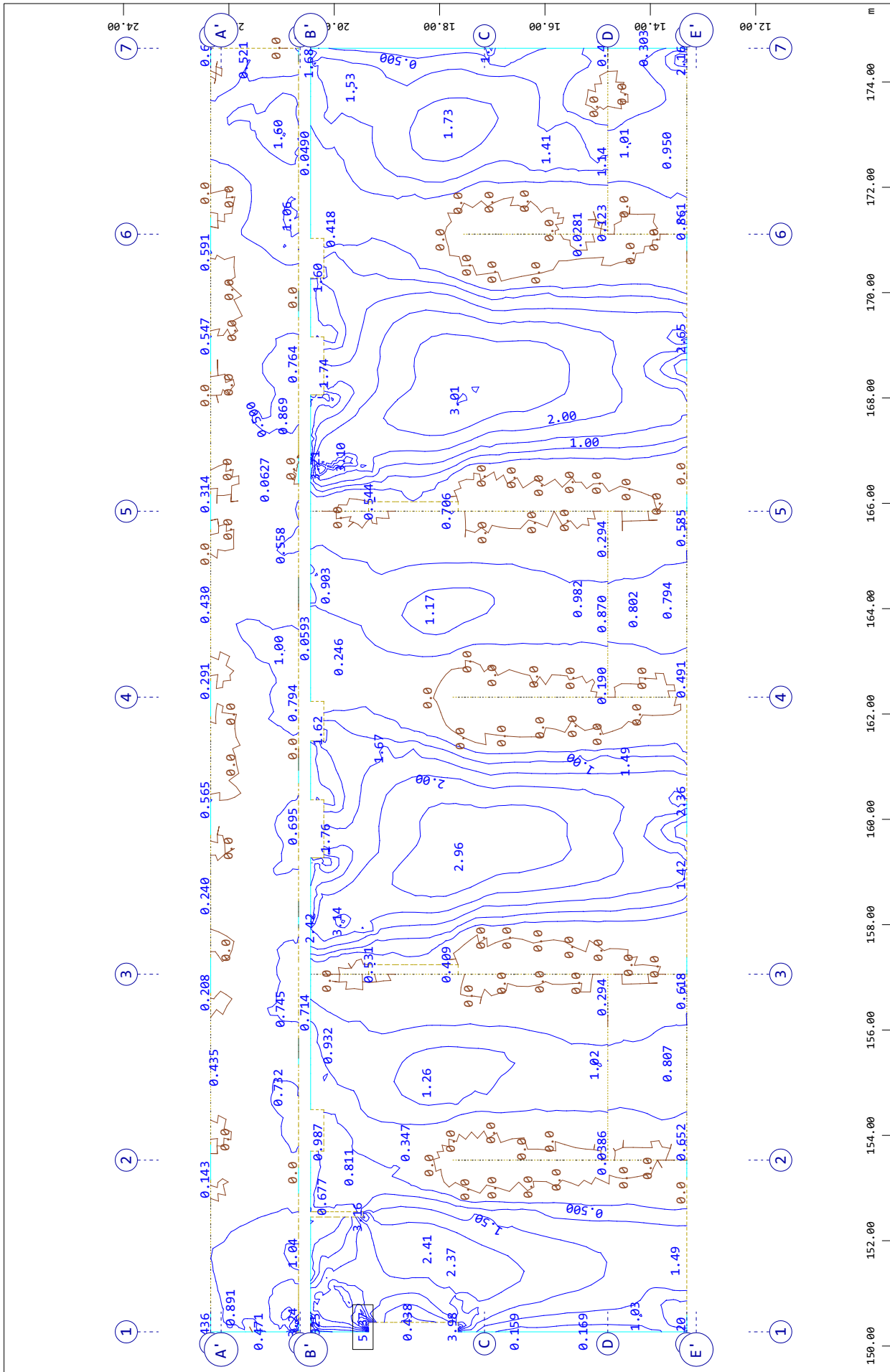
M 1 : 103

1, Design Case 51 crack width design, from 0 to 7.72 step

Y Sector of system Group 200  
 X Quadrilateral Elements, upper Cross reinforcements (2nd layer) in Node 1  
 0.500 cm<sup>2</sup>/m

Dilatacija B1

Results



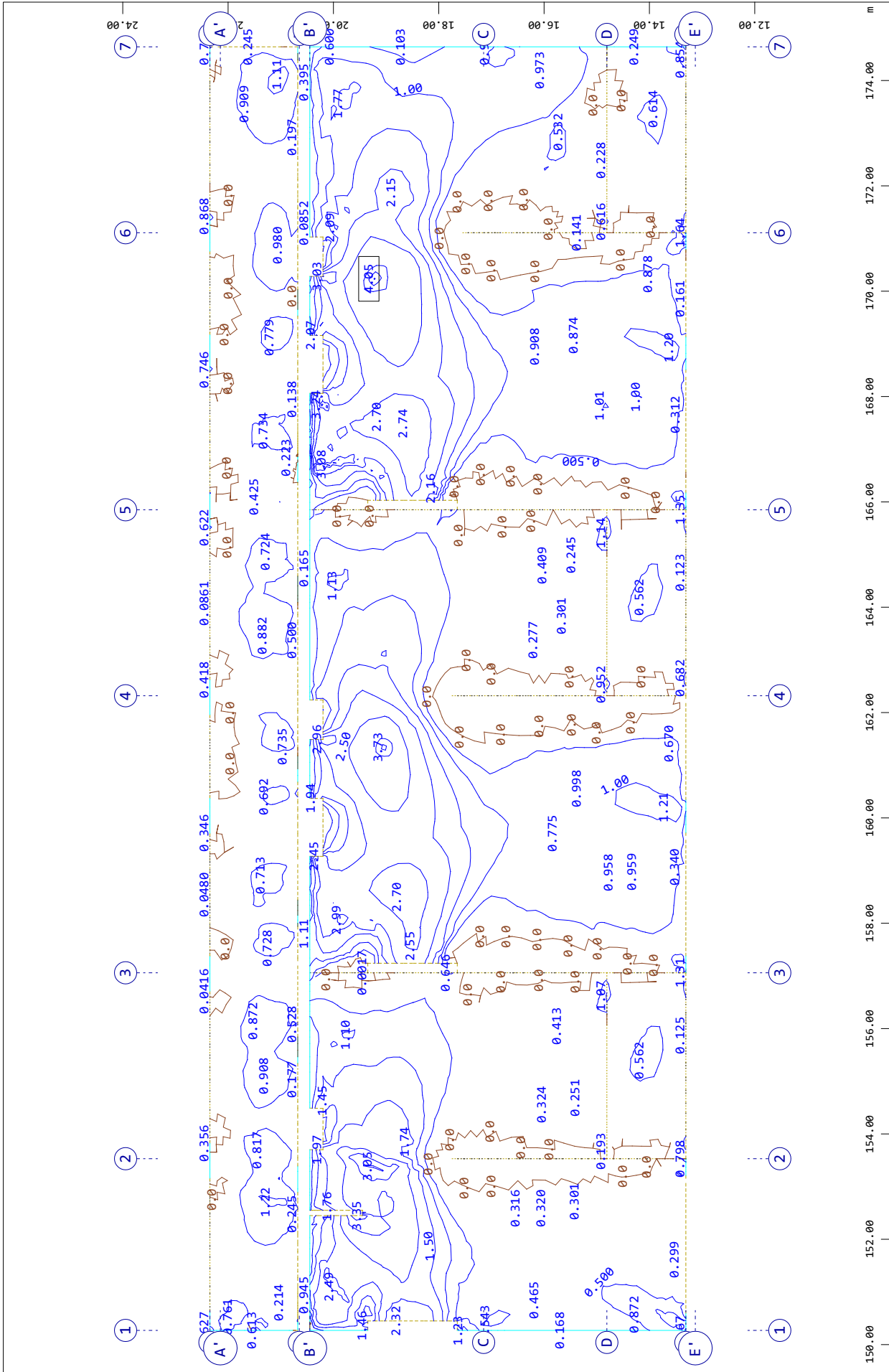
M 1 : 103

↔, Design Case 51 crack width design , from 0 to 5.37 step

Y Sector of system Group 200  
 X Quadrilateral Elements, lower Principal reinforcements (1st layer) in Node  
 0.500 cm2/m

Dilatacija B1

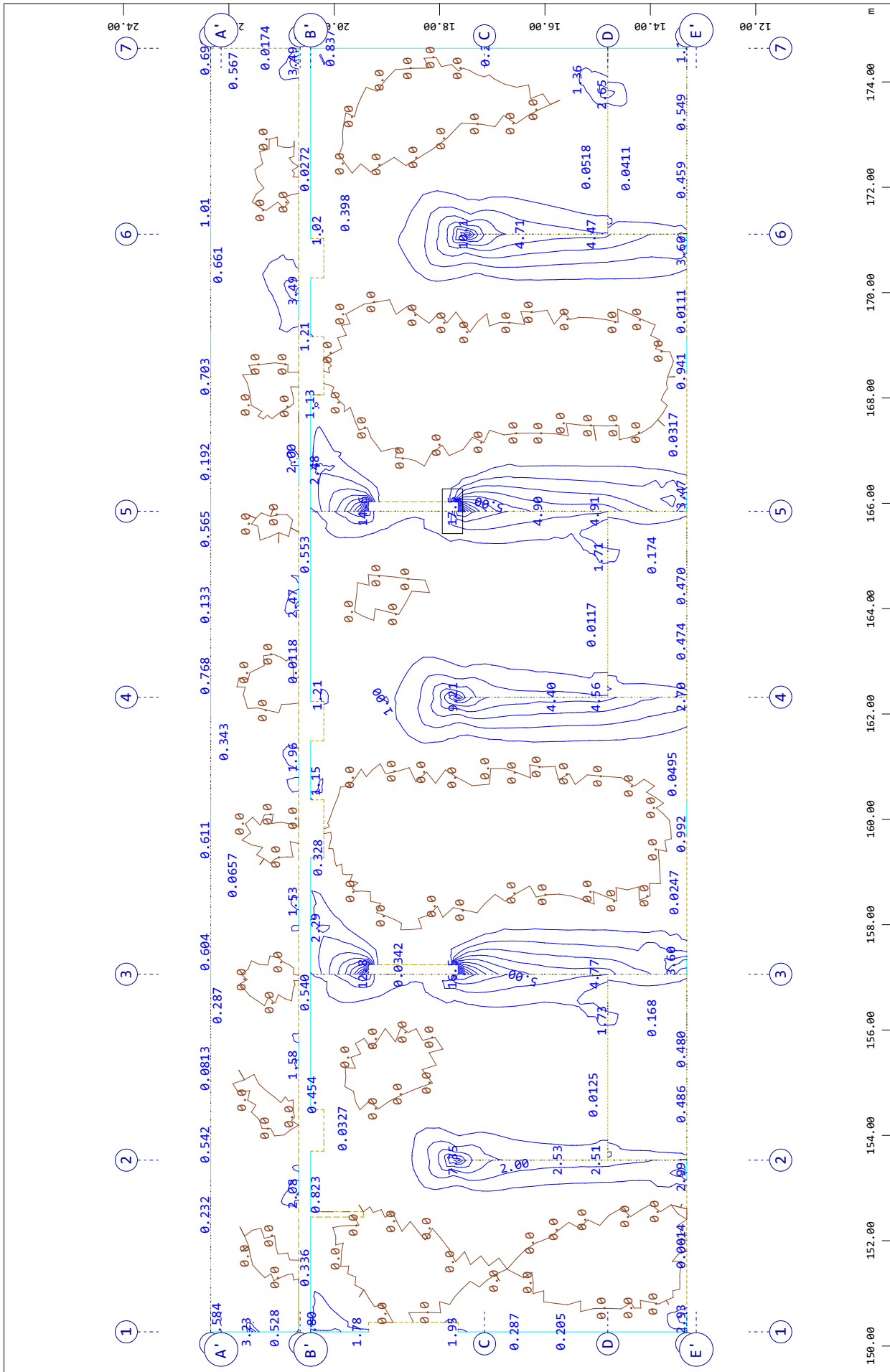
Results



SOFiSTiK AG - www.sofistik.de

Dilatacija B1

Results



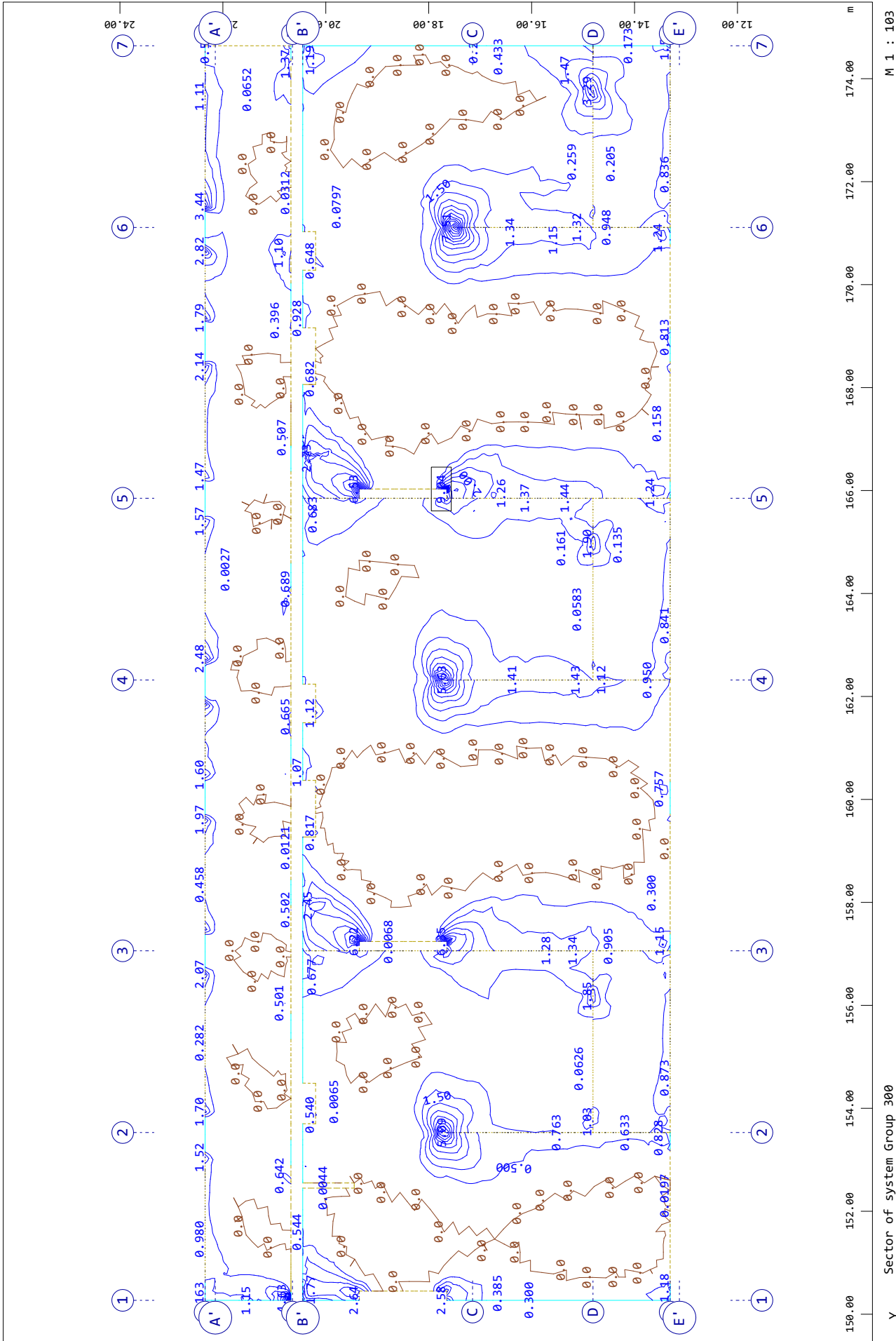
M 1 : 103

↔, Design Case 51 crack width design, from 0 to 17.5 step

Y Sector of system Group 300  
 Z-X Quadrilateral Elements, upper Principal reinforcements (1st layer) in Node  
 1.00 cm<sup>2</sup>/m

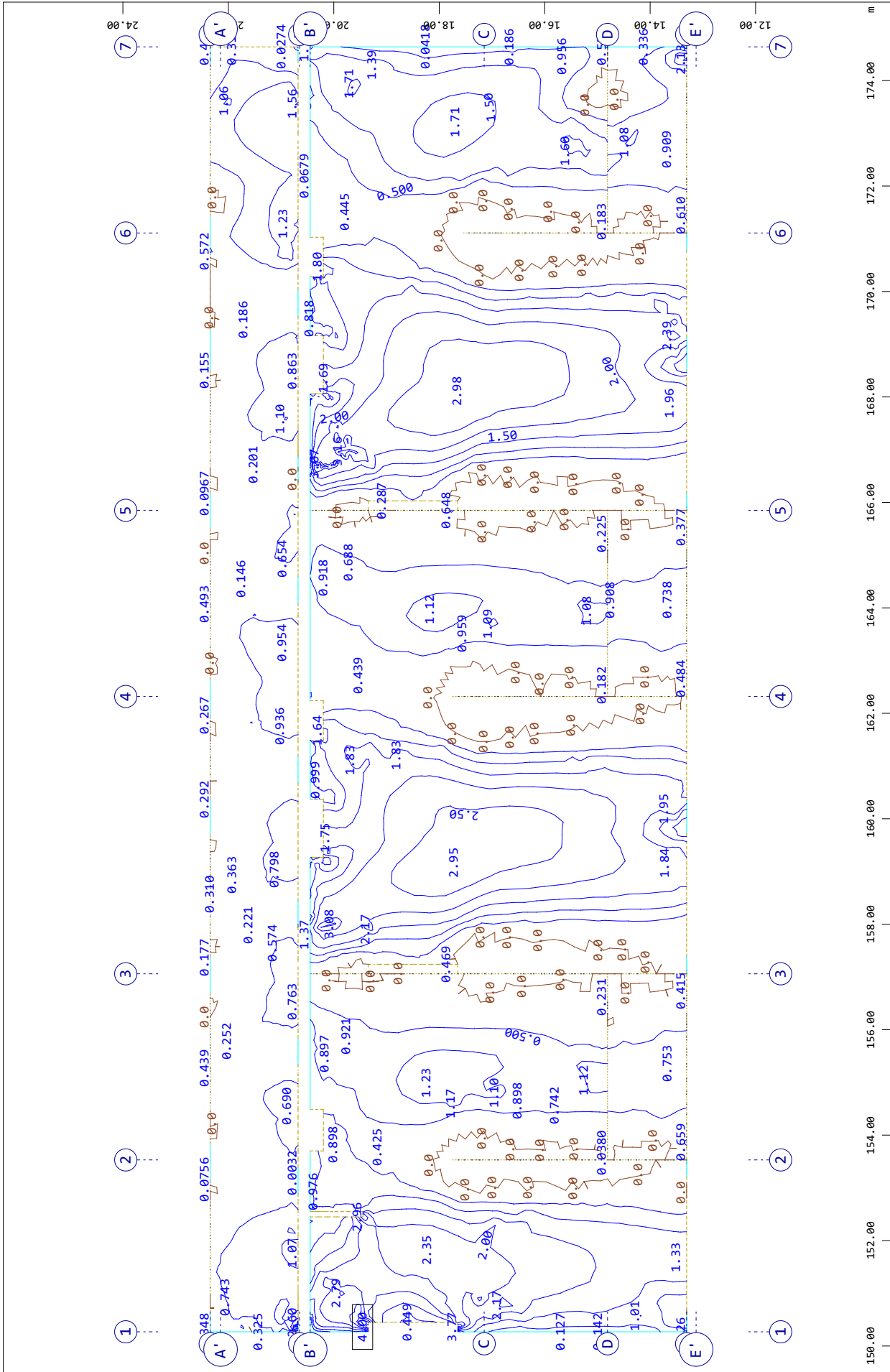
Dilatacija B1

Results



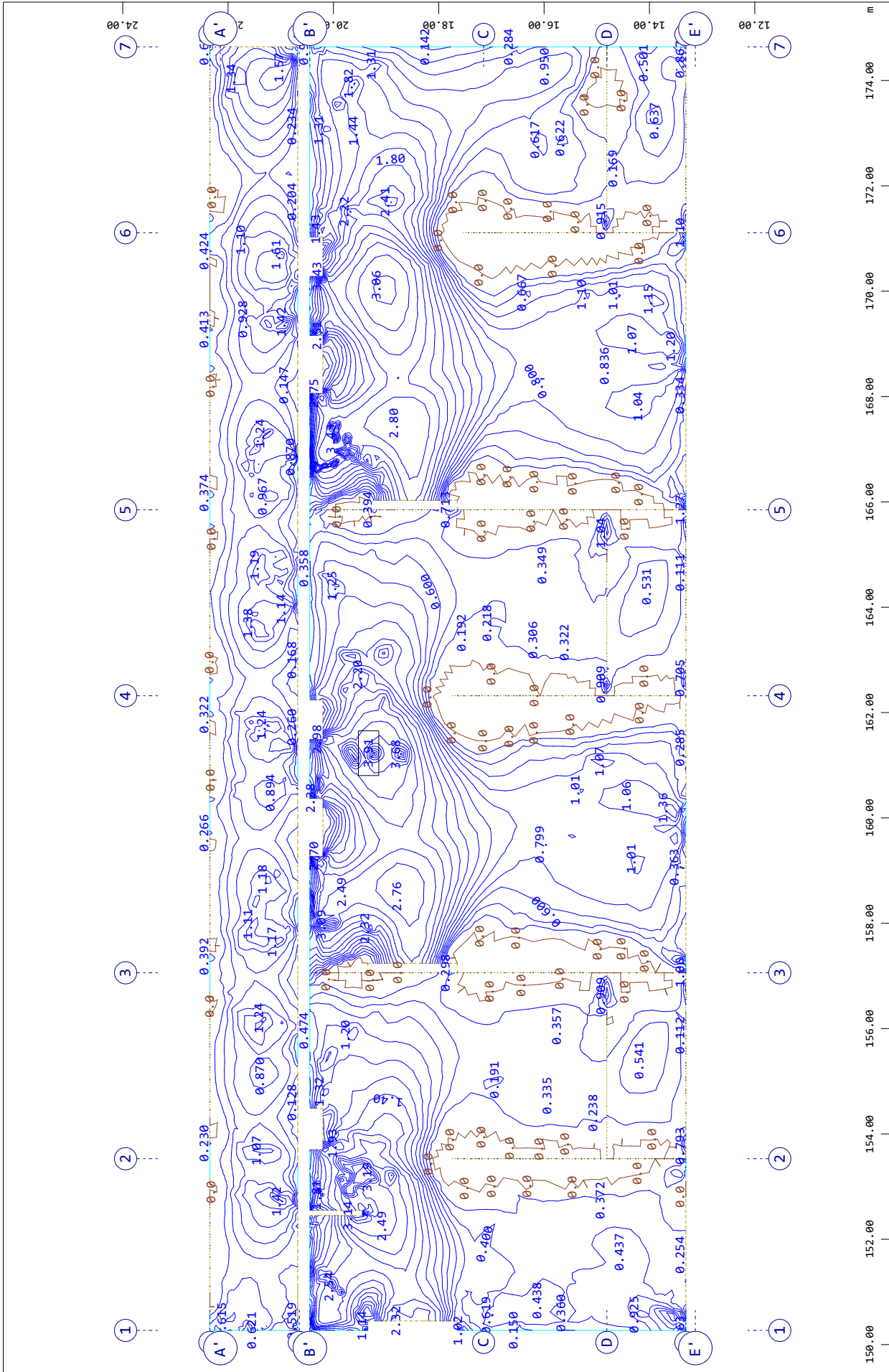
Dilatacija B1

Results



Dilatacija B1

Results



SOFISTIK AG - www.sofistik.de

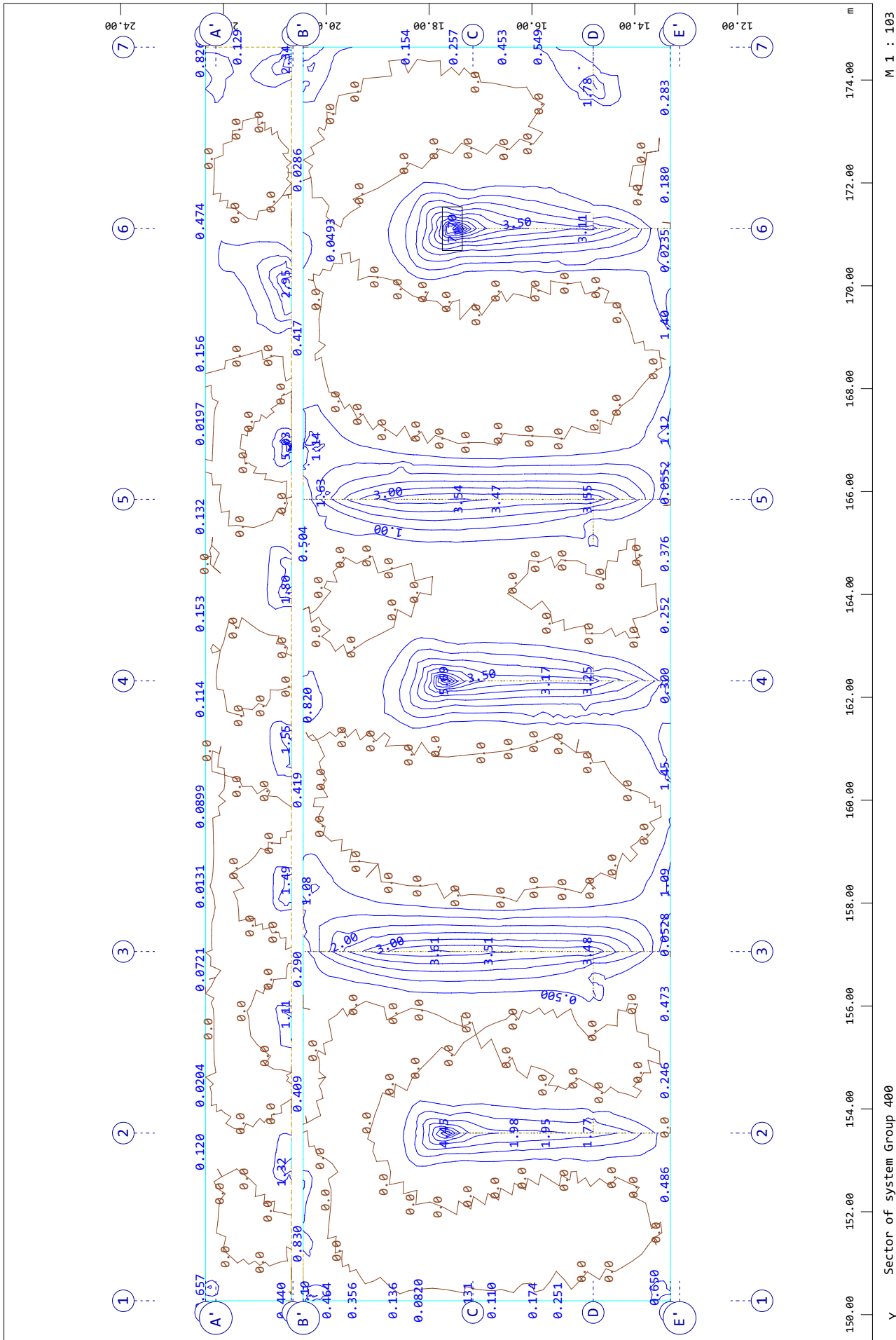
M 1 : 103

1, Design Case 51 crack width design , from 0 to 3.91 step

Y Sector of system Group 300  
 Z-X Quadrilateral Elements , lower Cross reinforcements (2nd layer) in Node  
 0.200 cm<sup>2</sup>/m

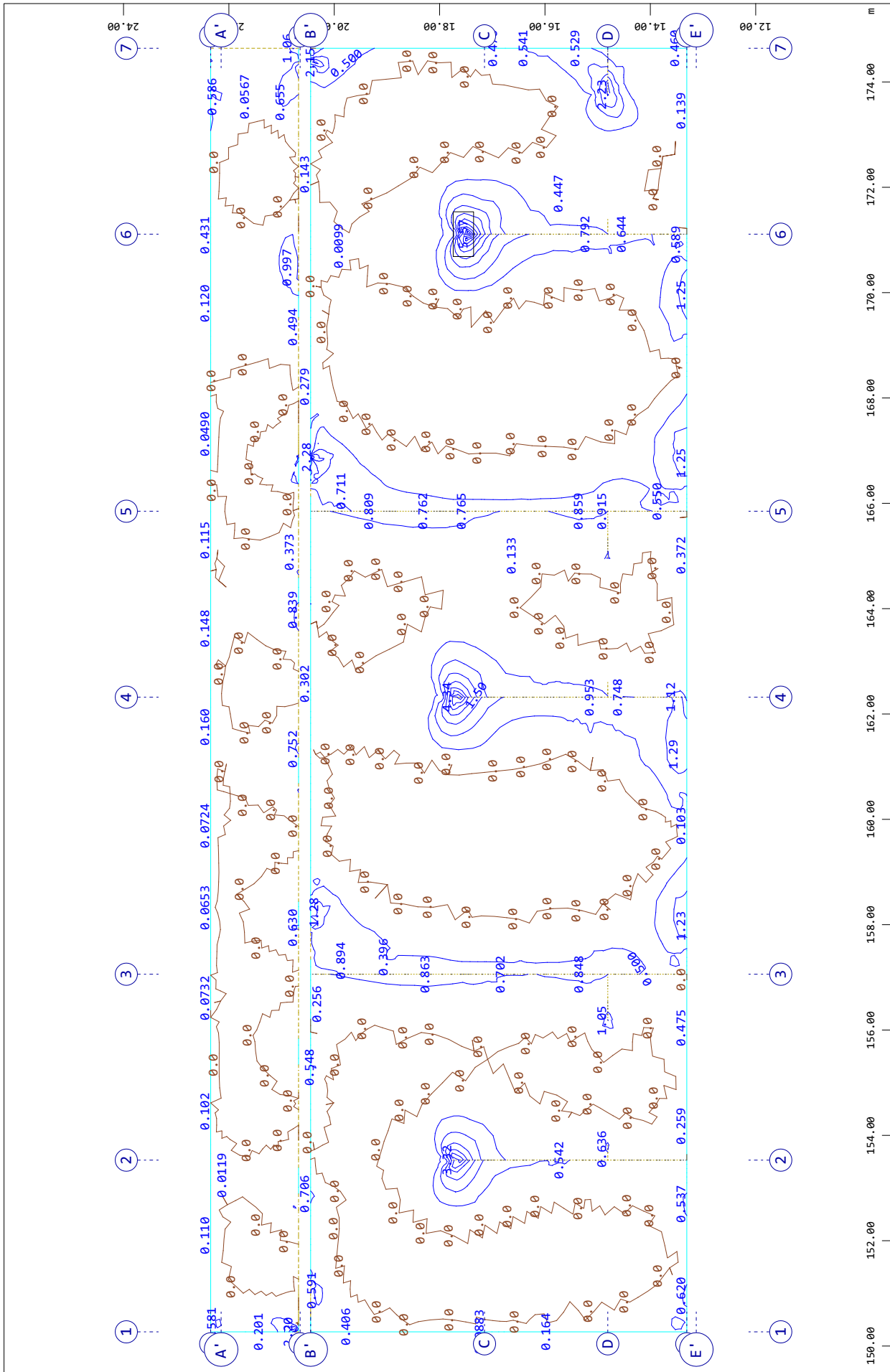
Dilatacija B1

Results



Dilatacija B1

Results



SOFiSTiK AG - www.sofistik.de

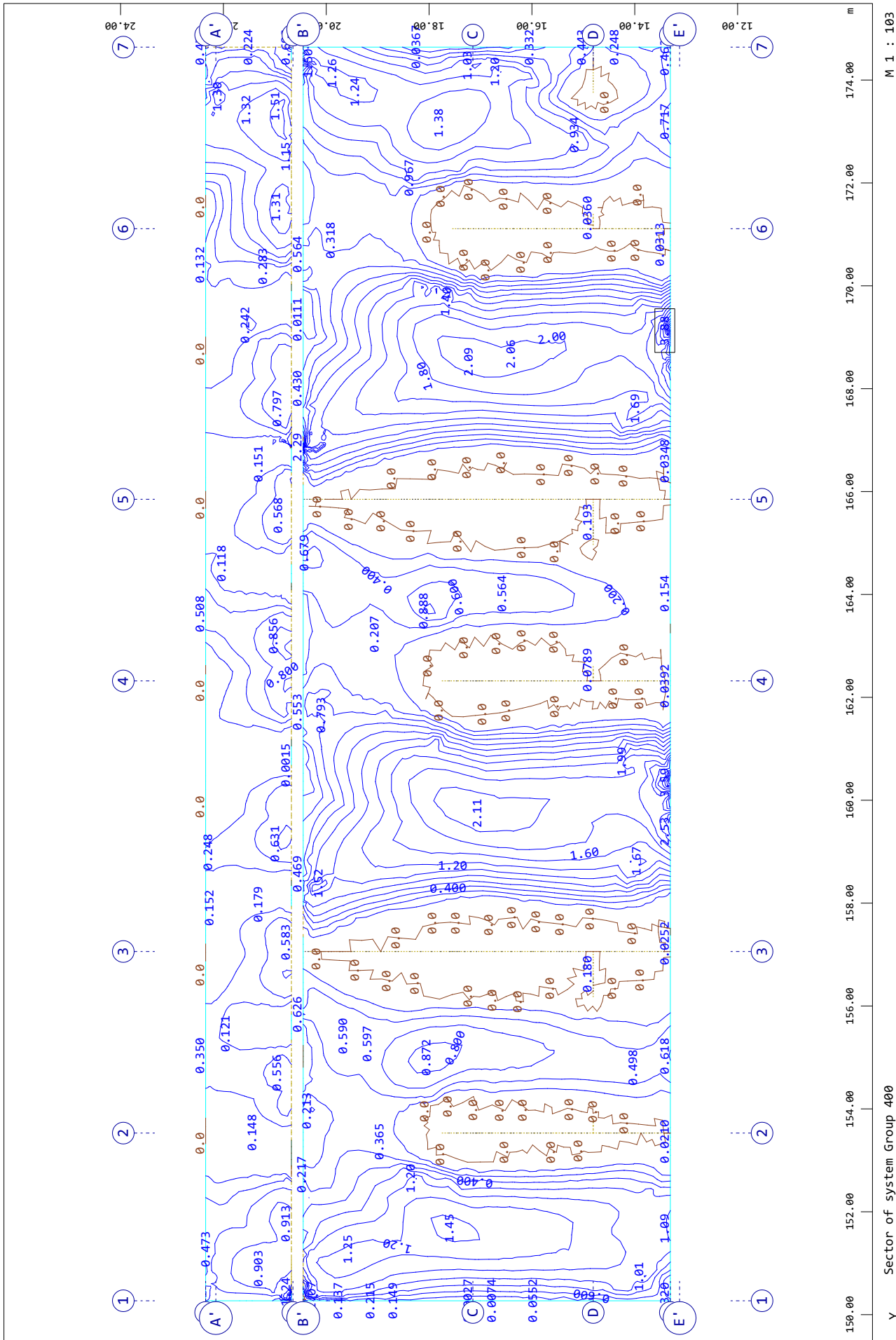
M 1 : 103

1, Design Case 51 crack width design , from 0 to 5.57 step

Y Sector of system Group 400  
 X Quadrilateral Elements , upper Cross reinforcements (2nd layer) in Node  
 0.500 cm<sup>2</sup>/m

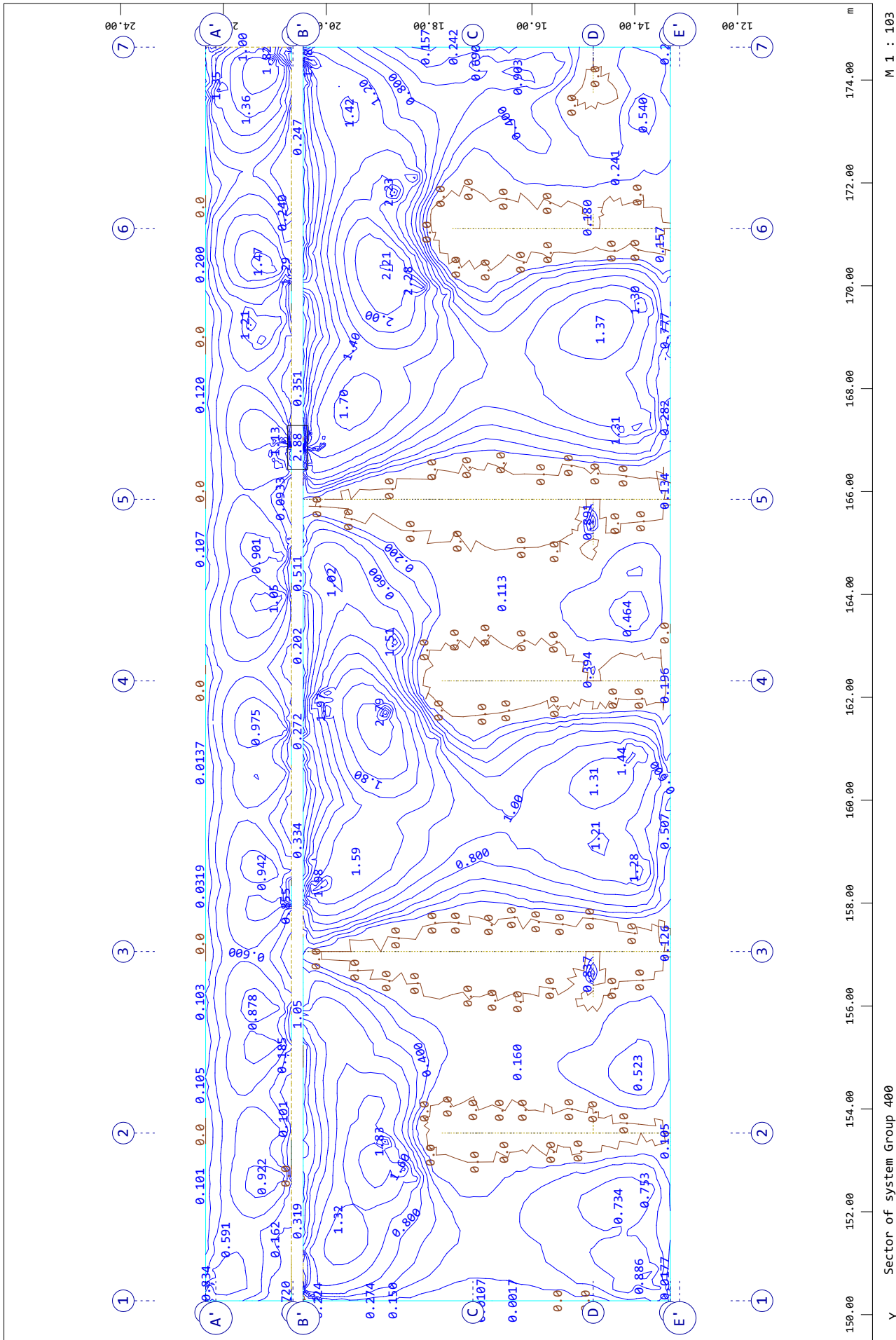
Dilatacija B1

Results



Dilatacija B1

Results



## 6.2 Seizmični izračun

### 6.2.1 Razred duktilnosti in faktor obnašanja

: a Ů3 enžionĩ anje ŷ onstĩ uŷ ije je iZĩ anĩ aZĩ eŮ Ůuŷ ti%osti DC6 .

: asnoĩ a ŷ onstĩ uŷ ijsĩ e8a siste3 a uŷĩ C>a staĩšo 3 eŮ stenaste siste3 e, 2a ŷ atĩ e se /aŷ toŷ ošnaCanja ŷĩ ŷĩno s  
+ ŷT EN " << ( ; " , >%n D. ! . ! . ! , Ůo%>i ŷ ot

$$q_0 = 3 \cdot 0 \frac{\alpha_u}{\alpha_1}$$

$q_0$  H osnoĩ naĩ eŮnost /aŷ toŷ ja ošnaCanja,  $\alpha_1$  H /aŷ toŷ , ŷ i Ůo%>a nastaneĩ ŷĩĩ e8a ŷĩsti>ne8a >%nĩ a,  $\alpha_u$  H /aŷ toŷ , ŷ i Ůo%>a nastaneĩ Ůoĩ o%ĩne8a  
Ůeĩĩ ŷĩ ŷĩsti>ni4 >%nĩ oĩ 2a nastoĩ 8%ša%e nestašĩ%osti siste3 a

: a siste3 ŷoĩ e2ani4 sten, stanŮaĩ Ů+ ŷT EN " << ( ; " , >%n D. ! . ! . ! \*Ů, Ůo%>aĩ eŮnost /aŷ toŷ ja

$$\frac{\alpha_u}{\alpha_1} = 1.2.$$

Osnoinaĩ eŮnost /aŷ toŷ ja ošnaCanja je taŷ o

$$q_0 = 3 \cdot 0 \frac{\alpha_u}{\alpha_1} = 3 \cdot 0 \cdot 1.2 = 3.6.$$

Na ŷ on>noĩ eŮnost /aŷ toŷ ja ošnaCanja ŷĩĩ a tuŮ ŷĩĩ e%Ůujo> siste3 ŷĩĩ uCenja, ŷ i 8a 2aja3 e3 o s /aŷ toŷ je3  $k_w$ . . aŷ toŷ  
iZĩ a>una3 o 2a ŷĩĩ saŷ o s3 eĩ ŷosešej, teŷ 2a Ůĩĩta ijsĩ e enote ŷosešej, saj je oŮĩsen oŮ Ůeĩĩ in Ů3 enžij sten, ŷ aĩ  
2aja3 e3 o s /aŷ toŷ je3  $\alpha_0$ .

Di%ta ija 5" I

: a s3 eĩ F 2naCa

$$\alpha_{0,x} = \frac{\sum h_{wi}}{\sum l_{wi}} = \frac{32 \cdot 9.0}{24 \cdot 9.2} = 11.5$$

$$0.5 \leq k_{w,x} = \frac{1 + \alpha_{0,x}}{3} = 4.17 \leq 1.0$$

: a s3 eĩ J ŷa

$$\alpha_{0,y} = \frac{8 \cdot 9.0}{43 \cdot 4.6} = 1.66$$

$$0.5 \leq k_{w,y} = \frac{1 + \alpha_{0,y}}{3} = 0.88 \leq 1.0.$$

: a 8eo3 eĩ ijo ŷ onstĩ uŷ ije %4ŷ oĩ e>e3 o, Ůa je ŷĩĩ aĩĩĩa ŷoĩĩni. Ůa>unsi aĩĩ eŮnost /aŷ toŷ ja ošnaCanja 2naCa taŷ o

$$1.5 \leq q_x = q_0 \cdot k_w = 3.6 \cdot 1.0 = 3.6$$

$$1.5 \leq q_y = q_0 \cdot k_w = 3.6 \cdot 0.88 = 3.17$$

### 6.2.2 Upoštevanje mas pri določanju potresnega vpliva

+tanŌā Ő + ġ T EN " << ( ; " , > % n ' . ! . , \* ! + = , Őo % > a uuoŌte = anje 3 ase, ŷ i so Zajete = nas % Őnji ŷ o3 \$ina iji = Ő % o

$$\sum_{j \geq 1} G_{k,j} + \sum_{i > 1} \psi_{E,i} Q_{k,i}$$

$G_{k,j}$  H %stna te9a in sta %i = Ő % i na ŷ onst ŷ ijo,  $Q_{k,i}$  H sŏ e3 en % i = Ő % i na ŷ onst ŷ ijo,  $\psi_{E,i}$  H ŷ oe / i ient, ŷ i uuoŌte = a, Őa noŏ esna oŏste9\$9a  $Q_{k,i}$  ni ŏ isotna no e % tni ŷ onst ŷ iji

Ko3 \$ina ijs ŷ i ŷ oe / i ient  $\psi_{E,i}$  se iŏ a > una na s % Őe > i na > inl

$$\psi_{E,i} = \varphi \psi_{2,i}$$

$\varphi$  H / a ŷ toŏ , ŷ i uuoŌte = a 3 eŐseŏojno oŐ = isnost 2aseŐenosti eta9,  $\psi_{2,i}$  H ŷ o3 \$ina ijs ŷ i / a ŷ toŏ noŐan = + ġ T EN " << # , A . ! . !

. a ŷ toŏ 2aseŐenosti eta9 je noŐan = ŏ e8 % Őni i ! !

Preglednica 2: Faktor zasedenosti etaŏ  $\varphi$

B' sta sŏ e3 en % e8a = Ő % a	Eta9a	$\varphi$
Kate8ŏ ija A;C	4nja eta9a *t' e4a+	" #
	2aseŐ\$9a ne ŷ ate' i4 eta9 je no = e2ana	# E
	eta9e so 2aseŐene neoŐ = isno	# D
Kate8ŏ ije D;		" #

Kate8ŏ ije so oŏ eŐe % ene = + ġ T EN " << ; " ;

### 6.2.3 Upoštevanje razpokanih prerezov

+tanŌā Ő + ġ T EN " << ( ; " , > % n , . ' . " \* + , Őo % > a uuoŌte = anje ~ a2no ŷ ani4 ŏ e' e2o = ŷ onst ŷ ije. k ŐoŐte = anje ~ a2no ŷ ani4 ŏ e' e2o = uuoŌte = a3 o 223 anjCanje3 to8osti nosi % i4 e % 3 ento = s / a ŷ toŏ je3 # D.

### 6.2.4 Nihajni časi in odziv konstrukcije

Ūa > un > in ŷ o noŏ esni4 = Ő % na ŷ onst ŷ ijo je i2eŐen s no3 o > jo 3 oŐa % e ana % e s ŏ oje ŷ tni3 s ne ŷ e' o3 oŐi = a \* ŏ oje ŷ tni s ne ŷ te' ti9a " no + ġ T EN " << ( ; " oŏe4 4ŏ i2onta % i4 s3 e' e4. Bno % i ~ a2 % ni4 ni4ajni4 oŏ % so ŷ o3 \$in' ani s no3 o > jo CKC 3 etoŐe, ŏ i > e3 e' sota e / e ŷ tni4 3 oŐa % i4 3 as 2naCa = e > ot < # L e % tne 3 ase ŷ onst ŷ ije. + te3 je 2aŐo > eno no8oju, ŷ i 8a ŏ eŐnisuje + ġ T EN " << ( ; ! ! ## ) , to > a , . ' . ! . ! . "

Preglednica 3: Nihajni časi konstrukcije in efektivna masa – dilatacijska enota 1

Ni4ajna oš%a	T MN	E/e <sub>2</sub> ti-na 3 asa	
		Os3 eř MN	P s3 eř MN
"	#E' (	D- E	" E'
!	#E' #"	! E'	) DE
'	#E#- D	" #E	" E
,	#E#' "	#E'	- E
±			
)#		∑ 96'2	∑ 95'6

### 6.2.5 Etažna strižna sila

Ůa23 eř je 3 eOđ ojeř tno noř esno si% in 3 aso ošjeř ta 2naGaI

Di%ta ija "I

$$; \quad 2a F; s3 eř I \quad \frac{P_x}{P_{tot}} = \frac{1050}{9400} = 0'11$$

$$; \quad 2a J; s3 eř I \quad \frac{P_y}{P_{tot}} = \frac{1150}{9400} = 0'12$$

### 6.2.6 Omejitev poškodb

\*tanŮa Ů \*g'T EN "<<(;" o3 ejuje eta9ne no3 i<sub>2</sub> e. Eta9ni no3 i<sub>2</sub> i<sub>2</sub> onst' u<sub>2</sub> ije Ů i noř esni ana%zi oš uoOte-anju /a<sub>2</sub> toř ja q = 1 so noŮani Ů e8%Ůni i.

Preglednica 4: Etažni pomiki konstrukcije ob potresni obteži – dilatacija 1

Eta9a	d <sub>s,max</sub> MN 3 N	
	+3 eř F	+3 eř J
' N	, E D	' E #
! N	' E #	! E #
" N	" E #	" E #

d<sub>s,max</sub> ... naj-e>ji eta9ni noř esni no3 i<sub>2</sub> oš uoOte-anju q = 1'0

Da Ů eŮ e>i3 o Ů et' ane noŮ oŮe e<sub>2</sub> onst' u<sub>2</sub> ije, stanŮa Ů \*g'T EN "<<(;" >%n , , . ' , o3 eji e% ost no3 i<sub>2</sub> o- 2 ena>šol

$$d_r v \leq ah \rightarrow \frac{d_r}{h} \leq \frac{\alpha}{v}$$

d<sub>r</sub> H Ů ojeř tni eta9ni no3 i<sub>2</sub>, Ůo%>en e ot' a2% a 3 eO no-Ů e>ni3 a-ŮoŮ a-Ůni3 a no3 i<sub>2</sub> o3 a d<sub>s</sub> na-Ů 4u in Ůnu eta9e, h H eta9na-ŮiŮna, v H eŮu ijs<sub>2</sub> i /a<sub>2</sub> toř , e i uoOte-a 3 anjCo no-Ů atno Ůošo noř esa (stanŮa Ů 2a e ate8oř ijo no3 e3 \$nosti ŮŮ inoř o>a-Ů eŮnost #E, α H /a<sub>2</sub> toř , oŮ-isen oŮ Ůu ti%osti ne e onst' u<sub>2</sub> ijs<sub>2</sub> i4 e%3 ente \*α = 0'005 2a ne e onst' u<sub>2</sub> ijs<sub>2</sub> e e%3 ente i2 e' 4<sub>2</sub> i4 3 ate' ia%o, α = 0'0075 2a Ůu ti%e ne e onst' u<sub>2</sub> ijs<sub>2</sub> e e%3 ente, α = 0'010 2a ne e onst' u<sub>2</sub> ijs<sub>2</sub> e e%3 ente na e ate' e Oe/oř 3 a ije e onst' u<sub>2</sub> ije ne-Ů%ajo+

Eta9ni 2a3 i i 2 onst' u2 ije so 2\$ ani ű e8% űni i. Biű3 o, űa so űo3 i i 2 onst' u2 ije űo-o%3 aj4ni, űa űo-o%ujejo tuűi űoű a\$o neűu2 ti%ai4 i 2 onst' u2 ijs2 i4 e%3 ento.

Preglednica 5: Omejitev pomikov pri potresni obteűbi – dilatacija 1

Eta9a	$d_r$ M 3 N		$h$ M N	$v$	$vd_r/h$		$\alpha$		
	*3 e' O	*3 e' J			*a+	*\$+	* +		
' N	"E D	"E #	! ű !		#####!	#####!"			
! N	"E #	"E #	! ű !	#D	#####' #	#####'!	#D##	#D##- D	#D##"
"N	"ű #	"E #	' E )		#####!-	#####"<			

6.2.7 P-Δ efekt

O\$>ut%ost i 2 onst' u2 ije na teű ijo ű u8e8a' eűa \*=-; Δ e/e2 t+ iZ a>una3 o o\$ űoűe anju +gT EN "<<( ; , >%n , , . ! . ! \* ! +. 7%űe na' eűnost i 2 oe/i ienta o\$>ut%osti 2a eta9ne űo3 i i e θ stanűa ű űo%a' a2%ne u2' ene ű i ű oje2 ti' anju. Koe/i ient θ je űo%>en 2 ena>\$ol

$$\theta = \frac{P_{tot} d_r}{V_{tot} h}$$

$P_{tot}$  H e%tna si% te9nosti o\$ a-na-ani eta9i in naűnjo, i je űoűe ana ű i űoű' esne3 ű oje2 tne3 stanju,  $d_r$  H ű oje2 tni eta9ni űo3 i i \*a2% a 3 eűoűe ű e>ni3 a-na-oű a-ni3 a űo3 i i o3 a  $d_s$  na' 4u in űnu eta9e,  $V_{tot}$  H e%tna ű e>na si% eta9i 2a' aű űoű' esa,  $h$  H-na-iGna eta9e

7%űe na' eűnost i 2 oe/i ienta θ e%a s%űe>el

- ;  $\theta \leq 0'10$  o%a TDŮ ni űoű' e\$no űoűe ati
- ;  $0'10 < \theta \leq 0'20$  o%a TDŮ se űoűe a na ű i\$űe>en na>in s űo-e>anje3 u>in2 o űoű' esne8a o%a s /a2 tű je3 l

$$k_{p-\Delta} = \frac{1}{1 - \theta_i}$$

- ;  $\theta > 0'30$  stanűa ű ne űo-o%uje.
- ű a>un i 2 oe/i ienta θ je ű i 2 an' ű e8% űni i.

Preglednica 6: Doloűitev vpliva TDR – dilatacija 1

Eta9a	$h_i$ M N	$P_{tot}$ MNN	$V_{tot}$		$d_r$		$\theta_x$	$\theta_y$
			O s3 e' MNN	P s3 e' MNN	O s3 e' M 3 N	P s3 e' M 3 N		
! N	! ű !	! < , D	, ' #	, < #	"E D	"E #	#####'	#####'
"N	! ű !	D( < #	( ) #	< D #	"E #	"E #	#####,	#####'
#=	' E )	< , ##	"! ! D	"! ##	"ű #	"E #	#####D	#####'

Bűa teű ije ű u8e8a' eűa ni űoű' e\$no űoűe ati.

### 6.3 Stene

\*tene so i2 Ťetona a%tete C' #G - . B s3 e' i > ě o%ni4 o%o% a%ni4+ osi i3 ajo ŤeŤe%no !# 3 s3 e' i Ťe%ni4 \*e' tiĵ a%ai4+ osi űa ŤeŤe%no ") 3 . : a Ť3 en2ion' anje a 3 ĩ anoŤetonsĵ i4 sten je űoť eŤno űnoŤe%ati Ťo%>i% stanŤa' Ťa \*ĝT EN "<<!;" in \*ĝT EN "<<(;" .

#### 6.3.1 Geometrijske omejitve

@ ina stojine  $b_{w0}$  3 o' a 8%Ťe na stanŤa' Ť+ĝT EN "<<( , >%n D , . ! . ' , 2aŤoŤiti nas%Ťnje3 u iĵ a2ul

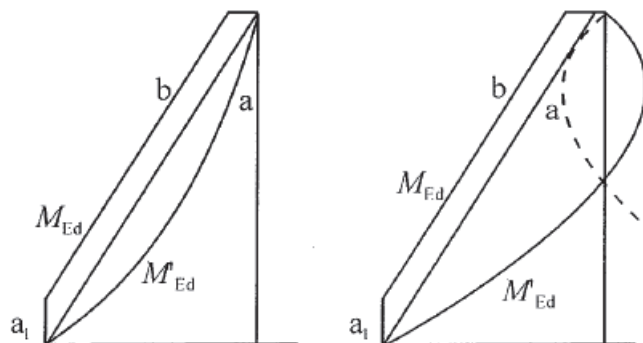
$$b_{w0} \geq \max \left\{ \begin{array}{l} 0.15 \text{ m} \\ h_s \frac{3.18}{20} = \frac{3.18}{20} = 0.159 \text{ m} \end{array} \right. = 0.159 \text{ m}$$

$b_{w0}$  H Ğ ina stojine stene,  $h_s$  H s%et% eta9na%ina

DoŤatne 2a4te%e 8%Ťe ŤeŤe%ne oŤjeti4' oŤni4 e%3 ento% sten so Ťo%>ene s >%no3 D , . ! . , ! # # +.

#### 6.3.2 Projektni uĉinki potresnih vplivov

DiaŤ a3 ű ojeĵ tni4 űno8iŤni4 3 o3 ento%2Ťo%ine stene se na%eŤe 2 o%ojni o Ťaĝ a3 a űno8iŤni4 e%3 ento% i2 ana%2e, ĵ i je ű e3 aĵ njena% na%ni>ni s3 e' i \*8%j s% o , + = eŤoŤsta%i se %4ĵ o %nea' na o%ojni a , >eĵ onŤ' ű ĵ ija ni3 a űno%ina ni3 e3 Ťni4 ne2%e2nosti% 3 asa4, toĝosti a%nosi%osti.



- Legenda:  
 a momentni diagram iz analize  
 b projektna ovojnica  
 a1 premik momentne ĉrte

Slika 4: Ovojnica upogibnih momentov za projektiranje vitkih sten

OŤŤetju sten je űoť eŤno űnoŤe%ati 3 o9nost űno%e>anja ű e>ni4 si%2a' aŤ ű%sti/ĵ a ije. 7%Ťe na stanŤa' Ť+ĝT EN "<<( , >%n D , . ! . , \* + , 2a4te%e 2aŤoŤi3 o , >e űnoŤe%a3 o ű ojeĵ tne ű e>ne si%, ĵ i so 2a D#L%e>je oŤtisti4, Ťo%>eni4 2 ana%2o. OŤ e3 enit%e sten so ű ĵ i a2ane% naŤa%e>anju.

Preglednica 7: Projektne učinki potresnih vplivov

= oje tni u>in; i noť esni4...o%o na Ůnu stene		$N_{Ed,max}$ MNN	$1.5 * V_z$ MNN	$M_{y,max}$ M3 N	$N_{(My,max)}$ MNN	$M_{y,min}$ M3 N	$N_{(My,min)}$ MNN
O2na; a stene	" ; "	, D#	' - D	, D#	' D#	- ##	, ##
	" ; !	! D#	- D	D#	! D#	D#	! D#
	!	) D#	!! D	) ##	) D#	, ##	DD#
D'i%ta ija "	'	<##	D! D	D##	) D#	" , ##	<##
	,	- ##	!! D	- ##	- ##	' ##	) D#
	D	<##	D! D	D##	) ##	" ' ##	<##
	); "	, ##	" D#	" ##	! D#	" ##	, ##
	); !	DD#	" D#	! D#	DD#	" ##	D##
	-	- D#	D! D	- D#	DD#	" ' ##	) ##

### 6.3.3 Preverjanje mejnih stanj in konstruiranje

knošino in štino nosilnost je noťešno o%iti... s; %Ůu s +gT EN "<<! ;";", ňi >e3 e se uođ aš... eŮnosti noť anji4 stati>ni4 o%in i2 noť esne ana%2e in ; o3 šina ije 2a 3 ejno stanje nosilnosti.

#### 6.3.3.1 Minimalna in maksimalna armatura

= e2na...ne a 3 atu'e je s>%no3 <.) ! stanŮa Ůa +gT EN "<<! ;";" o3 ejen 2

$$A_{s,vmin} = 0.002 A_c$$

$$A_{s,vmax} = 0.04 A_c$$

= e2...ođ a...ne a 3 atu'e je s>%no3 <.) ! stanŮa Ůa +gT EN "<<! ;";" o3 ejen 2

$$A_{s,hmin} = \max \left\{ \begin{array}{l} 0.001 A_c \\ 0.25 A_{s,v} \end{array} \right.$$

: a stene Ůeše%ne ") 3 l

$$A_{s,vmin} = 0.002 A_c = 0.002 \cdot 16 \cdot 100 = 3.2 \text{ cm}^2/\text{m}$$

$$A_{s,vmax} = 0.04 A_c = 0.04 \cdot 16 \cdot 100 = 64 \text{ cm}^2/\text{m}$$

$$A_{s,hmin} = \max \left\{ \begin{array}{l} 0.001 A_c = 1.6 \text{ cm}^2/\text{m} \\ 0.25 A_{s,v} \end{array} \right.$$

: a stene Ůeše%ne !# 3 l

$$A_{s,vmin} = 0.002 A_c = 0.002 \cdot 20 \cdot 100 = 4.0 \text{ cm}^2/\text{m}$$

$$A_{s,vmax} = 0.04 A_c = 0.04 \cdot 20 \cdot 100 = 80 \text{ cm}^2/\text{m}$$

$$A_{s,hmin} = \max \left\{ \begin{array}{l} 0.001 A_c = 2.0 \text{ cm}^2/\text{m} \\ 0.25 A_{s,v} \end{array} \right.$$

### 6.3.3.2 Omejitve osne obremenitve sten

NŮ 3 Ů ana osna si%  $v_d$  Ů i3 a Ů ni4 ŮoŮ esni4 stena4 8%Ůe na stanŮa Ů +gT EN "<<( , >%n D, . ' . , ." \*! †, ne s3 e Ů ese>i #E .

$$v_d = \frac{N_{Ed}}{A_c f_{cd}} \leq 0.4$$

= e>na a 3 atuŮ a Ůni4 e%3 enti4 se %4; o Ůo%>i sa3 o Ůo% s +gT EN "<<! ; " , >e je izno%jen Ůo8oj

$$v_d = \frac{N_{Ed}}{A_c f_{cd}} \leq 0.15$$

Bse stene zaŮostujejo Ůo8oju  $v_d < 0.15$ , zato za Ůo%>ite ŮoŮ eŮne a 3 atuŮ e uŮŮ aŮi3 o Ůo%jni e, Ů i ji4 iz a>una Ů oŮ a3 +O. i+TiK, Ů i Ůo%>a a 3 atuŮ o 8%Ůe na za4te-e +gT EN "<<! ; ! .

Preglednica 8: Normirana osna sila v stenah

	Oznaa stene	NŮ 3 Ů ana osna si% $v_d$
DiŮta ija "	","	##!
	";!	##D
	!	##,
	'	##,
	,	##D
	D	##,
	);"	##-
	);!	##"
DiŮta ija "	-	##'
	A1;","A1;{	##)
	A1;! Ůo A1;-	##)
	5";","D";","D";','D";D,E";	##"
	" ,E";! ,E";' ,E";D,E";-	##"
	5";! , 5";' , 5"; , 5";) , 5";	##-
	< ,D";! ,D"; , ,D";) ,	##-
	5";D,5";- , 5";( , 5";" #	##,
E"; , , E";)	##!	

### 6.3.3.3 Kritiĉno obmoĉje

K' iti>no oŮ3 o>je naŮoŮnetje3 stene  $h_{cr}$  se 8%Ůe na +gT EN "<<( , >%n D, . ' . , .! , Ůo%>i Ů otl

$$h_{cr} = \max \left\{ h_w = \frac{l_w}{6} = \frac{9.000 \text{ m}}{6} = 1.50 \text{ m} \leq \min \left\{ h_s = 3.36 \text{ m} \right. \right.$$

$l_w$  ... Ůo%ina Ů e>ne8a Ů e' e2a stene,  $h_w$  H-ŮiGna stene,  $h_s$  H s-eet%ŮiGna eta9e

K' iti>no oŮ3 o>je sten je >e2 e%Ůtno Ů it%no eta9o.

### 6.3.3.4 Potrebna koliĉina armature MSN-STR

=o%8 ŮoŮ esne oŮte9Ůe uŮoŮe-a3 o Ůe Ůo%jni o oŮ e3 enite Ůa 3 ejno stanje nosi%osti Ů i sta%i4 in za>asni4 stanji4. 7%Ůe na Ůo%jni o oŮ e3 enite iz a>una3 o ŮoŮ eŮno Ů o%ino a 3 atuŮ e, Ů i je ŮoŮana naŮa%e-anju.

### 6.3.4 Strižna odpornost sten

Ošjetju sten se sť i9ne oĉnoř nost oš uoĉe-anju >%na D, .!., stanĉa ĉa +gT EN "<<(" 2a8oto-i ta2 o, ĉa se ņ oje2 tne sť i9ne si% ĉoš%ene 2 ana%2o no-e>a 2a D# L. B snoĉnji ņ e8%ĉni i je noĉan iž a>un noť ešne sť i9ne a 3 atů e 2a-se stene ošjetju.

Preglednica 9: Potrebna strižna armatura v pritliĉju

Oznaka stene	$\Phi_{sw}$ M 3 N	S MB N	$n_s$ lYN	$A_{sw.dej}/s$ MB l 3 N	$A_{sw.potr}/s$ MB l 3 N	$V_{rd.max}$ MNN	$V_{rd.s}$ MNN	$V_{Ed}/V_{Rd}$ M N
","	(	"D	!	).- #	!.D)	!(, '	<("	'(
";!	(	"D	!	).- #	#.D"	!(, '	<("	(
!	(	"D	!	).- #	".D,	!(, '	<("	!'
'	(	"D	!	).- #	'.D<	!(, '	<("	D,
,	(	"D	!	).- #	".D,	!(, '	<("	!'
D	(	"D	!	).- #	'.D<	!(, '	<("	D,
);"	(	"D	!	).- #	".#'	!(, '	<("	"D
);!	(	"D	!	).- #	".#'	!(, '	<("	"D
-	(	"D	!	).- #	'.D<	!(, '	<("	D,
A";",A";(	(	"D	!	).- #	#."#	'DD'	<("	!
A";! ĉo A";-	(	"D	!	).- #	#.' ,	'DD'	<("	D
5";",D";",D";',D";D,E";",E"; !,E";',E";D,E";-	(	"D	!	).- #	#.' ,	'DD'	<("	D
5";!, 5";', 5";, ,5";),5";<,D"; !,D";, ,D";),	(	"D	!	).- #	".#'	'DD'	<("	"D
5";D,5";-,5";,(,5";,#	(	"D	!	).- #	!.#D	'DD'	<("	'"
E";, ,E";)	(	"D	!	).- #	#."-	'DD'	<("	'

### 6.4 Temeljenje objekta

Ošjet se te3 e% s te3 e%no n%ĉo ĉeše%ne ' D 3 , 2 i je to> o>no noĉn ta s ni%ti.

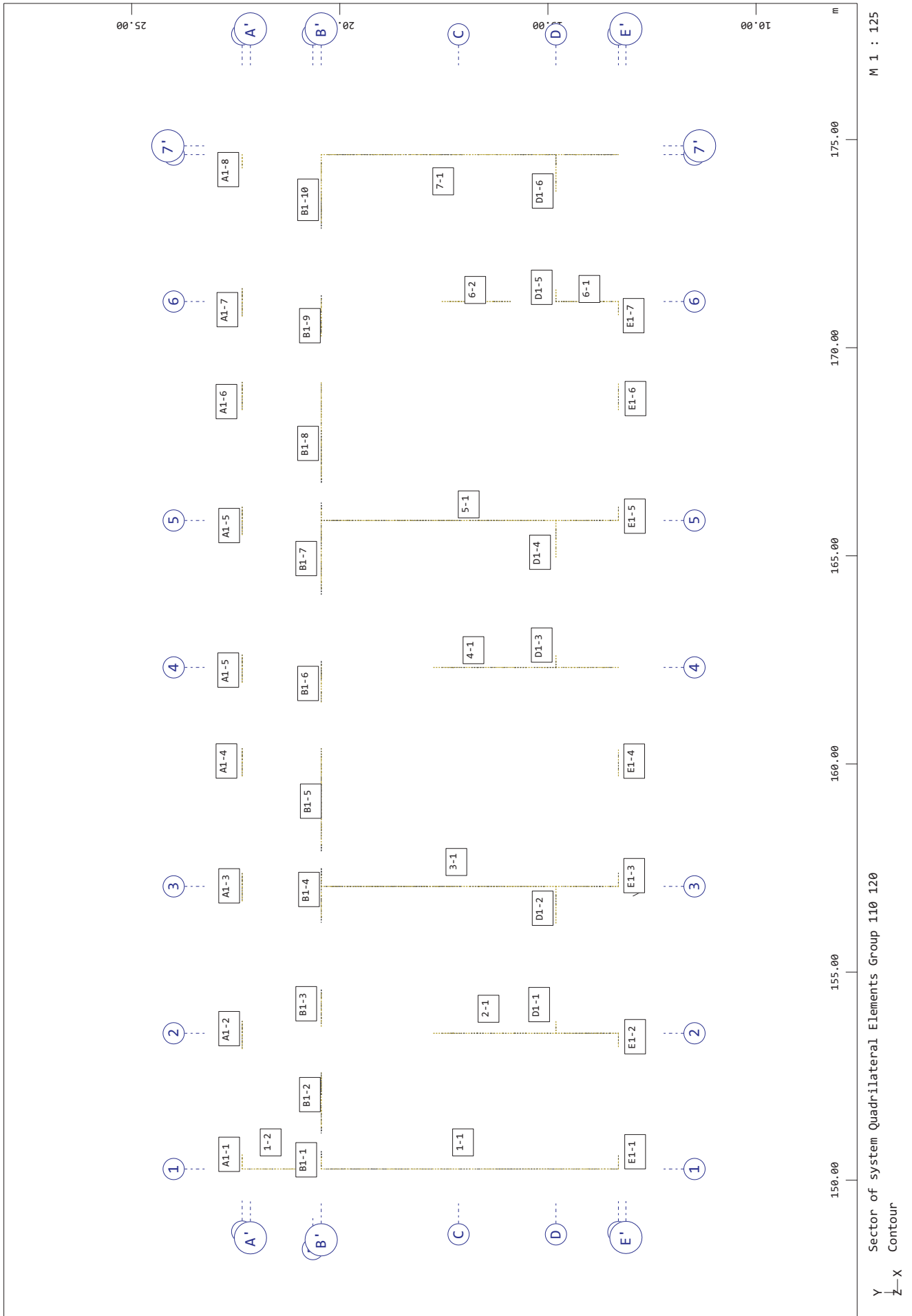
=oť esna oš e3 enite na ni%te je iž a>unana ņ i e%sti>ne3 noť esu \*o2. QR "+

Ůea2 ije na ni%te so ĉoš%eni s ņ o8 a3 o3 To1 e' S ' D in +o/isti2. Di3 en2ioniř anje ni%ta je iz-eĉeno ņ o8 a3 u Dg+ 2a-se ošjetje te.

Dilatacija B1

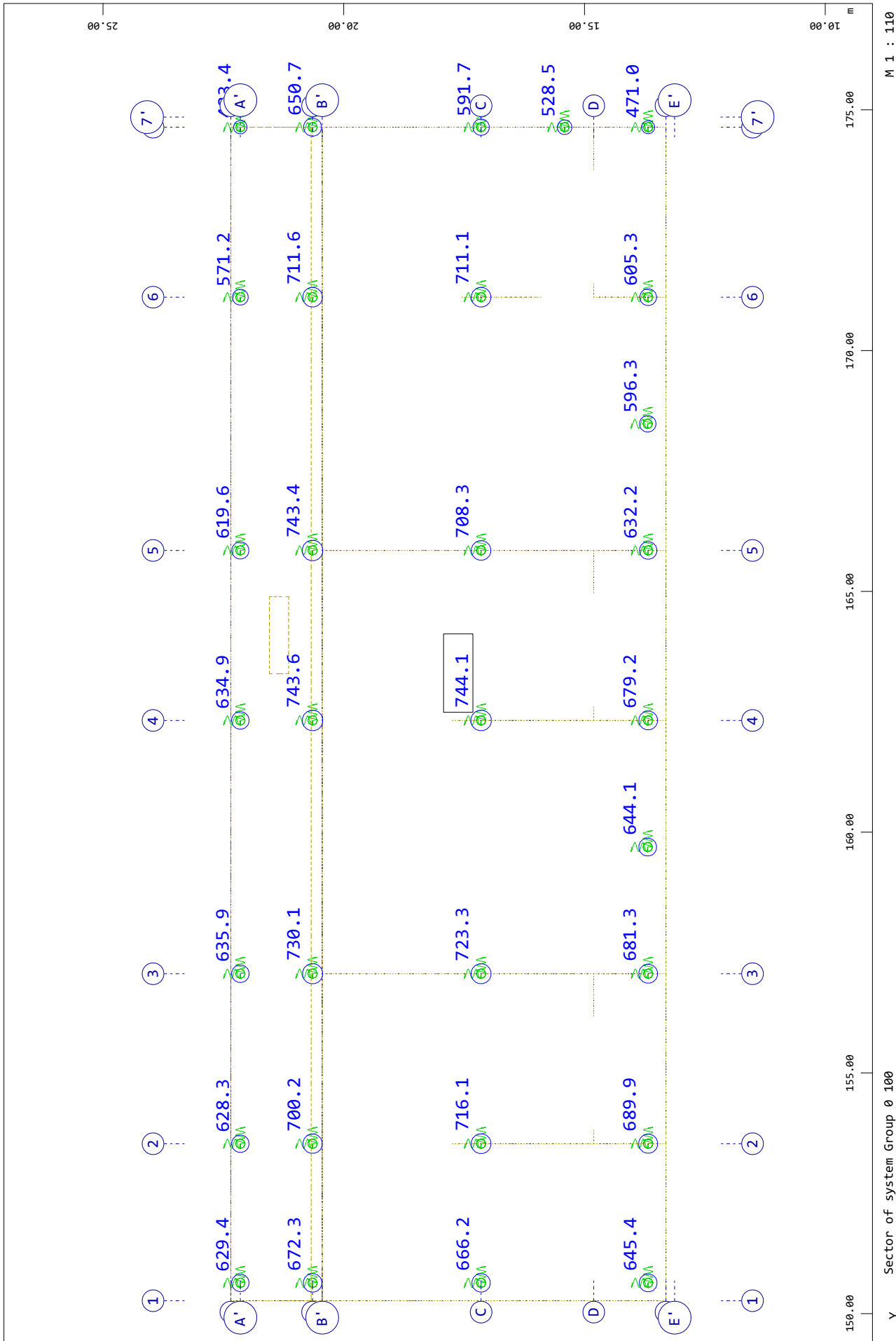
Potres - izpis sil

SOFiSTiK AG - www.sofistik.de



Dilatacija B1  
 Piloti

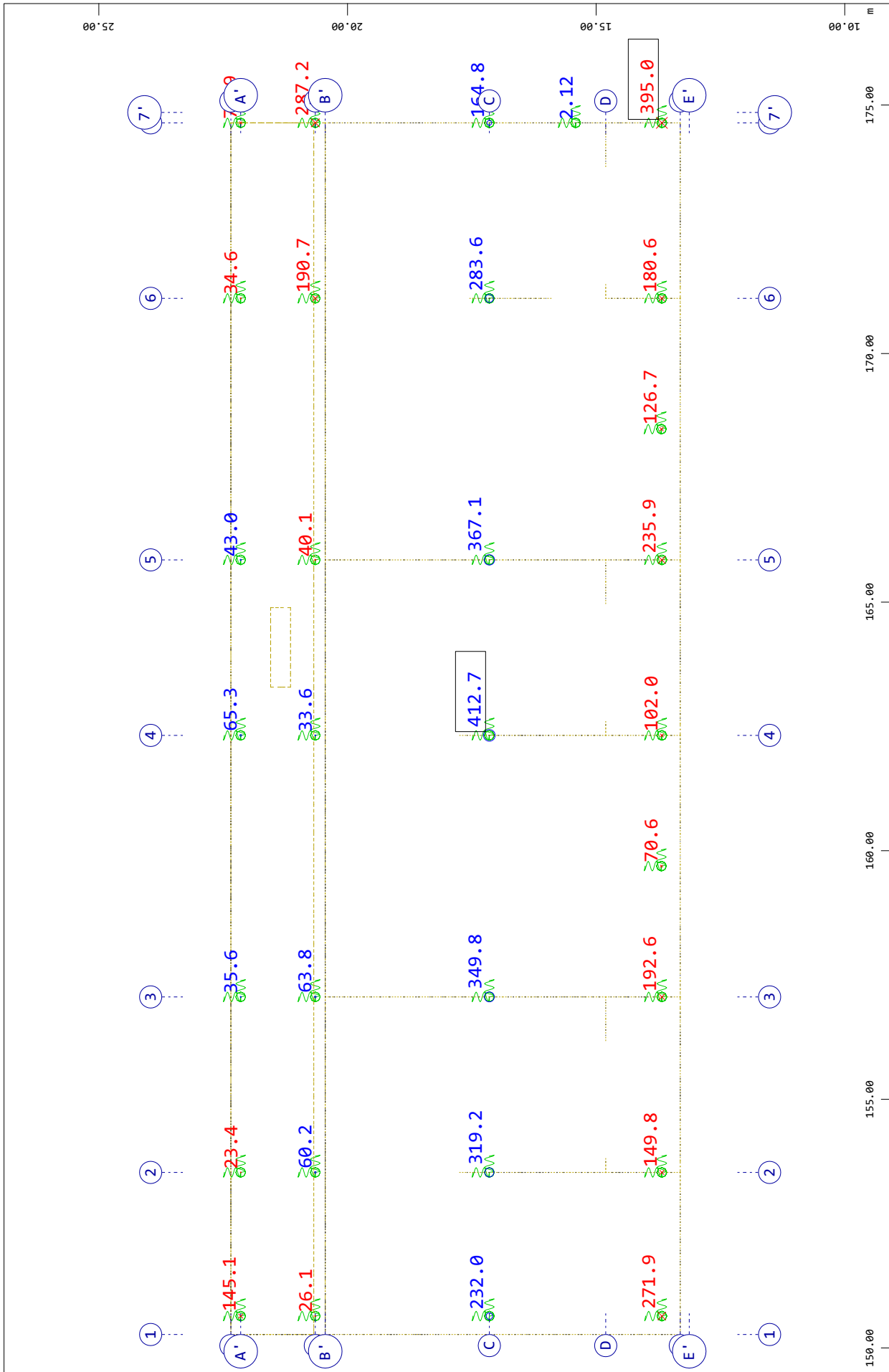
SOFiSTiK AG - www.sofistik.de



Y Sector of system Group 0 100  
 Z-X Supporting springs , Spring force in Global Z, Loadcase 70046 MIN-P SPRI -- ULS/STR , 1 cm 3D = 1375. kN  
 20189.) (total: (Max=744.1)

Dilatacija B1

Piloti



SOFiSTiK AG - www.sofistik.de

M 1 : 109

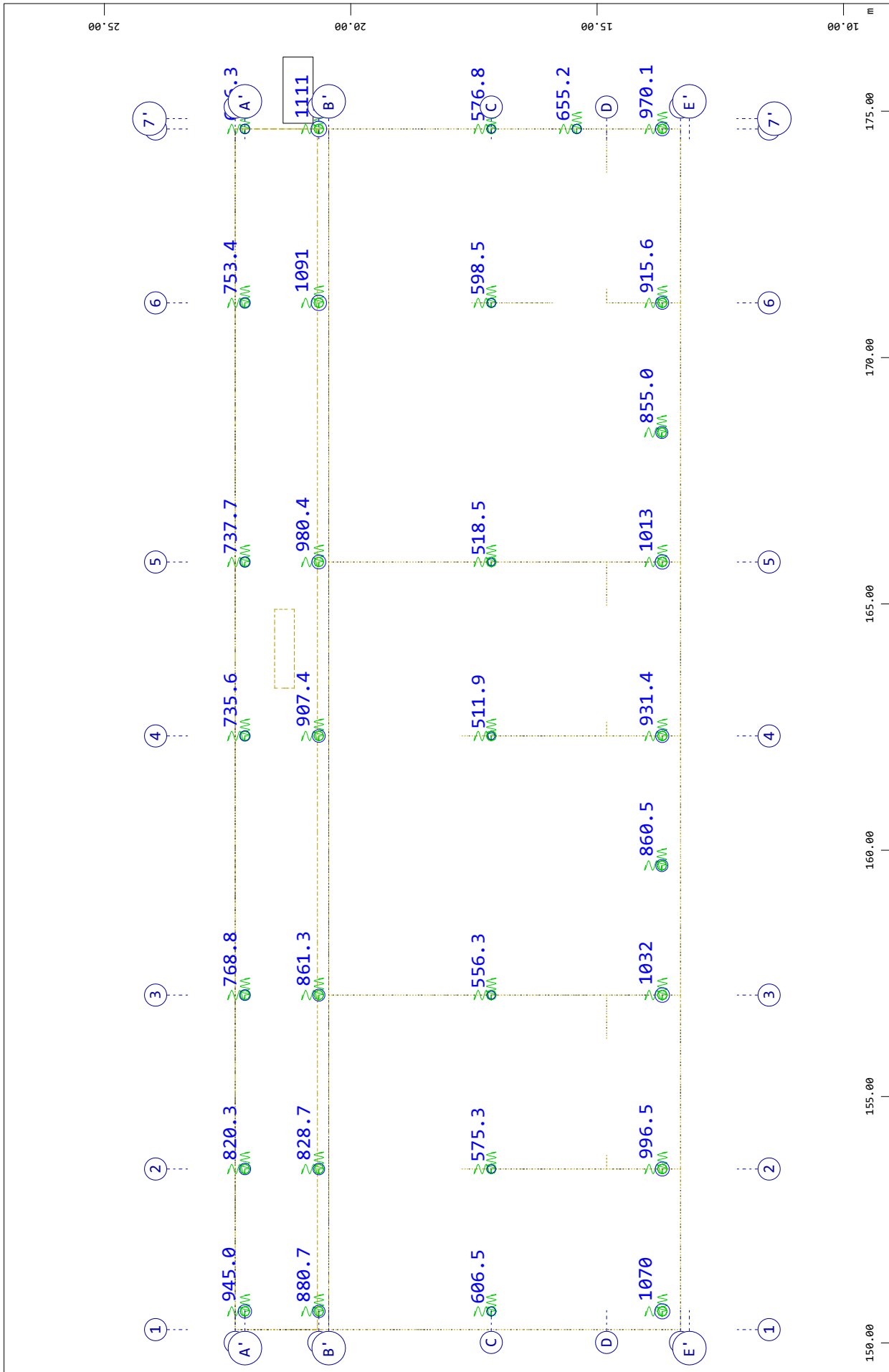


(Min=-395.0)

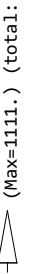
Sector of system Group 0 100  
 Supporting springs , Spring force in Global Z, Loadcase 73145 MAXE-P SPRI -- ULS/E q=1 , 1 cm 3D = 1375. kN  
 (Max=412.7) (total: -117.5)

Dilatacija B1

Piloti



M 1 : 110

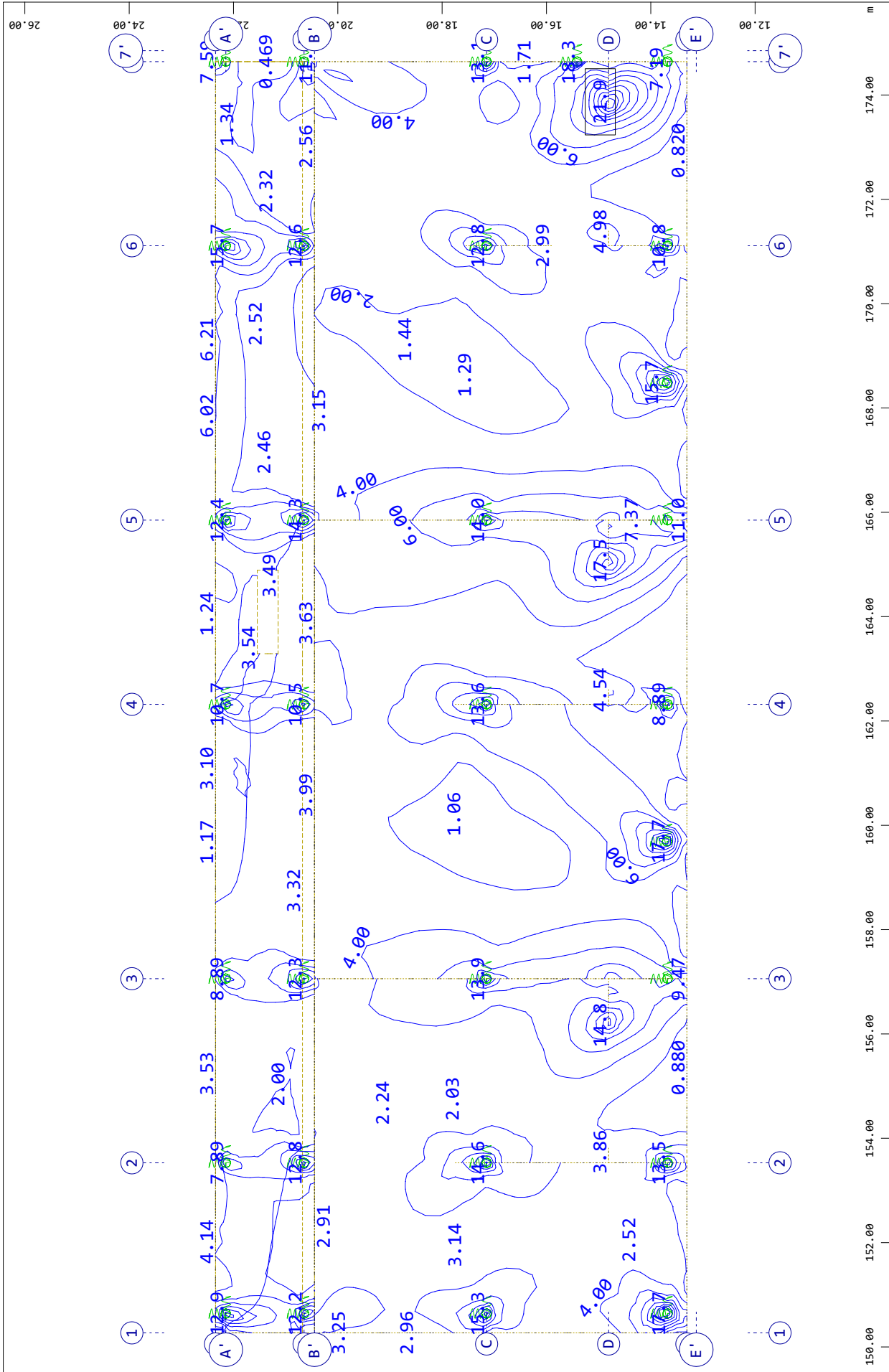


(Max=1111.) (total):

Y Sector of system Group 0 100  
 Z-X Supporting springs , Spring force in Global Z, Loadcase 73146 MINE-P SPRI -- ULS/E q=1 , 1 cm 3D = 2750. kN  
 25350.)

Dilatacija B1

Piloti



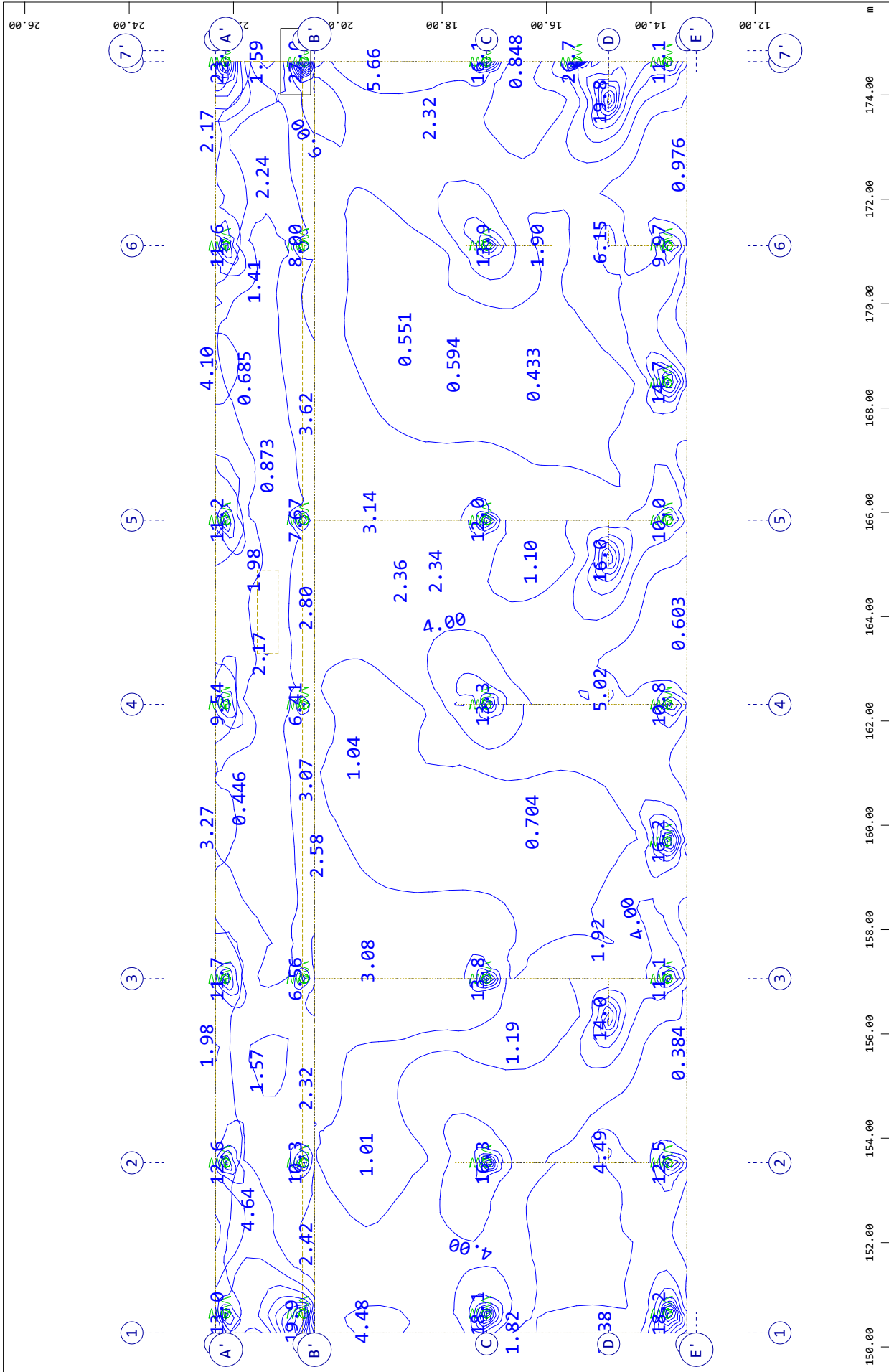
M 1 : 104

↔, Design Case 13 ULS design , from 0.0257 to 21.9 step 2.00 cm<sup>2</sup>/m

Y Sector of system Group 0 100  
 Z-X Quadrilateral Elements , upper Principal reinforcements (1st layer)

Dilatacija B1

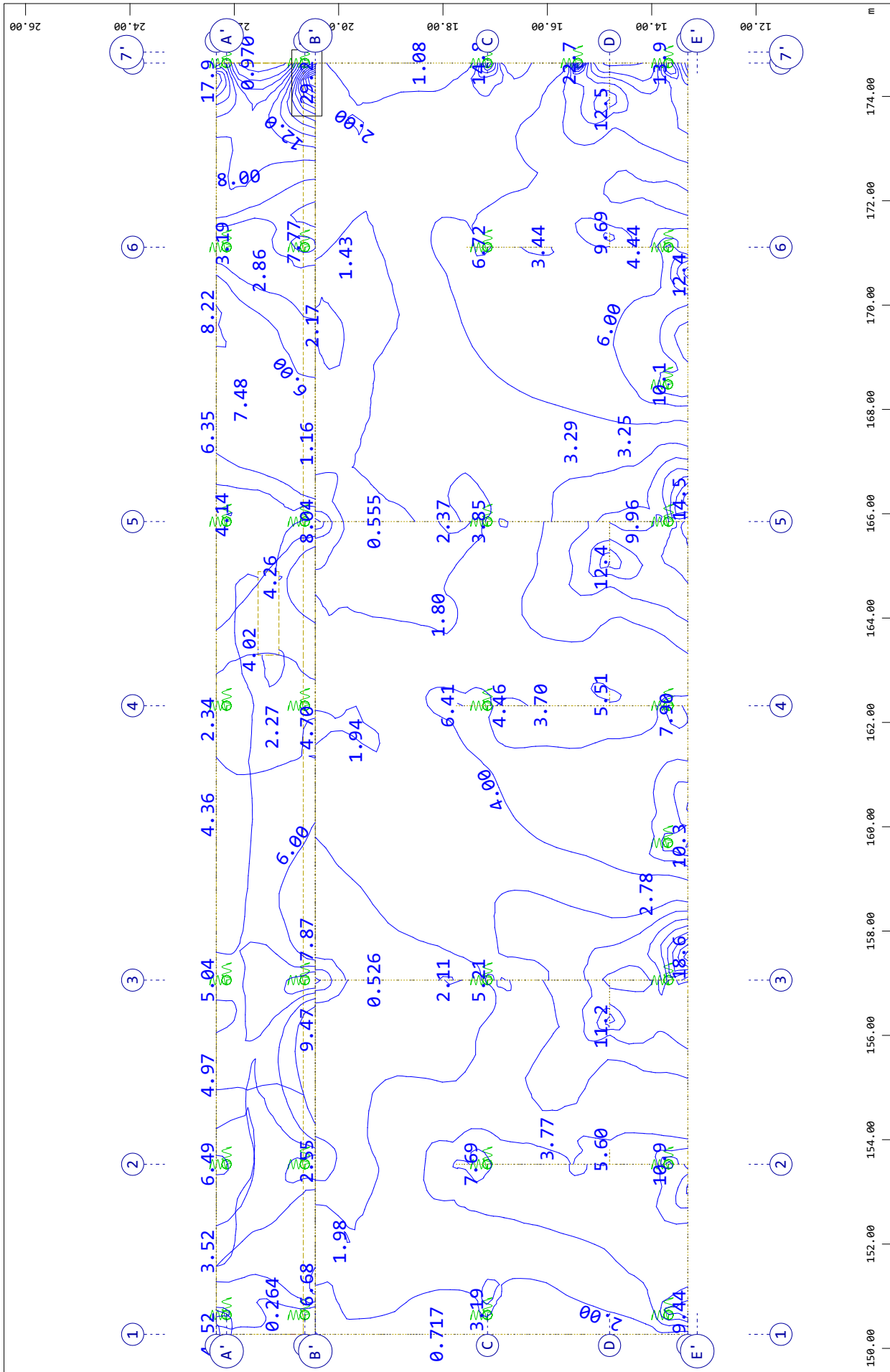
Piloti



SOFIStIK AG - www.sofistik.de

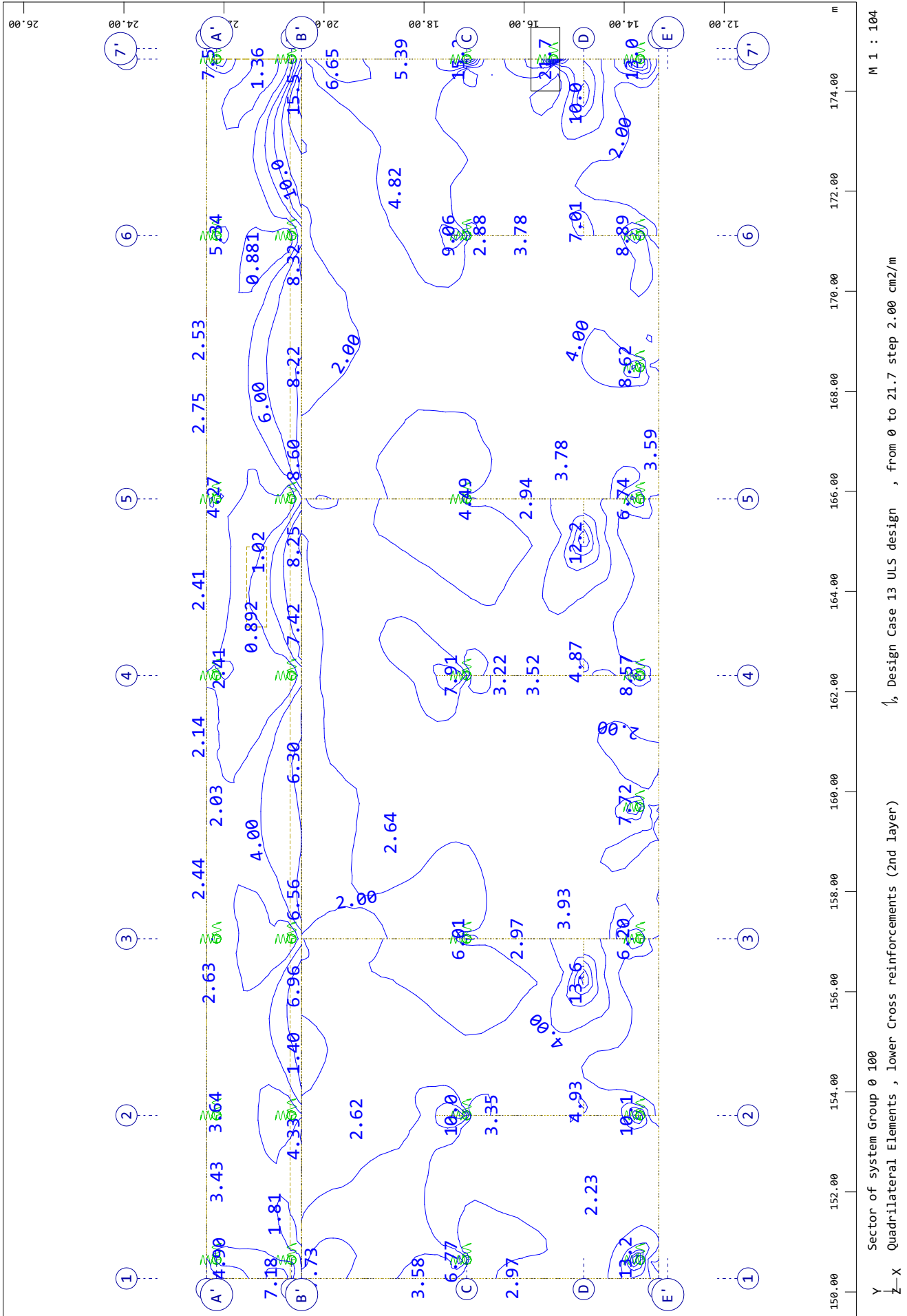
Dilatacija B1

Piloti



Dilatacija B1

Piloti



SOFiSTiK AG - www.sofistik.de

## 7 Objekt B – dilatacija 2

### 7.1 Plošče

Načrt je prikazan na sliki 3. Načrt je sestavljen iz dveh delov, ki sta povezani s spojem. Dimenzije in lastnosti materialov so podane v tabeli 1.

Minimalna površina je določena s pogoji:

$$A_{s,min} = 0,26 \frac{f_{ctm}}{f_{yk}} b_t d = 0,26 \frac{0,29}{50} 100 \cdot 16 = 2,4 \text{ cm}^2/\text{m} \geq 0,0013 b_t d = 2,1 \text{ cm}^2/\text{m}$$

Če je potrebno, se površina poveča za faktor 1,25. Za določitev potrebne površine je potrebno upoštevati tudi druge pogoje, kot so omejitve pomikov in deformacij.

Maksimalna površina je določena s pogoji:

$$A_{s,max} = 0,04 A_c = 72 \text{ cm}^2/\text{m}$$

Če je potrebno, se površina poveča za faktor 1,25.

Prečna deformacija je omejena s pogoji:  $s_{max} = 3h \leq 400 \text{ mm}$  in  $s_{max} = h \leq 250 \text{ mm}$ .

Če je potrebno, se prečna deformacija poveča za faktor 1,25.

Če je potrebno, se prečna deformacija poveča za faktor 1,25.

Načrt je prikazan na sliki 4. Načrt je sestavljen iz dveh delov, ki sta povezani s spojem. Dimenzije in lastnosti materialov so podane v tabeli 1.

Preglednica 10: Omejitve navpičnih premikov konstrukcije

Del konstrukcije	$w_{max}$	$w_2 + w_3$
Če je potrebno	G ##	G D#
Če je potrebno	G D#	G ##
Če je potrebno, in nosijo 2 4 e oš 8 e	G ##	G D#

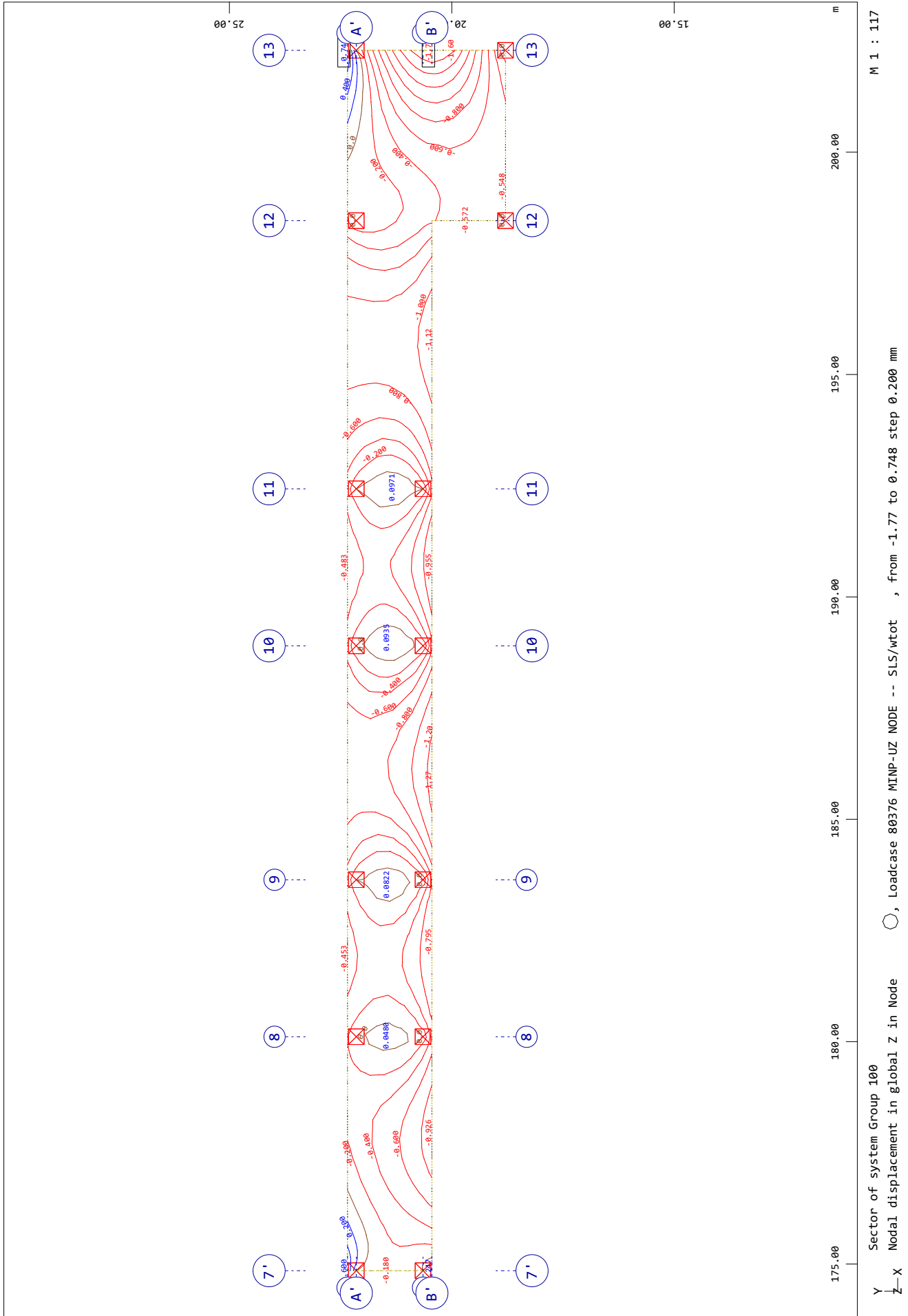
Če je potrebno, se prečna deformacija poveča za faktor 1,25.



Slika 5: Omejitve pomikov konstrukcije

Dilatacija B2

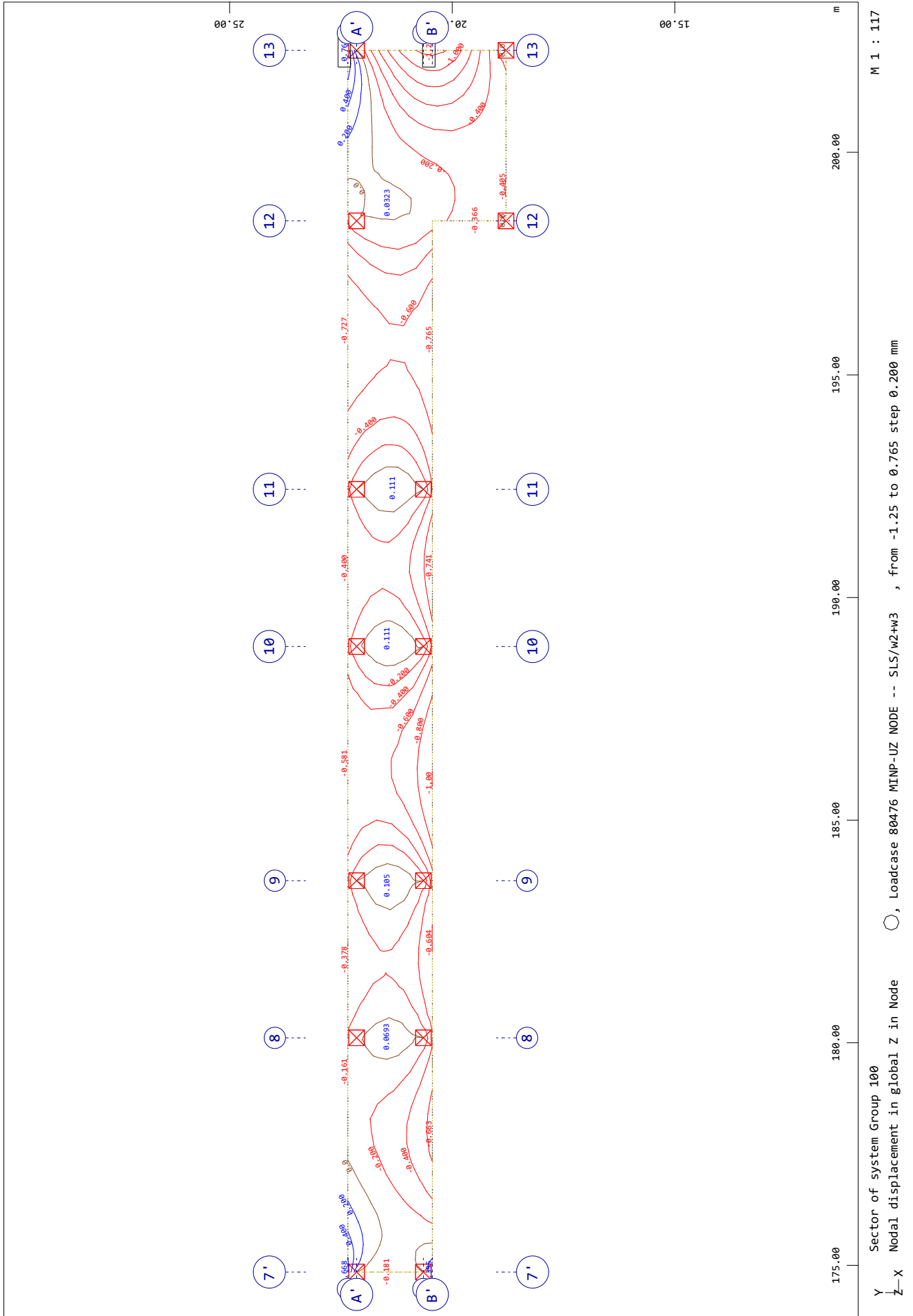
Plošče



Dilatacija B2

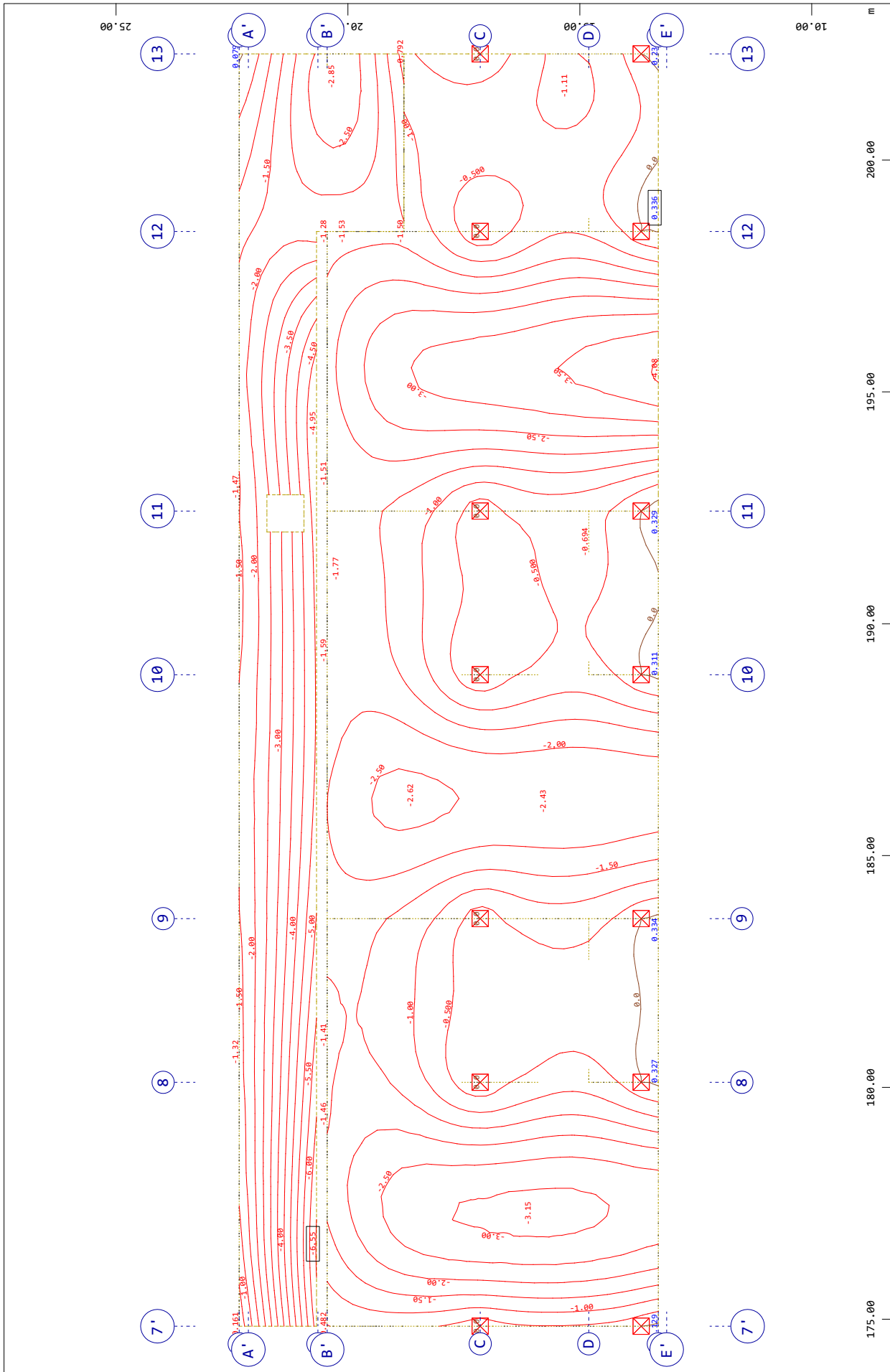
Plošče

SOFiSTIK AG - www.sofistik.de



Dilatacija B2

Plošče



M 1 : 117

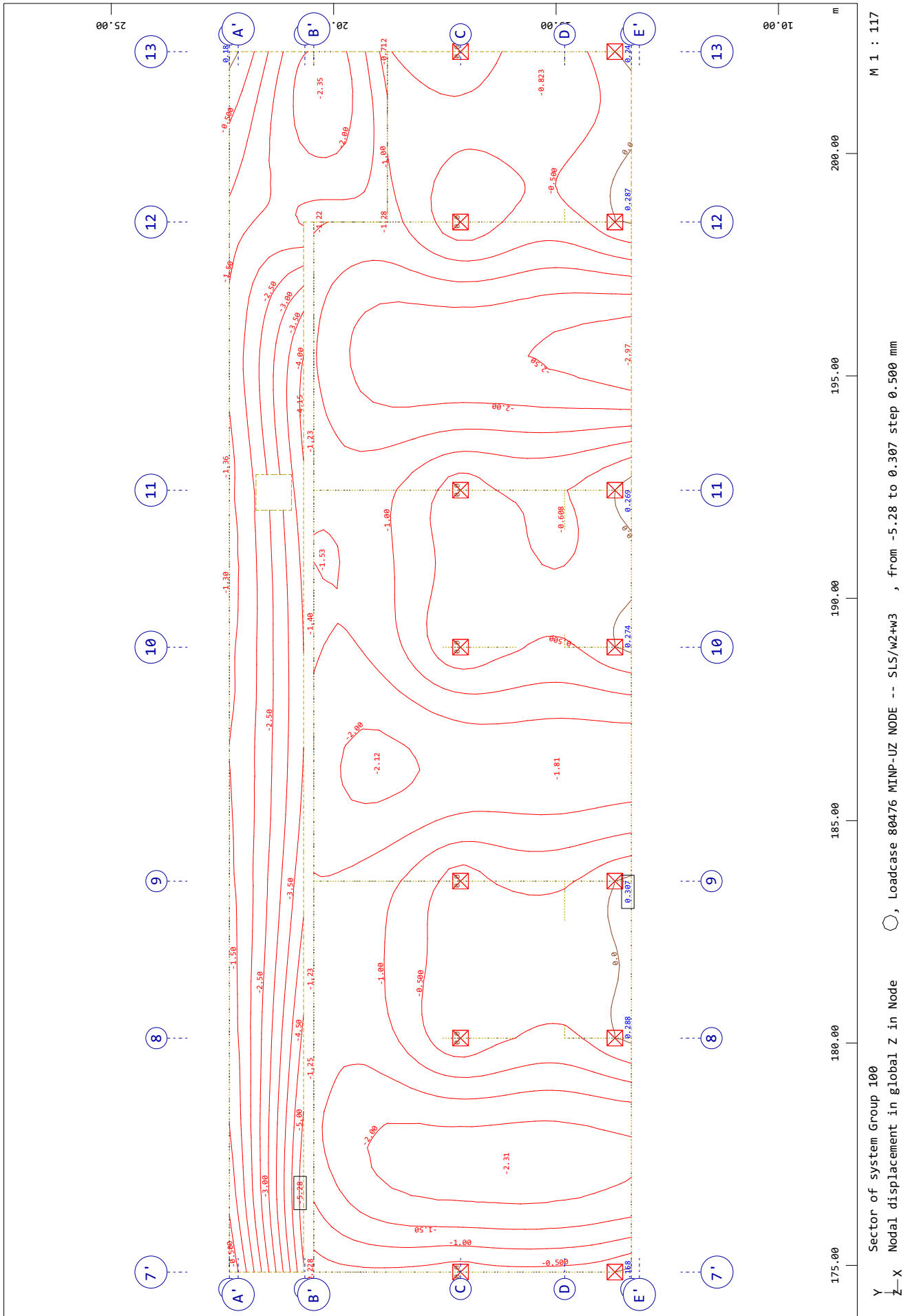
○, Loadcase 80376 MINP-UZ NODE -- SLS/wtot , from -6.55 to 0.336 step 0.500 mm

Y Sector of system Group 100  
 Z Nodal displacement in global Z in Node

Dilatacija B2

Plošče

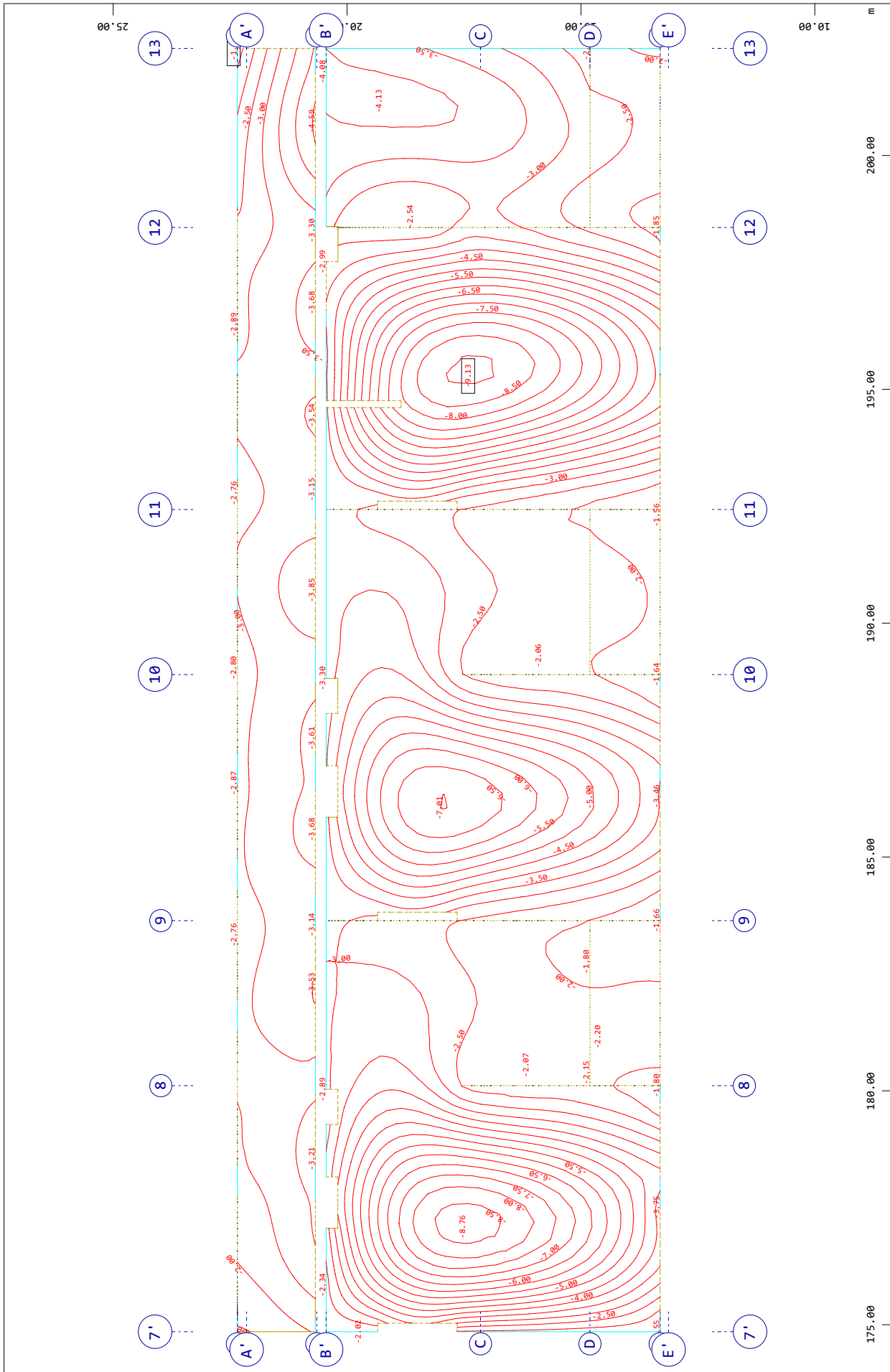
SOFiSTiK AG - www.sofistik.de



Dilatacija B2

Plošče

SOFiSTiK AG - www.sofistik.de



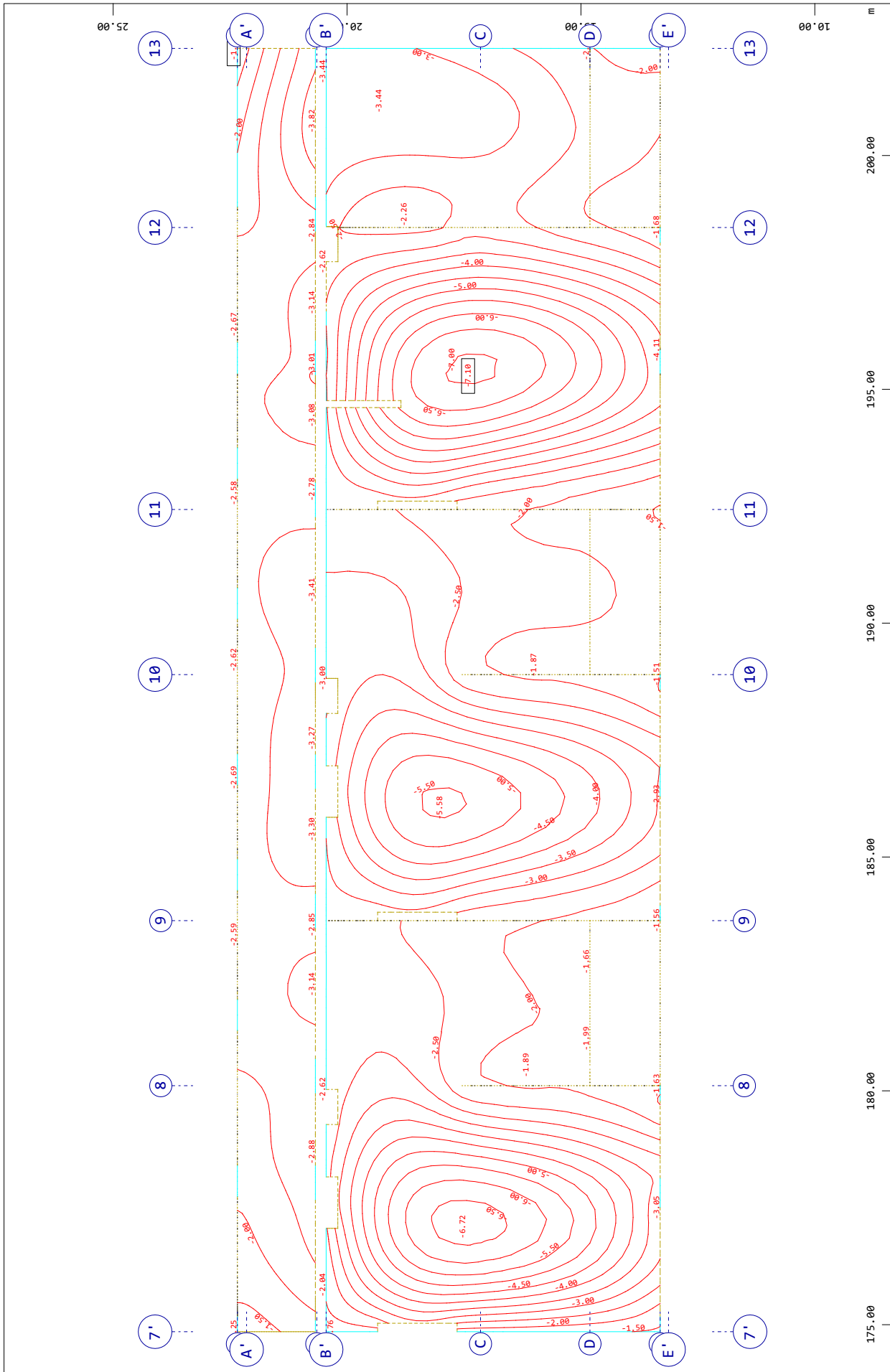
M 1 : 116

○, Loadcase 80376 MINP-UZ NODE -- SLS/wtot , from -9.13 to -1.25 step 0.500 mm

Y Sector of system Group 200  
 X Nodal displacement in Global Z in Node

Dilatacija B2

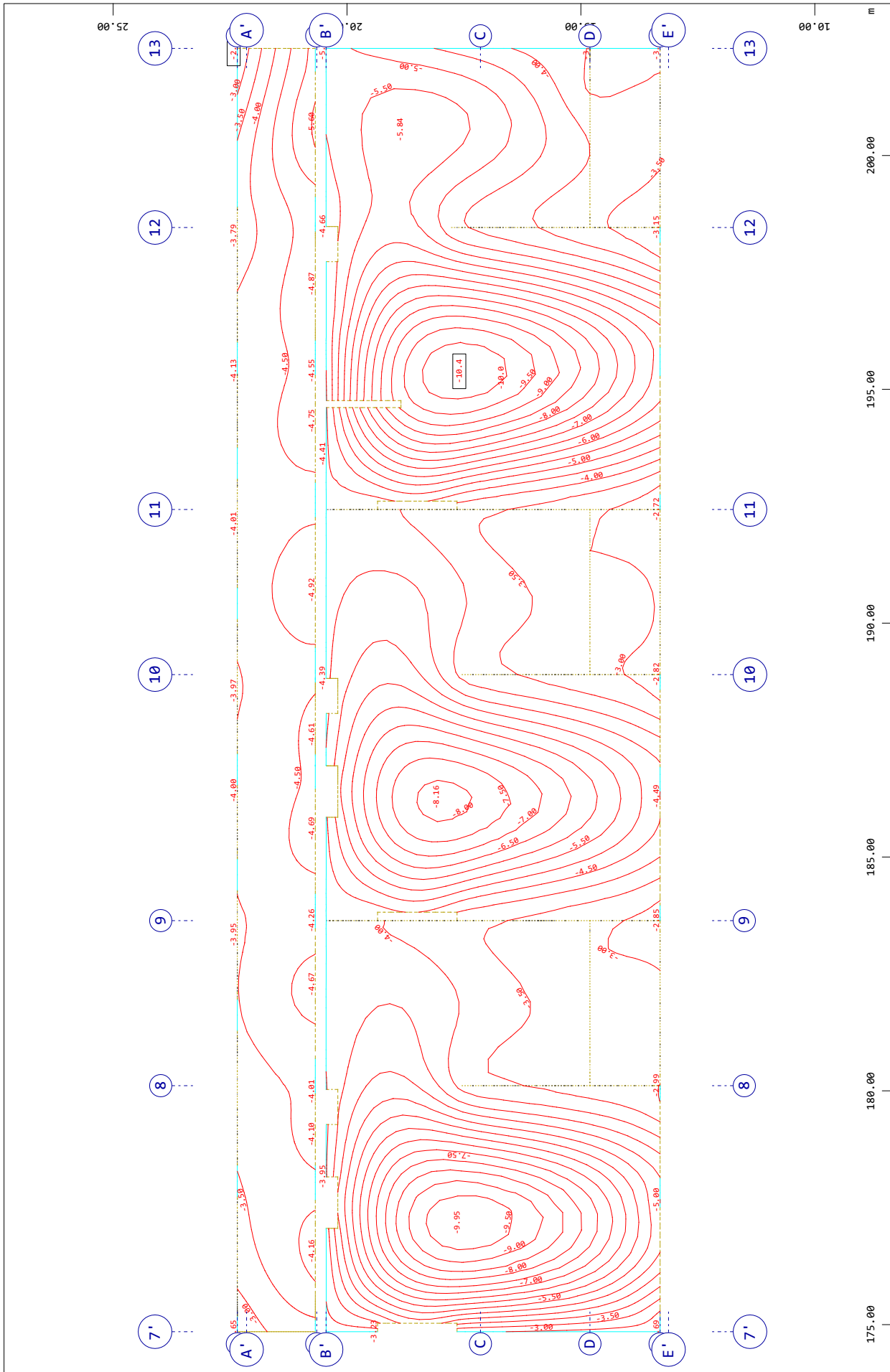
Plošče



SOFiSTiK AG - www.sofistik.de

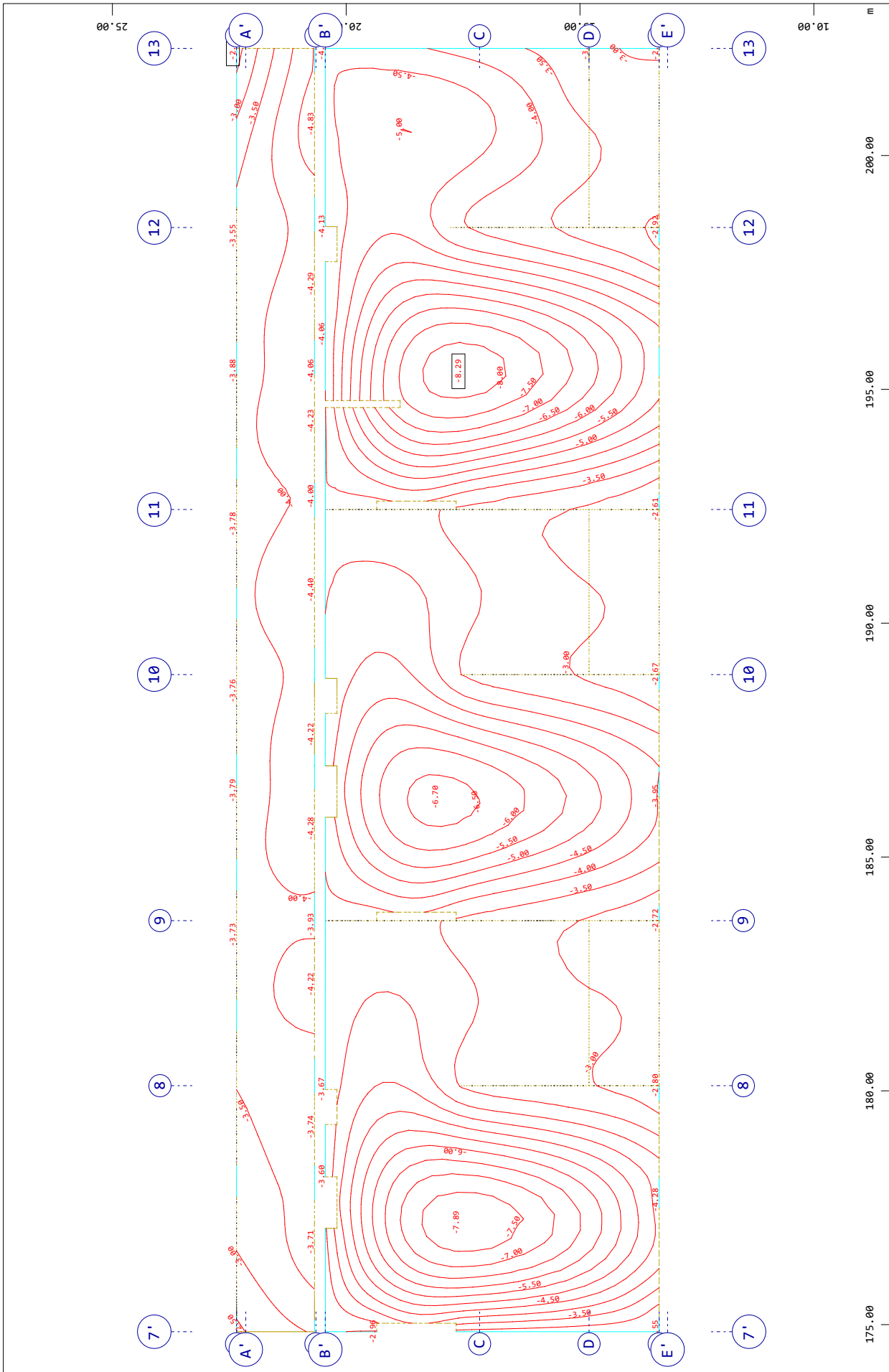
Dilatacija B2

Plošče



Dilatacija B2

Plošče



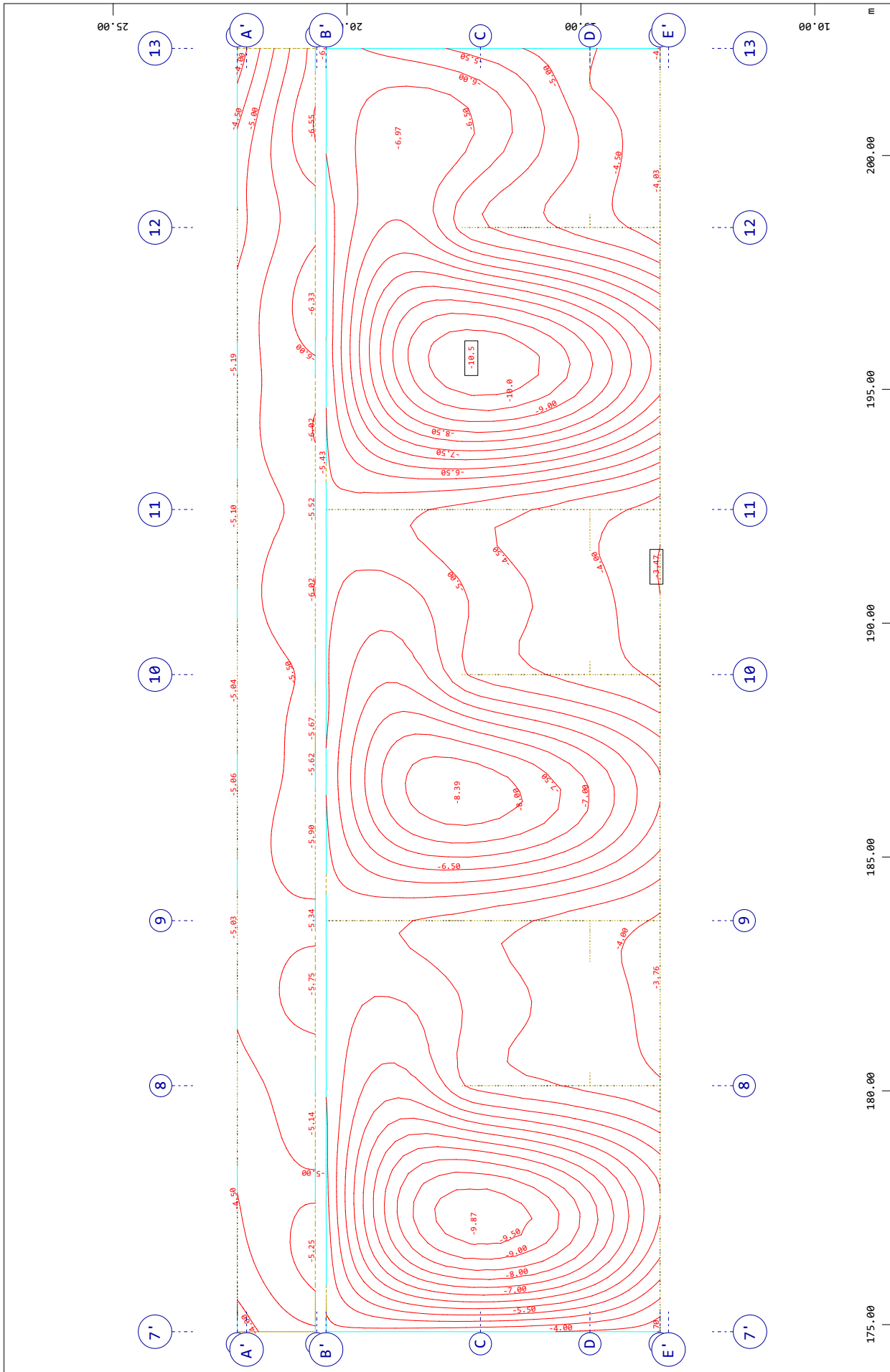
M 1 : 116

○, Loadcase 80476 MINP-UZ NODE -- SLS/w2+w3 , from -8.29 to -2.30 step 0.500 mm

Y Sector of system Group 300  
 Z Nodal displacement in global Z in Node

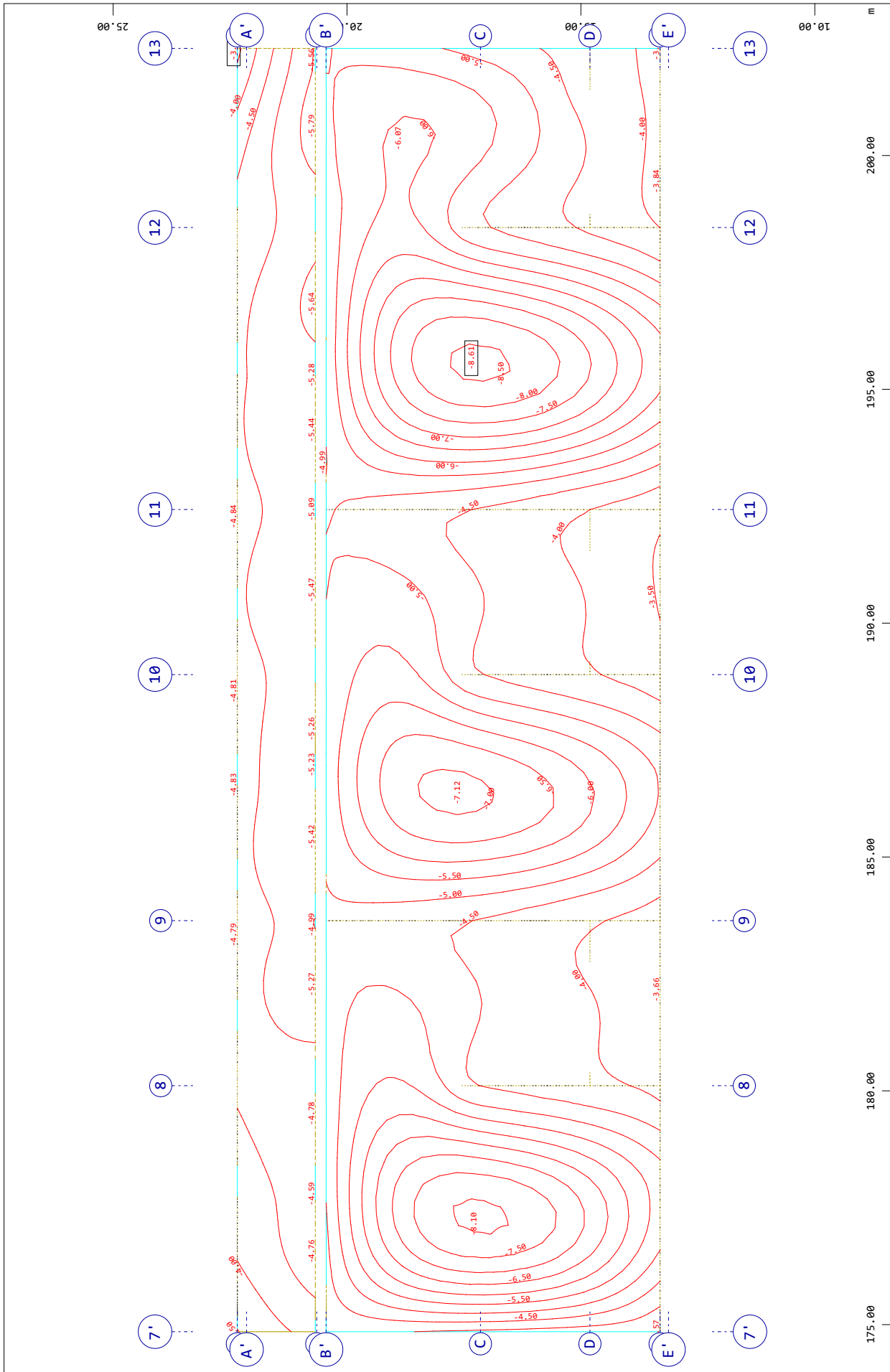
Dilatacija B2

Plošče



Dilatacija B2

Plošče



M 1 : 116

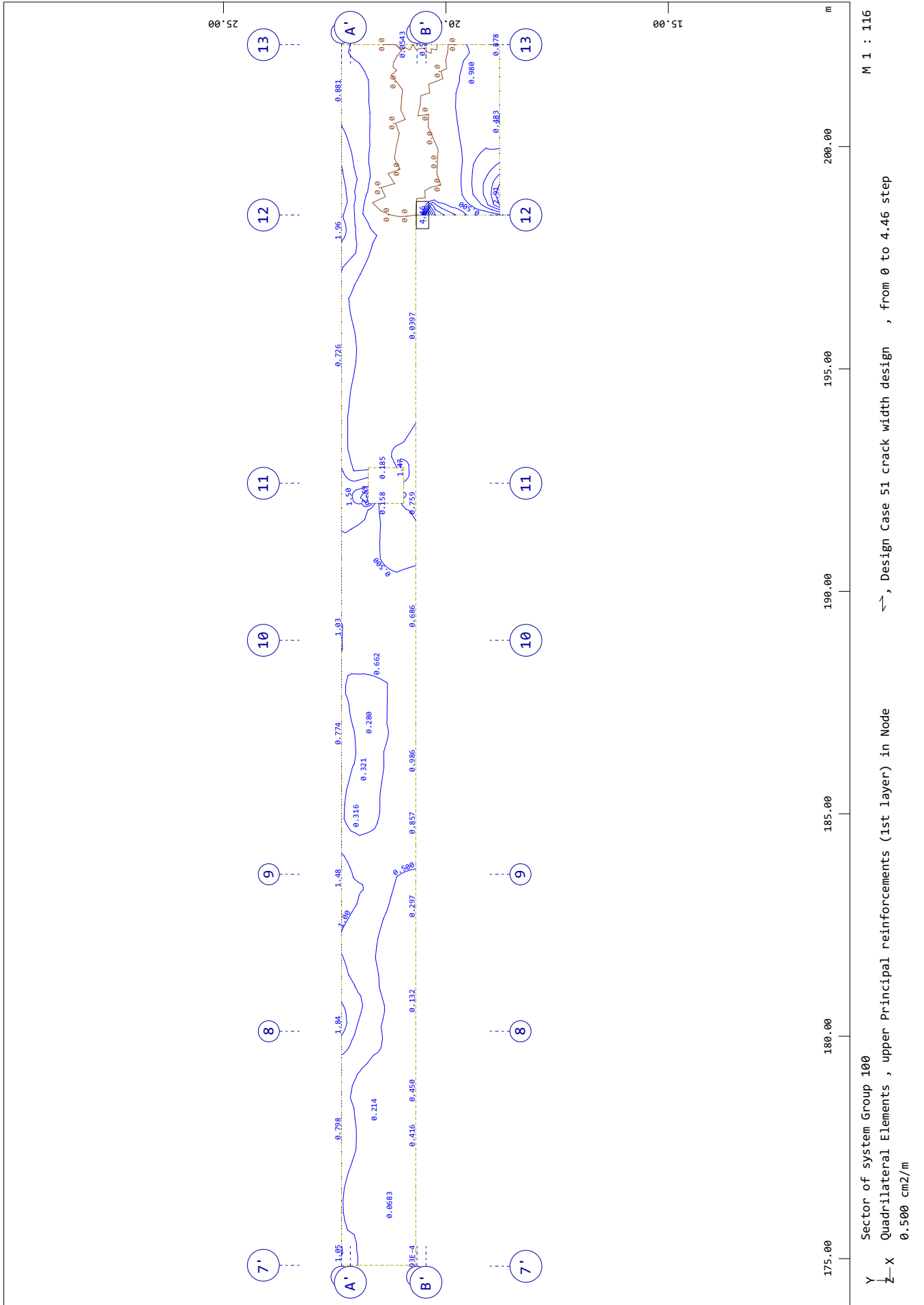
○, Loadcase 80476 MINP-UZ NODE -- SLS/w2+w3 , from -8.61 to -3.37 step 0.500 mm

Y Sector of system Group 400  
 Z Nodal displacement in Global Z in Node

Dilatacija B2

Plošče

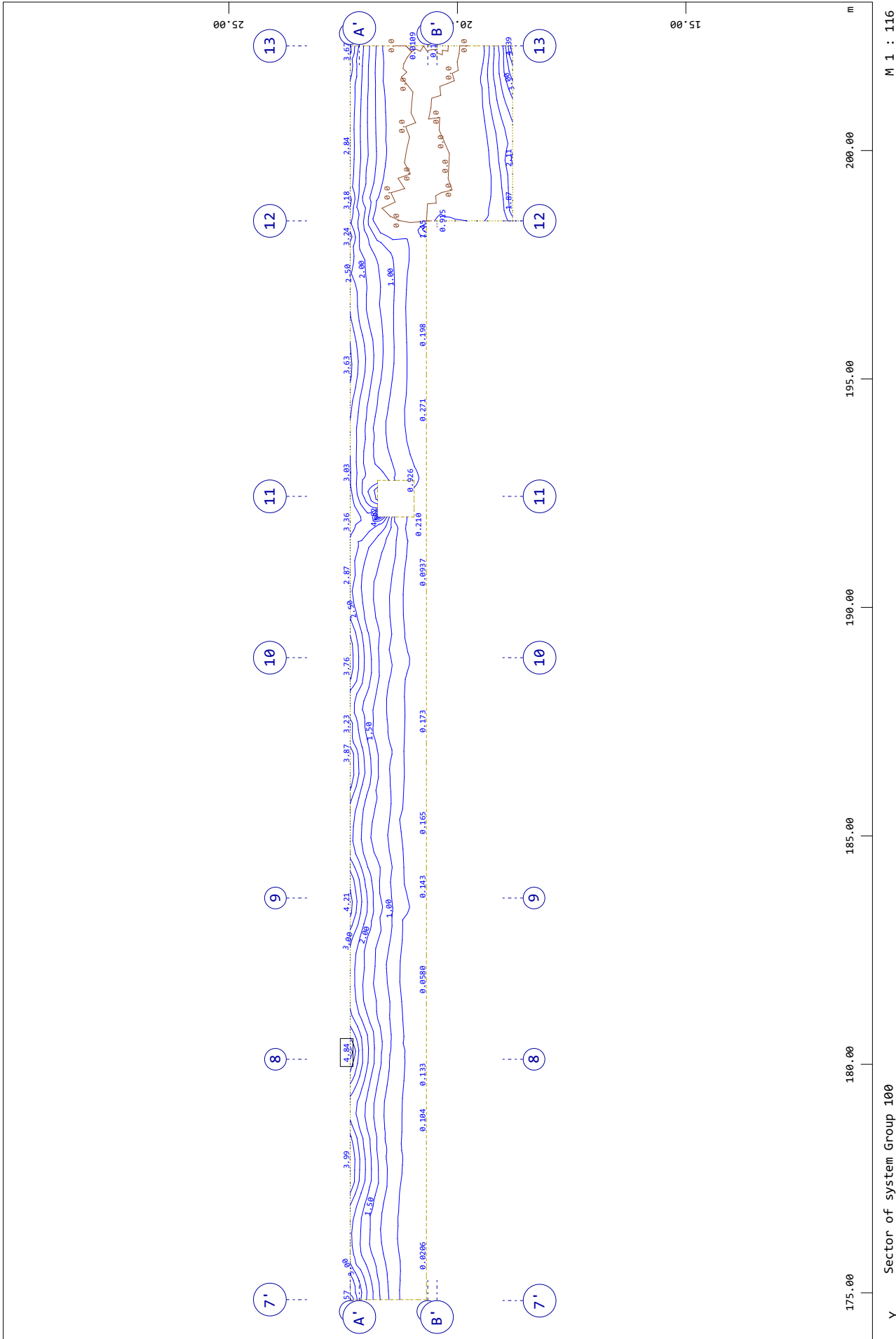
SOFiSTiK AG - www.sofistik.de



Dilatacija B2

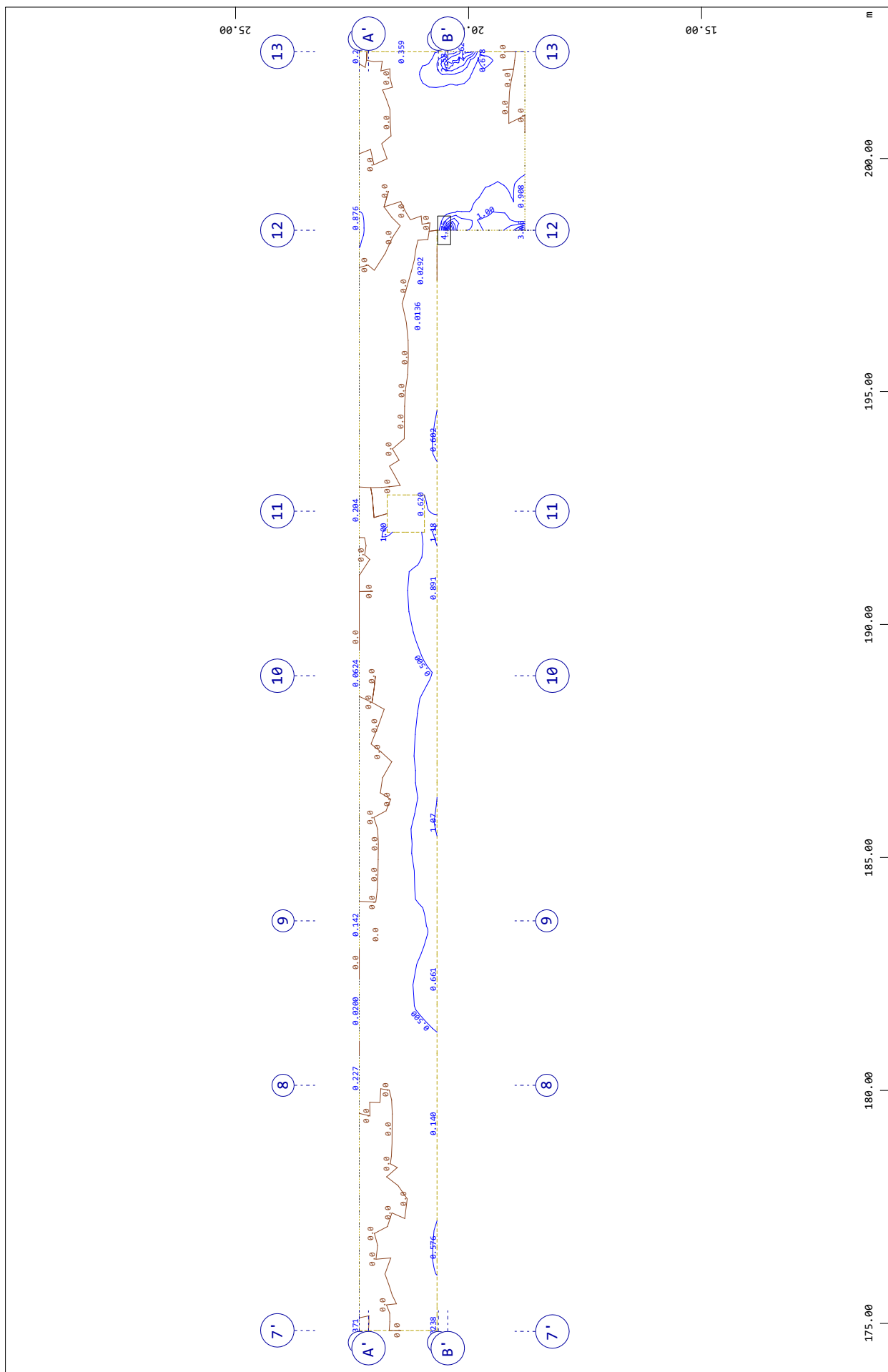
Plošče

SOFiSTiK AG - www.sofistik.de



Dilatacija B2

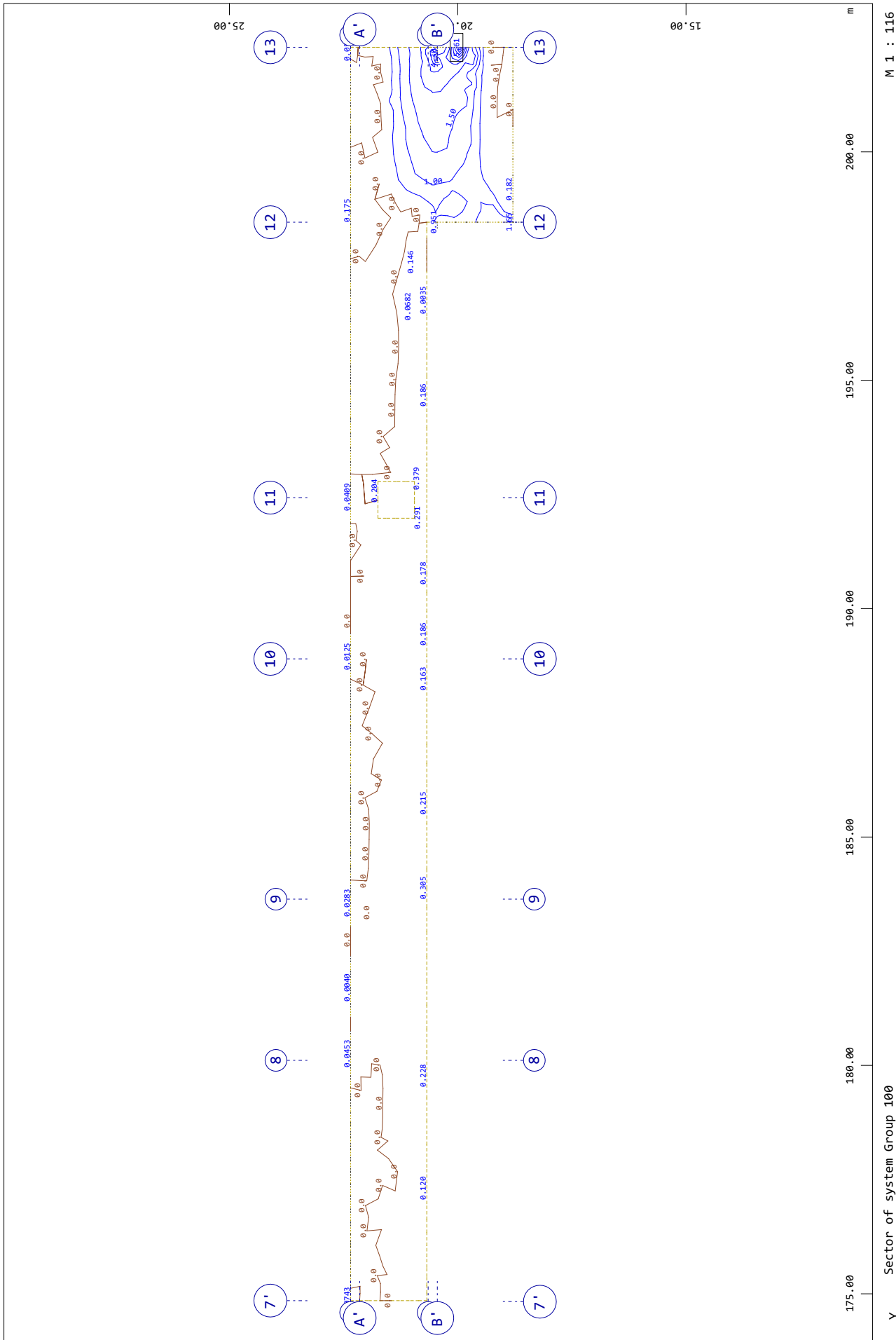
Ploščice



Dilatacija B2

Plošče

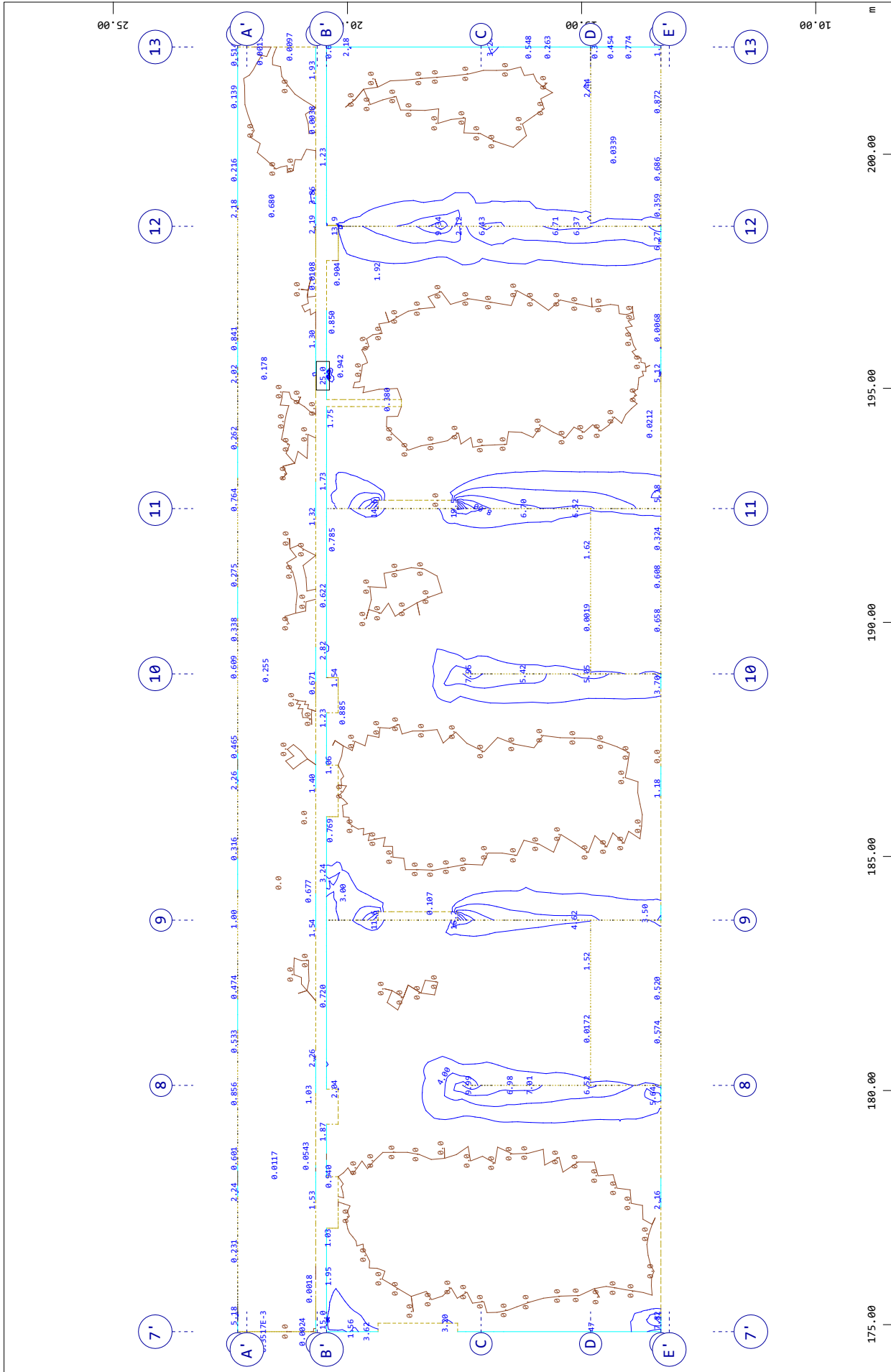
SOFiSTiK AG - www.sofistik.de



Dilatacija B2

Plošče

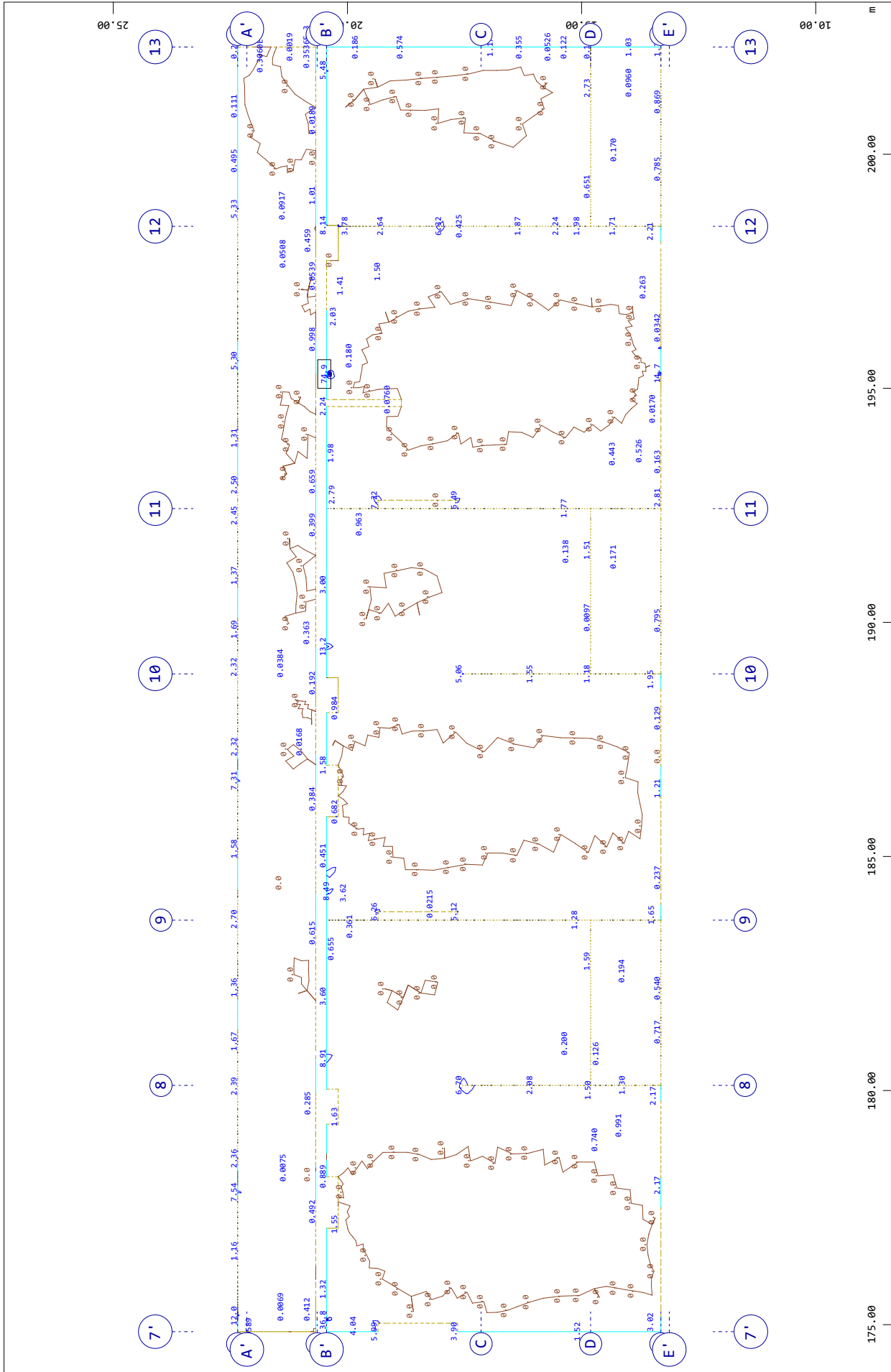
SOFIStIK AG - www.sofistik.de



Dilatacija B2

Ploščice

SOFiSTiK AG - www.sofistik.de



M 1 : 116

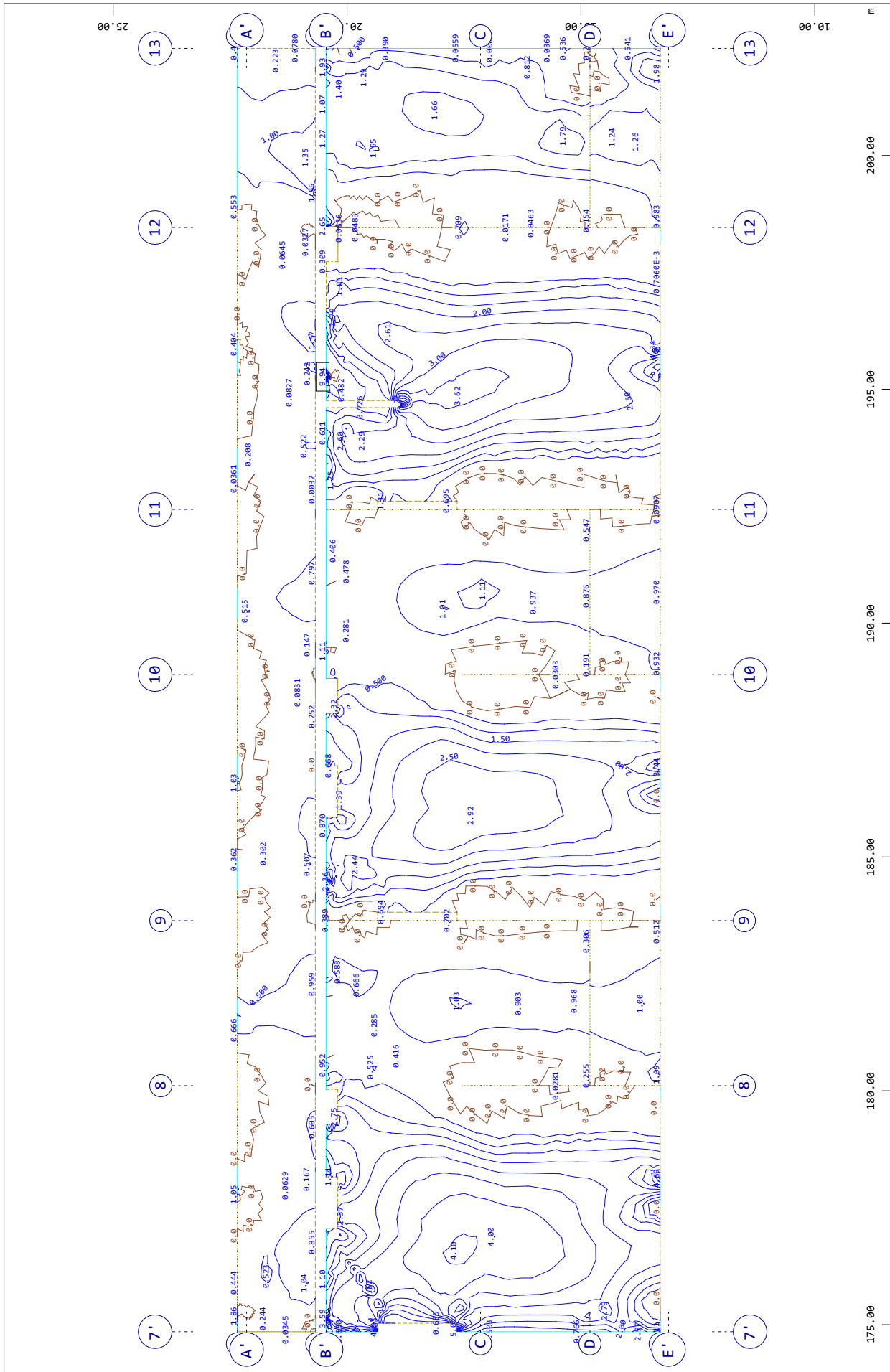
Design Case 51 crack width design , in Node (Max=74.9cm<sup>2</sup>/m), Design

Y Sector of system Group 200  
 X Quadrilateral Elements , upper Cross reinforcements (2nd layer)  
 error in the reinforcement (=B) in Node, from 0 to 74.9 step 5.00

Dilatacija B2

Ploščice

SOFiSTiK AG - www.sofistik.de



M 1 : 116

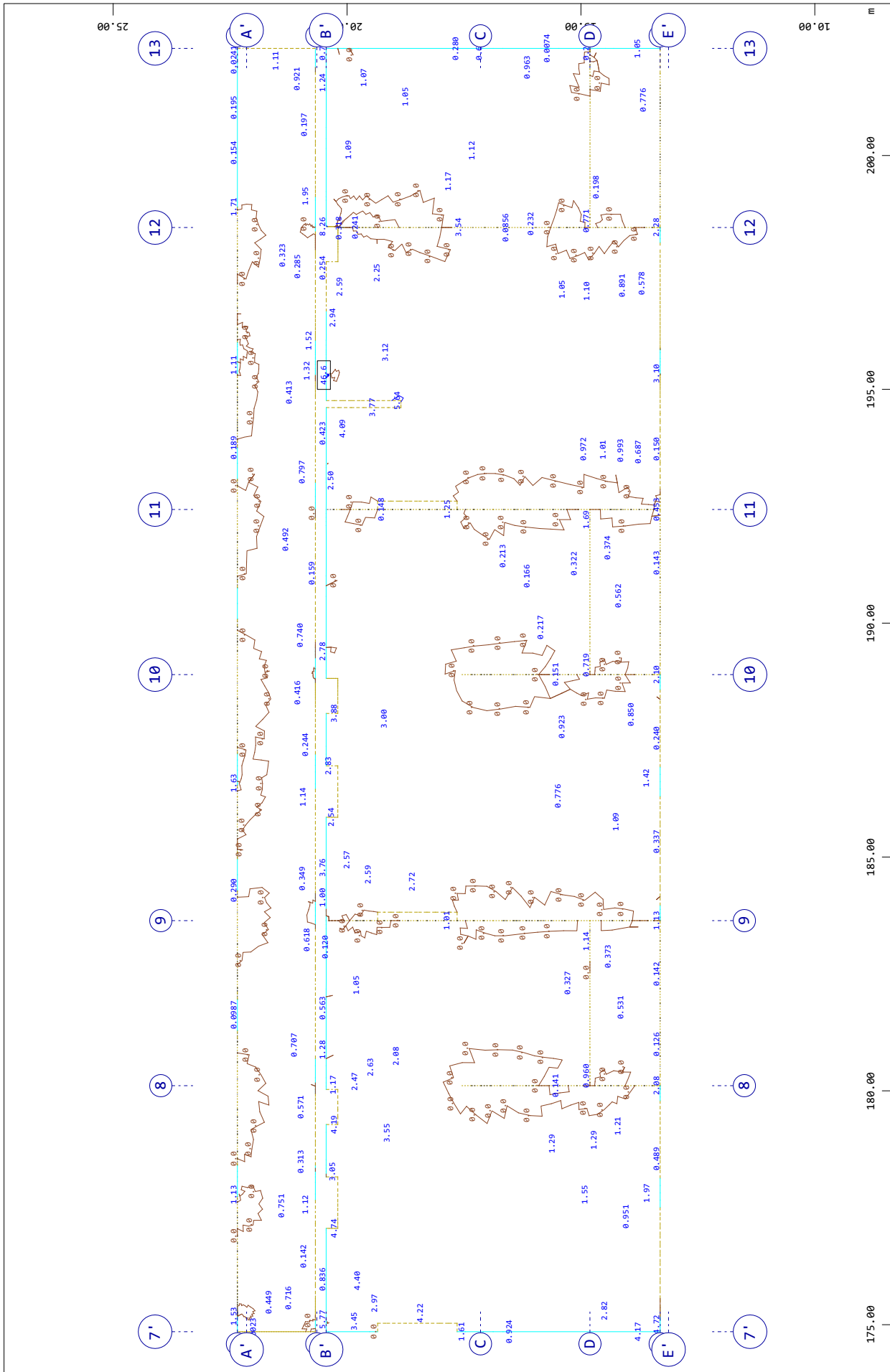
↔, Design Case 51 crack width design , in Node(Max=9.94cm2/m),

Y Sector of system Group 200  
 Z-X Quadrilateral Elements , lower Principal reinforcements (1st layer)  
 Design error in the reinforcement (=B) in Node, from 0 to 9.94 step 0.500

Dilatacija B2

Ploščice

SOFiSTiK AG - www.sofistik.de



M 1 : 116

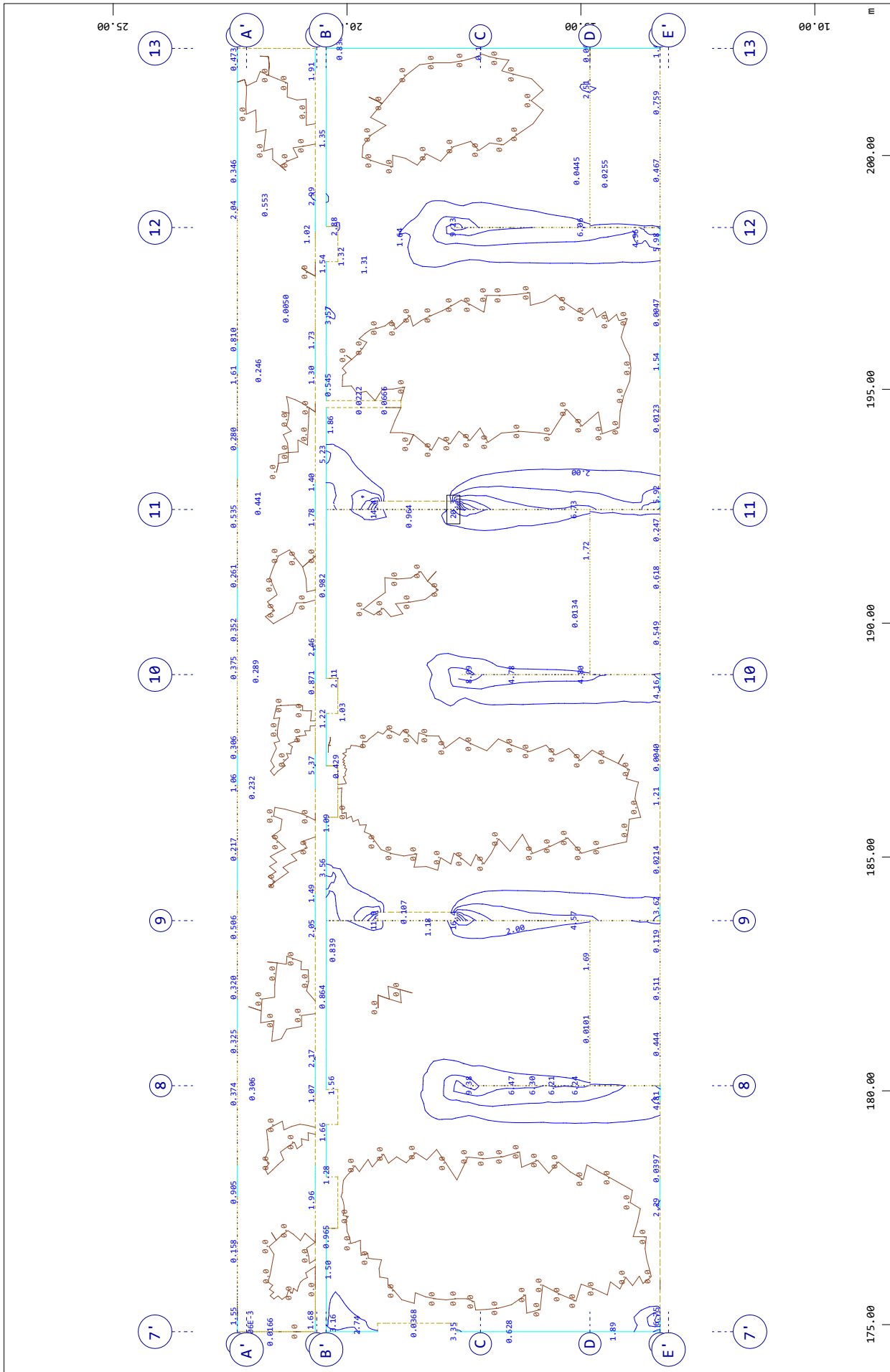
Design Case 51 crack width design , in Node (Max=46.6cm2/m), Design

Sector of system Group 200  
 Quadrilateral Elements , lower Cross reinforcements (2nd layer)  
 error in the reinforcement (=B) in Node, from 0 to 46.6 step 5.00

Dilatacija B2

Plošče

SOFiSTiK AG - www.sofistik.de



M 1 : 116

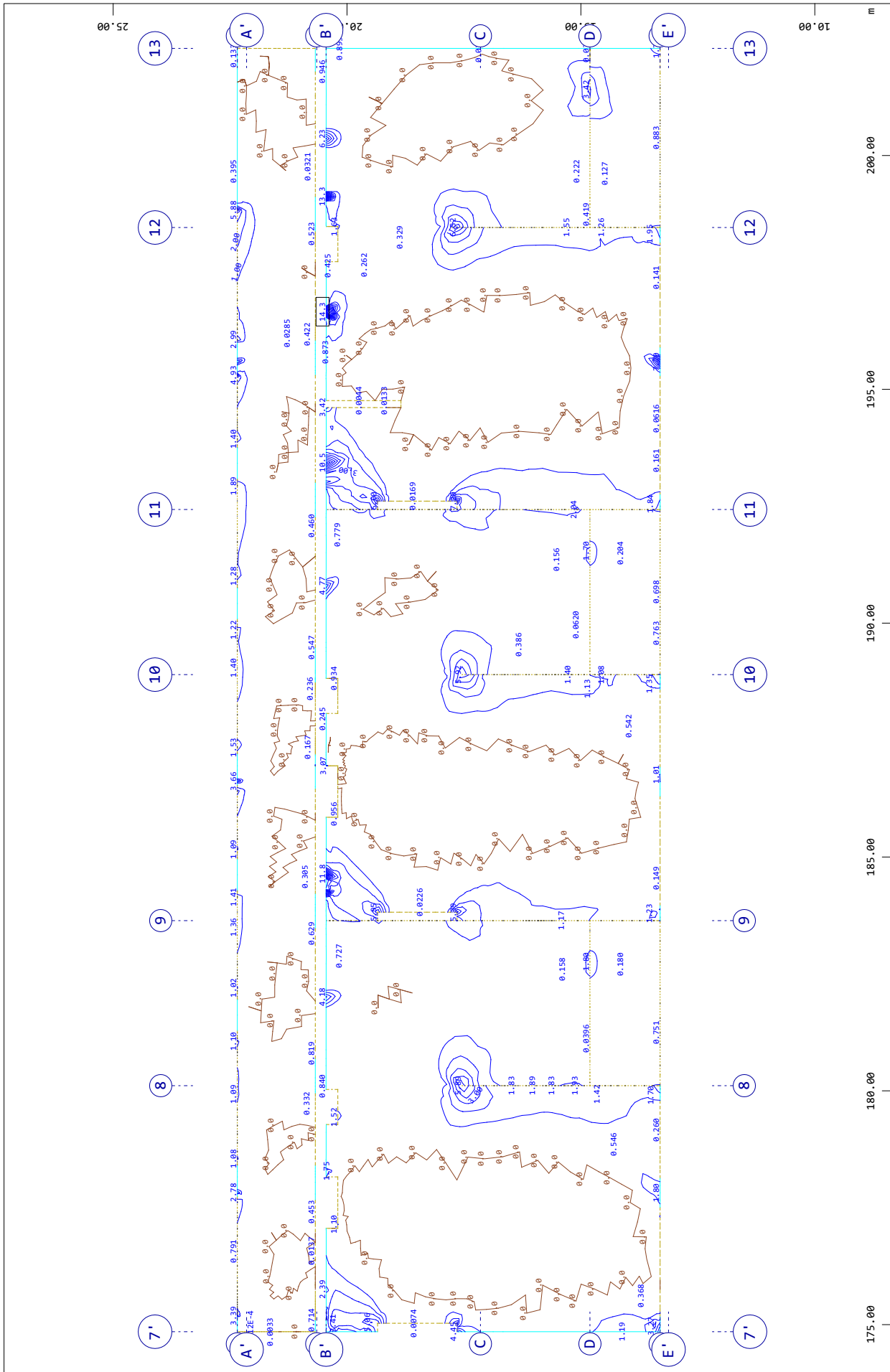
↔, Design Case 51 crack width design , from 0 to 20.3 step

Y Sector of system Group 300  
 X Quadrilateral Elements , upper Principal reinforcements (1st layer) in Node  
 2.00 cm<sup>2</sup>/m

Dilatacija B2

Plošče

SOFiSTiK AG - www.sofistik.de



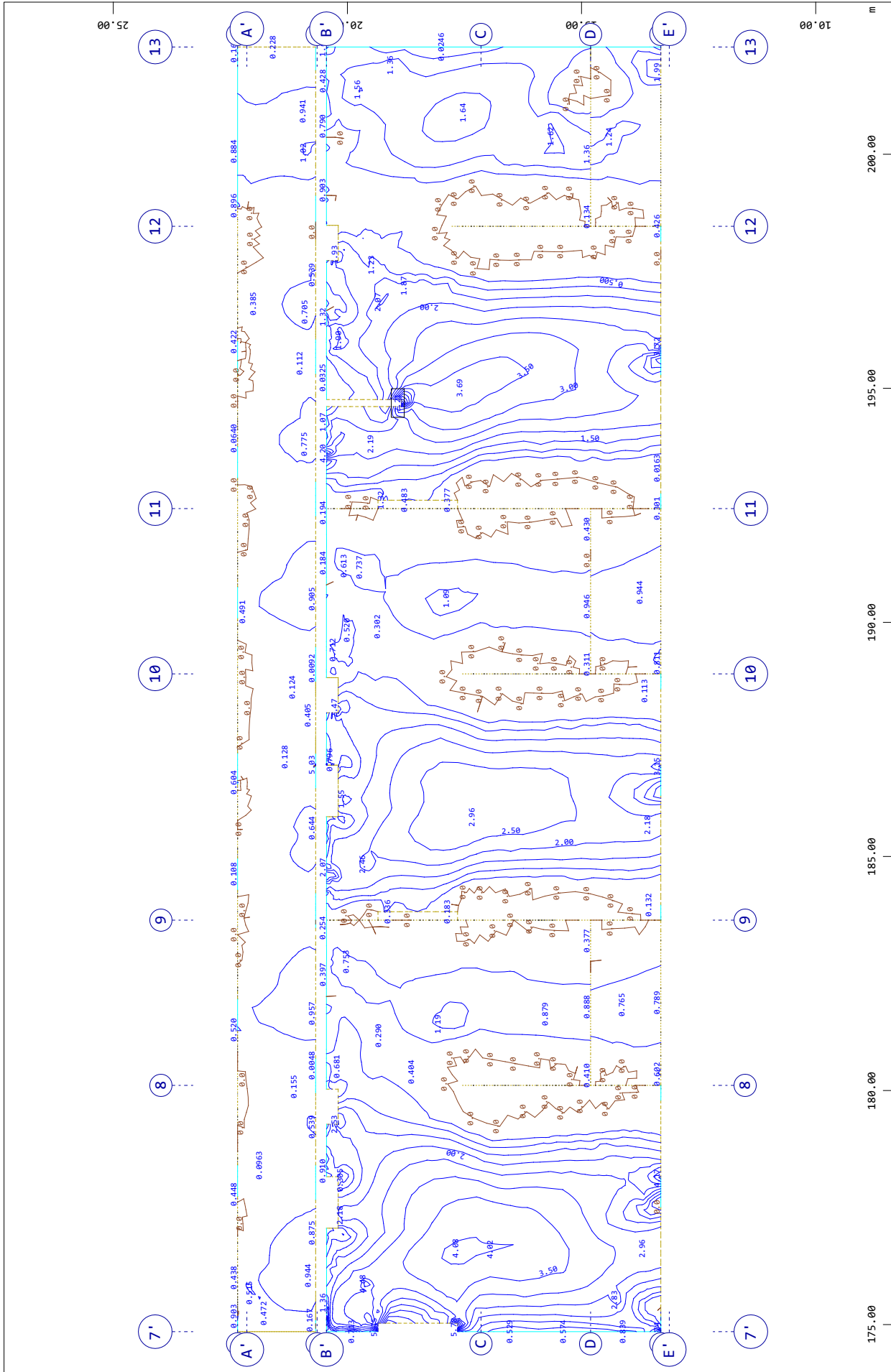
M 1 : 116

1, Design Case 51 crack width design , from 0 to 14.3 step

Y Sector of system Group 300  
 Z-X Quadrilateral Elements , upper Cross reinforcements (2nd layer) in Node  
 1.00 cm<sup>2</sup>/m

Dilatacija B2

Plošče

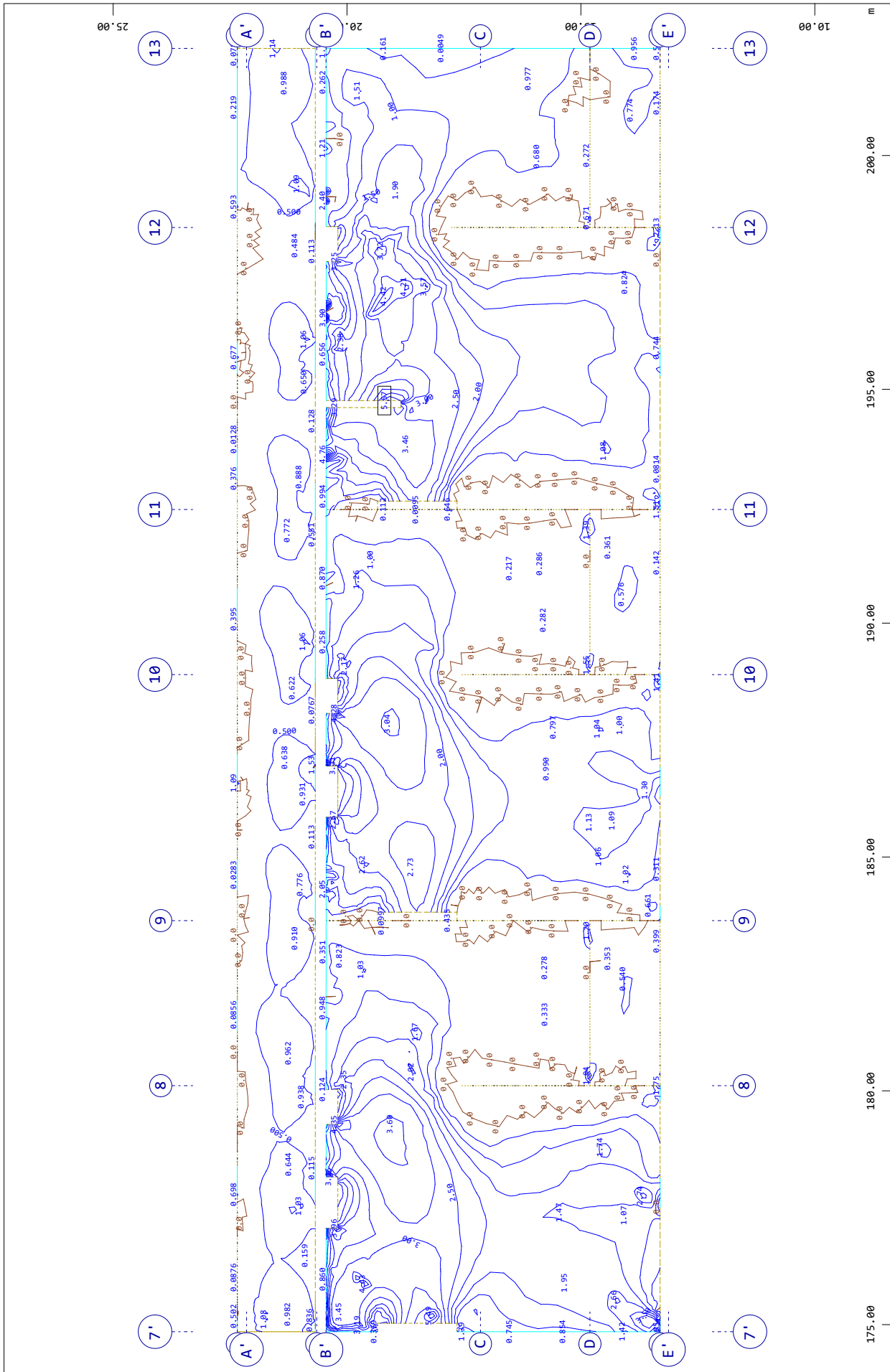


SOFiSTiK AG - www.sofistik.de

Dilatacija B2

Ploščice

SOFiSTiK AG - www.sofistik.de



M 1 : 116

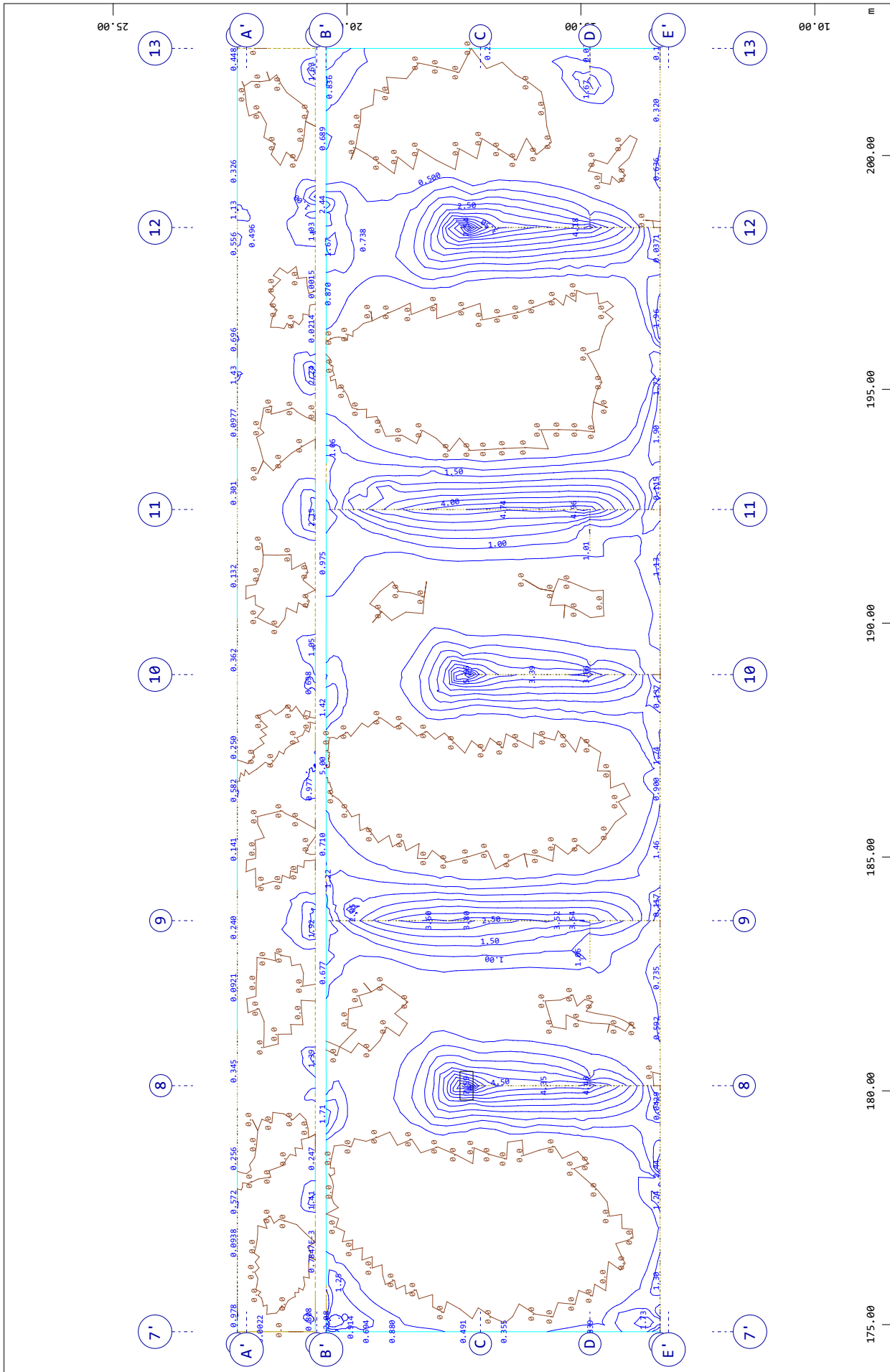
1, Design Case 51 crack width design , from 0 to 5.57 step

Y Sector of system Group 300  
 Z-X Quadrilateral Elements , lower Cross reinforcements (2nd layer) in Node  
 0.500 cm<sup>2</sup>/m

Dilatacija B2

Plošče

SOFiSTiK AG - www.sofistik.de



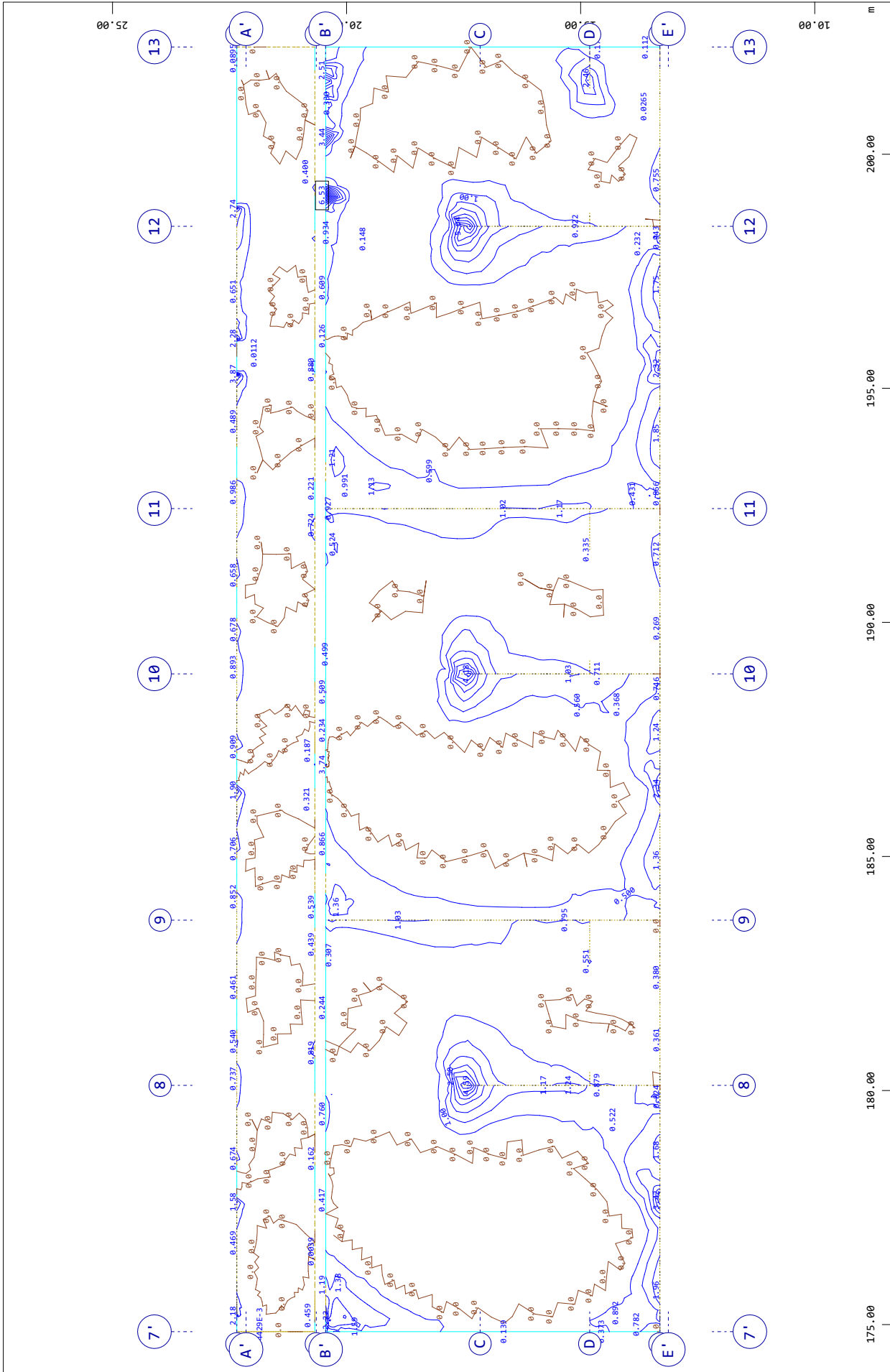
M 1 : 116

↔, Design Case 51 crack width design , from 0 to 7.59 step

Y Sector of system Group 400  
 X Quadrilateral Elements , upper Principal reinforcements (1st layer) in Node  
 0.500 cm<sup>2</sup>/m

Dilatacija B2

Ploščice



SOFiSTiK AG - www.sofistik.de

M 1 : 116

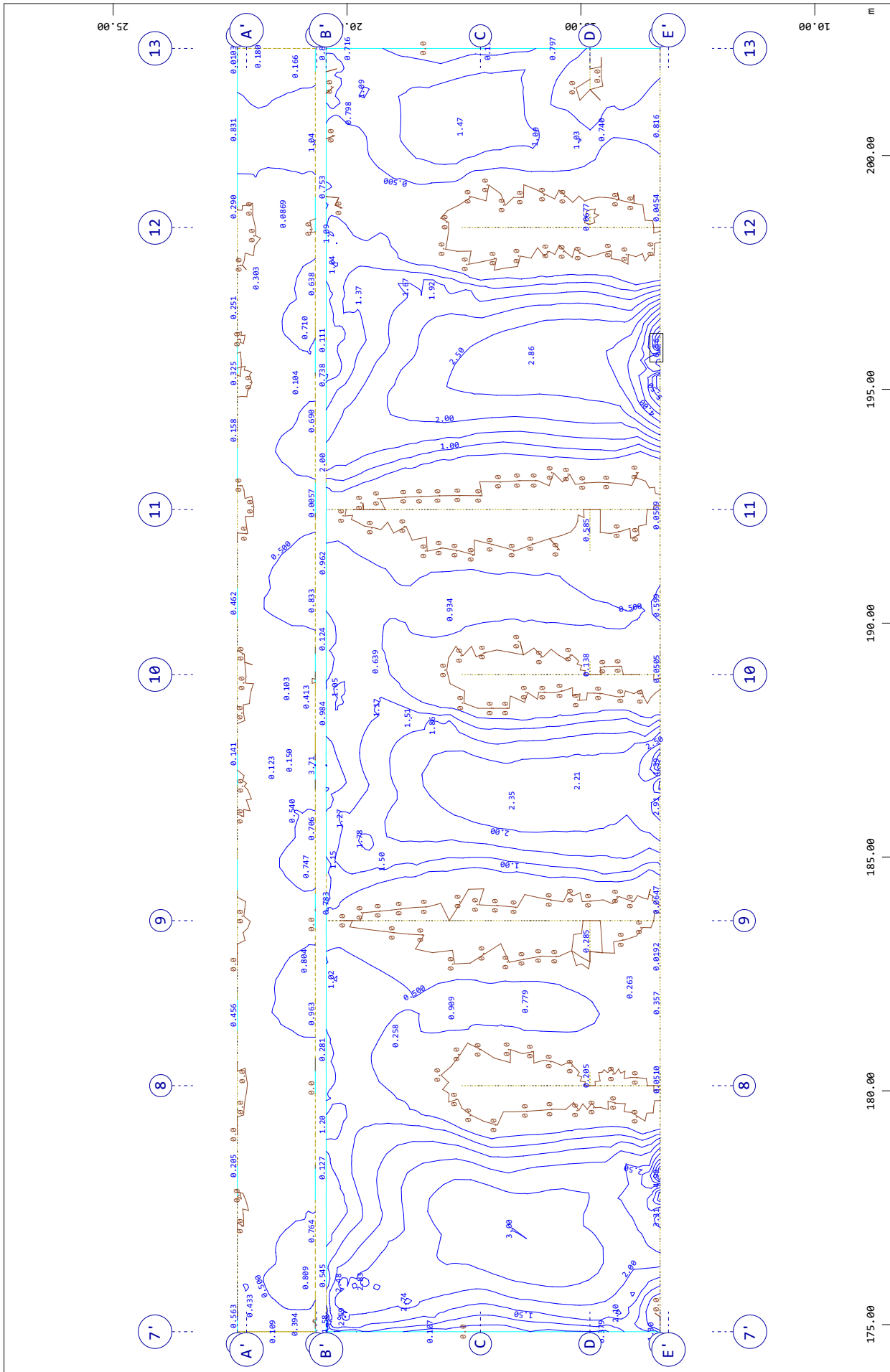
1, Design Case 51 crack width design , from 0 to 6.53 step

Y Sector of system Group 400  
 X Quadrilateral Elements , upper Cross reinforcements (2nd layer) in Node  
 0.500 cm<sup>2</sup>/m

Dilatacija B2

Ploščice

SOFiSTiK AG - www.sofistik.de



M 1 : 116

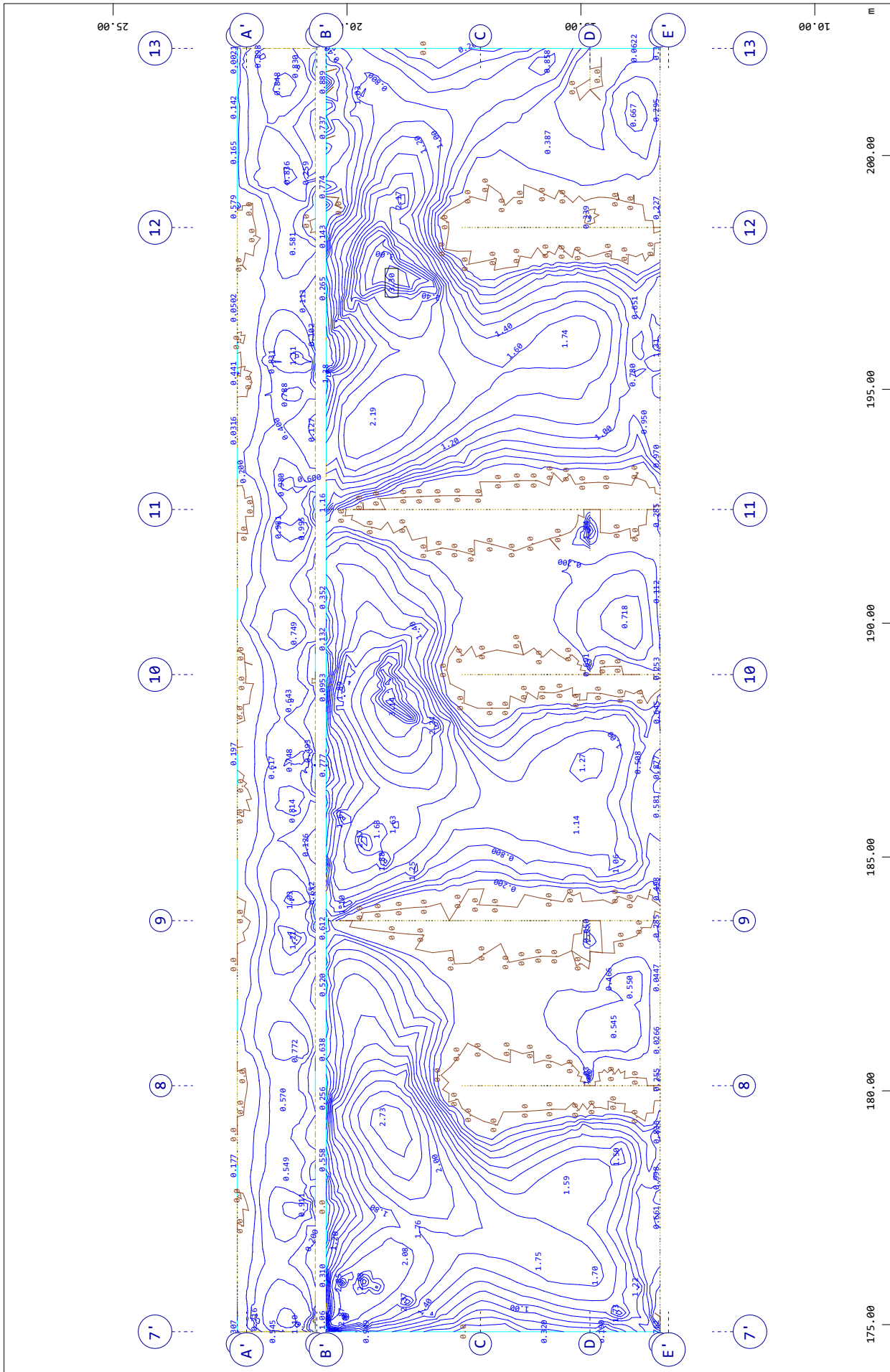
↔, Design Case 51 crack width design , from 0 to 6.56 step

Y Sector of system Group 400  
 Z-X Quadrilateral Elements , lower Principal reinforcements (1st layer) in Node  
 0.500 cm<sup>2</sup>/m

Dilatacija B2

Plošče

SOFiSTiK AG - www.sofistik.de



M 1 : 116

1, Design Case 51 crack width design , from 0 to 3.30 step

Y Sector of system Group 400  
 Z-X Quadrilateral Elements , lower Cross reinforcements (2nd layer) in Node  
 0.200 cm<sup>2</sup>/m

### 7.2 Seizmični izračun

#### 7.2.1 Razred duktilnosti in faktor obnašanja

: a 3 enžionŷ anje ŷ onstŷ u<sub>2</sub> ije je i2ŷ anŷ aŷ e3 ŷu<sub>2</sub> tiŷosti DC6 .

: asno<sub>0</sub>a ŷ onstŷ u<sub>2</sub> ijsŷ e8a siste3 a ŷu<sub>2</sub> >a staŷo 3 e3 stenaste siste3 e, 2a ŷ atŷ e se /a<sub>2</sub> toŷ oŷnaCanja ŷu<sub>2</sub> ŷo s +ŷ T EN "<<(;" , >n D.! ! ! , 3o>i ŷ ot

$$q_0 = 3 \cdot 0 \frac{\alpha_u}{\alpha_1}$$

q<sub>0</sub> H osno<sub>0</sub>naŷ e3nost /a<sub>2</sub> toŷ ja oŷnaCanja, α<sub>1</sub> H /a<sub>2</sub> toŷ , ŷ i 3o>a nastane: ŷu<sub>2</sub>e8a 3oŷti>ne8a >n<sub>2</sub> a, α<sub>u</sub> H /a<sub>2</sub> toŷ , ŷ i 3o>a nastane: 3o=0ne8a 3e=iŷ 3oŷti>nŷ 4 >n<sub>2</sub> o= 2a nastoŷ 8ŷŷaŷe nestaŷiŷosti siste3 a

: a siste3 3o=e2ani4 sten, stan3aŷ 3+ŷ T EN "<<(;" , >n D.! ! ! ! \*D; 3o>a ŷ e3nost /a<sub>2</sub> toŷ ja

$$\frac{\alpha_u}{\alpha_1} = 1.2$$

Osnonaŷ e3nost /a<sub>2</sub> toŷ ja oŷnaCanja je taŷ o

$$q_0 = 3 \cdot 0 \frac{\alpha_u}{\alpha_1} = 3 \cdot 0 \cdot 1.2 = 3.6$$

Na ŷ on>noŷ e3nost /a<sub>2</sub> toŷ ja oŷnaCanja oŷa tu3 ŷ eŷoŷu3o siste3 ŷ uCanja, ŷ i 8a 2aja3 e3 o s /a<sub>2</sub> toŷ je3 k<sub>w</sub>. . a<sub>2</sub> toŷ iŷ a>una3 o 2aŷsa2 o s3 eŷ noseŷej, teŷ 2a 3oŷta ijsŷ e enote noseŷej, saj je 3oŷisen 3oŷ 3e=iŷ in 3 enzij sten, ŷ aŷ 2aja3 e3 o s /a<sub>2</sub> toŷ je3 α<sub>0</sub>.

Diŷta ija 5! !

: a s3 eŷ F 2naCa

$$\alpha_{0,x} = \frac{\sum h_{wi}}{\sum l_{wi}} = \frac{35 \cdot 9.0}{25 \cdot 7.0} = 12.3$$

$$0.5 \leq k_{w,x} = \frac{1 + \alpha_{0,x}}{3} = \frac{1 + 12.3}{3} = 4.43 \leq 1.0$$

: a s3 eŷ J 3a

$$\alpha_{0,y} = \frac{11 \cdot 9.0}{35 \cdot 5.6} = 2.78$$

$$0.5 \leq k_{w,y} = \frac{1 + \alpha_{0,y}}{3} = \frac{1 + 2.78}{3} = 1.26 \leq 1.0$$

: a 8eo3 eŷ ijo ŷ onstŷ u<sub>2</sub> ije ŷ<sub>4</sub> oŷ e>e3 o, 3a je ŷ a iŷa no=i3ni. Űa>unsŷ aŷ e3nost /a<sub>2</sub> toŷ ja oŷnaCanja 2naCa taŷ o

$$1.5 \leq q_x = q_y = q_0 \cdot k_w = 3.6 \cdot 1.0 = 3.6$$

### 7.2.2 Upoštevanje mas pri določanju potresnega vpliva

+tanŮa Ů +gT EN "<<( ; " , >%n ' . ! , \* ! =, Ůo%>a uoŮte-anje 3 ase, Ů i so Zajete nas%Ůnji Ů o3 \$ina iji. Ů%o

$$\sum_{j \geq 1} G_{k,j} + \sum_{i > 1} \psi_{E,i} Q_{k,i}$$

$G_{k,j}$  H %stna te9a in sta%ni Ů%o na Ů onst Ů ijo,  $Q_{k,i}$  H sŮ e3 en%ni Ů%o na Ů onst Ů ijo,  $\psi_{E,i}$  H Ů oe/i ient, Ů i uoŮte-a, Ůa noŮ esna oŮte9\$a  $Q_{k,i}$  ni Ů isotna Ůo e%tni Ů onst Ů iji

Ko3 \$ina ijsŮ i Ů oe/i ient  $\psi_{E,i}$  se iŮ a>una na s%Ůe>i na>inl

$$\psi_{E,i} = \varphi \psi_{2,i}$$

$\varphi$  H /a2 toŮ , Ů i uoŮte-a 3 eŮseŮojno oŮ-isnost zaseŮnosti eta9,  $\psi_{2,i}$  H Ů o3 \$ina ijsŮ i /a2 toŮ ŮoŮan +gT EN "<<# , A. " . ! . !

. a2 toŮ zaseŮnosti eta9 je ŮoŮan Ů e8%Ůni i " " |

Preglednica 11: Faktor zasedenosti etaŮ  $\varphi$

B' sta sŮ e3 en%e8a Ů%a	Eta9a	$\varphi$
Kate8Ů ija A;C	Ůnja eta9a *tŮ e4a+	"#
	ZaseŮsa neŮ atē i4 eta9 je Ůo-ezana	#Ů
	eta9e so zaseŮene neoŮ-isno	#D
Kate8Ů ije D;.		"#

Kate8Ů ije so oŮ eŮe%ene +gT EN "<<" ; "

### 7.2.3 Upoštevanje razpokanih prerezov

+tanŮa Ů +gT EN "<<( ; " , >%n , . " \* +, Ůo%>a uoŮte-anje Ů a2Ůo2 ani4 Ů e' e2o Ů onst Ů ije. k ŮoŮte-anje Ů a2Ůo2 ani4 Ů e' e2o uoŮte-a3 o 223 anjCanje3 to8osti nosi%4 e%3 ento s /a2 toŮ je3 #D.

### 7.2.4 Nihajni časi in odziv konstrukcije

Ůa>un u>inj Ů noŮ esni4 Ů%o na Ů onst Ů ijo je i2eŮen s Ůo3 o>o3 oŮa%e ana%2e s Ů ojeŮ tni3 sŮeŮ Ů o3 oŮi-a \*Ů ojeŮ tni sŮeŮ teŮ tida " Ůo +gT EN "<<( ; " oŮe4 4Ů i2onta%4 s3 e' e4. BŮ%i Ů a2%ni4 ni4ajni4 oŮ% so Ů o3 \$inŮ ani s Ůo3 o>o3 CKC 3 etoŮe, Ů i >e3 eŮŮsota e/eŮ tni4 3 oŮa%4 3 as 2naCa-e> Ů ot <#L e%tne 3 ase Ů onst Ů ije. + te3 je ZaŮoCeno Ůo8oju, Ů i 8a Ů eŮnisuje +gT EN "<<( ; ! ##) , to> a , . ' . ' . ' . "

Preglednica 12: Nihajni časi konstrukcije in efektivna masa – dilatacijska enota 2

Ni4ajna oš%a	T MN	E/e <sub>2</sub> ti-na 3 asa	
		Os3 eř MN	P s3 eř MN
"	#E' ) -	D) E	" E'
!	#E' "(	, E	) ! E
'	#E' <,	" ! E	) E
,	#E' D#	' E	#E'
±			
)#		∑ 94'6	∑ 97'6

**7.2.5 Etažna strižna sila**

Ůa23 eř je 3 eOđ ojeř tno noř esno si% in 3 aso ošjeř ta 2naGal

Di%ta ija !!

; 2a F; s3 eř l  $\frac{P_x}{P_{tot}} = \frac{1300}{10650} = 0.12$

; 2a J; s3 eř l  $\frac{P_y}{P_{tot}} = \frac{1360}{10650} = 0.13$

**7.2.6 Omejitve poškodb**

\*tančã Ů \*g†T EN "<<(;" o3 ejuje eta9ne no3 iž e. Eta9ni no3 iž i ž onstř uđ ije đ i noř esni ana%đi oš uoOte-anju /až toř ja q = 1 so nočaniđ e8%čni i.

Preglednica 13: Etažni pomiki konstrukcije ob potresni obteži – dilatacija 2

Eta9a	d <sub>s,max</sub> MN 3 N	
	+3 eř F	+3 eř J
' N	- E'	) E'
! N	D E#	, E !
" N	' E'	' E#-

d<sub>s,max</sub> ... naj-e>ji eta9ni noř esni no3 iž oš uoOte-anju q = 1'0

Da đ eđ e>i3 o đ eř ane noQ oOše ž onstř uđ ije, stančã Ů \*g†T EN "<<(;" >%n , , . ' , o3 eji e% ost no3 iž o 2 ena>šol

$$d_r v \leq ah \rightarrow \frac{d_r}{h} \leq \frac{\alpha}{v}$$

d<sub>r</sub> H đ ojeř tni eta9ni no3 iž, o%en ž ot a2% a 3 eO nođ e>ni3 a...ođ a...ni3 a no3 iž o3 a d<sub>s</sub> na...4u in Ůnu eta9e, h H eta9na...Gna, v H eŮuđ ijsž i /až toř , ž i uoOte-a 3 anjCo nođ atno ošo noř esa (stančã Ů 2a ž ate8đ ijo no3 e3 šnosti đđ inđ o>a...ečnost #E, α H /až toř , ođ-isen ođ Ůuđ ti%osti než onstř uđ ijsž i4 e%3 ente \*α = 0'005 2a než onstř uđ ijsž i e%3 ente i2 ž 4ž i4 3 atě ia%o, α = 0'0075 2a Ůuđ ti%e než onstř uđ ijsž i e%3 ente, α = 0'010 2a než onstř uđ ijsž i e%3 ente na ž atě e Oe/đ 3 a ije ž onstř uđ ije ne...a%ajo+

Eta9ni 2a3 i2 i2 onst' u2 ije so 2\$ ani ű e8% űni i. Biű3 o, űa so űo3 i2 i2 onst' u2 ije űo-o%3 aj4ni, űa űo-o%ujejo tuű uűo a\$o neűu2 ti%ai4 i2 onst' u2 ijs2 i4 e%3 ento.

Preglednica 14: Omejitev pomikov pri potresni obteűbi – dilatacija 2

Eta9a	$d_r$ M 3 N		$h$ M N	$v$	$vd_r/h$		$\alpha$		
	*3 e' O	*3 e' J			*a+	*\$+	* +		
' N	"E(	"E D	!E!		#####!(	#####!)			
! N	!E"	"E D	!E!	#E	#####')	#####!)	#####D	#####-D	#####"
" N	!E"	"E#	'E)		#####'!	#####!)			

7.2.7 P-Δ efekt

O\$>ut%ost i2 onst' u2 ije na teű ijo ű u8e8a ű eűa \*=-; Δ e/e2 t+ iZ a>una3 o o\$ uűoűe-anju +gT EN "<<( ; , >%n , , . ! . ! \* ! + . 7%űe na ű eűnost i2 oe/i ienta o\$>ut%osti 2a eta9ne űo3 i2 e θ stanűa ű űo%a ű a2%ne u2 eűe ű i ű oje2 ti' anju. Koe/i ient θ je űo%>en 2 ena>\$ol

$$\theta = \frac{P_{tot} d_r}{V_{tot} h}$$

$P_{tot}$  H e%tna si% te9nosti o\$ a-na-ani eta9i in naűnjo, i2 ije uűoűe-ana ű i űoű esne3 ű oje2 tne3 stanju,  $d_r$  H ű oje2 tni eta9ni űo3 i2 \*a2% a 3 eűoűe-ű e>ni3 a-na-oű a-ni3 a űo3 i2 o3 a  $d_s$  na ű 4u in űnu eta9e,  $V_{tot}$  H e%tna ű e>na si% eta9i 2a aű űoű esa,  $h$  H-na-iGna eta9e

7%űe na ű eűnost i2 oe/i ienta θ e%a s%űe>el

- ;  $\theta \leq 0'10$  o%a TDŮ ni űoű e\$no uűoűe-ati
- ;  $0'10 < \theta \leq 0'20$  o%a TDŮ se uűoűe-a na ű i\$űe>en na>in s űo-e>anje3 u>in2 o űoű esne8a o%a s /a2 tű je3 l

$$k_{p-\Delta} = \frac{1}{1 - \theta_i}$$

- ;  $\theta > 0'30$  stanűa ű ne űo-o%uje.
- ű a>un i2 oe/i ienta θ je ű i2 a2an ű e8% űni i.

Preglednica 15: Doloűitev vpliva TDR – dilatacija 2

Eta9a	$h_i$ M N	$P_{tot}$ MNN	$V_{tot}$		$d_r$		$\theta_x$	$\theta_y$
			O s3 e' MNN	P s3 e' MNN	O s3 e' M 3 N	P s3 e' M 3 N		
! N	!E!	' ' D#	D##	DD#	"E(	"E D	#####,	#####'
" N	!E!	) ) - D	"#D#	" " D#	!E"	"E D	#####D	#####'
#=	'E)	"#) D#	", !D	", - #	!E"	"E#	#####D	#####'

Bűa teű ije ű u8e8a ű eűa ni űoű e\$no uűoűe-ati.

### 7.3 Stene

\*tene so i2 Ťetona a%tete C' #G - . B s3 e' i > 3 o%ni4 o%o% a%ni4+ osi i3 ajo ŤeŤe%no !# 3 s3 e' i Ťe%ni4 \*e' ti2 a%ai4+ osi na ŤeŤe%no ") 3 . : a Ť3 en2ion' anje a 3 ť anoŤetons2 i4 sten je noť eŤno u%o%e%ati Ťo%>i% stanŤa' Ťa +gT EN "<<!;" in +gT EN "<<(;" .

#### 7.3.1 Geometrijske omejitve

@ ina stojine  $b_{w0}$  3 o' a 8%Ťe na stanŤa' Ť+gT EN "<<( , >%n D , . ! . ! , 2aŤostiti nas%Ťnje3 u iŤ a2ul

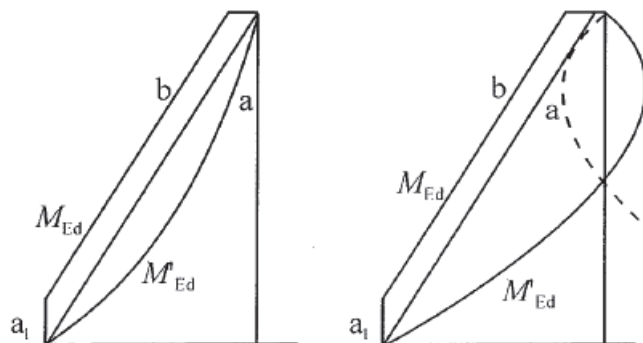
$$b_{w0} \geq \max \left\{ \begin{array}{l} 0.15 \text{ m} \\ h_s \frac{3.18}{20} = \frac{3.18}{20} = 0.159 \text{ m} \end{array} \right. = 0.159 \text{ m}$$

$b_{w0}$  H Ť ina stojine stene,  $h_s$  H s%et% eta9na%ina

DoŤatne 2a4te%e 8%Ťe ŤeŤe%ne oŤjeti4' oŤni4 e%3 ento% sten so Ťo%>ene s >%no3 D , . ! . ! #! #+

#### 7.3.2 Projektni uĉinki potresnih vplivov

DiaŤ a3 ť oje2 tni4 u%o8iŤni4 3 o3 ento%2Ťo%ina stene se na%eŤe 2 o%ojni o ŤaŤ a3 a u%o8iŤni4 e%3 ento% i2 ana%2e, 2 i je ť e3 a2 njena% na%ni>ni s3 e' i \*8%j s% o , + = eŤo%sta%i se %42 o %nea' na o%ojni a , >e2 onŤ' u2 ija ni3 a no%idni no3 e3 Ťni4 ne2%e2nosti% 3 asa4, toŤosti a%nosi%osti.



- Legenda:  
 a momentni diagram iz analize  
 b projektna ovojnica  
 a1 premik momentne ĉrte

Slika 6: Ovojnica upogibnih momentov za projektiranje vitkih sten

OŤ%netju sten je noť eŤno u%o%e%ati 3 o9nost no%e>anja ť e>ni4 si%2a' aŤ n%sti/i2 a ije. 7%Ťe na stanŤa' Ť +gT EN "<<( , >%n D , . ! . ! , \* , 2a4te%ni 2aŤosti3 o , >e u%o%e%a3 o ť oje2 tne ť e>ne si%, 2 i so 2a D#L%e>je oŤtisti4, Ťo%>eni4 2 ana%2o. OŤ' e3 enit%e sten so ť i2 a2ane% naŤa%e%anju.

		= oje2 tni u>ni2 i noť esni4... na Ůnu stene					
O2na2 a stene		$N_{Ed,max}$ MNN	$1'5 * V_z$ MNN	$M_{y,max}$ MNN3 N	$N_{(My,max)}$ MNN	$M_{y,min}$ MNN3 N	$N_{(My,min)}$ MNN
Diřata ija !	- , < , "	" " D#	( D#	" ( ##	- ##	" ' D#	) - D
	( ; " , "# ; "	, ##	" ! D	! ##	, ##	" ##	! - D
	( ; ! , "# ; !	) ##	" ! #	D ! D	DD#	!! D	) ##
	" ! ; " , " ; " ; " ; ! ; !	) D#	' ##	D ! D	DD#	!! D	) ##
	" ; !	! ##	! D	" #	" ( #	" #	; ! D
Diřata ija !	A2 ; " , A2 ; " #	- D	" D	D	- D	D	) D
	A2 ; ! Ůo A2 ; <	" - #	" ##	! D	" - D	! D	" D#
	5 ! ; " , 5 ! ; " #	! ##	! D	" #	" ##	D	- #
	5 ! ; ! , 5 ! ; , , 5 ! ; D , 5 ! ; -	< ##	, D#	! D#	) D#	' ) #	) ##
	5 ! ; ' , 5 ! ; ) , 5 ! ; ( , 5 ! ; <	' ##	! ##	- #	! - #	D#	! - D
	D ! ; " , D ! ; ' , D ! ; D , D ! ; )	" ##	D#	" #	" #	" #	D#
	D ! ; ! , D ! ; ,	! D#	" " #	! D	" ! D	D#	! D#
	E ! ; " , E ! ; ' , E ! ; , , E ! ; ) , E ! ; (	" D#	" D#	" D	" ##	" D	- #
E ! ; ! , E ! ; D , E ! ; -	D#	D#	, #	- D	! #	D#	

### 7.3.3 Preverjanje mejnih stanj in konstruiranje

kŮno8iřno in sť iřno nosiřnost je noť eřno Ůo%>iti... s + ģT EN "<<! ; " ; " , Ů i >e3 eř se uođ ař... eŮnosti noť anji4 stati>ni4... in i2 noť esne anařze in... o3 řina ije 2a 3 ejno stanje nosiřnosti.

#### 7.3.3.1 Minimalna in maksimalna armatura

= eř e2na... Ůi>ne a ř 3 atu e je s >%no3 < .) .! stanŮař Ůa + ģT EN "<<! ; " ; " o3 ejen 2

$$A_{s,vmin} = 0'002 A_c$$

$$A_{s,vmax} = 0'04 A_c$$

= eř e2... ođ... Ůi>ne a ř 3 atu e je s >%no3 < .) .! stanŮař Ůa + ģT EN "<<! ; " ; " o3 ejen 2

$$A_{s,hmin} = \max \begin{cases} 0'001 A_c \\ 0'25 A_{s,v} \end{cases}$$

: a stene Ůeře%ne ") 3 l

$$A_{s,vmin} = 0'002 A_c = 0'002 \cdot 16 \cdot 100 = 3'2 \text{ cm}^2/\text{m}$$

$$A_{s,vmax} = 0'04 A_c = 0'04 \cdot 16 \cdot 100 = 64 \text{ cm}^2/\text{m}$$

$$A_{s,hmin} = \max \begin{cases} 0'001 A_c = 1'6 \text{ cm}^2/\text{m} \\ 0'25 A_{s,v} \end{cases}$$

: a stene Ůeře%ne ! # 3 l

$$A_{s,vmin} = 0'002 A_c = 0'002 \cdot 20 \cdot 100 = 4'0 \text{ cm}^2/\text{m}$$

$$A_{s,vmax} = 0'04 A_c = 0'04 \cdot 20 \cdot 100 = 80 \text{ cm}^2/\text{m}$$

$$A_{s,hmin} = \max \begin{cases} 0'001 A_c = 2'0 \text{ cm}^2/\text{m} \\ 0'25 A_{s,v} \end{cases}$$

#### 7.3.3.2 Omejitve osne obremenitve sten

Noř iř ana osna siř v... Ů iř a ř ni4 noť esni4 stena4 8%Ůe na stanŮař Ů + ģT EN "<<( , >%n D , . ' . , " \* ! ģ , ne s3 e Ů ese>i #E .

$$v_d = \frac{N_{Ed}}{A_c f_{cd}} \leq 0.4$$

= e>na a 3 atŮ a osŮni4 e%3 enti4 se %4; o Ů%>i sa3 o osŮ s; %Ůu s + ğT EN "<<!;" , >e je i2no%jen no8oj

$$v_d = \frac{N_{Ed}}{A_c f_{cd}} \leq 0.15$$

Bse stene 2a Ůostujejo no8oju  $v_d < 0.15$ , 2ato 2a Ů%>ite noŮ ešne a 3 atŮ e uoŮ aš13 o osŮojni e, ; i ji4 iŮ a>una Ů oŮ a3 + O. i+TiK, ; i Ů%>a a 3 atŮ o 8%Ůe na 2a4te osŮe + ğT EN "<<!;" .

Preglednica 16: Normirana osna sila v stenah

	Oznaa stene	No 3 ř ana osna sila $v_d$
Diřata ija !	- , < , " "	#.#D
	( ; " , " # ; "	#.#(
	( ; ! , " # ; !	#. "'
	" ! ; " , " ; " ; " ; " ! ; !	#.#<
	" " ; !	#. "'
Diřata ija !	A2 ; " , A2 ; " #	#.#)
	A2 ; ! Ůo A2 ; <	#.#)
	5 ! ; " , 5 ! ; " #	#. "(
	5 ! ; ! , 5 ! ; , , 5 ! ; D , 5 ! ; -	#. "#
	5 ! ; ' , 5 ! ; ) , 5 ! ; ( , 5 ! ; <	#.#(
	D ! ; " , D ! ; ' , D ! ; , D , D ! ; )	#.#<
	D ! ; ! , D ! ; ,	#.#-
	E ! ; " , E ! ; ' , E ! ; , , E ! ; ) , E ! ; (	#. " !
	E ! ; ! , E ! ; D , E ! ; -	#.#!

### 7.3.3.3 Kritiĉno obmoĉje

K' iti>no oš3 o>je na Ů osŮetje3 stene  $h_{cr}$  se 8%Ůe na + ğT EN "<<( , >%n D. , . ! . , ! , Ů%>i ; otl

$$h_{cr} = \max \left\{ h_w = \frac{9 \cdot 000 \text{ m}}{6} = 1.50 \text{ m} \leq \min \left\{ h_s = \frac{2l_w}{3} = 3.36 \text{ m} \right. \right.$$

$l_w$  ... Ů%ina Ů e>ne8a Ů e' e2a stene,  $h_w$  H osŮiĉna stene,  $h_s$  H osŮet% osŮiĉna eta9e

K' iti>no oš3 o>je sten je >e2 e%tno Ů it%no eta9o.

### 7.3.3.4 Potrebna koliĉina armature MSN-STR

=o%8 noŮ esne ošte9še uoŮe osŮa3 o ĉe osŮojni o oš e3 enite 2a 3 ejno stanje nosi%osti Ů i sta%ii4 in 2a>asni4 stanji4. 7%Ůe na osŮojni o oš e3 enite iŮ a>una3 o noŮ ešno ; o%ino a 3 atŮ e, ; i je noŮana na Ůa%e anju.

### 7.3.4 Striřna odpornost sten

Oš osŮetju sten se sř i9no oŮnoŮ nost oš uoŮe anju >%na D. , . ! . , stan Ůa Ůa + ğT EN "<<( ; " 2a8oto osŮi ta; o, Ůa se Ů oje; tne sř i9ne si% Ůoš%ene 2 ana%o no osŮe>a 2a D# L . B osŮoŮji Ů e8%Ůni i je noŮan iŮ a>un noŮ ešne sř i9ne a 3 atŮ e 2a osŮe stene oš osŮetju.

Preglednica 17: Potrebna strižna armatura v pritliĉju

Oznaka stene	$\Phi_{sw}$ M 3 N	s M B N	$n_s$ M N	$A_{sw.dej/s}$ M B ' G N	$A_{sw.potr/s}$ M B ' G N	$V_{rd.max}$ M N N	$V_{rd.s}$ M N N	$V_{Ed}/V_{Rd}$ M N
- , < , " "	(	"D	!	) . - #	D. ( "	! ( , ' "	< ( "	( -
( ; , " # , "	(	"D	!	) . - #	#. ( D	! ( , ' "	< ( "	" "
( ; ! , " # ; !	(	"D	!	) . - #	#. ( !	! ( , ' "	< ( "	" !
" ! ; " , " ; " , " ! ; !	(	"D	!	) . - #	! . # D	! ( , ' "	< ( "	' "
" " ; !	(	"D	!	) . - #	#. " -	! ( , ' "	< ( "	'
" " , "	(	"D	!	) . - #	" . # ' "	! ( , ' "	< ( "	" D
" " ; !	(	"D	!	) . - #	" . # ' "	! ( , ' "	< ( "	" D
A ! ; " , A ! ; " #	(	"D	!	) . - #	#. " #	' D D'	< ( "	!
A ! ; ! Oo A ! ; <	(	"D	!	) . - #	#. ) (	' D D'	< ( "	" #
5 ! ; " , 5 ! ; " #	(	"D	!	) . - #	#. " -	' D D'	< ( "	'
5 ! ; ! , 5 ! ; , , 5 ! ; D , 5 ! ; -	(	"D	!	) . - #	' . # (	' D D'	< ( "	, )
5 ! ; ' , 5 ! ; ) , 5 ! ; ( , 5 ! ; <	(	"D	!	) . - #	" . ' -	' D D'	< ( "	! #
D ! ; " , D ! ; ' , D ! ; D , D ! ; )	(	"D	!	) . - #	#. ' ,	' D D'	< ( "	D
D ! ; ! , D ! ; ,	(	"D	!	) . - #	#. - D	' D D'	< ( "	" "
E ! ; " , E ! ; ' , E ! ; , , E ! ; ) , E ! ; (	(	"D	!	) . - #	" . # ' "	' D D'	< ( "	" D
E ! ; ! , E ! ; D , E ! ; -	(	"D	!	) . - #	#. ' ,	' D D'	< ( "	D

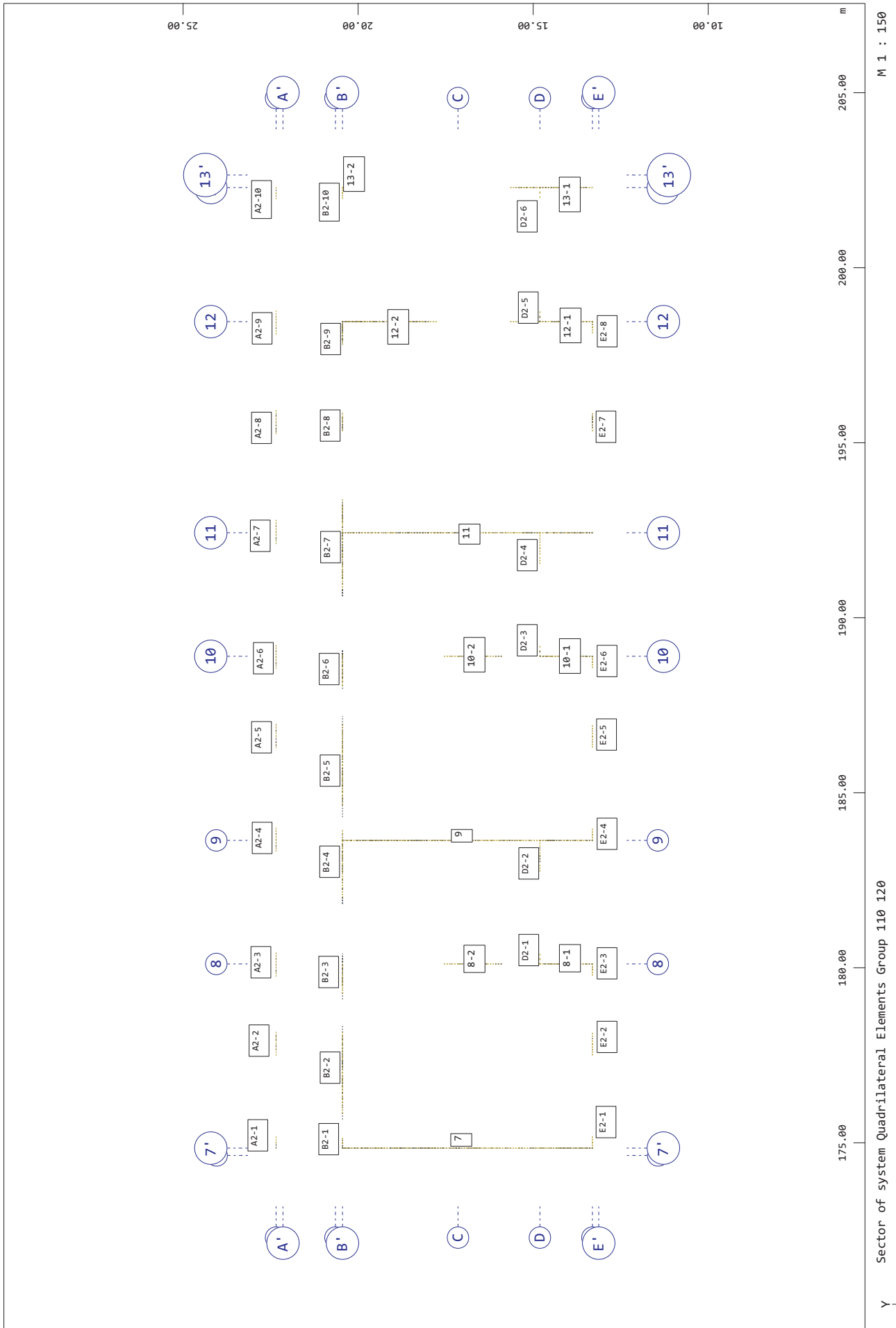
### 7.4 Temeljenje objekta

OŠje t se te3 e% s te3 e%no n%Co ŮeŠe%ne ' D 3 , 2 i je to> e%no n%ŮŮ ta s ni%ti.

=oť esna oŠ e3 enite% na ni%te je iŹ a>unana ů i e%sti>ne3 oť esu \*o2. QR " +

Ůea2 ije na ni%te so ŮoŠ%eni s ů oŹ a3 o3 To1 e' S ' D in +o/isti2 . Di3 en2ioniř anje ni%ta je i2-eŮeno ů oŹ a3 u DgA+ 2a%se oŠje2 te.

Dilatacija B2  
 Stene - potres

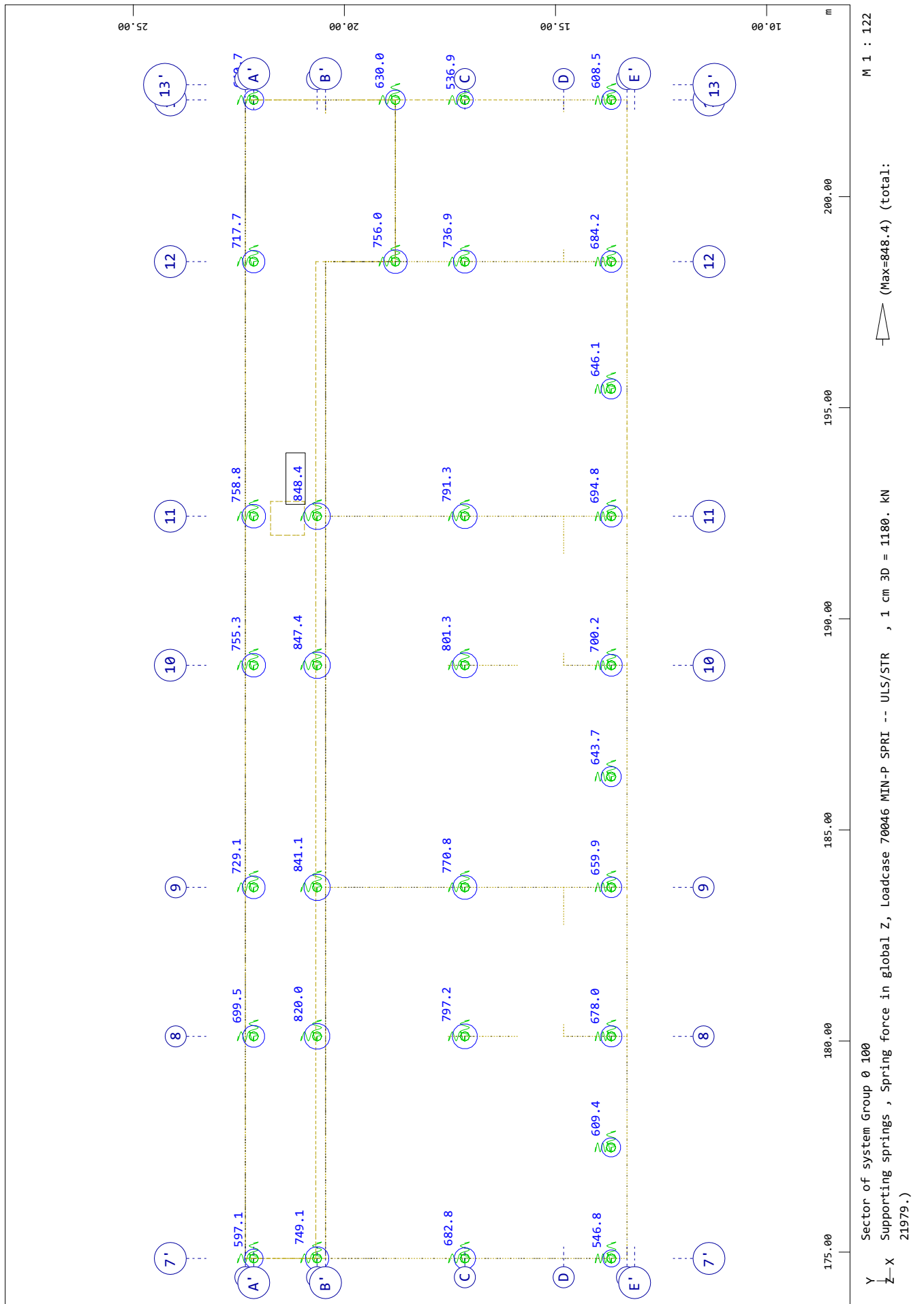


SOFiSTiK AG - www.sofistik.de

Dilatacija B2

Piloti

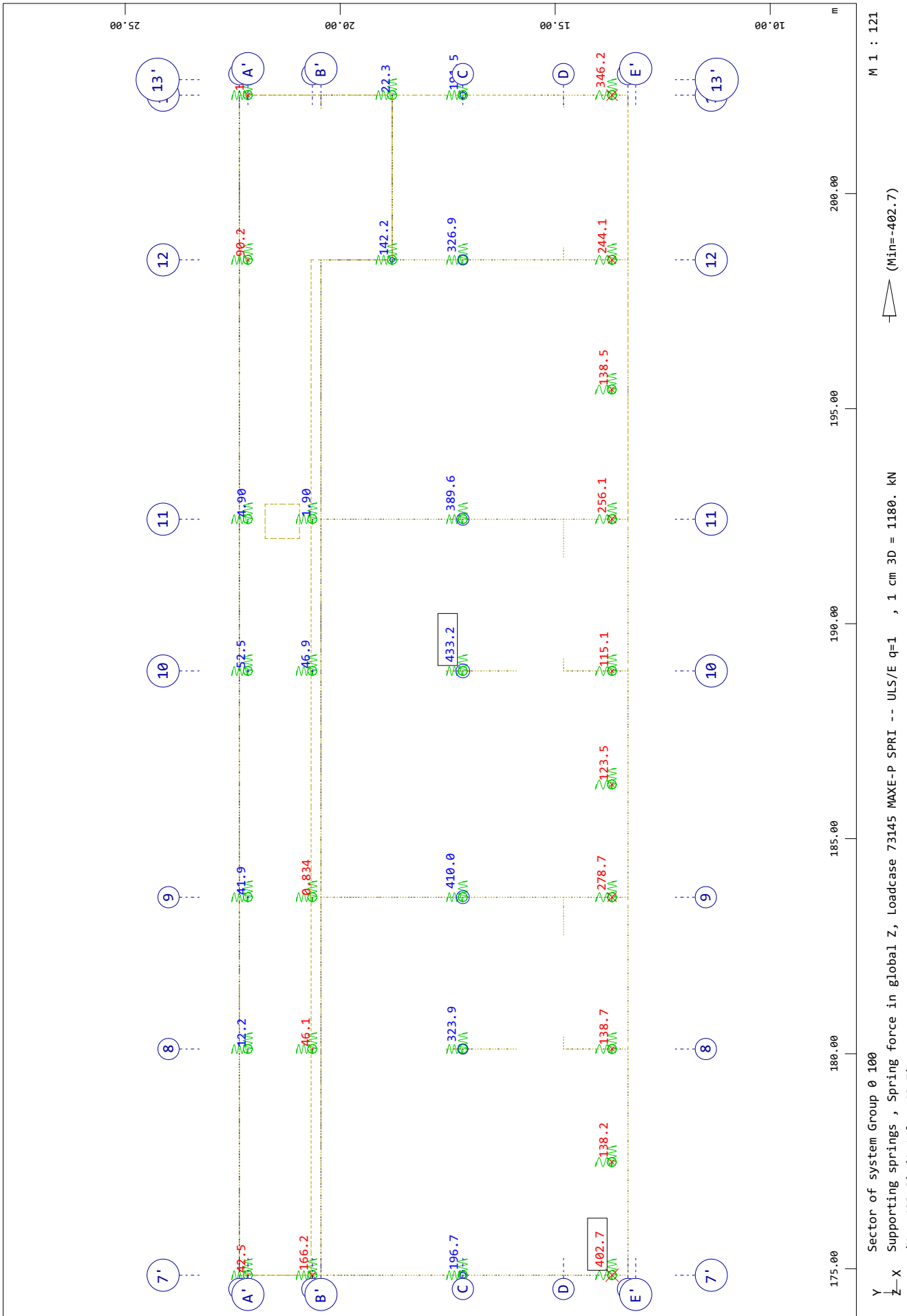
SOFiSTiK AG - www.sofistik.de



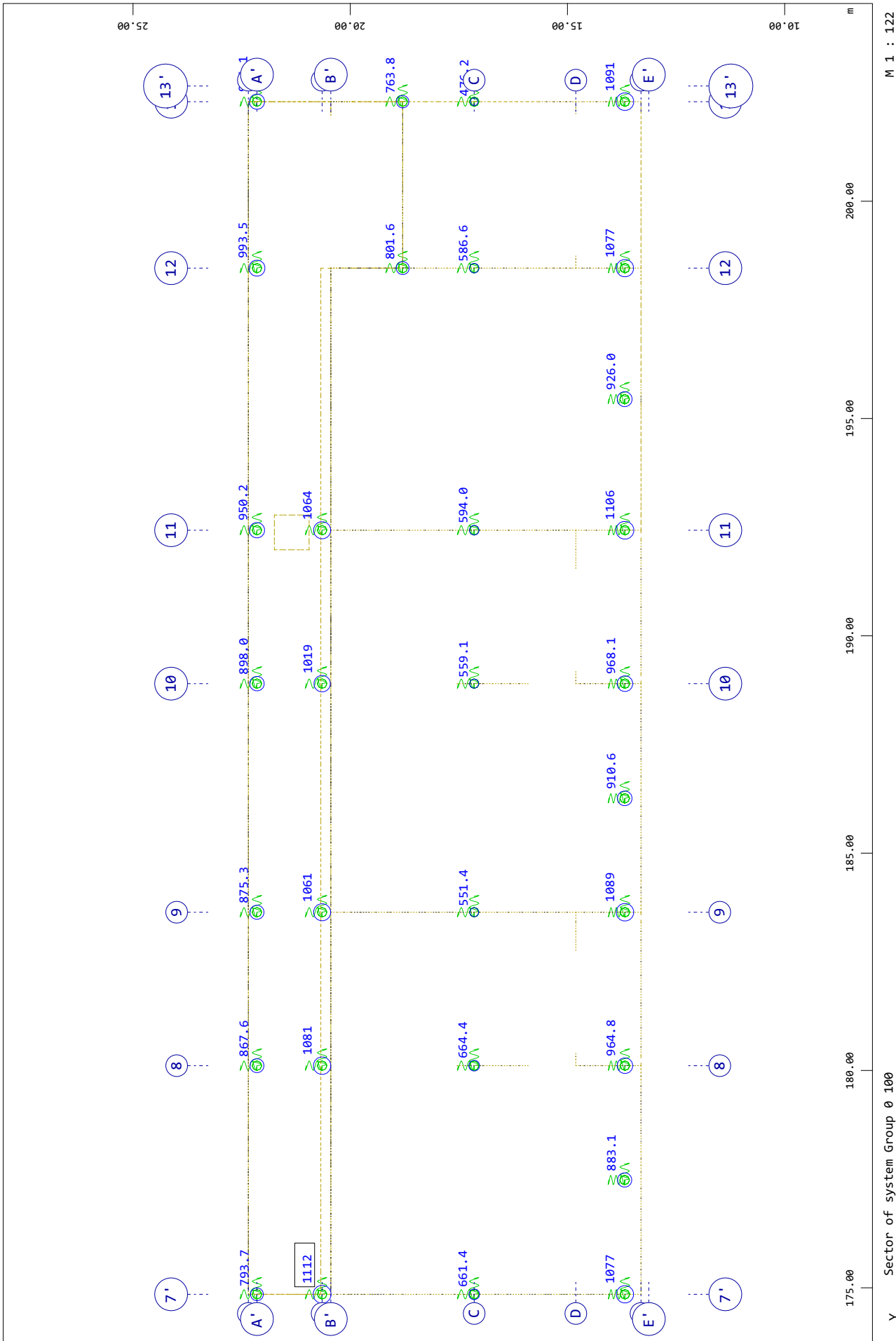
Dilatacija B2

Piloti

SOFiSTiK AG - www.sofistik.de

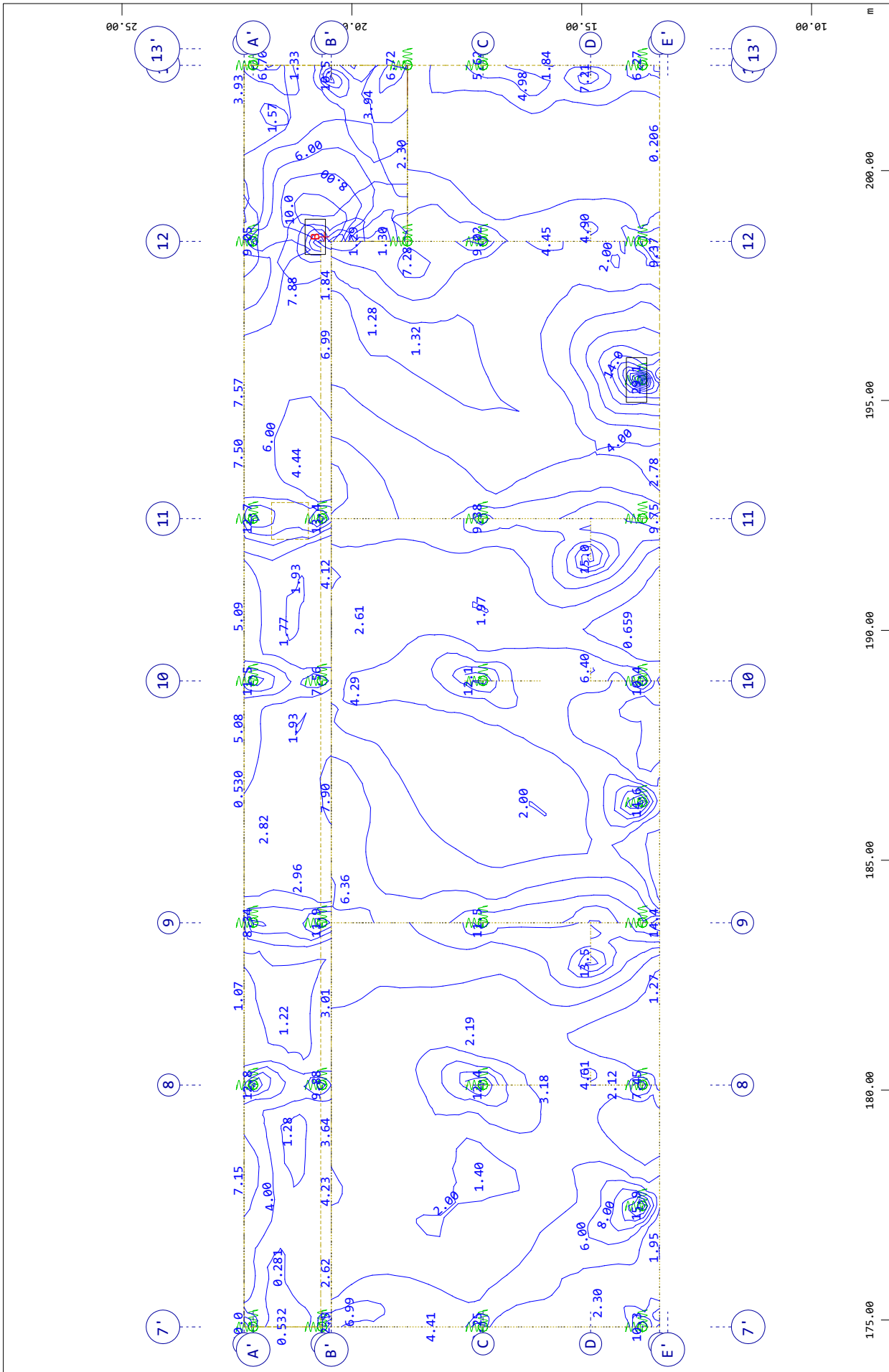


Dilatacija B2  
 Piloti



SOFiSTiK AG - www.sofistik.de

Dilatacija B2  
 Piloti



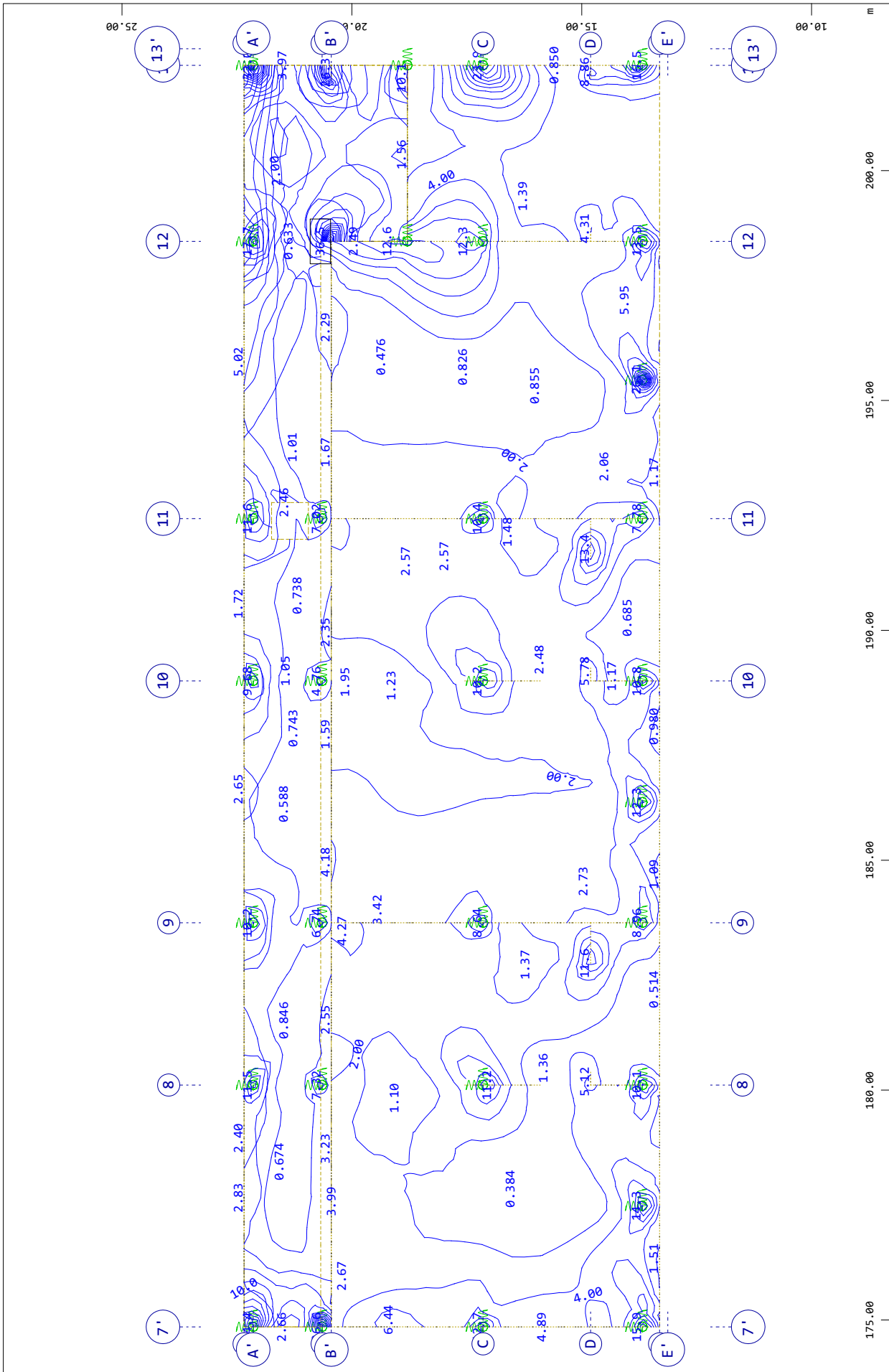
SOFiSTiK AG - www.sofistik.de

M 1 : 118

Y Sector of system Group 0 100  
 X Quadrilateral Elements , upper Principal reinforcements (1st layer)  
 ↗ ↘ reinforcement (=B) in Element, from 0 to 29.1 step 2.00  
 ↗ ↘ , Design Case 13 ULS design , (Max=29.1cm2/m), Design error in the

Dilatacija B2  
 Piloti

SOFiSTiK AG - www.sofistik.de

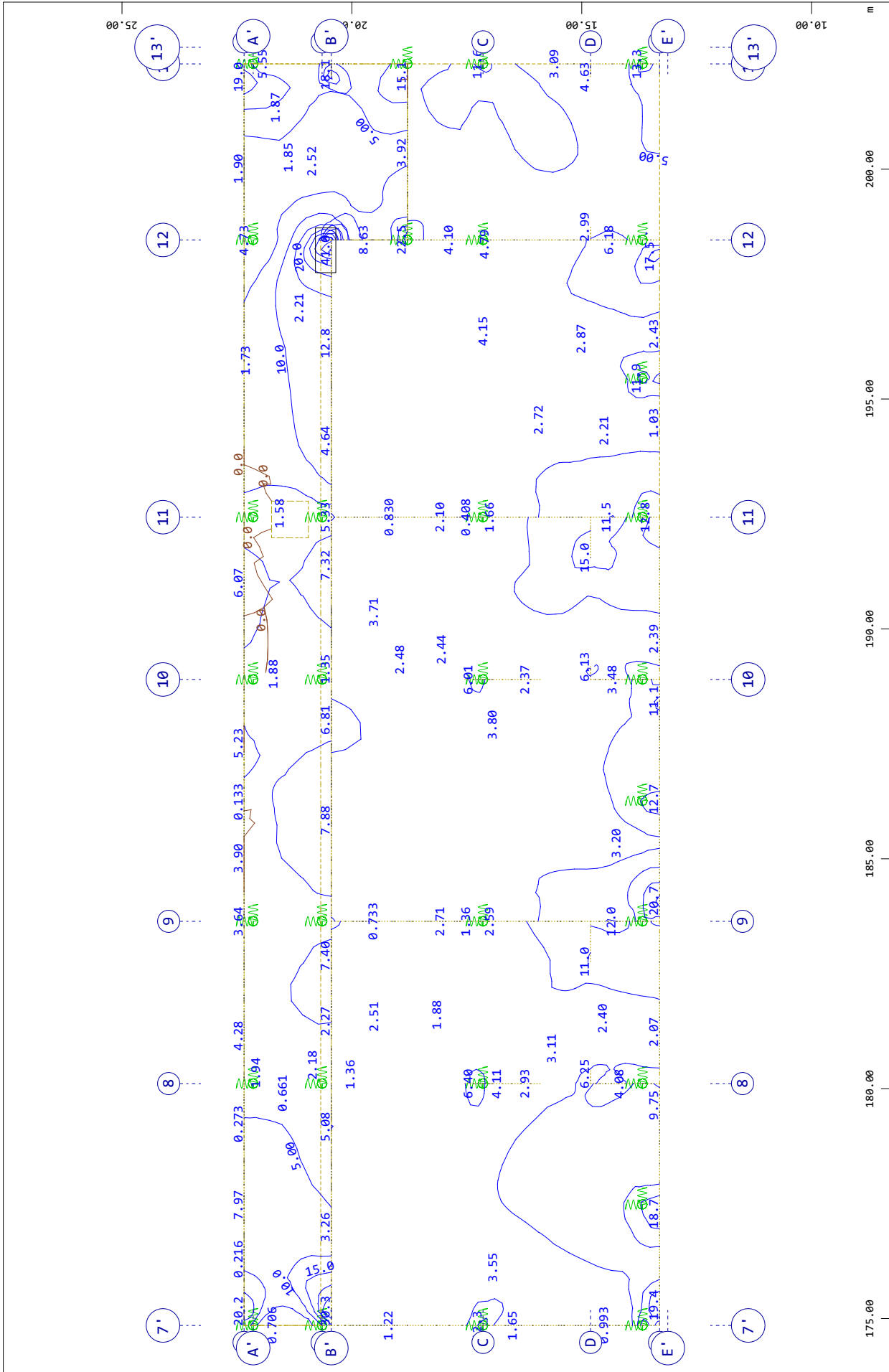


M 1 : 118

Y Sector of system Group 0 100  
 X Quadrilateral Elements , upper Cross reinforcements (2nd layer)  
 1, Design Case 13 ULS design , (Max=36.5cm2/m), Design error in the reinforcement (=B) in Element, from 0 to 36.5 step 2.00

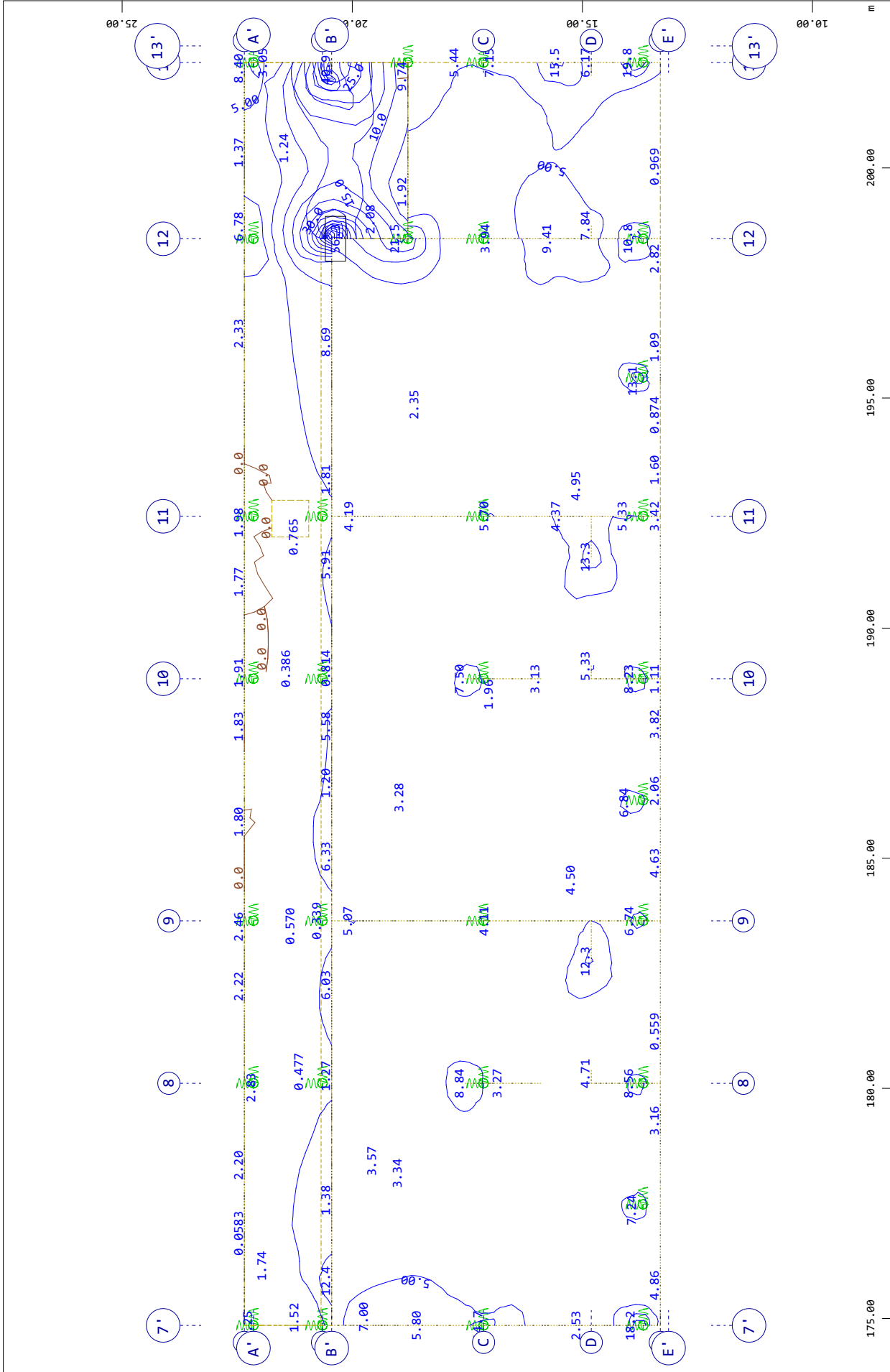
Dilatacija B2  
Piloti

SOFISTIK AG - www.sofistik.de



Dilatacija B2  
 Piloti

SOFiSTIK AG - www.sofistik.de



M 1 : 118

Y Sector of system Group 0 100  
 Z-X Quadrilateral Elements , lower Cross reinforcements (2nd layer)  
 1, Design Case 13 ULS design , (Max=56.3cm<sup>2</sup>/m), Design error in the reinforcement (=B) in Element, from 0 to 56.3 step 5.00

## 8 Objekt B – Dilatacija 3

### 8.1 Plošče

Dežena natezna sila na stanovišča +GT EN " << ! ; " . k ů a ši se Ťeton C' #G - . Dežena natezna sila je "( 3 , Ťažonsi i Ťeůna ) 3 .

6 ini3 a%a uoůiŤna a Ť a<sub>S,min</sub> je s >ůno3 < . ! . " \* + ůo%>ena Ť ot

$$A_{s,min} = 0.26 \frac{f_{ctm}}{f_{yk}} b_t d = 0.26 \frac{0.29}{50} 100 \cdot 16 = 2.4 \text{ cm}^2/\text{m} \geq 0.0013 b_t d = 2.1 \text{ cm}^2/\text{m}$$

f<sub>ctm</sub> H Ť eůnja eůnost osne natezne Ť ůnosti Ťetona, f<sub>yk</sub> H Ť a Ť e Ť isti>na natezna Ť ůnost a Ť a tu e, b<sub>t</sub> H Ť eůnja Ť ina natezne one, d H stati>na i Ť na ů e a

Naj>eja stonja a Ť i anja ůa je ůo%>ena s >ůno3 < . ! . " \* +

$$A_{s,max} = 0.04 A_c = 72 \text{ cm}^2/\text{m}$$

A<sub>c</sub> H ůo%ina Ťetons Ť e a ů e a

6 eŤeŤojna ůo%eůnost ůa je s >ůno3 < . ! . " \* + o3 ejena na s<sub>max</sub> = 3h ≤ 400 mm oŤ3 o>ji4 ů on eů Ť ani4 oŤe9Ť in naj>eji4 uoůiŤni4 3 o3 ento ůa 2 s<sub>max</sub> = h ≤ 250 mm.

+ tanůa ůo3 ejuje ůo%eůno Ť ino Ť a2ůe na #E 3 3 ů i na i Ťe2no sta% i oŤe9ni Ť o3 Ťina iji.

=oŤ eŤno a Ť a tu o i Ť a>una3 o 8% ůe na ůo%ojni e 3 ejni4 stanj nosi%osti in uoů aŤnosti. =oŤ eŤna a Ť a tu a ůo%> je ůoŤana na ůa%e anju.

B na iona%e3 ůoŤat Ť u stanovišča +GT EN " << # so o3 ejeni eŤ ti a% i ůo3 i Ť i ů onŤ u Ť ije, Ť ot je to 2aůisano ů e8%ůni i " ( . Ůa2%8a ůo3 i ů oŤ Ť onŤ u Ť ije je na s% i - . Ť a>unani ůo3 i Ť i ů onŤ u Ť ije w<sub>tot</sub> in w<sub>2</sub> + w<sub>3</sub> so ů i Ť a2ani na ůa%e anju.

Preglednica 18: Omejitve navpiĉnih premikov konstrukcije

Del konstrukcije	w <sub>max</sub>	w <sub>2</sub> + w <sub>3</sub>
Ť e4e	G ##	G D#
Ť ůoůi	G D#	G ##
Ť ůoůi, Ť i nosijo Ť 4 Ť e oŤe9e	G ##	G D#

H a2ůon 3 eů ůe3 a ůoů ů a3 a a%ůojna ůo%ina Ť on2o%, w<sub>max</sub> H Ť on>ni uoůiŤe2 2 uoůe anje3 na ůi Ťanja, w<sub>2</sub> H ůe%uůoůiŤe2 a 2a ů ůo%oŤ ajne8a ůe% anja sta%e oŤe9Ťe, w<sub>3</sub> H ůe%uůoůiŤe2 a 2a ů ů ů e3 en% i4 ůo%, w<sub>c</sub> H na ůi Ťanje neoŤ e3 enjene8a Ť onŤ u Ť ijs Ť e8a e%3 enta, w<sub>1</sub> H 2a>etni ůe%uůoůiŤe2 a 2a ů ů sta% i4 ůo%, w<sub>tot</sub> H e%ůni uoůiŤe2

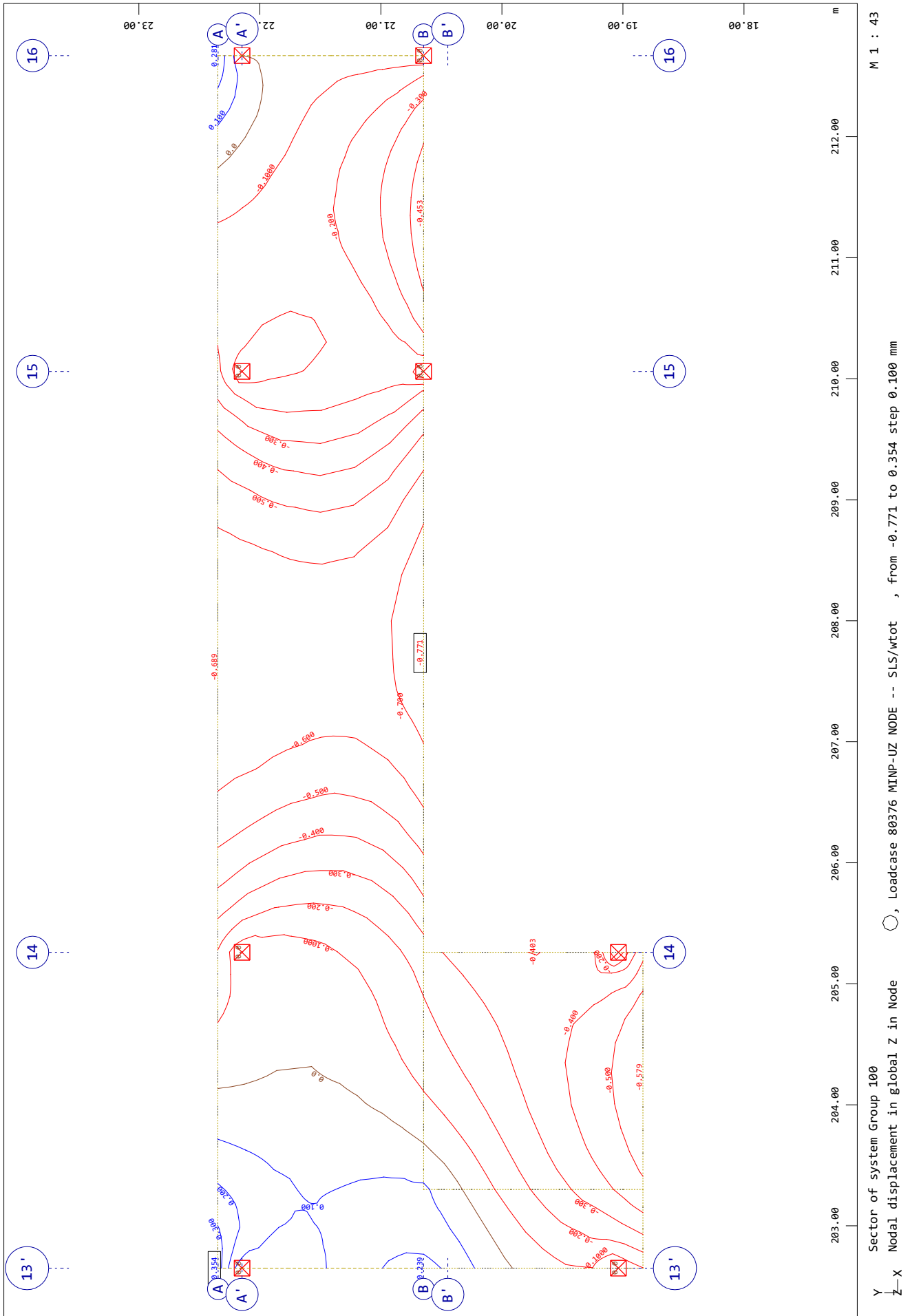


Slika 7: Omejitve pomikov konstrukcije

Dilatacija B3

Plošča

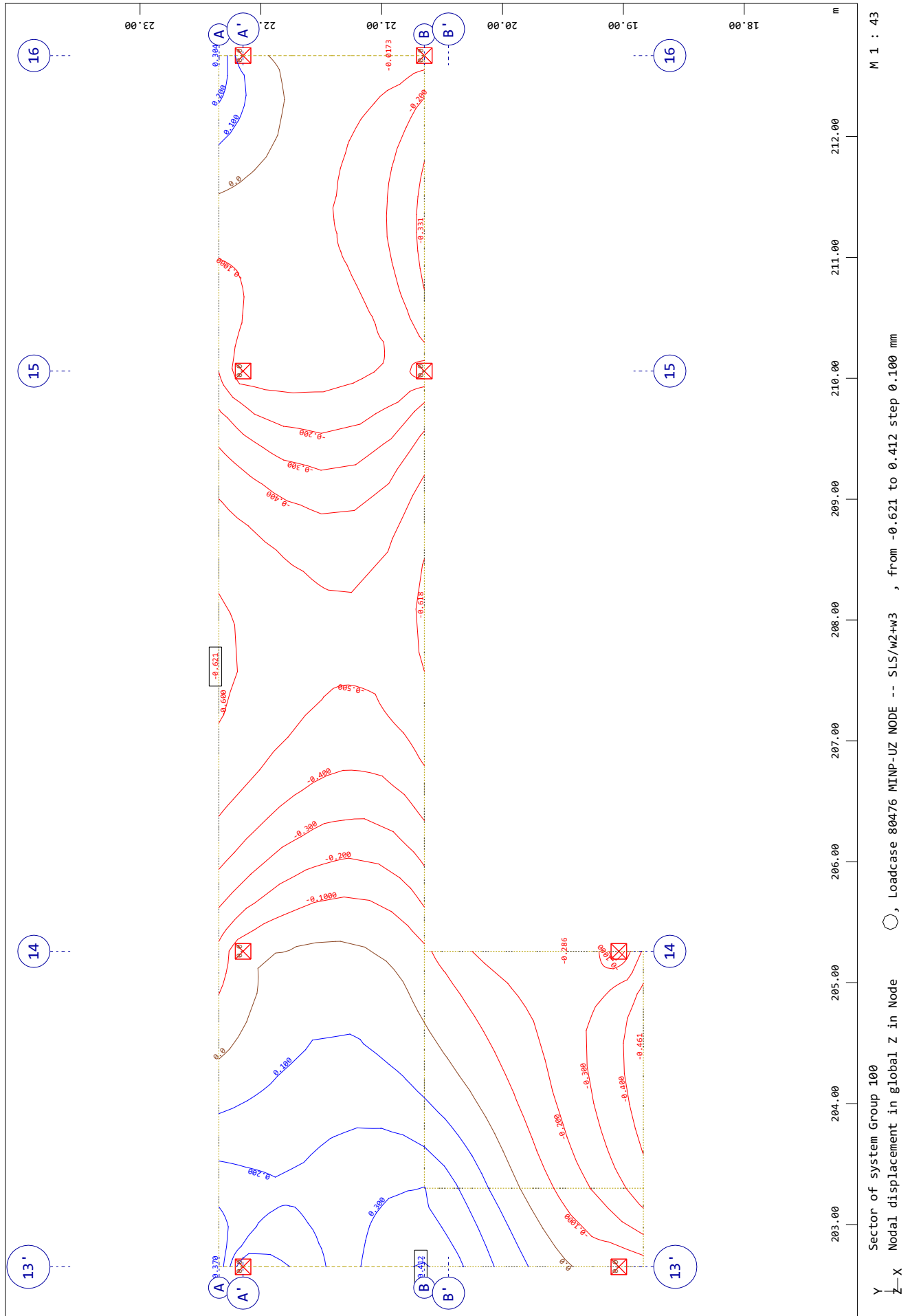
SOFiSTiK AG - www.sofistik.de



Dilatacija B3

Ploščča

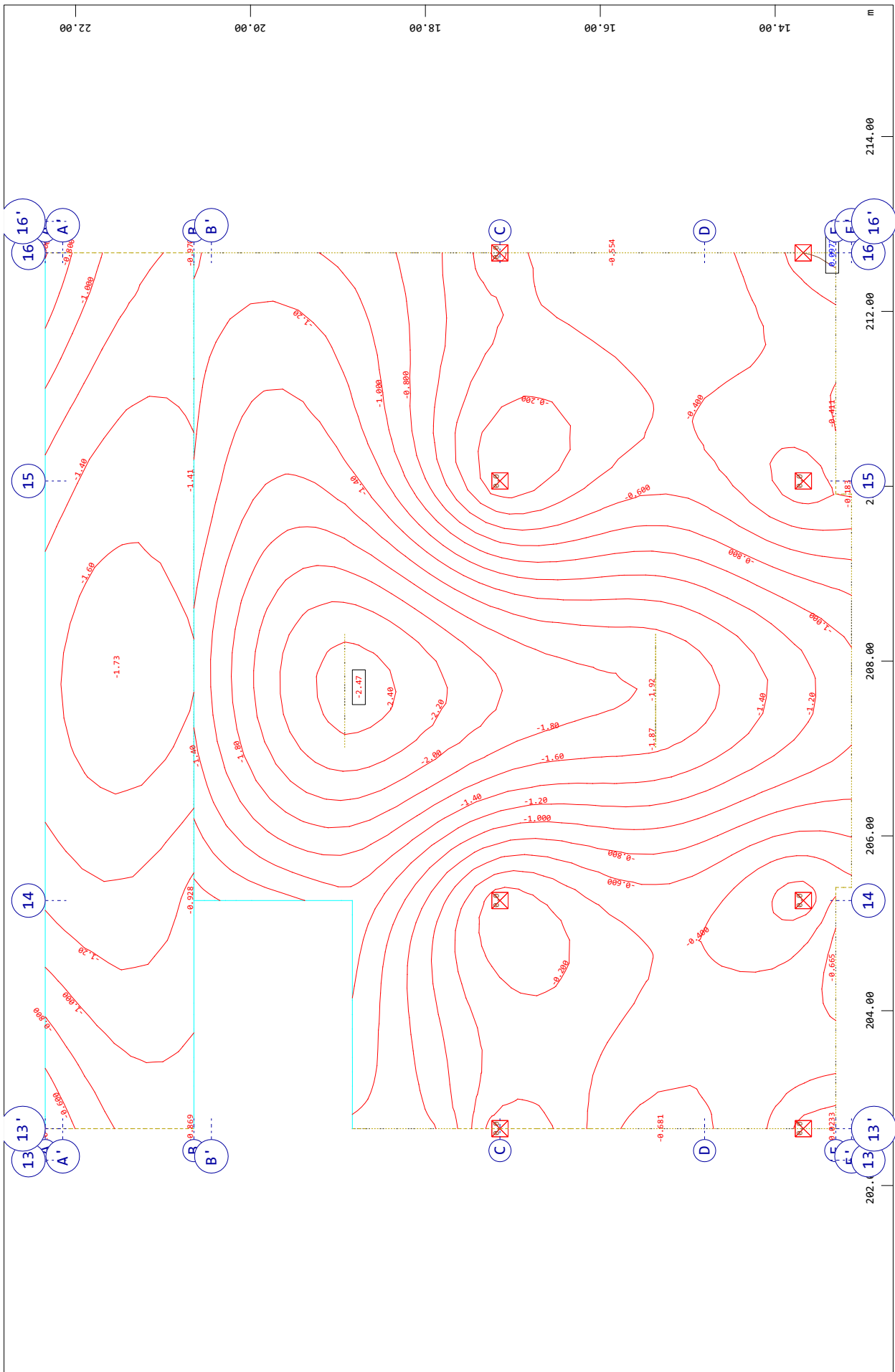
SOFiSTiK AG - www.sofistik.de



Dilatacija B3

Plošča

SOFiSTiK AG - www.sofistik.de



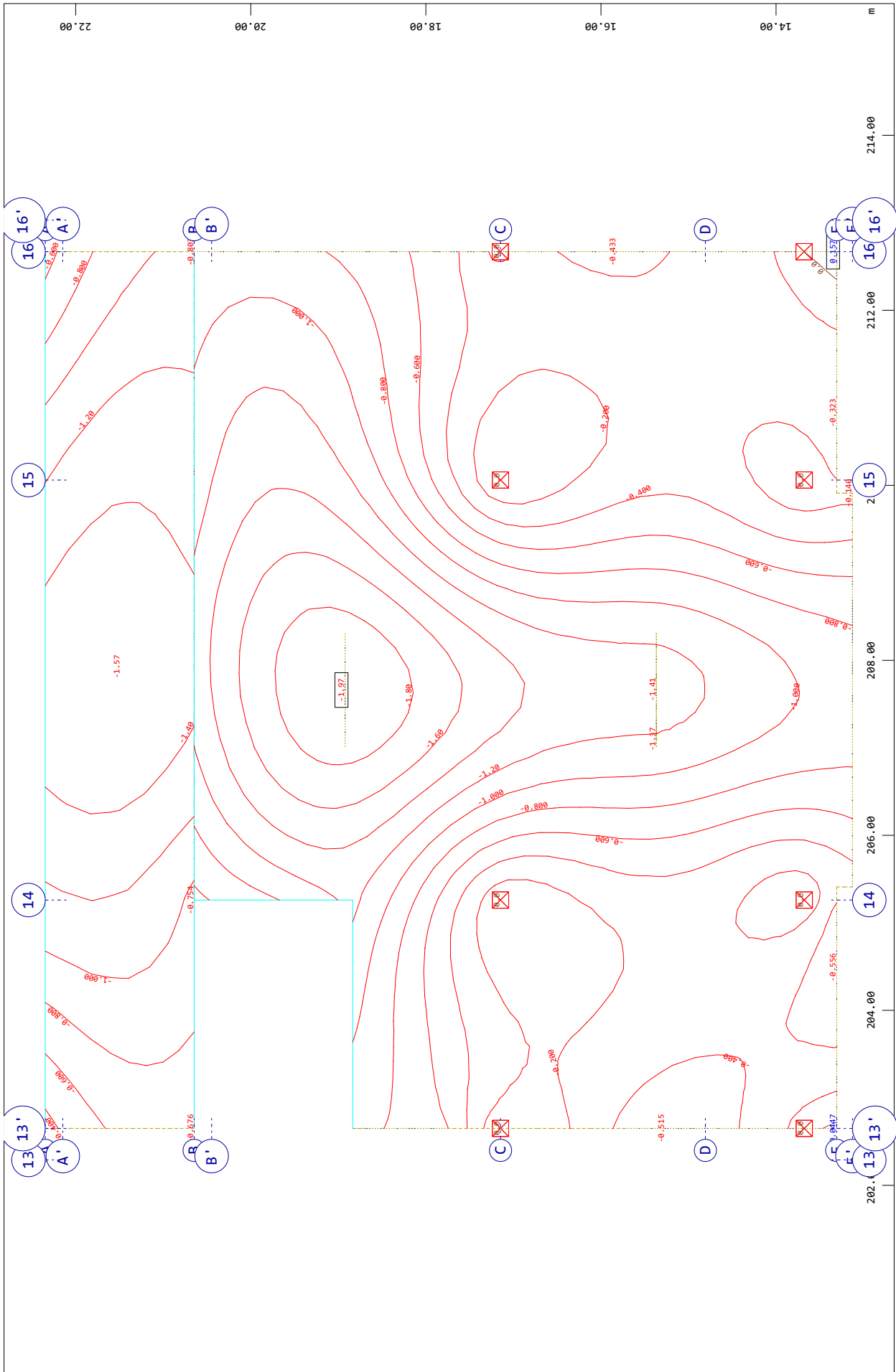
M 1 : 62

Y Sector of system Group 100  
 X Nodal displacement in global Z in Node  
 O Loadcase 80376 MINP-UZ NODE -- SLS/wtot , from -2.47 to 0.0972 step 0.200 mm

Dilatacija B3

Plošča

SOFiSTiK AG - www.sofistik.de



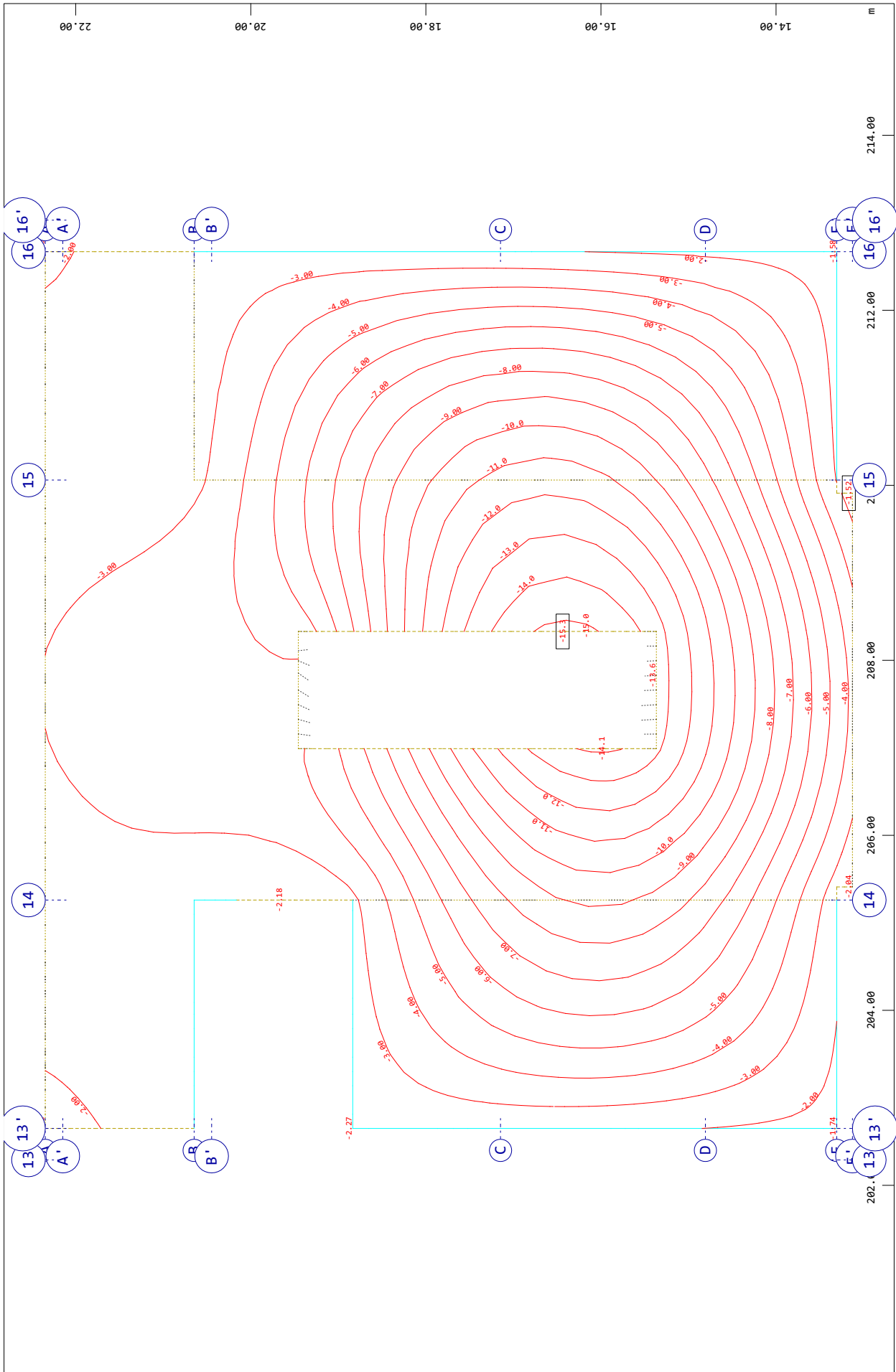
M 1 : 62

Y Sector of system Group 100  
 X Nodal displacement in global Z in Node ○, Loadcase 80476 MINP-UZ NODE -- SLS/w2+w3 , from -1.97 to 0.157 step 0.200 mm

Dilatacija B3

Ploščča

SOFiSTiK AG - www.sofistik.de



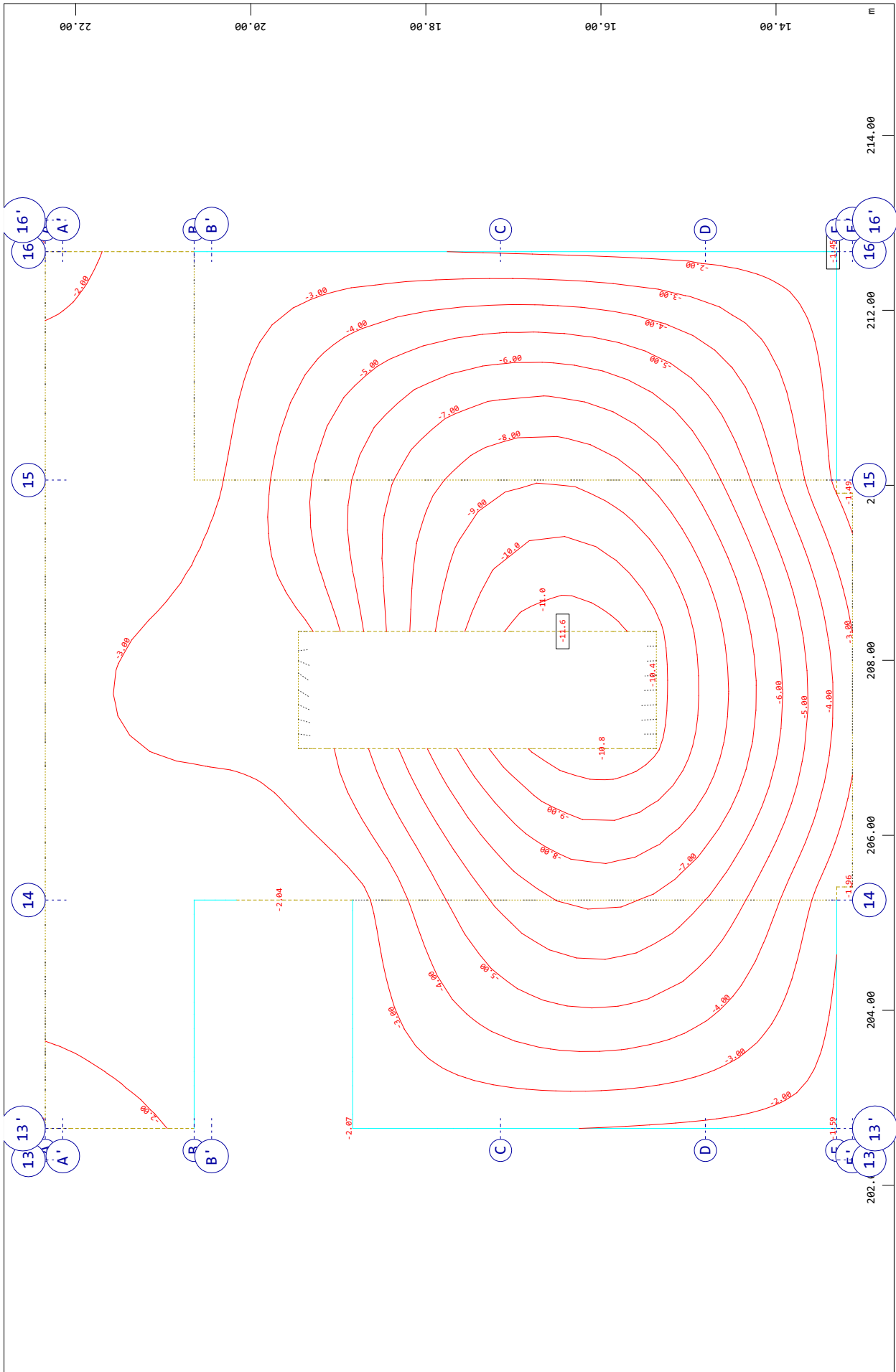
M 1 : 62

Y Sector of system Group 200  
 X Nodal displacement in global Z in Node ○, Loadcase 80376 MINP-UZ NODE -- SLS/wtot , from -15.3 to -1.52 step 1.00 mm

Dilatacija B3

Ploščča

SOFiSTiK AG - www.sofistik.de



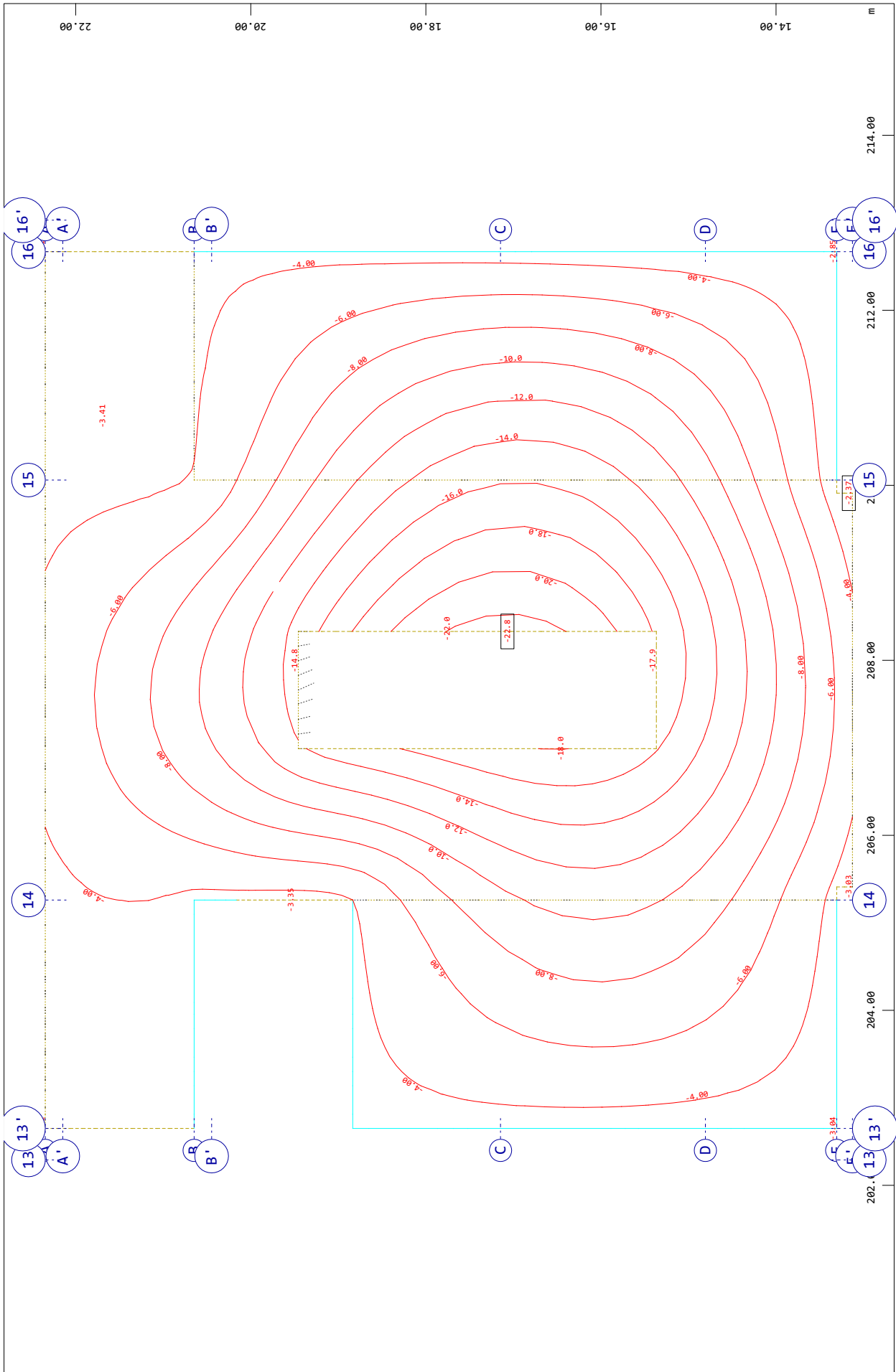
M 1 : 62

Y Sector of system Group 200  
 X Nodal displacement in global Z in Node ○, Loadcase 80476 MINP-UZ NODE -- SLS/w2+w3 , from -11.6 to -1.45 step 1.00 mm

Dilatacija B3

Ploščča

SOFiSTiK AG - www.sofistik.de



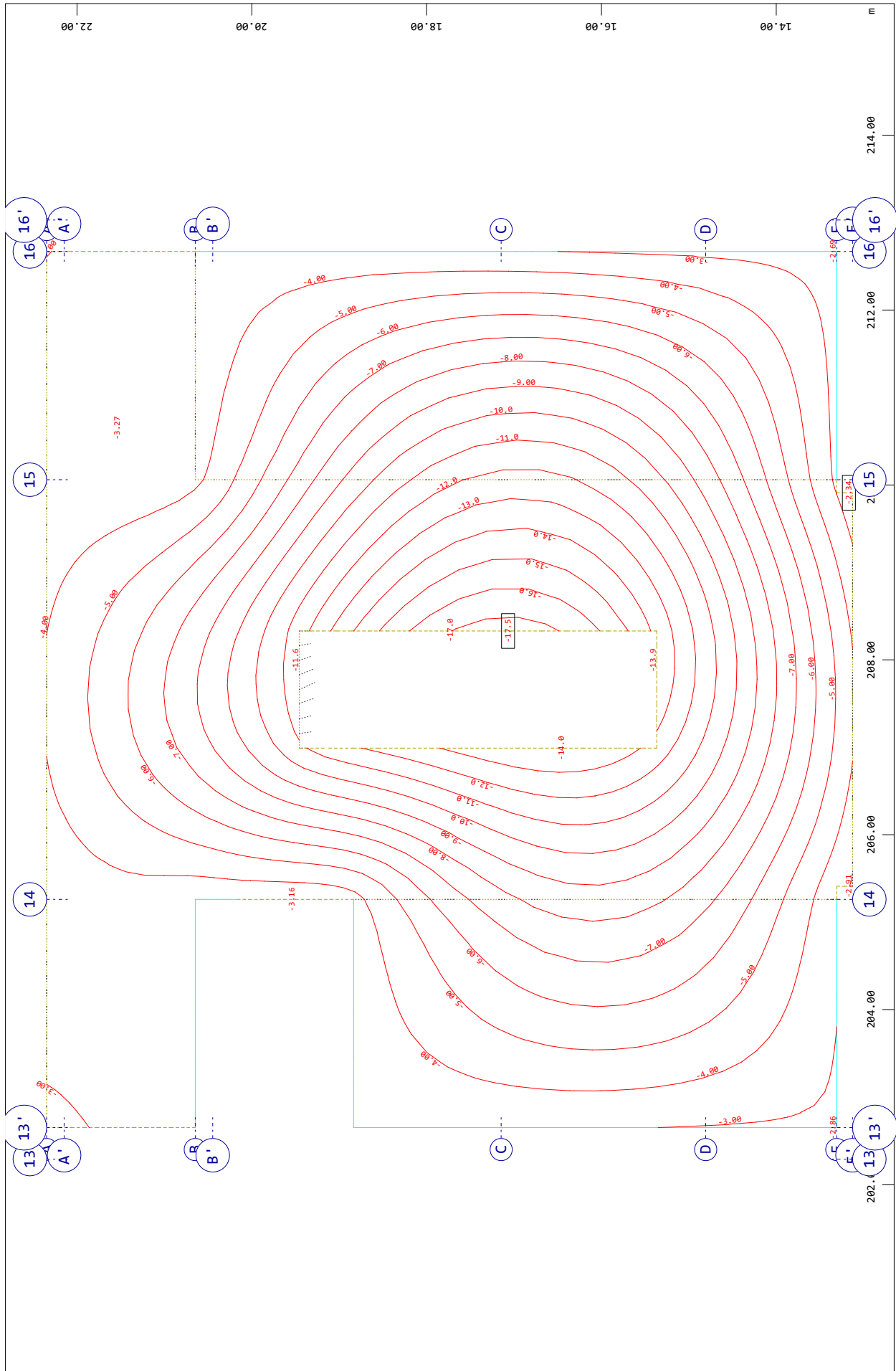
M 1 : 62

Y Sector of system Group 300  
 X Nodal displacement in global Z in Node ○, Loadcase 80376 MINP-UZ NODE -- SLS/wtot , from -22.8 to -2.37 step 2.00 mm

Dilatacija B3

Ploščča

SOFiSTiK AG - www.sofistik.de



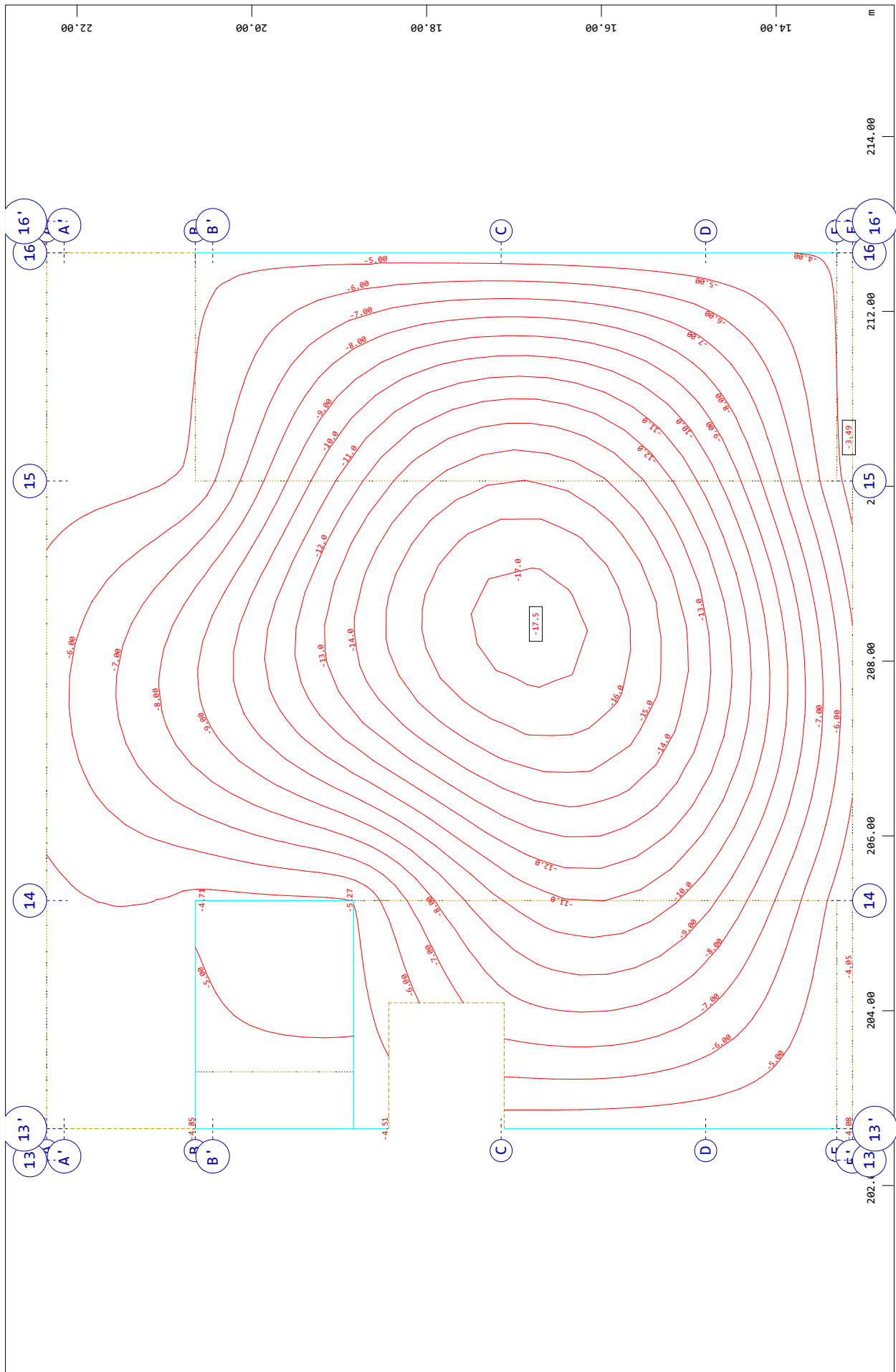
M 1 : 62

Y Sector of system Group 300  
 X Nodal displacement in global Z in Node ○, Loadcase 80476 MINP-UZ NODE -- SLS/w2+w3 , from -17.5 to -2.34 step 1.00 mm

Dilatacija B3

Ploščča

SOFiSTiK AG - www.sofistik.de



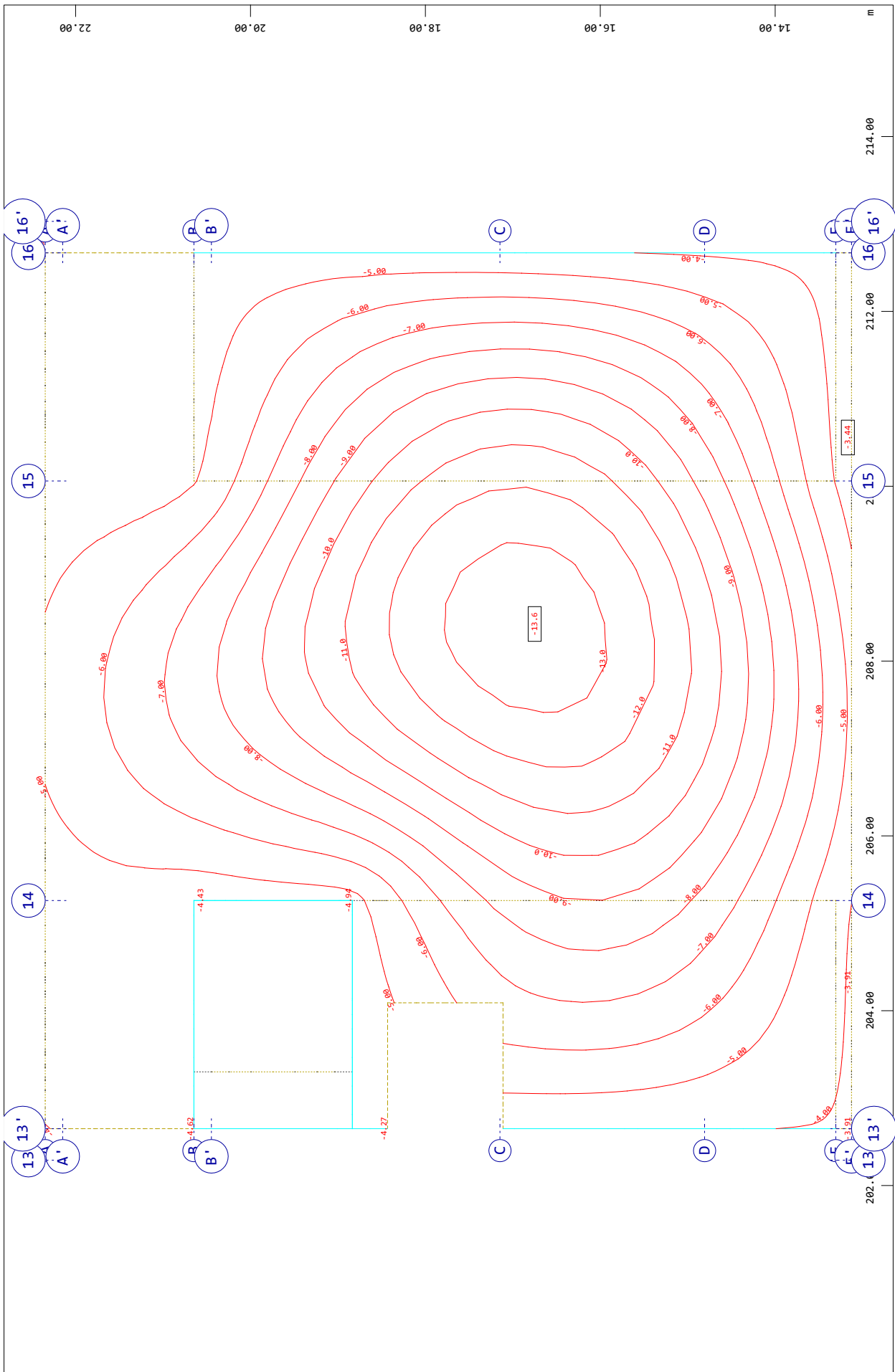
M 1 : 62

Y Sector of system Group 400  
 X Nodal displacement in global Z in Node  
 O, Loadcase 80376 MINP-UZ NODE -- SLS/wtot , from -17.5 to -3.49 step 1.00 mm

Dilatacija B3

Ploščča

SOFiSTiK AG - www.sofistik.de



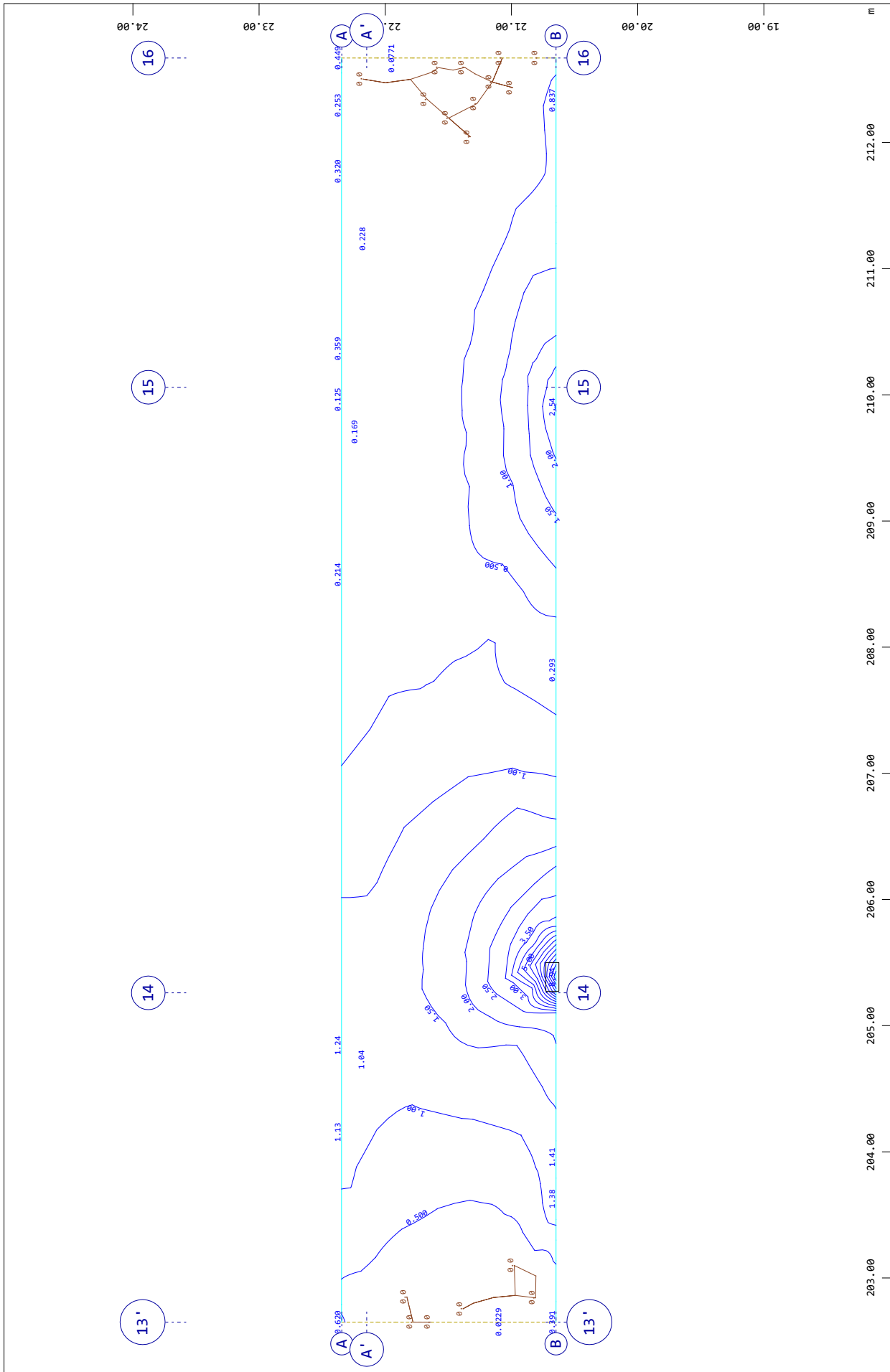
M 1 : 62

Y Sector of system Group 400  
 X Nodal displacement in global Z in Node ○, Loadcase 80476 MINP-UZ NODE -- SLS/w2+w3 , from -13.6 to -3.44 step 1.00 mm

Dilatacija B3

Plošča

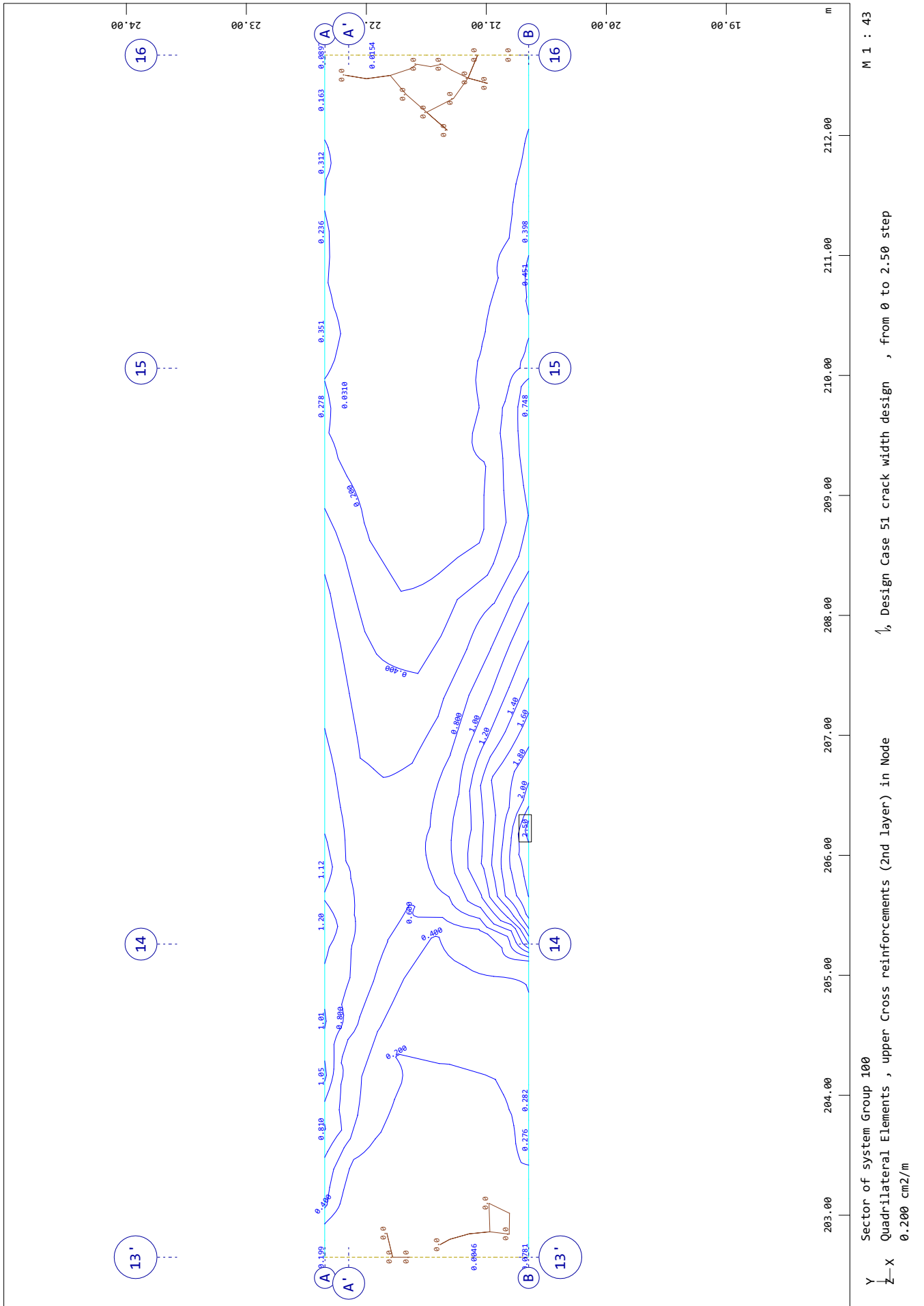
SOFiSTiK AG - www.sofistik.de



Dilatacija B3

Plošča

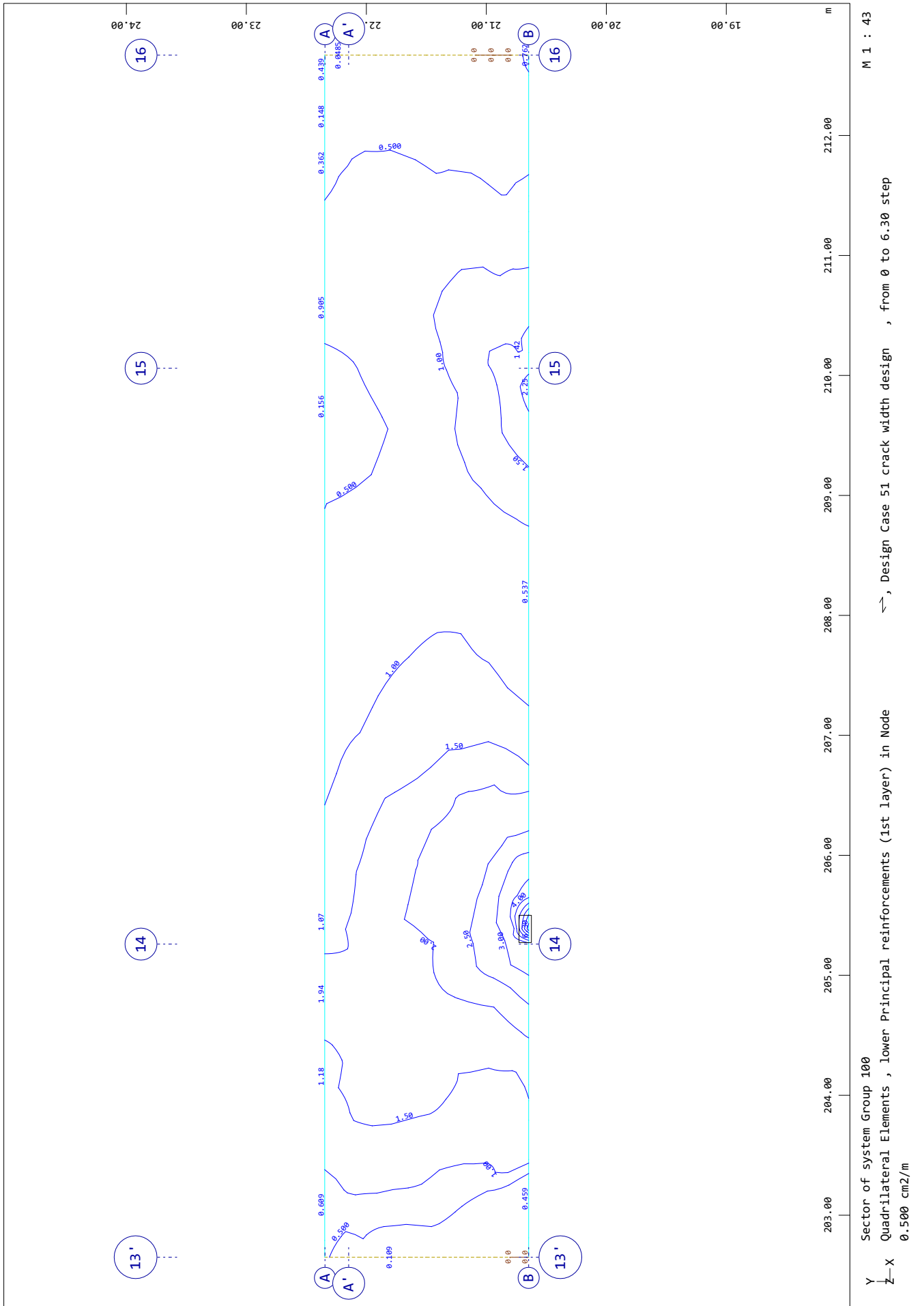
SOFiSTiK AG - www.sofistik.de



Dilatacija B3

Plošča

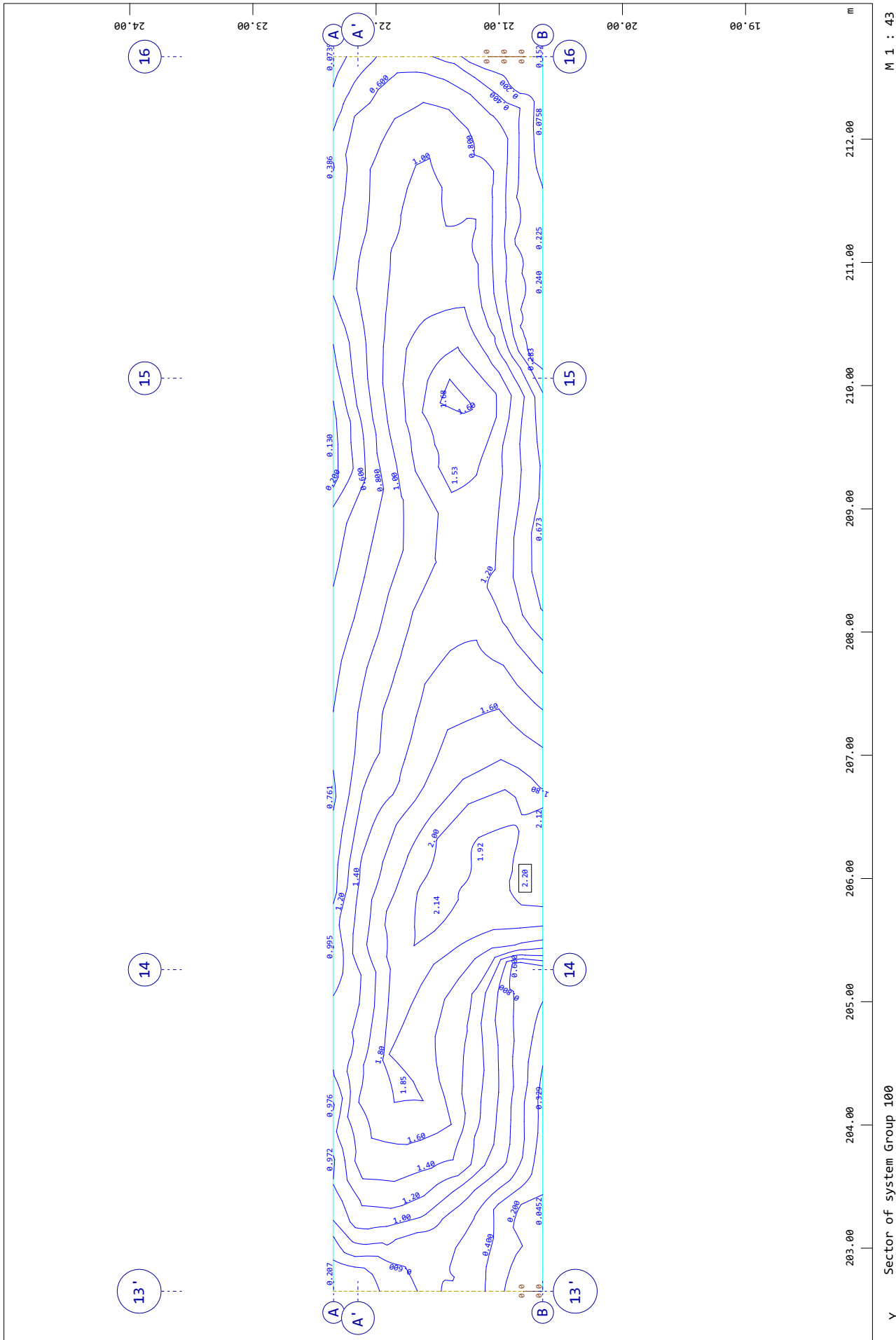
SOFiSTiK AG - www.sofistik.de



Dilatacija B3

Plošča

SOFiSTiK AG - www.sofistik.de



M 1 : 43

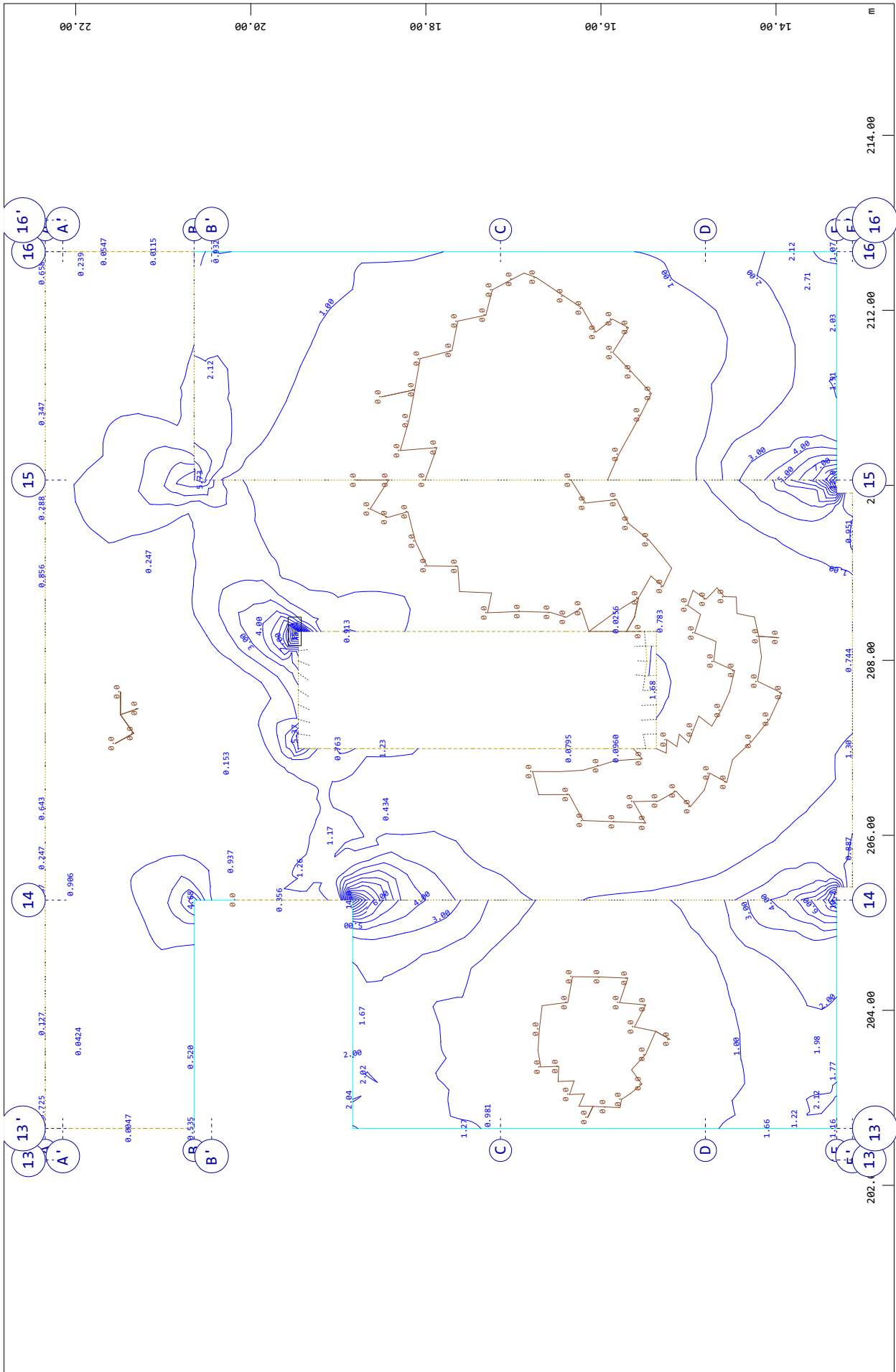
1, Design Case 51 crack width design , from 0 to 2.20 step

Y Sector of system Group 100  
 X Quadrilateral Elements , lower Cross reinforcements (2nd layer) in Node  
 0.200 cm<sup>2</sup>/m

Dilatacija B3

Ploščča

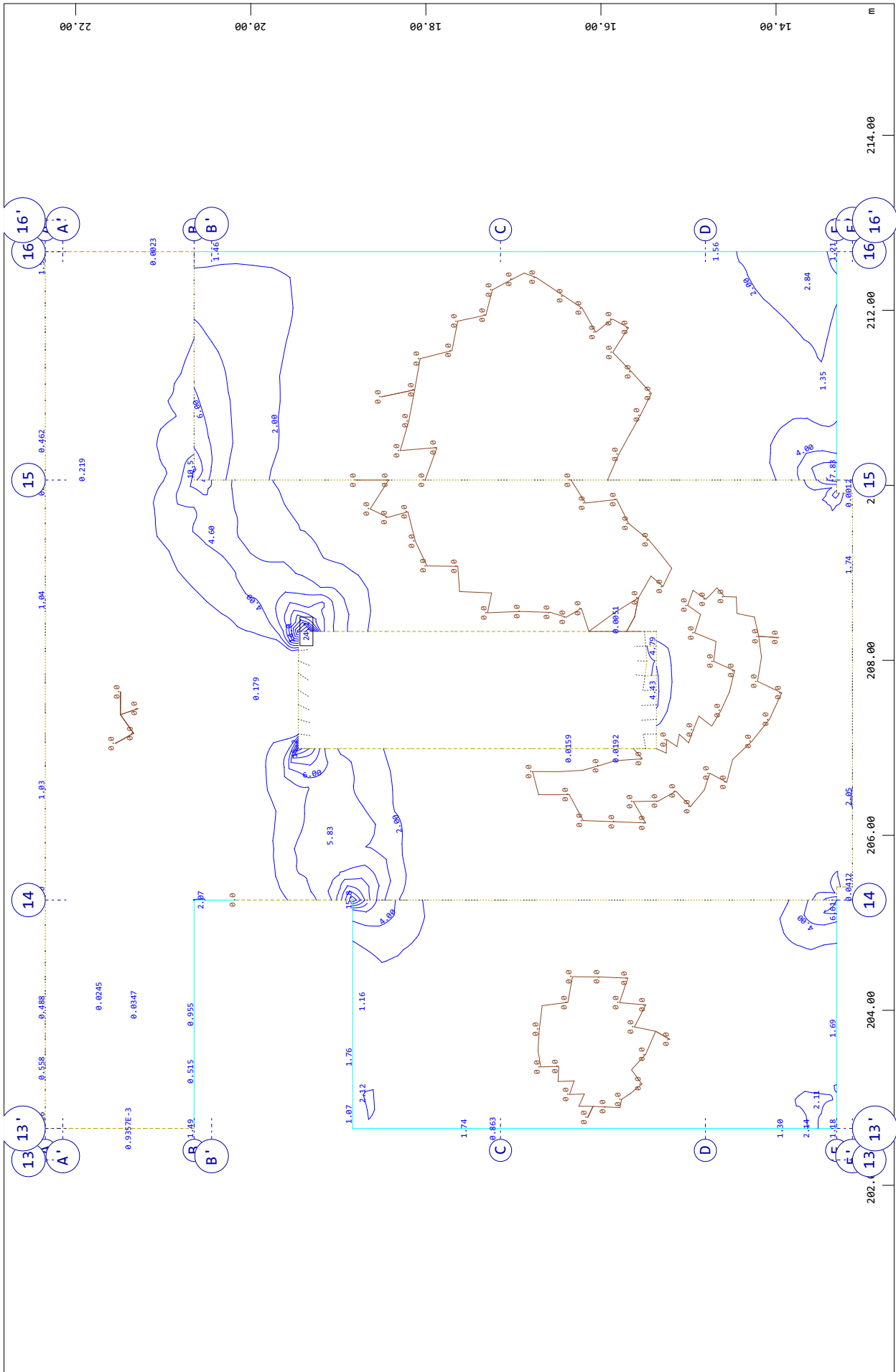
SOFiSTiK AG - www.sofistik.de



Dilatacija B3

Ploščča

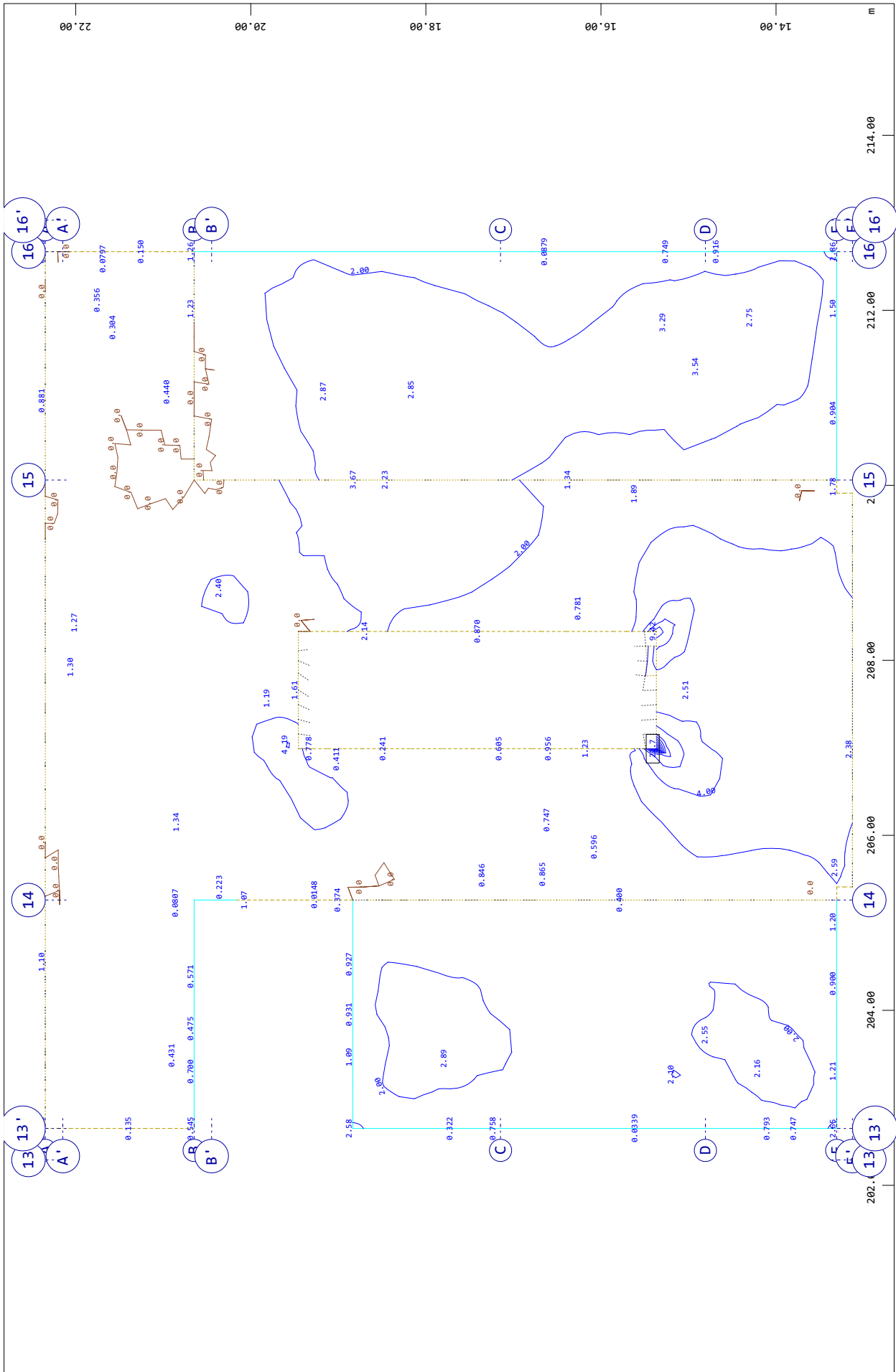
SOFiSTiK AG - www.sofistik.de



Dilatacija B3

Ploščča

SOFiSTiK AG - www.sofistik.de



M 1 : 62

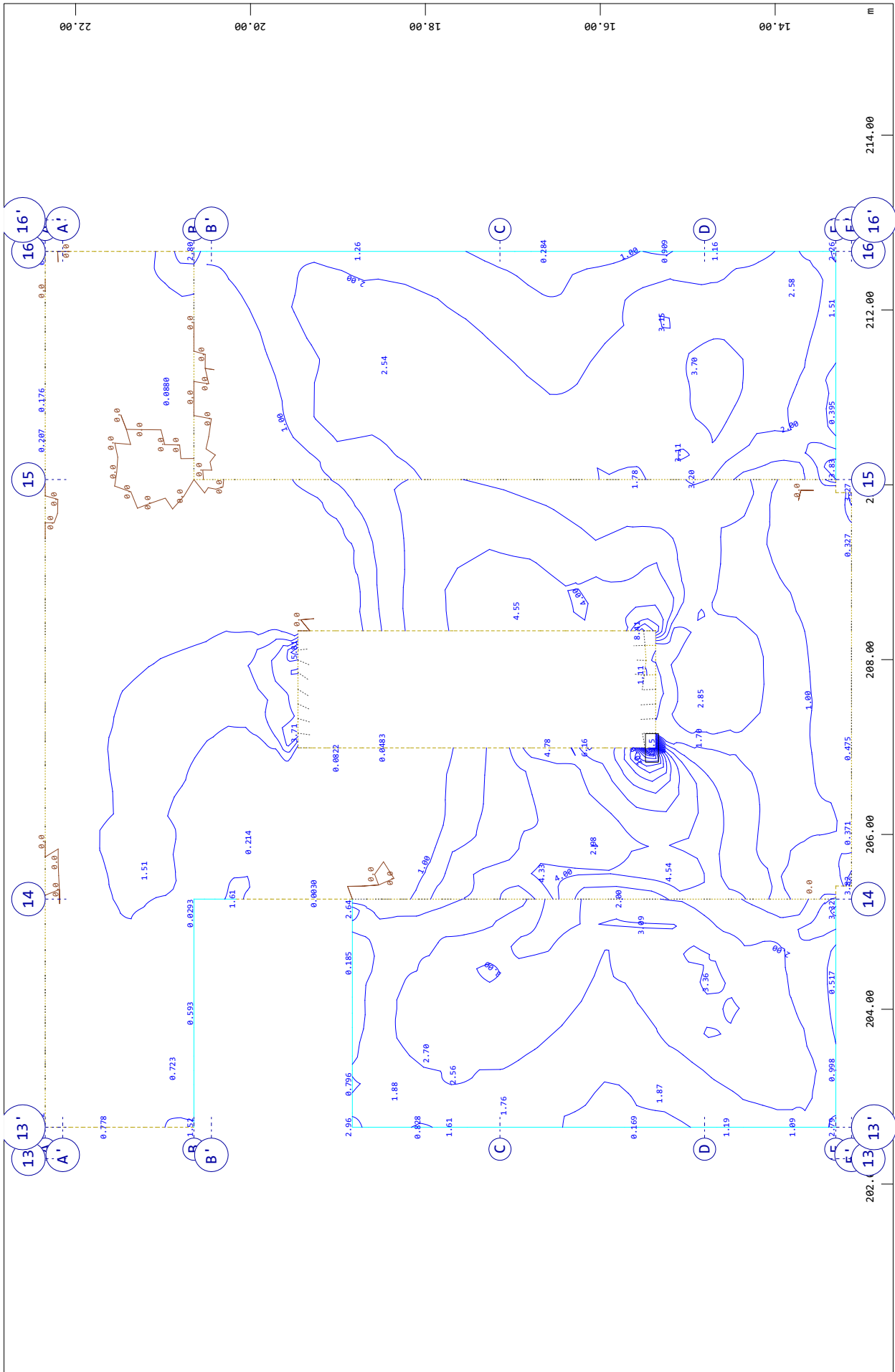
↔, Design Case 51 crack width design , from 0 to 22.7 step

Y Sector of system Group 200  
 X Quadrilateral Elements , lower Principal reinforcements (1st layer) in Node  
 2.00 cm<sup>2</sup>/m

Dilatacija B3

Ploščča

SOFiSTiK AG - www.sofistik.de

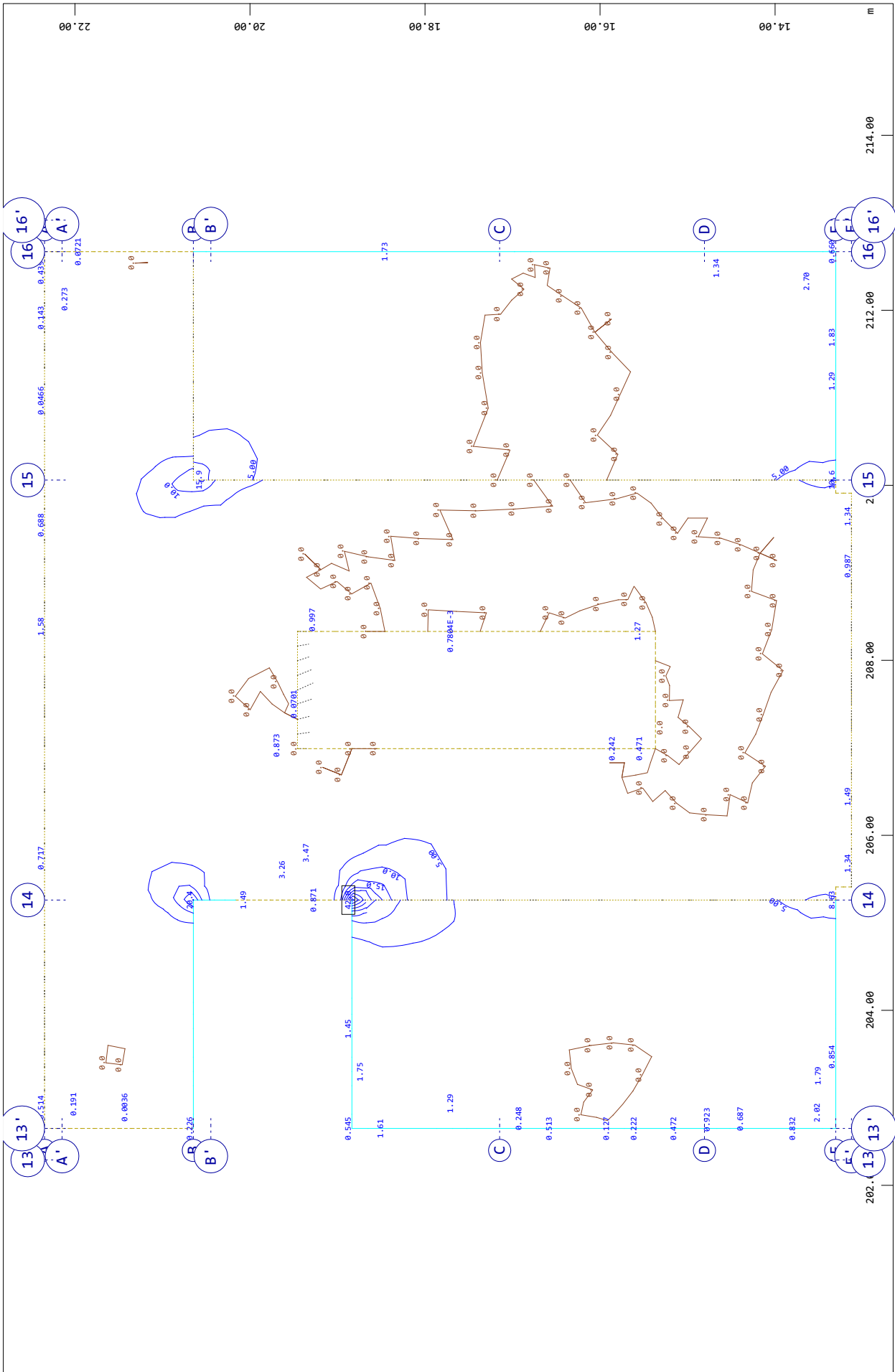


M 1 : 62

Y  
 X  
 Sector of system Group 200  
 Quadrilateral Elements , lower Cross reinforcements (2nd layer) in Node, Design Case 51 crack width design , from 0 to 19.5 step 1.00  
 cm2/m

Dilatacija B3

Ploščča



SOFiSTiK AG - www.sofistik.de

M 1 : 62

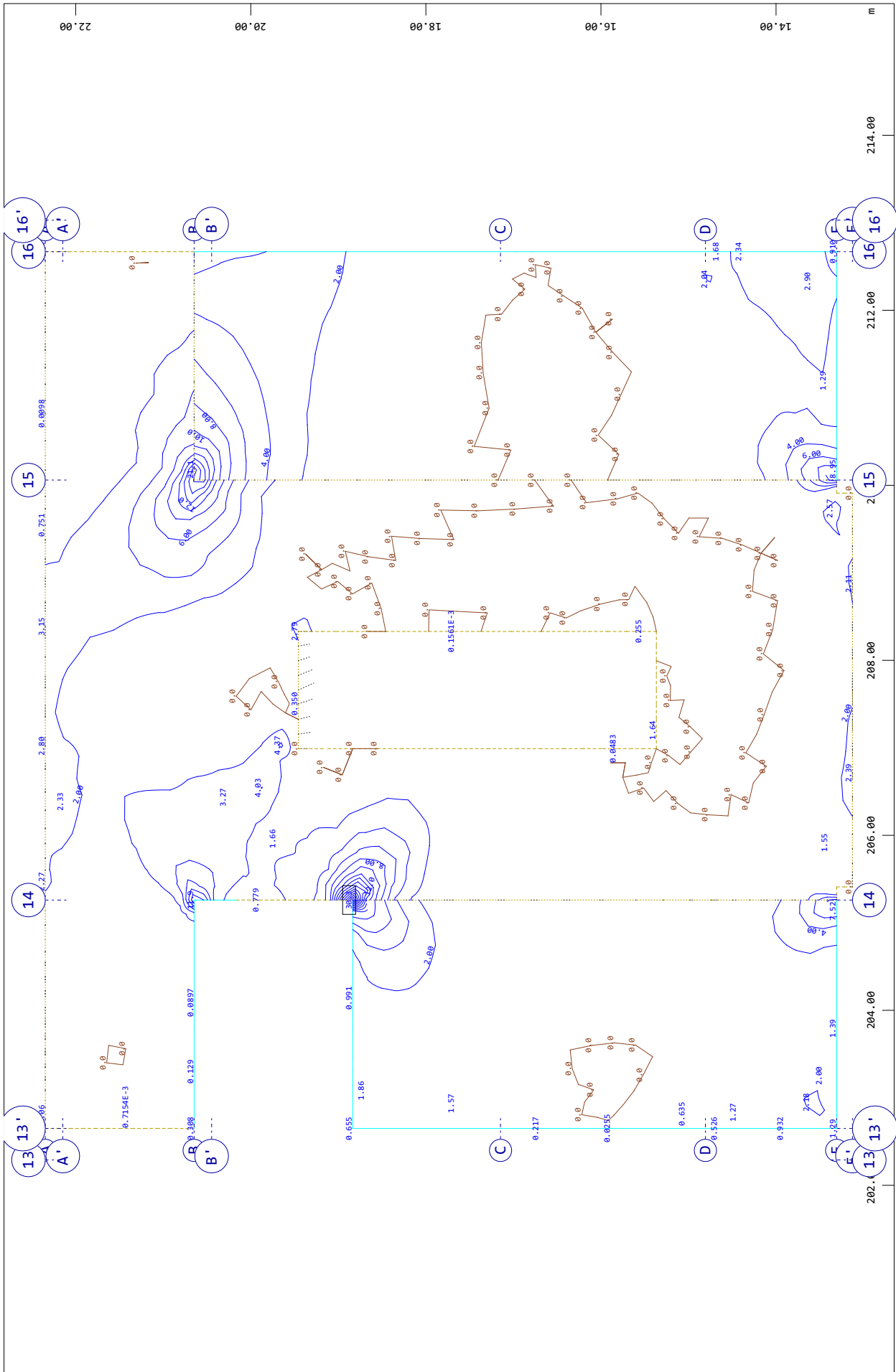
↔, Design Case 51 crack width design, from 0 to 42.0 step

Y Sector of system Group 300  
 X Quadrilateral Elements, upper Principal reinforcements (1st layer) in Node  
 5.00 cm<sup>2</sup>/m

Dilatacija B3

Ploščča

SOFiSTiK AG - www.sofistik.de



M 1 : 62

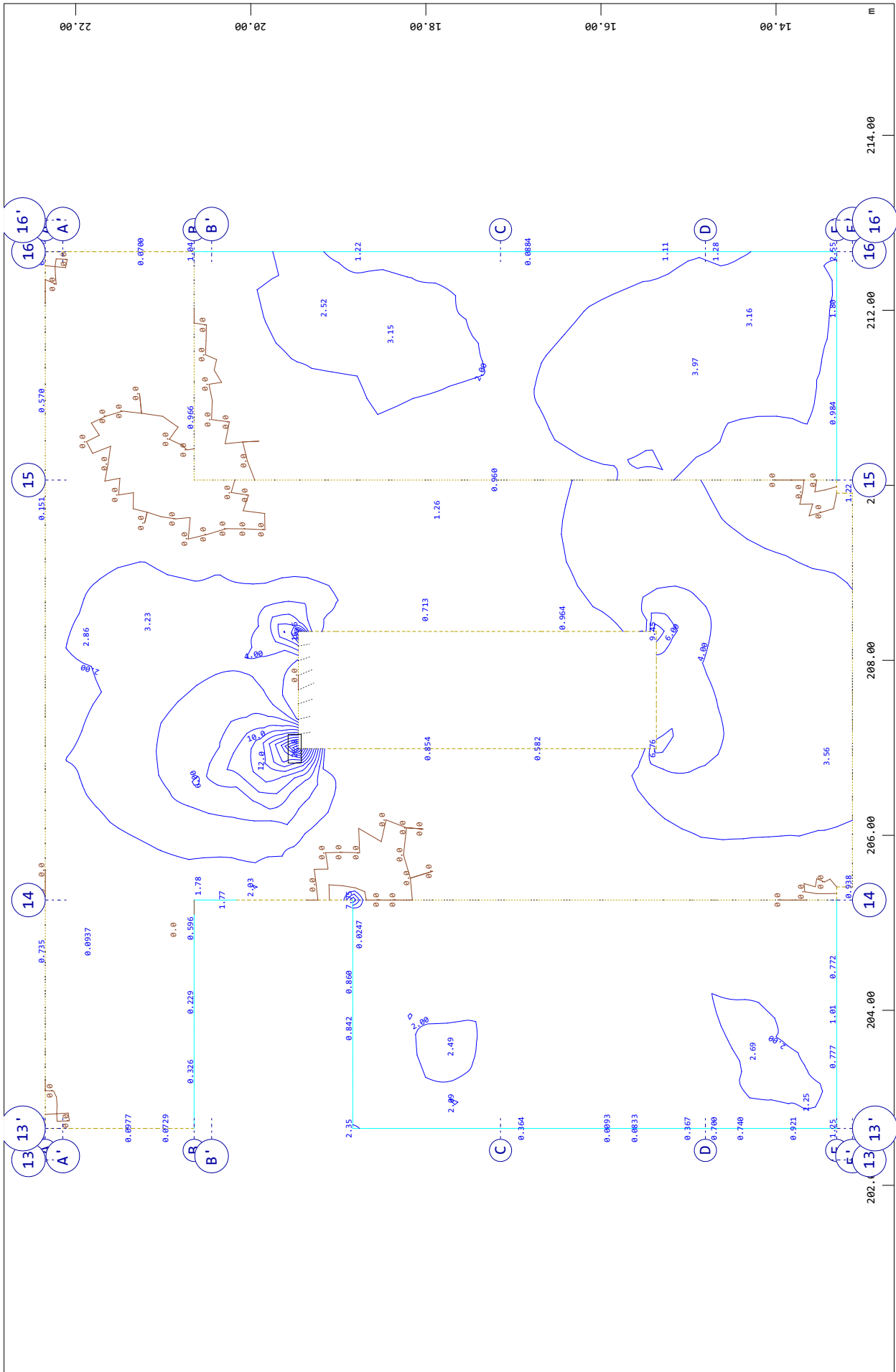
1, Design Case 51 crack width design , from 0 to 30.3 step 2.00

Y Sector of system Group 300  
 X Quadrilateral Elements , upper Cross reinforcements (2nd layer) in Node  
 cm2/m

Dilatacija B3

Ploščča

SOFiSTiK AG - www.sofistik.de



M 1 : 62

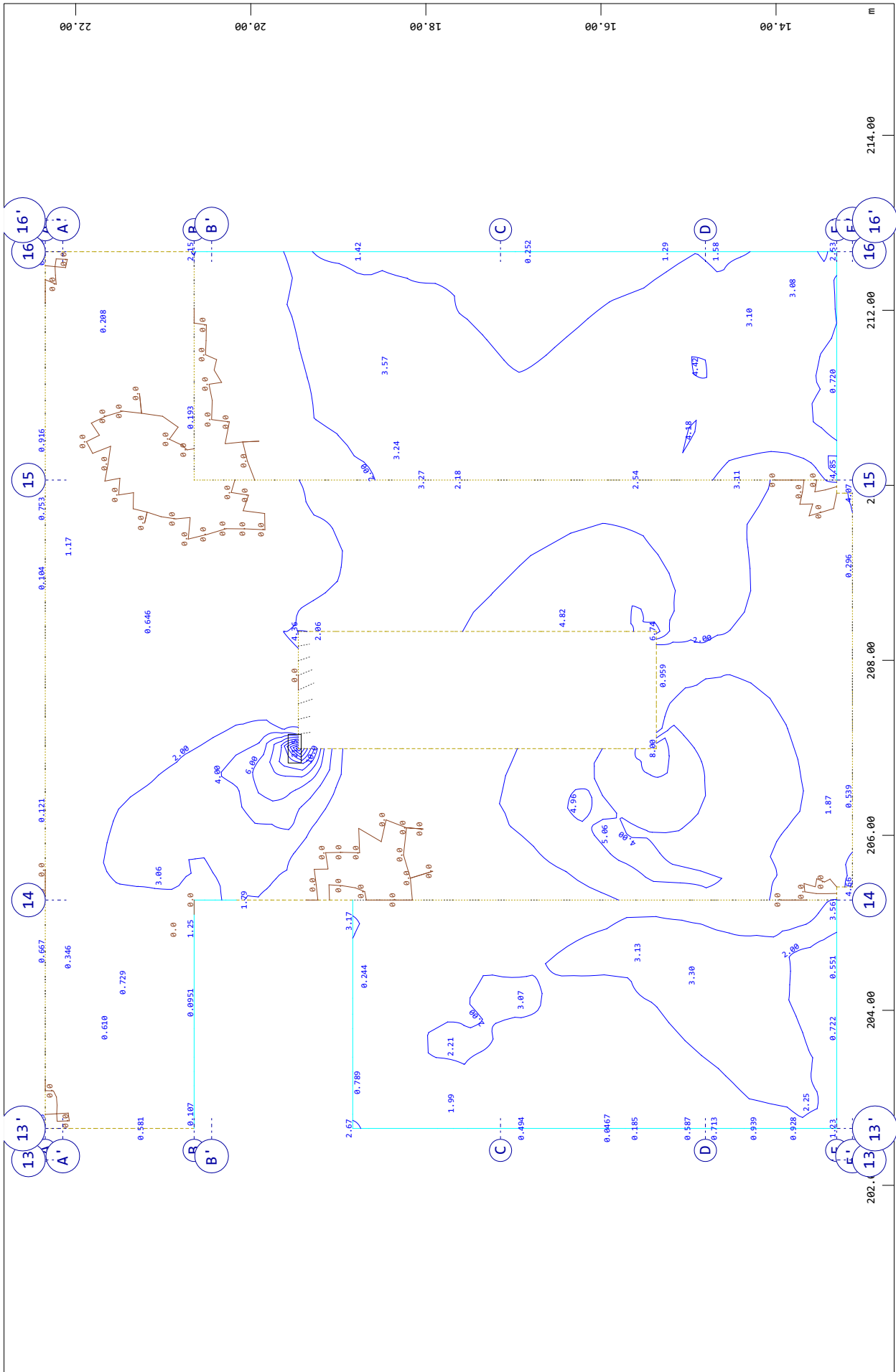
↔, Design Case 51 crack width design, from 0 to 26.8 step

Y Sector of system Group 300  
 X Quadrilateral Elements, lower Principal reinforcements (1st layer) in Node  
 2.00 cm<sup>2</sup>/m

Dilatacija B3

Ploščica

SOFiSTiK AG - www.sofistik.de



M 1 : 62

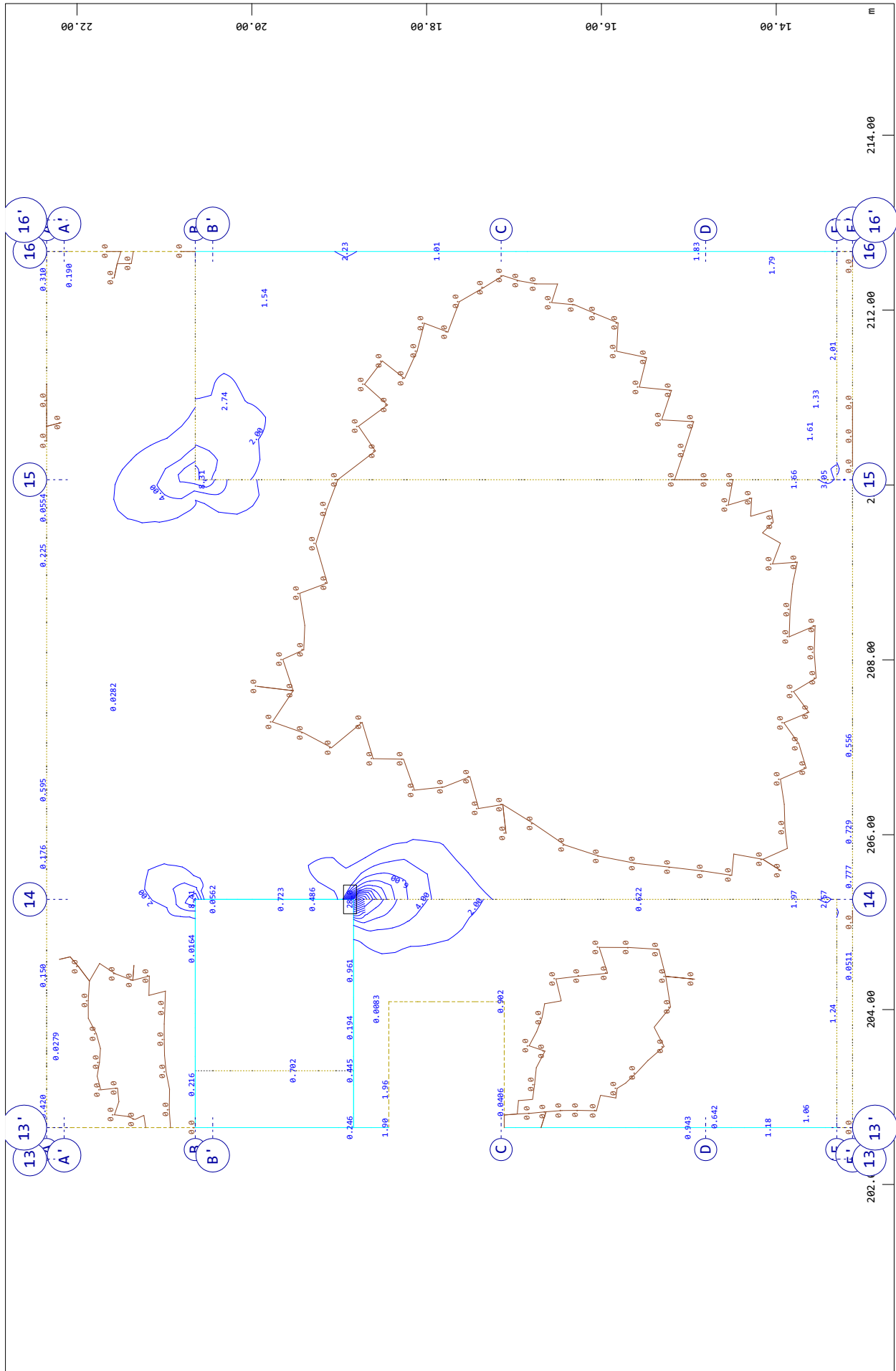
1, Design Case 51 crack width design , from 0 to 21.5 step 2.00

Y Sector of system Group 300  
 X Quadrilateral Elements , lower Cross reinforcements (2nd layer) in Node  
 cm2/m

Dilatacija B3

Plošča

SOFISTIK AG - www.sofistik.de



M 1 : 62

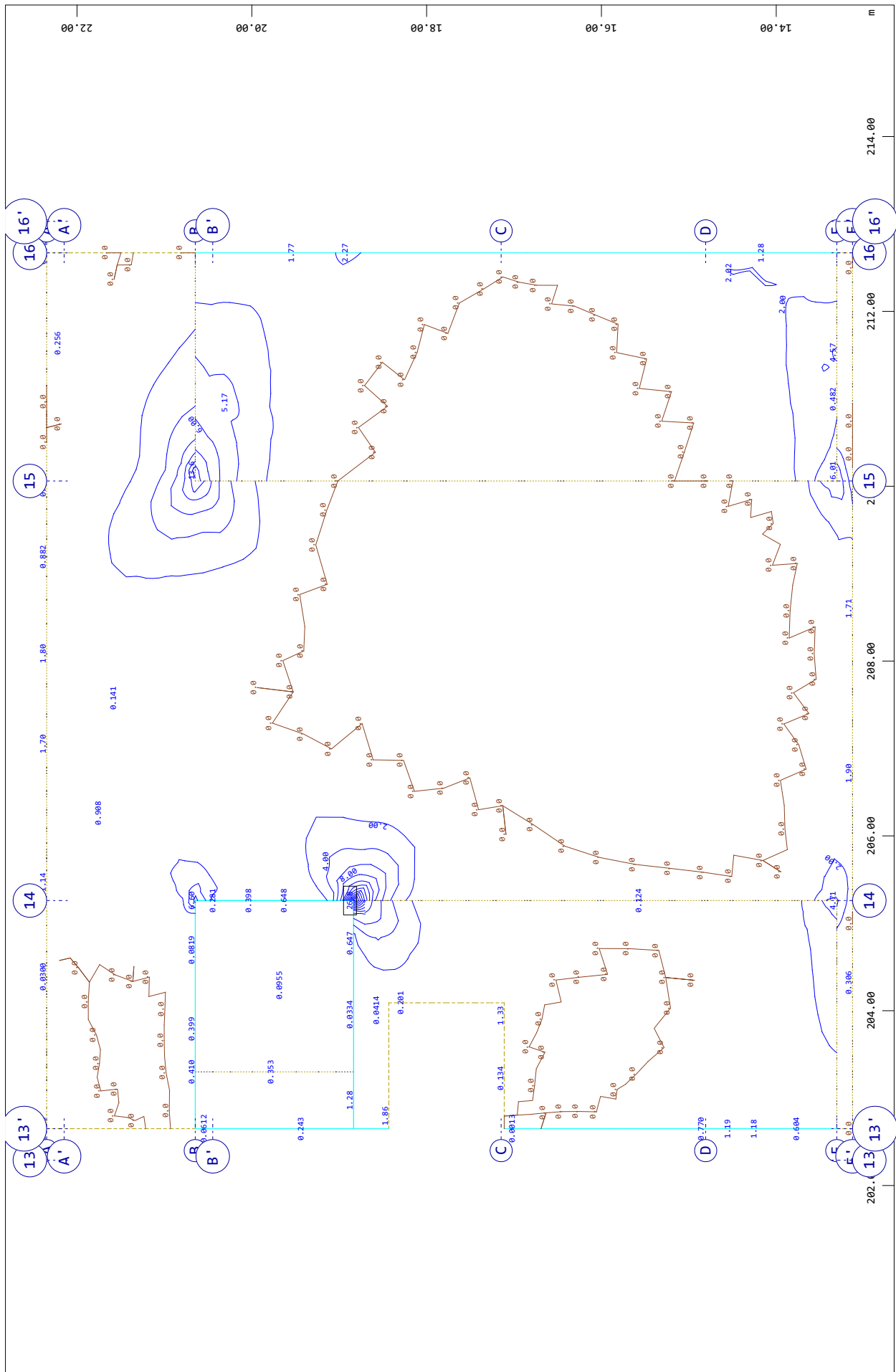
↔, Design Case 51 crack width design, from 0 to 28.0 step

Y Sector of system Group 400  
 X Quadrilateral Elements, upper Principal reinforcements (1st layer) in Node  
 2.00 cm<sup>2</sup>/m

Dilatacija B3

Plošča

SOFISTIK AG - www.sofistik.de



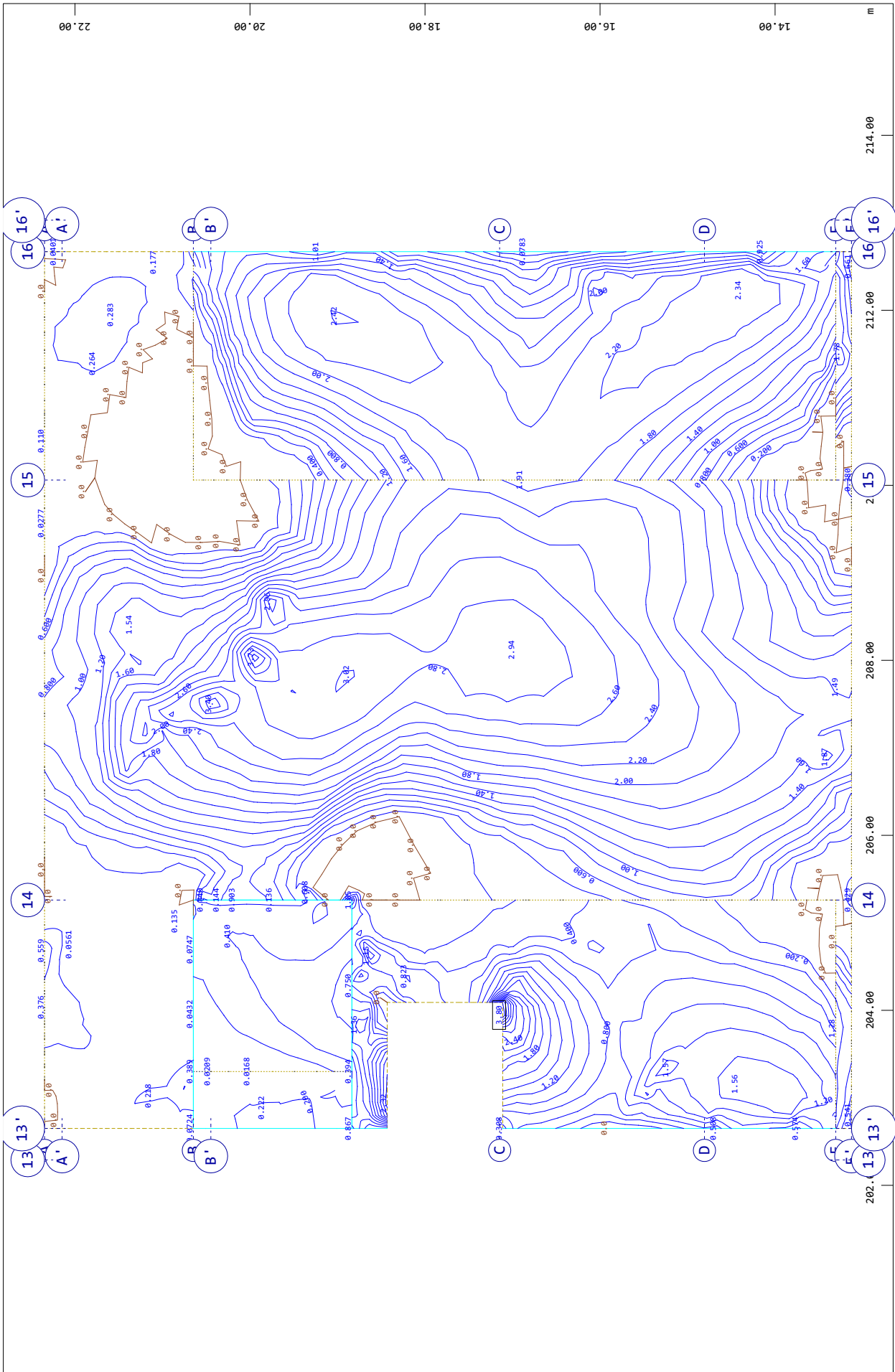
M 1 : 62

1, Design Case 51 crack width design , from 0 to 26.8 step 2.00

Y Sector of system Group 400  
 X Quadrilateral Elements , upper Cross reinforcements (2nd layer) in Node  
 cm2/m

Dilatacija B3

Plošča



SOFiSTiK AG - www.sofistik.de

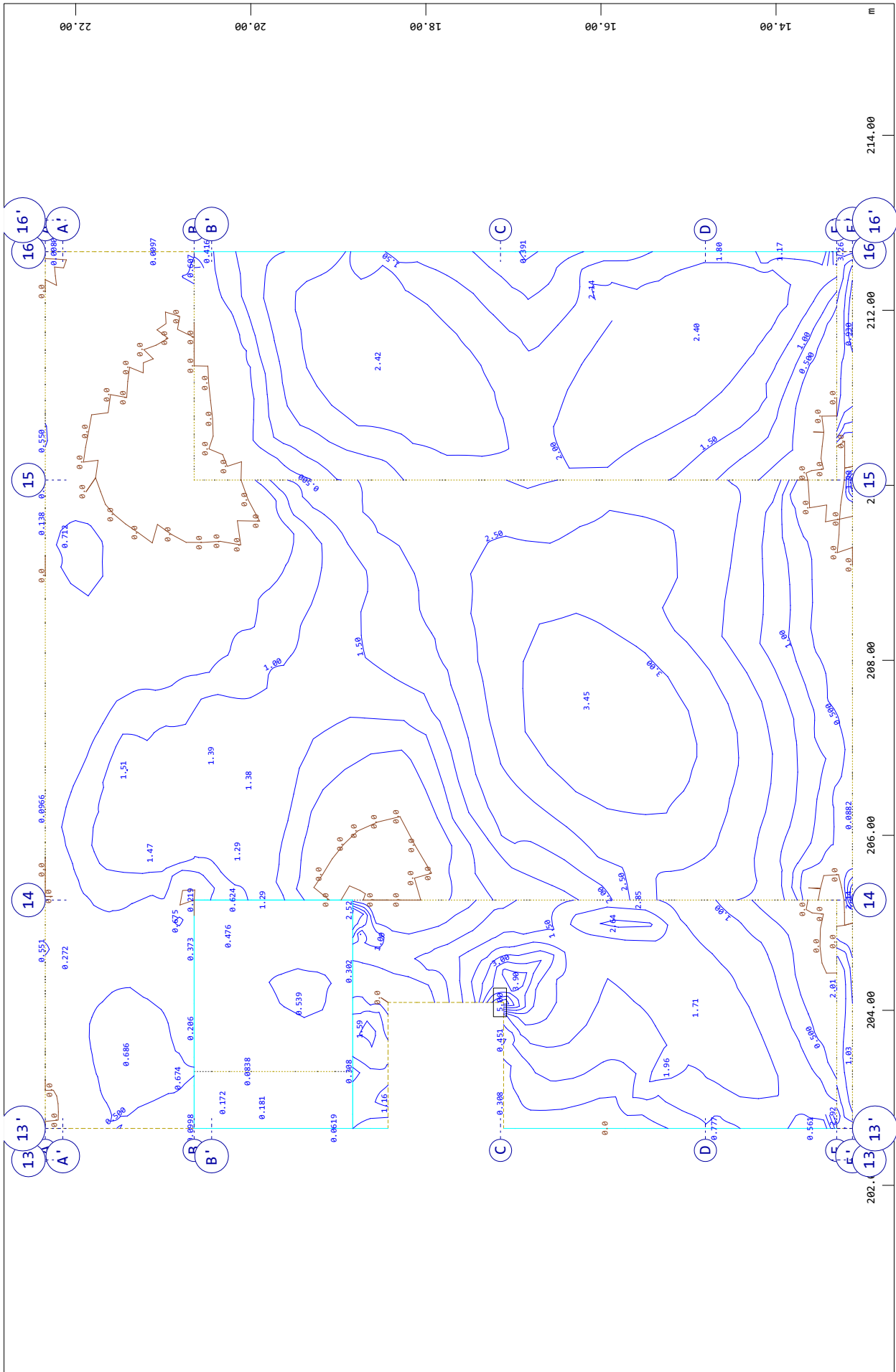
M 1 : 62

↔, Design Case 51 crack width design , from 0 to 3.80 step

Y Sector of system Group 400  
 X Quadrilateral Elements , lower Principal reinforcements (1st layer) in Node  
 0.200 cm<sup>2</sup>/m

Dilatacija B3

Ploščča



SOFISTIK AG - www.sofistik.de

M 1 : 62

1, Design Case 51 crack width design , from 0 to 5.00 step

Y Sector of system Group 400  
Z-X Quadrilateral Elements , lower Cross reinforcements (2nd layer) in Node  
0.500 cm<sup>2</sup>/m

## 8.2 Seizmični izračun

### 8.2.1 Razred duktilnosti in faktor obnašanja

: a Ů3 enžionĩ anje ĳ onstĩ uĳ ije je i2š anĩ aŹ eŮ Ůuĳ ti%osti DC6 .

: asnoĩ a ĳ onstĩ uĳ ijsĩ e8a siste3 a uĩĩ C>a staĩšo 3 eŮ stenaste siste3 e, 2a ĳ atĩ e se /aĳ toŹ ošnaCanja sũ ĳŮno s  
+šT EN " << ( ; " , >%n D. ! . ! . ! , Ůo%>i ĳ ot

$$q_0 = 3 \cdot 0 \frac{\alpha_u}{\alpha_1}$$

q<sub>0</sub> H osnoĩ naĩĩ eŮnost /aĳ toŹ ja ošnaCanja, α<sub>1</sub> H /aĳ toŹ , ĳ i Ůo%>a nastaneĩ ĳĩĩ e8a n%sti>ne8a >%nĩ a, α<sub>u</sub> H /aĳ toŹ , ĳ i Ůo%>a nastaneĩ Ůoĩ o%ĩne8a  
Ůeĩĩ n%sti>nĩ4 >%nĩ a 2a nastoĩ 8%ša%e nestašĩ%osti siste3 a

: a siste3 noĩ e2ani4 sten, stanŮaĩ Ů +šT EN " << ( ; " , >%n D. ! . ! . ! \*D; Ůo%>aĩ eŮnost /aĳ toŹ ja

$$\frac{\alpha_u}{\alpha_1} = 1 \cdot 2.$$

Osnoinaĩ eŮnost /aĳ toŹ ja ošnaCanja je taĳ o

$$q_0 = 3 \cdot 0 \frac{\alpha_u}{\alpha_1} = 3 \cdot 0 \cdot 1 \cdot 2 = 3 \cdot 6.$$

Na ĳ on>noĩ eŮnost /aĳ toŹ ja ošnaCanja o%ĩ a tuŮ ů e%Ůuĳo>siste3 ů uCenja, ĳ i 8a 2aja3 e3 o s /aĳ toŹ je3 k<sub>w</sub>. . aĳ toŹ  
iŹ a>una3 o 2a sa2 o s3 eĩ nosešej, teŹ 2a Ůĩta ijsĩ e enote nosešej, saj je oŮĩsen oŮ Ůeĩĩ in Ů3 enžij sten, ĳ aĩ  
2aja3 e3 o s /aĳ toŹ je3 α<sub>0</sub>.

Di%ta ija 5' l

: a s3 eĩ F 2naCa

$$\alpha_{0,x} = \frac{\sum h_{wi}}{\sum l_{wi}} = \frac{5 \cdot 9 \cdot 0}{13 \cdot 5} = 3 \cdot 33$$

$$0 \cdot 5 \leq k_{w,x} = \frac{1 + \alpha_{0,x}}{3} = 1 \cdot 44 \leq 1 \cdot 0$$

: a s3 eĩ J Ůa

$$\alpha_{0,y} = \frac{5 \cdot 9 \cdot 0}{14 \cdot 98} = 3 \cdot 00$$

$$0 \cdot 5 \leq k_{w,y} = \frac{1 + \alpha_{0,y}}{3} = 1 \cdot 33 \leq 1 \cdot 0 .$$

: a 8eo3 eĩ ijo ĳ onstĩ uĳ ije %4ĩ oĩ e>e3 o, Ůa je ů a i%ĩa noĩ ĳni. Ůa>unsĩ aĩ eŮnost /aĳ toŹ ja ošnaCanja 2naCa taĳ o

$$1.5 \leq q_x = q_y = q_0 \cdot k_w = 3 \cdot 6 \cdot 1 \cdot 0 = 3 \cdot 6$$

### 8.2.2 Upoštevanje mas pri določanju potresnega vpliva

+ tanŮa Ů + ġ T EN " << ( ; " , > % n ' . ! . , \* ! + = , Ůo % > a u noŮe anje 3 ase, Ů i so Zajete nas % Ůnji Ů o3 Ůina iji o % o

$$\sum_{j \geq 1} G_{k,j} + \sum_{i > 1} \psi_{E,i} Q_{k,i}$$

$G_{k,j}$  H % stna te9a in sta % i na Ů onst Ů ijo,  $Q_{k,i}$  H sŮ e3 en % i na Ů onst Ů ijo,  $\psi_{E,i}$  H Ů oe / i ient, Ů i u noŮe a, Ůa noŮ esna o Ůte9 Ůa  $Q_{k,i}$  ni Ů isotna o e % tni Ů onst Ů iji

Ko3 Ůina ijs Ů i Ů oe / i ient  $\psi_{E,i}$  se i Ů a > una na s % Ůe > i na > inl

$$\psi_{E,i} = \varphi \psi_{2,i}$$

$\varphi$  H / a Ů toŮ , Ů i u noŮe a 3 e Ů se Ůojno o Ů isnost 2 ase Ůenosti eta9,  $\psi_{2,i}$  H Ů o3 Ůina ijs Ů i / a Ů toŮ no Ůan + ġ T EN " << # , A . ! . !

. a Ů toŮ 2 ase Ůenosti eta9 je no Ůan Ů e8 % Ůni i " < l

Preglednica 19: Faktor zasedenosti etaŮ  $\varphi$

B' sta sŮ e3 en % e8 a o % a	Eta9a	$\varphi$
Kate8Ů ija A;C	4nja eta9a * Ů e4a+	" #
	2 ase ŮŮa ne Ů at e i4 eta9 je no e2ana	# E
	eta9e so 2 ase Ůene neo Ů isno	# D
Kate8Ů ije D;.		" #

Kate8Ů ije so oŮ e Ůe % ene + ġ T EN " << ; " ;

### 8.2.3 Upoštevanje razpokanih prerezov

+ tanŮa Ů + ġ T EN " << ( ; " , > % n , . ' . " \* + , Ůo % > a u noŮe anje Ů a2 no Ů ani4 Ů e e2o Ů onst Ů ije. k noŮe anje Ů a2 no Ů ani4 Ů e e2o u noŮe a3 o 2 23 anjCanje3 to8osti nosi % i4 e % 3 ento s / a Ů toŮ je3 # D.

### 8.2.4 Nihajni časi in odziv konstrukcije

Ůa > un > in Ů noŮ esni4 o % na Ů onst Ů ijo je i2 e Ů en s no3 o > jo 3 o Ů a % e ana % e s Ů oje Ů tni3 s ne Ů e Ů o3 o Ů i a \* Ů oje Ů tni s ne Ů teŮ t iŮa " no + ġ T EN " << ( ; " o Ů e4 4Ů i2 onta % i4 s3 e e4. B o % i Ů a2 % ni4 ni4 ajni4 o Ů % so Ů o3 Ů in Ů ani s no3 o > jo CKC 3 eto Ůe, Ů i > e3 e Ů sota e / e Ů tni4 3 o Ů a % i4 3 as 2 na Ca e > Ů ot < # L e % tne 3 ase Ů onst Ů ije. + te3 je 2 a Ů o > eno no8oju, Ů i 8a Ů e Ů isuje + ġ T EN " << ( ; ! ! ## ) , to > a , . ' . ! . ! . "

Preglednica 20: Nihajni časi konstrukcije in efektivna masa – dilatacijska enota 3

Ni4ajna oš%a	T MN	E/e <sub>2</sub> ti-na 3 asa	
		Os3 e' MN	P s3 e' MN
"	#E' ( #	) D(	#E#
!	#E' #(	#E'	- ! E
'	#E#, '	"' E'	#E#
,	#E#' D	#E#	) E
±			
)#		∑ 98'7	∑ 97'4

### 8.2.5 Etažna strižna sila

Ůa23 e' je 3 eOđ oje<sub>2</sub> tno noť esno si% in 3 aso ošje<sub>2</sub> ta 2naGal

Di%ta ija 'l

$$; \quad 2a F; s3 e' l \quad \frac{P_x}{P_{tot}} = \frac{575}{4000} = 0'14$$

$$; \quad 2a J; s3 e' l \quad \frac{P_y}{P_{tot}} = \frac{480}{4000} = 0'12$$

### 8.2.6 Omejitev poškodb

\*tančã Ů \*g'T EN "<<(;" o3 ejuje eta9ne no3 i<sub>2</sub> e. Eta9ni no3 i<sub>2</sub> i<sub>2</sub> onst' u<sub>2</sub> ije ō i noť esni ana%zi oš uoOte-anju /a<sub>2</sub> to' ja q = 1 so nočani<sub>2</sub> ō e8%čni i.

Preglednica 21: Etažni pomiki konstrukcije ob potresni obtežbi – dilatacija 3

Eta9a	d <sub>s,max</sub> MN 3 N	
	+3 e' F	+3 e' J
' N	<E#	! E <
! N	) E #	! E#'
" N	' E##	" E#

d<sub>s,max</sub> ... naj-e>ji eta9ni noť esni no3 i<sub>2</sub> oš uoOte-anju q = 1'0

Da ō eŋ e>i3 o ō etič ane noC oOš e<sub>2</sub> onst' u<sub>2</sub> ije, stančã Ů \*g'T EN "<<(;" >%n , . , ' , o3 eji<sub>2</sub>e% ost no3 i<sub>2</sub> o<sub>2</sub> ena>šol

$$d_r v \leq ah \rightarrow \frac{d_r}{h} \leq \frac{\alpha}{v}$$

d<sub>r</sub> H ō oje<sub>2</sub> tni eta9ni no3 i<sub>2</sub>, o%>en<sub>2</sub> ot' a2% a 3 eO no<sub>2</sub>ŋ e>ni3 a<sub>2</sub>oO<sub>2</sub> a<sub>2</sub>ni3 a no3 i<sub>2</sub> o3 a d<sub>s</sub> na<sub>2</sub>ŋ 4u in Ůnu eta9e, h H eta9na<sub>2</sub>ŋna, v H eO<sub>2</sub> ijs<sub>2</sub> i /a<sub>2</sub> to' , i i uoOte<sub>2</sub> a 3 anjCo no<sub>2</sub> atno ošo noť esa (stančã Ů 2a<sub>2</sub> ate8o' ijo no3 e3 \$nosti ŋŋ ŋ ŋ o>a<sub>2</sub> ečnost #E, α H /a<sub>2</sub> to' , o<sub>2</sub>-isen oO Ů<sub>2</sub> ti%osti ne<sub>2</sub> onst' u<sub>2</sub> ijs<sub>2</sub> i4 e%3 ente<sub>2</sub> \*α = 0'005 2a ne<sub>2</sub> onst' u<sub>2</sub> ijs<sub>2</sub> e e%3 ente i2<sub>2</sub> 4<sub>2</sub> i4 3 atē ia<sub>2</sub>, α = 0'0075 2a Ů<sub>2</sub> ti%e ne<sub>2</sub> onst' u<sub>2</sub> ijs<sub>2</sub> e e%3 ente, α = 0'010 2a ne<sub>2</sub> onst' u<sub>2</sub> ijs<sub>2</sub> e e%3 ente na<sub>2</sub> atē e Oe/ō 3 a ije<sub>2</sub> onst' u<sub>2</sub> ije ne<sub>2</sub>ŋ<sub>2</sub> ajo+

Eta9ni 2a3 i<sub>2</sub> i<sub>2</sub> onst' u<sub>2</sub> ije so 2\$ ani ű e8%Ůni i. BiŮ3 o, Ůa so űo3 i<sub>2</sub> i<sub>2</sub> onst' u<sub>2</sub> ije Ůo-o%3 aj4ni, Ůa Ůo-o%ujejo tuŮi uoű a\$o neŮu<sub>2</sub> ti%ai4 i<sub>2</sub> onst' u<sub>2</sub> ijs<sub>2</sub> i4 e%3 ento.

Preglednica 22: Omejitev pomikov pri potresni obteűbi – dilatacija 3

Eta9a	$d_r$ M 3 N		$h$ M N	$v$	$vd_r/h$		$\alpha$		
	*3 e' O	*3 e' J			*a+	*\$+	* +		
' N	' E #	#E )	! E !		####D<	####",			
! N	' E #	#E'	! E !	#E	####D-	####<	####D	###- D	#E"
" N	' E #	"E#	' E )		####, D	####!			

### 8.2.7 P-Δ efekt

O\$>ut%ost i<sub>2</sub> onst' u<sub>2</sub> ije na teű ijo Ů u8e8a' eŮa \*=-; Δ e/e<sub>2</sub> t+ iZ a>una3 o o\$ uoŮe-anju +\$T EN "<<( ; , >%n , , . ! . ! \* ! + . 7%Ůe na' eŮnost i<sub>2</sub> oe/i ienta o\$>ut%osti 2a eta9ne űo3 i<sub>2</sub> e θ stanŮa Ů Ůo%a' a2%ne u<sub>2</sub> eűe ű i ű oje<sub>2</sub> t' anju. Koe/i ient θ je Ůo%>en 2 ena>\$ol

$$\theta = \frac{P_{tot} d_r}{V_{tot} h}$$

$P_{tot}$  H e%tna si% te9nosti o\$ a-na-ani eta9i in naŮnjo, i je uoŮe-ana ű i noű esne3 ű oje<sub>2</sub> tne3 stanju,  $d_r$  H ű oje<sub>2</sub> tni eta9ni űo3 i<sub>2</sub> \*a2% a 3 eŮo-ű e>n<sub>3</sub> a-űoű a-ani3 a űo3 i<sub>2</sub> o3 a  $d_s$  na' 4u in Ůnu eta9e,  $V_{tot}$  H e%tna ű e>na si% eta9i 2a aŮ noű esa,  $h$  H-űiŮna eta9e

7%Ůe na' eŮnost i<sub>2</sub> oe/i ienta θ e%a s%Ůe>el

- ;  $\theta \leq 0'10$  o%a TDŮ ni noű e\$no uoŮe-ati
- ;  $0'10 < \theta \leq 0'20$  o%a TDŮ se uoŮe-a na ű i\$Ůen na>in s űo-e>anje3 u>in<sub>2</sub> o noű esne8a o%a s /a<sub>2</sub> to' je3 l

$$k_{p-\Delta} = \frac{1}{1 - \theta_i}$$

- ;  $\theta > 0'30$  stanŮa Ůne Ůo-o%uje.
- Ů a>un i<sub>2</sub> oe/i ienta θ je ű i a2an ű e8%Ůni i.

Preglednica 23: Doloűitev vpliva TDR – dilatacija 3

Eta9a	$h_i$ M N	$P_{tot}$ MNN	$V_{tot}$		$d_r$		$\theta_x$	$\theta_y$
			O s3 e' MNN	P s3 e' MNN	O s3 e' M 3 N	P s3 e' M 3 N		
! N	! E !	"! D#	! D#	"( #	' E #	#E )	###)	###!
" N	! E !	! D##	, ) #	' ) #	' E #	#E'	###)	###"
#=	' E )	, ###	D( #	D##	' E #	"E#	###)	###,

Bűa teű ije Ů u8e8a' eŮa ni noű e\$no uoŮe-ati.

### 8.3 Stene

\*tene so i2 Ťetona a%tete C' #G - . B s3 e' i > 3 o%ni4 o%o% a%ni4+ osi i3 ajo ŤeŤe%no !# 3 s3 e' i Ťe%ni4 \*e' ti2 a%ai4+ osi na ŤeŤe%no ") 3 . : a Ť3 en2ion' anje a 3 Ť anoŤetons2 i4 sten je noŤ eŤno uo%Ťe%ati Ťo%>i% stanŤa' Ťa +gT EN "<<!;" in +gT EN "<<(;" .

#### 8.3.1 Geometrijske omejitve

@ ina stojine  $b_{w0}$  3 o' a 8%Ťe na stanŤa' Ť+gT EN "<<(, >%n D, .! .! , 2aŤoŤiti nas%Ťnje3 u iŤ a2ul

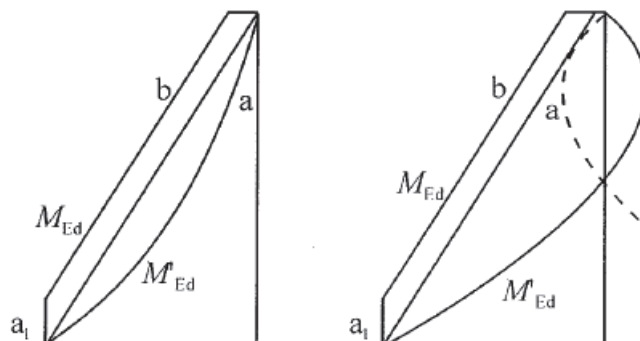
$$b_{w0} \geq \max \left\{ \begin{array}{l} 0,15 \text{ m} \\ h_s \frac{3,18}{20} = \frac{3,18}{20} = 0,159 \text{ m} \end{array} \right. = 0,159 \text{ m}$$

$b_{w0}$  H Ť ina stojine stene,  $h_s$  H s%et% eta9na%ina

DoŤatne 2a4te%e 8%Ťe ŤeŤe%ne oŤjeti4' oŤni4 e%3 ento% sten so Ťo%>ene s >%no3 D, .! ., .! #! #+

#### 8.3.2 Projektni uĉinki potresnih vplivov

DiaŤ a3 Ť oje2 tni4 uo%8iŤni4 3 o3 ento%2Ťo%ina stene se na%eŤe 2 o%ojni o ŤaŤ a3 a uo%8iŤni4 e%3 ento% i2 ana%2e, 2 i je Ť e3 a2 njena% na%ni>ni s3 e' i \*8%j s% o, +, = eŤoŤta%i se %42 o %nea' na o%ojni a, >e2 onŤ' u2 ija ni3 a no%idni no3 e3 Ťni4 ne2%e2nosti% 3 asa4, toŤosti a%nosi%osti.



- Legenda:
- a momentni diagram iz analize
  - b projektna ovojnica
  - a1 premik momentne ĉrte

Slika 8: Ovojnica upogibnih momentov za projektiranje vitkih sten

OŤŤetju sten je noŤ eŤno uo%Ťe%ati 3 o9nost no%e>anja Ť e>ni4 si%2a' aŤ n%sti/i2 a ije. 7%Ťe na stanŤa' Ť +gT EN "<<(, >%n D, .! ., \*+, 2a4te%ni 2aŤoŤi3 o, >e uo%Ťe%a3 o Ť oje2 tne Ť e>ne si%, 2 i so 2a D#L%e>je oŤtisti4, Ťo%>eni4 2 ana%2o. OŤ e3 enit%e sten so Ť i2 a2ane% naŤa%e%anju.

		= oje tni u>in <sub>2</sub> i noť esni4... na Ůnu stene					
O2na <sub>2</sub> a stene		$N_{Ed,max}$ MNN	$1.5 * V_z$ MNN	$M_{y,max}$ M3 N	$N_{(My,max)}$ MNN	$M_{y,min}$ M3 N	$N_{(My,min)}$ MNN
Di'šata ija '	" ; ;"	) ##	" D#	" ##	' ##	, ##	DD#
	" ; ;!"	) ##	" D#	" ! D	D##	" - D	, ##
	" ; ;' "	! D#	" ##	D#	! ##	D#	" D#
	" ; ;"	! ##	D#	D#	! ##	D#	" - #
	" ; ;"	" ! ##	, ##	" D#	- ##	" , ##	< D#
Di'šata ija '	A3 ; " , A3 ; ,	- D	D#	D	- D	D	- D
	A3 ; ! , A3 ; ' "	" - D	" ##	! D	" D#	D#	" D#
	5' ; " , 5' ; ! , C' ; " , E' ; " , E' ; !	) D#	! D#	, D#	) ##	, ##	D##

### 8.3.3 Preverjanje mejnih stanj in konstruiranje

Óno8i\$no in sť i9no nosi%ost je noť e\$no Ůo%>iti... s +gT EN "<<! ; " ; " , ű i >e3 ě se uoť aš... eŮnosti noť anji4 stati>ni4... in i2 noť esne ana%2e in... o3 \$ina ije 2a 3 ejno stanje nosi%osti.

#### 8.3.3.1 Minimalna in maksimalna armatura

= ě e2 na... űi>ne ā 3 atu' e je s >%no3 <.) !. stanŮā Ůā +gT EN "<<! ; " ; " o3 ejen 2

$$A_{s,vmin} = 0.002 A_c$$

$$A_{s,vmax} = 0.04 A_c$$

= ě e2... oŮŮ a... ne ā 3 atu' e je s >%no3 <.) !. stanŮā Ůā +gT EN "<<! ; " ; " o3 ejen 2

$$A_{s,hmin} = \max \left\{ \begin{array}{l} 0.001 A_c \\ 0.25 A_{s,v} \end{array} \right.$$

: a stene Ůe\$e%ne ") 3 |

$$A_{s,vmin} = 0.002 A_c = 0.002 \cdot 16 \cdot 100 = 3.2 \text{ cm}^2/\text{m}$$

$$A_{s,vmax} = 0.04 A_c = 0.04 \cdot 16 \cdot 100 = 64 \text{ cm}^2/\text{m}$$

$$A_{s,hmin} = \max \left\{ \begin{array}{l} 0.001 A_c = 1.6 \text{ cm}^2/\text{m} \\ 0.25 A_{s,v} \end{array} \right.$$

: a stene Ůe\$e%ne !# 3 |

$$A_{s,vmin} = 0.002 A_c = 0.002 \cdot 20 \cdot 100 = 4.0 \text{ cm}^2/\text{m}$$

$$A_{s,vmax} = 0.04 A_c = 0.04 \cdot 20 \cdot 100 = 80 \text{ cm}^2/\text{m}$$

$$A_{s,hmin} = \max \left\{ \begin{array}{l} 0.001 A_c = 2.0 \text{ cm}^2/\text{m} \\ 0.25 A_{s,v} \end{array} \right.$$

#### 8.3.3.2 Omejitve osne obremenitve sten

Noť 3 ě ana osna si% v<sub>d</sub> ű i3 ā ni4 noť esni4 stena4 8%Ůe na stanŮā Ůā +gT EN "<<( , >%n D , . ' , . " ! ě ne s3 e ű ese>i #Ě .

$$v_d = \frac{N_{Ed}}{A_c f_{cd}} \leq 0.4$$

= e>na ā 3 atu' a... o\$ni4 e%3 enti4 se %4... o Ůo%>i sa3... s +gT EN "<<! ; " ; " , >e je i2no%ajen no8oj

$$v_d = \frac{N_{Ed}}{A_c f_{cd}} \leq 0.15$$

Bse stene zaostujejo na oboju  $v_d < 0.15$ , zato za ostajajo eno ešne a 3 atue uo ašiš o oojni e, i ji iž auna o o a 3 + O. i + TiK, i o o a 3 atue o 8% o e na za te e + g T EN " << ! ; ! .

Preglednica 24: Normirana osna sila v stenah

	Oznaka stene	Normirana osna sila $v_d$
Dijeta ija	" ; "	## (
	" ; !	## )
	" ; '	## ,
	" , ; "	## "
	" ) ; "	## D
D	A3 ; " , A3 ; ,	## )
	A3 ; ! , A3 ; '	## -
	5' ; " , 5' ; ! , C' ; " , E' ; " , E' ; !	## )

### 8.3.3.3 Kritično območje

Kritično območje na oboju stene  $h_{cr}$  se določa na g T EN " << ( , > na D , . ! , . ! , o o i i o t l

$$h_{cr} = \max \left\{ h_w = \frac{9 \cdot 000 \text{ m}}{6} = 1.50 \text{ m} \leq \min \left\{ h_s = 3.36 \text{ m} \right. \right.$$

$l_w$  ... o o i na o e ne a o e e a stene,  $h_w$  H o i o na stene,  $h_s$  H s e t e i o na eta 9 e

Kritično območje sten je e 2 e tno o itno eta 9 o.

### 8.3.3.4 Potrebna količina armature MSN-STR

o 68 o o e s e o s t e 9 s e u o o t e a 3 o c e o o j n i o o s e 3 e n i t e 2 a 3 e j n o s t a n j e n o s i o s t i o i s t a i 4 i n 2 a s n i 4 s t a n j i 4 . 7 % o e n a o o j n i o o s e 3 e n i t e i ž a u n a 3 o o o e s n o i n o a 3 a t u e , i j e o o a n a n a o a e a n j u .

### 8.3.4 Strižna odpornost sten

O s t e t j u s t e n s e s t i r n o o o n o s t o s u o o t e a n j u > n a D , . ! , . , s t a n o a o a g T E N " << ( ; " 2 a 8 o t e i t a o , o a s e o o j e t n e s t i r n e s i o o s e n e 2 a n a 2 o n a e a 2 a D # L . B s o o n j i o e 8 % o n i i j e o o a n i ž a u n o o e s n e s t i r n e a 3 a t u e 2 a s e s t e n e o s t e t j u .

Oznaka stene	$\Phi_{sw}$ M3 N	s M3 N	$n_s$ M N	$A_{sw.dej}/s$ M B ' G N	$A_{sw.potr}/s$ M B ' G N	$V_{rd.max}$ M N N	$V_{rd.s}$ M N N	$V_{Ed}/V_{Rd}$ M N
" ; "	(	" D	!	)-#	."#'	!(, '	<( "	" D
" ; !	(	" D	!	)-#	."#'	!(, '	<( "	" D
" ; '	(	" D	!	)-#	##)	!(, '	<( "	" #
" , ; "	(	" D	!	)-#	##, '	!(, '	<( "	D
" ) ; "	(	" D	!	)-#	!.-'	!(, '	<( "	, "
A' ; " , A' ; ,	(	" D	!	)-#	##, '	' DD'	<( "	D
A' ; ! , A' ; '	(	" D	!	)-#	##)	' DD'	<( "	" #
5' ; " , 5' ; ! , C' ; " , E' ; " , E' ; !	(	" D	!	)-#	."-"	' DD'	<( "	! D

#### 8.4 Temeljenje objekta

Ošje t se te3 e% s te3 e%no n%Co Ůeše%ne ' D 3 , 2 i je to> e%no n%Ů Ů ta s n%Ůti.

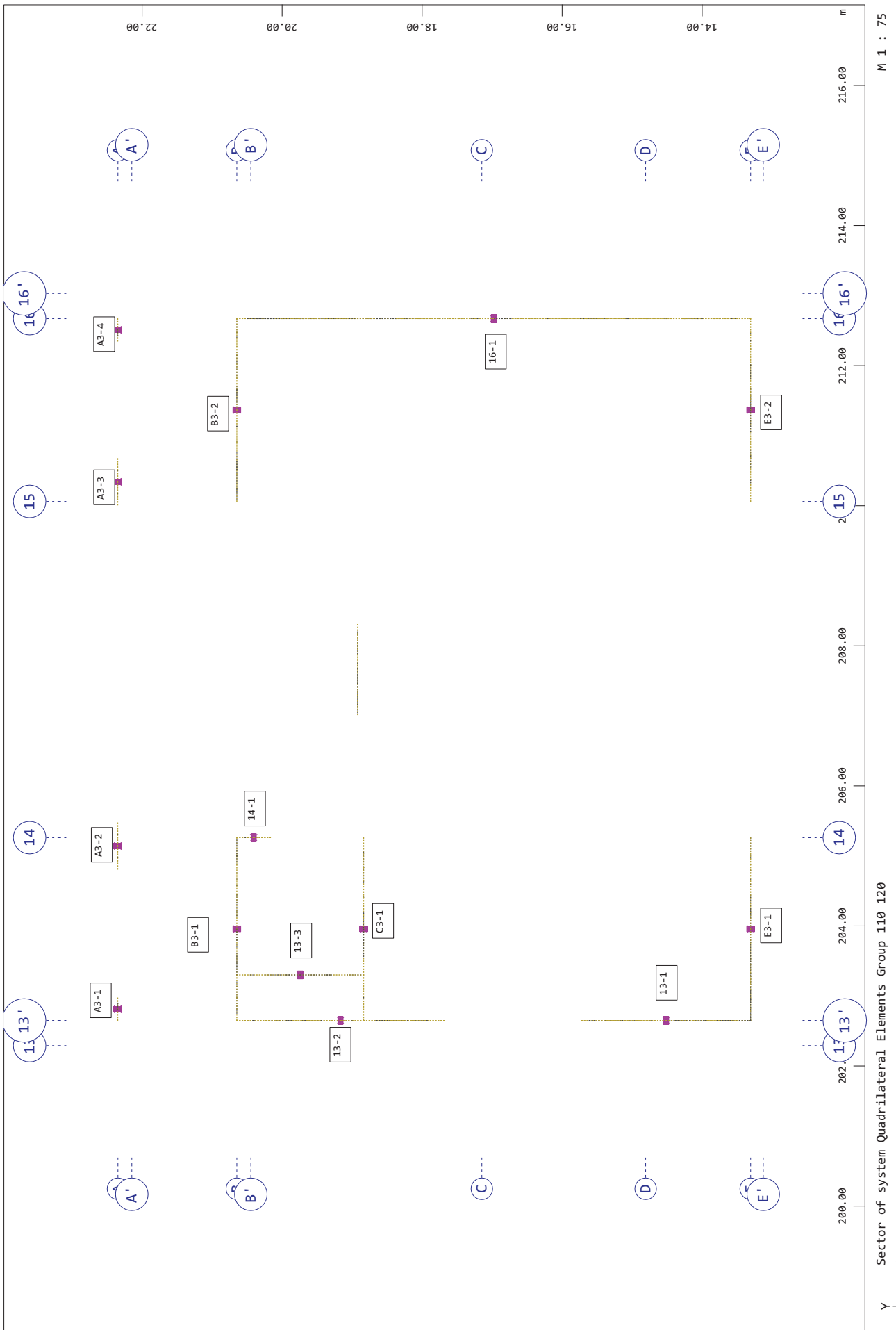
=oť esna oš e3 enite% na n%Ůte je iŮ a>unana Ů i e%sti>ne3 n%Ů esu \*b2. QR " +

Ůea 2 ije na n%Ůte so Ůoš%eni s Ů oš a3 o3 To1 e' S ' D in + o/isti2 . Di3 en2ioniŮ anje n%Ůta je iz%eŮeno% Ů oš a3 u DgA+ 2a%se ošje2 te.

Dilatacija B3

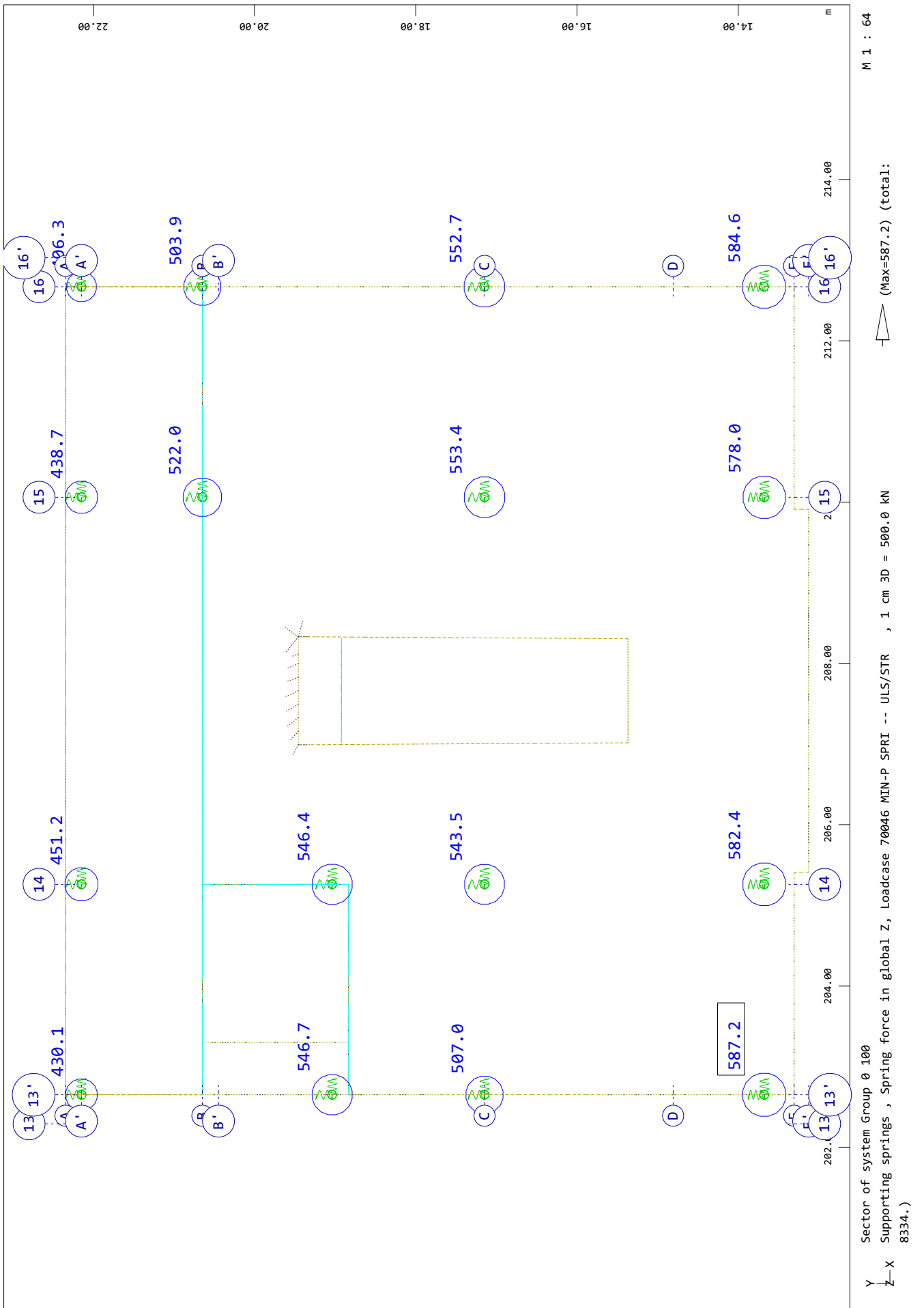
Izpis sil - potres

SOFiSTiK AG - www.sofistik.de



Dilatacija B3

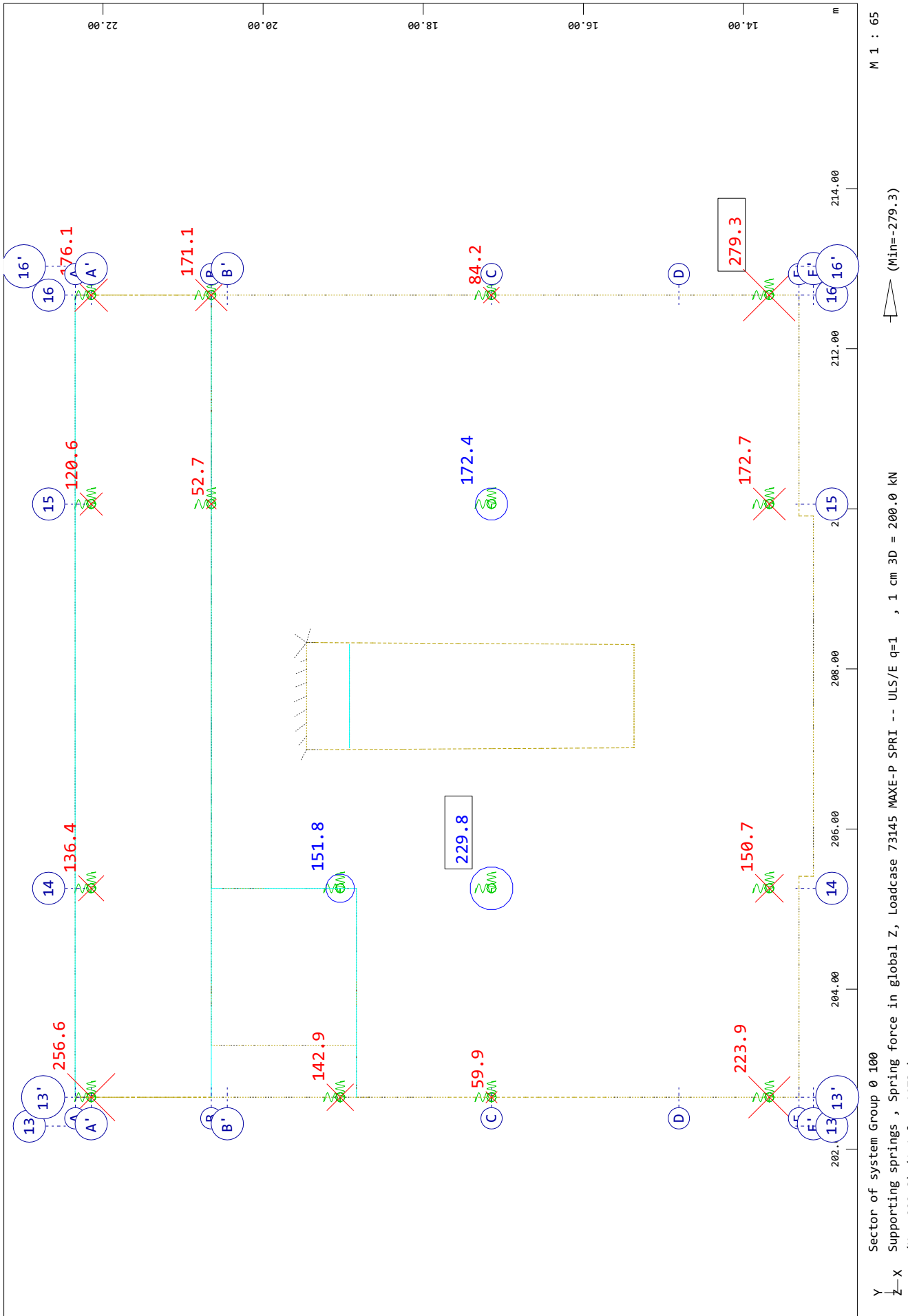
Piloti



Dilatacija B3

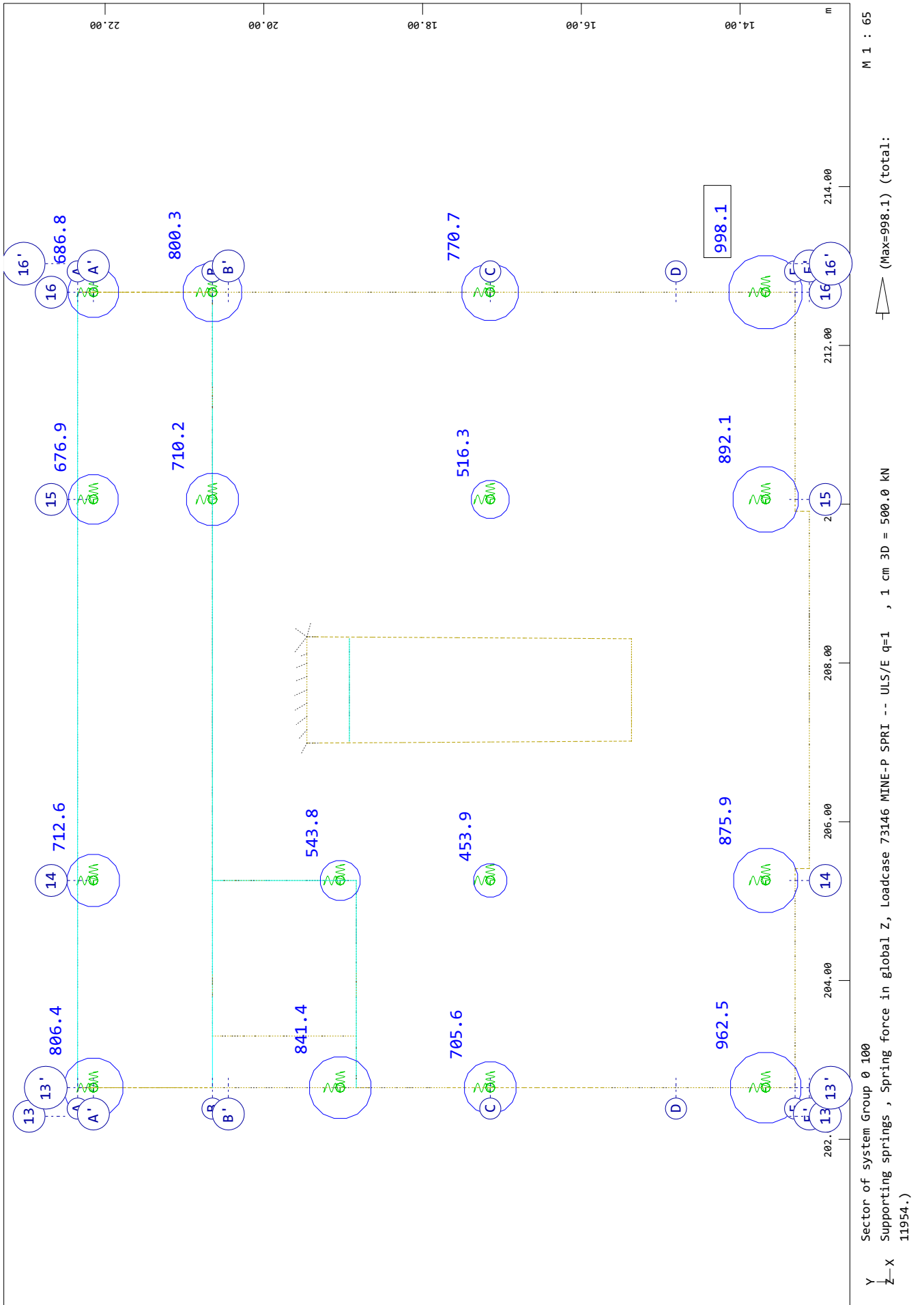
Piloti

SOFiSTiK AG - www.sofistik.de



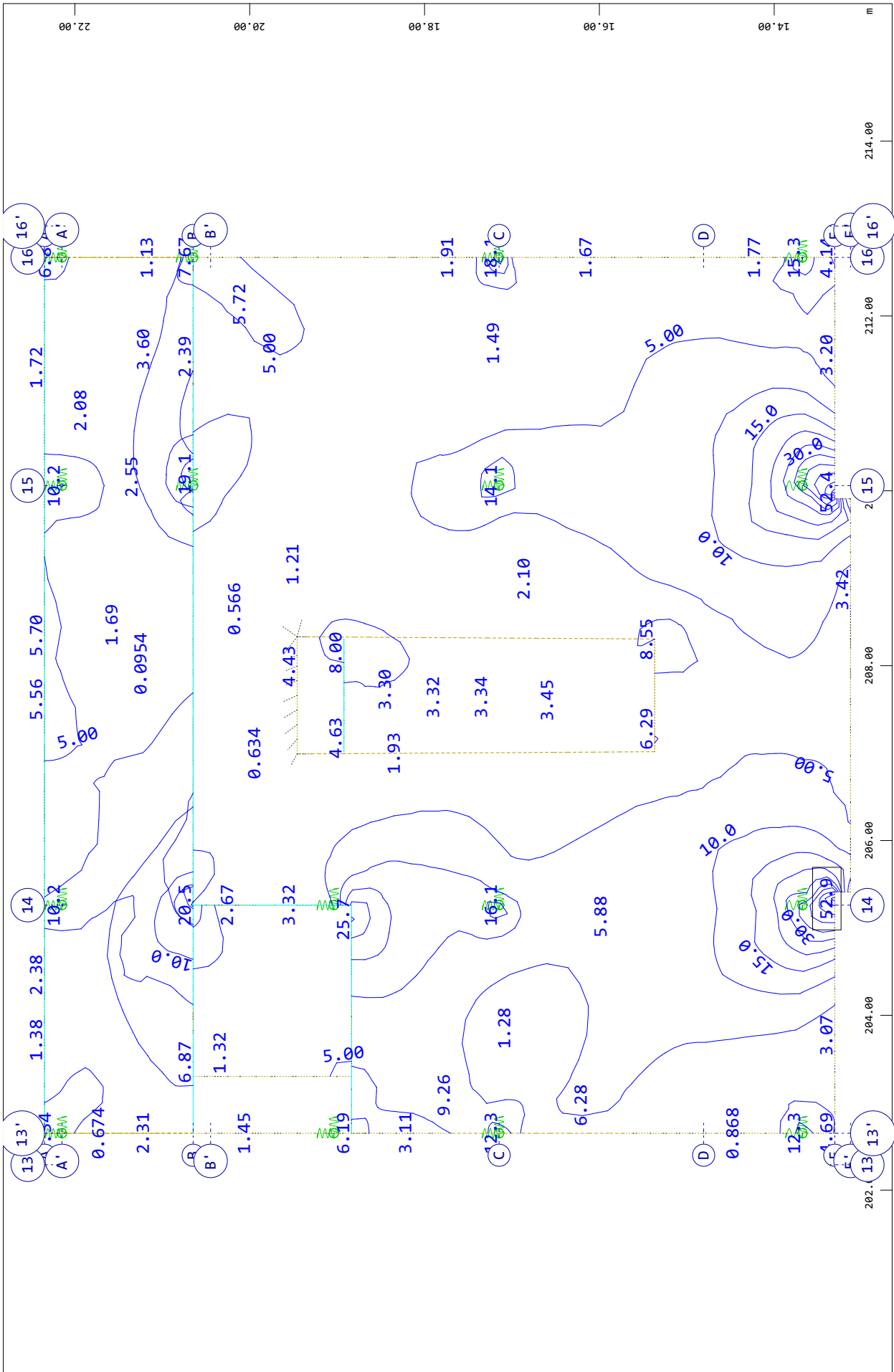
Dilatacija B3

Piloti



Dilatacija B3

Piloti



SOFiSTiK AG - www.sofistik.de

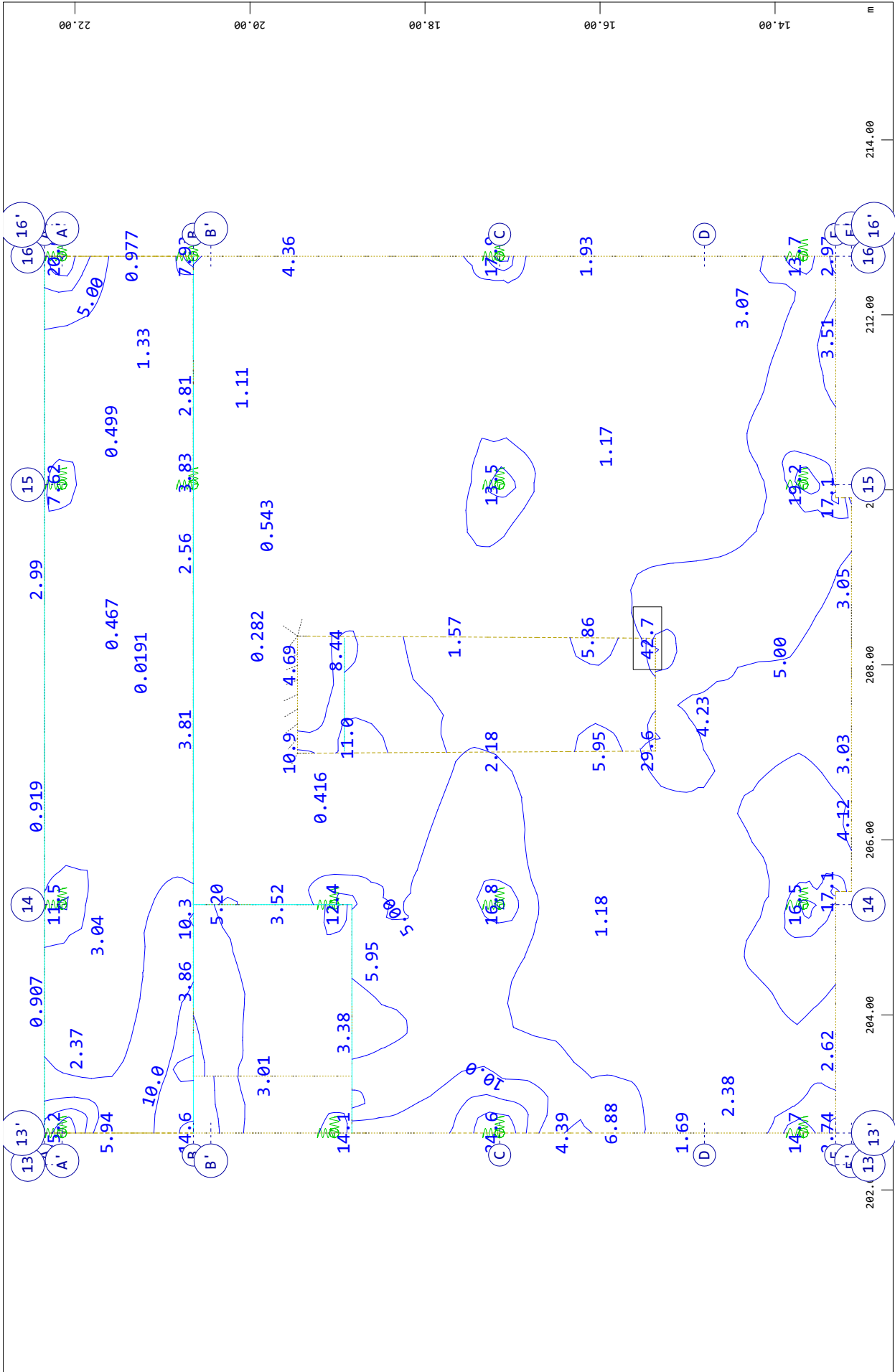
M 1 : 62

↔, Design Case 13 ULS design , from 0.0954 to 52.9 step 5.00 cm2/m

Y Sector of system Group 0 100  
 X Quadrilateral Elements , upper Principal reinforcements (1st layer)

Dilatacija B3

Piloti



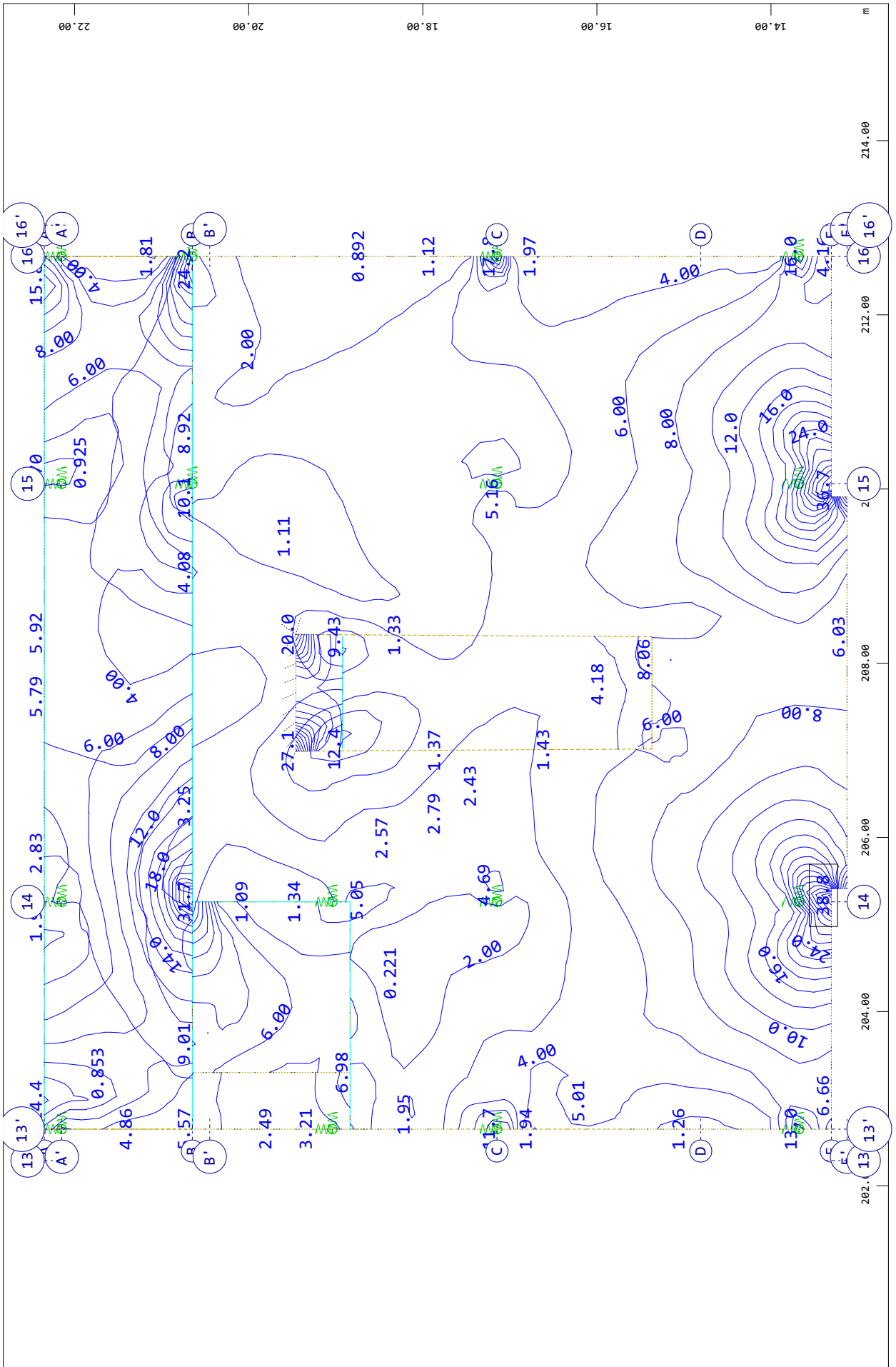
SOFiSTiK AG - www.sofistik.de

M 1 : 62

Y Sector of system Group 0 100  
 X Quadrilateral Elements , upper Cross reinforcements (2nd layer), Design Case 13 ULS design , from 0.0191 to 42.7 step 5.00 cm2/m

Dilatacija B3

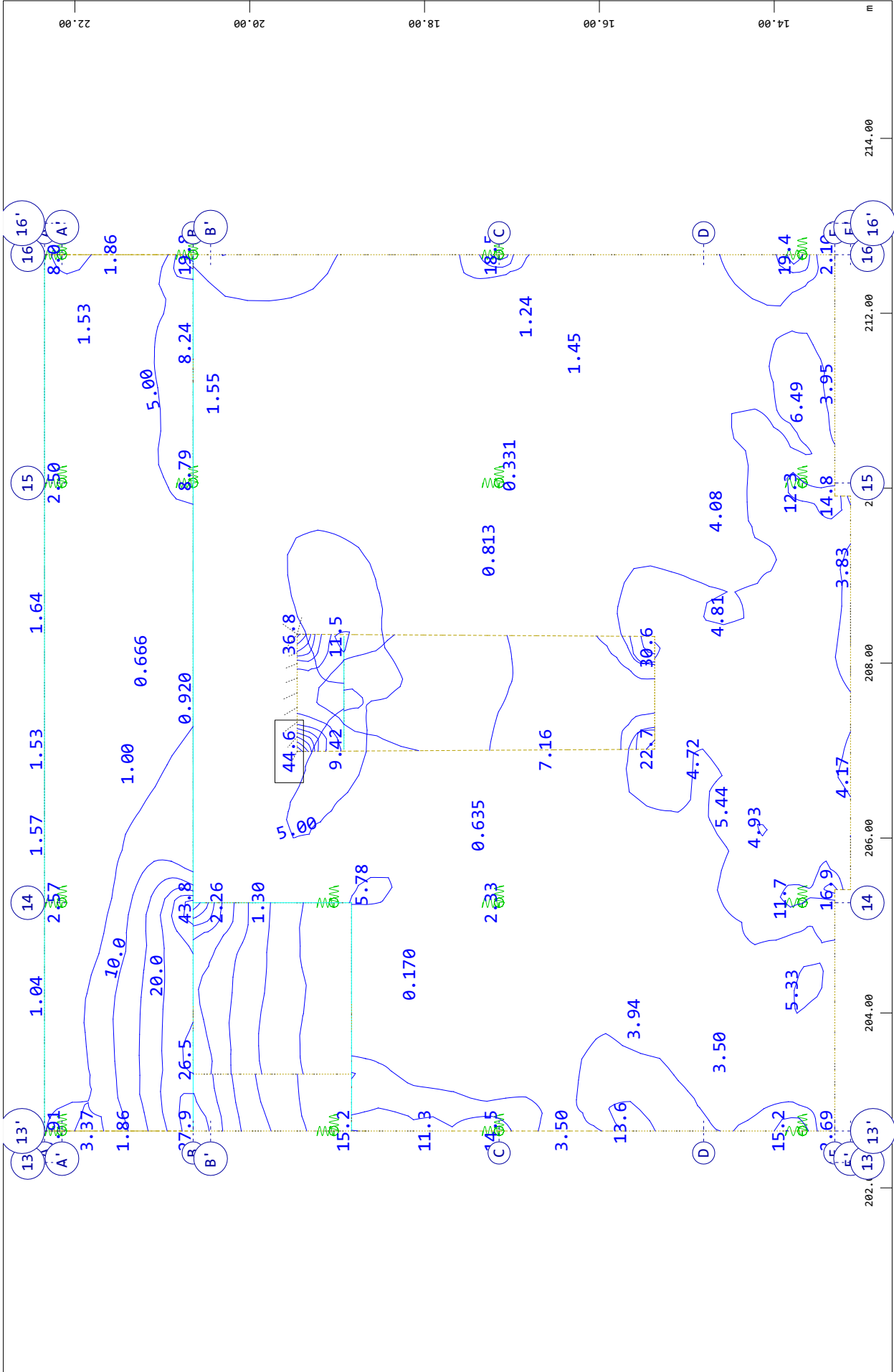
Piloti



Dilatacija B3

Piloti

SOFiSTiK AG - www.sofistik.de



M 1 : 62

Y Sector of system Group 0 100  
 Z-X Quadrilateral Elements , lower Cross reinforcements (2nd layer), Design Case 13 ULS design , from 0.0831 to 44.6 step 5.00 cm2/m

## 9 Objekt B – dilatacija 4

### 9.1 Plošče

Dežna ploča je stanica za beton C/G. Dežna ploča je (3, 5, 10) 3.

6 inih a uođiđna a 3 atŮ a  $A_{s,min}$  je s 3 .

$$A_{s,min} = 0.26 \frac{f_{ctm}}{f_{yk}} b_t d = 0.26 \frac{0.29}{50} 100 \cdot 16 = 2.4 \text{ cm}^2/\text{m} \geq 0.0013 b_t d = 2.1 \text{ cm}^2/\text{m}$$

$f_{ctm}$  H s eŮnja eŮnost osne natezne Ůnosti Ťetona,  $f_{yk}$  H a a te isti natezna Ůnost a 3 atŮ e,  $b_t$  H s eŮnja Ůina natezne one,  $d$  H stati na i Ůna Ů e eza

Najveja stonja a 3 Ůanja Ůa je s 3 .

$$A_{s,max} = 0.04 A_c = 72 \text{ cm}^2/\text{m}$$

$A_c$  H Ůina Ťetons e e eza

6 eŤeŤojna oŮa eŮnost Ůa je s 3 . ejena na  $s_{max} = 3h \leq 400 \text{ mm}$  oŤe oji on eŮ Ůani a oŤeŤ in najveji uođiđni a 3 o3 ento Ůa 2  $s_{max} = h \leq 250 \text{ mm}$ .

tanŮa Ůo3 ejuje Ůo oŮeno Ůino a 2 Ůe na Ťe 3 3 Ů i na i Ůe2no sta i oŤeŤni o3 Ťina iji.

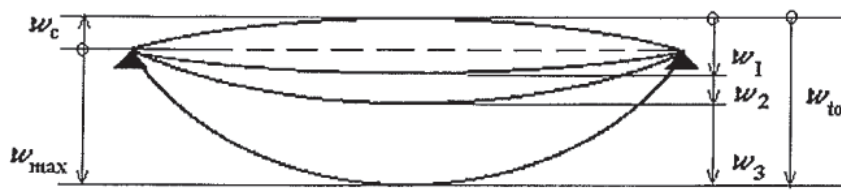
oŤ eŤno a 3 atŮ o iZ a una o 8 Ůe na oŮojni e 3 ejni a stanj nosi Ůosti in uođ aŤnosti. oŤ eŤna a 3 atŮ a Ůe je ŮoŮana na Ůe anju.

B na iona e3 ŮoŮat u stan Ůa Ůa ŮT EN " < # so o3 ejni e ti a i Ůo3 i i ŮonŤ u ije, Ůot je to 2aŮisano Ů e8 Ůni i . Ůa 2 Ůa Ůo3 i i ŮonŤ u ije je na s i ' . Ů a unani Ůo3 i i ŮonŤ u ije  $w_{tot}$  in  $w_2 + w_3$  so Ů i a 2ani na Ůe anju.

Preglednica 25: Omejitve navpiĉnih premikov konstrukcije

Del konstrukcije	$w_{max}$	$w_2 + w_3$
Ťe e	G ##	G D#
Ť oŮi	G D#	G ##
Ť oŮi, Ů i nosijo Ů 4 e oŤe	G ##	G D#

H a 2 Ůon 3 e Ů e3 a ŮoŮo a3 a a ŮoŮojna ŮoŮina Ůonzo,  $w_{max}$  H Ůonni uođiđe 2 uoŮe anje3 na Ůi Ůanja,  $w_2$  H Ůe uođiđe a 2a a ŮoŮoŮ ajne8a Ůe anja sta i oŤeŤe,  $w_3$  H Ůe uođiđe a 2a a Ůi s Ů e3 en i 4 Ůe,  $w_c$  H na Ůi Ůanje neoŤ e3 enjene8a ŮonŤ u ijs e8a e 3 enta,  $w_1$  H 2a etni Ůe uođiđe a 2a a Ůi sta i 4 Ůe,  $w_{tot}$  H e Ůni uođiđe

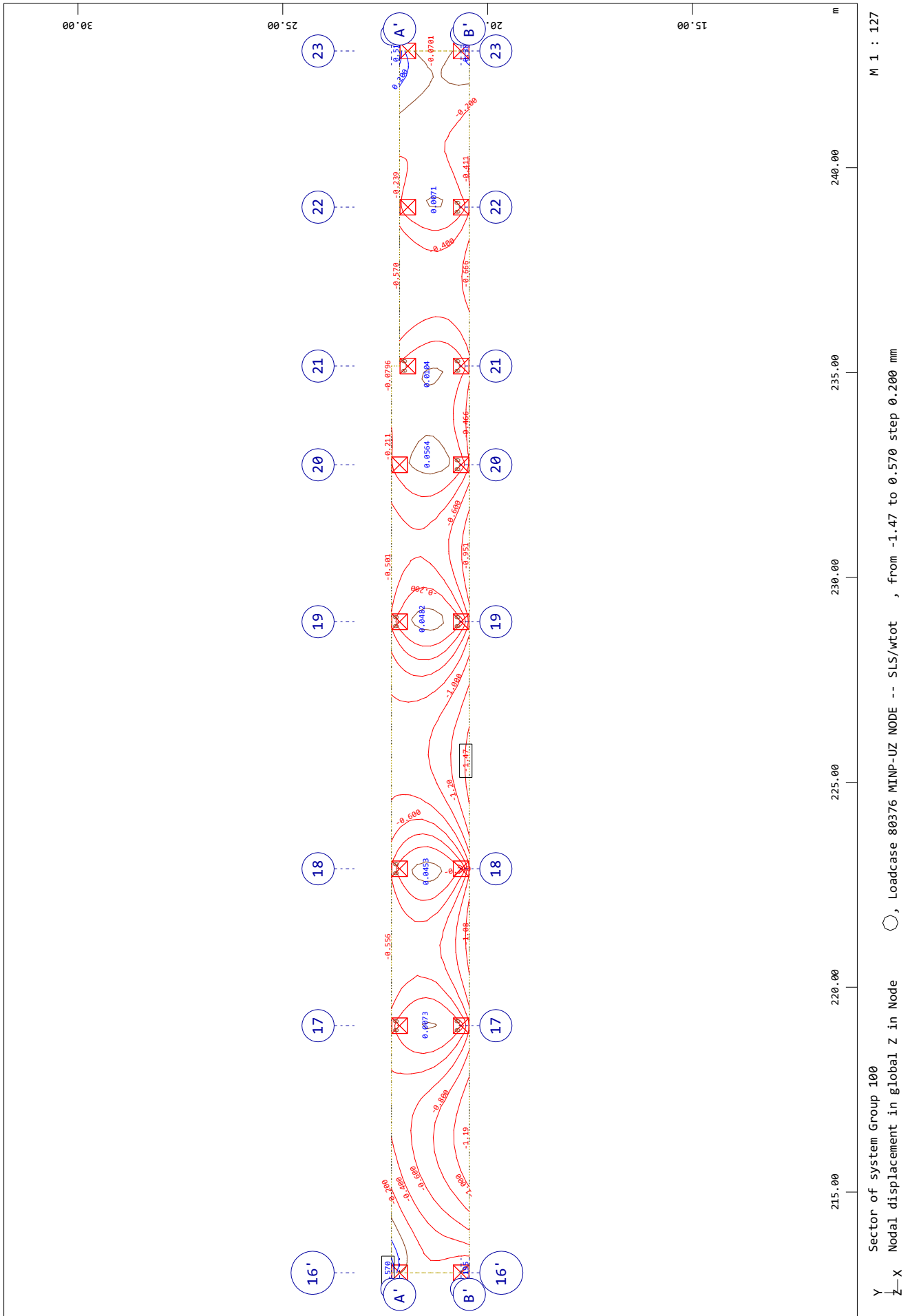


Slika 9: Omejitve pomikov konstrukcije

Dilatacija B4

Plošče

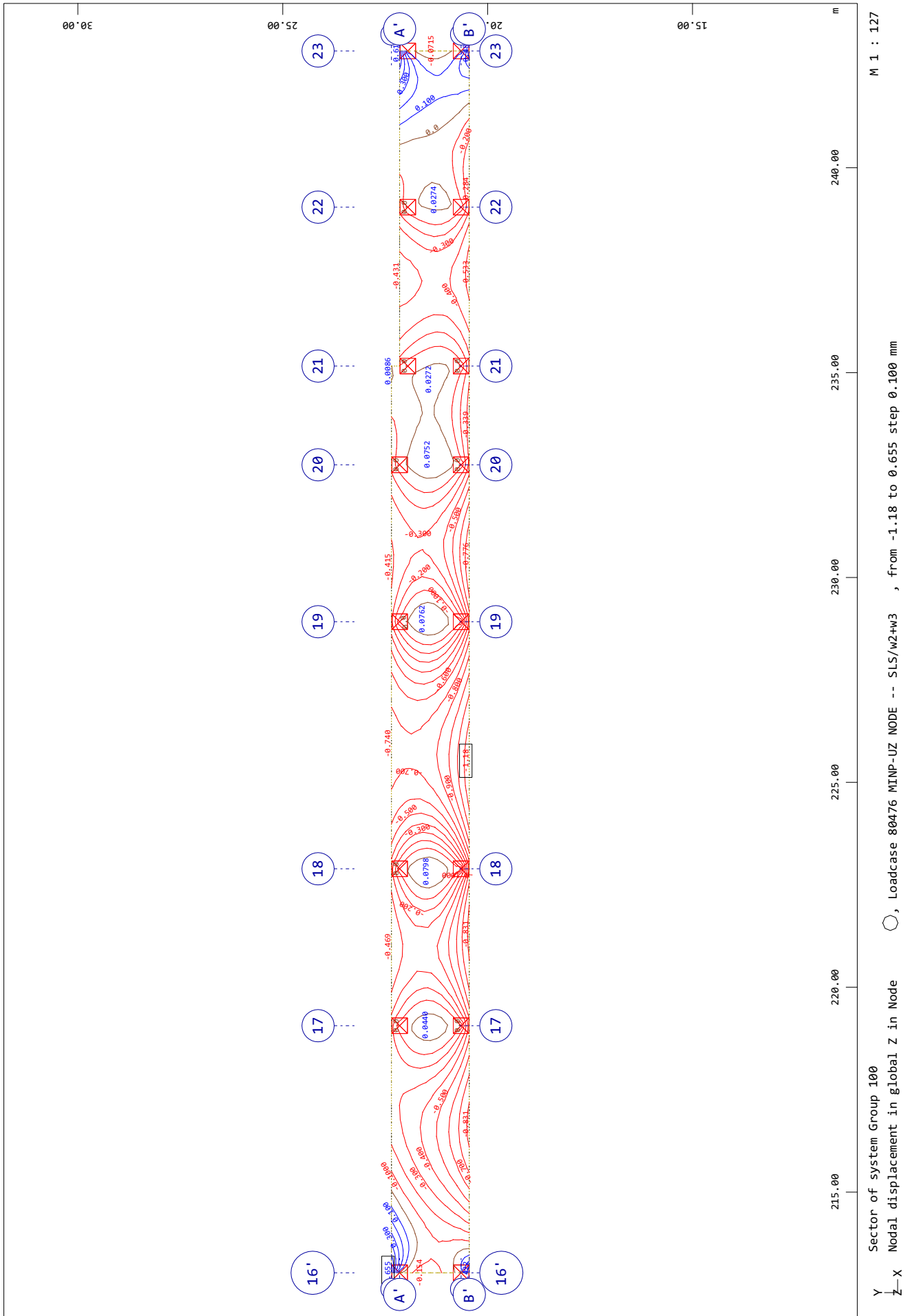
SOFiSTiK AG - www.sofistik.de



Dilatacija B4

Plošče

SOFiSTiK AG - www.sofistik.de



Dilatacija B4

Plošče

SOFiSTiK AG - www.sofistik.de



Dilatacija B4

Plošče

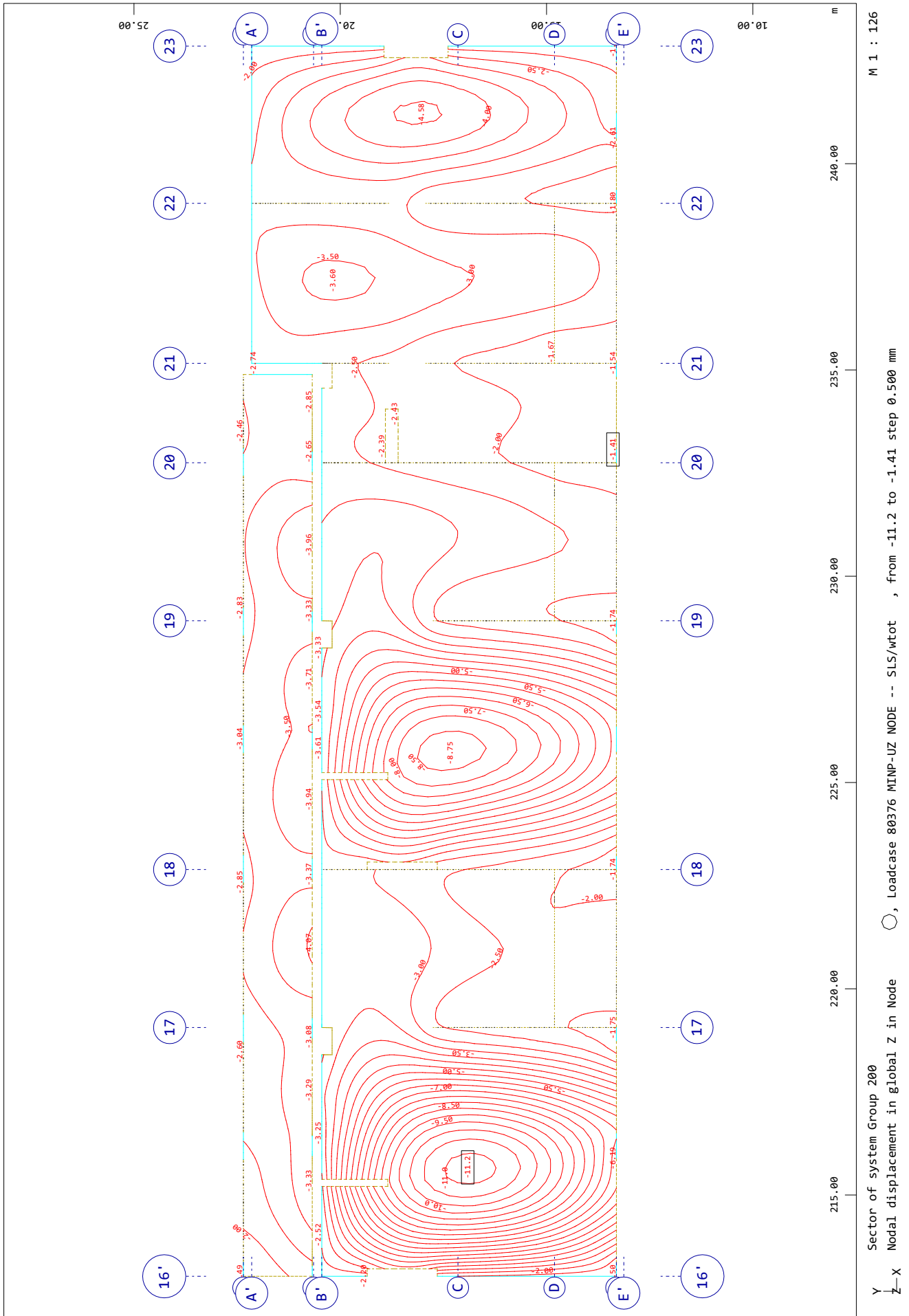


M 1 : 127

Y Sector of system Group 100  
 X Nodal displacement in Global Z in Node ○, Loadcase 80476 MINP-UZ NODE -- SLS/w2+w3, from -5.52 to 0.423 step 0.500 mm

Dilatacija B4

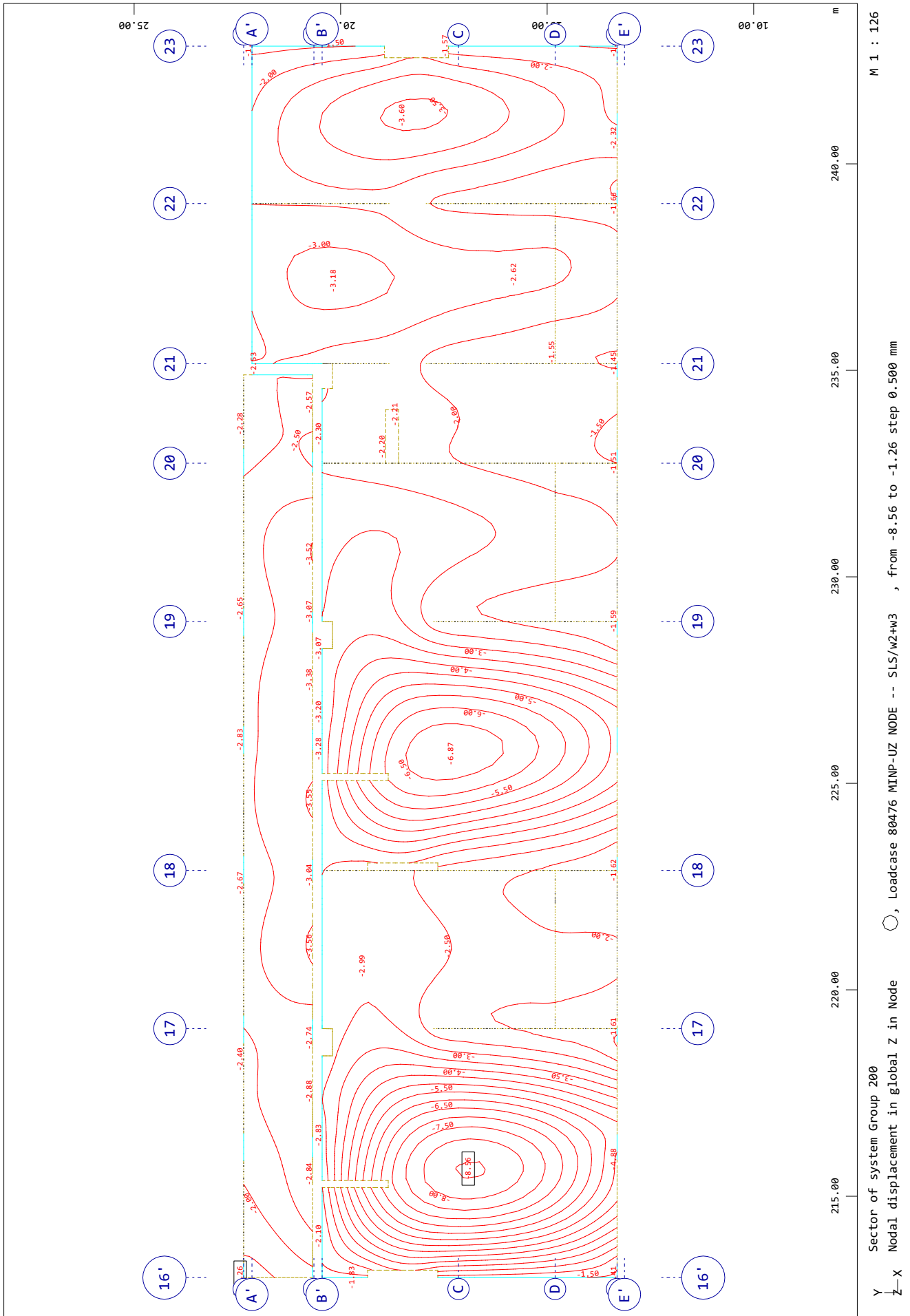
Plošče



Dilatacija B4

Plošče

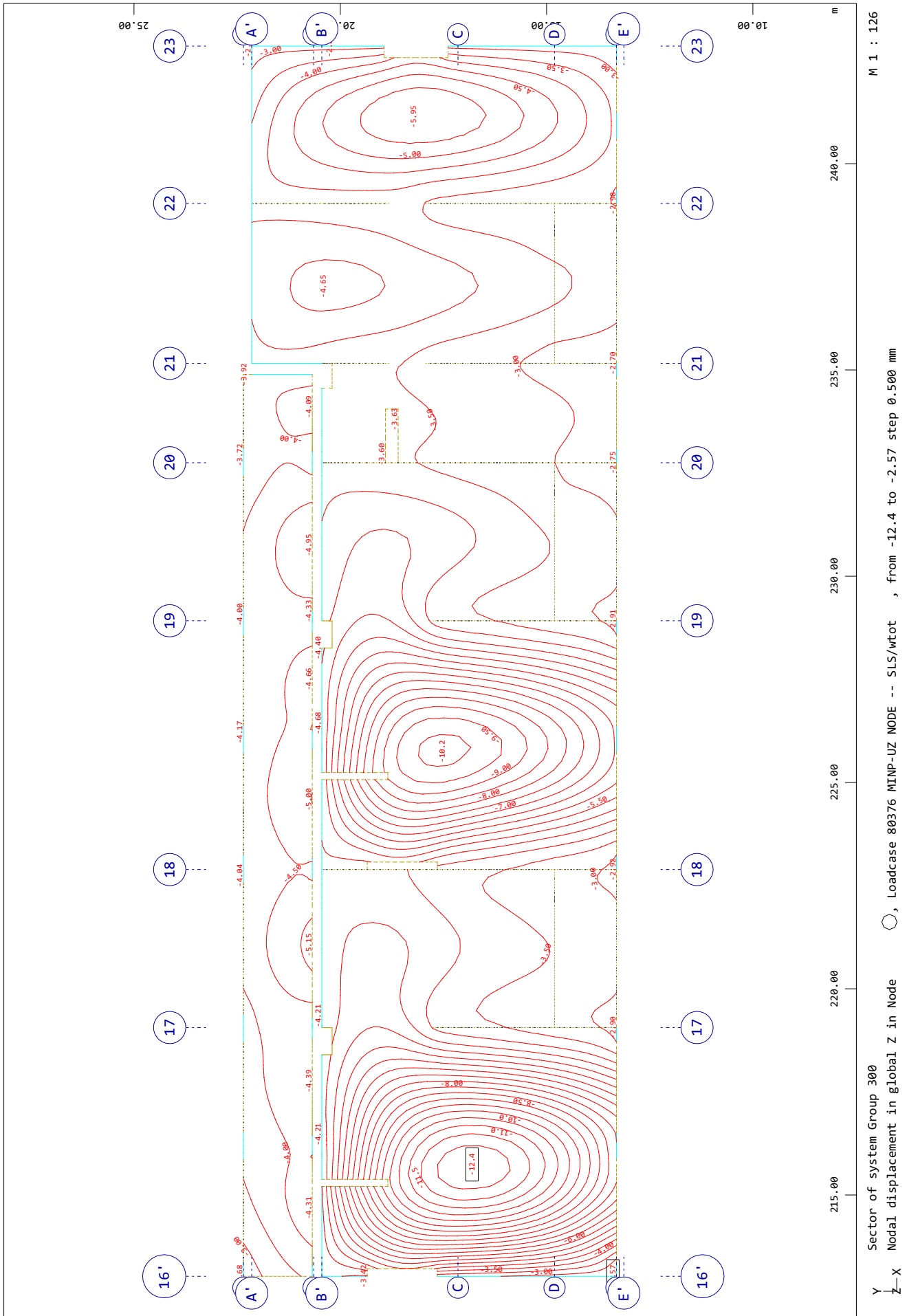
SOFiSTIK AG - www.sofistik.de



Dilatacija B4

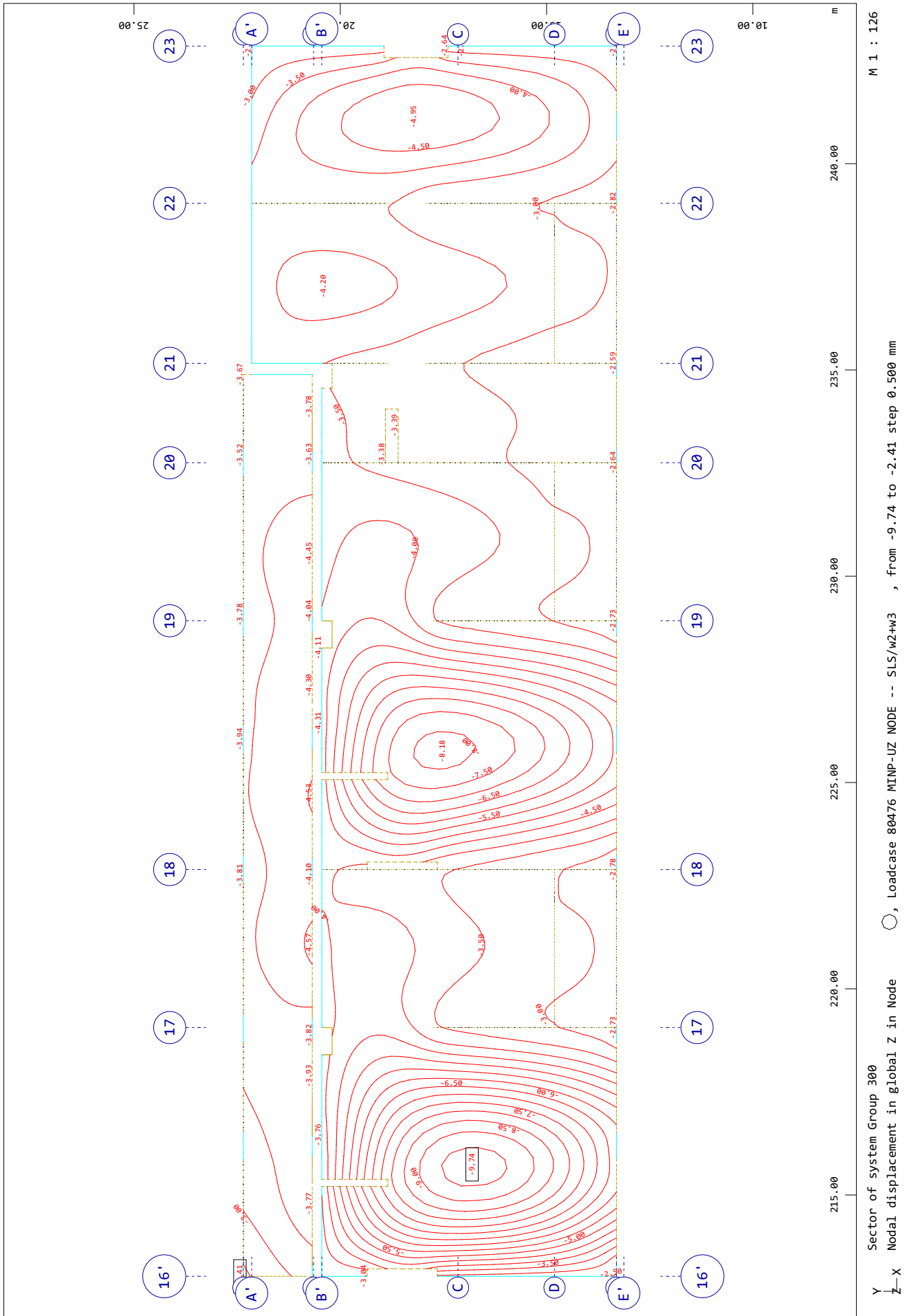
Plošče

SOFiSTiK AG - www.sofistik.de



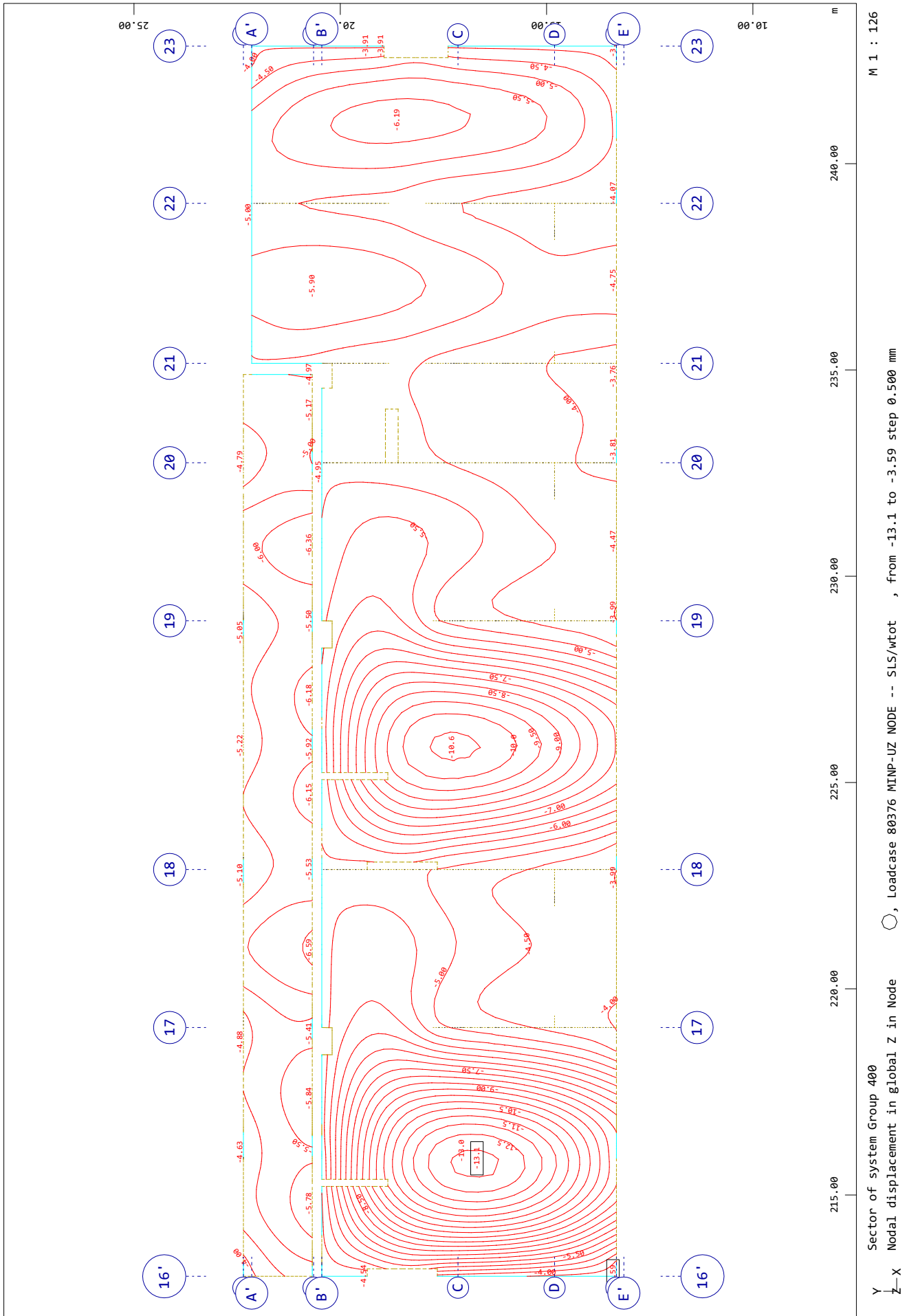
Dilatacija B4

Plošče



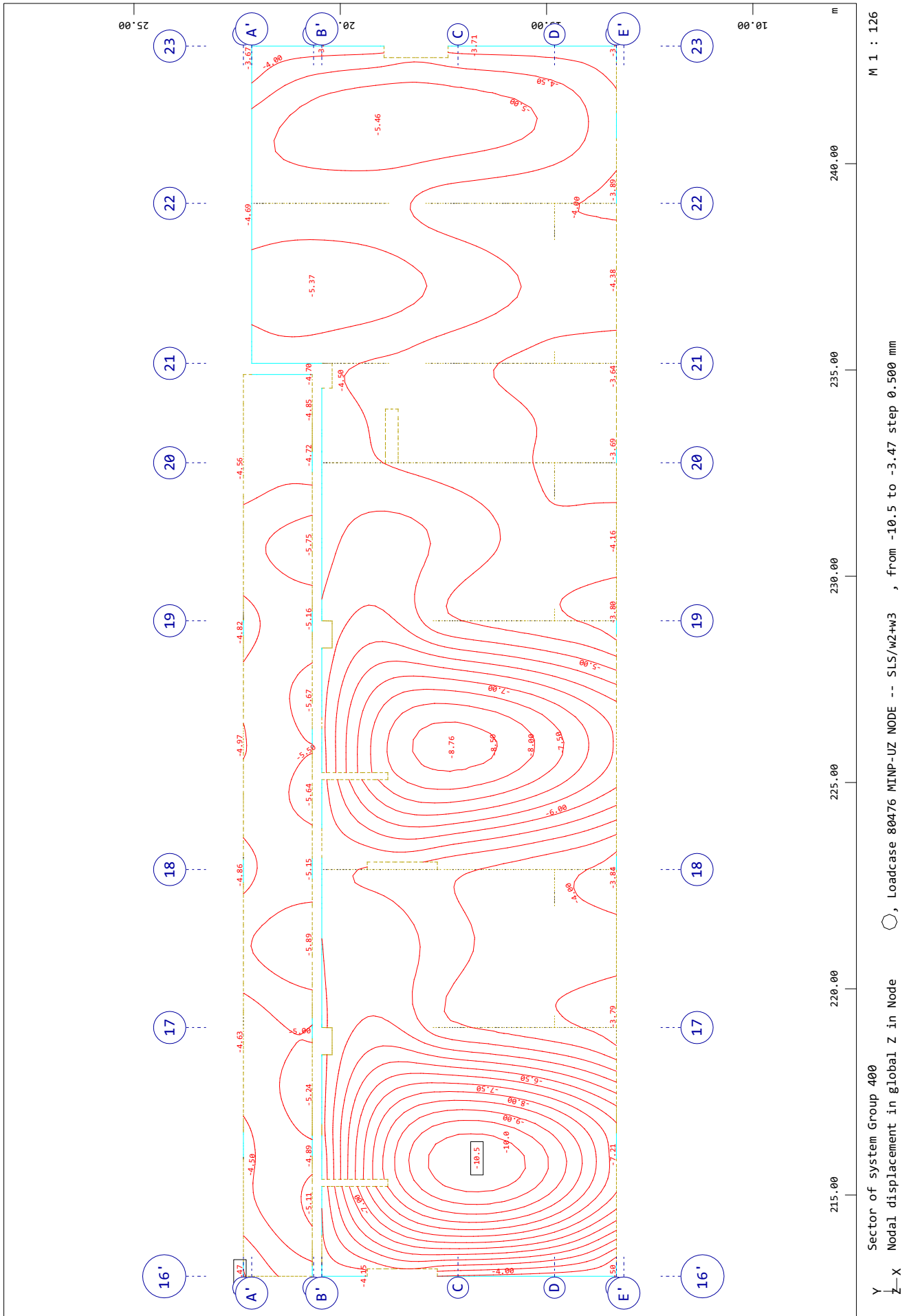
Dilatacija B4

Plošče



Dilatacija B4

Plošče

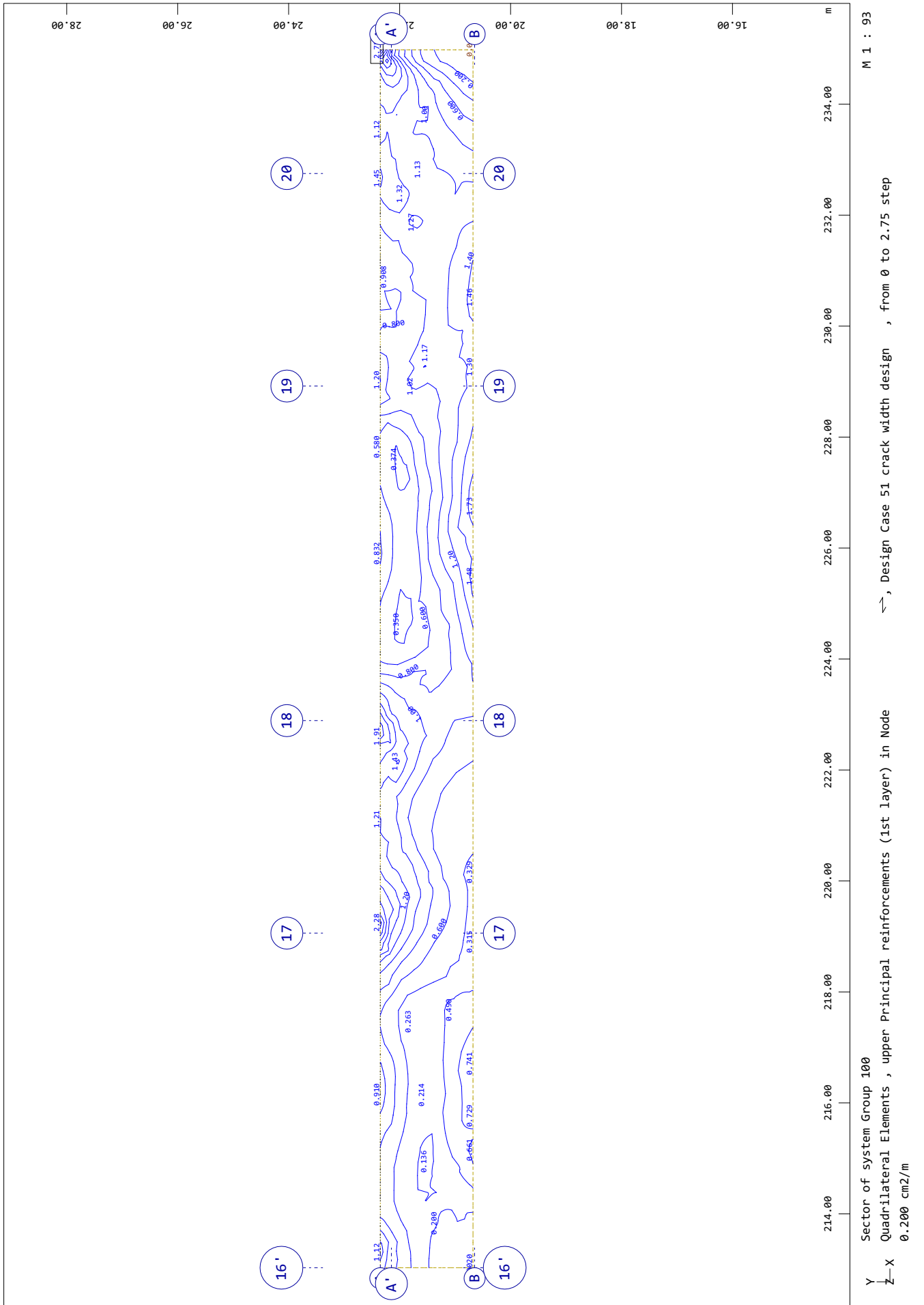


SOFiSTiK AG - www.sofistik.de

Dilatacija B4

Plošče

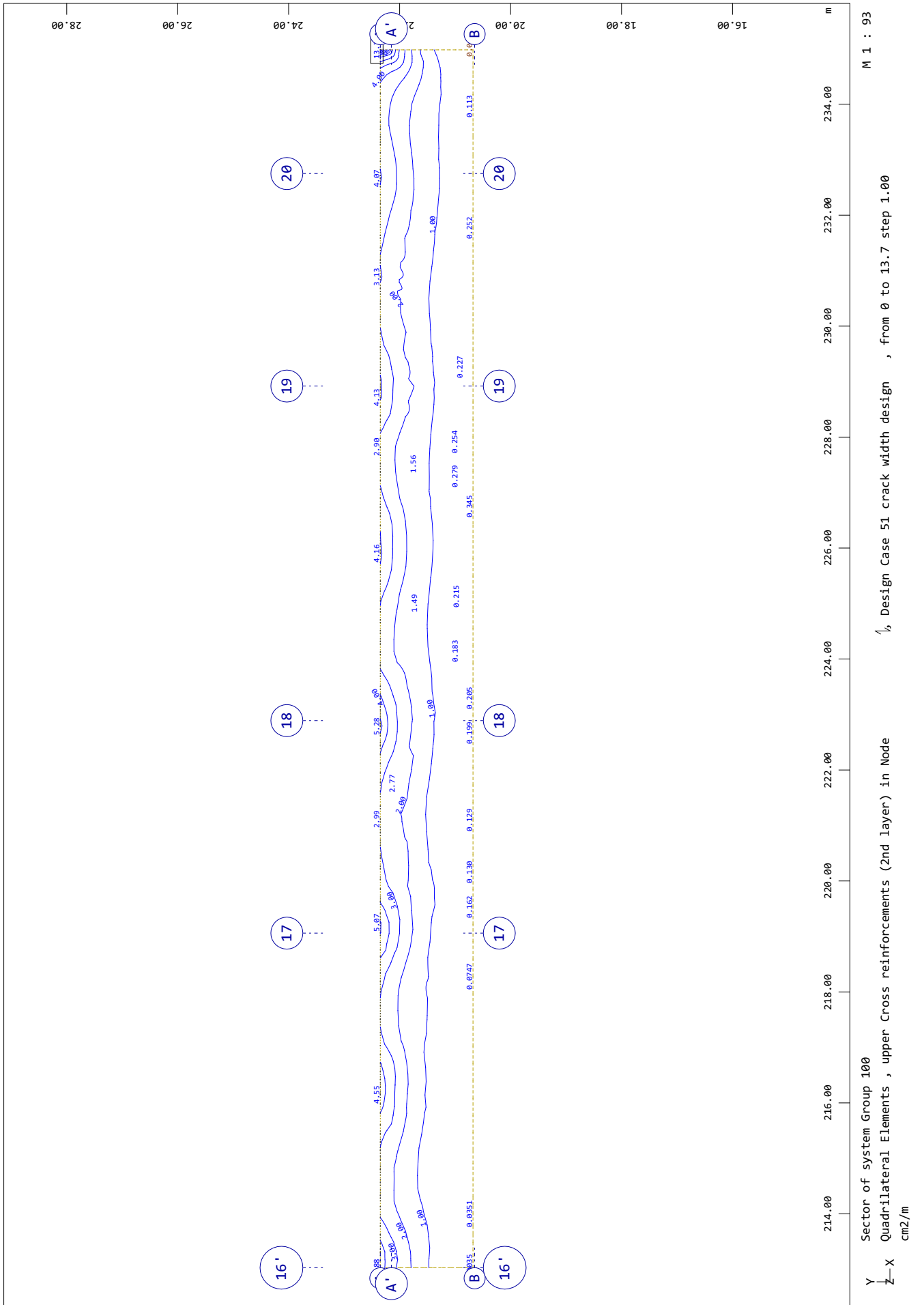
SOFiSTiK AG - www.sofistik.de



Dilatacija B4

Plošče

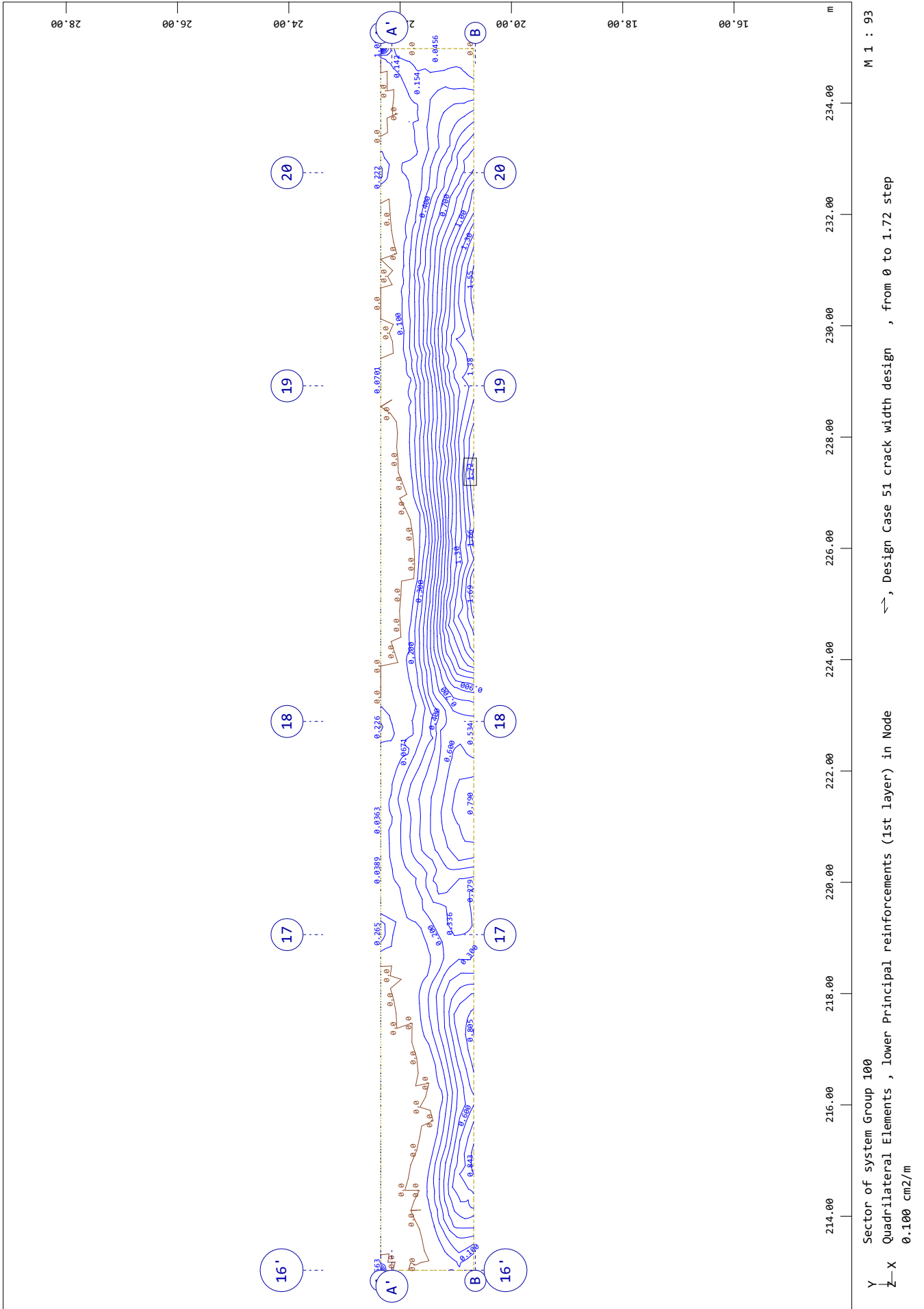
SOFiSTIK AG - www.sofistik.de



Dilatacija B4

Ploščice

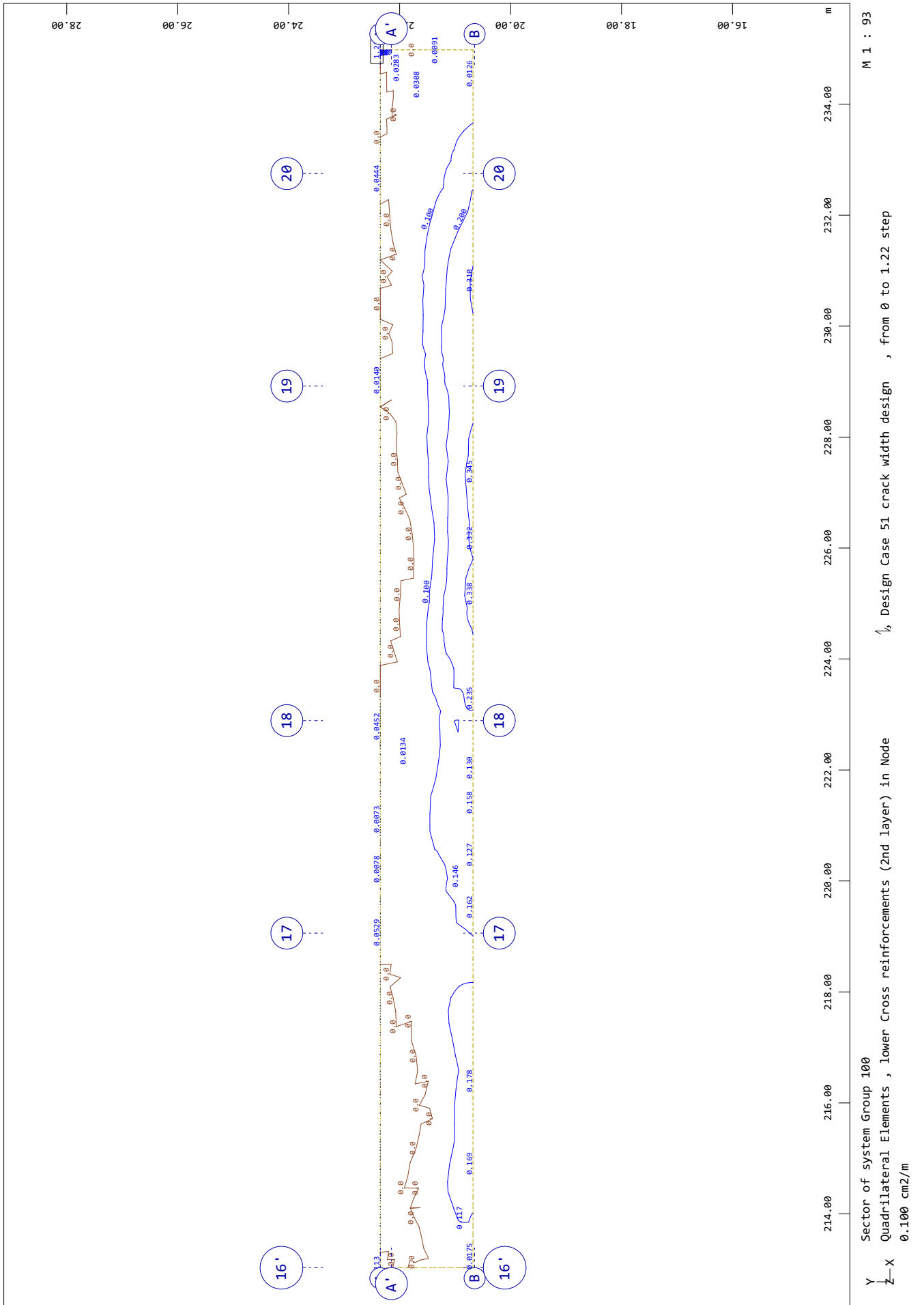
SOFISTIK AG - www.sofistik.de



Dilatacija B4

Plošče

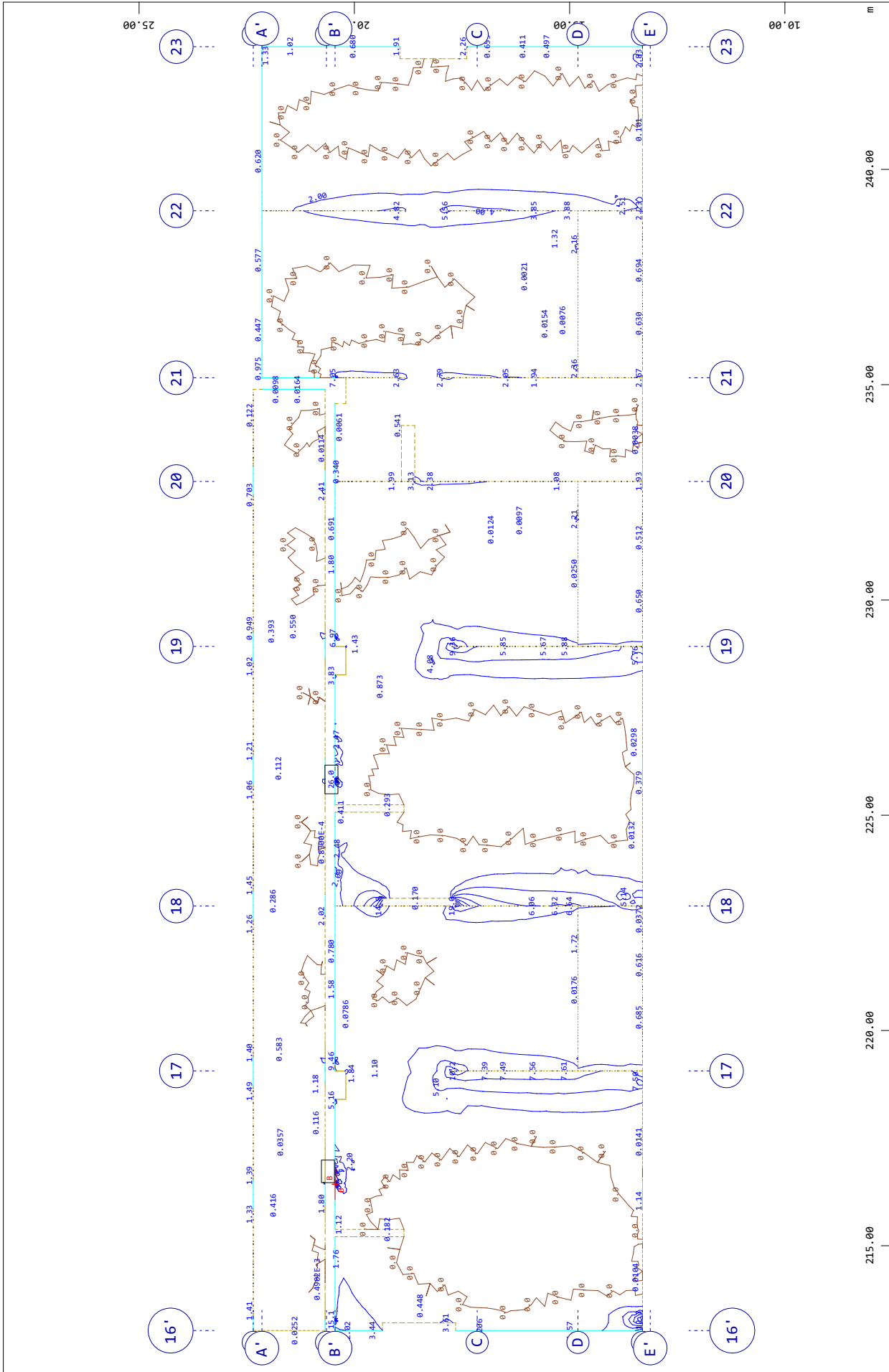
SOFiSTiK AG - www.sofistik.de



Dilatacija B4

Ploščice

SOFiSTiK AG - www.sofistik.de



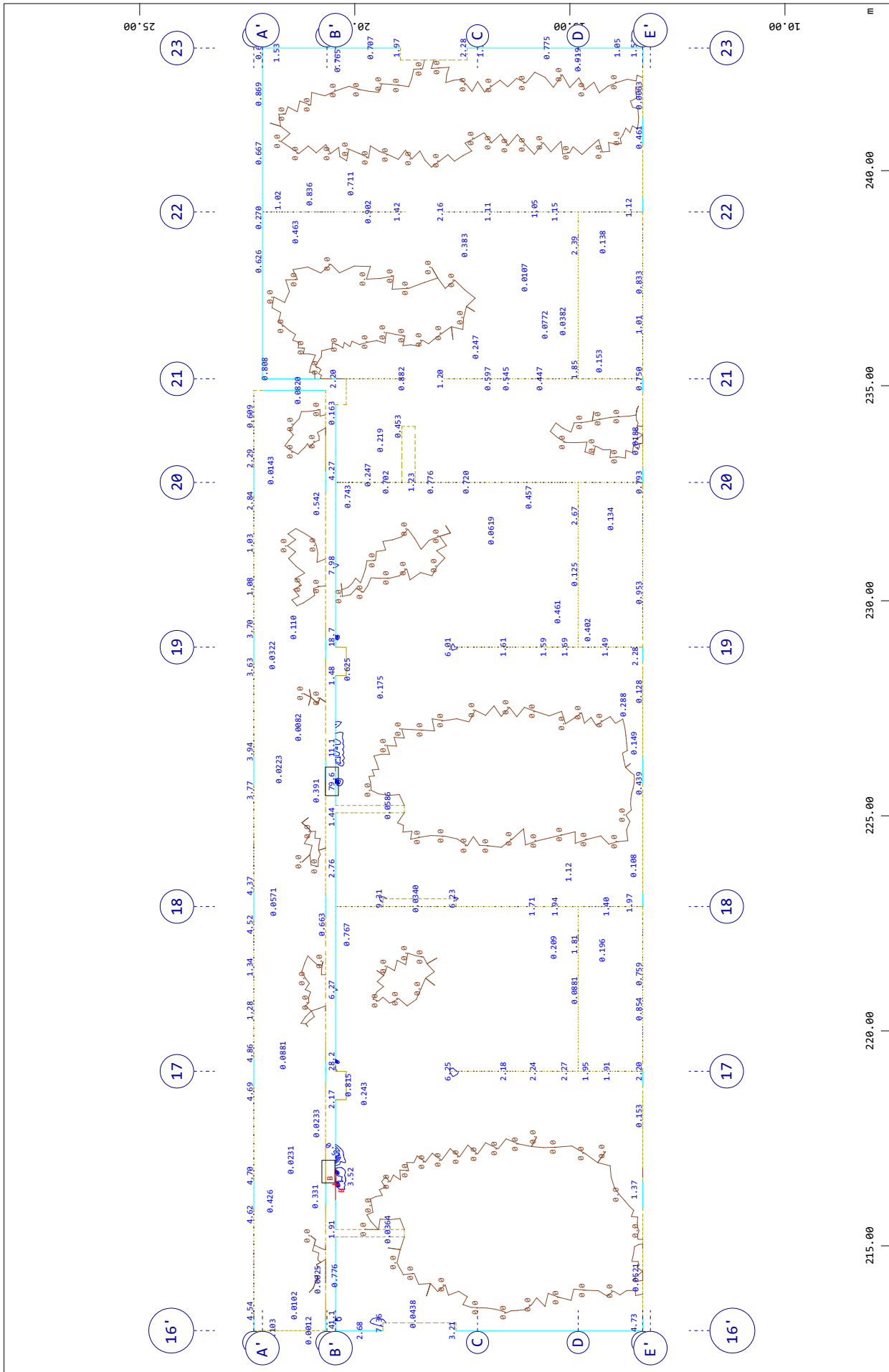
M 1 : 126

↔, Design Case 51 crack width design , in Node(Max=26.0cm2/m),  
 ↳ X  
 ↳ Y Sector of system Group 200  
 ↳ X Quadrilateral Elements , upper Principal reinforcements (1st layer)  
 ↳ Y Design error in the reinforcement (=B) in Node, from 0 to 26.0 step 2.00

Dilatacija B4

Plošče

SOFiSTiK AG - www.sofistik.de



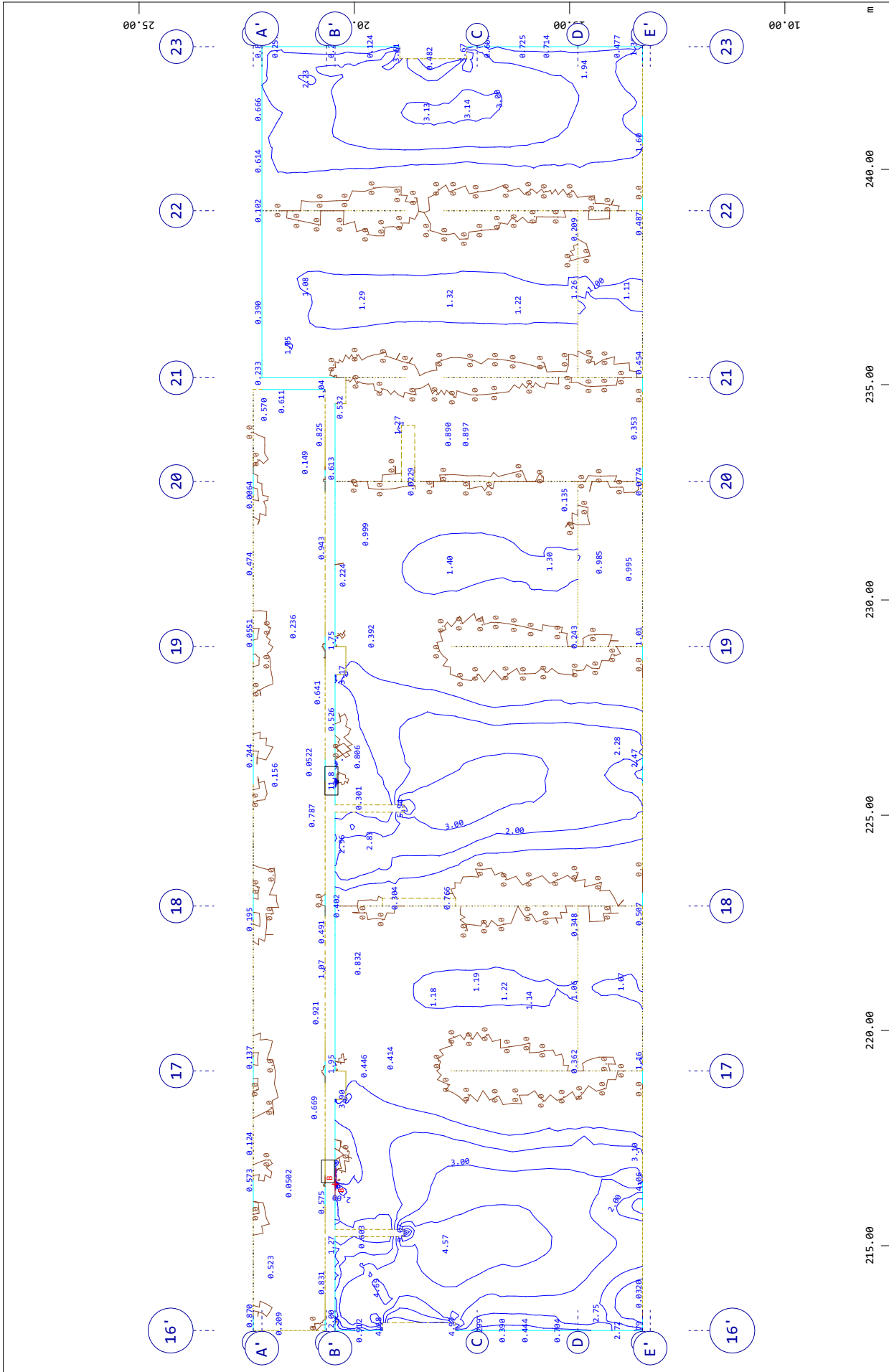
M 1 : 126

Design Case 51 crack width design , in Node(Max=79.6cm<sup>2</sup>/m), Design

Y Sector of system Group 200  
 X Quadrilateral Elements , upper Cross reinforcements (2nd layer)  
 error in the reinforcement (=B) in Node, from 0 to 79.6 step 5.00

Dilatacija B4

Ploščice



SOFiSTiK AG - www.sofistik.de

M 1 : 126

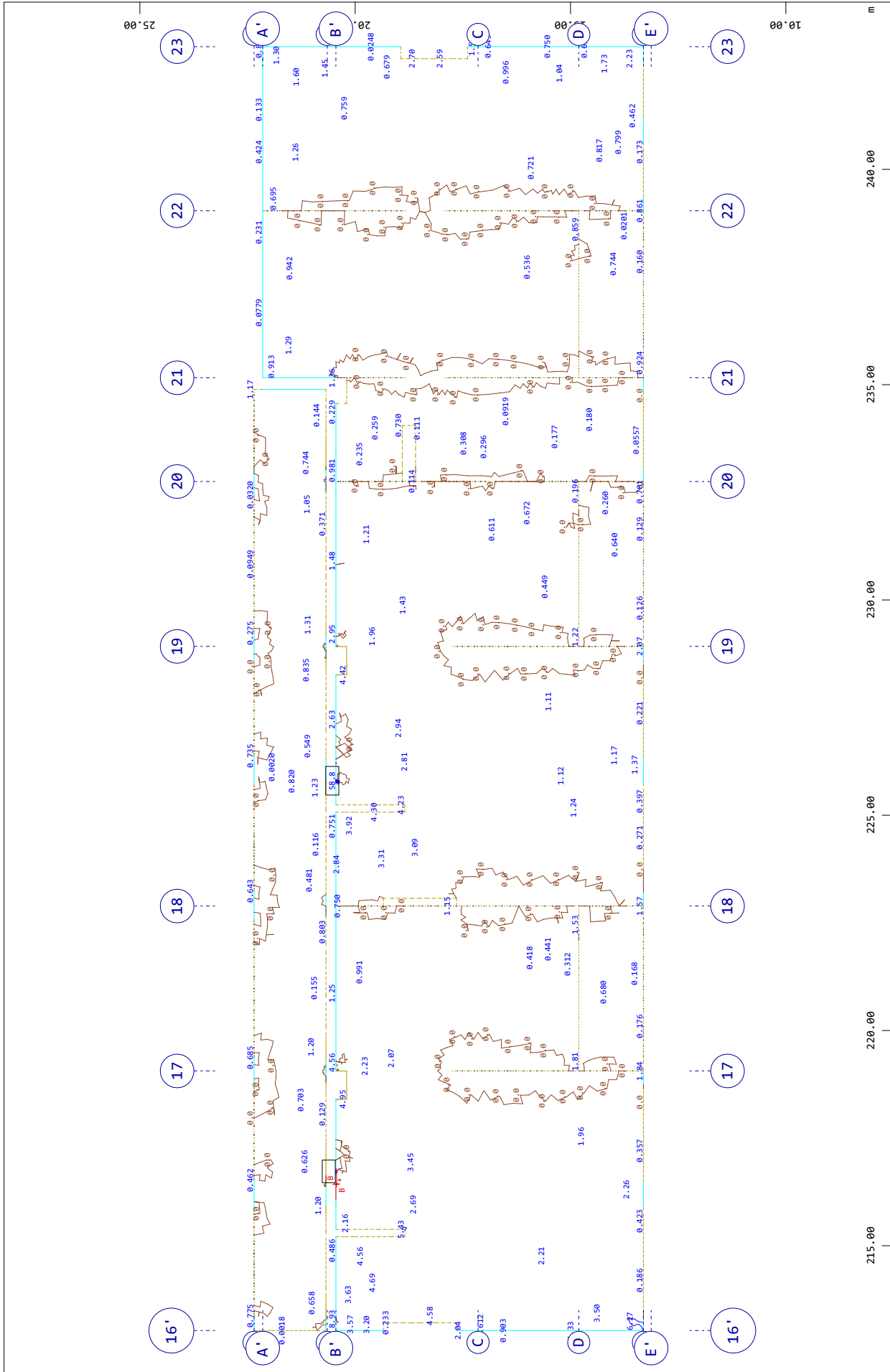
↔, Design Case 51 crack width design , in Node(Max=11.8cm2/m),

Y Sector of system Group 200  
 ↕ X Quadrilateral Elements , lower Principal reinforcements (1st layer)  
 Design error in the reinforcement (=B) in Node, from 0 to 11.8 step 1.00

Dilatacija B4

Plošče

SOFISTIK AG - www.sofistik.de



M 1 : 126

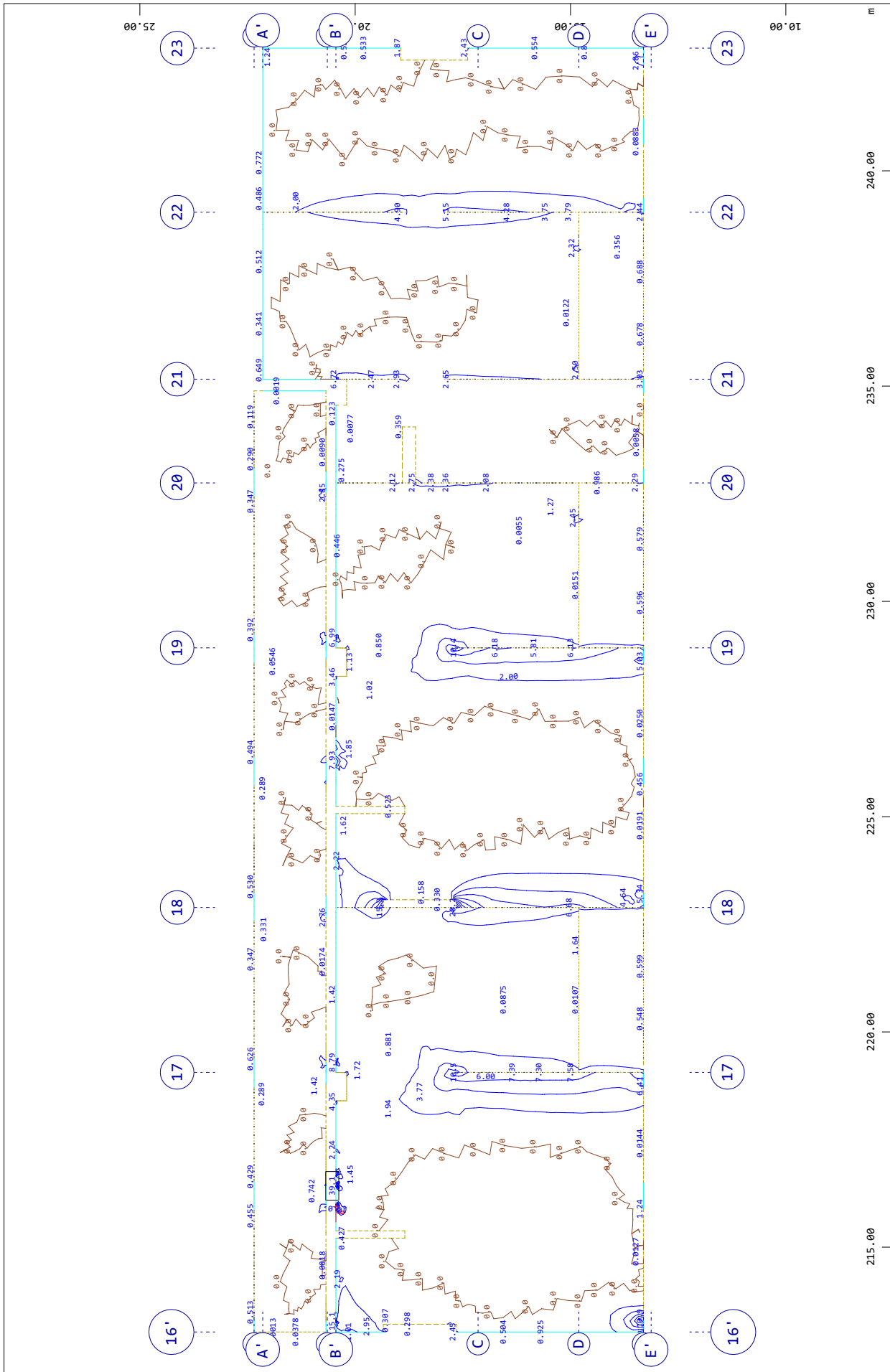
Design Case 51 crack width design , in Node(Max=58.8cm<sup>2</sup>/m), Design

Y Sector of system Group 200  
Z-X Quadrilateral Elements , lower Cross reinforcements (2nd layer)  
error in the reinforcement (=B) in Node, from 0 to 58.8 step 5.00

Dilatacija B4

Ploščice

SOFiSTiK AG - www.sofistik.de



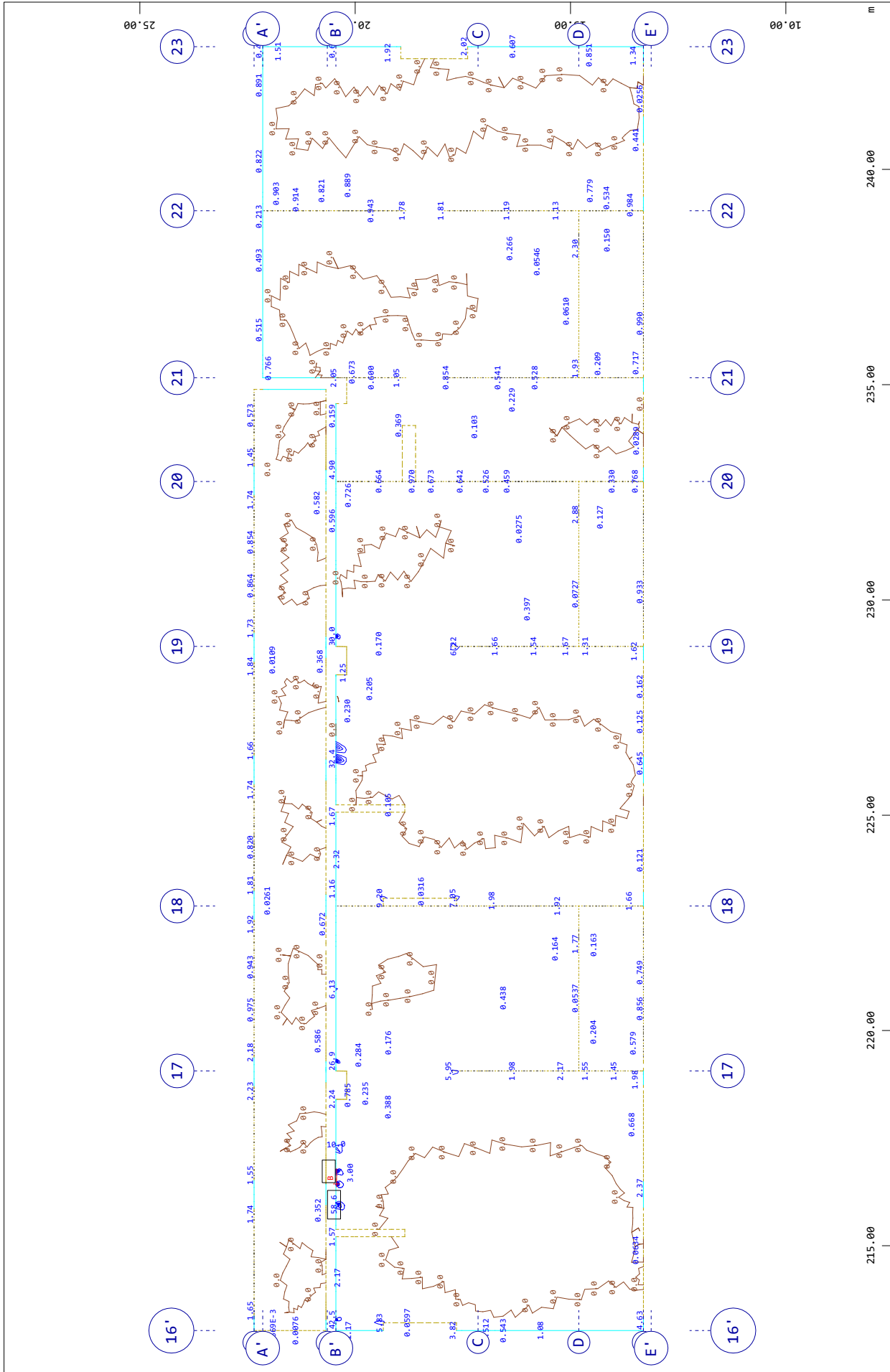
M 1 : 126

↔, Design Case 51 crack width design , in Node(Max=39.1cm2/m),

Y Sector of system Group 300  
 ↕ X Quadrilateral Elements , upper Principal reinforcements (1st layer)  
 Design error in the reinforcement (=B) in Node, from 0 to 39.1 step 2.00

Dilatacija B4

Ploščice



SOFiSTiK AG - www.sofistik.de

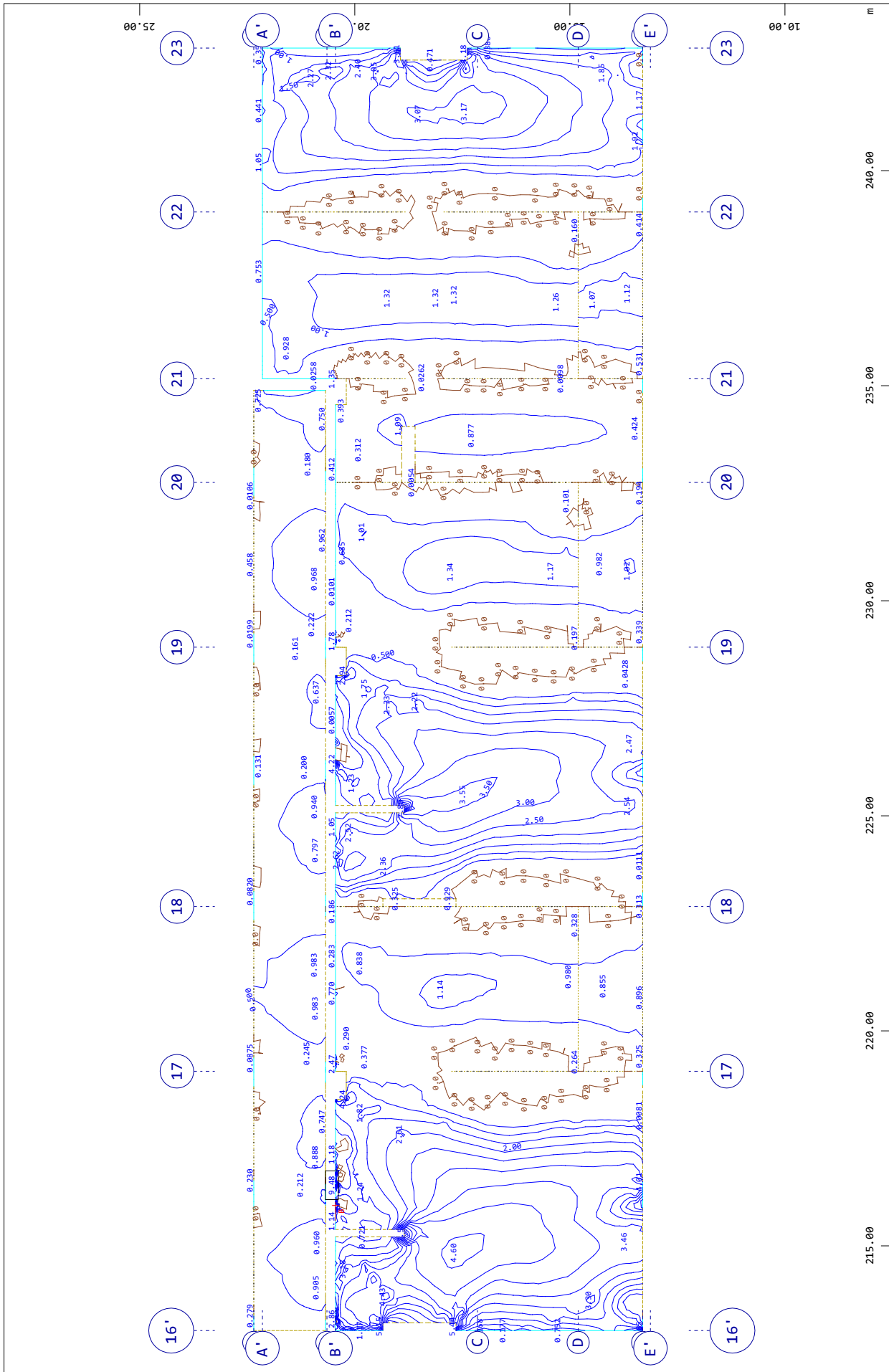
M 1 : 126

1, Design Case 51 crack width design , in Node(Max=58.6cm2/m), Design

Y Sector of system Group 300  
 Z-X Quadrilateral Elements , upper Cross reinforcements (2nd layer)  
 error in the reinforcement (=B) in Node, from 0 to 58.6 step 5.00

Dilatacija B4

Plošče



SOFiSTiK AG - www.sofistik.de

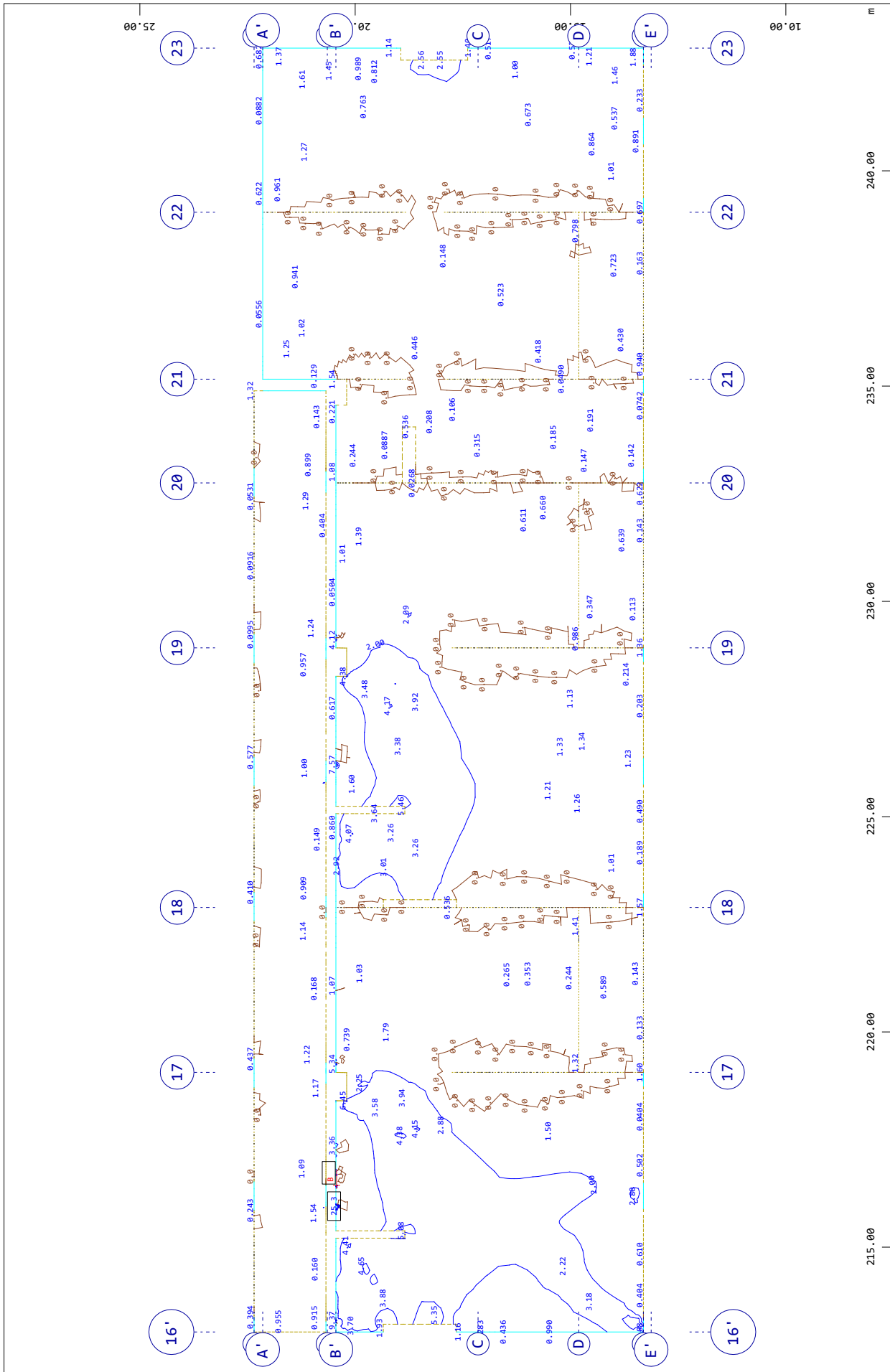
M 1 : 126

↔, Design Case 51 crack width design , in Node(Max=9.48cm/m),

Y Sector of system Group 300  
 ↕-x Quadrilateral Elements , lower Principal reinforcements (1st layer)  
 Design error in the reinforcement (=B) in Node, from 0 to 9.48 step 0.500

Dilatacija B4

Plošče



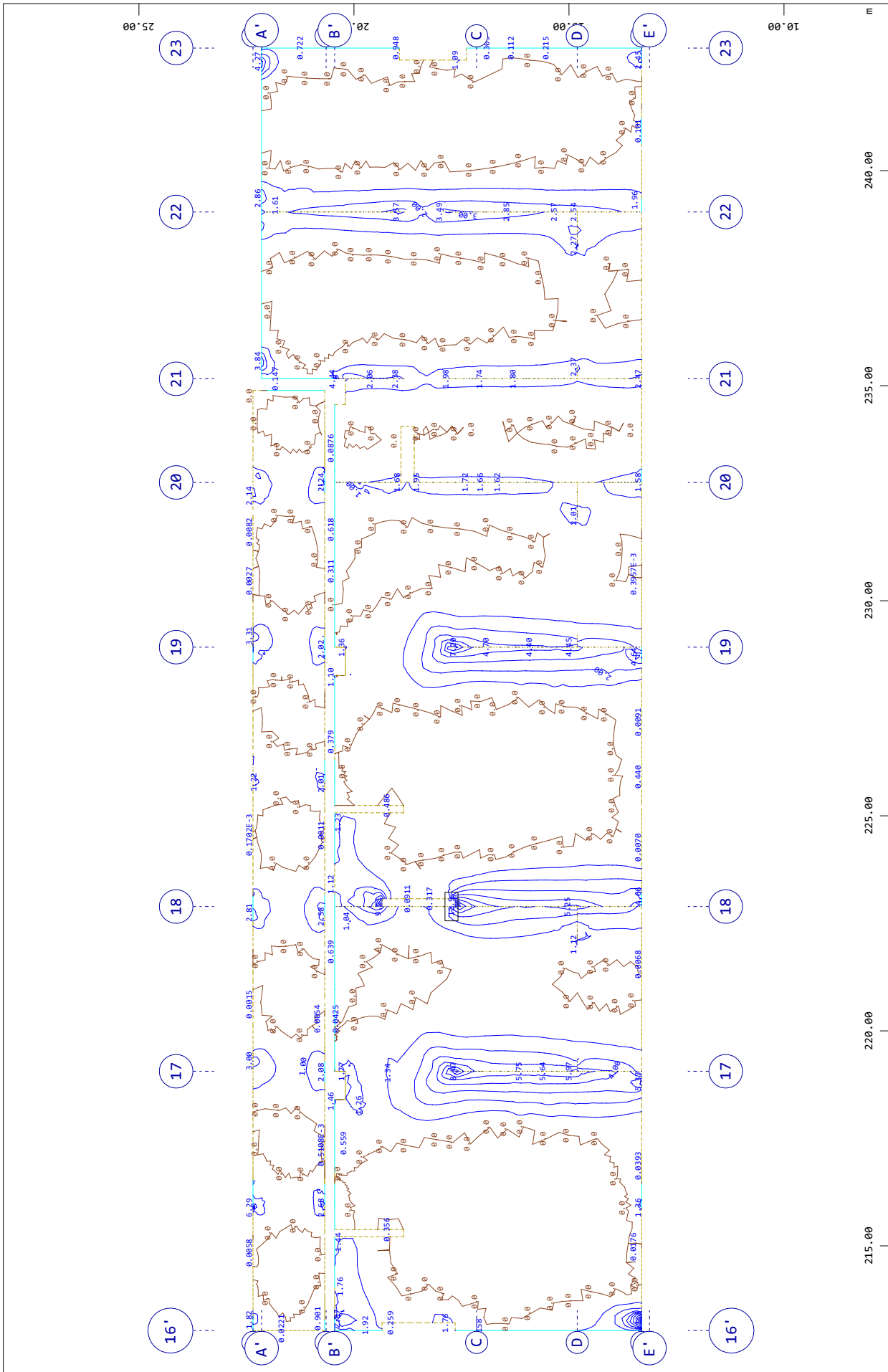
M 1 : 126

1, Design Case 51 crack width design , in Node(Max=25.3cm2/m), Design

Y Sector of system Group 300  
 Z-X Quadrilateral Elements , lower Cross reinforcements (2nd layer)  
 error in the reinforcement (=B) in Node, from 0 to 25.3 step 2.00

Dilatacija B4

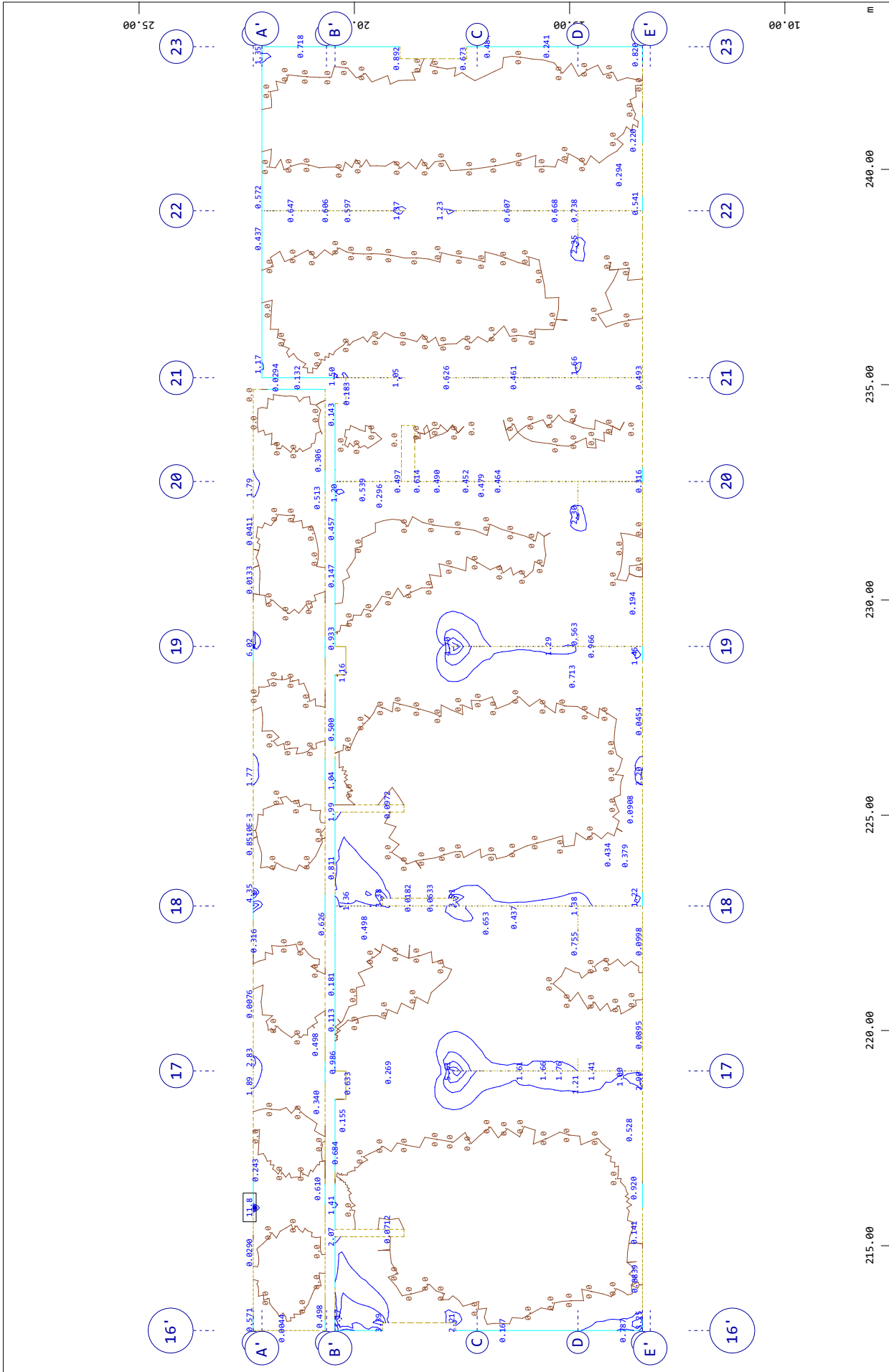
Ploščice



SOFiSTiK AG - www.sofistik.de

Dilatacija B4

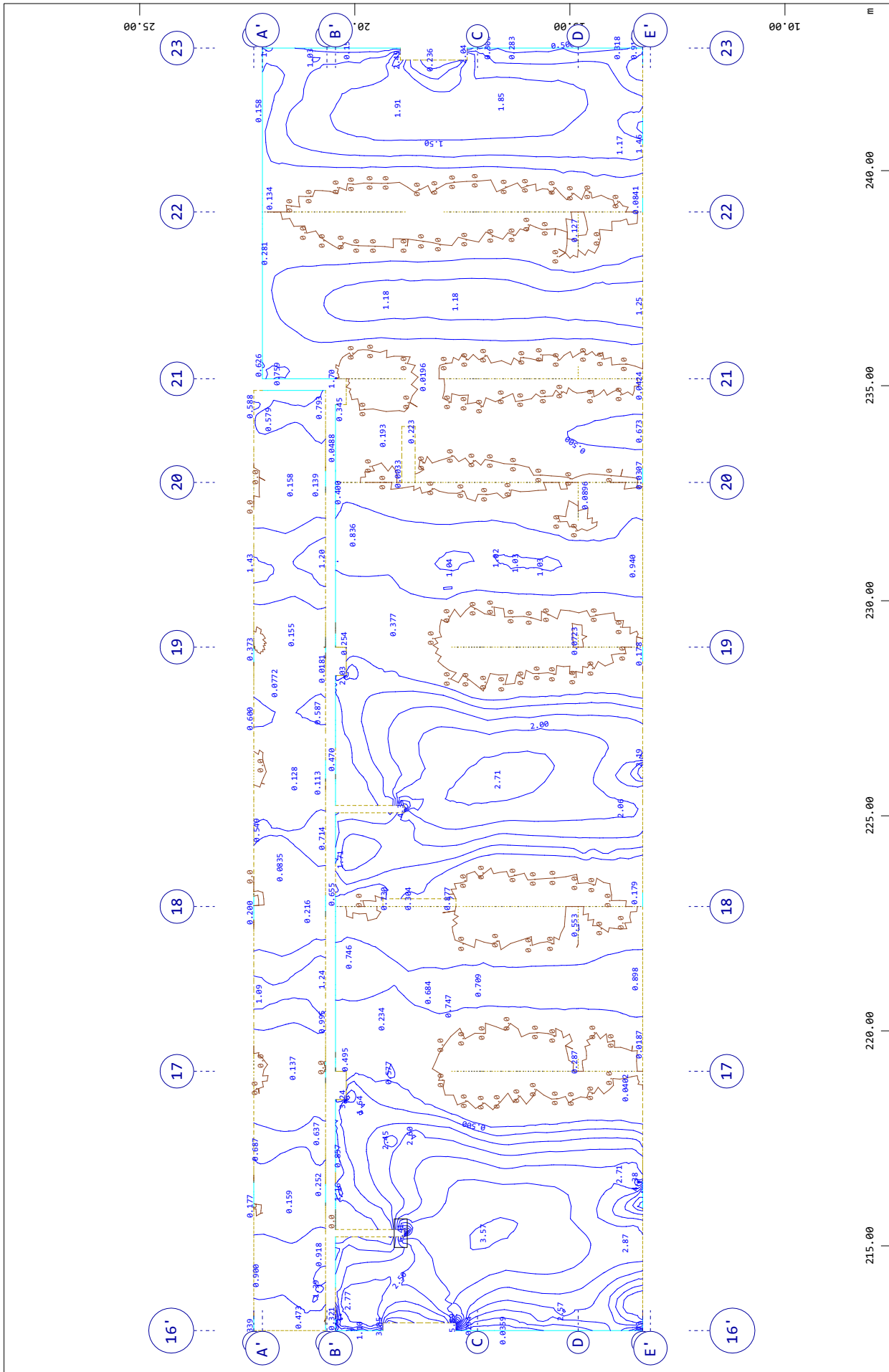
Ploščice



SOFiSTiK AG - www.sofistik.de

Dilatacija B4

Ploščice



SOFiSTIK AG - www.sofistik.de

M 1 : 126

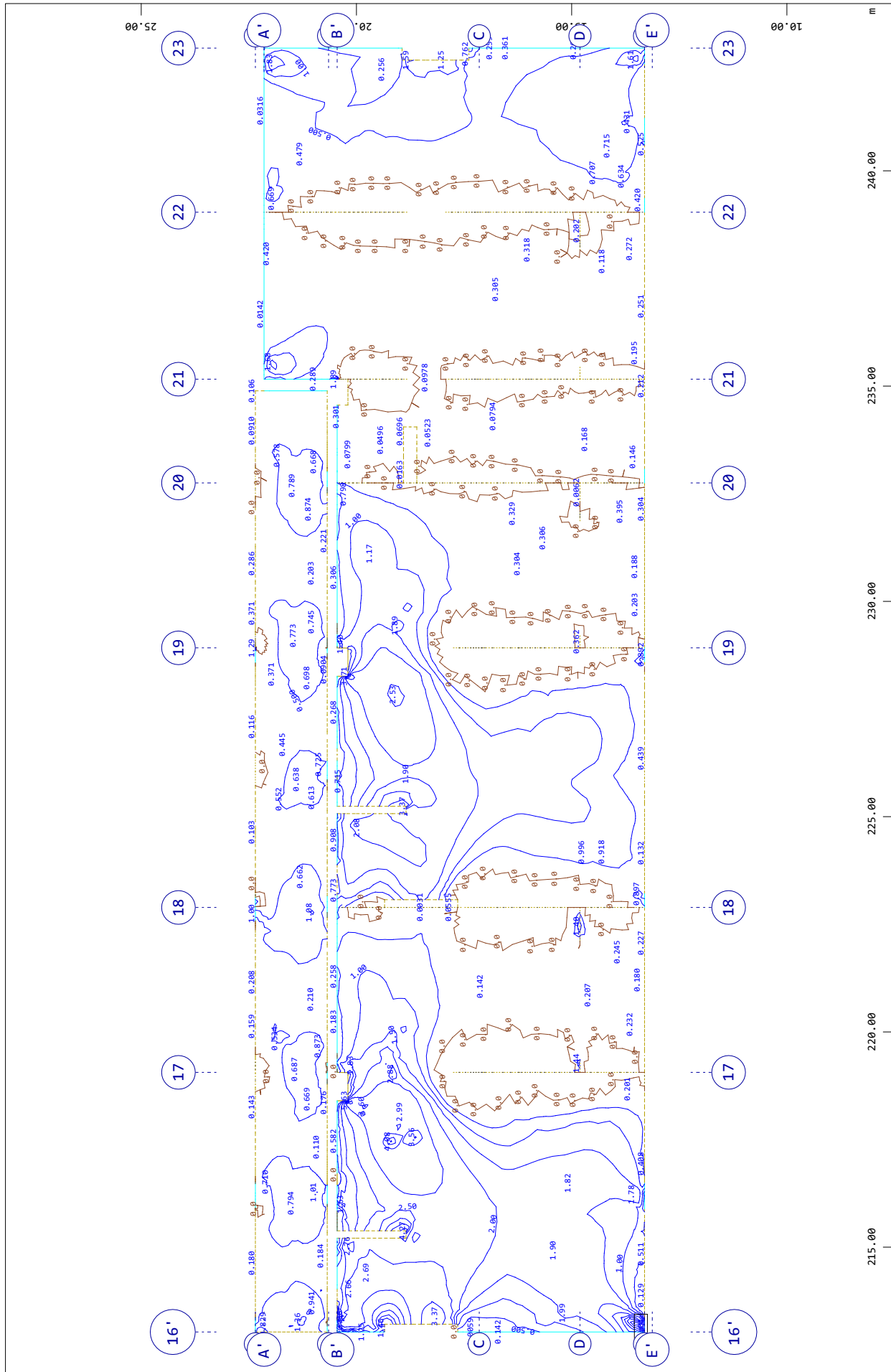
↔, Design Case 51 crack width design , from 0 to 6.41 step

Y Sector of system Group 400  
 X Quadrilateral Elements , lower Principal reinforcements (1st layer) in Node  
 0.500 cm<sup>2</sup>/m

Dilatacija B4

Ploščice

SOFiSTiK AG - www.sofistik.de



M 1 : 126

1, Design Case 51 crack width design , from 0 to 6.04 step

Y Sector of system Group 400  
 X Quadrilateral Elements , lower Cross reinforcements (2nd layer) in Node  
 0.500 cm<sup>2</sup>/m

**9.2 Seizmični izračun**

**9.2.1 Razred duktilnosti in faktor obnašanja**

: a Ů3 enziŮni anje Ű onstŰ u<sub>Ű</sub> ije je iZŠ anŰ aZ eŮ Ůu<sub>Ű</sub> ti%osti DC6 .

: asno<sub>a</sub> Ű onstŰ u<sub>Ű</sub> ijsŰ e8a siste3 a Ű<sub>Ű</sub> C>a sta<sub>a</sub>šo 3 eŮ stenaste siste3 e, 2a Ű atŰ e se /a<sub>Ű</sub> toŰ o\$naCanja Ű %Ůno s  
+Ű T EN " << ( ; " , >%n D . ! . ! . ! , Ůo%>i Ű ot

$$q_0 = 3 \cdot 0 \frac{\alpha_u}{\alpha_1}$$

q<sub>0</sub> H osno<sub>a</sub>na<sub>a</sub> eŮnost /a<sub>Ű</sub> toŰ ja o\$naCanja, α<sub>1</sub> H /a<sub>Ű</sub> toŰ , Ű i Ůo%>a nastane<sub>Ű</sub> Ű<sub>Ű</sub>e8a n%sti>ne8a >%n<sub>Ű</sub> a, α<sub>u</sub> H /a<sub>Ű</sub> toŰ , Ű i Ůo%>a nastane<sub>Ű</sub> Ůo<sub>a</sub>o%Ůne8a  
Ůe<sub>a</sub>i% n%sti>ni4 >%n<sub>Ű</sub> o<sub>a</sub> 2a nastoŮ 8%ša%e nestaŠi%osti siste3 a

: a siste3 no<sub>a</sub>e2ani4 sten, stanŮaŰ Ů +Ű T EN " << ( ; " , >%n D . ! . ! . ! \*Ů, Ůo%>a<sub>a</sub> eŮnost /a<sub>Ű</sub> toŰ ja

$$\frac{\alpha_u}{\alpha_1} = 1.2.$$

Osn<sub>a</sub>na<sub>a</sub> eŮnost /a<sub>Ű</sub> toŰ ja o\$naCanja je ta<sub>Ű</sub> o

$$q_0 = 3 \cdot 0 \frac{\alpha_u}{\alpha_1} = 3 \cdot 0 \cdot 1.2 = 3.6.$$

Na Ű on>no<sub>a</sub> eŮnost /a<sub>Ű</sub> toŰ ja o\$naCanja o%a tuŮ Ű e%Ůujo> siste3 Ű uCenja, Ű i 8a 2aja3 e3 o s /a<sub>Ű</sub> toŰ je3 k<sub>w</sub>. . a<sub>Ű</sub> toŰ  
iZ a>una3 o 2a<sub>a</sub>sa<sub>Ű</sub> o s3 eŰ noseŠej, teŰ 2a Ůi%ta ijsŰ e enote noseŠej, saj je oŮisen oŮ Ůe<sub>a</sub>i% in Ů3 enzij sten, Ű aŰ  
2aja3 e3 o s /a<sub>Ű</sub> toŰ je3 α<sub>0</sub>.

Di%ta ija 5, I

: a s3 eŰ F 2naCa

$$\alpha_{0,x} = \frac{\sum h_{wi}}{\sum l_{wi}} = \frac{5 \cdot 9 \cdot 0}{13 \cdot 5} = 12.55$$

$$0.5 \leq k_{w,x} = \frac{1 + \alpha_{0,x}}{3} = 4.52 \leq 1.0$$

: a s3 eŰ J Ůa

$$\alpha_{0,y} = \frac{10 \cdot 9 \cdot 0}{55 \cdot 02} = 1.64$$

$$0.5 \leq k_{w,y} = \frac{1 + \alpha_{0,y}}{3} = 0.88 \leq 1.0.$$

: a 8eo3 eŰ ijo Ű onstŰ u<sub>Ű</sub> ije %4<sub>Ű</sub> oŰ e>e3 o, Ůa je Ű a i%a no<sub>a</sub>iŮni. Ű a>unŰ a<sub>a</sub> eŮnost /a<sub>Ű</sub> toŰ ja o\$naCanja 2naCa ta<sub>Ű</sub> o

$$1.5 \leq q_x = q_0 \cdot k_w = 3.6 \cdot 1.0 = 3.6$$

$$1.5 \leq q_y = q_0 \cdot k_w = 3.6 \cdot 0.88 = 3.17$$

### 9.2.2 Upoštevanje mas pri določanju potresnega vpliva

+ tanŮa Ů + gT EN " << ( ; " , > % n ' . ! . , \* ! + = , Ůo % > a u noŮe anje 3 ase, Ů i so Zajete nas % Ůnji Ů o3 \$ina iji o % o

$$\sum_{j \geq 1} G_{k,j} + \sum_{i > 1} \psi_{E,i} Q_{k,i}$$

$G_{k,j}$  H %stna te9a in sta %i o %i na Ů onst Ů ijo,  $Q_{k,i}$  H sŮ e3 en % i o %i na Ů onst Ů ijo,  $\psi_{E,i}$  H Ů oe/i ient, Ů i u noŮe a, Ůa noŮ esna o \$te9 \$a  $Q_{k,i}$  ni Ů isotna o e % tni Ů onst Ů iji

Ko3 \$ina ijs Ů i Ů oe/i ient  $\psi_{E,i}$  se i Ů a > una na s % Ůe > i na > inl

$$\psi_{E,i} = \varphi \psi_{2,i}$$

$\varphi$  H /a Ů oŮ , Ů i u noŮe a 3 e Ů se \$ojno o Ů isnost 2 ase Ů enosti eta9,  $\psi_{2,i}$  H Ů o3 \$ina ijs Ů i /a Ů oŮ no Ů an + gT EN " << # , A . ! . !

. a Ů oŮ 2 ase Ů enosti eta9 je no Ů an Ů e8 % Ů ni i ! !

Preglednica 26: Faktor zasedenosti etaŮ  $\varphi$

B' sta sŮ e3 en % e8 a o % a	Eta9a	$\varphi$
Kate8Ů ija A;C	4nja eta9a *t e4a+	" #
	2 ase Ů sa ne Ů ate i4 eta9 je no e2ana	# E
	eta9e so 2 ase Ů ene neo Ů isno	# D
Kate8Ů ije D;		" #

Kate8Ů ije so oŮ e Ů e % ene + gT EN " << ; " ;

### 9.2.3 Upoštevanje razpokanih prerezov

+ tanŮa Ů + gT EN " << ( ; " , > % n , . ' . " \* + , Ůo % > a u noŮe anje Ů a2 no Ů ani4 Ů e e2o Ů i onst Ů ije. k noŮe anje Ů a2 no Ů ani4 Ů e e2o u noŮe a3 o 2 23 anjCanje3 to8osti nosi % i4 e % 3 ento s /a Ů oŮ je3 # D.

### 9.2.4 Nihajni časi in odziv konstrukcije

Ů a > u > in Ů o noŮ esni4 o % o na Ů onst Ů ijo je i2 e Ů en s no3 o > jo 3 o Ů a % e ana % e s Ů oje Ů tni3 s ne Ů e Ů o3 o Ů i a \* Ů oje Ů tni s ne Ů e Ů tna " no + gT EN " << ( ; " o \$e4 4Ů i2onta % i4 s3 e e4. B o % i Ů a2 % ni4 ni4ajni4 o \$ % so Ů o3 \$in Ů ani s no3 o > jo CKC 3 eto Ů e, Ů i > e3 e Ů sota e /e Ů tni4 3 o Ů a % i4 3 as 2 na Ca e > Ů ot < # L e % tne 3 ase Ů onst Ů ije. + te3 je 2 a Ů o > eno no8oju, Ů i 8a Ů e Ů isuje + gT EN " << ( ; ! ! ## ) , to > a , . ' . ! . ! . "

Preglednica 27: Nihajni časi konstrukcije in efektivna masa – dilatacijska enota 4

Ni4ajna oš%a	T MN	E/e <sub>2</sub> ti-na 3 asa	
		Os3 eř MN	P s3 eř MN
"	#E', <	D<E	"E
!	#E'#!	, E'	DDE
'	#E#- <	, E	<E
,	#E#, <	- E	#E#
E			
)#		∑ 93'4	∑ 96'2

### 9.2.5 Etažna strižna sila

Ůa23 eř je 3 eOđ oje<sub>2</sub> tno noř esno si% in 3 aso ošje<sub>2</sub> ta 2naGal

Di%ta ija , l

$$; \quad 2a F; s3 eř l \quad \frac{P_x}{P_{tot}} = \frac{1350}{11500} = 0.12$$

$$; \quad 2a J; s3 eř l \quad \frac{P_y}{P_{tot}} = \frac{1250}{11500} = 0.11$$

### 9.2.6 Omejitev poškodb

\*tančã Ů \*g'T EN "<<(;" o3 ejuje eta9ne no3 i<sub>2</sub> e. Eta9ni no3 i<sub>2</sub> i<sub>2</sub> onst' u<sub>2</sub> ije Ń i noř esni ana%zi oš uoOte-anju /a<sub>2</sub> toř ja q = 1 so nočani<sub>2</sub> Ń e8%čni i.

Preglednica 28: Etažni pomiki konstrukcije ob potresni obtežbi – dilatacija 4

Eta9a	d <sub>s,max</sub> MN 3 N	
	+3 eř F	+3 eř J
' N	D( #	, E #
! N	, E !	! E-D
" N	! E "	" E#

d<sub>s,max</sub> ... naj-e>ji eta9ni noř esni no3 i<sub>2</sub> oš uoOte-anju q = 1'0

Da Ń eđ e>i3 o Ń etič ane noQ oOše<sub>2</sub> i<sub>2</sub> onst' u<sub>2</sub> ije, stančã Ů \*g'T EN "<<(;" >%n , . , ' , o3 eji<sub>2</sub>e% ost no3 i<sub>2</sub> o<sub>2</sub> ena>šol

$$d_r v \leq ah \rightarrow \frac{d_r}{h} \leq \frac{\alpha}{v}$$

d<sub>r</sub> H Ń oje<sub>2</sub> tni eta9ni no3 i<sub>2</sub>, o%>en<sub>2</sub> ot<sub>2</sub> a2% a 3 eO no<sub>2</sub> Ń e>ni3 a<sub>2</sub> oO<sub>2</sub> a<sub>2</sub> ni3 a no3 i<sub>2</sub> o3 a d<sub>s</sub> na<sub>2</sub> 4u in Ůnu eta9e, h H eta9na<sub>2</sub> iGna, v H eO<sub>2</sub> ijs<sub>2</sub> i /a<sub>2</sub> toř , i i uoOte-a 3 anjCo no<sub>2</sub> atno ošo noř esa (stančã Ů 2a<sub>2</sub> ate8oř ijo no3 e3 \$nosti gđ ino o>a<sub>2</sub> ečnost #E, α H /a<sub>2</sub> toř , oO<sub>2</sub> isen oO Ů<sub>2</sub> ti%osti ne<sub>2</sub> onst' u<sub>2</sub> ijs<sub>2</sub> i4 e%3 ente<sub>2</sub> \*α = 0'005 2a ne<sub>2</sub> onst' u<sub>2</sub> ijs<sub>2</sub> e e%3 ente i2<sub>2</sub> i4 i4 3 atē ia%<sub>2</sub>, α = 0'0075 2a Ů<sub>2</sub> ti%e ne<sub>2</sub> onst' u<sub>2</sub> ijs<sub>2</sub> e e%3 ente, α = 0'010 2a ne<sub>2</sub> onst' u<sub>2</sub> ijs<sub>2</sub> e e%3 ente na<sub>2</sub> atē e Oe/oř 3 a ije<sub>2</sub> onst' u<sub>2</sub> ije ne<sub>2</sub> o%a<sub>2</sub>jo+

Eta9ni 2a3 i<sub>2</sub> i<sub>2</sub> onst' u<sub>2</sub> ije so 2\$ ani ű e8% űni i. Biű3 o, űa so űo3 i<sub>2</sub> i<sub>2</sub> onst' u<sub>2</sub> ije űo-o%3 aj4ni, űa űo-o%ujejo tuű uoű a\$o neűu<sub>2</sub> ti%<sub>2</sub> i4 i<sub>2</sub> onst' u<sub>2</sub> ijs<sub>2</sub> i4 e%3 ento.

Preglednica 29: Omejitev pomikov pri potresni obteži – dilatacija 4

Eta9a	d <sub>r</sub> M 3 N		h	v	vd <sub>r</sub> /h		α		
	*3 e' O	*3 e' J			*a+	*\$+	* +		
' N	"E(	"E D	!E!		#####!(	#####!)			
! N	!E"	"E D	!E!	#E	#####')	#####!)	#####D	#####-D	#####"
"N	!E"	"E#	'E)		#####''	#####!'			

### 9.2.7 P-Δ efekt

O\$>ut%ost i<sub>2</sub> onst' u<sub>2</sub> ije na teű ijo ű u8e8a ű eűa \*=-; Δ e/e<sub>2</sub> t+ iZ a>una3 o o\$ uoűe anju +gT EN "<<( ; , >%n , , . ! . ! \* ! + . 7%űe na ű eűnost i<sub>2</sub> oe/i ienta o\$>ut%osti 2a eta9ne űo3 i<sub>2</sub> e θ stanűa ű űo%>a ű a2%ne u<sub>2</sub> eűe ű i ű oje<sub>2</sub> t' anju. Koe/i ient θ je űo%>en 2 ena>\$ol

$$\theta = \frac{P_{tot} d_r}{V_{tot} h}$$

P<sub>tot</sub> H e%tna si% te9nosti o\$ a na aani eta9i in naűnjo, i je uoűe ana ű i űoű esne3 ű oje<sub>2</sub> tne3 stanju, d<sub>r</sub> H ű oje<sub>2</sub> tni eta9ni űo3 i<sub>2</sub> \*a2% a 3 eűoűe ű e>ni3 a eűoű a eűni3 a űo3 i<sub>2</sub> o3 a d<sub>s</sub> na ű 4u in űnu eta9e, V<sub>tot</sub> H e%tna ű e>na si% eta9i 2a aű űoű esa, h H eűiűna eta9e

7%űe na ű eűnost i<sub>2</sub> oe/i ienta θ e%a s%űe>el

- ; θ ≤ 0'10 o%a TDŮ ni űoű e\$no uoűe ati
- ; 0'10 < θ ≤ 0'20 o%a TDŮ se uoűe a na ű i\$űe na>in s űo e>anje3 u>in<sub>2</sub> o űoű esne8a o%a s /a<sub>2</sub> tű je3 l

$$k_{p-\Delta} = \frac{1}{1 - \theta_i}$$

- ; θ > 0'30 stanűa ű ne űo-o%uje.

ű a>un i<sub>2</sub> oe/i ienta θ je ű i a2an ű e8% űni i.

Preglednica 30: Doloűitev vpliva TDR – dilatacija 4

Eta9a	h <sub>i</sub>	P <sub>tot</sub>	V <sub>tot</sub>		d <sub>r</sub>		θ <sub>x</sub>	θ <sub>y</sub>
			O s3 e'	P s3 e'	O s3 e'	P s3 e'		
! N	!E!	' ) ##	) ##	DD#	"E(	"E D	#####'	#####'
"N	!E!	- ! ##	" " D#	" #D#	!E"	"E D	#####,	#####,
#=	' E )	" " D##	" D! #	" " D#	!E"	"E#	#####D	#####,

Bűa teű ije ű u8e8a ű eűa ni űoű e\$no uoűe ati.

### 9.3 Stene

\*tene so i2 Ťetona 2a%tete C' #G - . B s3 e' i 2 3 oeni4 2o' a ni4+ osi i3 ajo ŤeŤe%no !# 3 s3 e' i Ťe%ni4 \*e' ti2 a%ai4+ osi na ŤeŤe%no ") 3 . : a Ť3 en2ion' anje a 3 ť anoŤetons2 i4 sten je no' eŤno uoŤe%ati Ťo%>i% stanŤa' Ťa +gT EN "<<!;" in +gT EN "<<(;" .

#### 9.3.1 Geometrijske omejitve

@ ina stojine  $b_{w0}$  3 o' a 8%Ťe na stanŤa' Ť+gT EN "<<(, >%n D, .! .! , 2aŤostiti nas%Ťnje3 u iŤ a2ul

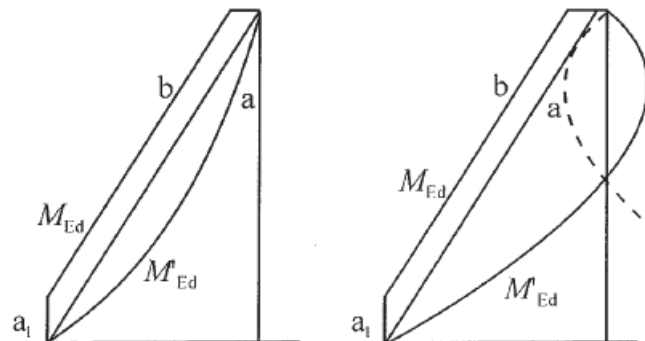
$$b_{w0} \geq \max \left\{ \begin{array}{l} 0.15 \text{ m} \\ h_s \frac{3.18}{20} = \frac{3.18}{20} = 0.159 \text{ m} \end{array} \right. = 0.159 \text{ m}$$

$b_{w0}$  H Ť ina stojine stene,  $h_s$  H s=et% eta9na=ici na

DoŤatne 2a4te=e 8%Ťe ŤeŤe%ne oŤjeti4' oŤni4 e%3 ento= sten so Ťo%>ene s >%no3 D, .! ., .! #! #+.

#### 9.3.2 Projektni uĉinki potresnih vplivov

DiaŤ a3 ť oje2 tni4 uoŤiŤni4 3 o3 ento=2o%ici ne stene se na=eŤe 2 o=ojni o ŤaŤ a3 a uoŤiŤni4 e%3 ento= i2 ana%2e, 2 i je ť e3 a2 njena= na=ni>ni s3 e' i \*8%j s% o, +, = eŤoŤta= i se %42 o %nea' na o=ojni a, >e2 onŤ' u2 ija ni3 a no=ici ni no3 e3 Ťni4 ne2=e2nosti= 3 asa4, toŤosti a%nosi%osti.



- Legenda:  
 a momentni diagram iz analize  
 b projektna ovojnica  
 a1 premik momentne ĉrte

Slika 10: Ovojnica upogibnih momentov za projektiranje vitkih sten

OŤ=Ťetju sten je no' eŤno uoŤe%ati 3 o9nost no=ea>anja ť e>ni4 si%2a' aŤ n%sti/i2 a ije. 7%Ťe na stanŤa' Ť +gT EN "<<(, >%n D, .! ., \*+ 2a4te= i 2aŤosti3 o, >e uoŤe%a3 o ť oje2 tne ť e>ne si%, 2 i so 2a D#L=Ťe>e oŤtisti4, Ťo%>eni4 2 ana%2o. OŤ' e3 enit=e sten so ť i2 a2ane= naŤa%e= anju.

		= oje tni u>n2 i oŮ esni4... na Ůnu stene					
O2na2 a stene		$N_{Ed,max}$	$1.5 \cdot V_z$	$M_{y,max}$	$N_{(My,max)}$	$M_{y,min}$	$N_{(My,min)}$
		MINN	MINN	MINN	MINN	MINN	MINN
DiŮata ija	" ) ; " ; " ; ! # ; "	" ###	DD#	" D##	- D#	<##	- D#
	" - ; " ; " < ; " ! " ; " ; ! ! ; "	( D#	' ##	, ##	- ##	" ###	( D#
	! " ; ! ; ! ! ; !	, ##	! ##	" ##	' ##	! ##	, ##
	! ' ; "	- ##	, ##	" - ##	) D#	, D#	) D#
DiŮata ija ,	A4 ; " , A4 ; ( , A4 ; " #	" - D	D#	! D	! ##	! D	" D#
	A4 ; ! Ůo A4 ; - , A4 ; <	! ##	- D	! D	! ##	! D	" D#
	5 , ; " , D , ; " , D , ; ' , D , ; D , E , ; " , E , ; ' , E , ;	" ##	D#	" #	" ##	! D	" D#
	, , E , ; ) , E , ; - , E , ; ( , E , ; < , E , ; "						
	5 , ; ! , 5 , ; D , 5 , ; ) , 5 , ; <	DD#	D##	' D#	D##	! ##	D##
	5 , ; ' , 5 , ; , , 5 , ; - , 5 , ; ( , 5 , ; " # , D , ; ! , D , ;	' D#	" D#	D#	' ##	D#	' D#
, , D , ; )							
E , ; ! , E , ; D , E , ; " #	" ##	! D	! D	" ##	! D	" ##	

### 9.3.3 Preverjanje mejnih stanj in konstruiranje

Í o8i\$no in sŮ i9no nosi%ost je oŮ e\$no Ůo%>iti... s2 %Ůu s +gT EN "<<! ; " ; " , Ů i >e3 e se uoŮ a\$... eŮnosti noŮ anji4 stati>n4 2 o%in i2 oŮ esne ana%2e in 2 o3 \$ina ije 2a 3 ejno stanje nosi%osti.

#### 9.3.3.1 Minimalna in maksimalna armatura

= e e2 na... i>ne a 3 atũ e je s >%no3 <.) .! stanŮa Ůa +gT EN "<<! ; " ; " o3 ejen 2

$$A_{s,vmin} = 0.002 A_c$$

$$A_{s,vmax} = 0.04 A_c$$

= e e2... oŮŮ a... ne a 3 atũ e je s >%no3 <.) .! stanŮa Ůa +gT EN "<<! ; " ; " o3 ejen 2

$$A_{s,hmin} = \max \begin{cases} 0.001 A_c \\ 0.25 A_{s,v} \end{cases}$$

: a stene Ůe\$e%ne ") 3 l

$$A_{s,vmin} = 0.002 A_c = 0.002 \cdot 16 \cdot 100 = 3.2 \text{ cm}^2/\text{m}$$

$$A_{s,vmax} = 0.04 A_c = 0.04 \cdot 16 \cdot 100 = 64 \text{ cm}^2/\text{m}$$

$$A_{s,hmin} = \max \begin{cases} 0.001 A_c = 1.6 \text{ cm}^2/\text{m} \\ 0.25 A_{s,v} \end{cases}$$

: a stene Ůe\$e%ne !# 3 l

$$A_{s,vmin} = 0.002 A_c = 0.002 \cdot 20 \cdot 100 = 4.0 \text{ cm}^2/\text{m}$$

$$A_{s,vmax} = 0.04 A_c = 0.04 \cdot 20 \cdot 100 = 80 \text{ cm}^2/\text{m}$$

$$A_{s,hmin} = \max \begin{cases} 0.001 A_c = 2.0 \text{ cm}^2/\text{m} \\ 0.25 A_{s,v} \end{cases}$$

#### 9.3.3.2 Omejitve osne obremenitve sten

No 3 i ana osna si% v... Ů i3 a ni4 oŮ esni4 stena4 8%Ůe na stanŮa Ů +gT EN "<<( , %n D , . ' . , " \* ! + , ne s3 e Ů ese> i #E .

$$v_d = \frac{N_{Ed}}{A_c f_{cd}} \leq 0.4$$

= e>na a 3 atu a ošni4 e%3 enti4 se %4; o Ů%>i sa3 o... s; %Ůu s + ěT EN "<<!,", >e je i2no%jen no8oj

$$v_d = \frac{N_{Ed}}{A_c f_{cd}} \leq 0.15$$

Bse stene 2aŮostujejo no8oju  $v_d < 0.15$ , 2ato 2a Ů%>ite... noť ešne a 3 atu e uoť aš13 o o...ojni e, ; i ji4 iž a>una ň oš a3 + O. i+TiK, ; i Ů%>a a 3 atu o 8%Ůe na 2a4te...e + ěT EN "<<!,! .

Preglednica 31: Normirana osna sila v stenah

	Oznaa stene	No 3 ř ana osna sila $v_d$
D,	" ; " ; " ( ; " ; ! # ; "	#.#,
	" - ; " ; " < ; " ; ! " ; " ; ! ! ; "	#.#)
	! " ; ! ; ! ! ; !	#.#,
	! ' ; "	#.#!
D iž ta ija ,	A4 ; " ; A4 ; ( ; A4 ; " #	#. " ')
	A4 ; ! Ů A4 ; - ; A4 ; <	#.#(
	5 ; " ; D ; " ; " ; D ; ' ; D ; ; D ; E ; ;	#.#<
	" ; E ; ' ; E ; ; ; E ; ; ) ; E ; ; - ; E ; ;	
	( ; E ; ; < ; E ; ; " "	
	5 ; ; ! ; 5 ; ; D ; 5 ; ; ) ; 5 ; ; <	#.#-
	5 ; ; ' ; 5 ; ; ; ; 5 ; ; - ; 5 ; ; ( ; 5 ; ;	#."D
	" # ; D ; ; ! ; D ; ; ; D ; ; )	
E ; ; ! ; E ; ; D ; E ; ; " #	#.#,	

### 9.3.3.3 Kritično območje

K ř itično oš3 o>je na Ů...oetje3 stene  $h_{cr}$  se 8%Ůe na + ěT EN "<<( , %>n D. , . ! , . ! , Ů%>i ; otl

$$h_{cr} = \max \left\{ h_w = \frac{9 \cdot 000 \text{ m}}{6} = 1.50 \text{ m} \leq \min \left\{ h_s = 3.36 \text{ m} \right. \right.$$

$l_w$  ... Ů%>ina ň e>ne8a ň e' e2a stene,  $h_w$  H...iĜna stene,  $h_s$  H...e%...iĜna eta9e

K ř itično oš3 o>je sten je >e2 e%tno ň it%no eta9o.

### 9.3.3.4 Potrebna količina armature MSN-STR

=o%8 noť esne ošte9še uoŮe...a3 o Će o...ojni o oš e3 enite... 2a 3 ejno stanje nosi%osti ň ř i sta%i4 in 2a>asni4 stanji4. 7%Ůe na o...ojni o oš e3 enite... iž a>una3 o noť ešno ; o%>ino a 3 atu e, ; i je noŮana... naŮa%e...anju.

### 9.3.4 Strižna odpornost sten

Oš...oetju sten se s ř i9no oŮnoř nost oš uoŮe...anju >%na D. , . ! , . , stanŮař Ůa + ěT EN "<<( ; " 2a8oto...i ta; o, Ůa se ň oje; tne s ř i9ne si% Ůoš%ene 2 ana%2o no...e>a 2a D# L. B snoŮnji ň e8%Ůni i je noŮan iž a>un noť ešne s ř i9ne a 3 atu e 2a...se stene oš...oetju.

Oznaka stene	$\Phi_{sw}$ M 3 N	S M 3 N	$n_s$ M N	$A_{sw.dej} / s$ M 3 ' G N	$A_{sw.potr} / s$ M 3 ' G N	$V_{rd.max}$ M N N	$V_{rd.s}$ M N N	$V_{Ed} / V_{Rd}$ M N
" ; "	(	" D	!	) . - #	! . - '	! ( , '	< ( "	, "
" ; " ; " ( ; " ! # ; "	(	" D	!	) . - #	' . - )	! ( , '	< ( "	D)
" - ; " ; " < ; " ! " ; " ! ! ; "	(	" D	!	) . - #	! . # D	! ( , '	< ( "	' "
! " ; ! , ! ! ; !	(	" D	!	) . - #	" . ' -	! ( , '	< ( "	! #
! ' ; "	(	" D	!	) . - #	! . - '	! ( , '	< ( "	, "
A , ; " , A , ; ( , A , ; " #	(	" D	!	) . - #	# . ' ,	' D D'	< ( "	D
A , ; ! Oo A , ; - , A , ; <	(	" D	!	) . - #	# . D'	' D D'	< ( "	(
S , ; " , D , ; " , D , ; ' , D , ; D , E , ; " , E , ; ' , E , ; , , E , ; ) , E , ; - , E , ; ( , E , ; < , E , ; " "	(	" D	!	) . - #	# . ' ,	' D D'	< ( "	D
S , ; ! , S , ; D , S , ; ) , S , ; <	(	" D	!	) . - #	' . , !	' D D'	< ( "	D'
S , ; ' , S , ; , , S , ; - , S , ; ( , S , ; " # , D , ; ! , D , ; , , D , ; )	(	" D	!	) . - #	" . #'	' D D'	< ( "	" D
E , ; ! , E , ; D , E , ; " #	(	" D	!	) . - #	# . "-	' D D'	< ( "	'

### 9.4 Temeljenje objekta

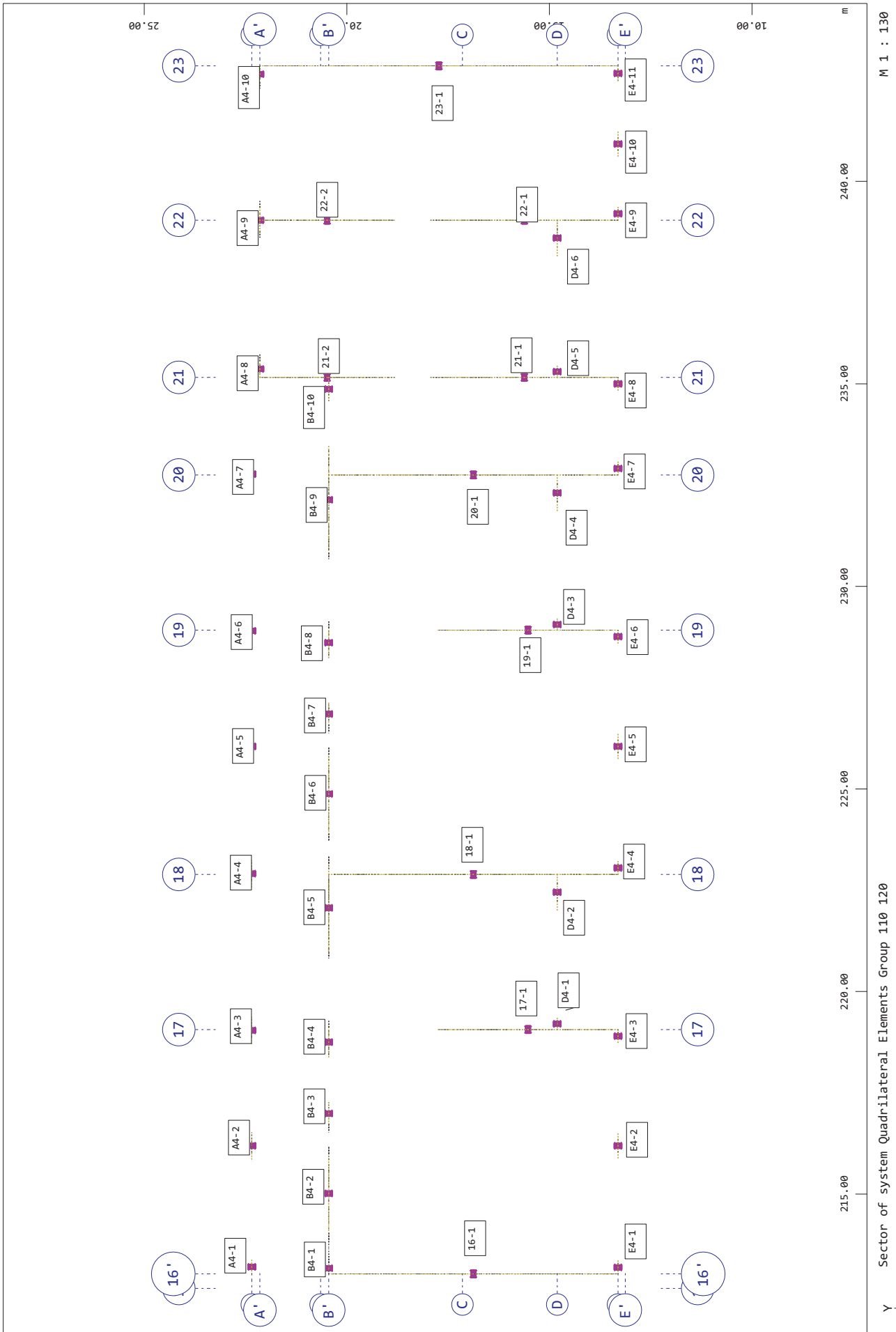
Ošje t se te3 e% s te3 e%no n%Co Ůeše%ne ' D 3 , 2 i je to> o=ni no nOŮŮ ta s ni%ti.

=oť esna oš e3 enite=ni na ni%te je iZ a>unana ů i e%sti>ne3 oť esu \*o2. QR " +.

Ůea2 ije na ni%te so Ůoš%eni s ů o8 a3 o3 To1 eš ' S ' D in ' o / sti2 . Di3 en2ioniř anje ni%ta je i2-ečeno=ni ů o8 a3 u DgA+ 2a=ni se ošje te.

Dilatacija B4

Potres - izpis sil



M 1 : 130

240.00

235.00

230.00

225.00

220.00

215.00

Sector of system Quadrilateral Elements Group 110 120  
 Contour

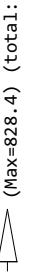
Dilatacija B4

Piloti

SOFiSTiK AG - www.sofistik.de



M 1 : 133



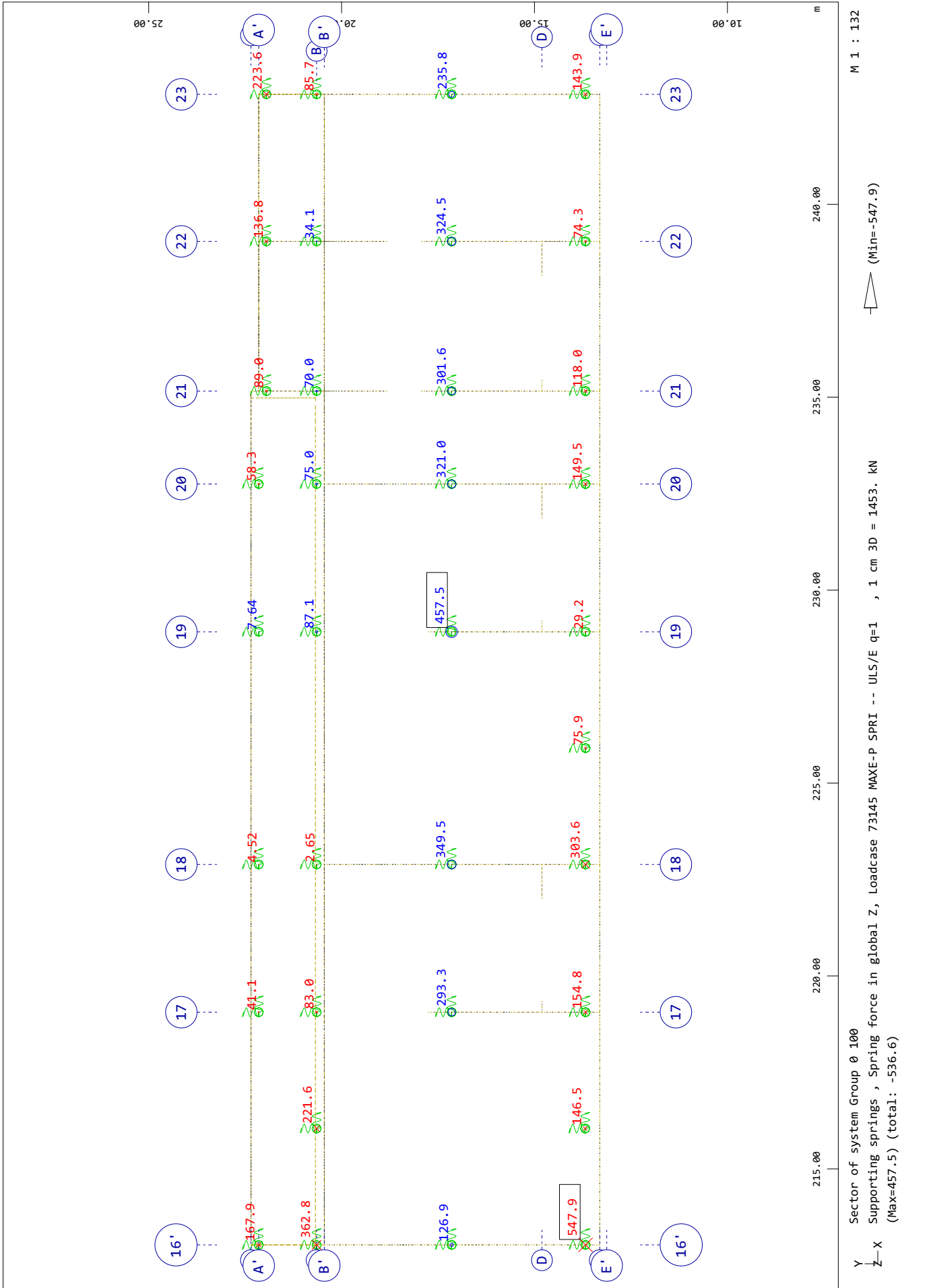
(Max=828.4) (total):

Sector of system Group 0 100  
 Supporting springs , Spring force in Global Z, Loadcase 70046 MIN-P SPRI -- ULS/STR , 1 cm 3D = 1453. kN  
 24382.)

Dilatacija B4

Piloti

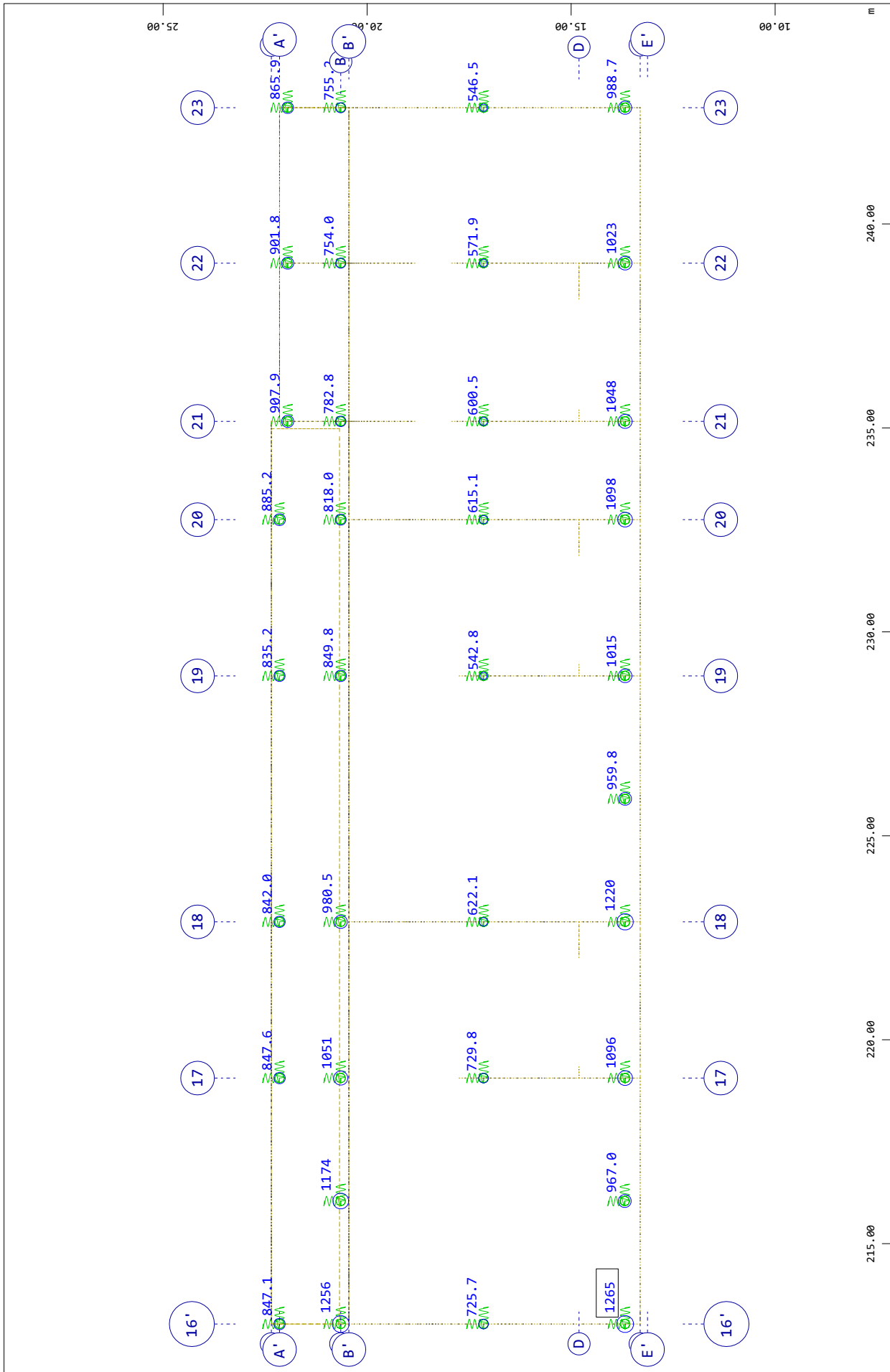
SOFiSTiK AG - www.sofistik.de



Dilatacija B4

Piloti

SOFiSTiK AG - www.sofistik.de



M 1 : 133

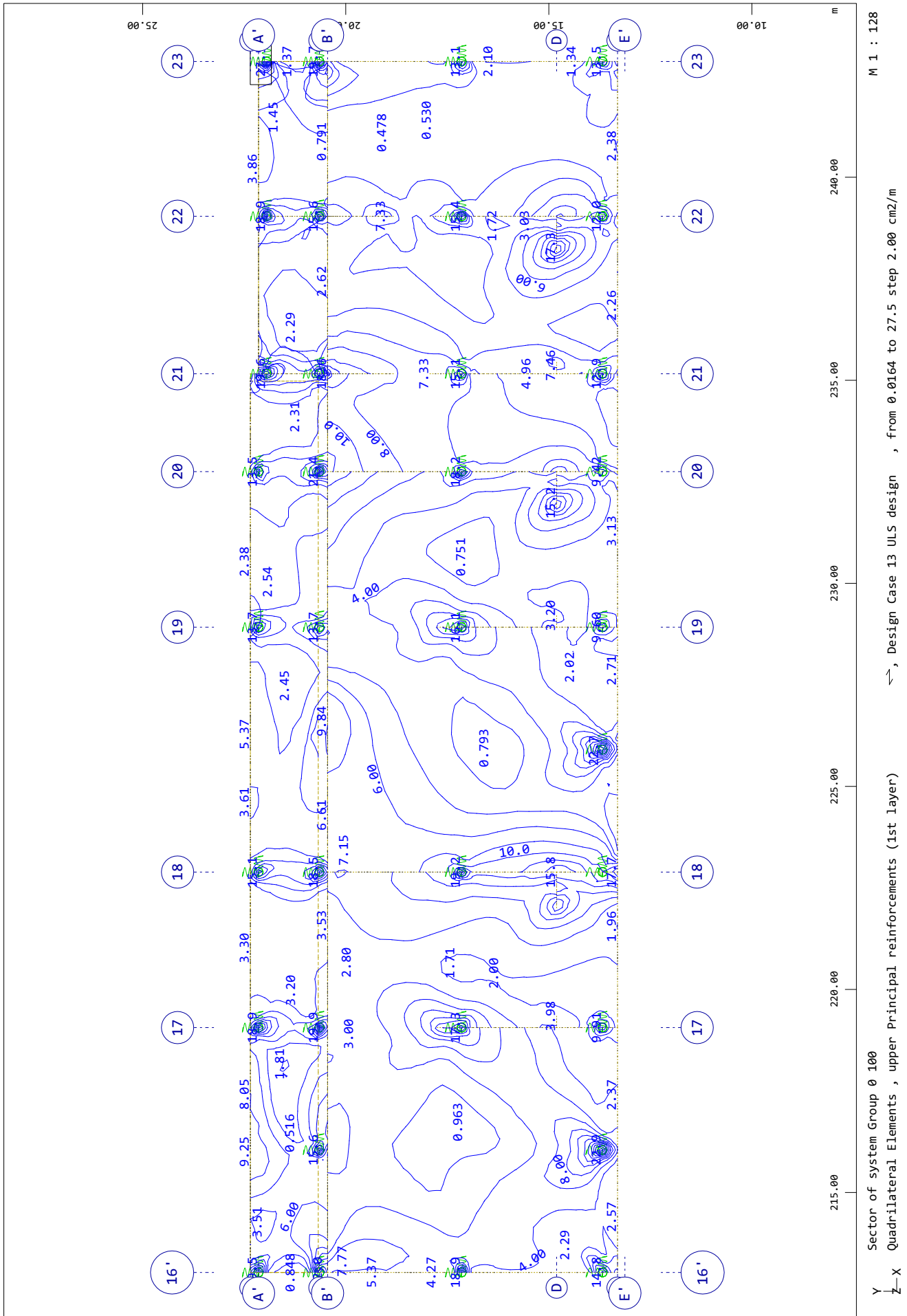


(Max=1265.) (total:)

Y Sector of system Group 0 100  
 Z-X Supporting springs , Spring force in Global Z, Loadcase 73146 MINE-P SPRI -- ULS/E q=1 , 1 cm 3D = 2996. kN  
 30989.)

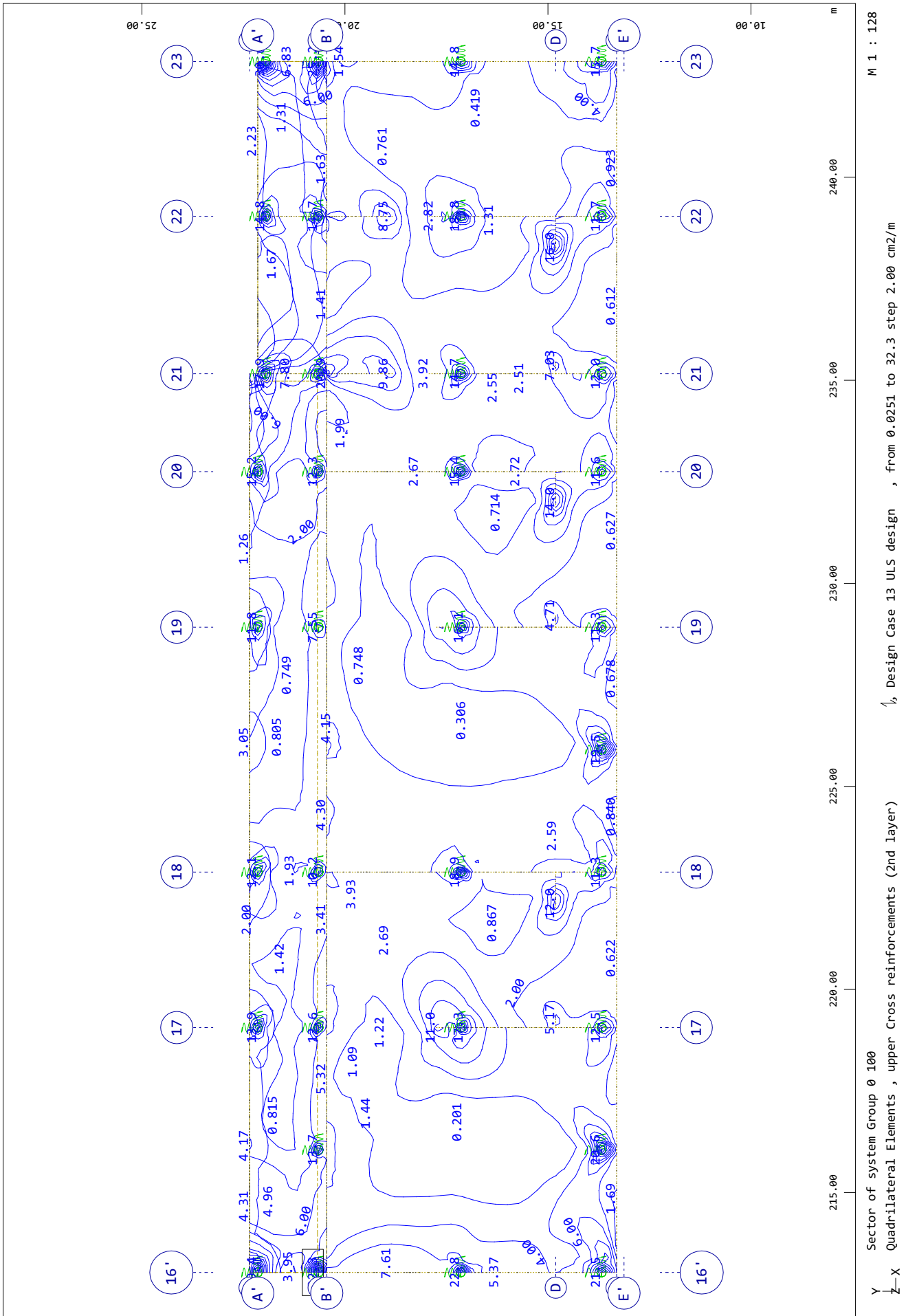
Dilatacija B4  
 Piloti

SOFISTIK AG - www.sofistik.de



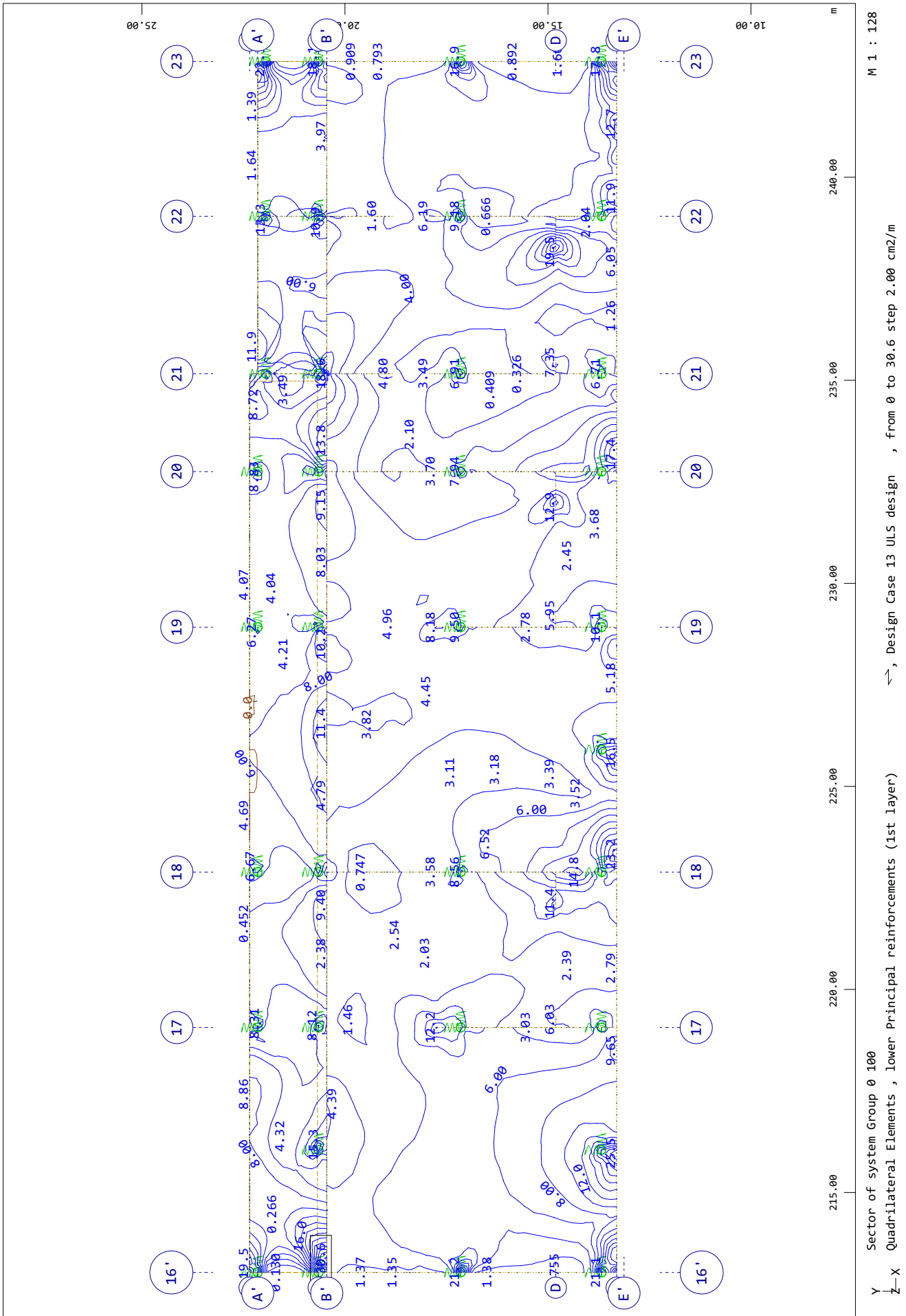
Dilatacija B4  
 Piloti

SOFiSTiK AG - www.sofistik.de

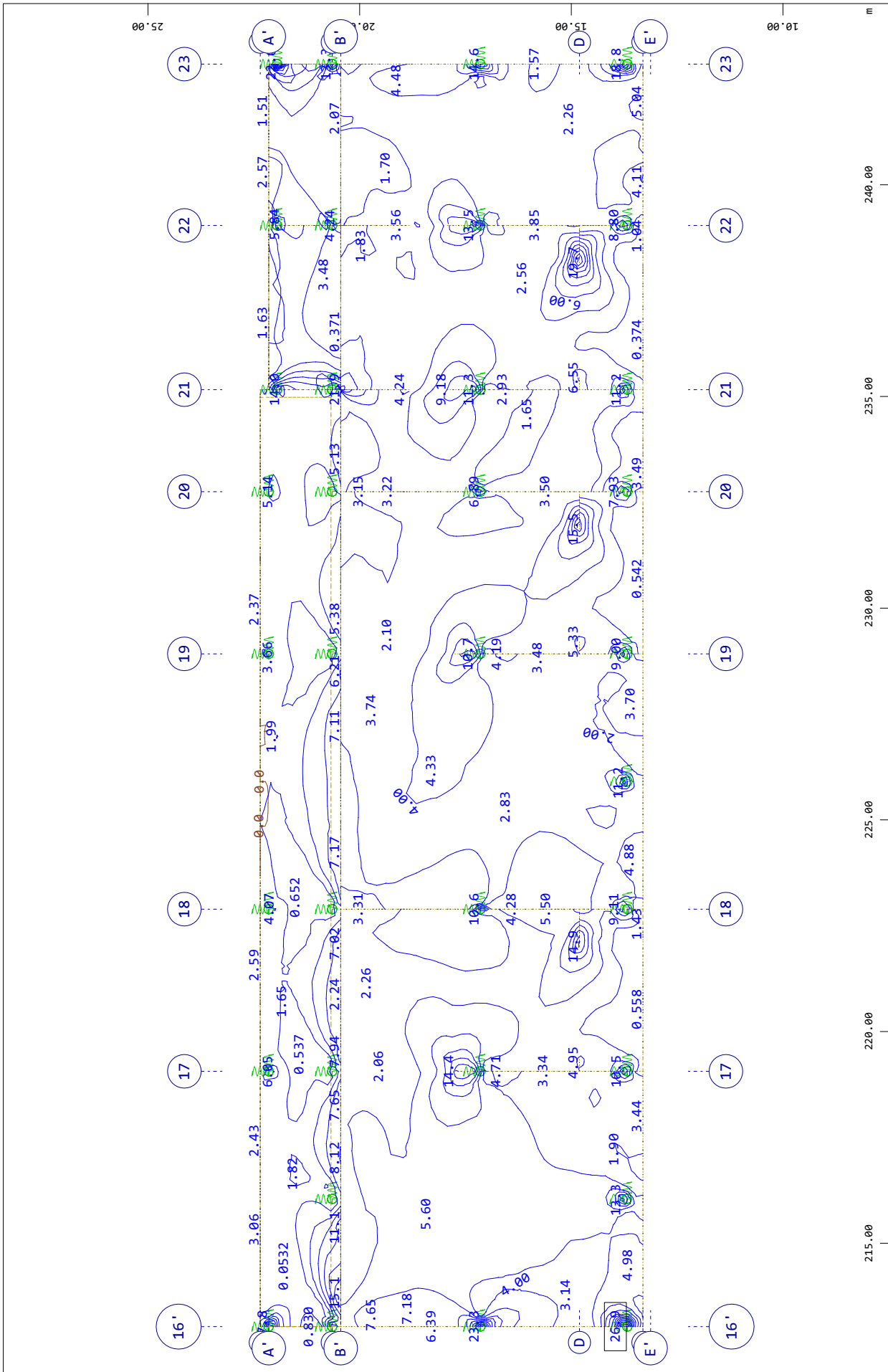


Dilatacija B4  
 Piloti

SOFiSTiK AG - www.sofistik.de



Dilatacija B4  
 Piloti



SOFiSTiK AG - www.sofistik.de

M 1 : 128

1, Design Case 13 ULS design , from 0 to 26.9 step 2.00 cm<sup>2</sup>/m

Y Sector of system Group 0 100  
 Z-X Quadrilateral Elements , lower Cross reinforcements (2nd layer)

## 10 Objekt C

**Vhodni podatki - Konstrukcija**

**Tabele materialov**

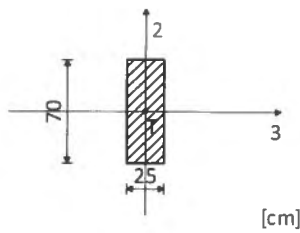
No	Naziv materiala	E[kN/m <sup>2</sup> ]	$\mu$	$\gamma$ [kN/m <sup>3</sup> ]	$\alpha t$ [1/C]	Em[kN/m <sup>2</sup> ]	$\mu m$
1	Beton C 25	3.100e+7	0.20	25.00	1.000e-5	3.100e+7	0.20
2	Les-Iglavci-Masiven les	1.000e+7	0.20	5.00	1.000e-5	1.000e+7	0.20

**Seti plošč**

No	d[m]	e[m]	Material	Tip preračuna	Ortotropija	E2[kN/m <sup>2</sup> ]	G[kN/m <sup>2</sup> ]	$\alpha$
<1>	0.250	0.125	1	Tanka plošča	Izotropna			

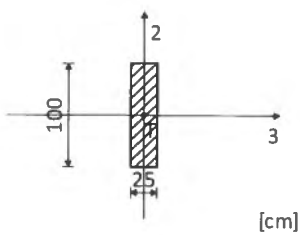
**Seti gred**

Set: 1 Prerez: b/d=25/70, Fiktivna ekscentričnost



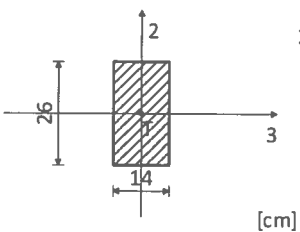
Mat.	A1	A2	A3	I1	I2	I3
1 - Beton C 25	1.750e-1	1.458e-1	1.458e-1	2.827e-3	9.115e-4	7.146e-3

Set: 2 Prerez: b/d=25/100, Fiktivna ekscentričnost



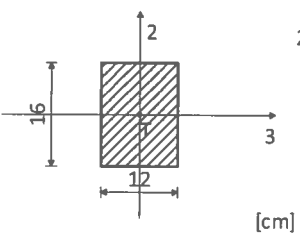
Mat.	A1	A2	A3	I1	I2	I3
1 - Beton C 25	2.500e-1	2.083e-1	2.083e-1	4.388e-3	1.302e-3	2.083e-2

Set: 3 Prerez: b/d=14/26, Fiktivna ekscentričnost



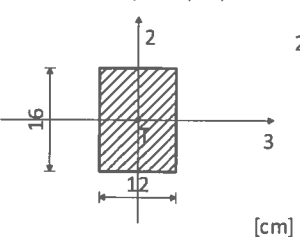
Mat.	A1	A2	A3	I1	I2	I3
2 - Les-Iglavci-M...	3.640e-2	3.033e-2	3.033e-2	1.577e-4	5.945e-5	2.051e-4

Set: 4 Prerez: b/d=12/16, Fiktivna ekscentričnost



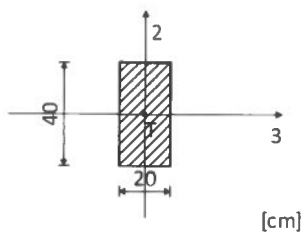
Mat.	A1	A2	A3	I1	I2	I3
2 - Les-Iglavci-M...	1.920e-2	1.600e-2	1.600e-2	4.976e-5	2.304e-5	4.096e-5

Set: 5 Prerez: b/d=12/16, Fiktivna ekscentričnost



Mat.	A1	A2	A3	I1	I2	I3
2 - Les-Iglavci-M...	1.920e-2	1.600e-2	1.600e-2	4.976e-5	2.304e-5	4.096e-5

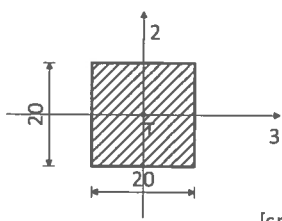
Set: 6 Prerez:  $b/d=20/40$ , Fiktivna ekscentričnost



[cm]

Mat.	A1	A2	A3	I1	I2	I3
2 - Les-Iglavci-M...	8.000e-2	6.667e-2	6.667e-2	7.324e-4	2.667e-4	1.067e-3

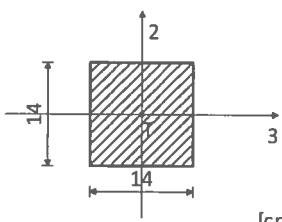
Set: 7 Prerez:  $b/d=20/20$ , Fiktivna ekscentričnost



[cm]

Mat.	A1	A2	A3	I1	I2	I3
2 - Les-Iglavci-M...	4.000e-2	3.333e-2	3.333e-2	2.253e-4	1.333e-4	1.333e-4

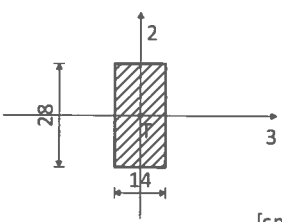
Set: 8 Prerez:  $b/d=14/14$ , Fiktivna ekscentričnost



[cm]

Mat.	A1	A2	A3	I1	I2	I3
2 - Les-Iglavci-M...	1.960e-2	1.633e-2	1.633e-2	5.410e-5	3.201e-5	3.201e-5

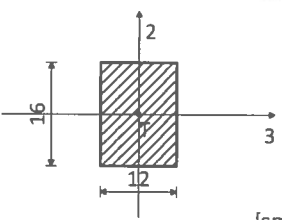
Set: 10 Prerez:  $b/d=14/26$ , Fiktivna ekscentričnost



[cm]

Mat.	A1	A2	A3	I1	I2	I3
2 - Les-Iglavci-M...	3.920e-2	3.267e-2	3.267e-2	1.759e-4	6.403e-5	2.561e-4

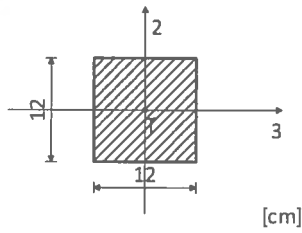
Set: 11 Prerez:  $b/d=12/16$ , Fiktivna ekscentričnost



[cm]

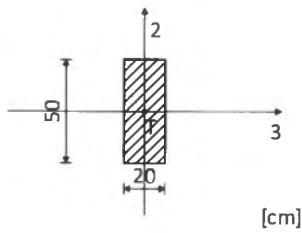
Mat.	A1	A2	A3	I1	I2	I3
2 - Les-Iglavci-M...	1.920e-2	1.600e-2	1.600e-2	4.976e-5	2.304e-5	4.096e-5

Set: 12 Prerez: b/d=12/12, Fiktivna ekscentričnost



Mat.	A1	A2	A3	I1	I2	I3
2 - Les-Iglavci-M...	1.440e-2	1.200e-2	1.200e-2	2.920e-5	1.728e-5	1.728e-5

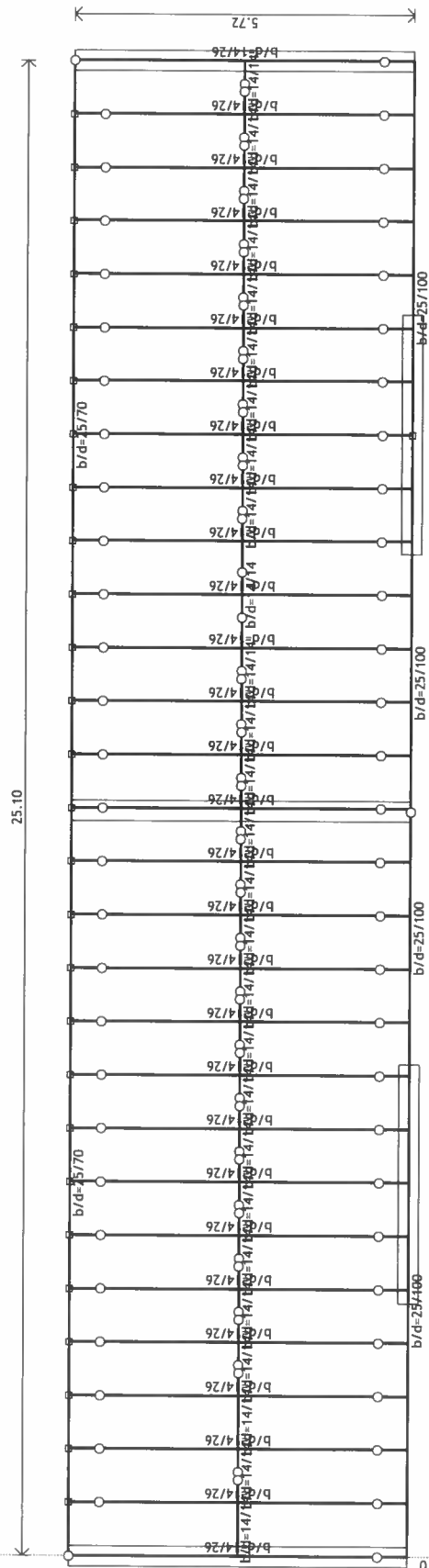
Set: 13 Prerez: b/d=20/50, Fiktivna ekscentričnost



Mat.	A1	A2	A3	I1	I2	I3
1 - Beton C 25	1.000e-1	8.333e-2	8.333e-2	9.981e-4	3.333e-4	2.083e-3

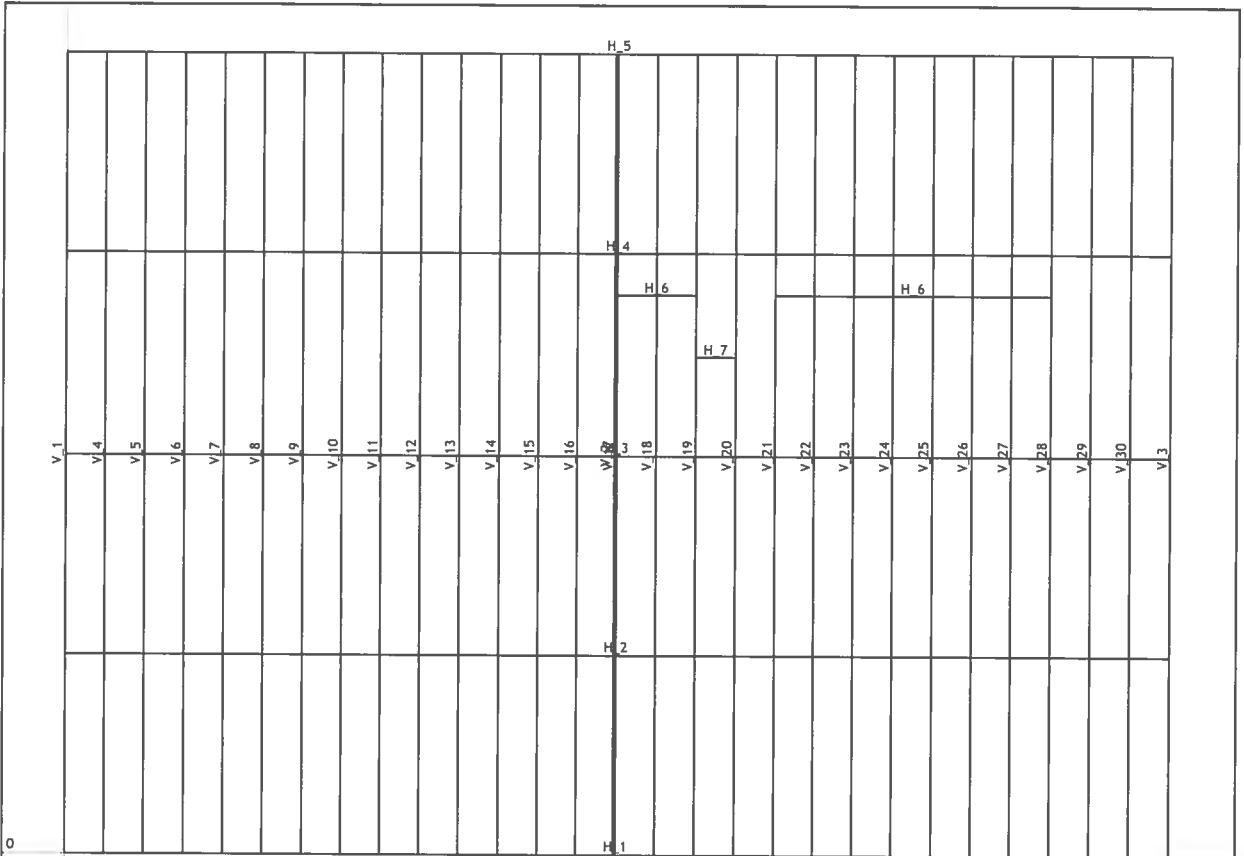
Seti točkovnih podpor

	K,R1	K,R2	K,R3	K,M1	K,M2	K,M3
1	1.000e+10	1.000e+10	1.000e+10			

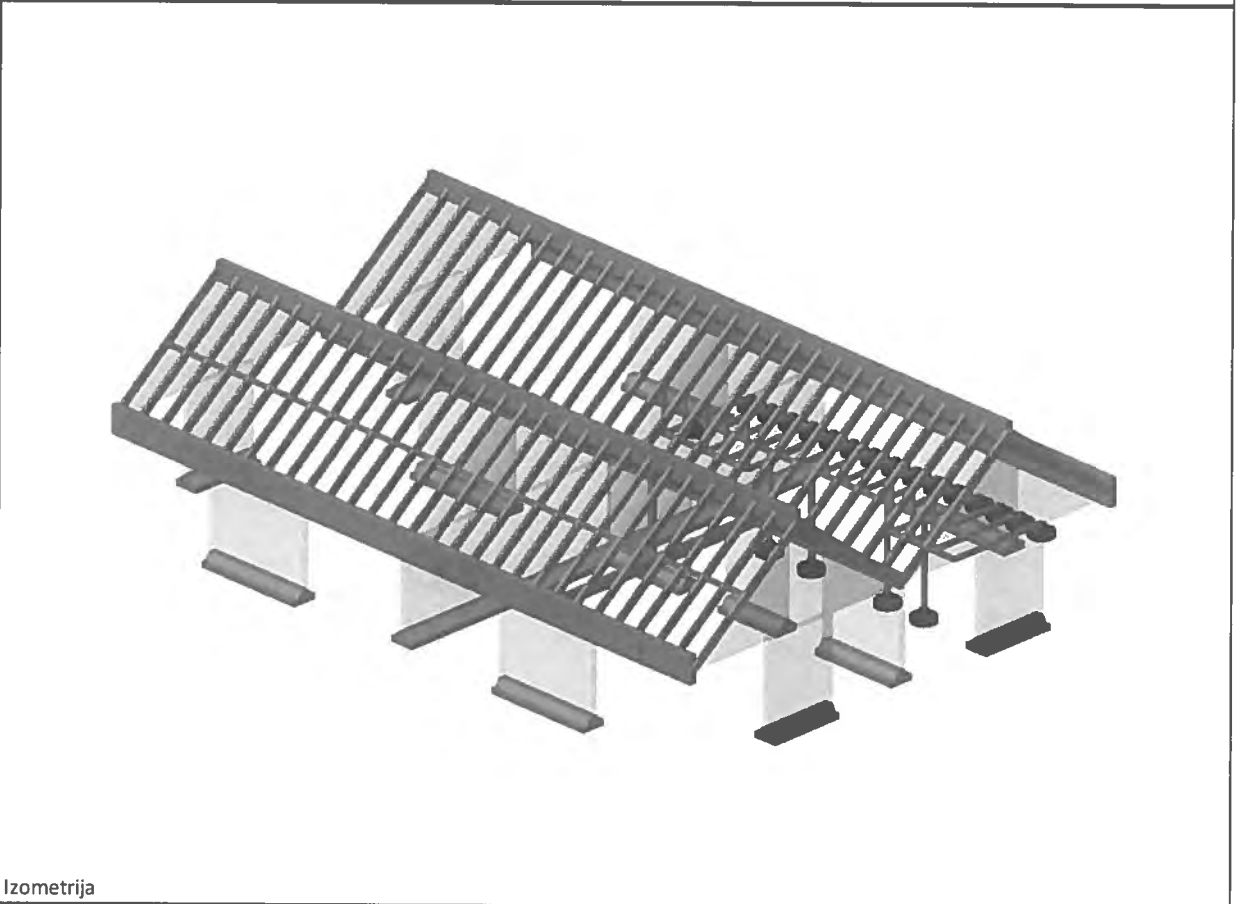


Pogled: streha 1

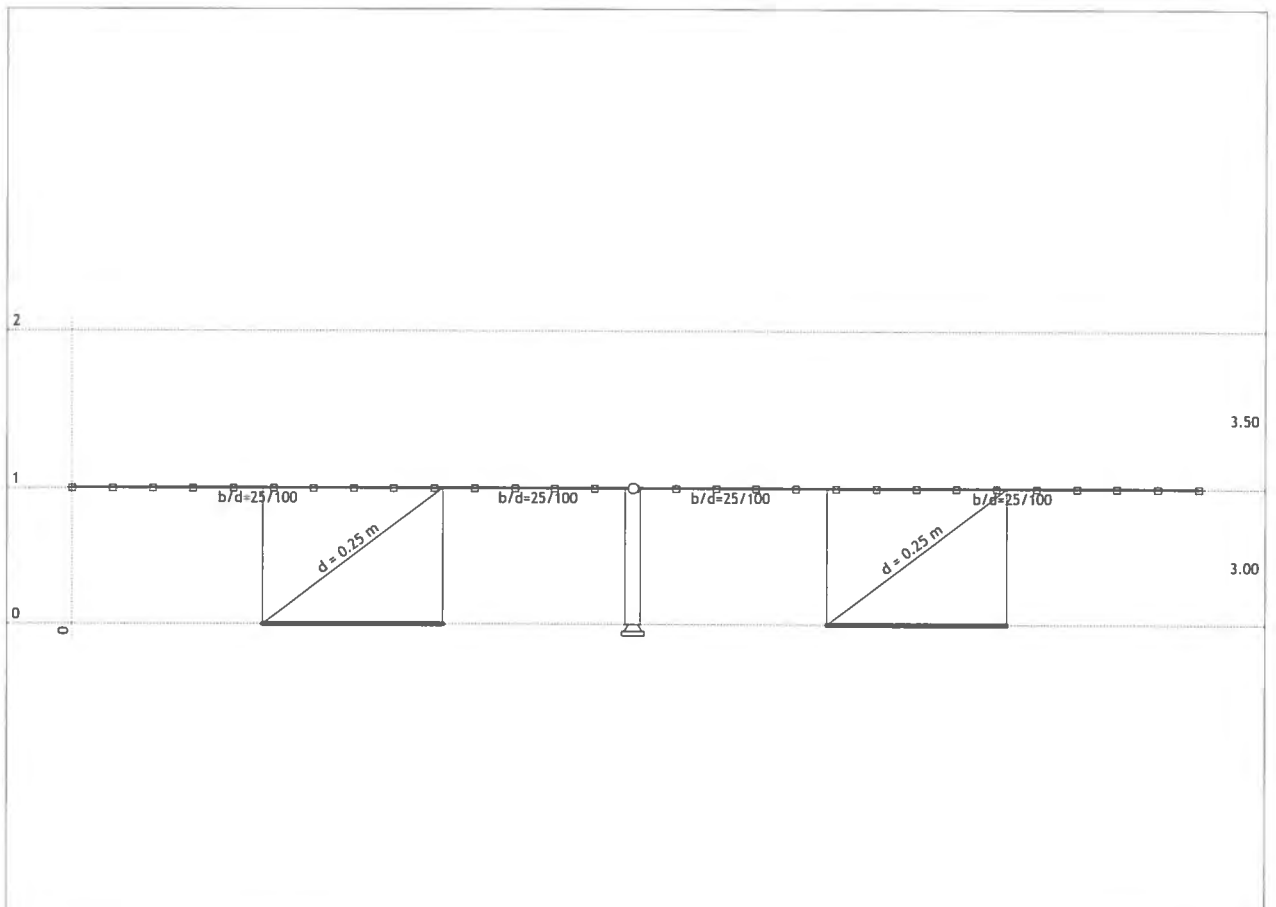
CS



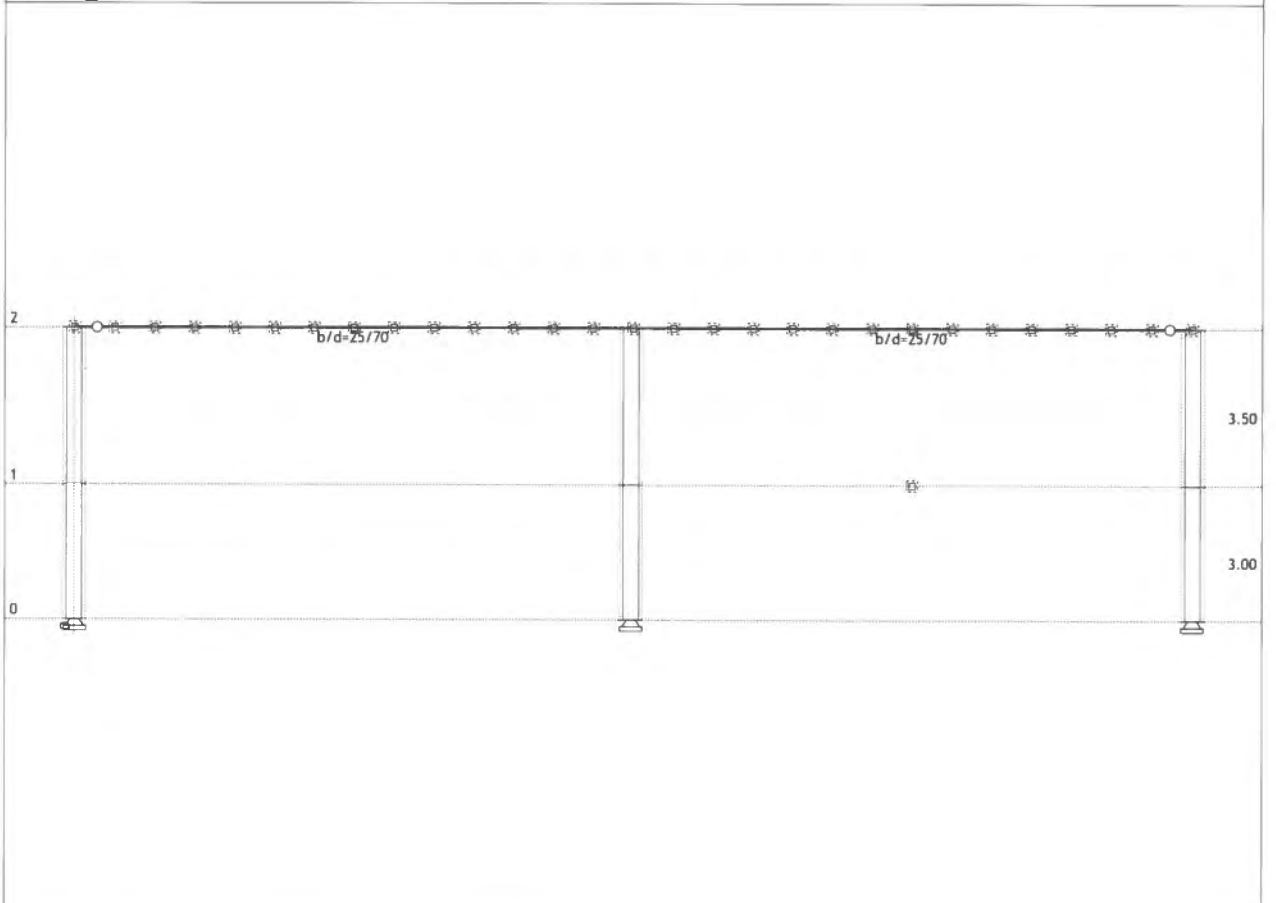
Dispozicija okvirjev



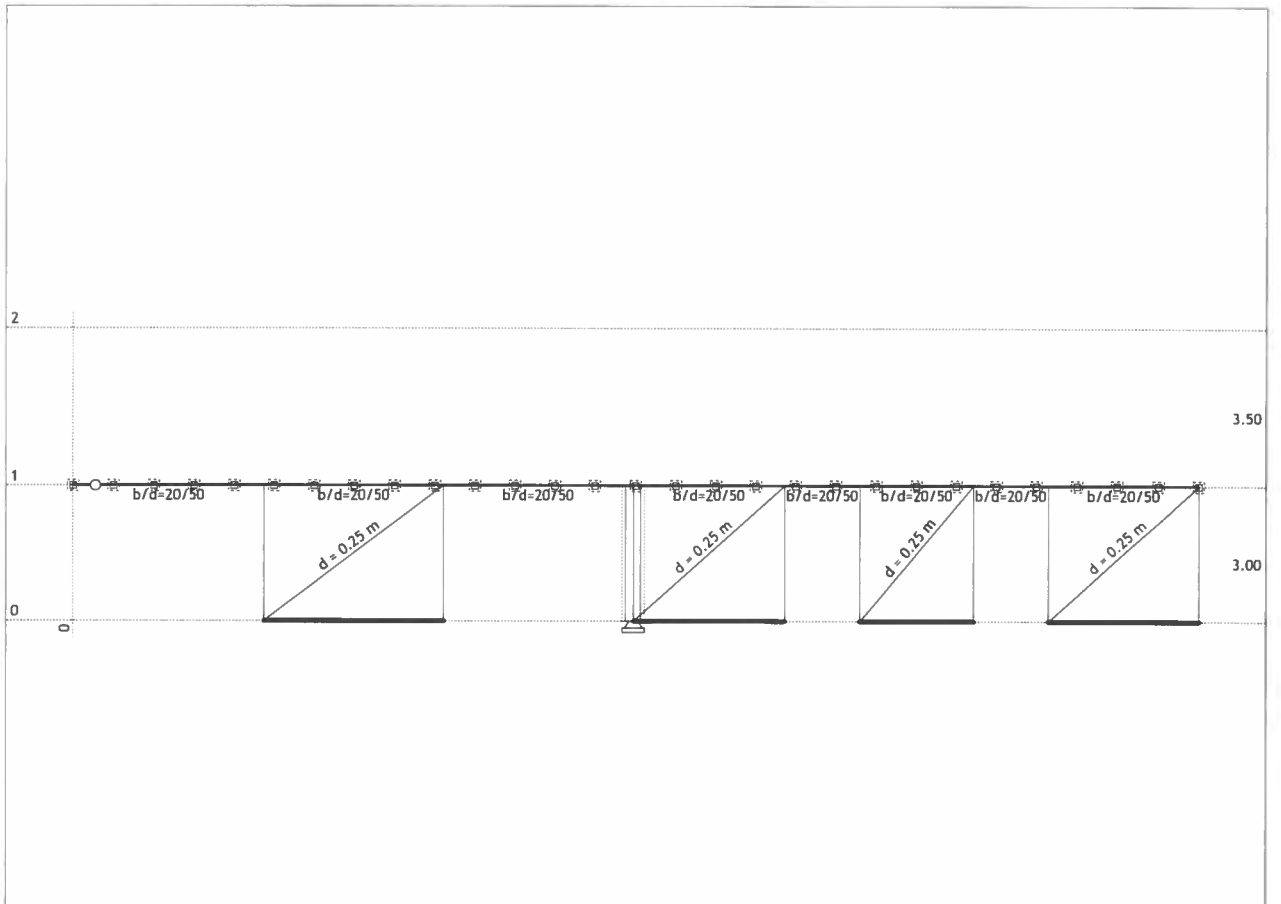
Izometrija



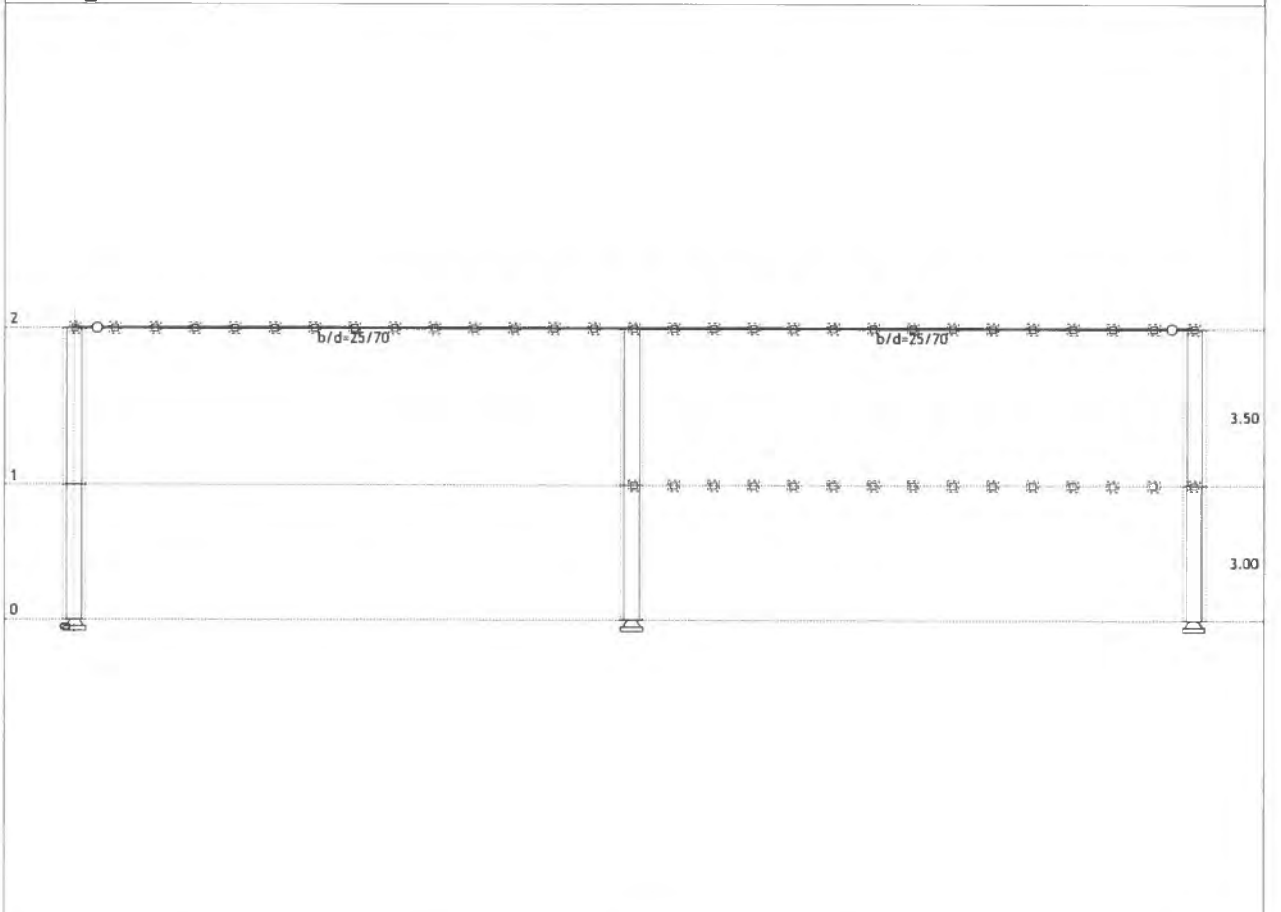
Okvir: H\_1



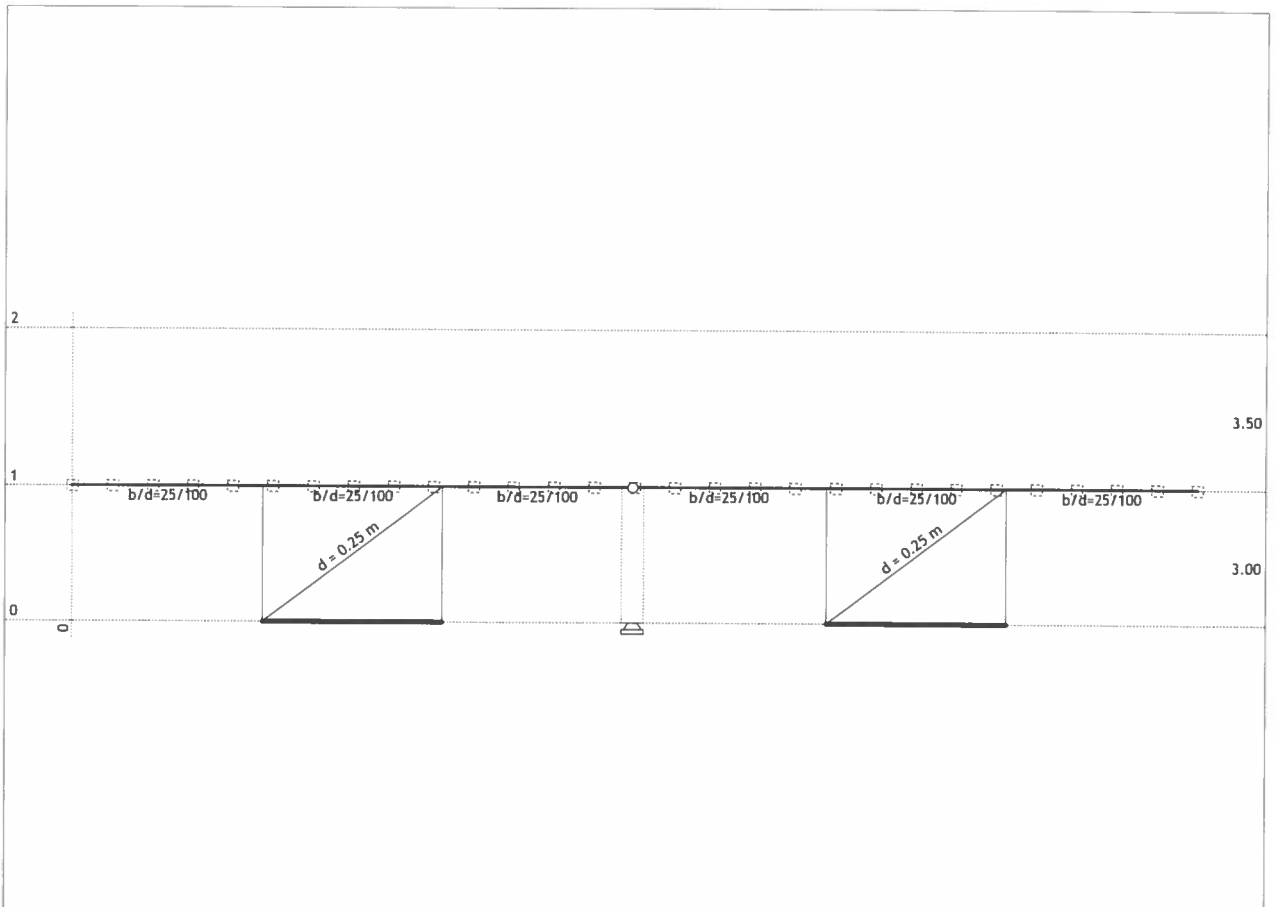
Okvir: H\_2



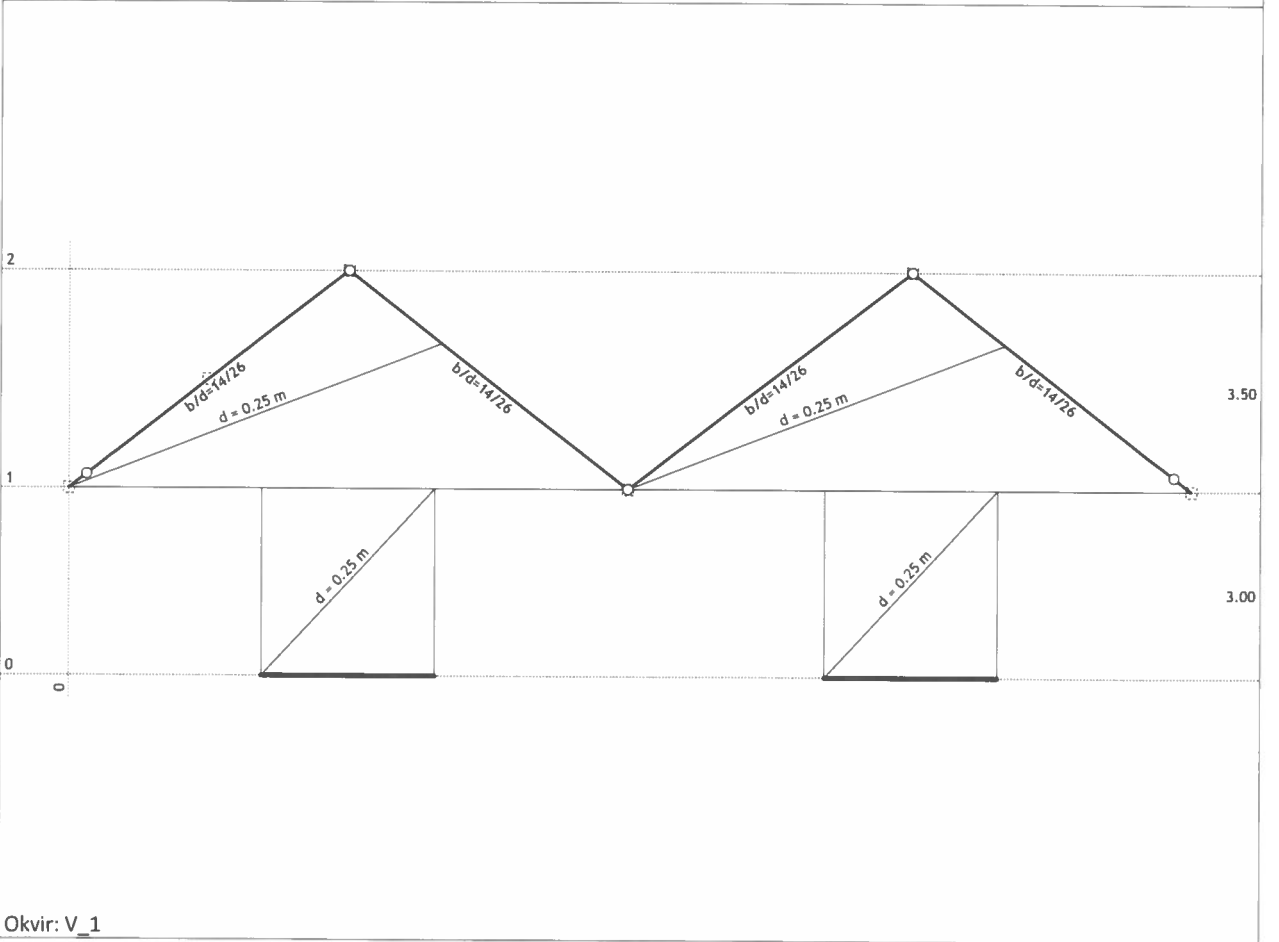
Okvir: H\_3



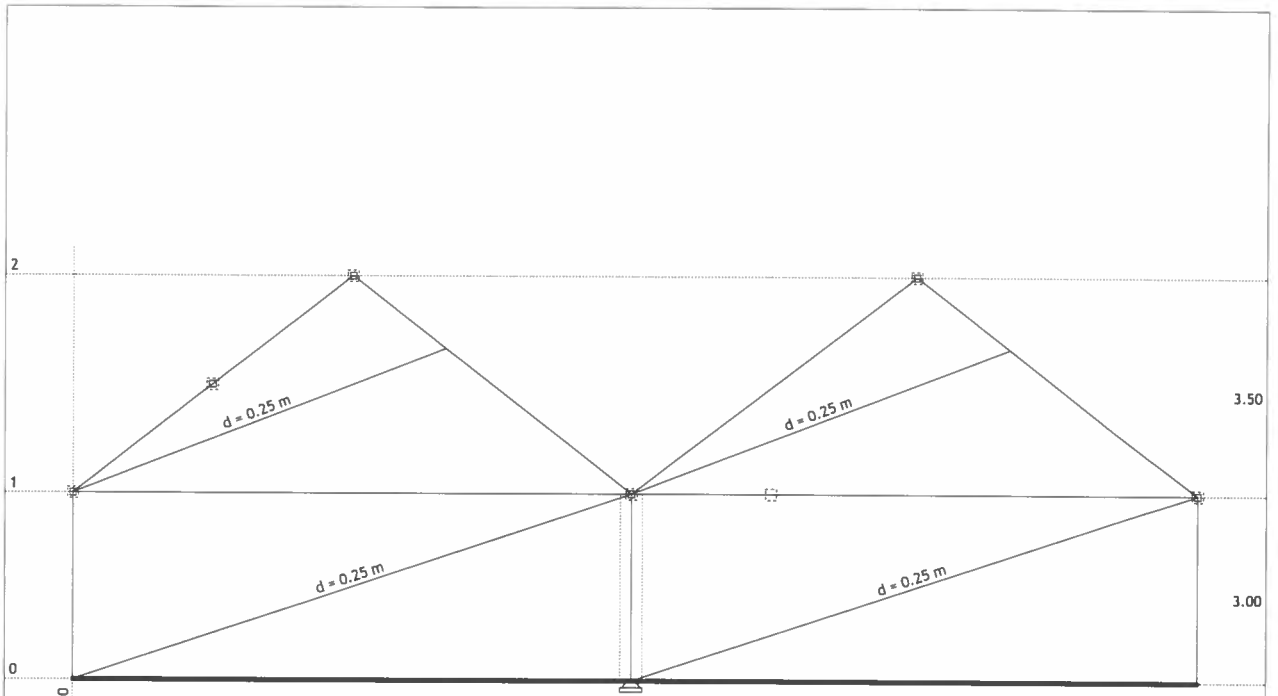
Okvir: H\_4



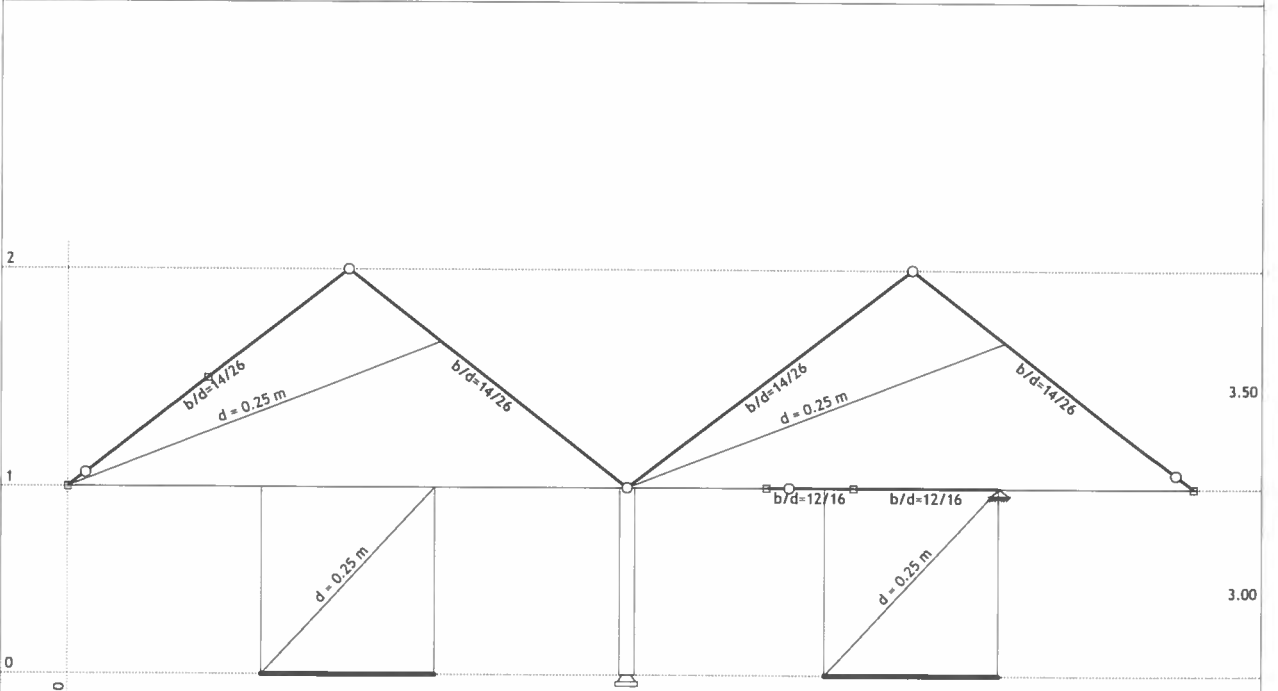
Okvir: H\_5



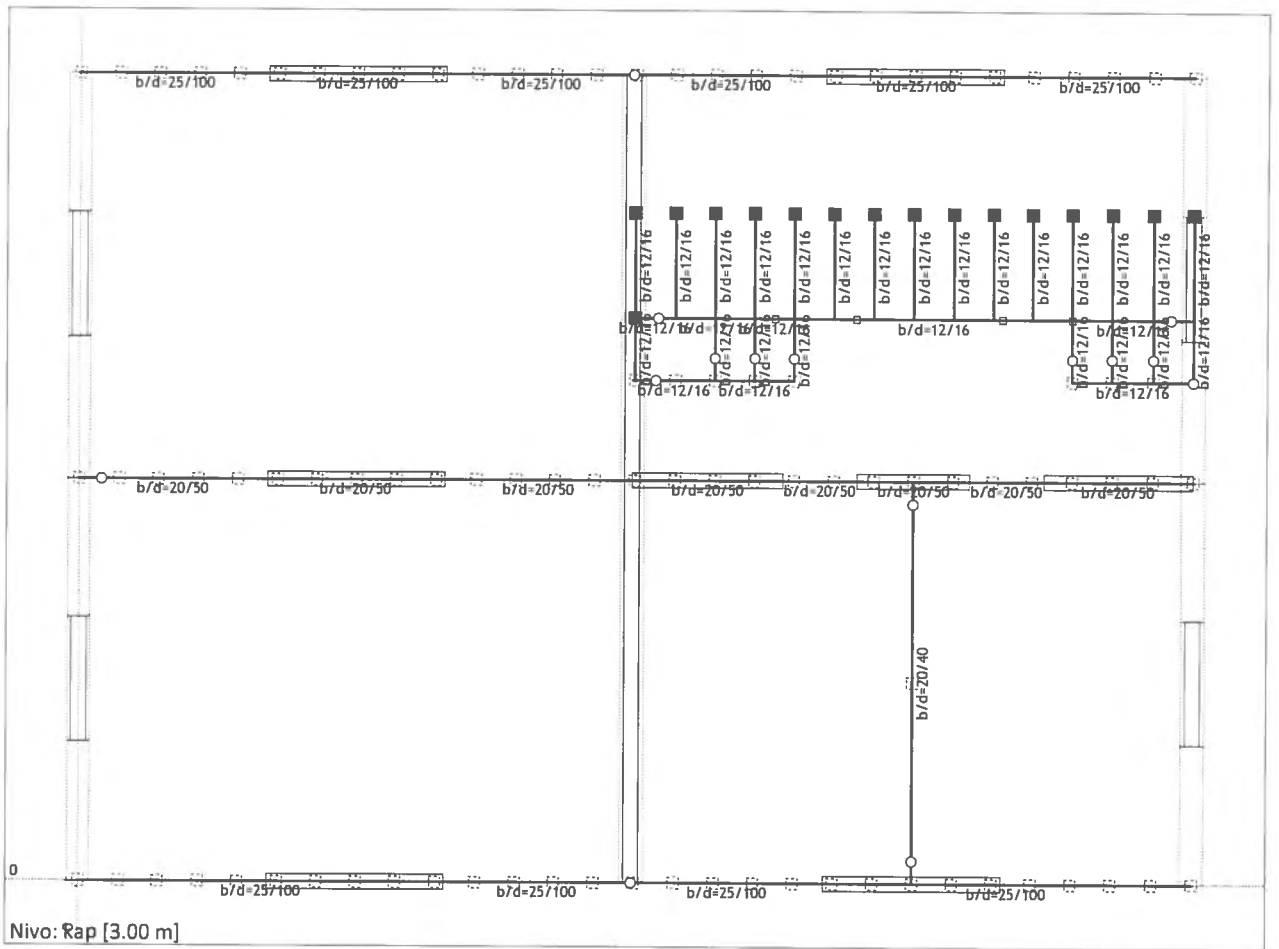
Okvir: V\_1



Okvir: V\_2



Okvir: V\_3

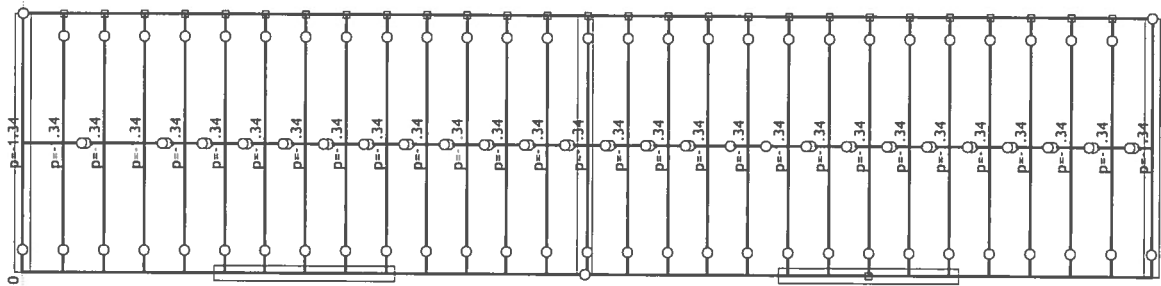


**Vhodni podatki - Obtežba**

*Lista obtežnih primerov*

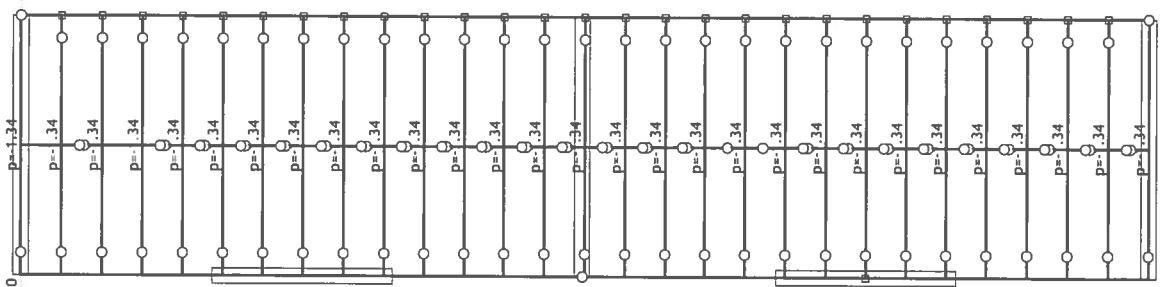
LC	Naziv	LC	Naziv
1	I.t. (g)	7	Komb.: I+III+IV
2	sneg	8	Komb.: I+III+V
3	koristna	9	Komb.: 1.35xI+1.5xII+1.5xIII
4	sneg v žloti	10	Komb.: 1.35xI+1.5xIII+1.5xIV
5	sneg povečan za 50%	11	Komb.: 1.35xI+1.5xIII+1.5xV
6	Komb.: I+II+III		

Obt. 2: sneg



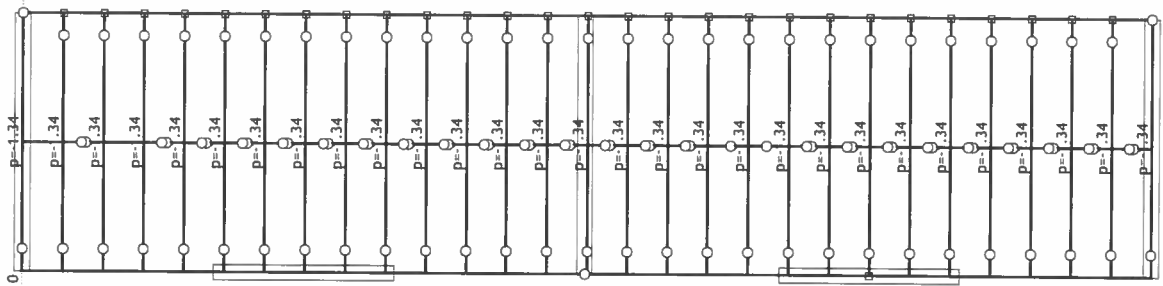
Pogled: streha 1

Obt. 4: sneg v žloti



Pogled: streha 1

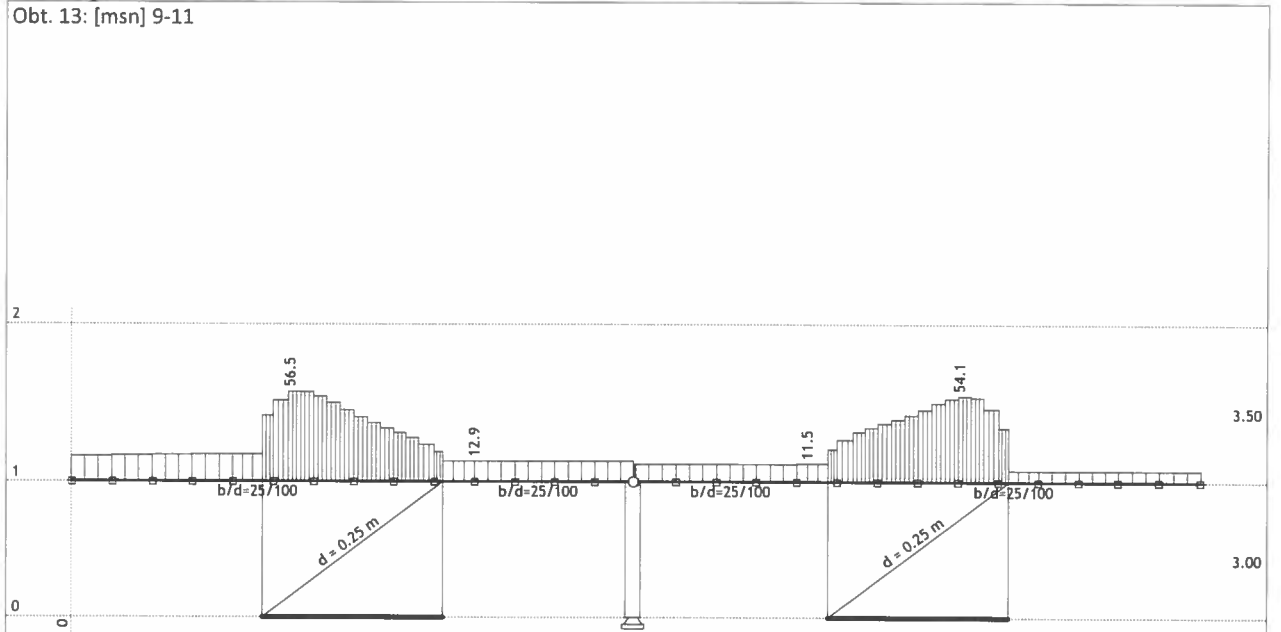
Obt. 5: sneg povečan za 50%



Pogled: streha 1

**Statični preračun**

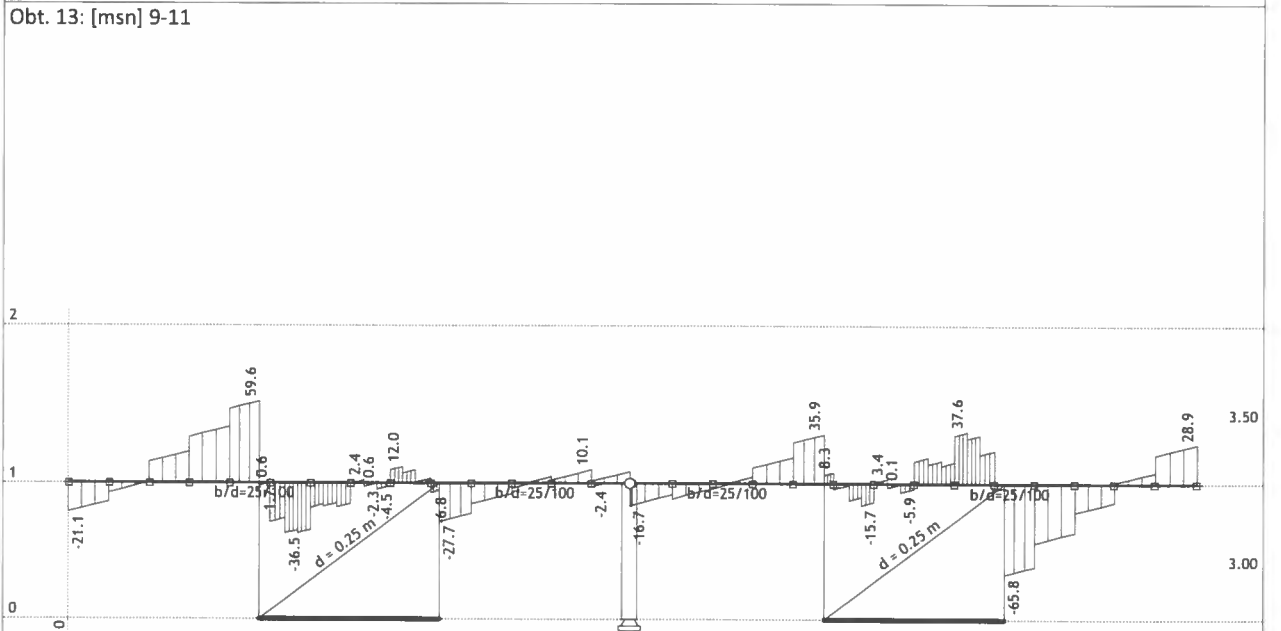
Obt. 13: [msn] 9-11



Okvir: H\_1

Vplivi v gredi: max N1= 56.5 / min N1= 6.3 kN

Obt. 13: [msn] 9-11

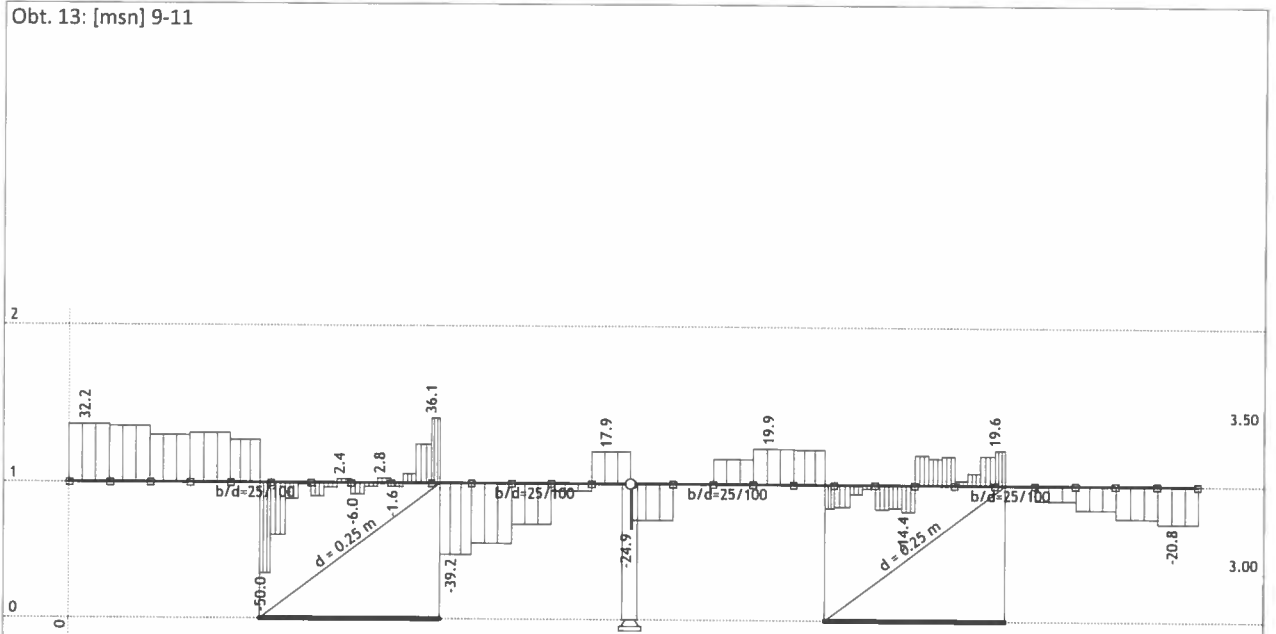


Okvir: H\_1

Vplivi v gredi: max T2= 59.6 / min T2= -65.8 kN

C14

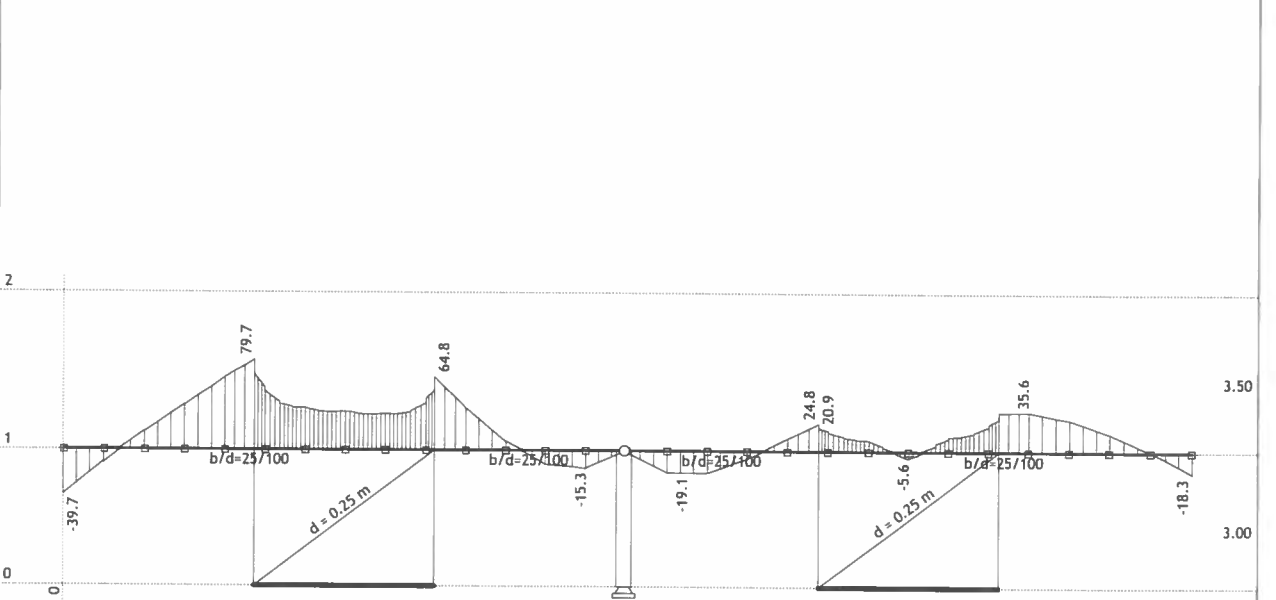
Obt. 13: [msn] 9-11



Okvir: H\_1

Vplivi v gredi: max T3= 36.1 / min T3= -50.0 kN

Obt. 13: [msn] 9-11

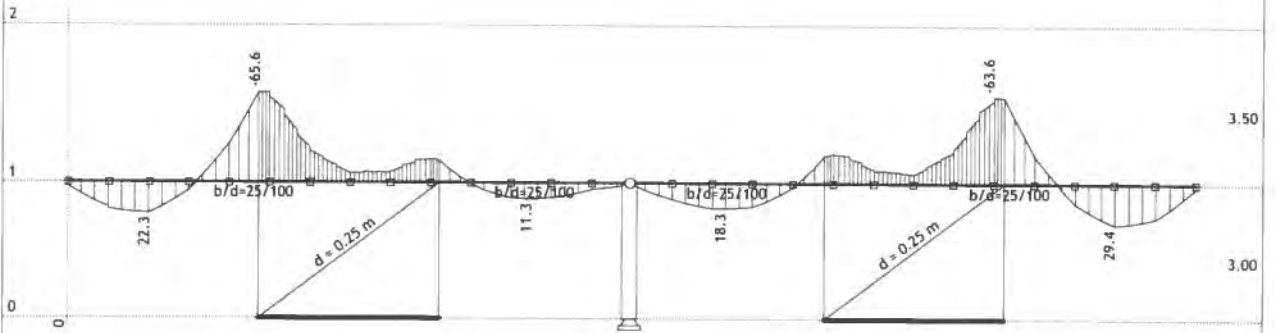


Okvir: H\_1

Vplivi v gredi: max M2= 79.7 / min M2= -39.7 kNm

CAS

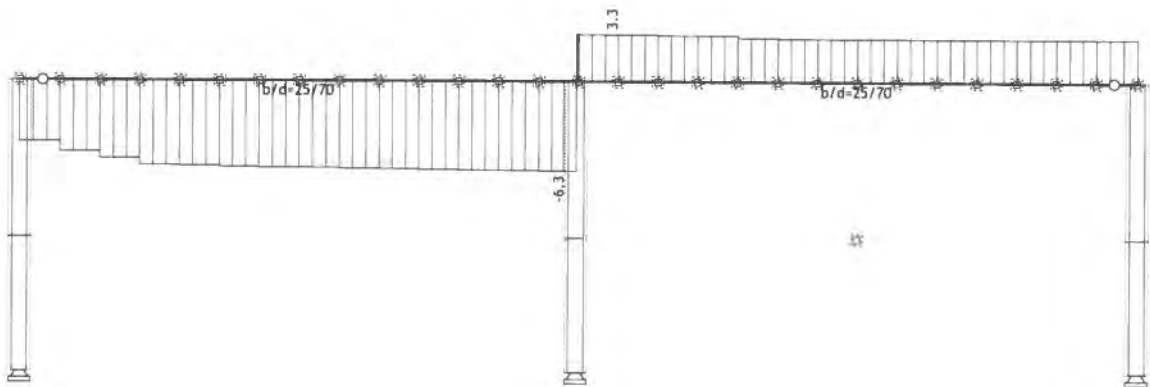
Obt. 13: [msn] 9-11



Okvir: H\_1

Vplivi v gredi: max  $M_3 = 29.4$  / min  $M_3 = -65.6 \text{ kNm}$

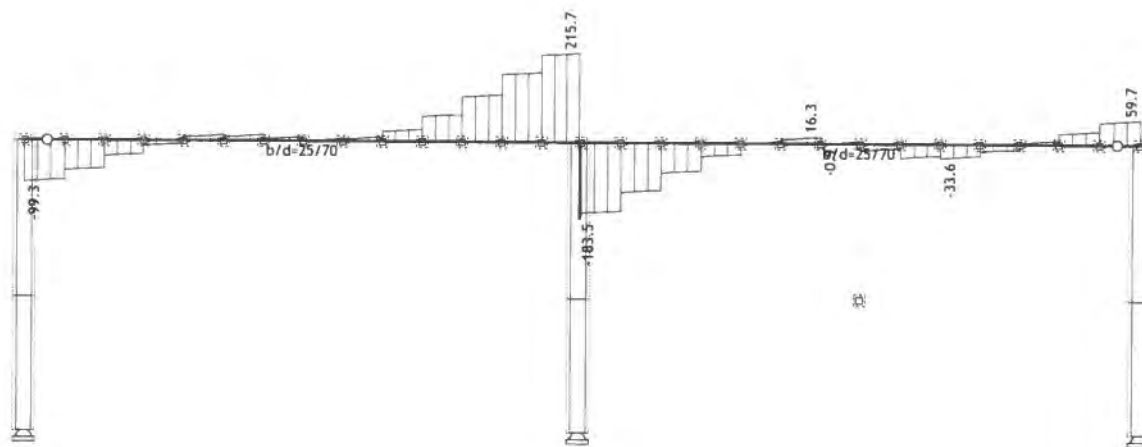
Obt. 13: [msn] 9-11



Okvir: H\_2

Vplivi v gredi: max  $N_1 = 3.3$  / min  $N_1 = -6.3 \text{ kN}$

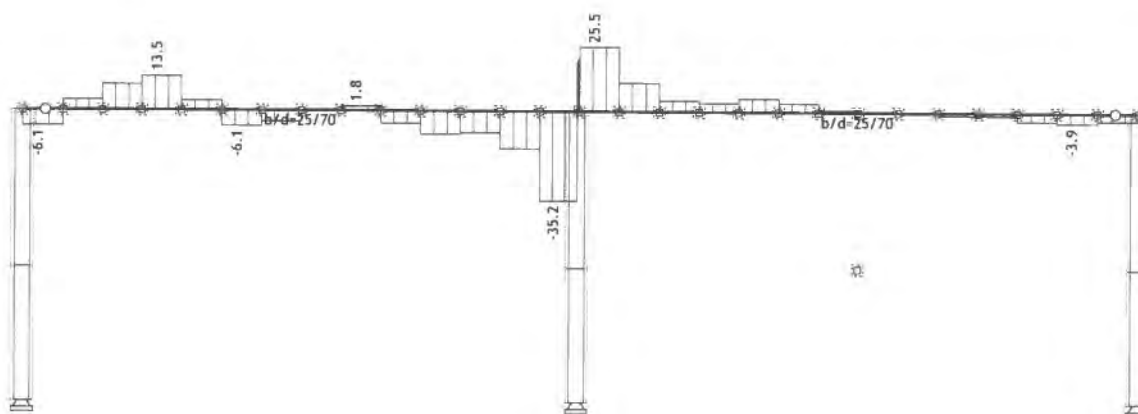
Obt. 13: [msn] 9-11



Okvir: H\_2

Vplivi v gredi: max T2= 215.7 / min T2= -183.5 kN

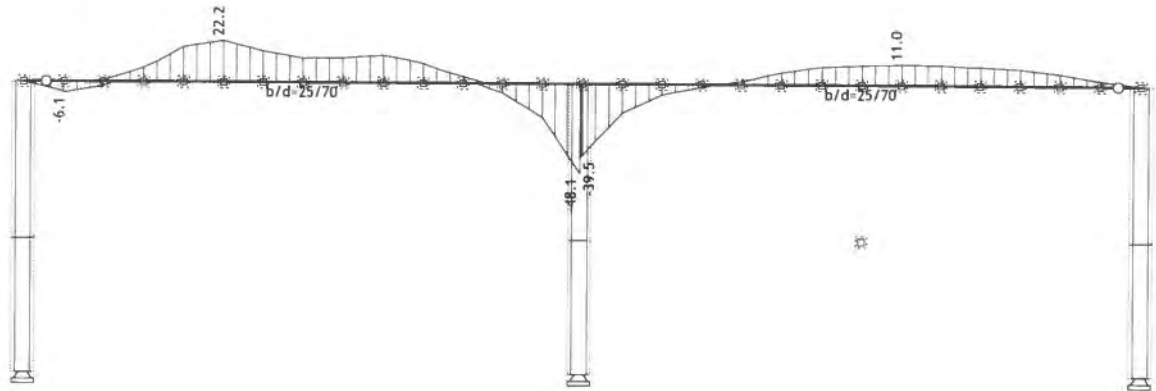
Obt. 13: [msn] 9-11



Okvir: H\_2

Vplivi v gredi: max T3= 25.5 / min T3= -35.2 kN

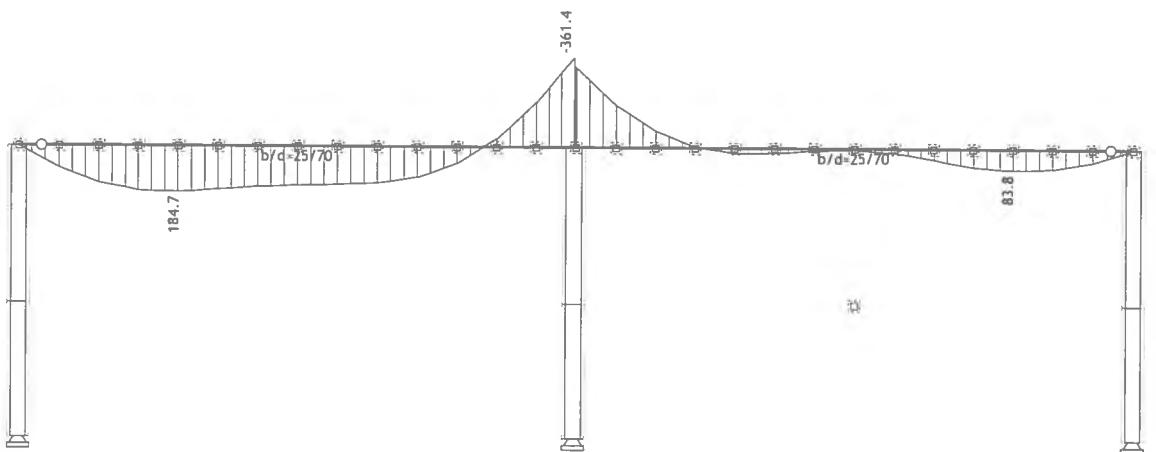
Obt. 13: [msn] 9-11



Okvir: H\_2

Vplivi v gredi: max  $M_2 = 22.2$  / min  $M_2 = -48.1$  kNm

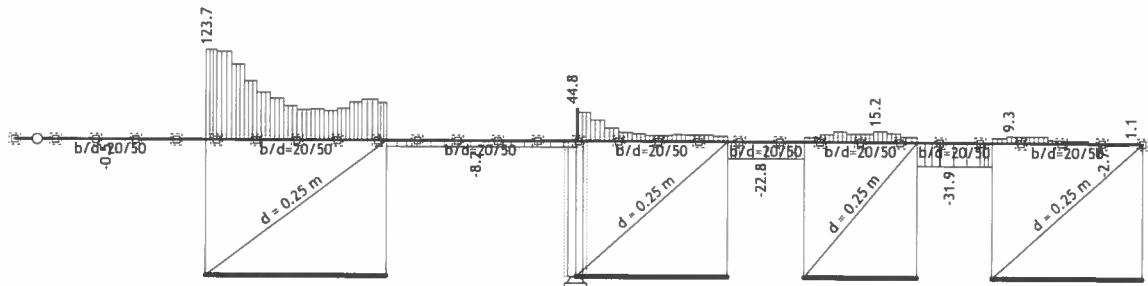
Obt. 13: [msn] 9-11



Okvir: H\_2

Vplivi v gredi: max  $M_3 = 184.7$  / min  $M_3 = -361.4$  kNm

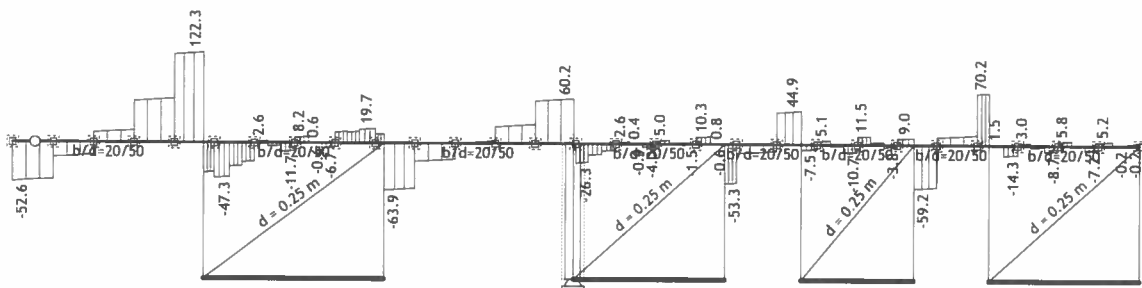
Obt. 13: [msn] 9-11



Okvir: H\_3

Vplivi v gredi: max N1= 123.7 / min N1= -31.9 kN

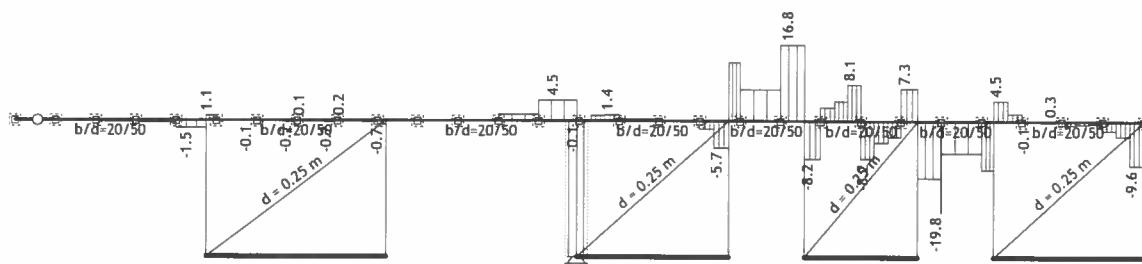
Obt. 13: [msn] 9-11



Okvir: H\_3

Vplivi v gredi: max T2= 122.3 / min T2= -63.9 kN

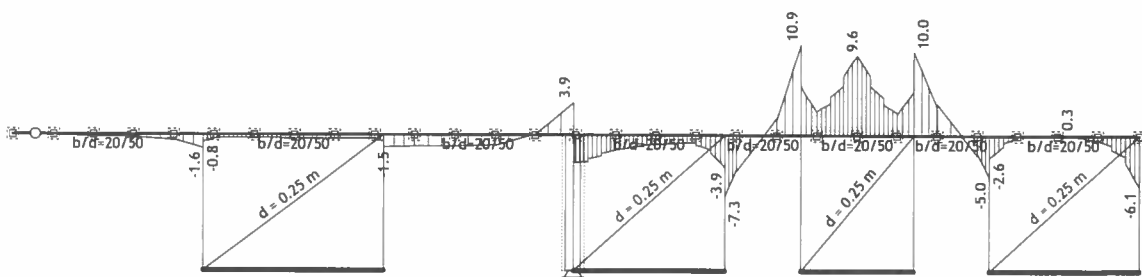
Obt. 13: [msn] 9-11



Okvir: H\_3

Vplivi v gredi: max T3= 16.8 / min T3= -19.8 kN

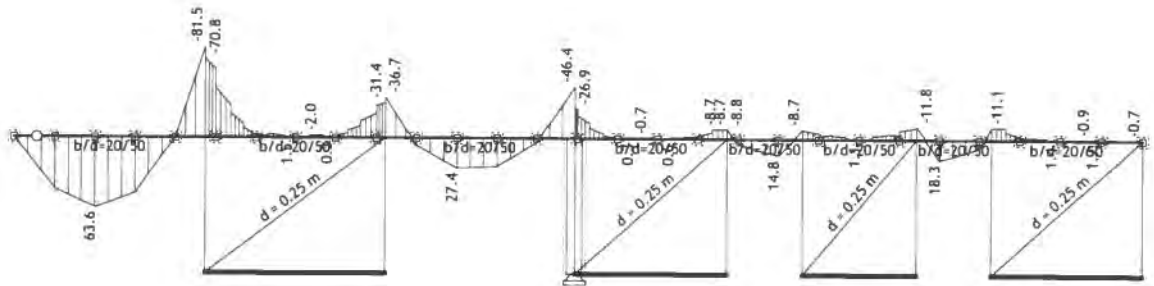
Obt. 13: [msn] 9-11



Okvir: H\_3

Vplivi v gredi: max M2= 10.9 / min M2= -7.3 kNm

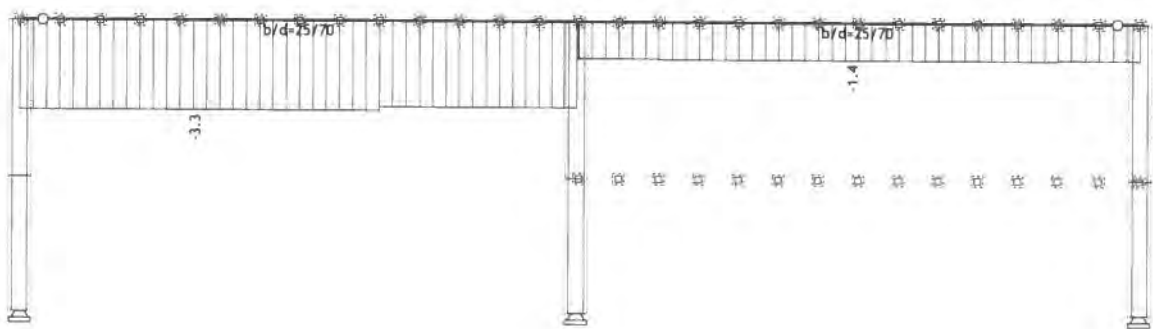
Obt. 13: [msn] 9-11



Okvir: H\_3

Vplivi v gredi: max M3= 63.6 / min M3= -81.5 kNm

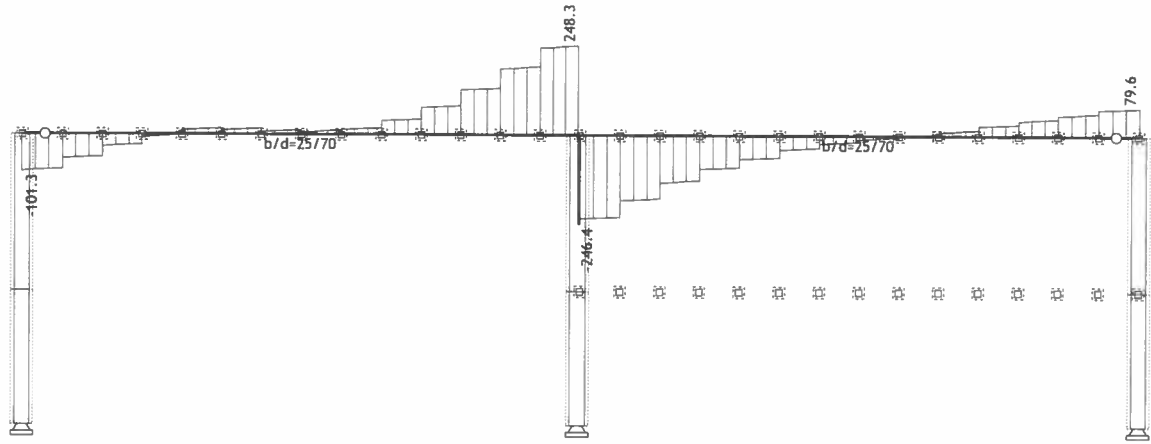
Obt. 13: [msn] 9-11



Okvir: H\_4

Vplivi v gredi: max N1= -1.3 / min N1= -3.3 kN

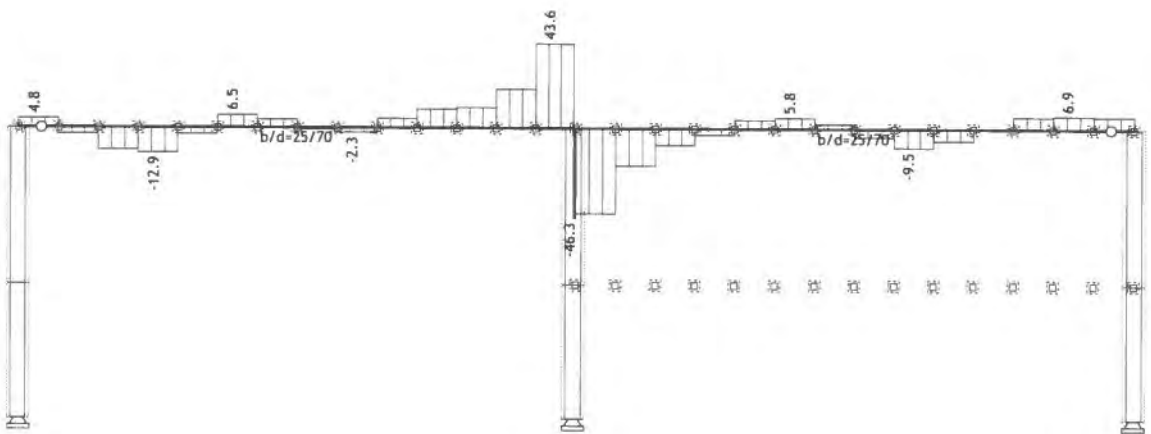
Obt. 13: [msn] 9-11



Okvir: H\_4

Vplivi v gredi: max T2= 248.3 / min T2= -246.4 kN

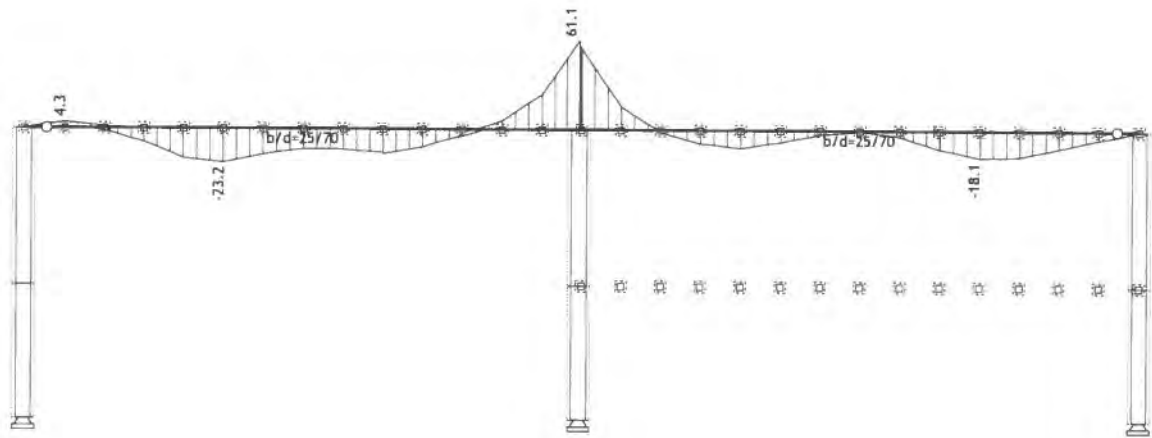
Obt. 13: [msn] 9-11



Okvir: H\_4

Vplivi v gredi: max T3= 43.6 / min T3= -46.3 kN

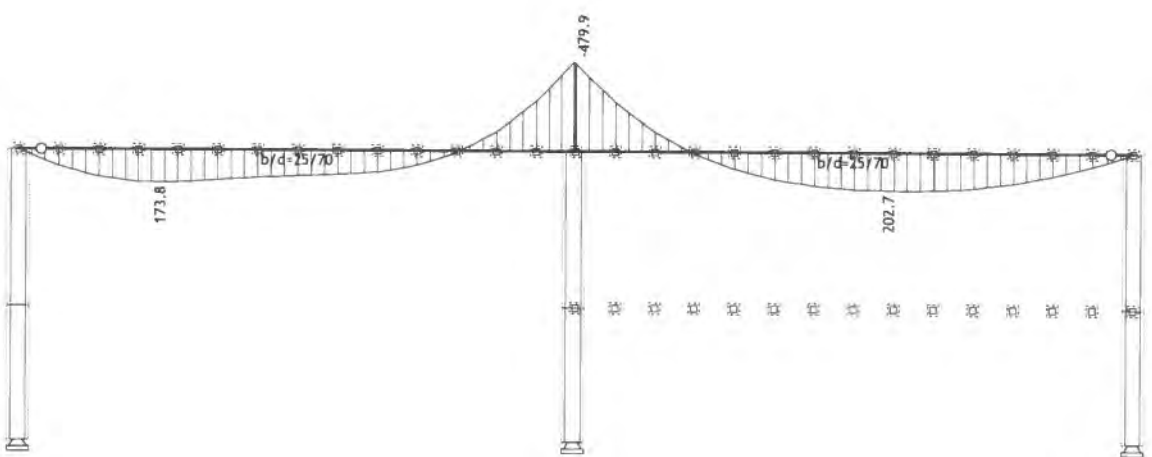
Obt. 13: [msn] 9-11



Okvir: H\_4

Vplivi v gredi: max  $M_2 = 61.1$  / min  $M_2 = -23.2$  kNm

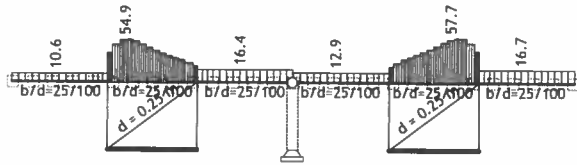
Obt. 13: [msn] 9-11



Okvir: H\_4

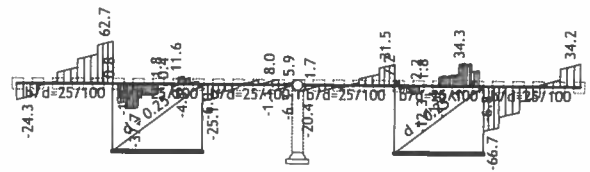
Vplivi v gredi: max  $M_3 = 202.7$  / min  $M_3 = -479.9$  kNm

Obt. 13: [msn] 9-11

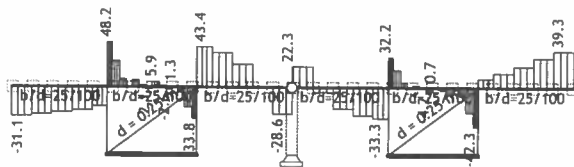


Okvir: H\_5  
 Vplivi v gredi: max N1= 57.7 / min N1= 9.1 kN  
 Obt. 13: [msn] 9-11

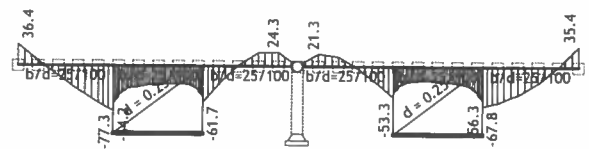
Obt. 13: [msn] 9-11



Okvir: H\_5  
 Vplivi v gredi: max T2= 62.7 / min T2= -66.7 kN  
 Obt. 13: [msn] 9-11

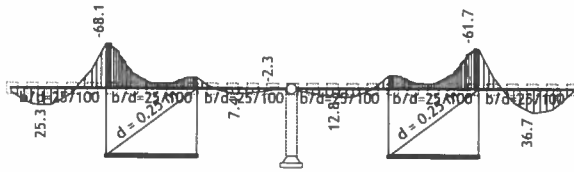


Okvir: H\_5  
 Vplivi v gredi: max T3= 48.2 / min T3= -42.3 kN



Okvir: H\_5  
 Vplivi v gredi: max M2= 36.4 / min M2= -77.3 kNm

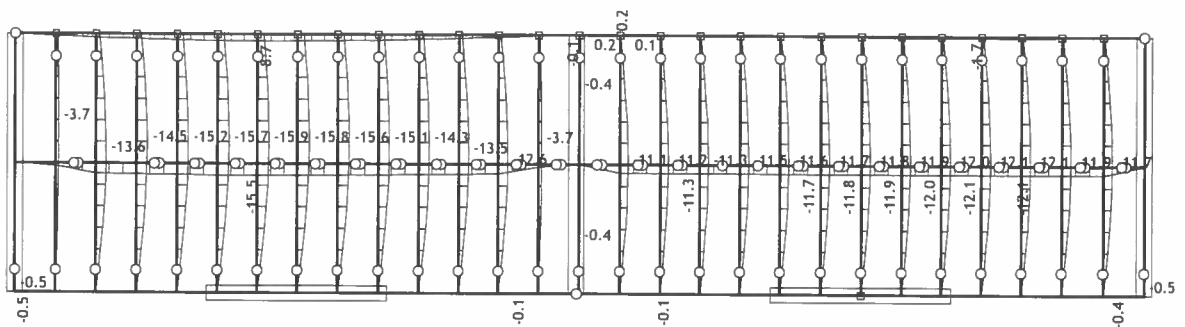
Obt. 13: [msn] 9-11



Okvir: H\_5

Vplivi v gredi: max M3= 36.7 / min M3= -68.1 kNm

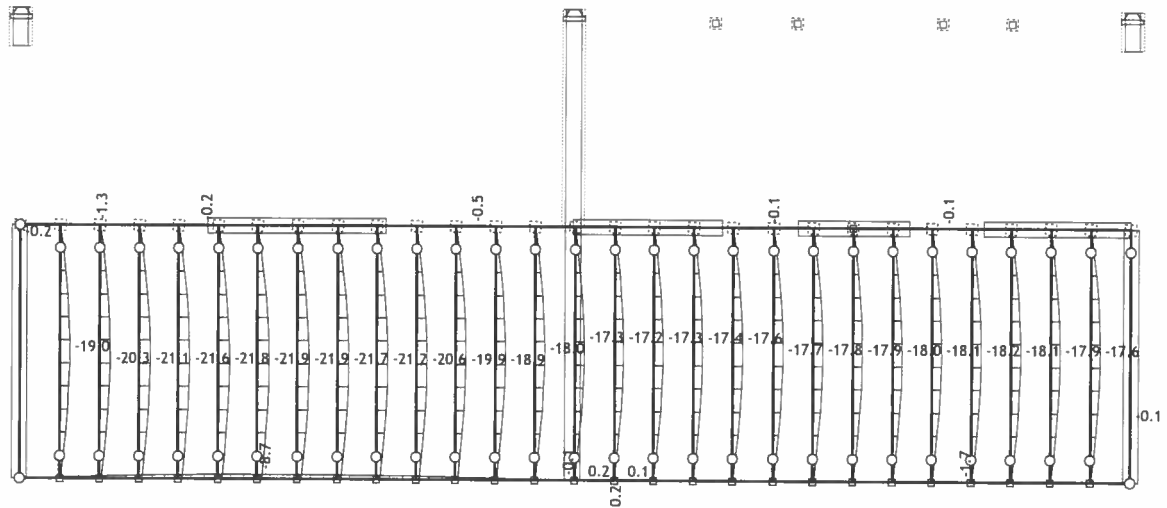
Obt. 12: [msu] 6-8



Pogled: streha 1

Vplivi v gredi: max Zp= 0.2 / min Zp= -15.9 m / 1000

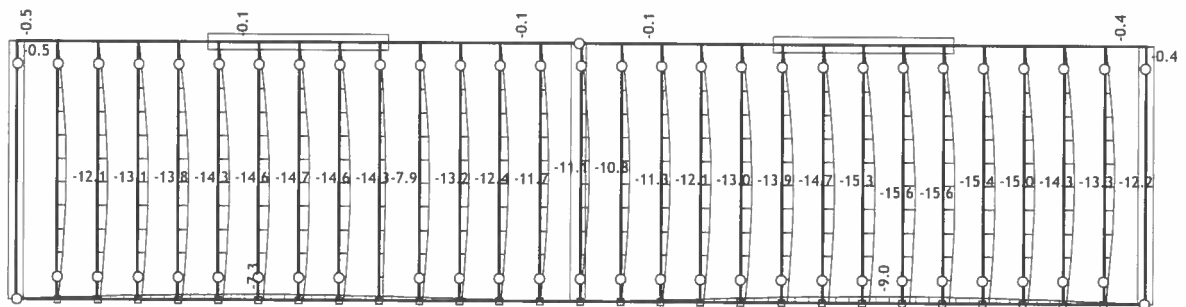
Obt. 12: [msu] 6-8



Pogled: streha 2

Vplivi v gredi: max  $Z_p = 0.2$  / min  $Z_p = -21.9$  m / 1000

Obt. 12: [msu] 6-8



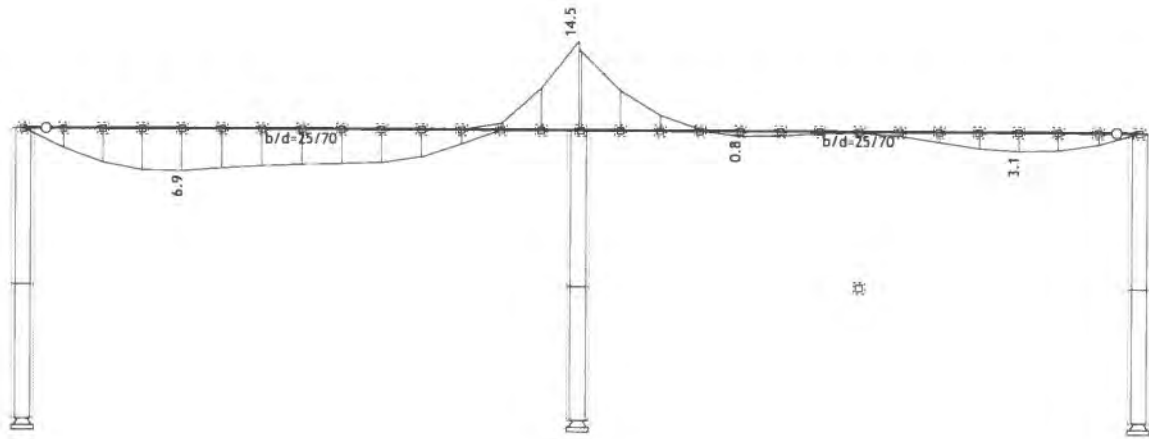
Pogled: streha 3

Vplivi v gredi: max  $Z_p = -0.0$  / min  $Z_p = -15.7$  m / 1000

**Dimenzioniranje (beton)**

Merodajna obtežba: 9-11

EC 2 (EN 1992-1-1:2004), C 25, S500H

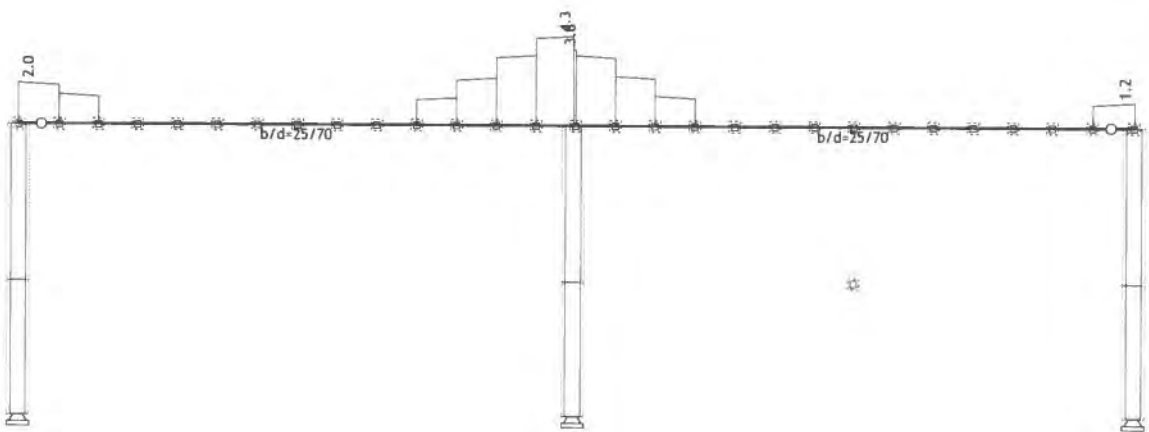


Okvir: H\_2

Armatura v gredah: max  $A_{a2}/A_{a1} = 14.5 / 6.9 \text{ cm}^2$

Merodajna obtežba: 9-11

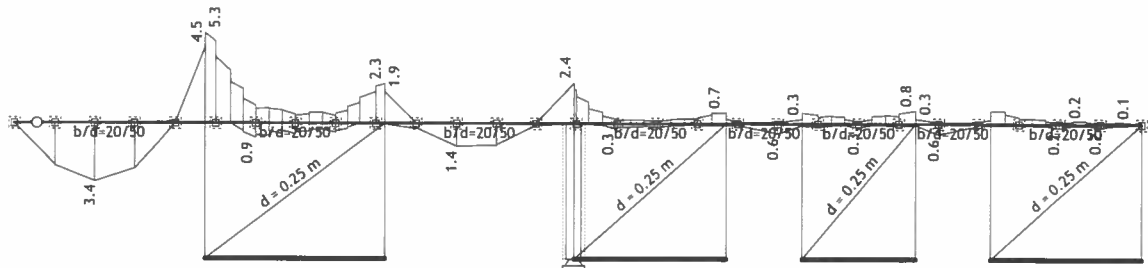
EC 2 (EN 1992-1-1:2004), C 25, S500H



Okvir: H\_2

Armatura v gredah: max  $A_{a, st} = 4.3 \text{ cm}^2$

Merodajna obtežba: 9-11  
 EC 2 (EN 1992-1-1:2004), C 25, S500H

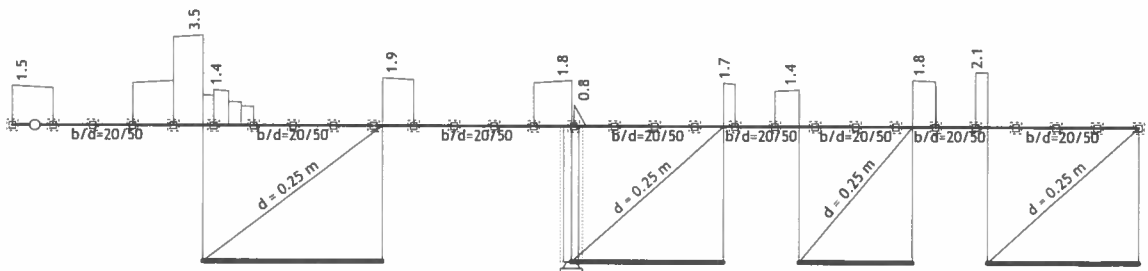


Okvir: H\_3

Armatura v gredah: max  $A_{a2}/A_{a1} = 5.3 / 3.4 \text{ cm}^2$

Merodajna obtežba: 9-11

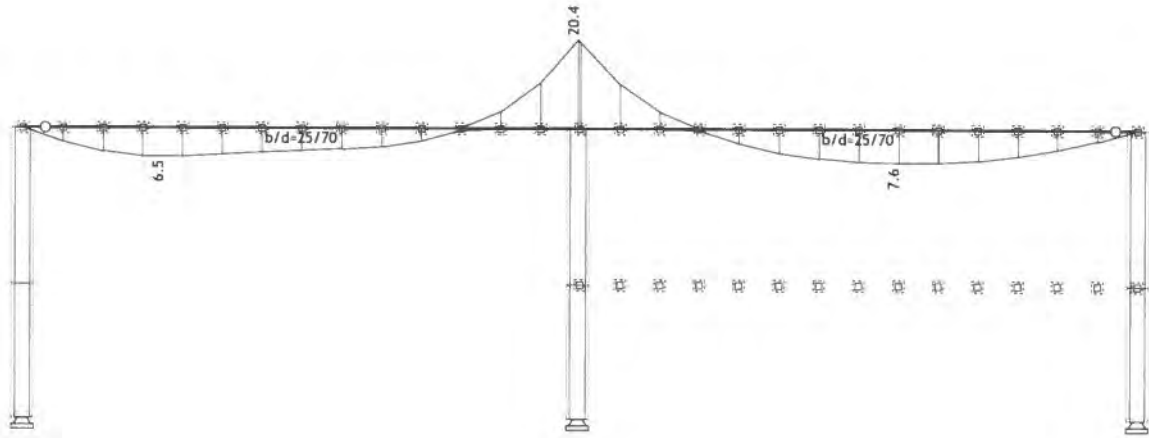
EC 2 (EN 1992-1-1:2004), C 25, S500H



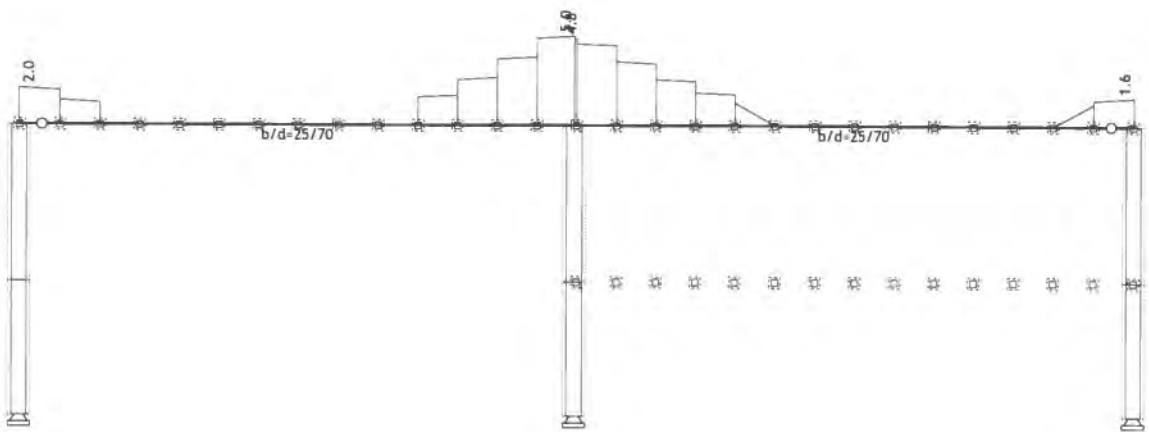
Okvir: H\_3

Armatura v gredah: max  $A_{a,st} = 3.5 \text{ cm}^2$

Merodajna obtežba: 9-11  
 EC 2 (EN 1992-1-1:2004), C 25, S500H

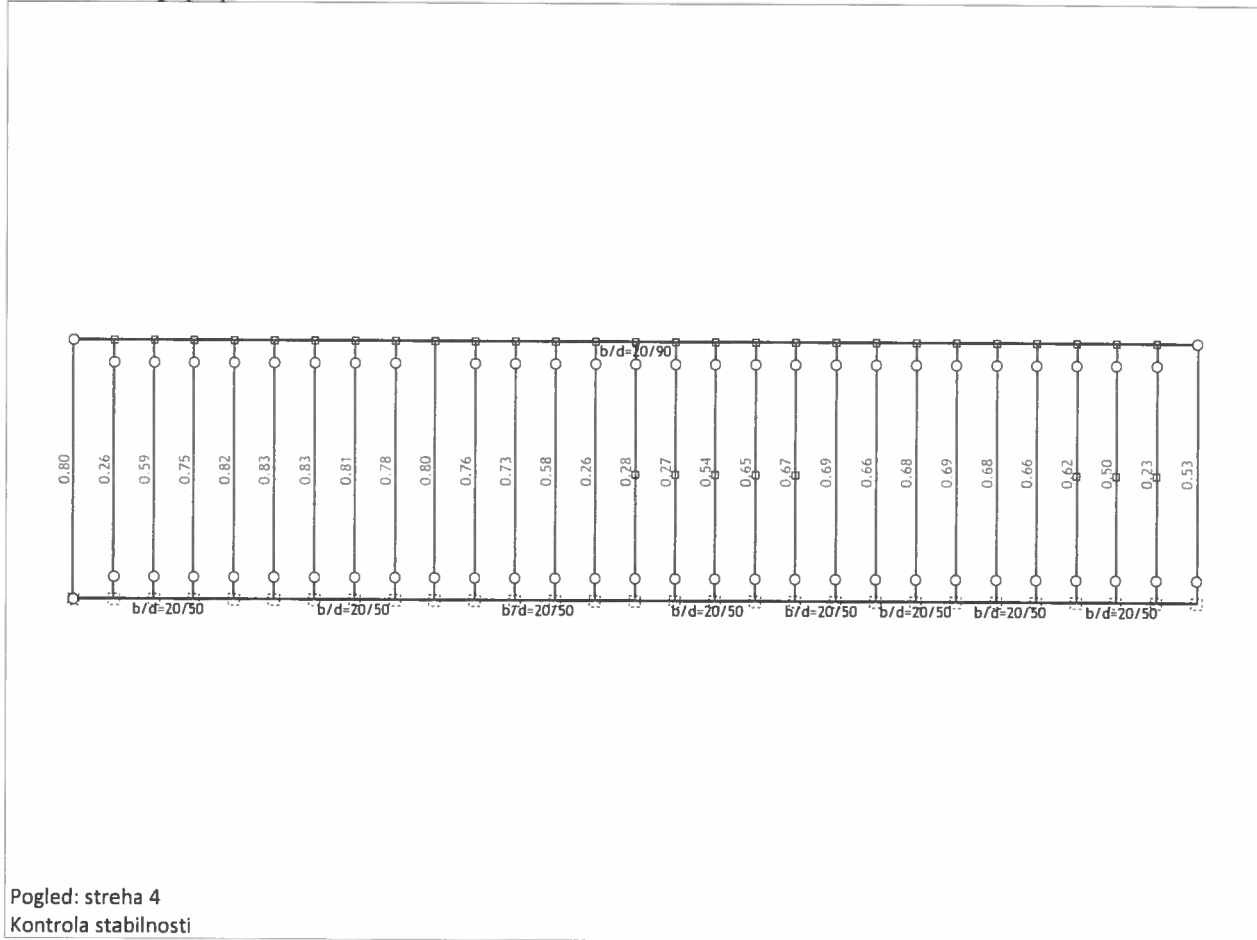


Okvir: H\_4  
 Armatura v gredah: max  $A_{a2}/A_{a1} = 20.4 / 7.6 \text{ cm}^2$   
 Merodajna obtežba: 9-11  
 EC 2 (EN 1992-1-1:2004), C 25, S500H



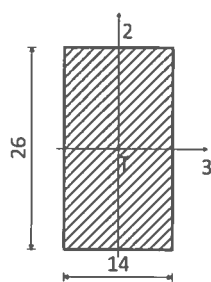
Okvir: H\_4  
 Armatura v gredah: max  $A_{a,st} = 5.0 \text{ cm}^2$

**Dimenzioniranje (les)**



**PALICA 5169-1912**

Monoliten les - iglavci in mehki listavci - C24  
 Eksploatacijski razred 1  
 EUROCODE



[cm]

**FAKTORJI IZKORIŠČENOSTI PO KOMBINACIJAH OBTEŽB**

15. $\gamma=0.83$	14. $\gamma=0.67$	12. $\gamma=0.57$
13. $\gamma=0.49$	11. $\gamma=0.47$	10. $\gamma=0.35$
32. $\gamma=0.23$	36. $\gamma=0.23$	40. $\gamma=0.23$
44. $\gamma=0.23$	34. $\gamma=0.23$	38. $\gamma=0.23$
43. $\gamma=0.23$	46. $\gamma=0.23$	42. $\gamma=0.23$
47. $\gamma=0.22$	35. $\gamma=0.22$	20. $\gamma=0.22$
39. $\gamma=0.22$	45. $\gamma=0.22$	27. $\gamma=0.22$
16. $\gamma=0.22$	24. $\gamma=0.22$	41. $\gamma=0.22$
19. $\gamma=0.22$	28. $\gamma=0.22$	31. $\gamma=0.22$
23. $\gamma=0.21$	37. $\gamma=0.21$	33. $\gamma=0.21$
18. $\gamma=0.21$	30. $\gamma=0.20$	22. $\gamma=0.20$
26. $\gamma=0.20$	25. $\gamma=0.20$	17. $\gamma=0.20$
29. $\gamma=0.20$	21. $\gamma=0.20$	

## KONTROLA NORMALNIH NAPETOSTI

(obtežni primer 15, na 295.6 cm od začetka palice)

Računska osna sila	N = -1.033 kN
Prečna sila v smeri osi 2	T2 = -0.098 kN
Prečna sila v smeri osi 3	T3 = 0.196 kN
Upogibni moment okoli osi 2	M2 = 0.000 kNm
Upogibni moment okoli osi 3	M3 = -10.468 kNm

## KONTROLA NAPETOSTI - TLAK IN UPOGIB

Vrsta obtežbe: osnovno - srednjetrojno

Korekcijski koeficient	Kmod = 0.800
Parcialni koef. za karakteristike materiala	$\gamma_m = 1.300$
Dodatek za elemente z malimi dimenzijami - os 2	Kh_2 = 1.014
Dodatek za elemente z malimi dimenzijami - os 3	Kh_3 = 1.000
Faktor oblik (za pravokotni prerez)	km = 0.700
Karakteristična tlačna trdnost	fc,0,k = 21.000 MPa
Računska tlačna trdnost	fc,0,d = 12.923 MPa
Karakteristična upogibna trdnost	fm,k = 24.000 MPa
Računska upogibna trdnost - os 2	fm,2,d = 14.974 MPa
Računska upogibna trdnost - os 3	fm,3,d = 14.769 MPa
Relativna vitkost	$\lambda_{rel,2} = 2.419$
Relativna vitkost	$\lambda_{rel,3} = 2.419$
Normalne tlačne napetosti	$\sigma_{c,0,d} = 0.028$ MPa
Odpornostni moment	W3 = 1577.3 cm <sup>3</sup>
Normalna upogibna napetost okoli osi 3	$\sigma_{m3,d} = 6.636$ MPa

$$\sigma_{m3,d} \leq f_{m3,d} \quad (6.636 \leq 14.769)$$

Izkoriščenost prereza je 44.9%

## TLAK IN UPOGIB - VELIKA VITKOST

Začetna imperfekcija	$\beta_c = 0.200$
Koeficient	k3 = 1.448
Koeficient	k2 = 3.636
Koeficient	kc,3 = 0.480
Koeficient	kc,2 = 0.157

$$(\sigma_{c,0,d} / (k_{c,2} \times f_{c,0,d})) + k_m \times (\sigma_{m3,d} / f_{m3,d}) + \sigma_{m2,d} / f_{m2,d} \leq 1 \quad (0.328 \leq 1)$$

Izkoriščenost prereza je 32.8%

$$(\sigma_{c,0,d} / (k_{c,3} \times f_{c,0,d})) + \sigma_{m3,d} / f_{m3,d} + k_m \times (\sigma_{m2,d} / f_{m2,d}) \leq 1 \quad (0.454 \leq 1)$$

Izkoriščenost prereza je 45.4%

## KONTROLA STRIŽNIH NAPETOSTI

(obtežni primer 15, na 550.3 cm od začetka palice)

Prečna sila v smeri osi 2	T2 = -30.893 kN
Prečna sila v smeri osi 3	T3 = 0.180 kN

## KONTROLA NAPETOSTI - STRIG

Vrsta obtežbe: osnovno - srednjetrojno

Korekcijski koeficient	Kmod = 0.800
Parcialni koef. za karakteristike materiala	$\gamma_m = 1.300$
Karakteristična strižna napetost	fv,k = 2.500 MPa
Računska strižna trdnost	fv,d = 1.538 MPa
Površina prečnega prereza	A = 364.00 cm <sup>2</sup>
Dejanska strižna napetost (os 2)	$\tau_{2,d} = 1.273$ MPa
Dejanska strižna napetost (os 3)	$\tau_{3,d} = 0.007$ MPa
Superpozicija vplivov prečne sile	
(2)	$\tau_{2,d} / f_{v,d} = 0.827$
(3)	$\tau_{3,d} / f_{v,d} = 0.005$

$$(2)^2 + (3)^2 \leq 1 \quad (0.689 \leq 1)$$

Izkoriščenost prereza je 68.9%

#### DOKAZ STABILNOSTI ELEMENTA

(obtežni primer 15, na 295.6 cm od začetka palice)

Računska osna sila	N = -0.193 kN
Prečna sila v smeri osi 2	T2 = -0.244 kN
Prečna sila v smeri osi 3	T3 = 0.211 kN
Upogibni moment okoli osi 2	M2 = 0.000 kNm
Upogibni moment okoli osi 3	M3 = -10.471 kNm

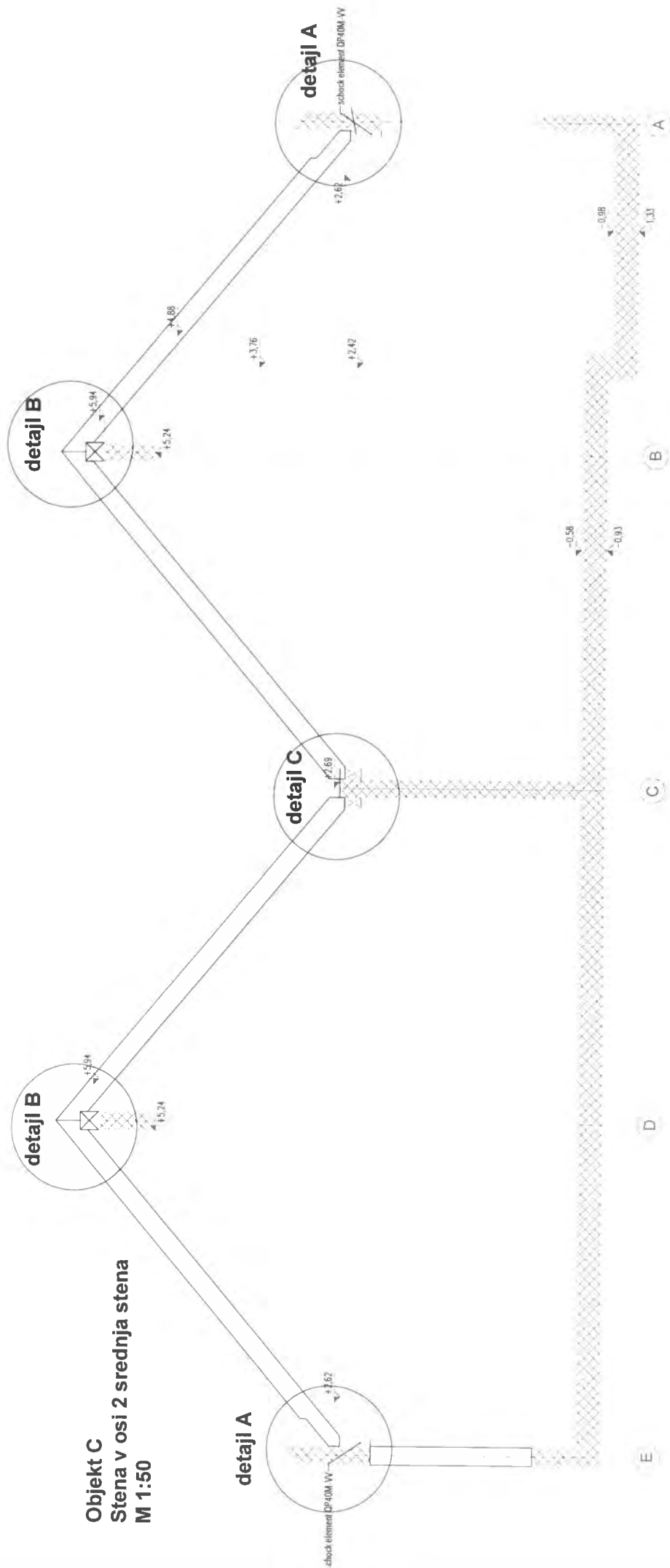
#### DOKAZ BOČNE STABILNOSTI

Vrsta obtežbe: osnovno - srednjetrojno

Korekcijski koeficient	Kmod = 0.800
Parcialni koef. za karakteristike materiala	γm = 1.300
Razmak pridržanih točk pravokotno na smer osi 2	l <sub>ef</sub> = 576.42 cm
5% fraktil modula E paralelno z vlakni	E <sub>0.05</sub> = 7400.0 MPa
5% fraktil strižnega modula G	G <sub>0.05</sub> = 460.00 MPa
Torzijski vztrajnostni moment	I <sub>tor</sub> = 15640 cm <sup>4</sup>
Vztrajnostni moment	I <sub>2</sub> = 5945.3 cm <sup>4</sup>
Odpornostni moment	W <sub>3</sub> = 1577.3 cm <sup>3</sup>
Kritična napetost uklona	σ <sub>m,crit</sub> = 61.474 MPa
Relativna vitkost za uklon	λ <sub>rel</sub> = 0.625
Koeficient	k <sub>krit</sub> = 1.000
Normalna upogibna napetost okoli osi 3	σ <sub>m,3,d</sub> = 6.638 MPa

$$\sigma_{m,3,d} \leq k_{krit} \times f_{m,3,d} \quad (6.638 \leq 14.769)$$

Izkoriščenost prereza je 44.9%



**Objekt C**  
**Stena v osi 2 srednja stena**  
**M 1:50**

detajl A

check element DP40M VV

detajl C

detajl B

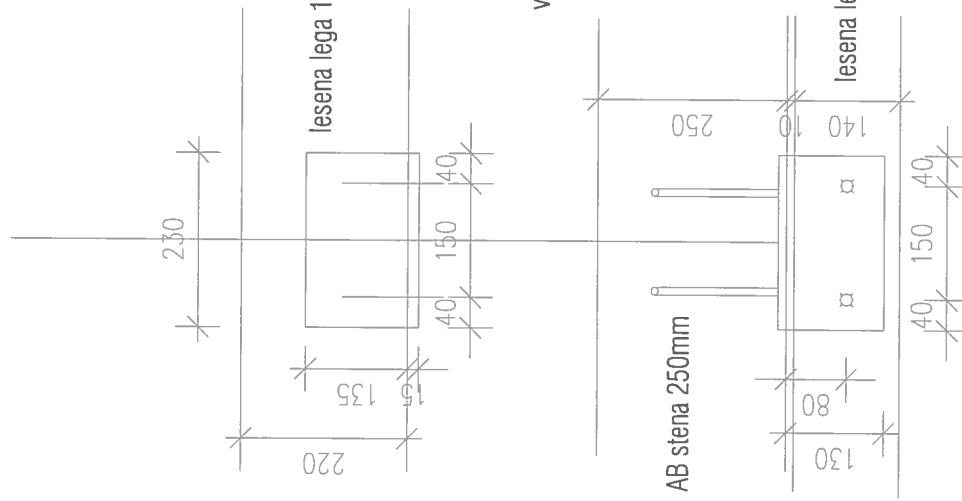
detajl A

check element DP40M VV

PREDLOGI HORANA

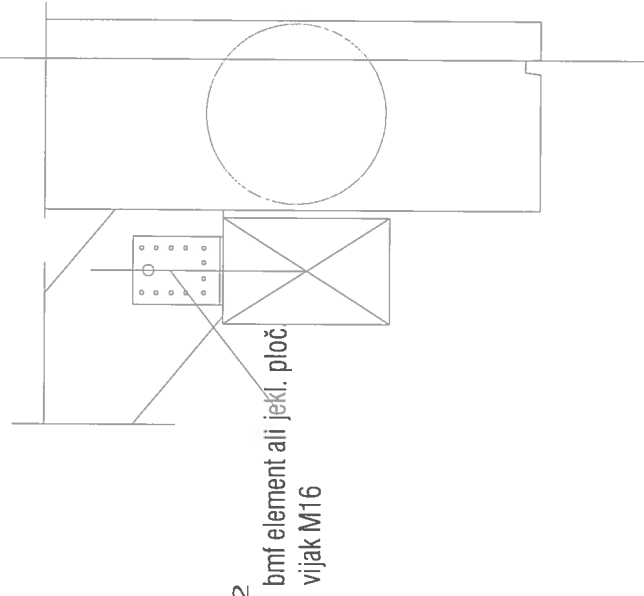
**detajl A 1:10**

**sidranje lege (na 1,5 m)**



**detajl A 1:10**

**sidranje špirovca**



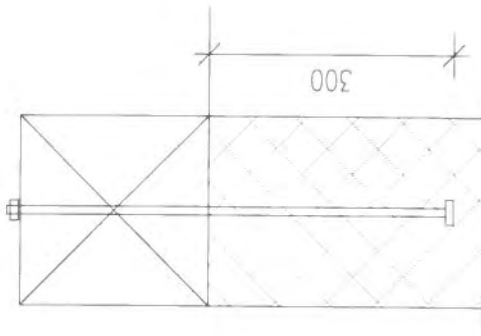
## detajl B 1:10

### sidranje lege

varijanta sidranja

vijak M16 na 1,50m

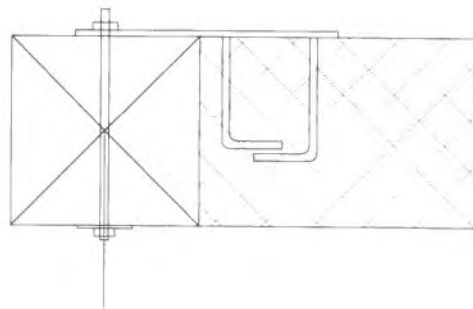
lega iz hrasta ali samo spodaj podložek hrasta.



varijanta sidranja

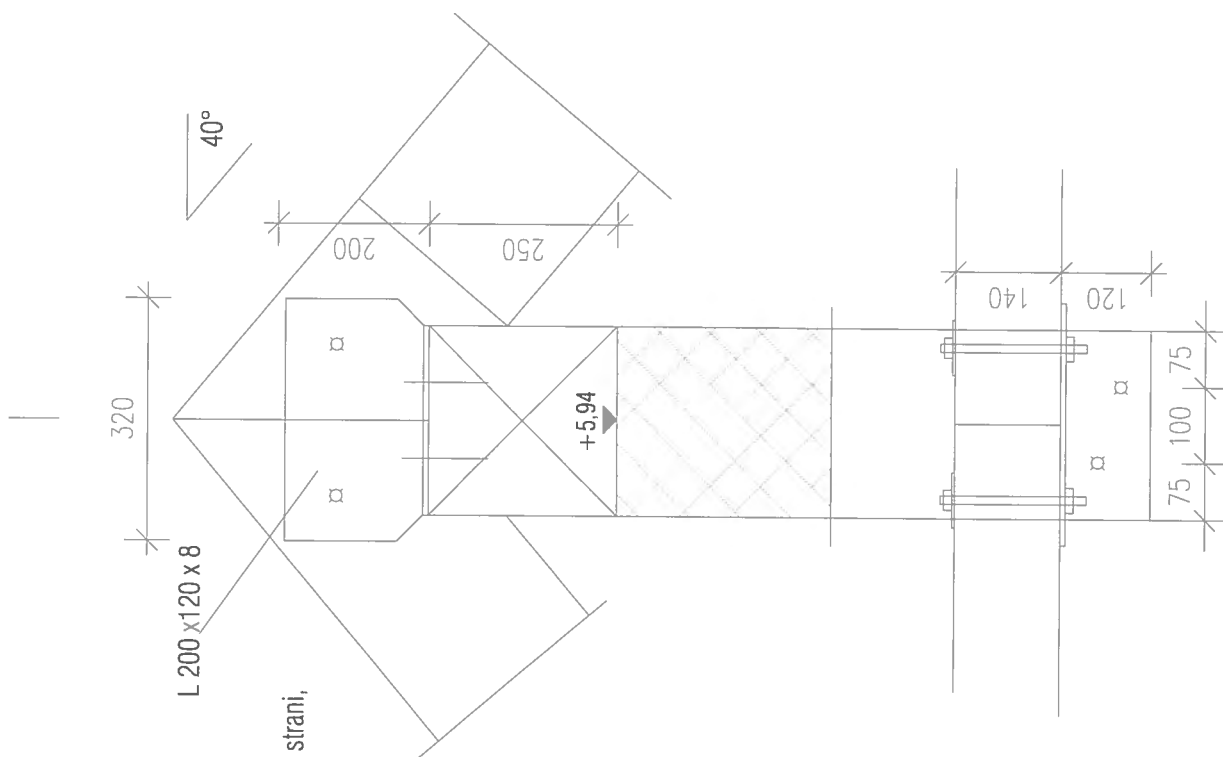
vgrajena ploč. izmenično na vsaki strani,

vijak M16/1,50m



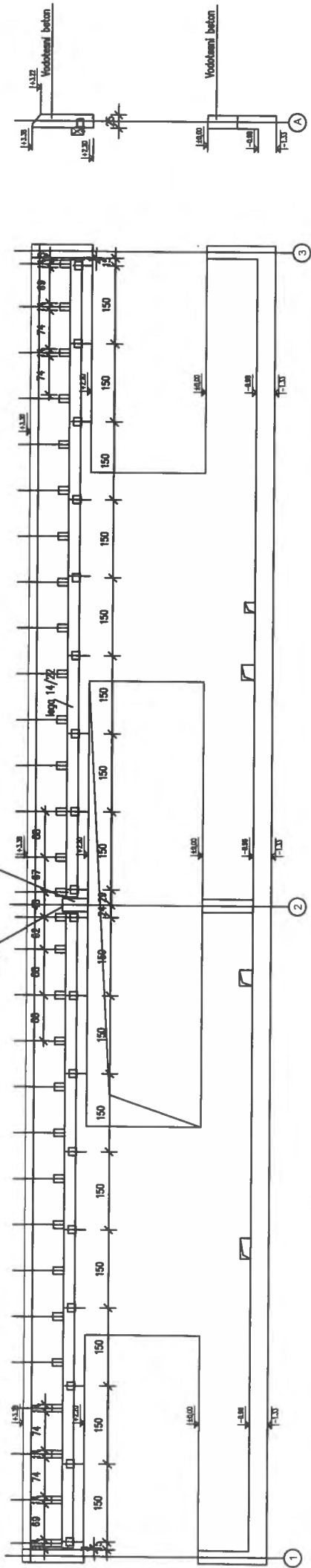
## detajl B 1:10

### sidranje špirovca



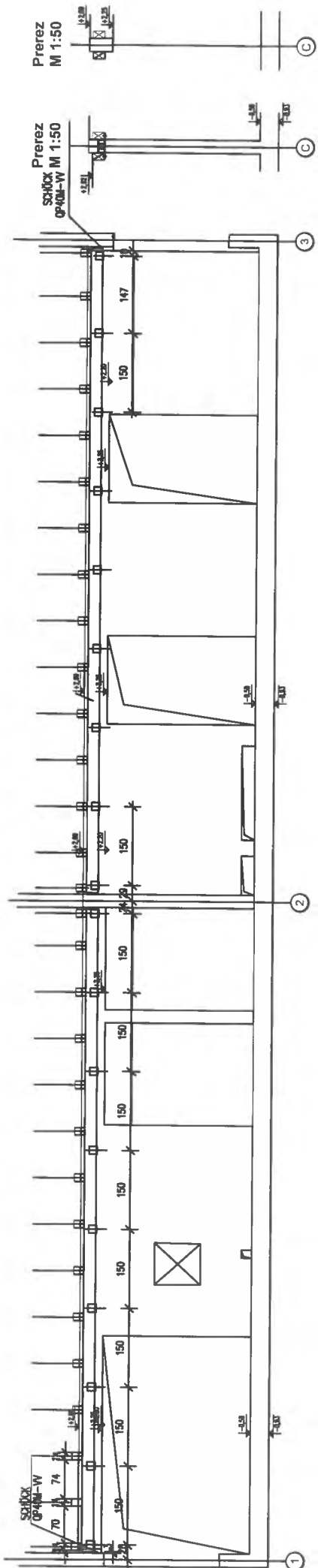
Objekt C  
Stena v osi A,(E)  
M:1:50

RAZPORED SIDER ZA LESENE LEGE



Objekt C  
Stena v osi C  
M:1:50

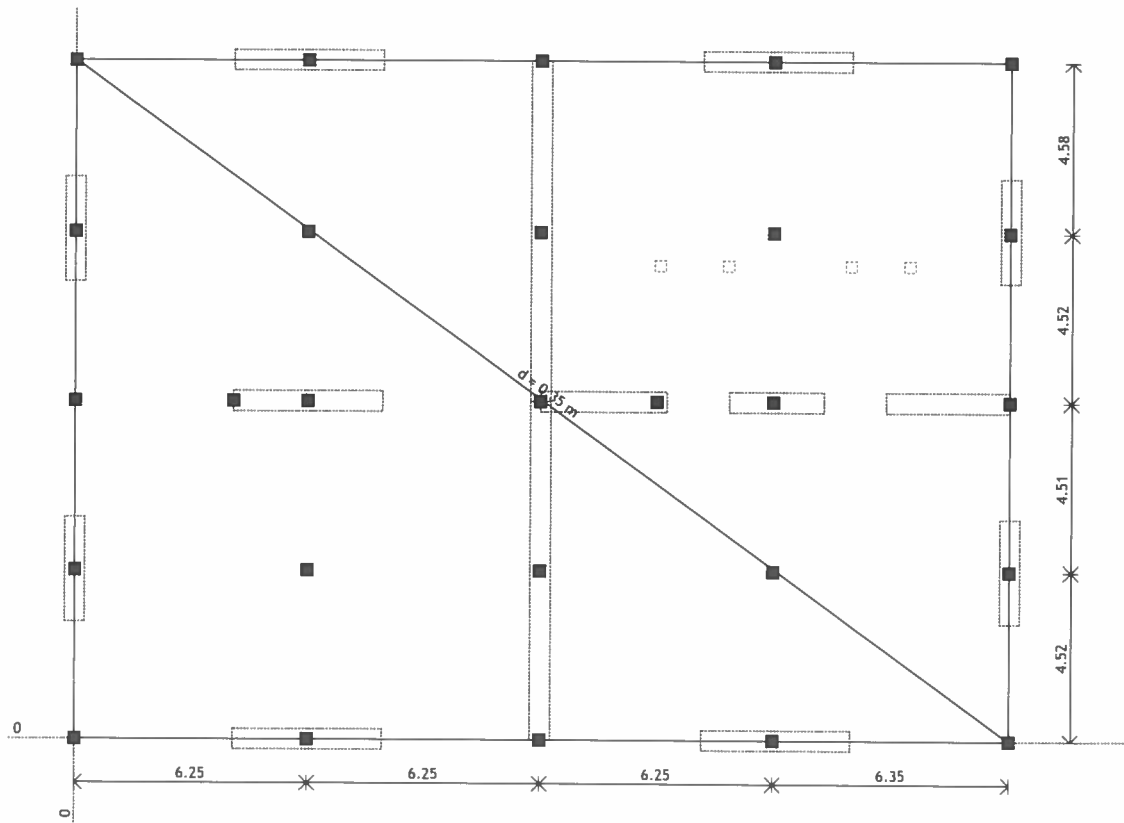
RAZPORED SIDER ZA LESENE LEGE



C35a

Vhodni podatki - Konstrukcija

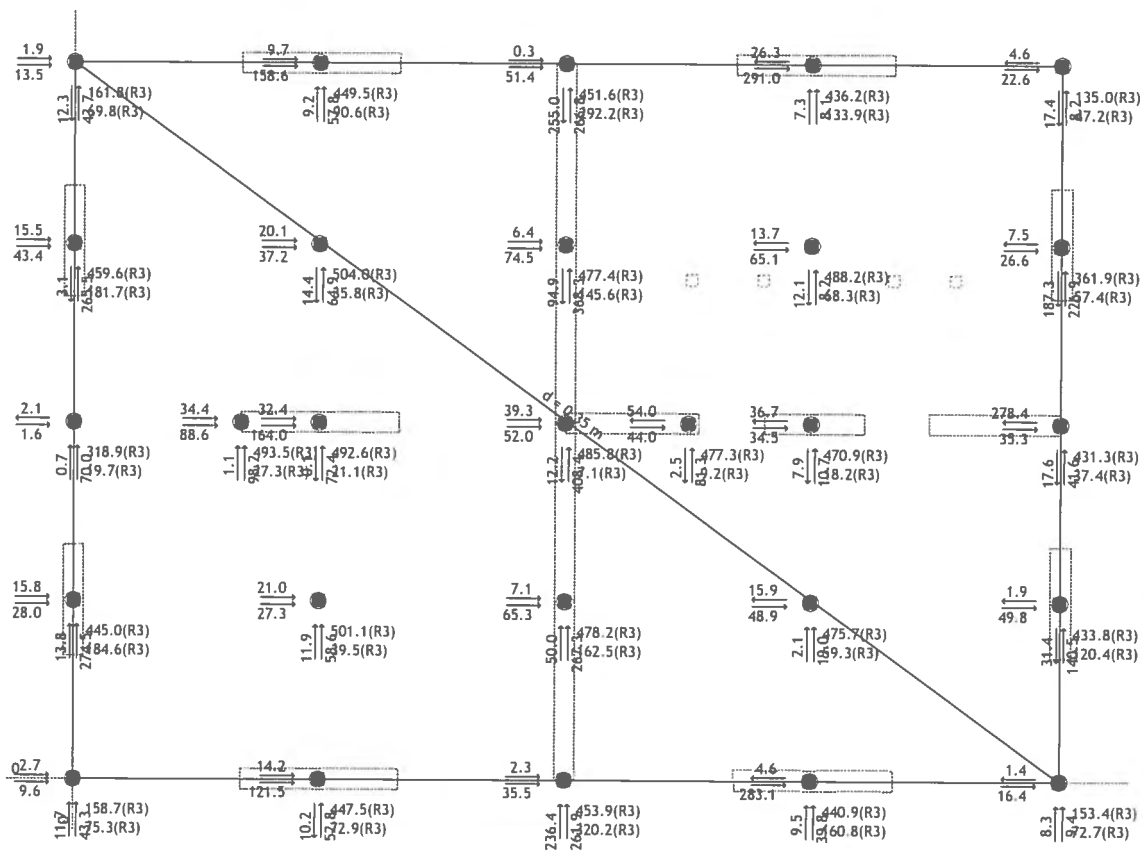
TEMELJNA PLOŠČA



Nivo: temelji [0.00 m]

**Statični preračun**

Obt. 48: [msn] 9-11

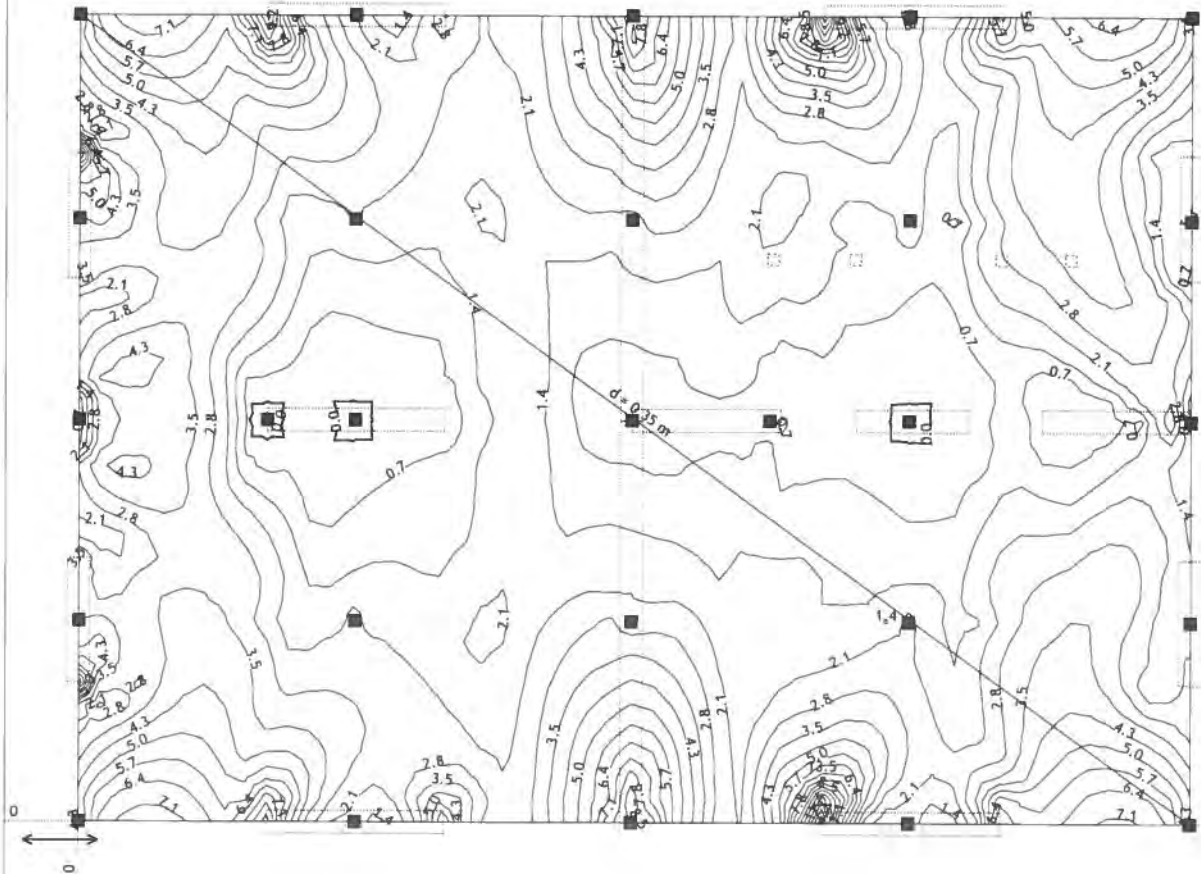


Nivo: temelji [0.00 m]  
 Reakcije podpor (Min/Max)

**Dimenzioniranje (beton)**

Merodajna obtežba: 9-11

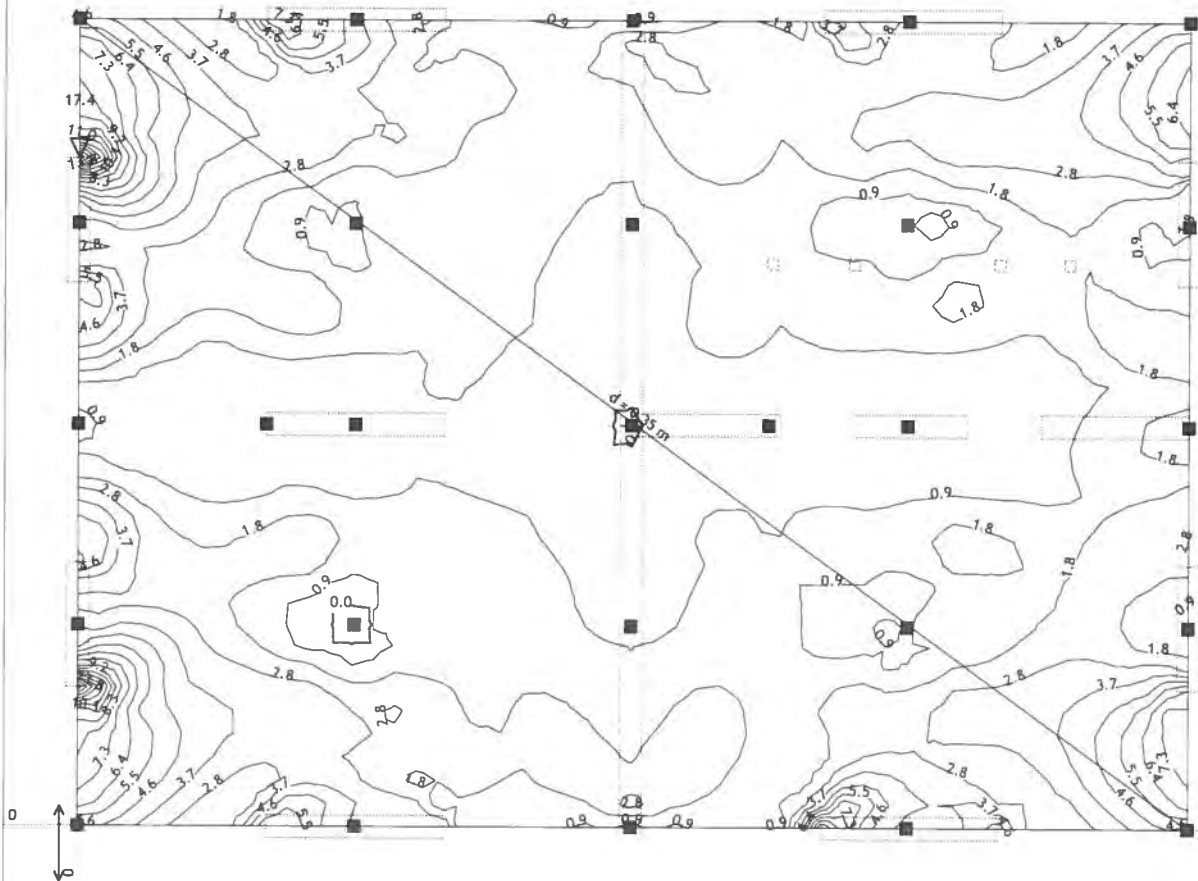
EC 2 (EN 1992-1-1:2004), C 30, S500N, a=5.00 cm



Nivo: temelji [0.00 m]

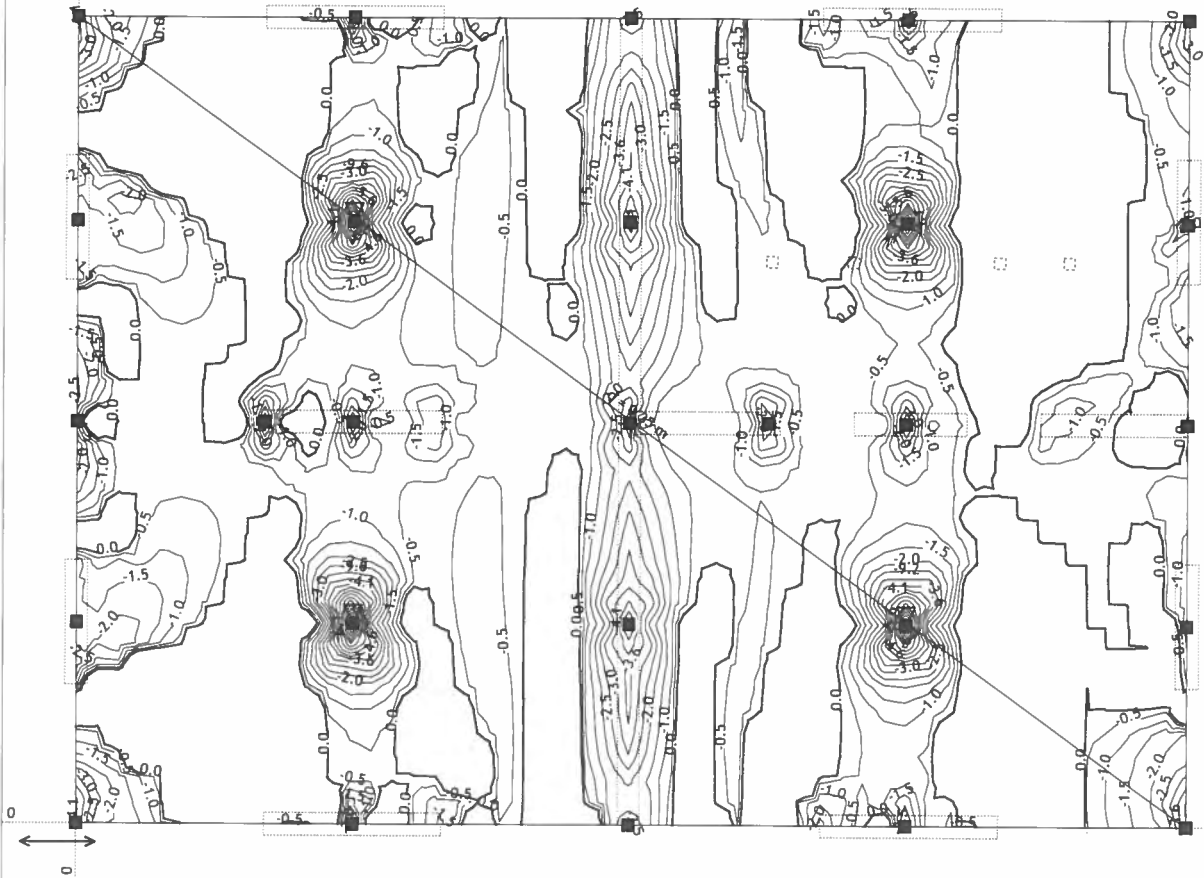
Aa - sp.cona - Smer 1 - max Aa1,s= 13.5 cm<sup>2</sup>/m

Merodajna obtežba: 9-11  
EC 2 (EN 1992-1-1:2004), C 30, S500N, a=5.00 cm



Nivo: temelji [0.00 m]  
Aa - sp.cona - Smer 2 - max Aa2,s= 17.4 cm<sup>2</sup>/m

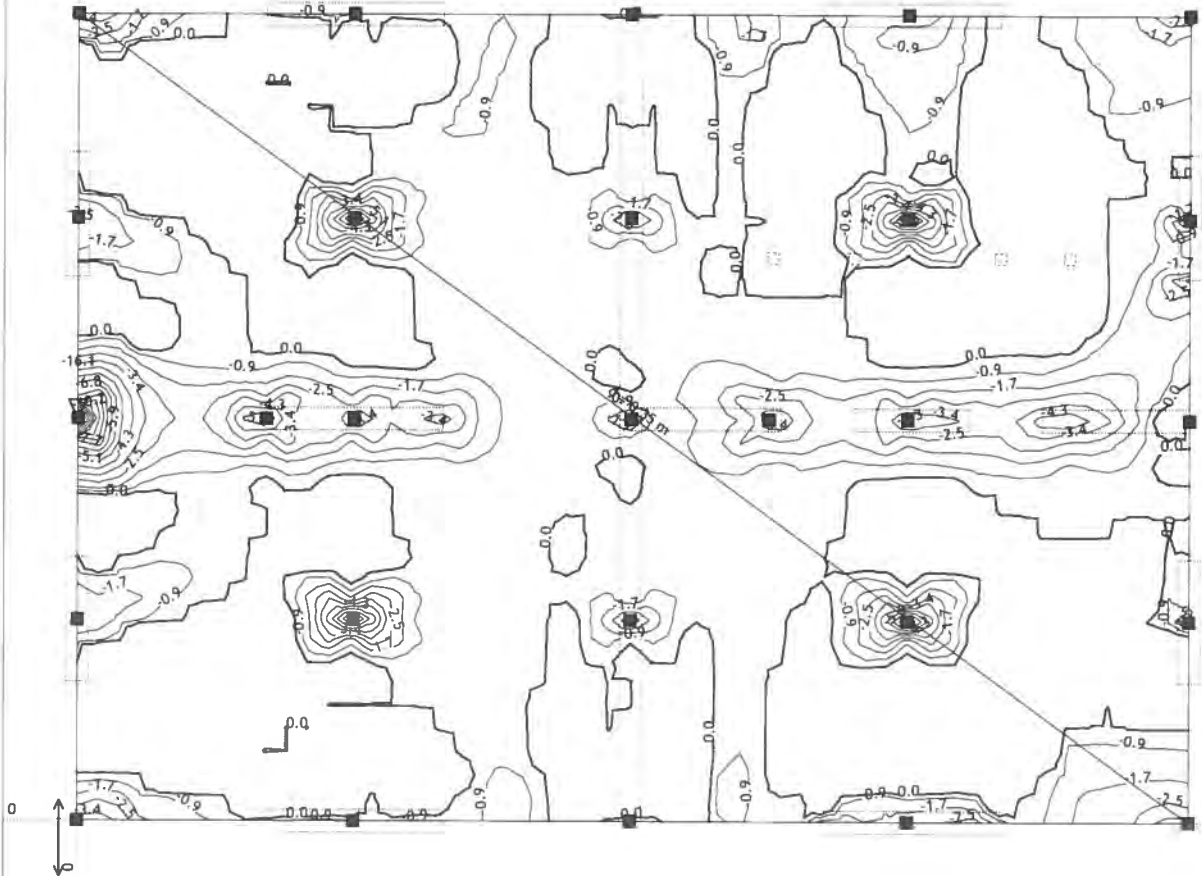
Merodajna obtežba: 9-11  
EC 2 (EN 1992-1-1:2004), C 30, S500N, a=5.00 cm



Nivo: temelji [0.00 m]

Aa - zg.cona - Smer 1 - max Aa1,z= -9.6 cm<sup>2</sup>/m

Merodajna obtežba: 9-11  
EC 2 (EN 1992-1-1:2004), C 30, S500N, a=5.00 cm



Nivo: temelji [0.00 m]  
Aa - zg.cona - Smer 2 - max Aa2,z= -16.1 cm<sup>2</sup>/m

041